



Nuevas Aplicaciones de la L-Serina Hidroximetiltransferasa y la Benzaldehído Liasa en Síntesis Orgánica

Karel Hernández Sánchez



Aquesta tesi doctoral està subjecta a la llicència [Reconeixement- CompartIgual 3.0. Espanya de Creative Commons](#).

Esta tesis doctoral está sujeta a la licencia [Reconocimiento - CompartirIgual 3.0. España de Creative Commons](#).

This doctoral thesis is licensed under the [Creative Commons Attribution-ShareAlike 3.0. Spain License](#).

Nuevas Aplicaciones de la L-Serina Hidroximetiltransferasa y la Benzaldehído Liasa en Síntesis Orgánica.

Instituto de Química Avanzada de Cataluña (IQAC).

Consejo Superior de Investigaciones Científicas (CSIC).

Facultad de Farmacia, Universidad de Barcelona. Departamento de
Bioquímica y Biología Molecular. Programa de Biotecnología.

**Karel Hernández Sánchez
2014**

Contenido

Figura1S(3.1) Aliniamiento multiple de secuencia (ClustalW) de SHMT de diferentes organismos	7
Figura2S(3.1) Representación del posible mecanismo de “desactivación” de la SHMT causado por D,L-Cys.....	10
Figura3S(3.1) Variación del espectro de absorción de la SHMT _{Sth} nativa y las variantes	11
Figura4S(3.1) Resultados de la secuenciación del producto de la mutación por saturación de sitio en el codón 55 de la SHMT _{Sth} nativa. El cromatograma de la secuenciación es representado utilizando el programa Chromas versión 2.01.....	12
Figura5S(3.1) Análisis de la librería de mutantes de la SHMT _{Sth} Y55X. La reacción entre D-Ser (1a) y el (benciloxi)acetaldehído (2a) se siguió por HPLC.	12
Tabla1S(3.1). Datos cuantitativos de la reacción a escala analítica de adición aldólica de D-Ser (1a) a diferentes aldehídos (2a-p), catalizado por la SHMT _{Sth} nativa y las variantes Y55T, Y55S y Y55C.....	16
Tabla2S(3.1). Datos cuantitativos de la reacción de adición aldólica a escala analítica de D-Ala (1b) a diferentes aldehídos (2a-p), catalizado por la SHMT _{Sth} nativa y las variantes Y55T, Y55S y Y55C.....	17
Tabla3S(3.1). Datos cuantitativos de la reacción de adición aldólica a escala analítica de GLY (1c) a diferentes aldehídos (2a-p), catalizado por la SHMT _{Sth} nativa y las variantes Y55T, Y55S y Y55C.....	17
Tabla4S(3.1) Reacciones ensayadas para modificar los productos 3a sintetizados por la adición aldólica de D-Ser a diferentes aldehídos catalizado por SHMT _{Sth} Y55T.....	18
Tabla5S(3.1) Masa molecular de las variantes de la SHMT _{Sth}	20
Figura6S(3.1) Espectros MS ESI/TOF y espectros deconvolucionados de las variantes de SHMT _{Sth}	20
Figura7S(3.1). Espectros de RMN (D ₂ O) de los productos 3cb y 4cb de la reacción aldólica catalizada por SHMT _{Sth} nativa: a) ¹ H; b) ¹³ C; c) 2D ¹ H- ¹ H COSY y d) HSQC.....	23
Figura8S(3.1). Espectros de RMN (D ₂ O) de los productos 3ch y 4ch de la reacción aldólica catalizada por SHMT _{Sth} nativa: a) ¹ H; b) ¹³ C; c) 2D ¹ H- ¹ H COSY y d) HSQC.....	25
Figura9S(3.1). Espectros de RMN (D ₂ O) de los productos 3ci y 4ci de la reacción aldólica catalizada por SHMT _{Sth} nativa: a) ¹ H; b) ¹³ C; c) 2D ¹ H- ¹ H COSY y d) HSQC.	27
Figura10S(3.1). Espectros de RMN (D ₂ O) de los productos 3cj y 4cj de la reacción aldólica catalizada por SHMT _{Sth} nativa: a) ¹ H; b) ¹³ C; c) 2D ¹ H- ¹ H COSY y d) HSQC.	29

Figura11S(3.1). Espectros de RMN(D ₂ O) de los productos 3ck y 4ck de la reacción aldólica catalizada por SHMT _{Sth} nativa: a) ¹ H; b) ¹³ C; c) 2D ¹ H- ¹ H COSY y d) HSQC.....	31
Figura12 S(3.1). Espectros de RMN (D ₂ O) de los productos 3cl y 4cl de la reacción aldólica catalizada por SHMT _{Sth} nativa: a) ¹ H; b) ¹³ C; c) 2D ¹ H- ¹ H COSY y d) HSQC.....	33
Figura13S(3.1). Espectros de RMN (D ₂ O) de los productos 3cm y 4cm de la reacción aldólica catalizada por SHMT _{Sth} nativa: a) ¹ H; b) ¹³ C; c) 2D ¹ H- ¹ H COSY y d) HSQC.....	35
Figura14S(3.1). Espectros de RMN (D ₂ O) de los productos 3cn y 4cn de la reacción aldólica catalizada por SHMT _{Sth} nativa: a) ¹ H; b) ¹³ C; c) 2D ¹ H- ¹ H COSY, d) HSQC y e) 1D-NOESY selectivo.....	37
Tabla6S(3.1). Resumen de los desplazamientos químicos (ppm) de ¹ H y ¹³ C para los productos 3c y 4c	39
Figura15S(3.1). Espectros RMN (DMSO-d ₆) de las oxazolidin-2-onas obtenidas por derivatización de los productos 3cb y 4cb de la reacción aldólica catalizada por SHMT _{Sth} nativa: a) ¹ H ; b) ¹³ C; c) 2D ¹ H- ¹ H COSY y d) HSQC.....	40
Figura16S(3.1). Espectros RMN (DMSO-d ₆) de las oxazolidin-2-onas obtenidas por derivatización de los productos 3ch y 4ch de la reacción aldólica catalizada por SHMT _{Sth} nativa: a) ¹ H; b) ¹³ C; c) 2D ¹ H- ¹ H COSY y d) HSQC.	42
Figura17S(3.1). Espectros RMN (DMSO-d ₆) de las oxazolidin-2-onas obtenidas por derivatización de los productos 3ci y 4ci de la reacción aldólica catalizada por SHMT _{Sth} nativa: a) ¹ H; b) ¹³ C; c) 2D ¹ H- ¹ H COSY y d) HSQC.	44
Figura19S(3.1). Espectros RMN (DMSO-d ₆) de las oxazolidin-2-onas obtenidas por derivatización de los productos 3ck y 4ck de la reacción aldólica catalizada por SHMT _{Sth} nativa: a) ¹ H; b) ¹³ C; c) 2D ¹ H- ¹ H COSY y d) HSQC.....	49
Figura20S(3.1). Espectros RMN (DMSO-d ₆) de las oxazolidin-2-onas obtenidas por derivatización de los productos 3cl y 4cl de la reacción aldólica catalizada por SHMT _{Sth} nativa: a) ¹ H; b) ¹³ C; c) 2D ¹ H- ¹ H COSY y d) HSQC.....	51
Figura21S(3.1). Espectros RMN (DMSO-d ₆) de las oxazolidin-2-onas obtenidas por derivatización de los productos 3cm y 4cm de la reacción aldólica catalizada por SHMT _{Sth} nativa: a) ¹ H; b) ¹³ C; c) 2D ¹ H- ¹ H COSY y d) HSQC.....	53
Figura22S(3.1). Espectros RMN (DMSO-d ₆) de las oxazolidin-2-onas obtenidas por derivatización de los productos 3cn y 4cn de la reacción aldólica catalizada por SHMT _{Sth} nativa: a) ¹ H; b) ¹³ C; c) 2D ¹ H- ¹ H COSY, d) HSQC y e) 1D-NOESY selectivo.	55
Tabla7S(3.1). Desplazamiento químico de ¹ H y ¹³ C (ppm) y constantes de acoplamiento (³ J(H _a ,H _b), Hz) de las oxazolidin-2-onas derivadas de 3c y 4c	58

Figura23S(3.1). Espectros de RMN (D_2O) de 3ba de la reacción aldólica catalizada por SHMT _{Sth} Y55T: a) 1H ; b) ^{13}C ; c) 2D 1H - 1H COSY y d) HSQC.....	59
Figura24S(3.1). Espectros de RMN (D_2O) de 3bb y 4bb de la reacción aldólica catalizada por SHMT _{Sth} Y55T: a) 1H ; b) ^{13}C ; c) 2D 1H - 1H COSY y d) HSQC.....	61
Figura25S(3.1). Espectro de RMN (D_2O) de 3bc de la reacción aldólica catalizada por SHMT _{Sth} Y55T: a) 1H ; b) ^{13}C ; c) 2D 1H - 1H COSY y d) HSQC.....	63
Figura26S(3.1). Espectro de RMN (D_2O) de 3bd de la reacción aldólica catalizada por SHMT _{Sth} Y55T: a) 1H ; b) ^{13}C ; c) 2D 1H - 1H COSY y d) HSQC.....	65
Figura27S(3.1). Espectro de RMN (D_2O) de 3bg y 4bg de la reacción aldólica catalizada por SHMT _{Sth} Y55T: a) 1H ; b) ^{13}C ; c) 2D 1H - 1H COSY y d) HSQC.....	67
Figura28S(3.1). Espectro de RMN (D_2O) de 3bh y 4bh de la reacción aldólica catalizada por SHMT _{Sth} Y55T: a) 1H ; b) ^{13}C ; c) 2D 1H - 1H COSY y d) HSQC.....	69
Figura29S(3.1). Espectro de RMN ($DMSO-d_6$) de 3bi y 4bi de la reacción aldólica catalizada por SHMT _{Sth} Y55T: a) 1H ; b) ^{13}C ; c) 2D 1H - 1H COSY y d) HSQC.....	71
Figura30S(3.1). Espectro de RMN (D_2O) de 3bk y 4bk de la reacción aldólica catalizada por SHMT _{Sth} Y55T: a) 1H ; b) ^{13}C ; c) 2D 1H - 1H COSY y d) HSQC.....	73
Figura31S(3.1). Espectros de RMN ($DMSO-d_6$) de 3bl y 4bl de la reacción aldólica catalizada por SHMT _{Sth} Y55T: a) 1H ; b) ^{13}C ; c) 2D 1H - 1H COSY y d) HSQC.....	75
Figura32S(3.1). Espectro de RMN (D_2O) de 3bn y 4bn de la reacción aldólica catalizada por SHMT _{Sth} Y55T: a) 1H ; b) ^{13}C ; c) 2D 1H - 1H COSY y d) HSQC.....	77
Figura33S(3.1). Espectro de RMN (D_2O) de 3ba y 4ba de la reacción aldólica catalizada por SHMT _{Sth} nativa: a) 1H ; b) ^{13}C ; c) 2D 1H - 1H COSY y d) HSQC.....	79
Figura34S(3.1). Espectro de RMN (D_2O) de 3bb y 4bb de la reacción aldólica catalizada por SHMT _{Sth} nativa: a) 1H ; b) ^{13}C ; c) 2D 1H - 1H COSY y d) HSQC.....	81
Figura35S(3.1). Espectro de RMN (D_2O) de 3bc y 4bc de la reacción aldólica catalizada por SHMT _{Sth} nativa: a) 1H ; b) ^{13}C ; c) 2D 1H - 1H COSY y d) HSQC.....	83
Figura36S(3.1). Espectro de RMN (D_2O) de 3bd y 4bd de la reacción aldólica catalizada por SHMT _{Sth} nativa: a) 1H ; b) ^{13}C ; c) 2D 1H - 1H COSY y d) HSQC.....	85
Figura37S(3.1). Espectro de RMN (D_2O) de 3bh y 4bh de la reacción aldólica catalizada por SHMT _{Sth} nativa: a) 1H ; b) ^{13}C ; c) 2D 1H - 1H COSY y d) HSQC.....	87
Figura38S(3.1). Espectro de RMN ($DMSO-d_6$) de 3bi y 4bi de la reacción aldólica catalizada por SHMT _{Sth} nativa: a) 1H ; b) ^{13}C ; c) 2D 1H - 1H COSY y d) HSQC.....	89
Figura39S(3.1). Espectro de RMN (D_2O) de 3bj y 4bj de la reacción aldólica catalizada por SHMT _{Sth} nativa: a) 1H ; b) ^{13}C ; c) 2D 1H - 1H COSY y d) HSQC.....	91

Figura40S(3.1). Espectro de RMN (D_2O) de 3bk y 4bk de la reacción aldólica catalizada por SHMT _{Sth} nativa: a) 1H ; b) ^{13}C ; c) 2D 1H - 1H COSY y d) HSQC.	93
Figura41S(3.1). Espectro de RMN ($DMSO-d_6$) de 3bl y 4bl de la reacción aldólica catalizada por SHMT _{Sth} nativa: a) 1H ; b) ^{13}C ; c) 2D 1H - 1H COSY y d) HSQC.	95
Figura42S(3.1). Espectro de RMN (D_2O) de 3bm y 4bm de la reacción aldólica catalizada por SHMT _{Sth} nativa: a) 1H ; b) ^{13}C ; c) 2D 1H - 1H COSY y d) HSQC.	97
Figura43S(3.1). Espectro de RMN (D_2O) de 3bn y 4bn de la reacción aldólica catalizada por SHMT _{Sth} nativa: a) 1H ; b) ^{13}C ; c) 2D 1H - 1H COSY y d) HSQC.	99
Tabla8S(3.1). Desplazamientos químicos (ppm) de 1H y ^{13}C de los productos 3b y 4b .	101
Figura44S(3.1). Espectros de RMN ($CDCl_3$) de las oxazolidin-2-onas derivadas de 3ba de la adición aldólica catalizada por SHMT _{Sth} Y55T: a) 1H ; b) ^{13}C ; c) 2D 1H - 1H COSY, d) HSQC y e) NOESY.	102
Figura45S(3.1). Espectros de RMN ($CDCl_3$) de las oxazolidin-2-onas derivadas de 3bb de la adición aldólica catalizada por SHMT _{Sth} Y55T: a) 1H ; b) ^{13}C ; c) 2D 1H - 1H COSY, d) HSQC y e) NOESY.	105
Figura46S(3.1). Espectros de RMN ($CDCl_3$) de las oxazolidin-2-onas derivadas de 3bc de la adición aldólica catalizada por SHMT _{Sth} Y55T: a) 1H ; b) ^{13}C ; c) 2D 1H - 1H COSY, d) HSQC y e) NOESY.	108
Figura47S(3.1). Espectros de RMN ($CDCl_3$) de las oxazolidin-2-onas derivadas de 3bd de la adición aldólica catalizada por SHMT _{Sth} Y55T: a) 1H ; b) ^{13}C ; c) 2D 1H - 1H COSY, d) HSQC y e) NOESY.	111
Figura48S(3.1). Espectros de RMN ($CDCl_3$) de las oxazolidin-2-onas derivadas de 3bg y 4bg de la adición aldólica catalizada por SHMT _{Sth} Y55T: a) 1H ; b) ^{13}C ; c) 2D 1H - 1H COSY, d) HSQC y e) NOESY.	114
Figura49S(3.1). Espectros de RMN ($CDCl_3$) de las oxazolidin-2-onas derivadas de 3bh y 4bh de la adición aldólica catalizada por SHMT _{Sth} Y55T: a) 1H ; b) ^{13}C ; c) 2D 1H - 1H COSY, d) HSQC y e) NOESY.	117
Figura50S(3.1). Espectros de RMN ($CDCl_3$) de las oxazolidin-2-onas derivadas de 3bi de la adición aldólica catalizada por SHMT _{Sth} Y55T: a) 1H ; b) ^{13}C ; c) 2D 1H - 1H COSY; d) HSQC y e) NOESY.	120
Figura51S(3.1). Espectros de RMN ($CDCl_3$) de las oxazolidin-2-onas derivadas de 3bk y 4bk de la adición aldólica catalizada por SHMT _{Sth} Y55T: a) 1H ; b) ^{13}C ; c) 2D 1H - 1H COSY, d) HSQC y e) NOESY.	123

Figura52S(3.1). Espectros de RMN (CDCl_3) de las oxazolidin-2-onas derivadas de 3bl y 4bl de la adición aldólica catalizada por SHMT _{Sth} Y55T: a) ^1H ; b) ^{13}C ; c) 2D ^1H - ^1H COSY, d) HSQC y e) NOESY.....	126
Figura53S(3.1). Espectros de RMN (CDCl_3) de las oxazolidin-2-onas derivadas de 3bn de la adición aldólica catalizada por SHMT _{Sth} Y55T: a) ^1H ; b) ^{13}C ; c) 2D ^1H - ^1H COSY, d) HSQC y e) NOESY.....	129
Figura54S(3.1). Espectros de RMN (CDCl_3) de las oxazolidin-2-onas derivadas de 3ba de la adición aldólica catalizada por SHMT _{Sth} nativa: a) ^1H ; b) ^{13}C ; c) 2D ^1H - ^1H COSY, d) HSQC y e) NOESY.....	132
Figura55S(3.1). Espectros de RMN (CDCl_3) de las oxazolidin-2-onas derivadas de 3bb y 4bb de la adición aldólica catalizada por SHMT _{Sth} nativa: a) ^1H ; b) ^{13}C ; c) 2D ^1H - ^1H COSY, d) HSQC y e) NOESY.....	135
Figura56S(3.1). Espectros de RMN (CDCl_3) de las oxazolidin-2-onas derivadas de 3bc de la adición aldólica catalizada por SHMT _{Sth} nativa: a) ^1H ; b) ^{13}C ; c) 2D ^1H - ^1H COSY, d) HSQC y e) NOESY.....	138
Figura57S(3.1). Espectros de RMN (CDCl_3) de las oxazolidin-2-onas derivadas de 3bd de la adición aldólica catalizada por SHMT _{Sth} nativa: a) ^1H ; b) ^{13}C ; c) 2D ^1H - ^1H COSY, d) HSQC y e) NOESY.....	141
Figura58S(3.1). Espectros de RMN (CDCl_3) de las oxazolidin-2-onas derivadas de 3bh y 4bh de la adición aldólica catalizada por SHMT _{Sth} nativa: a) ^1H ; b) ^{13}C ; c) 2D ^1H - ^1H COSY, d) HSQC y e) NOESY.....	144
Figura59S(3.1). Espectros de RMN (CDCl_3) de las oxazolidin-2-onas derivadas de 3bi de la adición aldólica catalizada por SHMT _{Sth} nativa: a) ^1H ; b) ^{13}C ; c) 2D ^1H - ^1H COSY, d) HSQC y e) NOESY.....	147
Figura60S(3.1). Espectros de RMN (D_2O) de las oxazolidin-2-onas derivadas de 3bj y 4bj de la adición aldólica catalizada por SHMT _{Sth} nativa: a) ^1H ; b) ^{13}C ; c) 2D ^1H - ^1H COSY, d) HSQC y e) NOESY.....	198
Figura61S(3.1). Espectros de RMN (D_2O) de las oxazolidin-2-onas derivadas de 3bk y 4bk de la adición aldólica catalizada por SHMT _{Sth} nativa: a) ^1H ; b) ^{13}C ; c) 2D ^1H - ^1H COSY, d) HSQC y e) NOESY.....	202
Figura62S(3.1). Espectros de RMN (D_2O) de las oxazolidin-2-onas derivadas de 3bl y 4bl de la adición aldólica catalizada por SHMT _{Sth} nativa: a) ^1H ; b) ^{13}C ; c) 2D ^1H - ^1H COSY, d) HSQC y e) NOESY.....	206

Figura63S(3.1). Espectros de RMN (D_2O) de las oxazolidin-2-onas derivadas de 3bm y 4bm de la adición aldólica catalizada por SHMT _{Sth} nativa: a) 1H ; b) ^{13}C ; c) 2D 1H - 1H COSY, d) HSQC y e) NOESY.....	210
Figura64S(3.1). Espectros de RMN(D_2O) de las oxazolidin-2-onas derivadas de 3bn y 4bn de la adición aldólica catalizada por SHMT _{Sth} nativa: a) 1H ; b) ^{13}C ; c) 2D 1H - 1H COSY, d) HSQC, e) NOESY y f) 1D-NOESY selectivo.....	214
Tabla9S(3.1). Desplazamiento químico (ppm) de 1H y ^{13}C de las oxazolidin-2-ones derivadas de 3b y 4b	219
Figura65S(3.1). Espectros de RMN (D_2O) de 3aa de la adición aldólica catalizada por SHMT _{Sth} Y55T: a) 1H ; b) ^{13}C ; c) 2D 1H - 1H COSY, d) HSQC y e) 1D-NOESY selectivo.	220
Figura66S(3.1). Espectros de RMN (D_2O) de 3ab de la adición aldólica catalizada por SHMT _{Sth} Y55T: a) 1H ; b) ^{13}C ; c) 2D 1H - 1H COSY y d) HSQC.....	224
Figura67S(3.1). Espectros de RMN (D_2O) de 3ac de la adición aldólica catalizada por SHMT _{Sth} Y55T: a) 1H ; b) ^{13}C ; c) 2D 1H - 1H COSY y d) HSQC.....	227
Figura68S(3.1). Espectros de RMN (D_2O) de 3ad de la adición aldólica catalizada por SHMT _{Sth} Y55T: a) 1H ; b) ^{13}C ; c) 2D 1H - 1H COSY y d) HSQC.....	230
Figura69S(3.1). Espectros de RMN (D_2O) de 3ag y 4ag de la adición aldólica catalizada por SHMT _{Sth} Y55T: a) 1H ; b) ^{13}C ; c) 2D 1H - 1H COSY, d) HSQC y e) 1D-NOESY selectivo.....	233
Figura70S(3.1). Espectros de RMN (D_2O) de 3ah y 4ai de la adición aldólica catalizada por SHMT _{Sth} Y55T: a) 1H ; b) ^{13}C ; c) 2D 1H - 1H COSY, d) HSQC y e) 1D-NOESY selectivo.....	237
Figura71S(3.1). Espectros de RMN (DMSO- d_6) de 3ai de la adición aldólica catalizada por SHMT _{Sth} Y55T: a) 1H ; b) ^{13}C ; c) 2D 1H - 1H COSY, d) HSQC y e) 1D-NOESY selectivo.....	241
Figura72S(3.1). Espectros de RMN (D_2O) de 3ak y 4ak de la adición aldólica catalizada por SHMT _{Sth} Y55T: a) 1H ; b) ^{13}C ; c) 2D 1H - 1H COSY y d) HSQC.	245
Figura73S(3.1). Espectros de RMN (D_2O) de 3al y 4al de la adición aldólica catalizada por SHMT _{Sth} Y55T: a) 1H ; b) ^{13}C ; c) 2D 1H - 1H COSY y d) HSQC.....	249
Figura74S(3.1). Espectros de RMN (D_2O) de 3an y 4an de la adición aldólica catalizada por SHMT _{Sth} Y55T: a) 1H ; b) ^{13}C ; c) 2D 1H - 1H COSY y d) HSQC.....	253
Tabla10S(3.1) Desplazamiento químico (ppm) de 1H , ^{13}C de los productos 4a	257

Figura1S(3.1) Alineamiento múltiple de secuencia (ClustalW) de SHMT de diferentes organismos. SHMT de *B. stearothermophilus* (**SHMT_{Bst}**, código (NCIB): S30382), SHMT de *B. subtilis* (**SHMT_{Bsb}**, WP_014115504), SHMT de *S. thermophilus* (**SHMT_{Stb}**, EHE87326), SHMT de *E. coli* (**SHMT_{Eco}**, ACA76793), MSHMT de *Aminobacter sp.* AJ110403 (**MSHMT_{Ab}**, BAG31001), MSHMT de *Paracoccus sp.* AJ110402 (**MSHMT_{Pc}**, BAG 31000), MSHMT de *Ensifer sp.* AJ110404 (**MSHMT_{Ef}**, BAG 31004), SHMT de *O. aries*, citosólica (**SHMT_{Oac}**, NP_001009469). SHMT de *O. cuniculus*, citosólica (**SHMT_{Occ}**, NP_001095187), SHMT de *O. cuniculus*, mitocondrial (**SHMT_{Ocm}**, A33696), SHMT de *H. sapiens*, mitocondrial (**SHMT_{Hsm}**, NP_001159829), SHMT de *P. falciparum*, (**SHMT_{Pf}**, AAF07198.1), SHMT de *M. jannaschii* (**SHMT_{Mj}**, Q58992), SHMT de *S. tokodaii* (**SHMT_{St}**; Q971K4.1). Un * (asterisco) indica posiciones con residuos muy conservados. A: (dos puntos) indica conservación entre grupos con propiedades muy similares (> 0.5 en una matriz PAM 250). A. (punto) indica conservación entre grupos con propiedades poco similares (< 0.5 en una matriz PAM 250).

SHMT_{Bst}	-----	MKYLPQQDPQVFAAIEQERKRQHAKIELIASE	32
SHMT_{Bsb}	-----	MKHLPAQDEQVFNAIKNERERQQTKEELIASE	32
SHMT_{Stb}	-----	MIFDKEDYKAFDPELWNAIDAEAERQQNNIELIASE 36	
SHMT_{Eco}	-----	MRMLKREMNIAODYDAELWQAMEQEKFVRQEEHIELIASE	38
MSHMT_{Ab}	-----	MTEQTKAYFNTPVHERDPLVAQALDNERKRQKDQIELIASE	41
MSHMT_{Pc}	-----	MNELTRTFNNSVHDTDPLIAQALDDERARQKNQIELIASE	41
MSHMT_{Ef}	-----	MDHATRAHFTMTVGEVDPLLADALASERGRQQNQIELIASE	41
SHMT_{Oac}	-----	MAAPVNKAPRDADLWSLHEKMLAQPLKDNDVEVYNIKKESNRQRVGLELIASE	54
SHMT_{Occ}	-----	MATAVNGAPRDAALWSSHEQMLAQPLKDSDAEVYDIKKESNRQRVGLELIASE	54
SHMT_{Ocm}	-----	KAAQTQTGEASRGWTGQESLSDTDPEMWELLQREKDRQCRCGLELIASE	48
SHMT_{Hsm}	GSGQLVRAIRAQHSNAAQTQTGEANRGWTGQESLSSDPEMWELLQREKDRQCRCGLELIASE	63	
SHMT_{Pf}	-----	MFNNNDPLQKYDKELFDLLEKEKNRQIETINLIASE	35
SHMT_{Mj}	-----	MEYSDVPKFIR---DVSIKQHEWMR-ESIKLIASE	31
SHMT_{St}	-----	MSQIPKELEKVIELTREQNRWRRTDEVINLIASE	33
		: :*****	

	Y55	Y65	
SHMT_{Bst}	NFVSRAVMEAQGSVLTNK Y AEGYPGRRY Y GGCEYVDIVEELARERAKQLFGAEH----ANVQP	91	
SHMT_{Bsb}	NFVSEAVMEAQGSVLTNK Y AEGYPGKRY Y GGCEHVDVVEDIARDRAKEIFGAEH----VNVQP	91	
SHMT_{Stb}	NVVSKAVMAAQGTLLTNKYAEGYPGKRYYGGTAVIDVETLAIERAKKLFGAKF---ANVQP 95		
SHMT_{Eco}	NYTSPRVMQAQGSQLTNK Y AEGYPGKRY Y GGCEYVDIVEQLAIDRAKELFGADY----ANVQP	97	
MSHMT_{Ab}	NIVSRALDALGHEMTNKT T LEGYPGNRF H GGGQFVDVVEQAAIDRAKELFGCAY----ANVQP	100	
MSHMT_{Pc}	NIVSQAVLDALGHEMTNKT T LEGYPGNRF H GGGQFVDVVEQAAIDRAKQLFNCGY----ANVQP	100	
MSHMT_{Ef}	NIVSRALDALGHEITNK T LEGYPGNRF H GGGQFVDIAEQAAIDRAKQLFNCGY----ANVQP	100	
SHMT_{Oac}	NFASRAVLEALGSCLNNK Y SEGYPGQRY Y GGTEFIDELEVLCQKRALQVYGLDPCECGVNVQP	117	
SHMT_{Occ}	NFASRAVLEALGSCLNNK Y SEGYPGQRY Y GGTEHIDELETLCQKRALQAYGLDPQCWGPNVQP	117	
SHMT_{Ocm}	NFCsRAALEALGSCLNNK Y SEGYPGKRY Y GGAEVVDEIELLCQRRALEAFDLDPAQWGVNVQP	111	
SHMT_{Hsm}	NFCsRAALEALGSCLNNK Y SEGYPGKRY Y GGAEVVDEIELLCQRRALEAFDLDPAQWGVNVQP	126	
SHMT_{Pf}	NLTNTAVRECLGDRISNK Y SEGYPHKRY Y GGNDYVDKIEELCYKRALEAFNVSEEWGVNVQP	98	
SHMT_{Mj}	NITSILAVREACATDFMHRYAEGLPKGRL Y QGCKYIDEVETLCIELSKELFKAEH----ANVQP	90	
SHMT_{St}	NVMSPLAETVYMSDFMSR Y AEGKPYKRY Y QGTYVDEVETLAMQLNEITNTKF---CDLRA	92	
	.. .	: : ** * . * : * : * * . . : :	:::::

SHMT_{Bst}	HSGAQANMAYFTVLEHDTVLGMNLSHGGHLTHG-----SPVNFSQVQYNFVAYGVDPETHV	149
SHMT_{Bsb}	HSGAQANMAYFTILEQDTVLGMNLSHGGHLTHG-----SPVNFSQVQYNFVEYGVDKETQY	149
SHMT_{sth}	HSGSQANAAYVMSLIQPGDTVMGMDLSAGGHLTHG-----APVSFSGKTYNFVSYNVDKESEL 153	
SHMT_{Eco}	HSGSQANFAVYTALLEPGDTVLGMNLAHGGHLTHG-----SPVNFSGKLYNIVPYGID-ATGH	155
MSHMT_{Ab}	HSGTQANLAVFLLLKPDKVLSLDLAAGGHLHG-----MKGNLSGRWFESHNYNVDPETEV	158
MSHMT_{Pc}	HSGTQANLAVFLLVKPGDRILSLDLAAGGHLHG-----MKGNLSGRWFEAHNHYNVDPQNEV	158
MSHMT_{Ef}	HSGTQANLAVFLLLKPGEKVLSLDLAAGGHLHG-----MKANLSGRWFATDNYNVNPQNEV	158
SHMT_{Oac}	YSGSPANFAVYTALVEPHGRIMGLDPDGGLTHGFMTDKKKISATSIFFESMPYKVNPDTGY	180
SHMT_{Occ}	YSGSPANFAVYTALVEPHGRIMGLDPDGGLTHGFMTDKKKISATSIFFESMAYKVNPDTGY	180
SHMT_{Ocm}	YSGSPANLAAYTALLQPHDRIMGLDPDGGLTHGYMSDVKRVSATSIFFESMPYKLNPKTGL	174
SHMT_{Hsm}	YSGSPANLAVYTALLQPHDRIMGLDPDGGLTHGYMSDVKRISATSIFFESMPYKLNPKTGL	189
SHMT_{Pf}	LSGSAANVQALYALVGVKGKIMGMHLCGGHLTHGFDEKKVSITSDFESKLYKCSE-GY	160
SHMT_{Mj}	TSGVANLAVFFAETKPGDKLMALSVPDGGHISHW-----KVSAAGIRGLKVINHPFDPEEMN	148
SHMT_{St}	TSGTIANAAVFRLANPGEKALIAPVQAGAHVSHT-----KFGTLGALGIEHIELPYDADKMN	150
*** * . : : * . * : * : * : : * . : : . : :		
SHMT_{Bst}	IDYDDVREKARLHRPKLIVAAASAYPRIIDFAKFREIADEVGAYLMVDMahiAGLVAAGLHPN	212
SHMT_{Bsb}	IDYDDVREKALAHKPKLIVAGASAYPRTIDFKKFREIADEVGAYFMVDMahiAGLVAAGLHPN	212
SHMT_{sth}	LDYDAILAQAKEVRPKLIVAGASAYSRIIDFAKFREIADAVGAYLMVDMahiAGLVAAGHHPs 216	
SHMT_{Eco}	IDYADLEKQAKEHKPCKMIIGGFSAYSGVVDWAKMREIADSIGAYLFVDMahiAGLVAAGVYPN	217
MSHMT_{Ab}	IDYDEMERIAEVRPTLLITGGSAYPRELDFERMGKIAKKVGAFLVDMahiAGLVAAGGAHPs	221
MSHMT_{Pc}	INYDEMERIAEVEVKPKLLITGGSAYPRELDFARMAQIAKKVGAFFMVDMAhiAGLVAAGGAHPs	221
MSHMT_{Ef}	IDLDEMERLAEIRPKLLITGGSAYPRELDFERMSRIAKKVGAYFLVDMahiAGLVAAGVHPs	221
SHMT_{Oac}	INYDQLEENARLFPRLLIAGTSCYSRNLDYARLRKIADDNGAYLMADMAHiSGLVAAGVVPS	243
SHMT_{Occ}	IDYDRLEENARLFPKLLIAGTSCYSRNLDYGRRLRKIADENGAYLMADMAHiSGLVVAGVVPS	243
SHMT_{Ocm}	IDYEQLALTARLFRPRLLIAGTSAYARLIDYARMREVCDVKAHLLADMAHiSGLVAAKVIPS	237
SHMT_{Hsm}	IDYNQALTARLFRPRLLIAGTSAYARLIDYARMREVCDVKAHLLADMAHiSGLVAAKVIPS	252
SHMT_{Pf}	VDMESVRNLALSFQPKVIICGTSYPRIDYKGFEICDEVNAYLFADISHISSFVACNLLNN	223
SHMT_{Mj}	IDADAMVKKILEEKPKLILFGGSLFPFPHPVADAYEAAQEVGAKIAYDGAHVLGLIAGKQFQD	211
SHMT_{St}	VDVDKAIKMIEQIKPKFIVMGGSLYLFPHPVKELAPHAHAVGAKVYDAAHVYGLITGKAWHN	213
: * . : . : .. * . * : * : . : . * .		

H229

SHMT_{Bst}	PVPY-AHFVTTTT HKT LRGPRGGMILCQ-----EQFAKQIDKAIFPGIQQGPL	259
SHMT_{Bsb}	PVPY-ADFVTTTT HKT LRGPRGGMILCR-----EEFGKKIDKSIFPGIQQGPL	259
SHMT_{sth}	PVPY-AHVTTTTHKTLRGPRGGILTD-----EDIAKKLNSAVFPGLQQGPL 264	
SHMT_{Eco}	PVPH-AHVTTTT HKT LAGPRGGLILAKGGS-----EELYKKLNSAVFPGLQQGPL	267
MSHMT_{Ab}	PFPH-ADIVTCTT T KTLRGPRGGILTN-----EAWFKKLQSAVFPGVQGSLH	269
MSHMT_{Pc}	PFPH-ADIVTCTT T KTLRGPRGGILTN-----EEWYKKLQTAVFPGVQGSLH	269
MSHMT_{Ef}	PFPH-ADIVTCTT T KTLRGPRGGILTN-----EEWYKKLQAAVFPGVQGSLH	269
SHMT_{Oac}	PFEH-CHVVSTTT HKT LRGCRAGMIFYRKGVRSVPKTGKETRYNLESLINSAVFPGLQQGPL	305
SHMT_{Occ}	PFEH-CHVVSTTT HKT LRGCRAGMIFYRRGVRSVPKTGKEILYNLESLINSAVFPGLQQGPL	305
SHMT_{Ocm}	PFKH-ADVVTTTT HKT LRGARSGLIFYRKGVRTVPKTGQEIPYTFEDRINFAVFPLSLQGGPH	299
SHMT_{Hsm}	PFKH-ADIVTTTT HKT LRGARSGLIFYRKGVKAVDPKTGREIIPYTFEDRINFAVFPLSLQGGPH	314
SHMT_{Pf}	PFTY-ADVVTTTT HKT LRGPRSALIFFNK--KRNP-----GIDQKINSSVFPFSQGGPH	274
SHMT_{Mj}	PLREGAEYLMGST HKT FFGPQGGVILTT-----KENADKIDSHVFPGVVSNHH	259
SHMT_{St}	PLEEGADIMTSST HKT FPGPQGGAVFSNE-----EEIFKKVADTIFPWFSNHH	262
. . : * * : * : . : . * : * : .		

SHMT_{Bst}	MHVIAAKAVAFGEALQDDFKAYAKRVVDNAKRLASALQNE-GFTLVSGG---TDNHLLVDLR	318
SHMT_{Bsb}	MHVIAAKAVSFGEVLQDDFKTYAQNVISNAKRLAEALTKE-GIQLVSGG---TDNLILVDLR	318
SHMT_{sth}	EHVIAAKAVALKEALDPAFKEYGENVIKNAAAMADVNFNQHPDFRVISGG---TNNHFLVDVT 323	
SHMT_{Eco}	MHVIAGKAVALKEAMEPEFKTYQQVAKNAKAMVEVFLER-GYKVVSGG---TDNLFLVDLV	326
MSHMT_{Ab}	SNVLAAKAVCLGEALRPDFKVYAAQVKANARVLAETLIAR-GVRIVSGG---TDTHIVLVDLS	328
MSHMT_{Pc}	SNVLAAKAICLGEALRPEFRDYVAQVVNAKVLAEITLSR-GIRIVSGG---TDTHIVLLDLS	328
MSHMT_{Ef}	SNVLAAKAICLGEAMLDFFKVYARQVANAKVLANTLAER-GVRIVSGG---TDTHIVLLDLA	328
SHMT_{Oac}	NHAIAGVAVALKQAMTPEFRAYQRQVVANCRALAEALMGL-GYRVVTGG---SDNHLILVDLR	364
SHMT_{Occ}	NHAIAGVAVALKQAMTPEFKEYQRQVVANCRALSAALVEL-GYKIVTGG---SDNHLILVDLR	364
SHMT_{Ocm}	NHAIAAVAVALKQACTPMFREYSLQVLKNARAMADALLER-GYSLVSGG---TDNHLVLVDLR	358
SHMT_{Hsm}	NHAIAAVAVALKQACTPMFREYSLQVLKNARAMADALLER-GYSLVSGG---TDNHLVLVDLR	373
SHMT_{Pf}	NNKIAAVACQLKEVNTPFFKEYTKQVLLNSKALAECLLKR-NLDLVTNG---TDNHLIVVDLR	333
SHMT_{Mj}	LHHKAGLAIALAEMLEFG-EAYAKQVIKNAKALAQALYER-GFNVLCHEKDFTESHQVIIDIE	320
SHMT_{St}	LHRLPATAVTALEMKYFG-EDYAKQITKNAKAFEAALAAE-GFKVIGEHLGYTQSHQVLDVR	323
	: . * : . * : . : * . : : : : : : * . : * :	
SHMT_{Bst}	PQQ---LTGKTAEKVLDEVGITVNKNTPYDPESPFT-SGIRIGTAATTTRGFGLEEMDEIA	377
SHMT_{Bsb}	SLG---LTGVAEHLDEIGITSNKNAIPYDPEKPFV-SGIRLGTAATSRGFDGDALEEVG	377
SHMT_{sth}	KVV---ENGKVAQNVLEEVNITLNKNSIPYEQLSPFKT-SGIRVGSPAITSRGMGEAESRQIA 383	
SHMT_{Eco}	DKN---LTGKEADAALGRANITVNKNVPNDPKSPFV-SGIRVGTPAITRRGFKEAEAKELA	385
MSHMT_{Ab}	SKG---LNGKQAEDLLARANITANKNPIPNDSPRPAEW-VGMRLGVSAATTRGMKEDEFRTLG	387
MSHMT_{Pc}	SKG---LNGKQAEDALARANITSNKNPIPNDSPRPAEW-VGMRLGVSAATTRGMKEDEFRKLG	387
MSHMT_{Ef}	SKG---LLGKQAETLLAKANITSNKNPIPNDSPRPAEW-VGMRLGSSAATTRGLKEAEFRVLG	387
SHMT_{Oac}	SKG---TDGGRAEKVLEACSIACNKNTCPGD-KSALRP-SGLRLGTPALTSGRLLEDFRKVA	422
SHMT_{Occ}	SKG---TDGGRAEKVLEACSIACNKNTCPGD-KSALRP-SGLRLGTPALTSGRLLEDFRKVA	422
SHMT_{Ocm}	PKG---LDGARAERVLEVSITANKNTCPGD-RSAITP-GGLRLGAPALTTSRQFREDDFRRVV	416
SHMT_{Hsm}	PKG---LDGARAERVLEVSITANKNTCPGD-RSAITP-GGLRLGAPALTTSRQFREDDFRRVV	431
SHMT_{Pf}	KYN---ITGSKLQETCNAINALNKNTIPSD-VDCVSP-SGIRIGTPALTTRGCKEKMDFIA	348
SHMT_{Mj}	SSPDIEFSASELAKMYEEANIILNKNLLPWDDVNNSDNPSGIRLGTQECTRLGMKEKEMEEIA	383
SHMT_{St}	NLG---GGAKIAKLFEDANIITNKNLLPYDPPSAVKDPSGIRLGVQEMTRFGMKEEEMREIA	382
	. * *** * : * : * : * : * : * :	
SHMT_{Bst}	AIIGLVL-----KNVGS---EQALEEARQRVAALTDPTRSAAGTME	416
SHMT_{Bsb}	AIIALAL-----KNHED---EGKLEEARQRVAALTDKFP-LYKELD	414
SHMT_{sth}	EWMEAL-----ENHDK---PEVLERIRGDVKVLTDAFP--LY--- 416	
SHMT_{Eco}	GWMCDVL-----DSIND---EAVIERIKGVLDICARYP--VY----	419
MSHMT_{Ab}	TVIADLI-----EAEAAGNADGVVEGAKAKVATLTAAP--VYAH--	425
MSHMT_{Pc}	NVVADLL-----EAEASGNPEAAEKAKTVRELTEAFP--VYAH--	425
MSHMT_{Ef}	TVIADLI-----DAEVAGKADDVVEGAKAKIAELNTFP--VYGQ--	425
SHMT_{Oac}	HFIHRGIELTLQIQDAVGVKATLKEFMEKLAGAEEHQRAVTALRAEVESFATLFP--LPGLPG	483
SHMT_{Occ}	HFIHRGIELTVQIQDDTGPRATLKEFKEKLAGDEKHQRAVRALRQEVEFAALFP--LPGLPG	483
SHMT_{Ocm}	DFIDEGVNIGLEVKRKT---AKLQDFKSFLKDSETSQRNLRLQRVEQFARAFP--MPGFPE	474
SHMT_{Hsm}	DFIDEGVNIGLEVKSCT---AKLQDFKSFLKDSETSQRNLRLQRVEQFARAFP--MPGFDE	489
SHMT_{Pf}	DMLLKAILLTDELQQKYG--KKLVDFKKGLVNNP---KIDELKKEVWQAKNLP--FA---	442
SHMT_{Mj}	EFMKRIA-----IDKEKPEKVREDVKEFAKEYSTIHYSFDEG---DG	424
SHMT_{St}	KLMREVA-----IDGKDPNEVKKVIEFRKNYLEVKYTFSDLSKYSN	425
	:	

SHMT_{Bst}	FEA-----	419
SHMT_{Bsb}	Y-----	415
SHMT_{Sth}	-----	
SHMT_{Eco}	-----	419
MSHMT_{Ab}	-----	425
MSHMT_{Pc}	-----	425
MSHMT_{Ef}	-----	425
SHMT_{Oac}	F-----	484
SHMT_{Occ}	F-----	484
SHMT_{Ocm}	H-----	475
SHMT_{Hsm}	H-----	490
SHMT_{Pf}	-----	
SHMT_{Mj}	FKYLRFY-	429
SHMT_{St}	GKMLPLLI	433

Figura2S(3.1) Representación del posible mecanismo de “desactivación” de la SHMT causado por D,L-Cys.

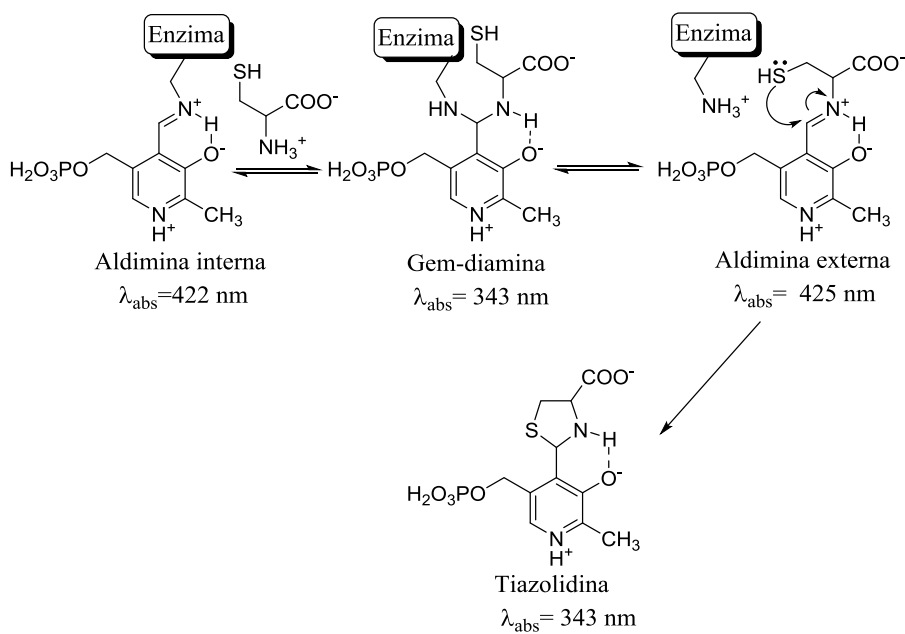


Figura3S(3.1) Variación del espectro de absorción de la SHMT_{Sth} nativa y las variantes Y55T, Y55S y Y55C). Enzima (6 mg mL⁻¹) en 0,1 M tampón fosfato, pH 8,0 , Gly (0,4 M) o D,L-Cys (0,4 M) a 25°C. Curva 1 (verde) espectro de absorción de la SHMT_{Sth} sin aminoácidos; curva 2 (negro) con Gly; curva 3 (rojo) con D,L-Cys. La absorbancia fue medida inmediatamente después de añadir el aminoácido en cubetas de paso óptico de 1 cm. A: SHMT_{Sth} nativa; B: SHMT_{Sth} Y55S; C: SHMT_{Sth} Y55C; D: SHMT_{Sth} Y55T.

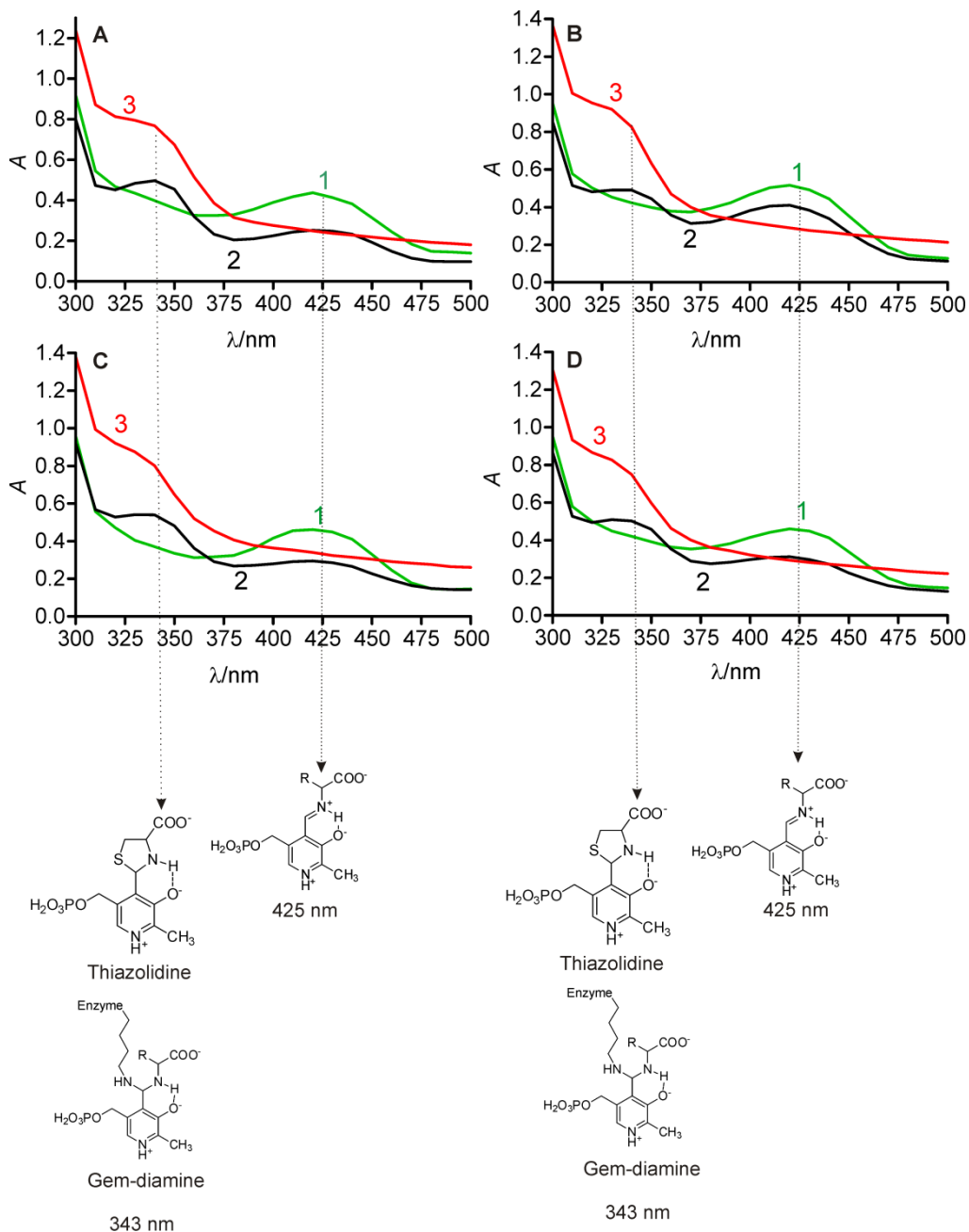


Figura4S(3.1) Resultados de la secuenciación del producto de la mutación por saturación de sitio en el codón 55 de la SHMT_{Sth} nativa. El cromatograma de la secuenciación es representado utilizando el programa Chromas versión 2.01.

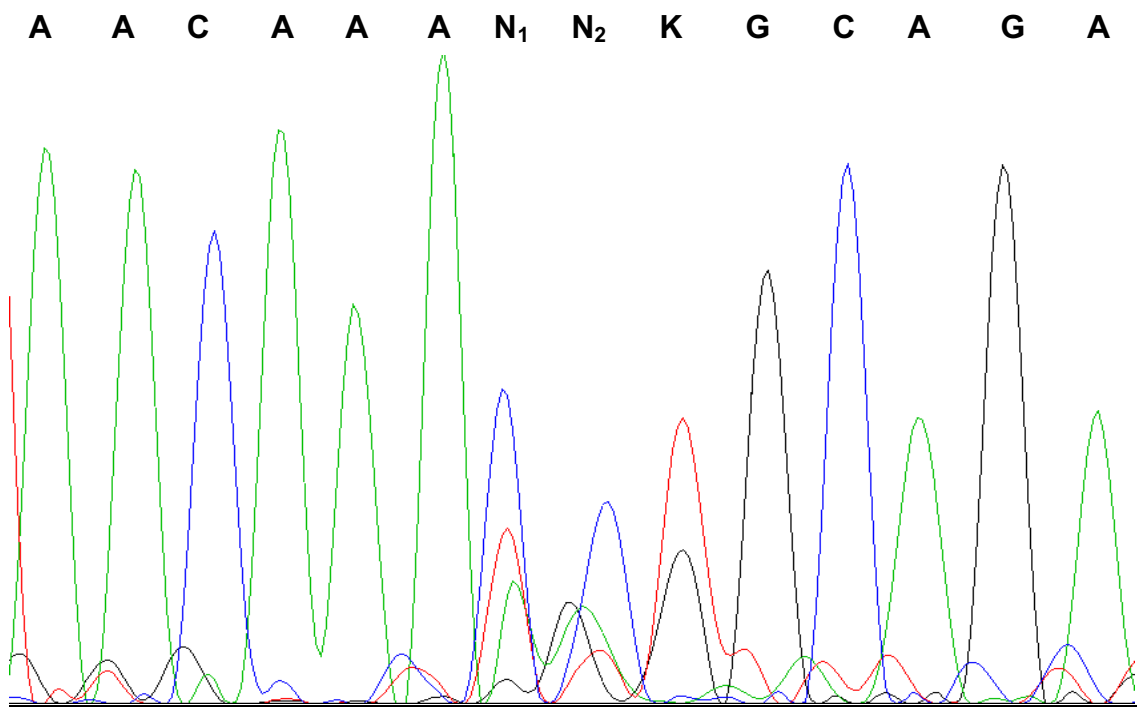
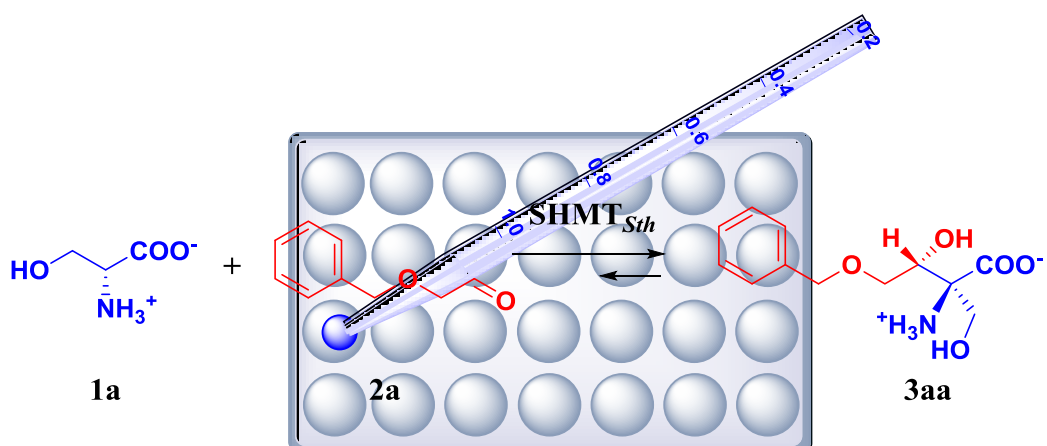
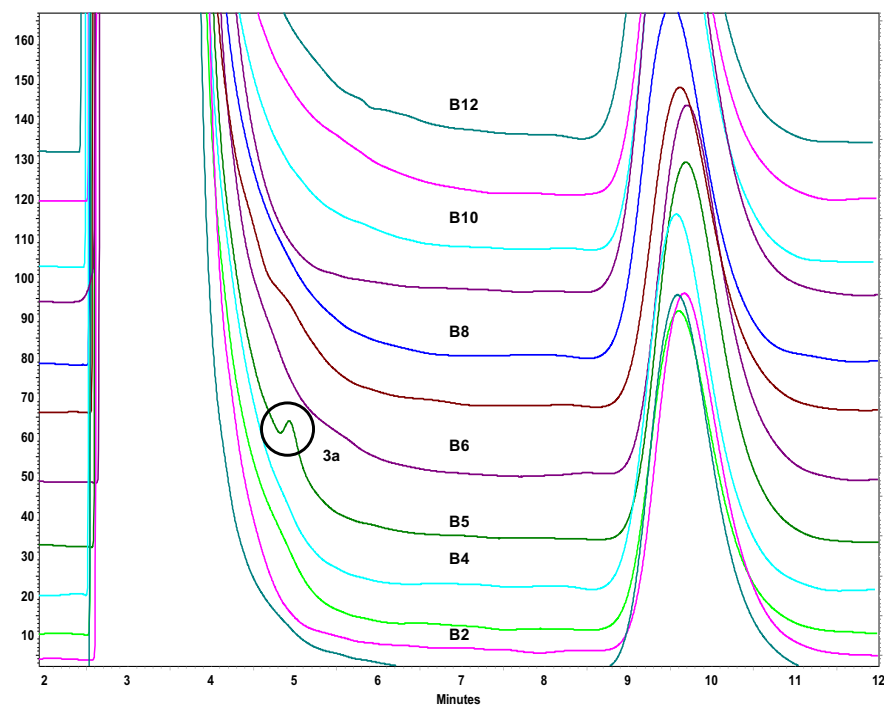
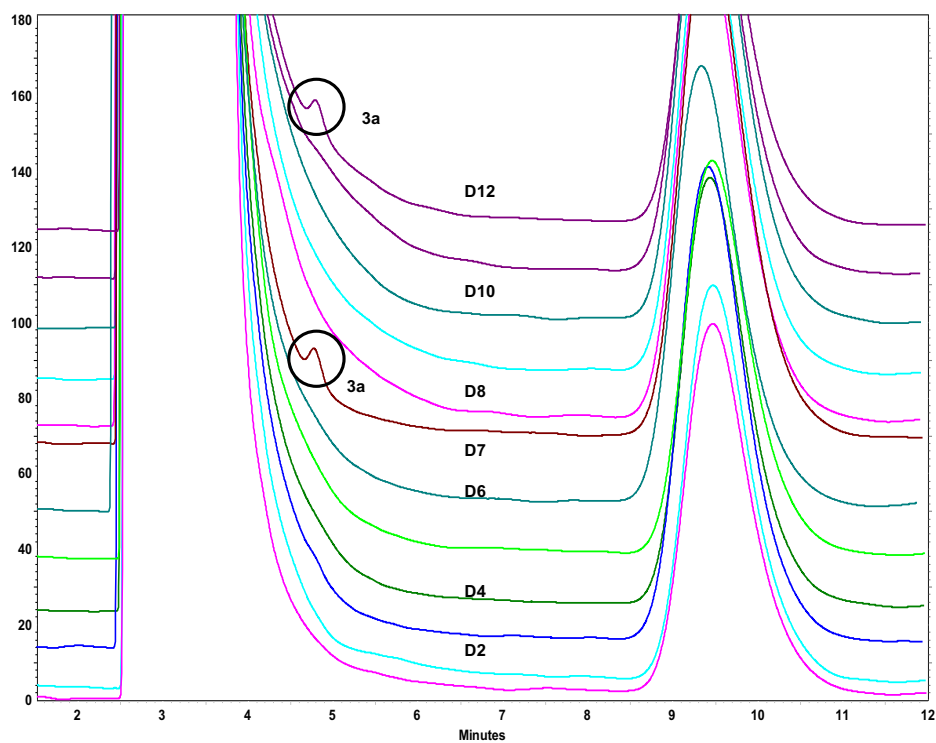
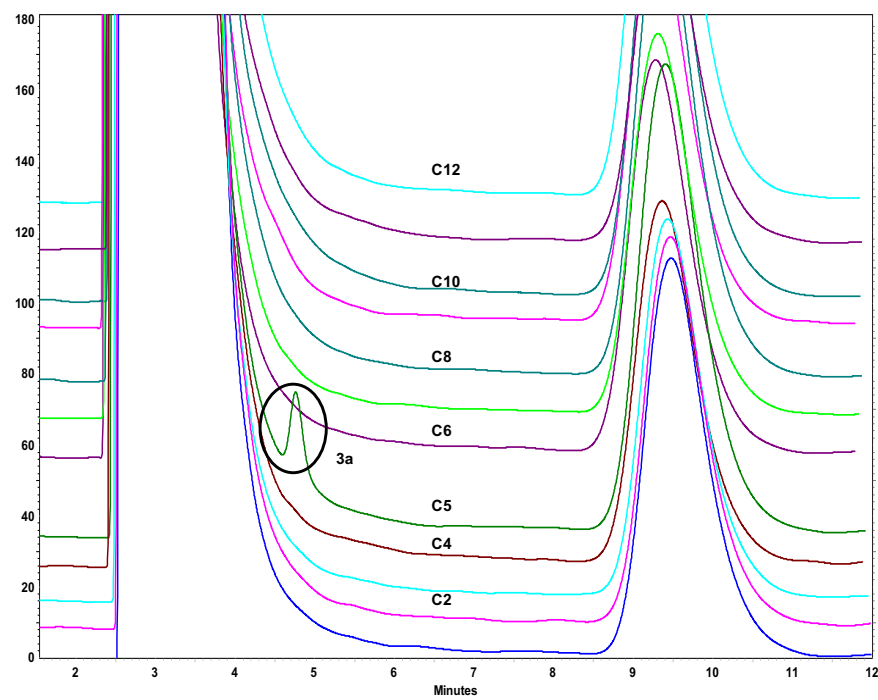


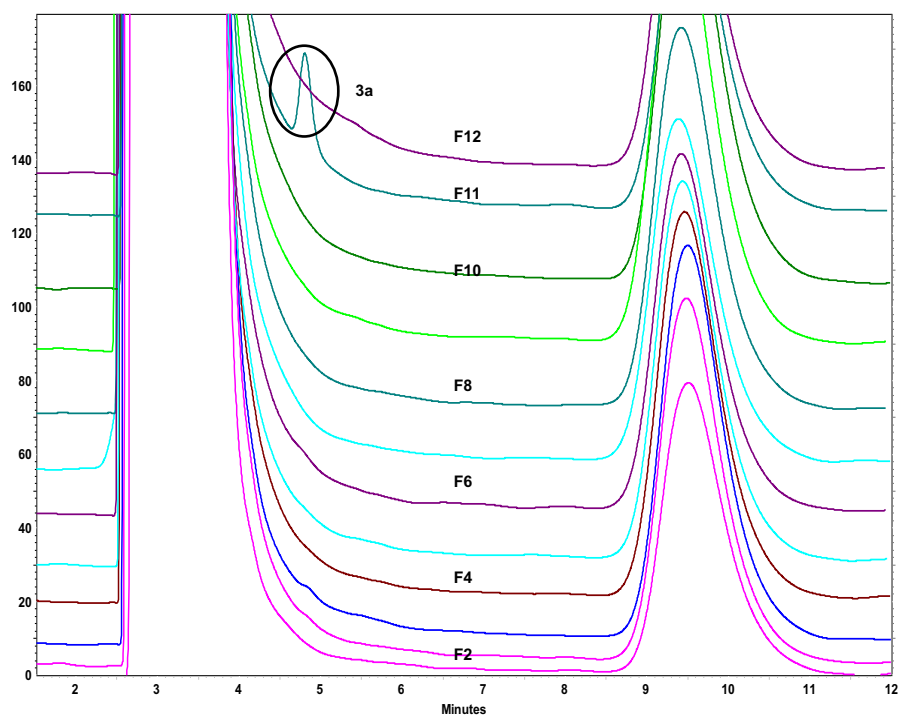
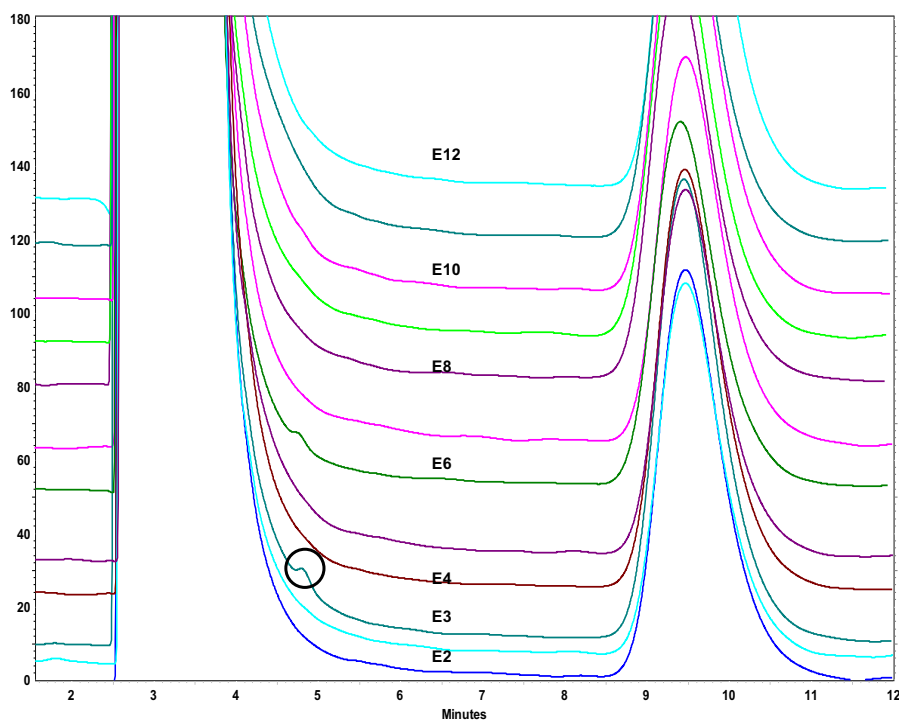
Figura5S(3.1) Análisis de la librería de mutantes de la SHMT_{Sth} Y55X. La reacción entre D-Ser (**1a**) y el (benciloxi)acetaldehído (**2a**) se siguió por HPLC.



	1	2	3	4	5	6	7	8	9	10	11	12
A	-	-	-	-	-	-	-	-	-	-	-	-
B	-	-	-	-	Y55T	-	-	-	-	-	-	-
C	-	-	-	-	Y55T	-	-	-	-	-	-	-
D	-	-	-	-	-	-	Y55C	-	-	-	-	Y55T
E	-	-	Y55S	-	-	-	-	-	-	-	-	-
F	-	-	-	-	-	-	-	-	-	Y55C	-	-
G	-	-	-	-	-	-	-	-	-	-	-	-
H	-	-	-	-	-	-	-	Y55G	-	-	Y55T	Y55T







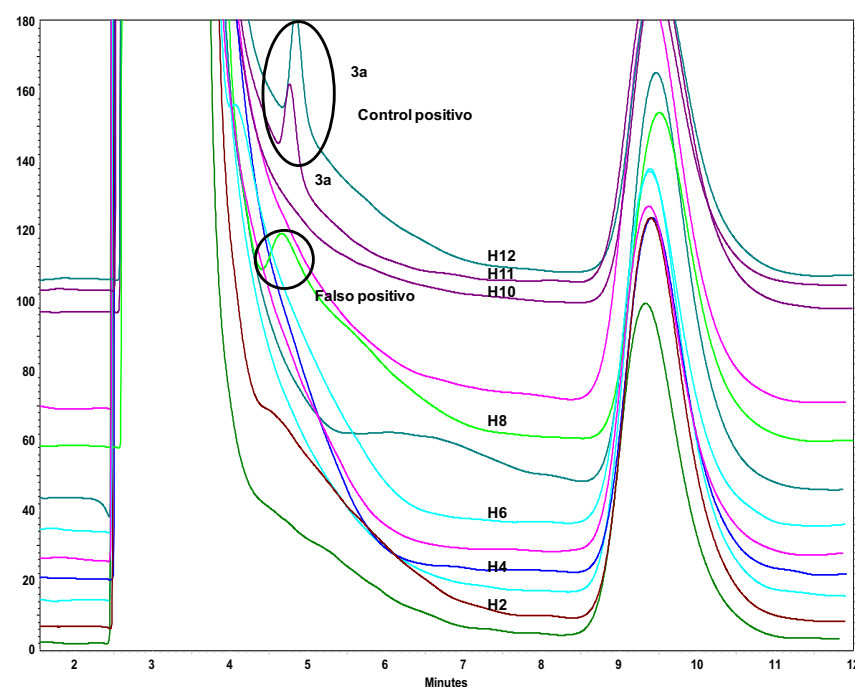


Tabla1S(3.1). Datos cuantitativos de la reacción a escala analítica de adición aldólica de D-Ser (**1a**) a diferentes aldehídos (**2a-p**), catalizado por la SHMT_{Sth} nativa y las variantes Y55T, Y55S y Y55C.

R¹	a	Producto formado (%) ^[a]			
		R²	Nativa	Y55T	Y55S
a	0		46	11	46
b	0		43	16	23
c	0		38	0	27
d	0		38	12	33
e	0		0	0	0
f	0		0	0	0
g	0		36	8	21
h	0		43	16	32
i	0		26	0	11
j	0		0	0	0
k	0		12	10	12
l	0		18	15	18
m	0		0	0	0
n	13		11	12	11
o	0		0	0	0
p	0		0	0	0

^[a]Determinado por HPLC después de 24 h.

Tabla2S(3.1). Datos cuantitativos de la reacción de adición aldólica a escala analítica de D-Ala (**1b**) a diferentes aldehídos (**2a-p**), catalizado por la SHMT_{Sth} nativa y las variantes Y55T, Y55S y Y55C.

R¹	R²	b		
		Nativa	Y55T	Y55S
	a	27	50	18
	b	27	11	6
	c	18	21	3
	d	28	36	12
	e	0	0	0
	f	0	0	0
	g	12	25	6
	h	16	33	12
	i	18	18	6
	j	21	9	22
	k	23	24	21
	l	90	41	40
	m	85	43	27
	n	62	20	59
	o	0	0	0
	p	0	0	0

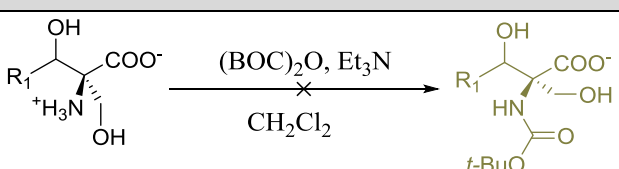
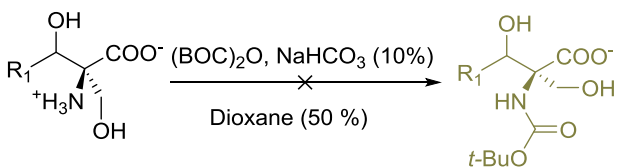
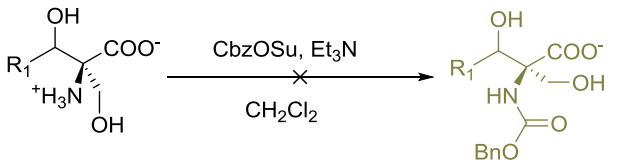
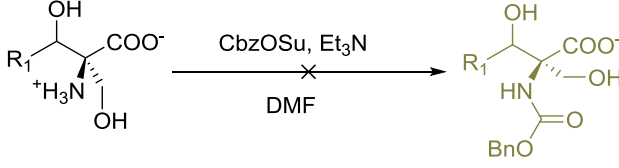
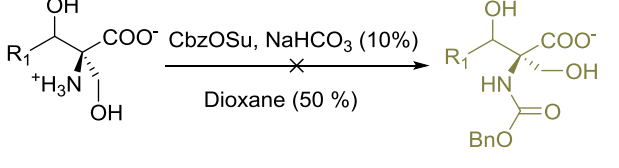
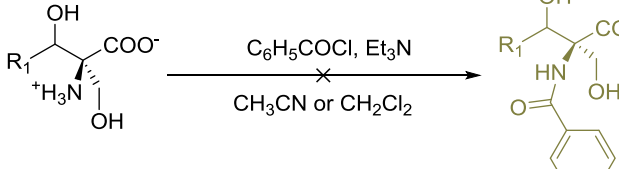
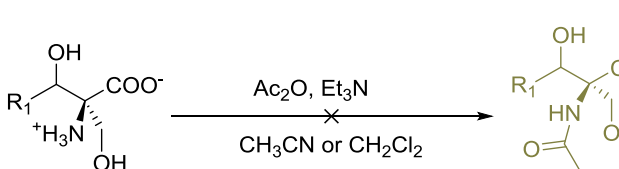
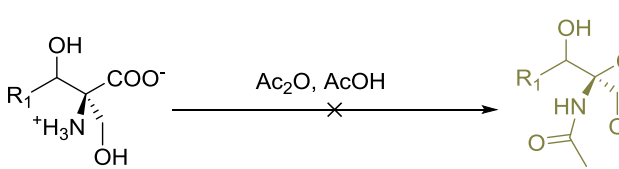
[a] Determinado por HPLC después de 24 h.

Tabla3S(3.1). Datos cuantitativos de la reacción de adición aldólica a escala analítica de GLY (**1c**) a diferentes aldehídos (**2a-p**), catalizado por la SHMT_{Sth} nativa y las variantes Y55T, Y55S y Y55C.

R¹	R²	c		
		Nativa	Y55T	Y55S
	a	89	21	10
	b	25	30	19
	c	41	6	0
	d	4	11	9
	e	42	0	0
	f	24	0	19
	g	9	14	9
	h	50	35	26
	i	98	6	22
	j	25	20	21
	k	27	31	37
	l	63	38	81
	m	81	5	36
	n	39	47	23
	o	0	0	0
	p	0	0	0

[a] Determinado por HPLC después de 24 h.

Tabla4S(3.1) Reacciones ensayadas para modificar los productos **3a** sintetizados por la adición aldólica de D-Ser a diferentes aldehídos catalizado por SHMT_{Sth} Y55T.

Reacciones	Condiciones	Comentarios
	Aminoácido, 1 eq (20 mg). (BOC) ₂ , 2 eq. Et ₃ N, 4 eq. CH ₂ Cl ₂ , 5 mL. 25°C, 12h.	No hay reacción o descomposición del aminoácido.
	Aminoácido, 1 eq (20 mg). (BOC) ₂ , 5 eq. Dioxano/ NaHCO ₃ 10% (1:1, v/v), 5 mL. 25°C, 12h.	No hay reacción o descomposición del aminoácido. Hidrólisis del (BOC) ₂ O.
	Aminoácido, 1 eq (20 mg). CbzOSu, 2 eq. Et ₃ N, 4 eq. CH ₂ Cl ₂ , 5 mL. 25°C, 12h.	No hay reacción o descomposición del aminoácido.
	Aminoácido, 1 eq (20 mg). CbzOSu, 2 eq. Et ₃ N, 4 eq. DMF, 5 mL. 25°C, 12h.	No hay reacción o descomposición del aminoácido.
	Aminoácido, 1 eq (20 mg). CbzOSu, 5 eq. Dioxano/ NaHCO ₃ 10% (1:1, v/v), 5 mL. 25°C, 12h.	No hay reacción o descomposición del aminoácido. Hidrólisis del CbzOSu.
	Aminoácido, 1 eq (20 mg). Benzyl chloride, 2 eq. Et ₃ N, 4 eq. Solvent, 5 mL. 25°C, 2 h or 24 h.	No hay reacción o descomposición del aminoácido.
	Aminoácido, 1 eq (20 mg). Anhydride acetic, 2 eq. Et ₃ N, 4 eq. Solvent, 5 mL. 25°C, 2 h or 24 h.	No hay reacción o descomposición del aminoácido.
	Aminoácido, 1 eq (20 mg). Anhydride acetic, 2 eq. Acetic acid, 5 mL. 25°C, 2 h or 24 h.	No hay reacción o descomposición del aminoácido.

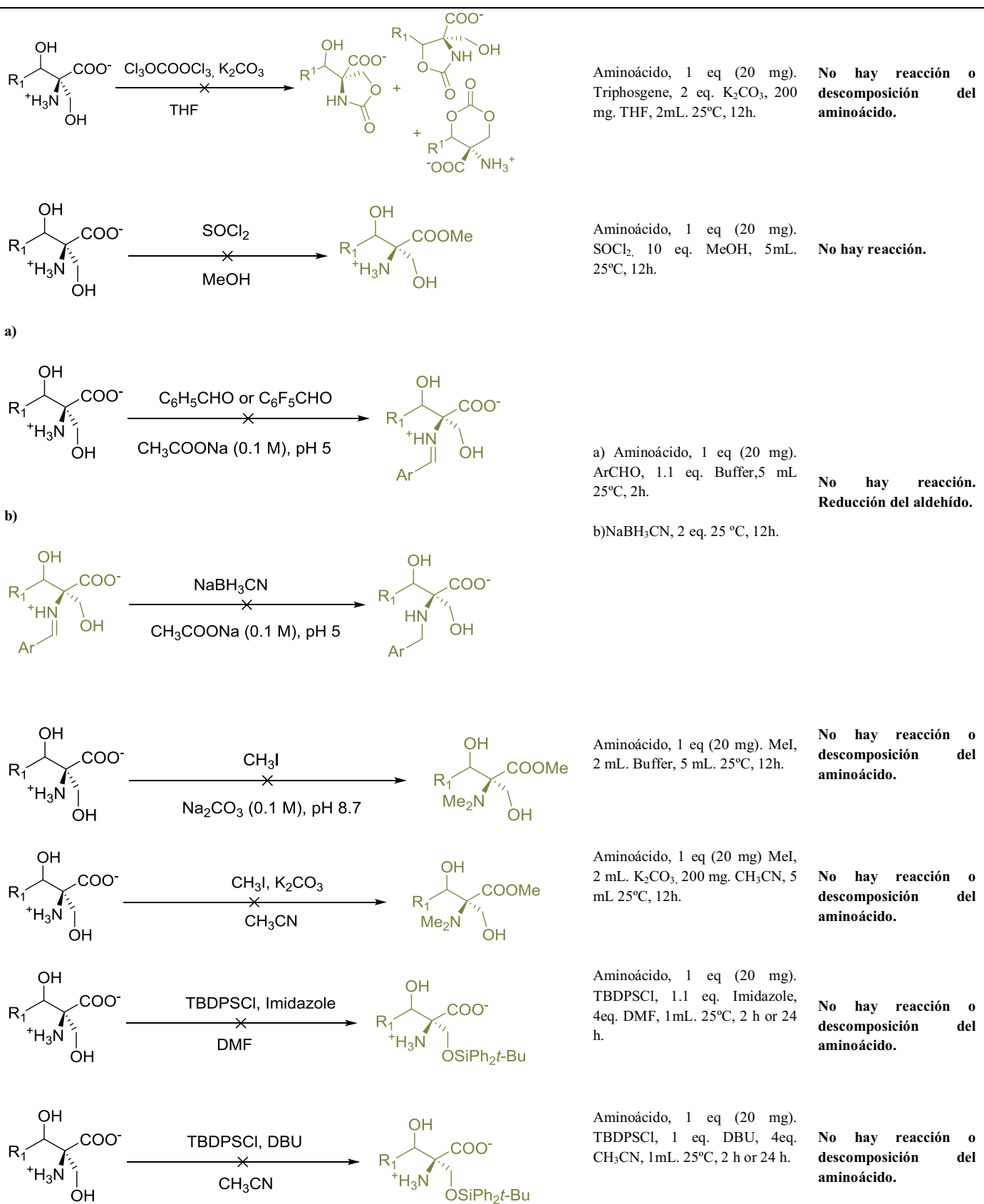
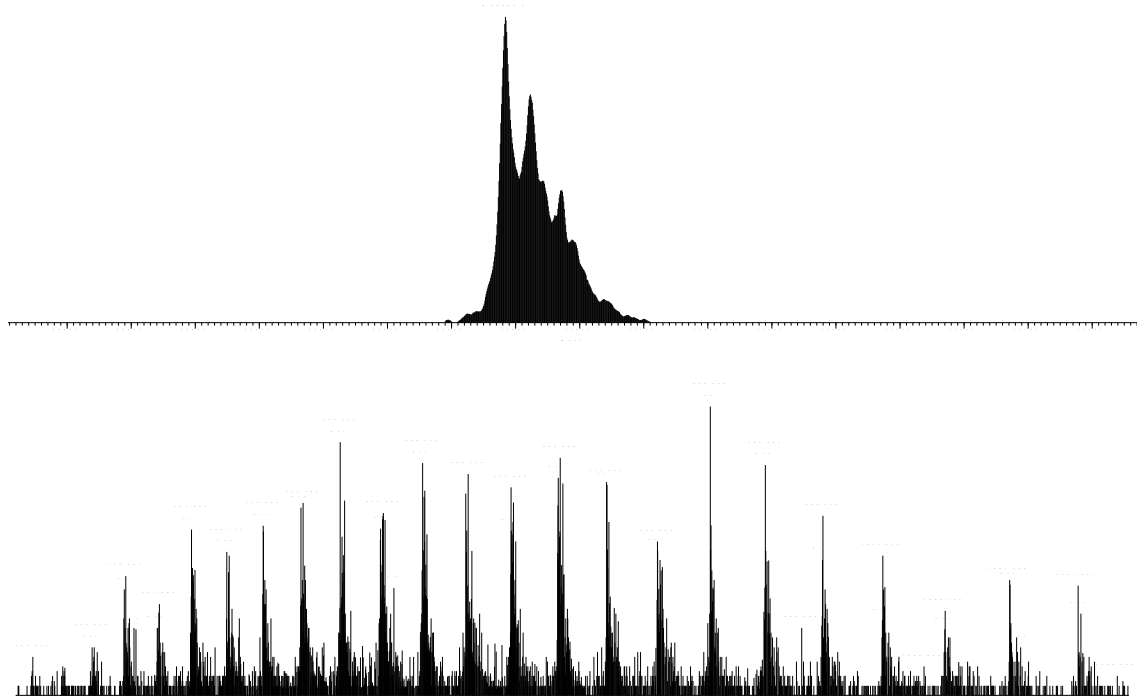
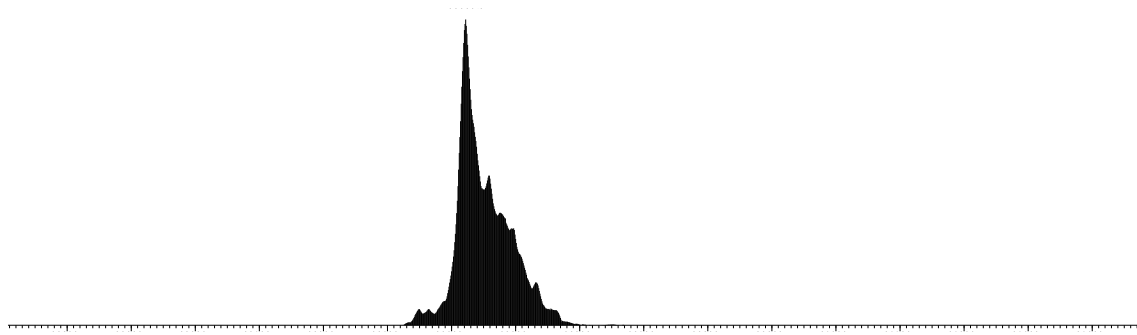
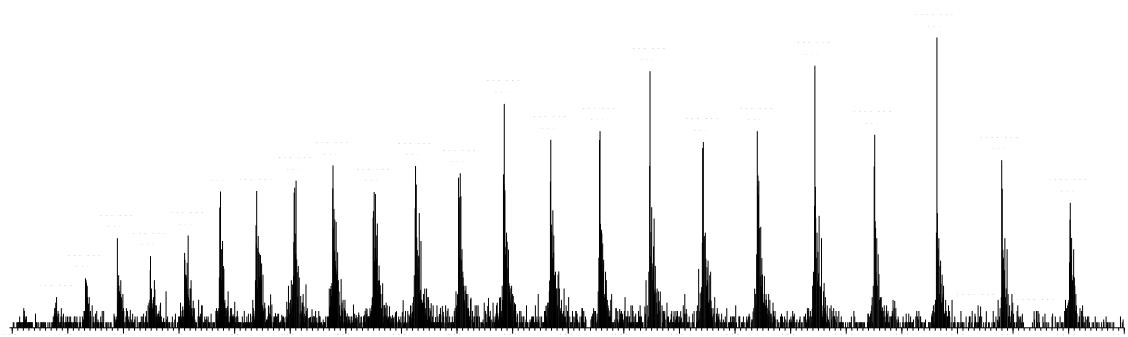


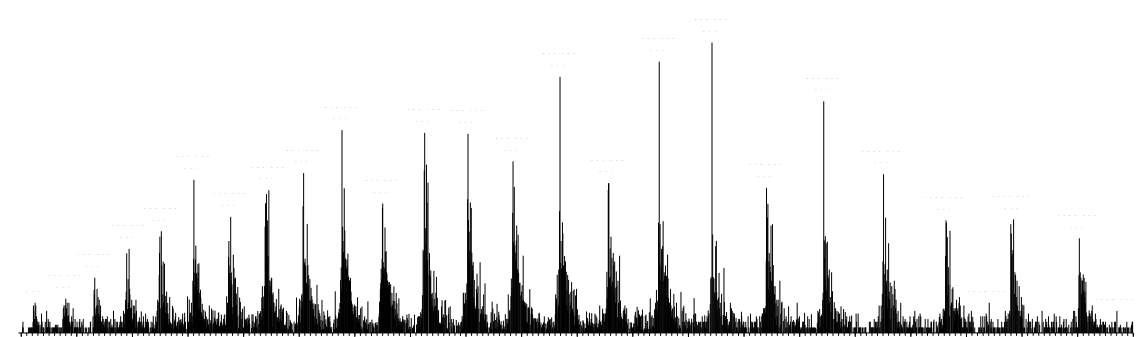
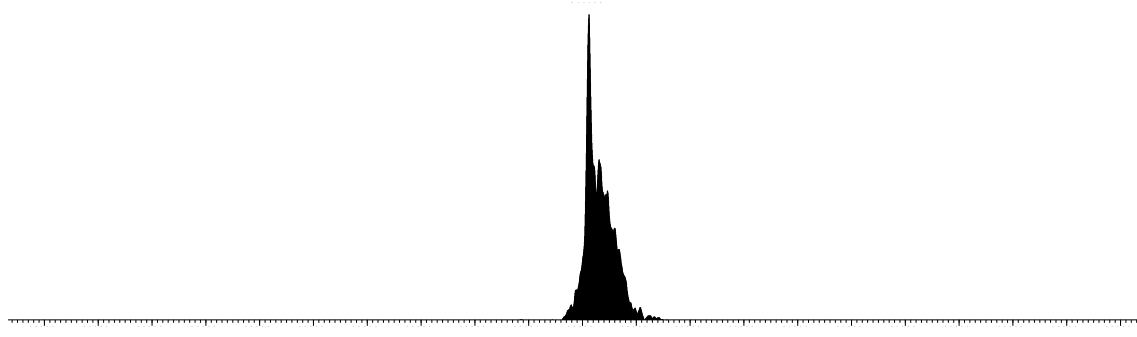
Tabla5S(3.1) Masa molecular de las variantes de la SHMT_{Sth}.

SHMT _{Sth}	Mw calculated/Da	Mw observed/Da	Error/Da
Nativa	46484.68	46484.0	0.7
Y55T	46422.60	46422.0	0.6
Y55C	46424.64	46424.0	0.6
Y55S	46408.58	46408.0	0.6

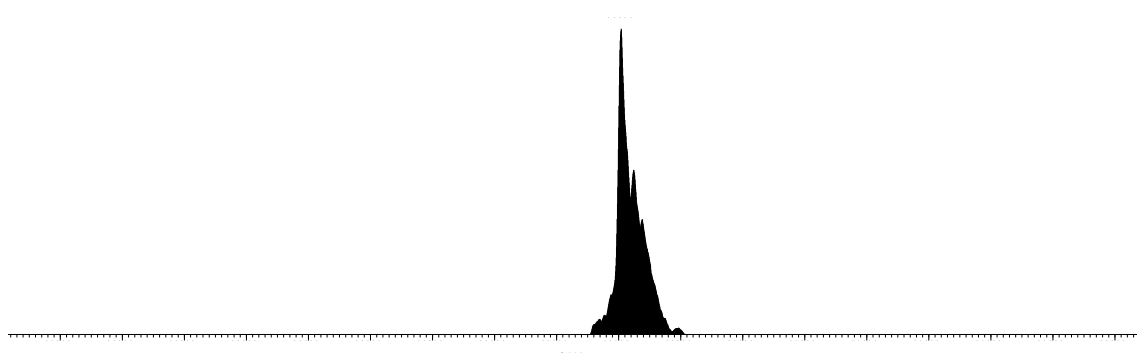
Figura6S(3.1) Espectros MS ESI/TOF y espectros deconvolucionados de las variantes de SHMT_{Sth}.a) SHMT_{Sth} nativab) SHMT_{Sth} Y55T



c) SHMT_{Sth} Y55C



d) SHMT_{Sth} Y55S



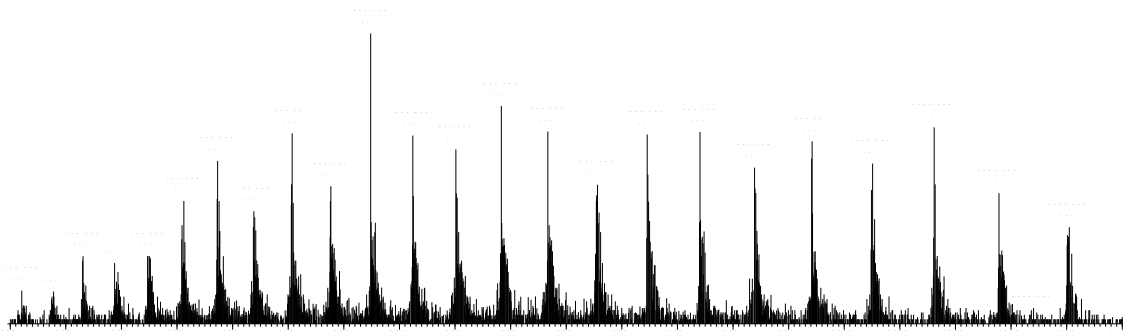
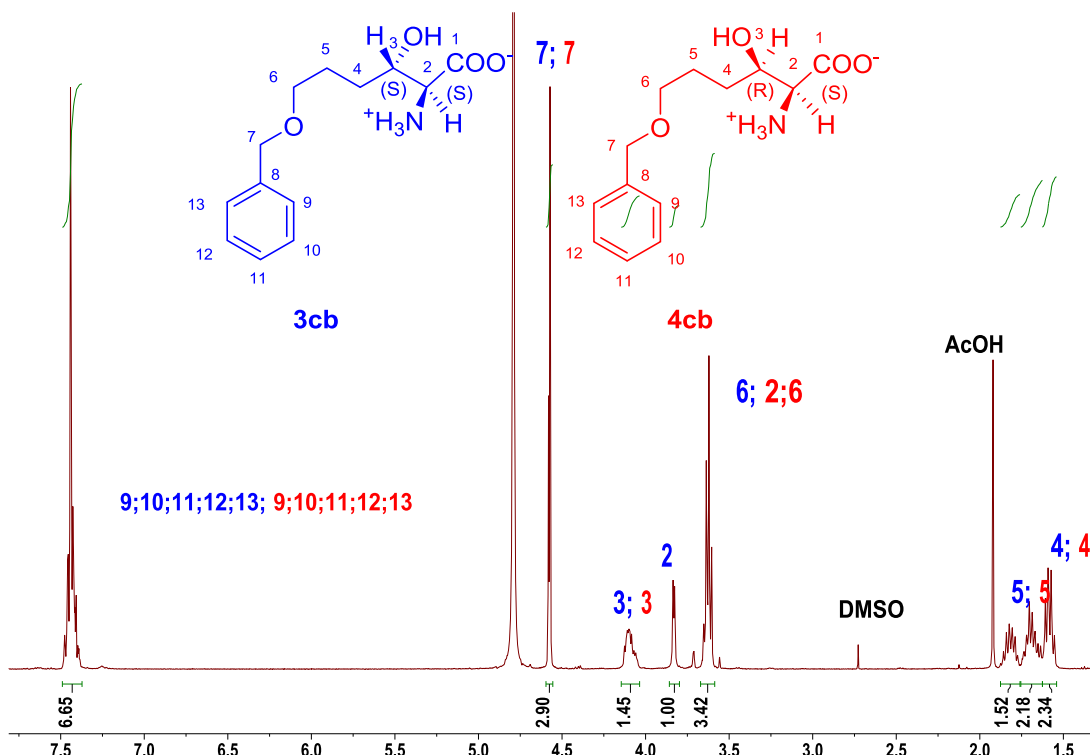
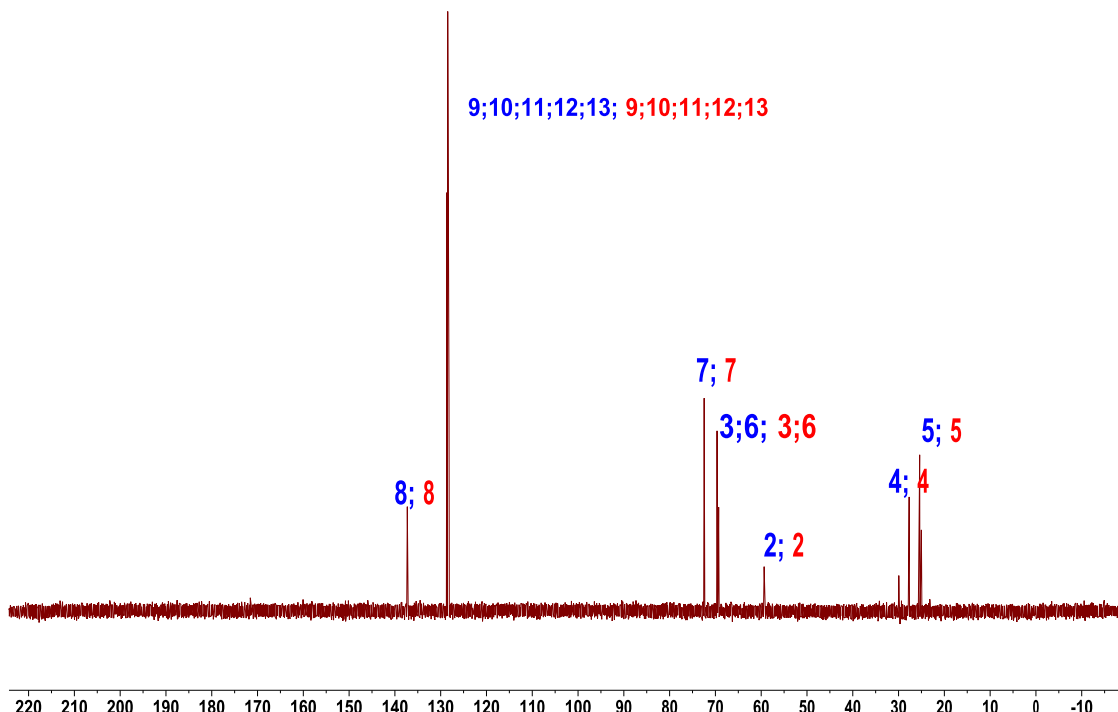


Figura 7S(3.1). Espectros de RMN (D_2O) de los productos **3cb** y **4cb** de la reacción aldólica catalizada por SHMT_{Sth} nativa: a) 1H ; b) ^{13}C ; c) 2D 1H - 1H COSY y d) HSQC.

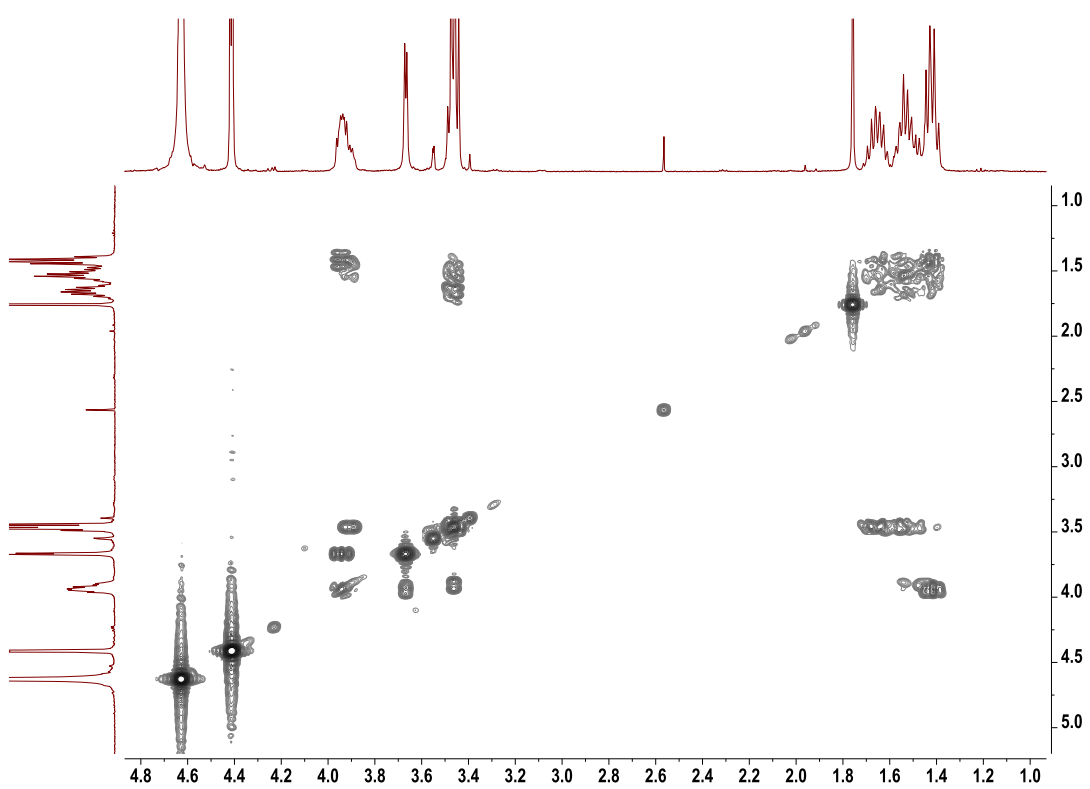
a)



b)



c)



d)

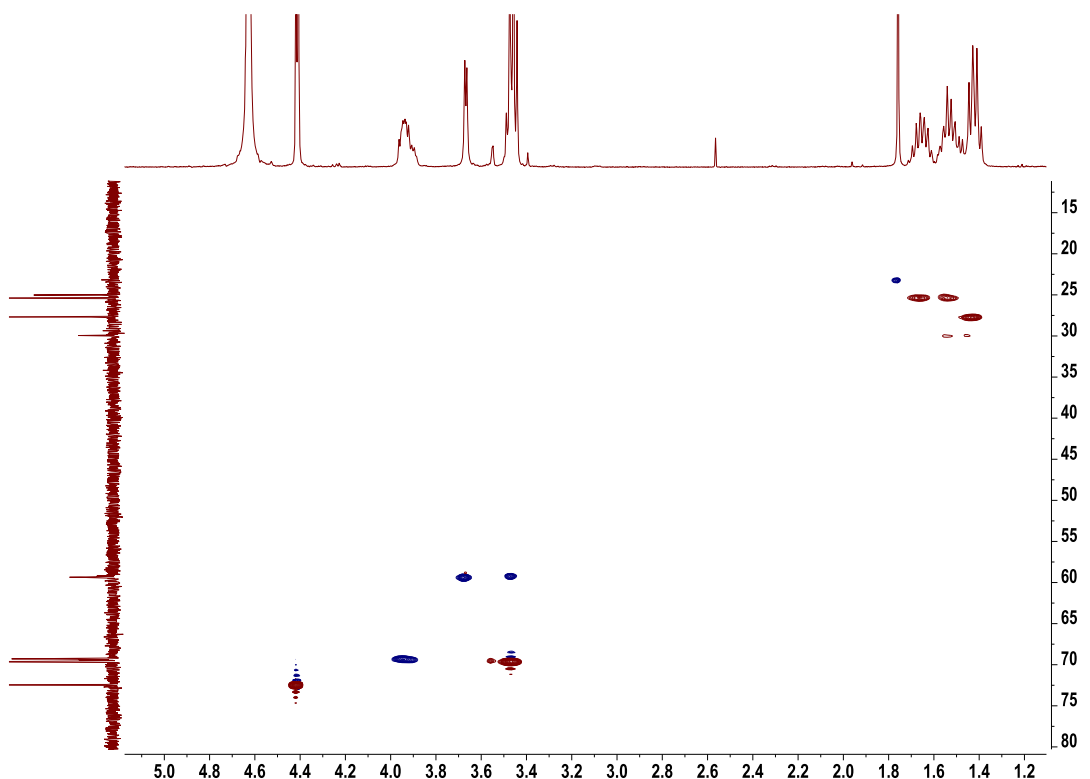
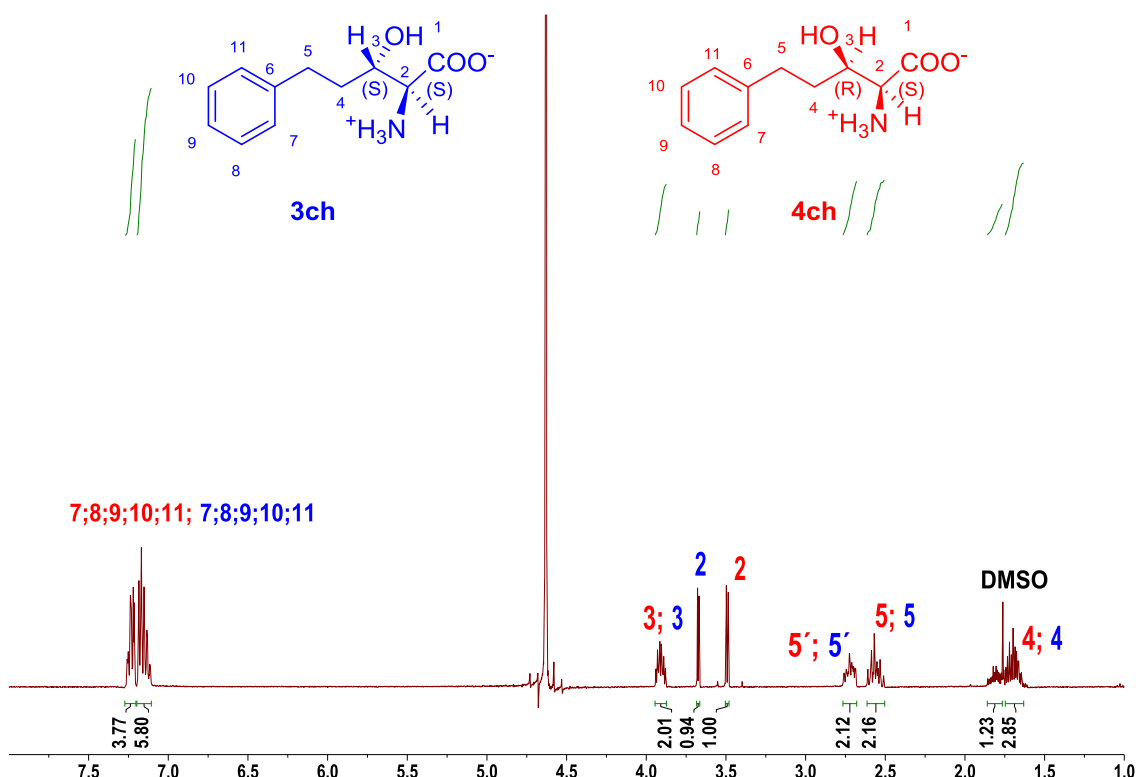
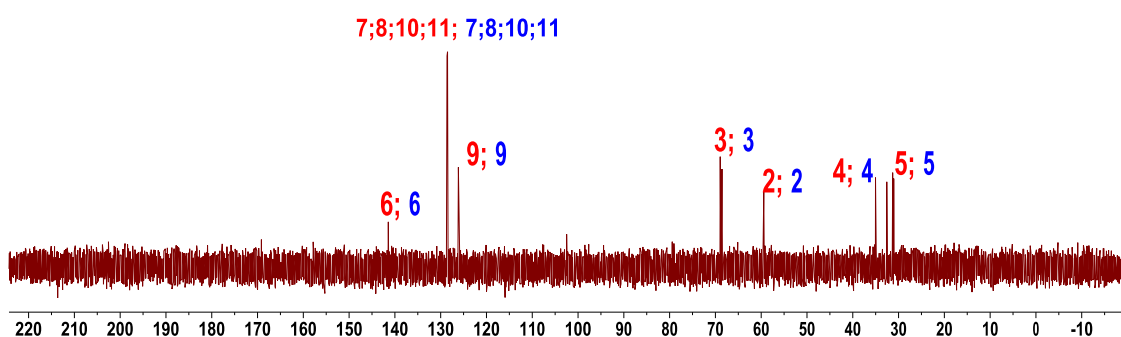


Figura8S(3.1). Espectros de RMN (D_2O) de los productos **3ch** y **4ch** de la reacción aldólica catalizada por SHMT_{Sth} nativa: a) 1H ; b) ^{13}C ; c) 2D 1H - 1H COSY y d) HSQC.

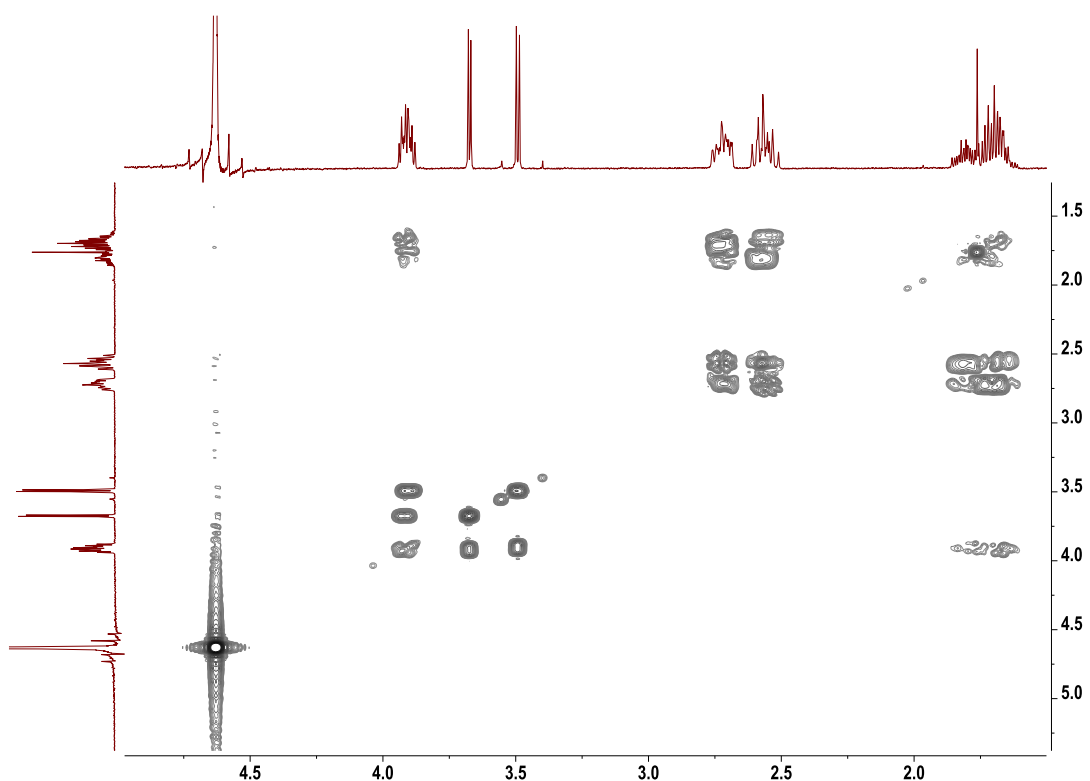
a)



b)



c)



d)

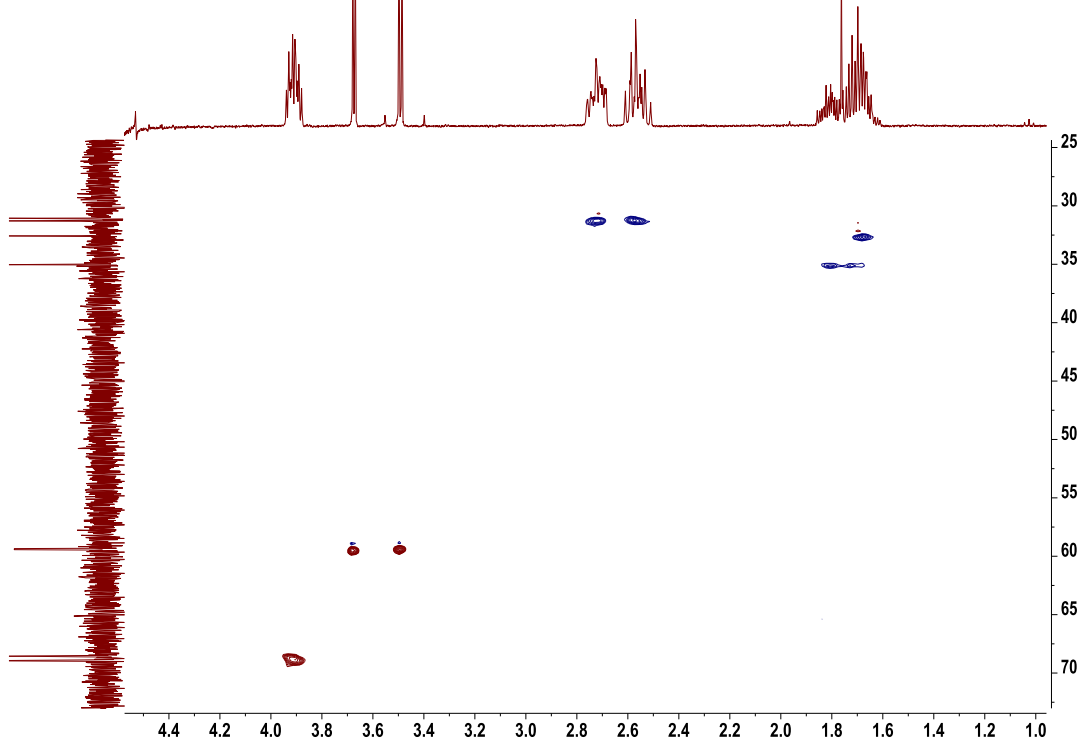
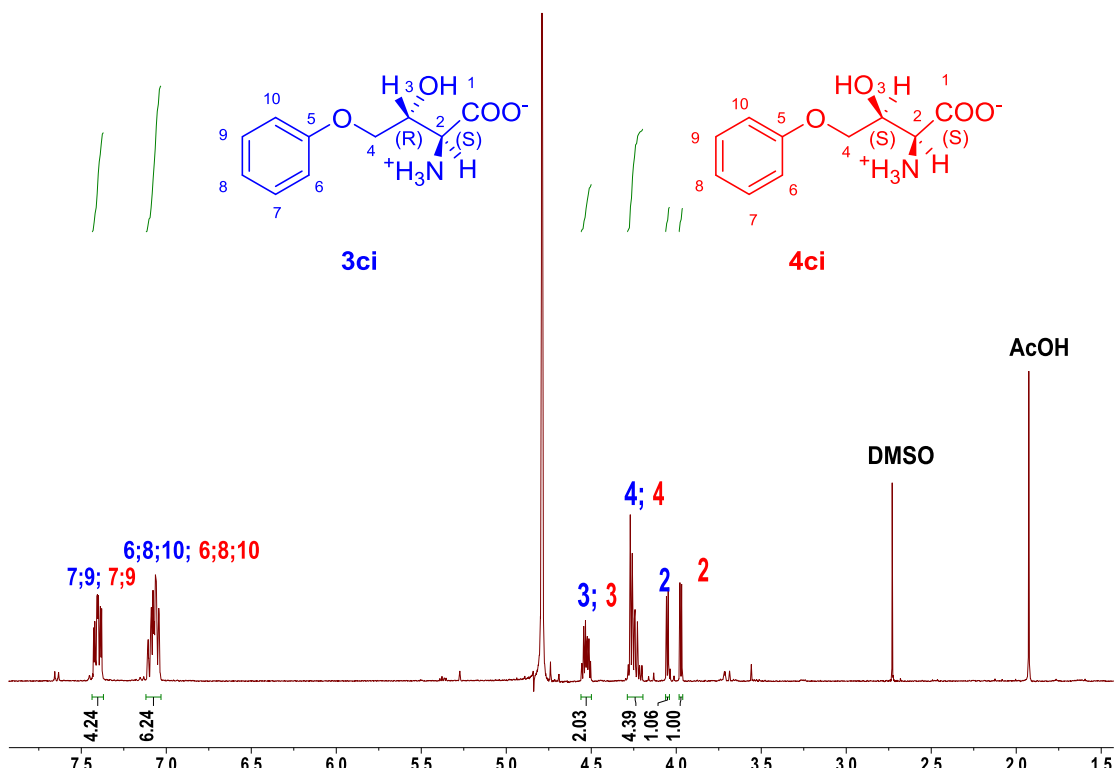
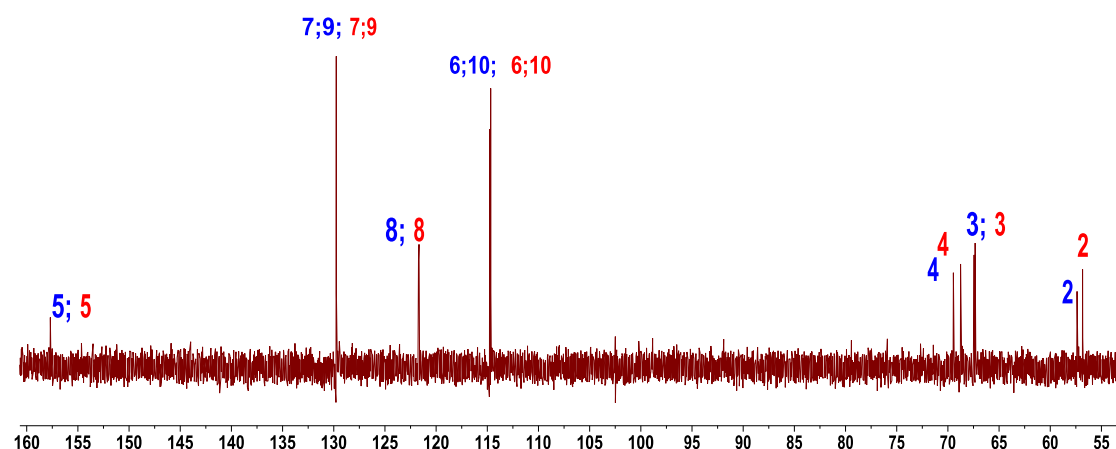


Figura 9S(3.1). Espectros de RMN (D_2O) de los productos **3ci** y **4ci** de la reacción aldólica catalizada por SHMT_{Sth} nativa: a) 1H ; b) ^{13}C ; c) 2D 1H - 1H COSY y d) HSQC.

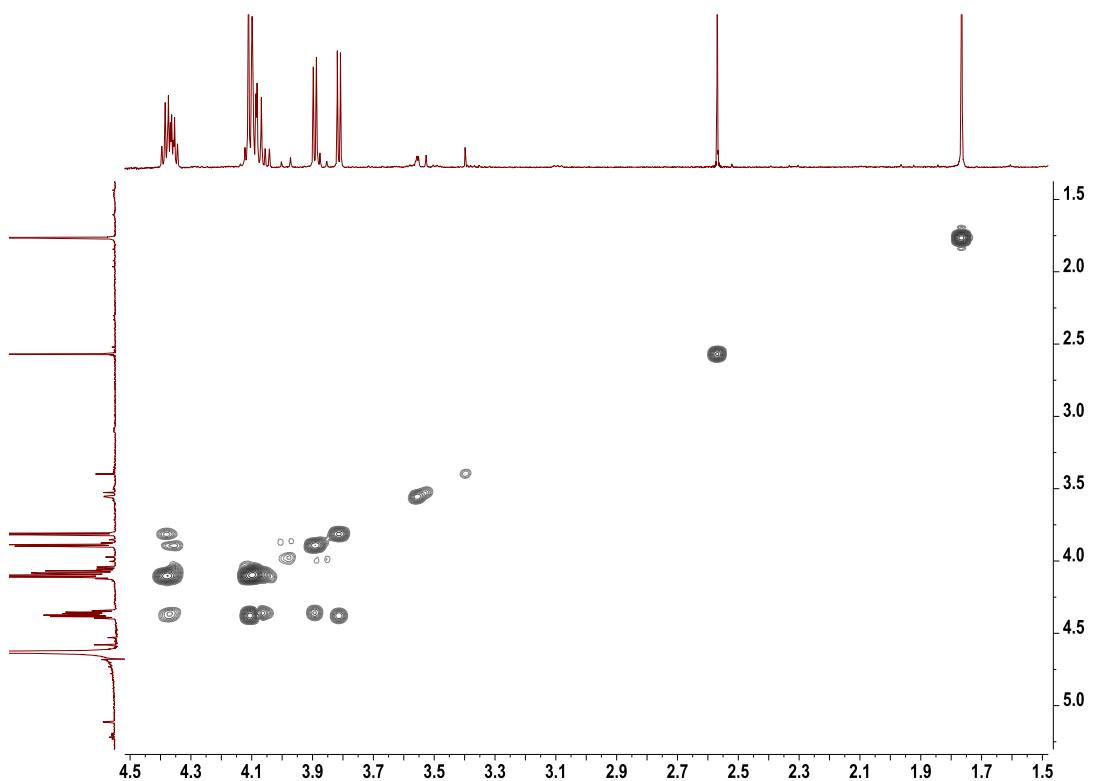
a)



b)



c)



d)

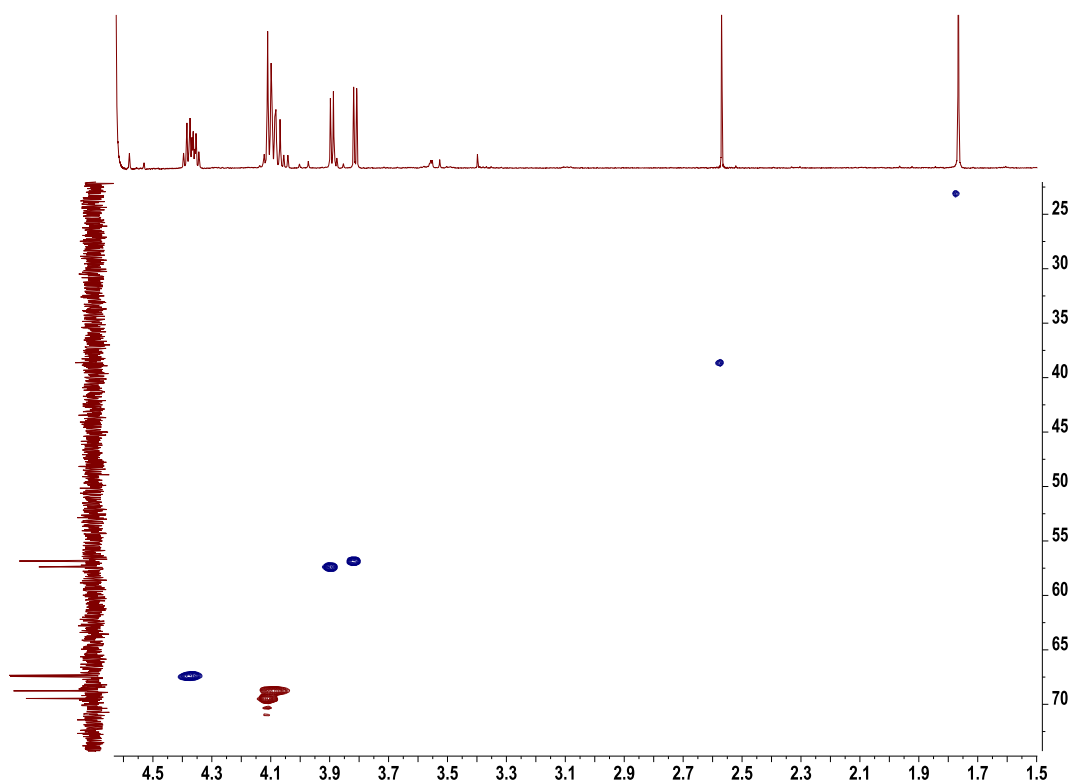
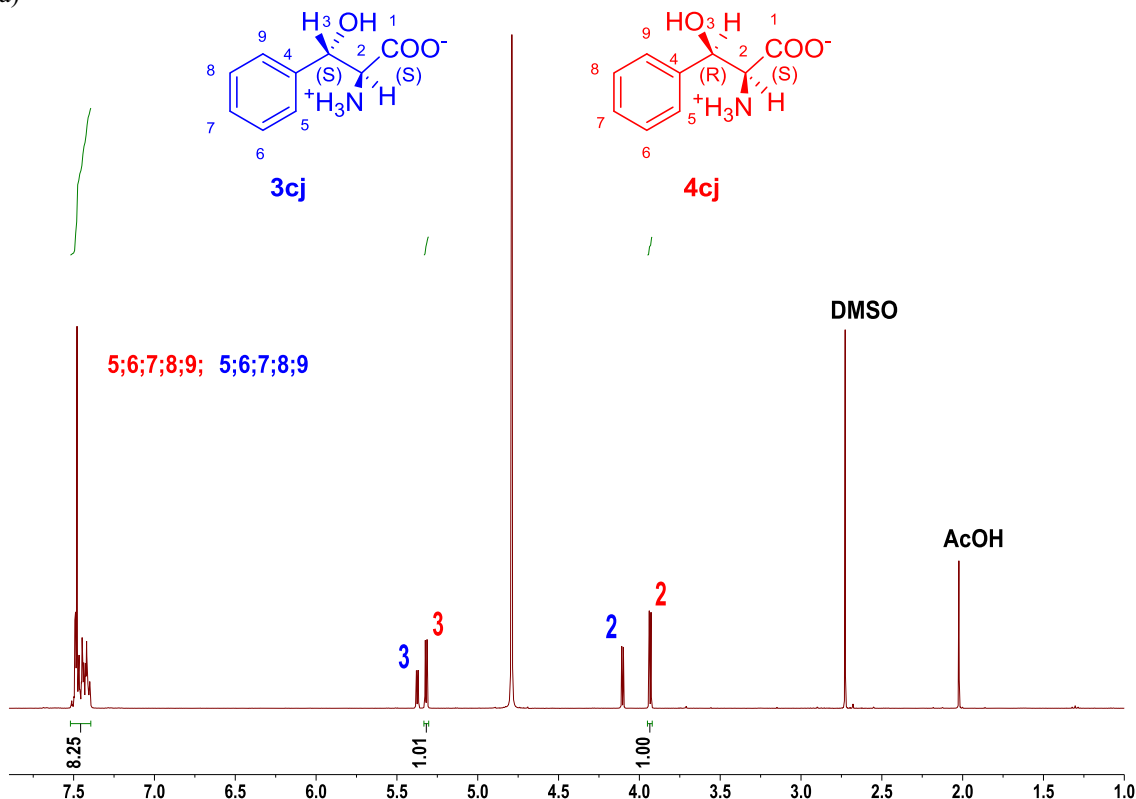
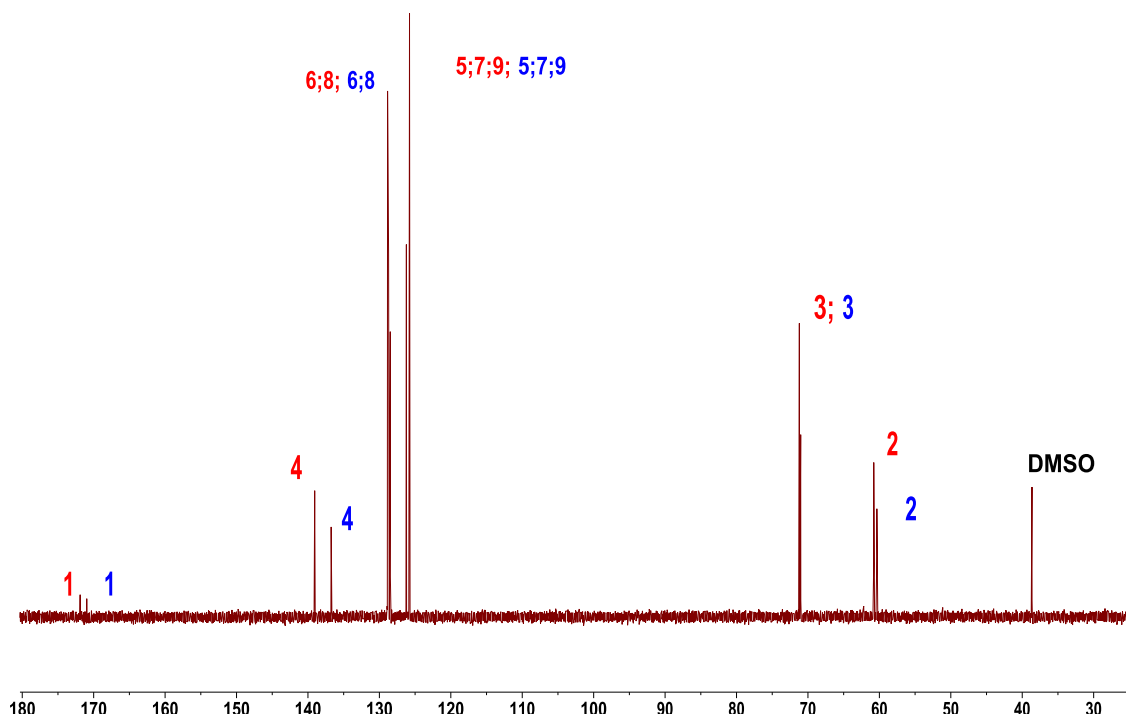


Figura10S(3.1). Espectros de RMN (D_2O) de los productos **3cj** y **4cj** de la reacción aldólica catalizada por SHMT_{Sth} nativa: a) 1H ; b) ^{13}C ; c) 2D 1H - 1H COSY y d) HSQC.

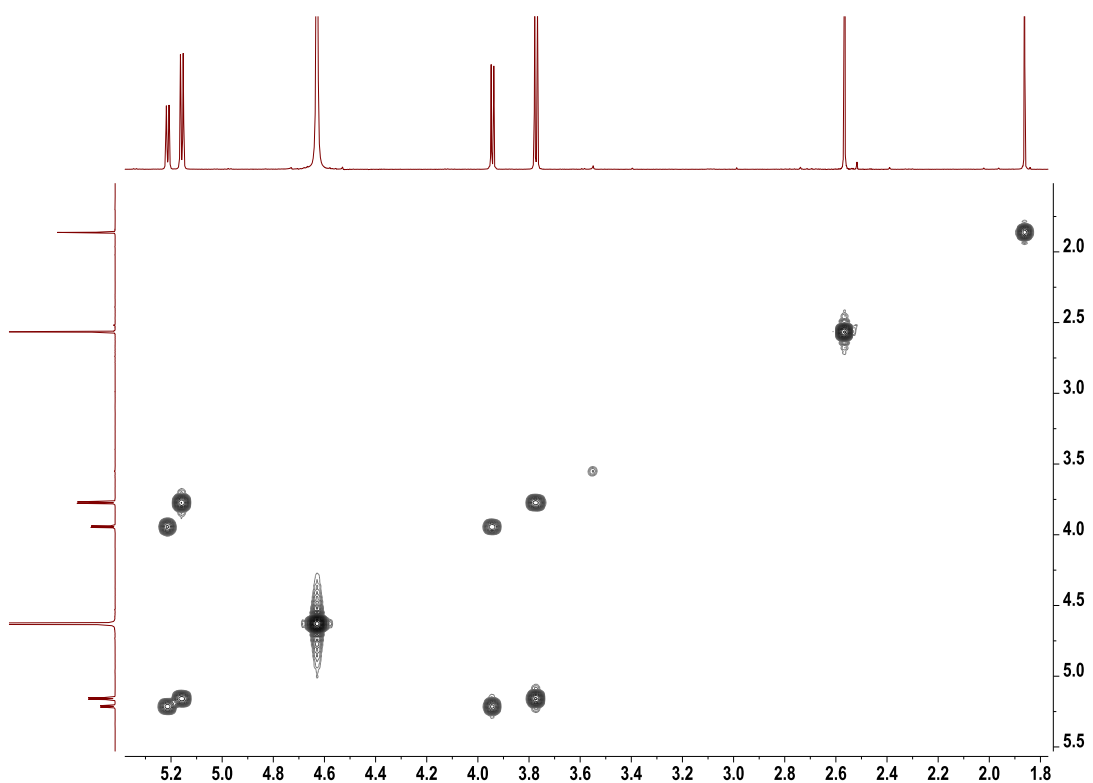
a)



b)



c)



d)

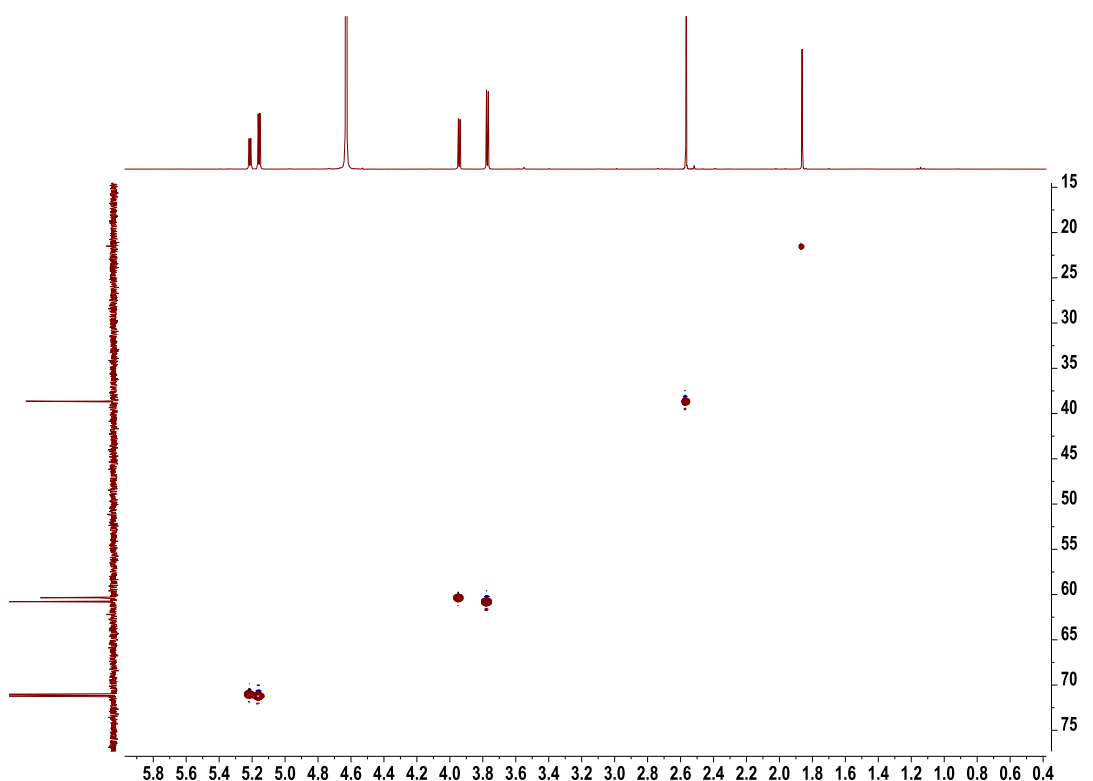
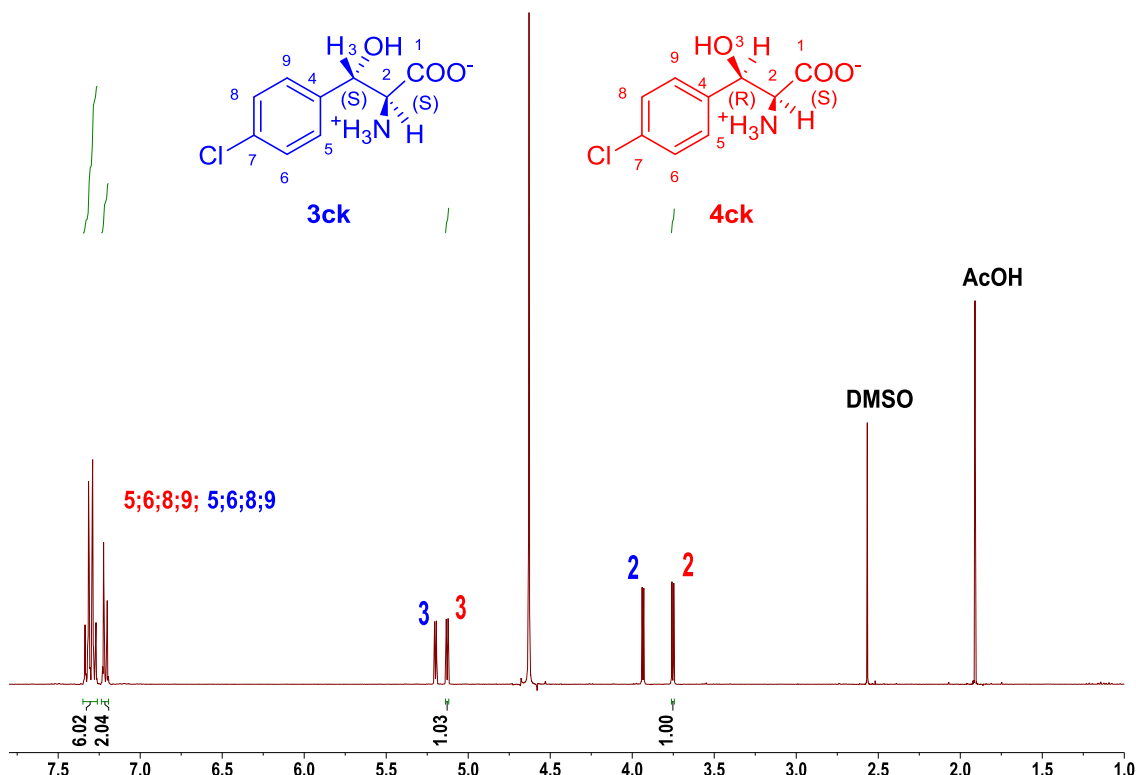
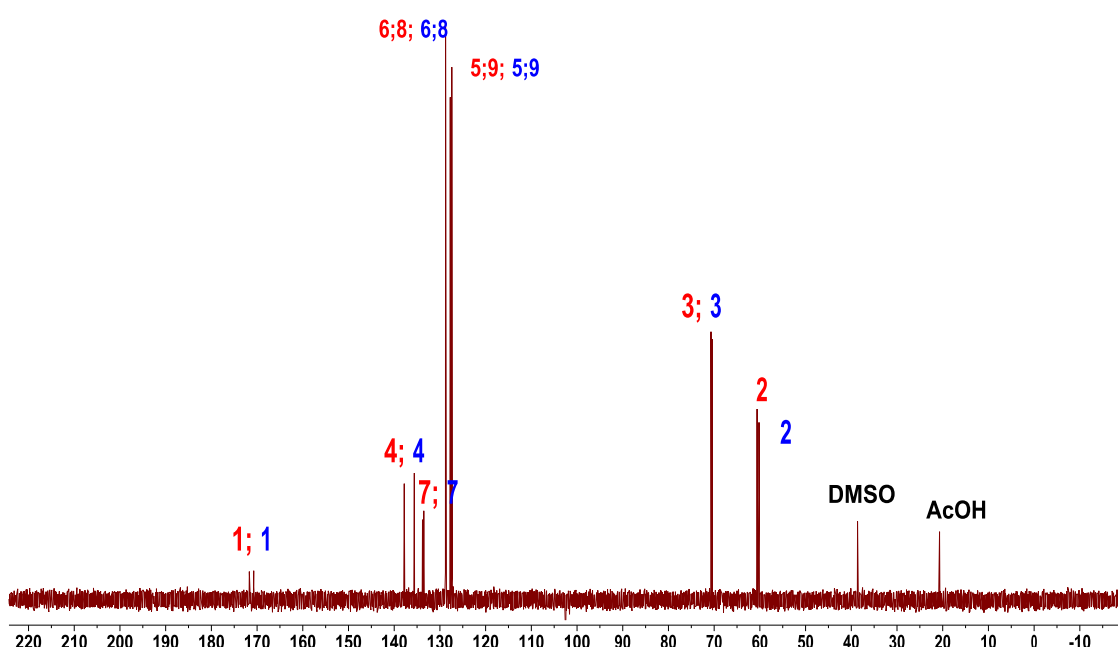


Figura 11S(3.1). Espectros de RMN(D_2O) de los productos **3ck** y **4ck** de la reacción aldólica catalizada por SHMT_{Sth} nativa: a) 1H ; b) ^{13}C ; c) 2D 1H - 1H COSY y d) HSQC.

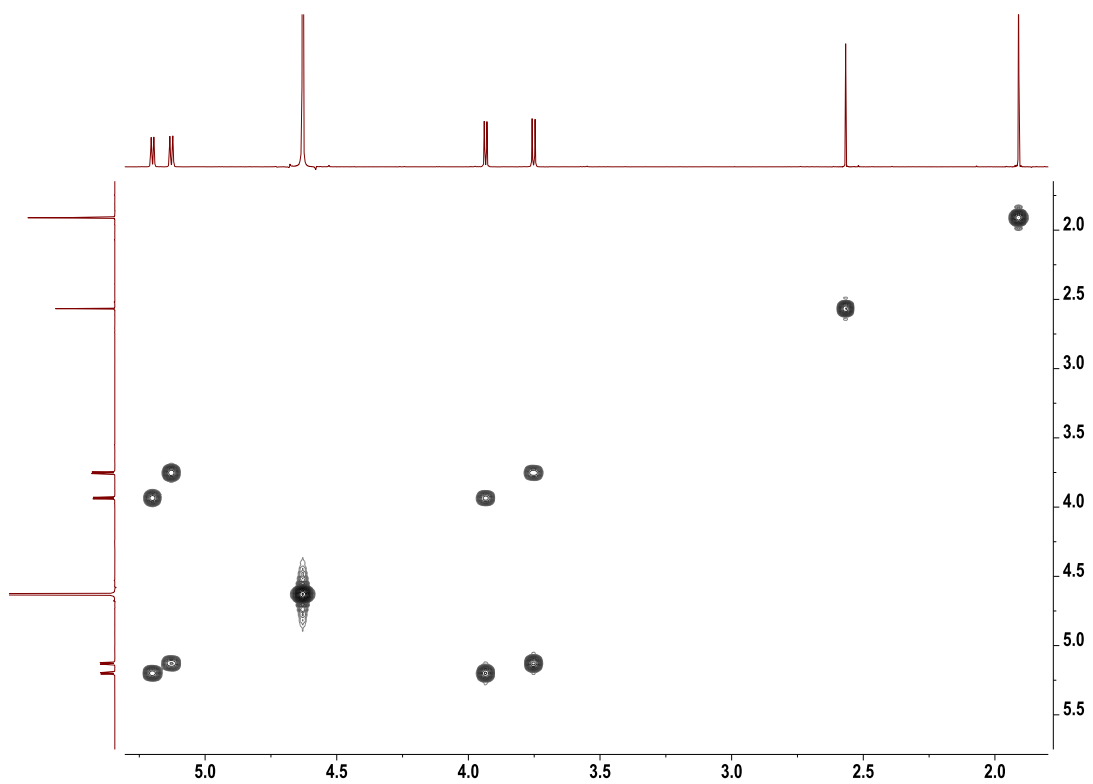
a)



b)



c)



d)

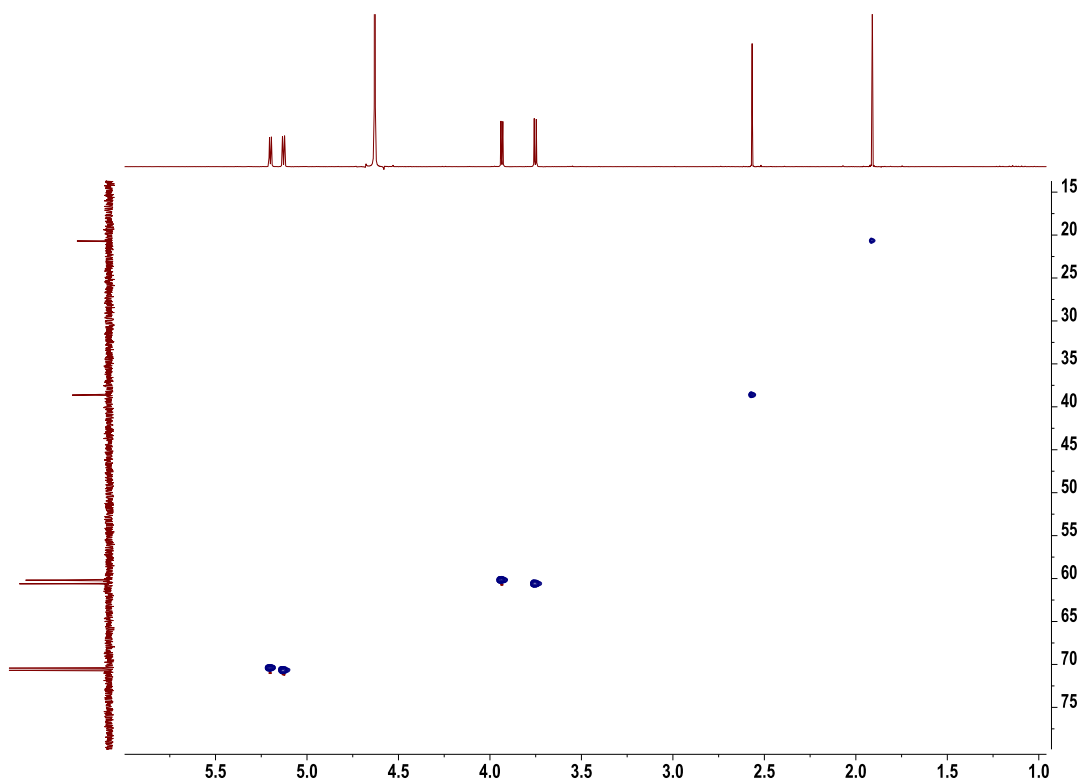
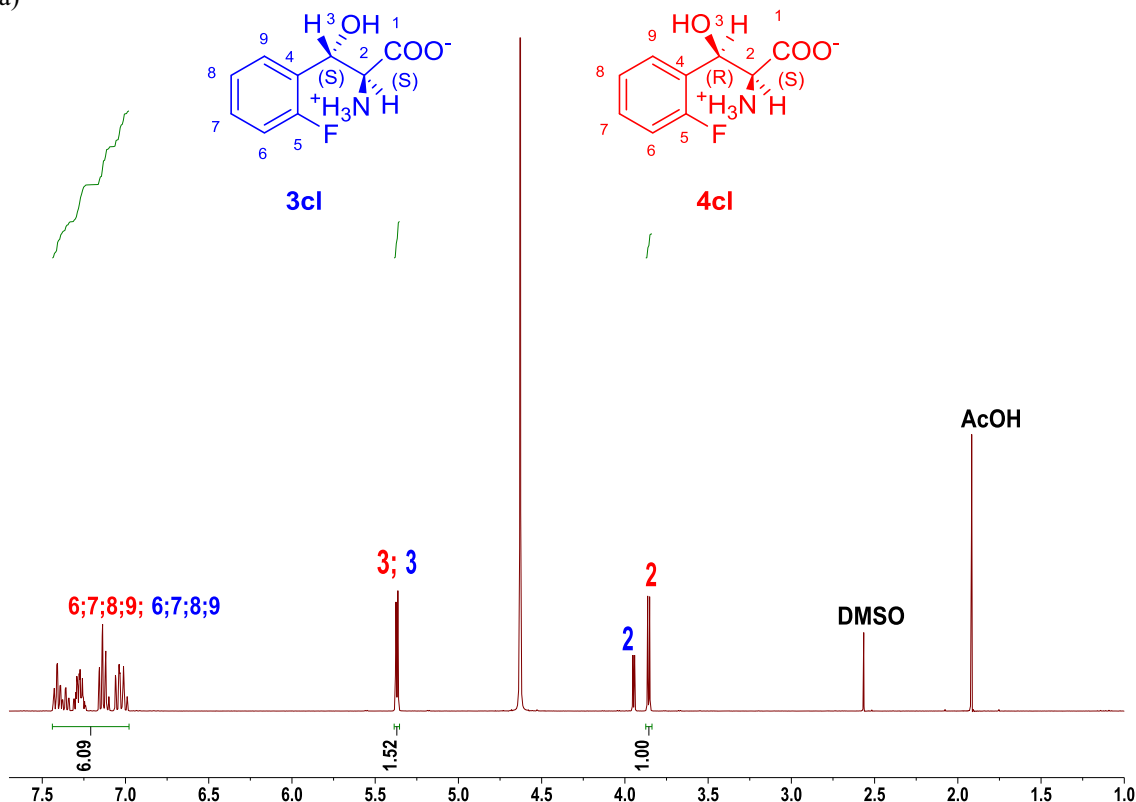
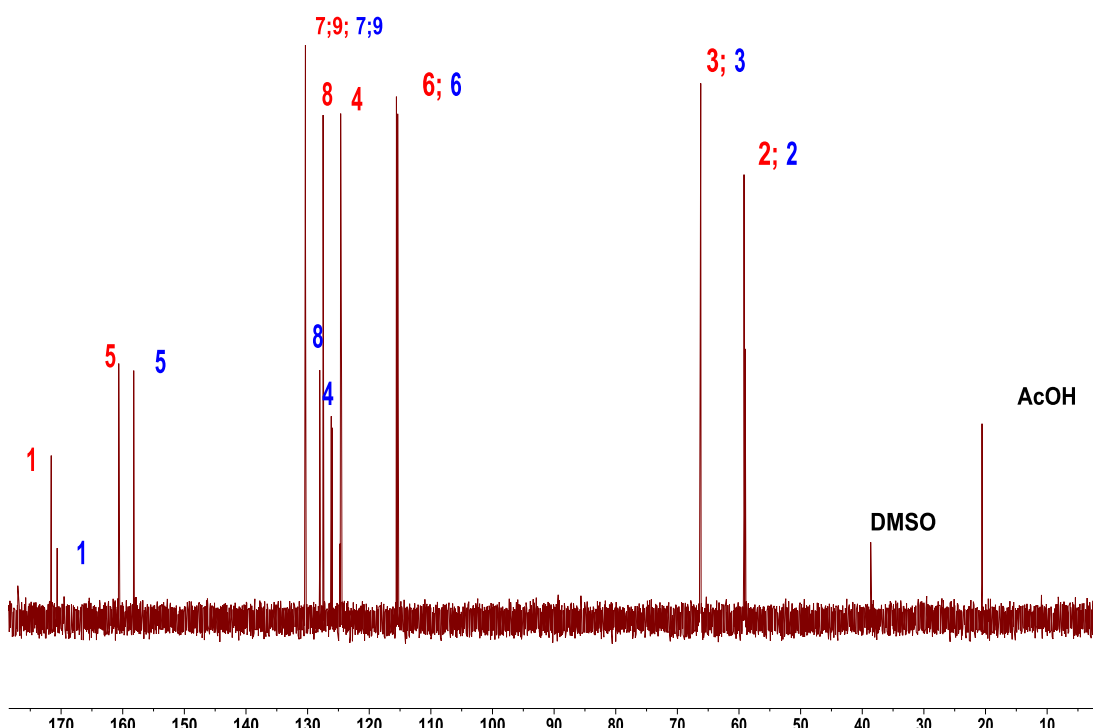


Figura 12 S(3.1). Espectros de RMN (D_2O) de los productos **3cl** y **4cl** de la reacción aldólica catalizada por SHMT_{Sth} nativa: a) 1H ; b) ^{13}C ; c) 2D 1H - 1H COSY y d) HSQC.

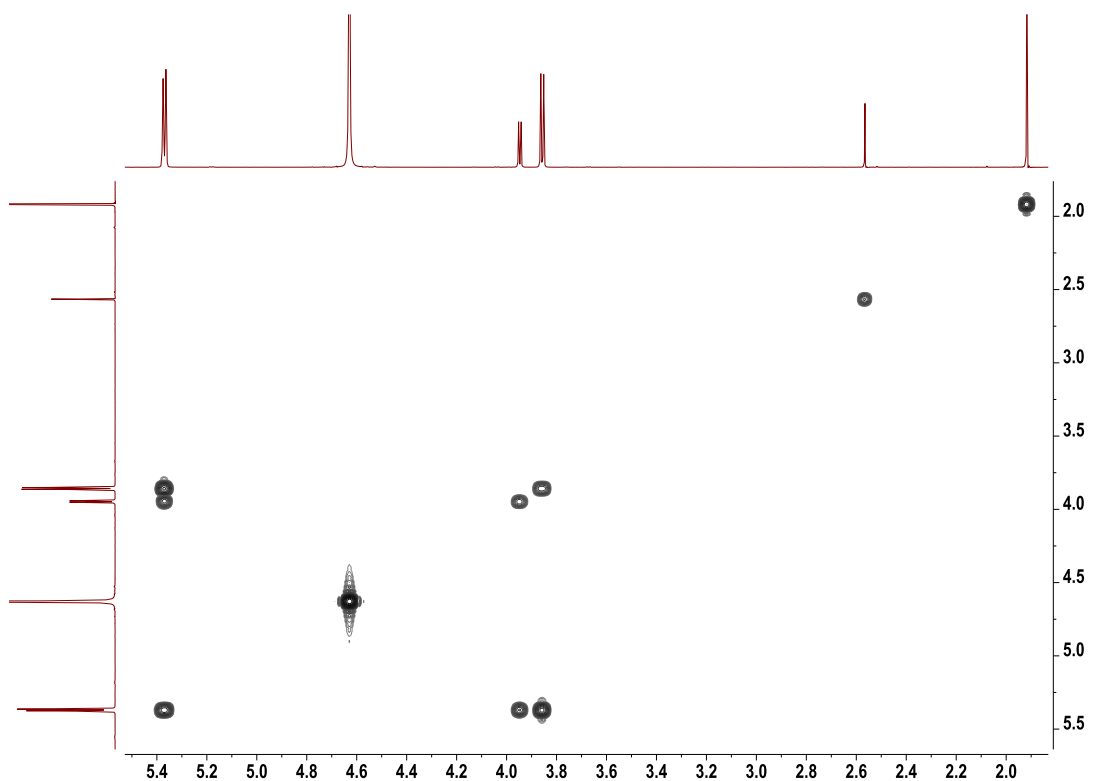
a)



b)



c)



d)

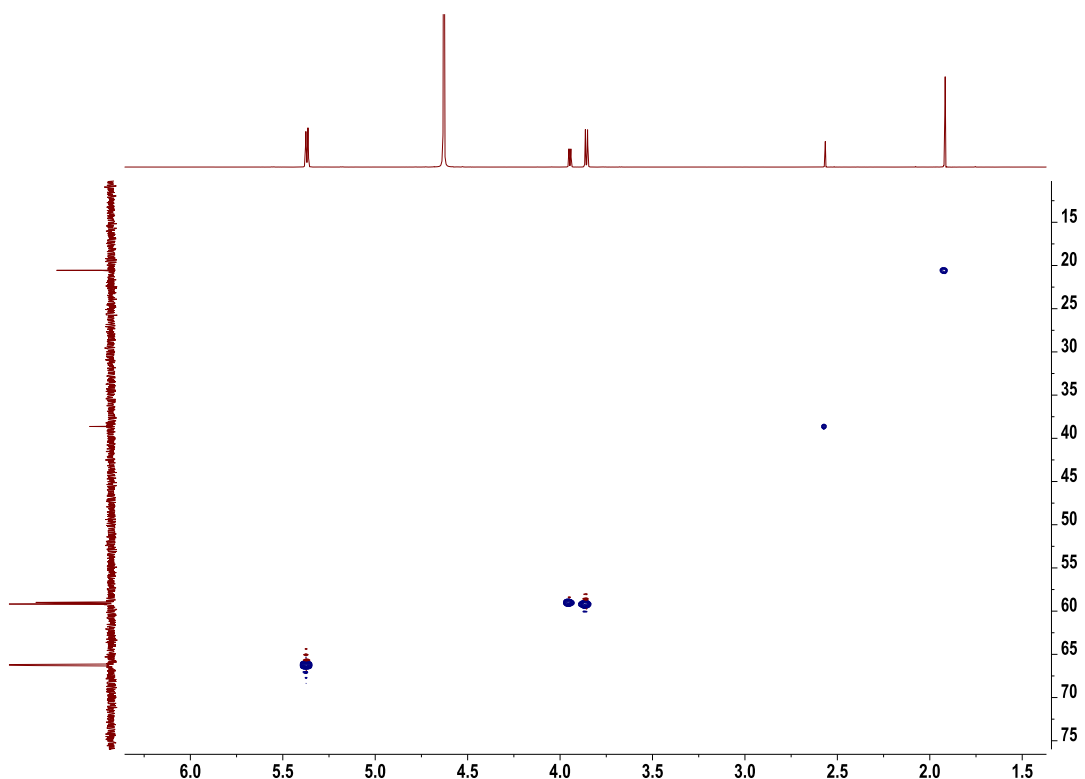
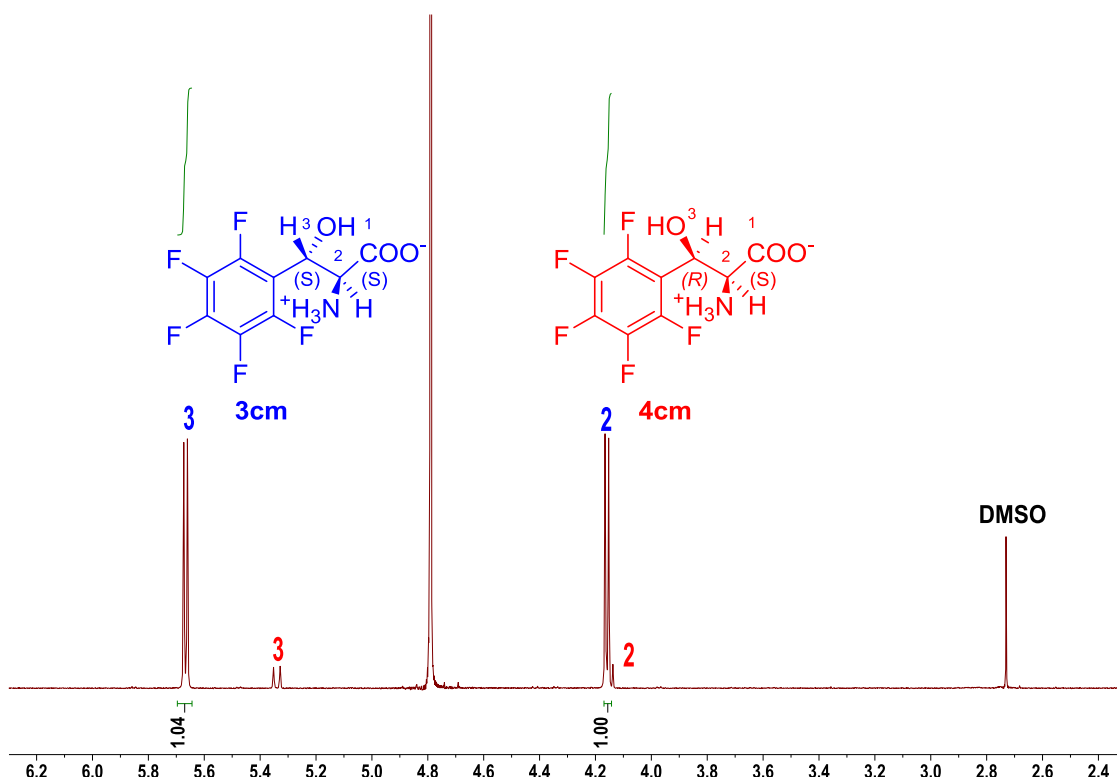
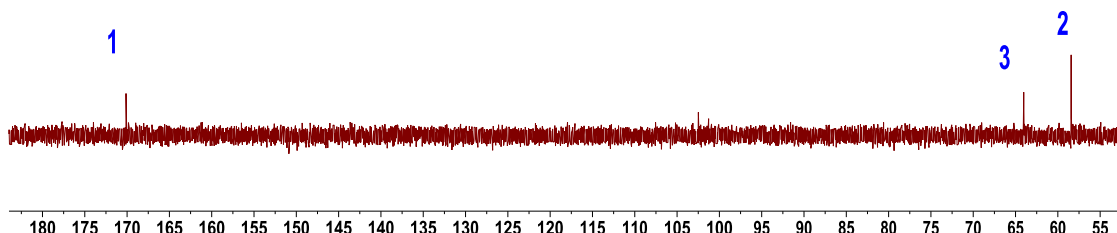


Figura 13S(3.1). Espectros de RMN (D_2O) de los productos **3cm** y **4cm** de la reacción aldólica catalizada por SHMT_{Sth} nativa: a) 1H ; b) ^{13}C ; c) 2D 1H - 1H COSY y d) HSQC.

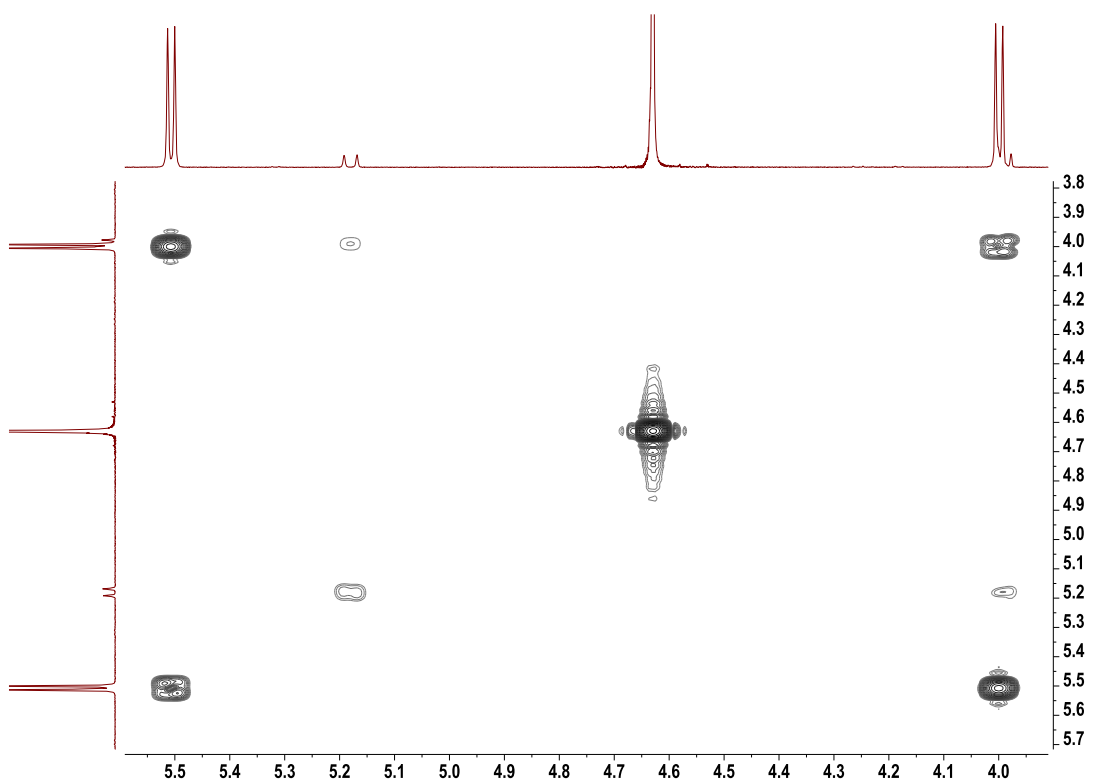
a)



b)



c)



d)

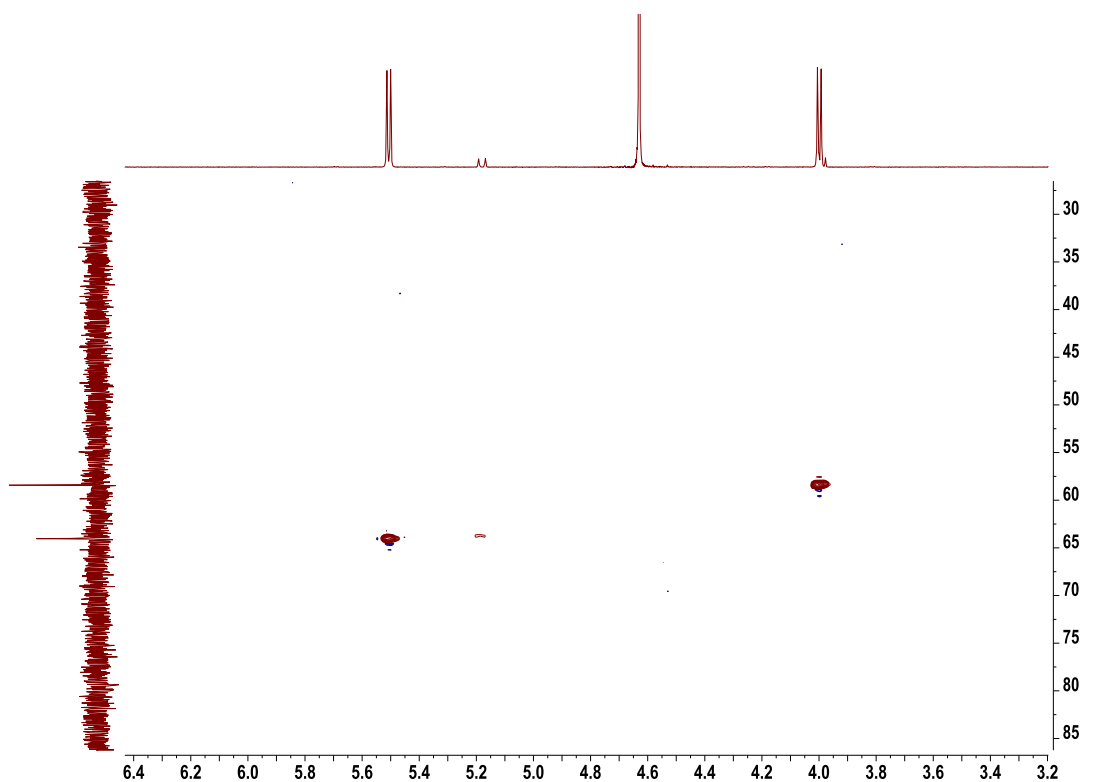
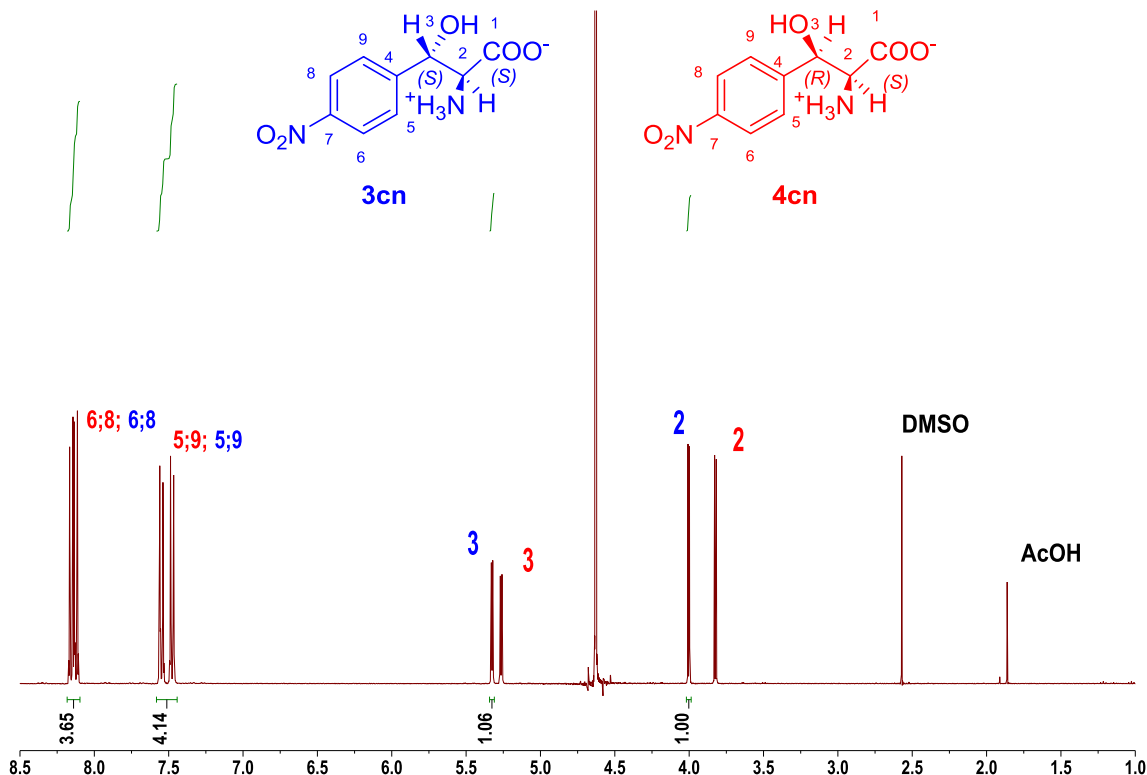
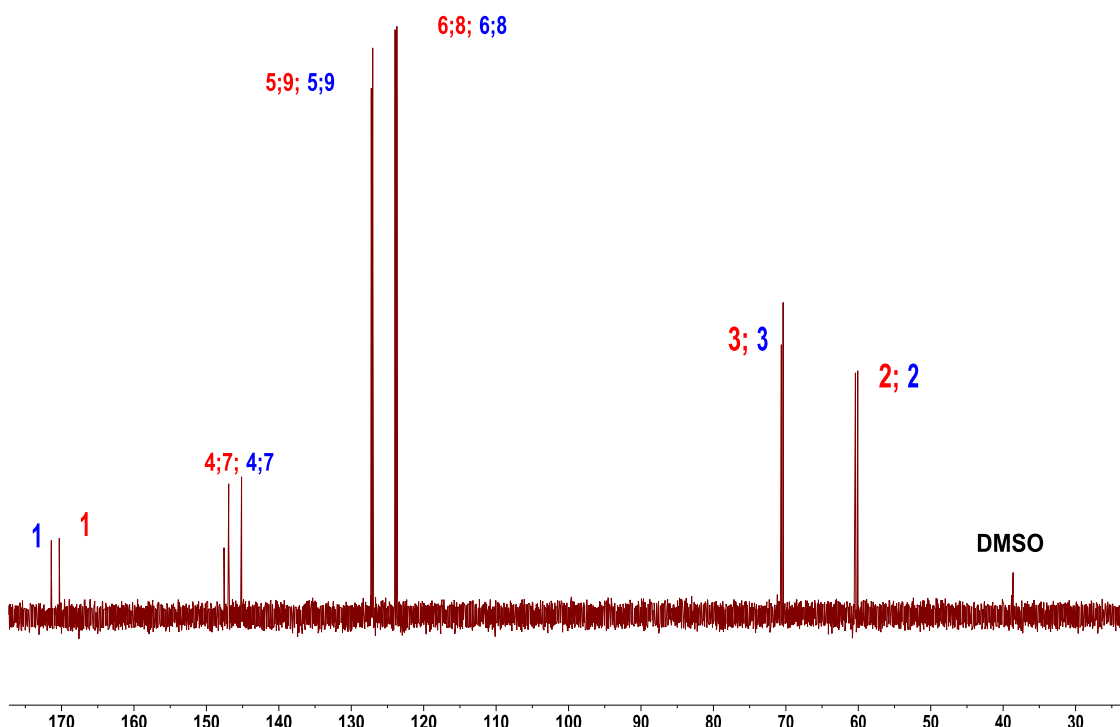


Figura 14S(3.1). Espectros de RMN (D_2O) de los productos **3cn** y **4cn** de la reacción aldólica catalizada por SHMT_{Sth} nativa: a) 1H ; b) ^{13}C ; c) 2D 1H - 1H COSY, d) HSQC y e) 1D-NOESY selectivo.

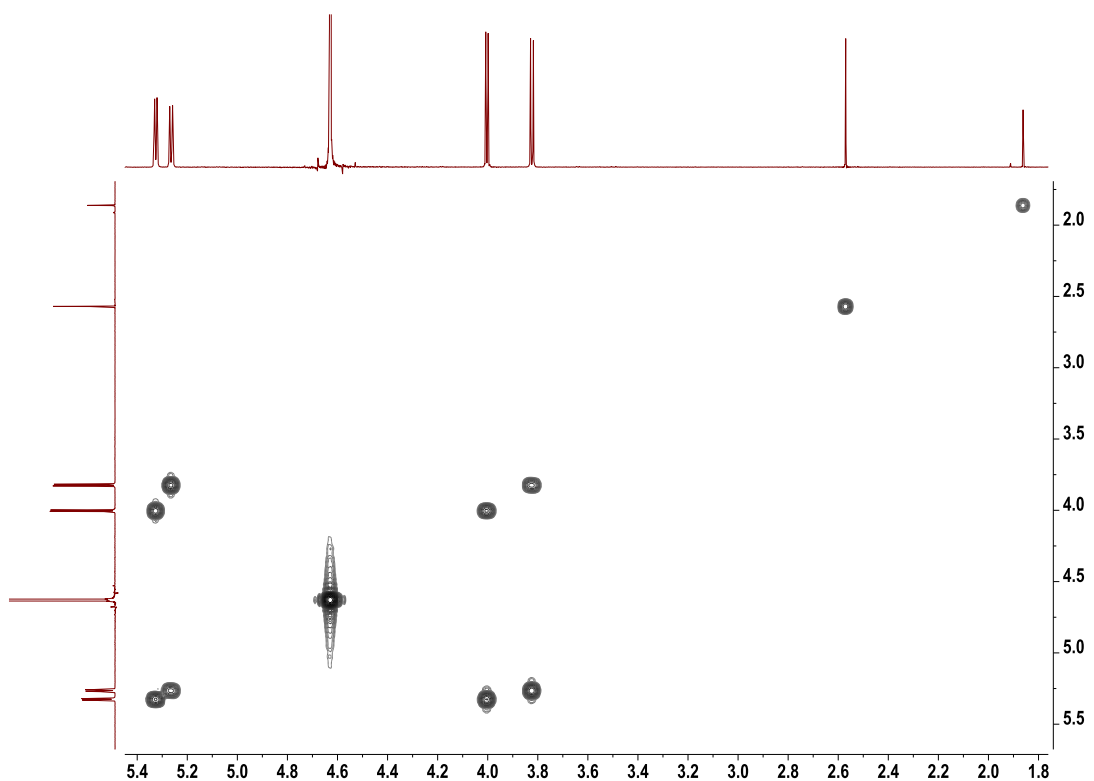
a)



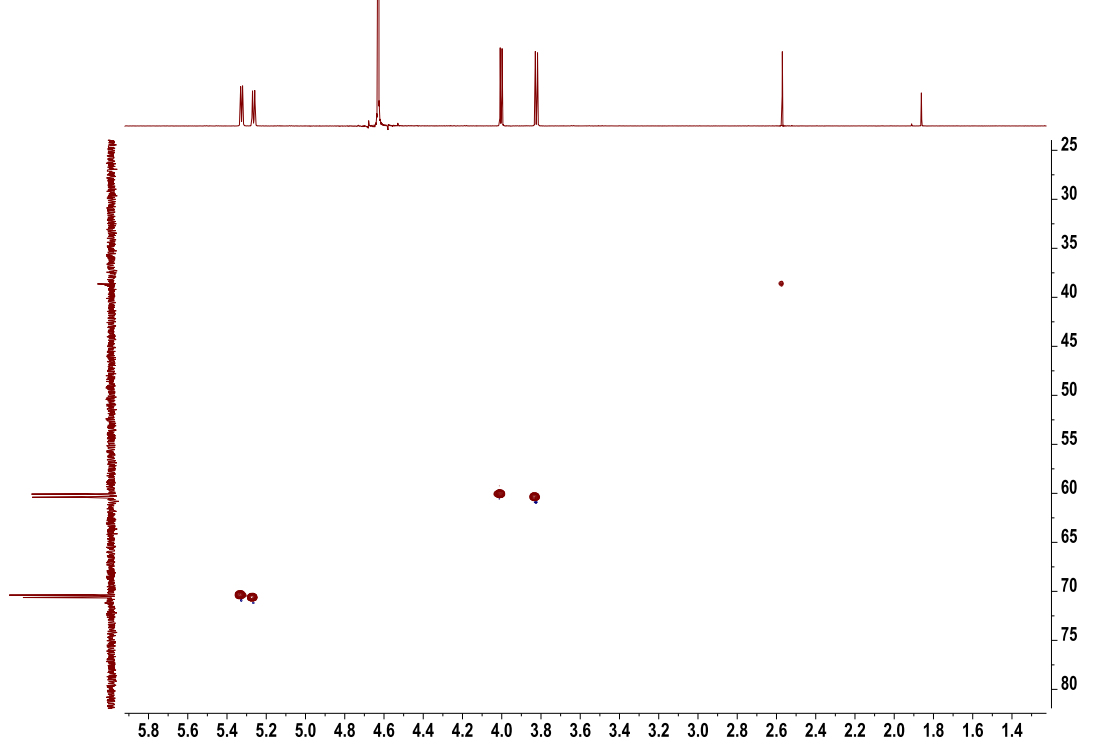
b)



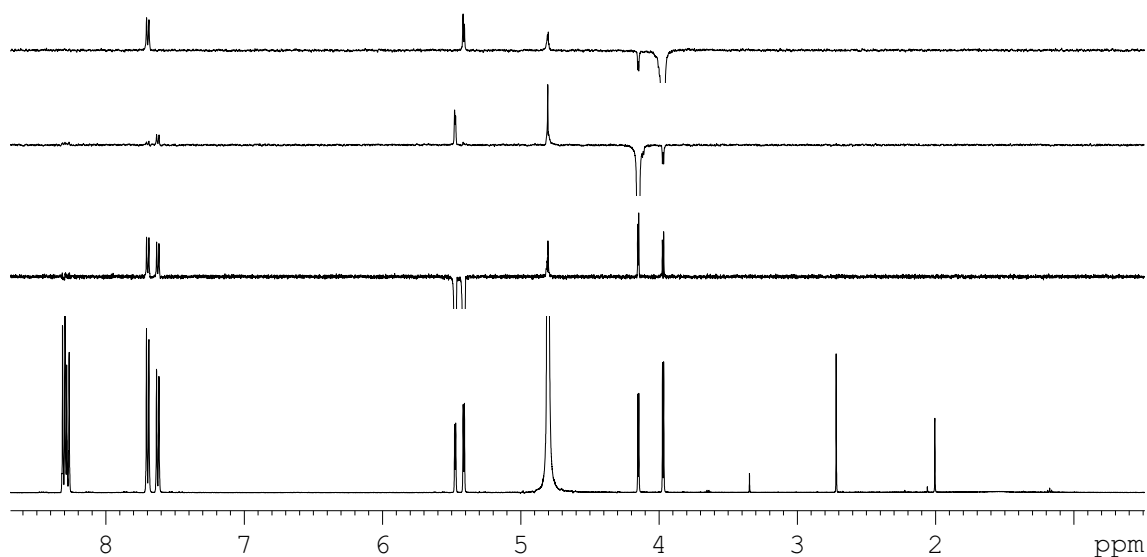
c)



d)



e)

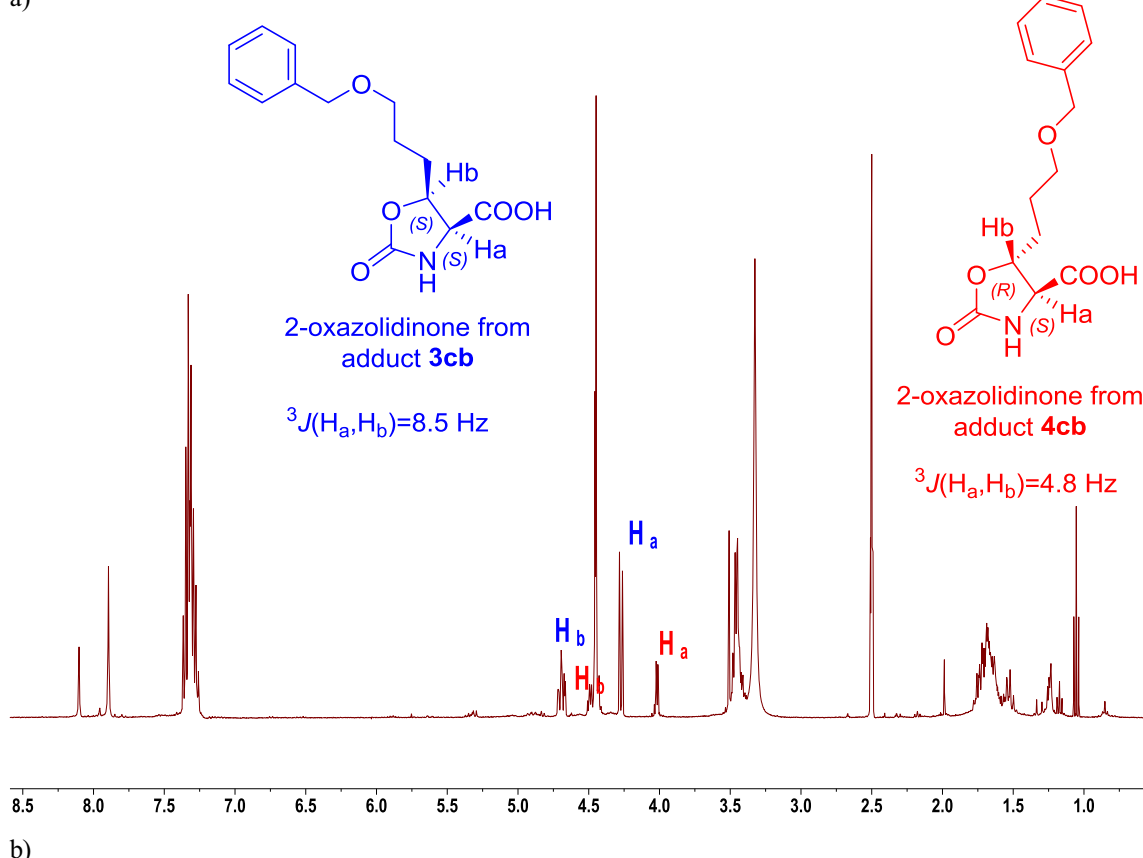
**Tabla 6S(3.1).** Resumen de los desplazamientos químicos (ppm) de ^1H y ^{13}C para los productos 3c y 4c.

R^2	3						4						RMN solvente
	δH_2	δC_2	δH_3	δC_3	δC_1		δH_2	δC_2	δH_3	δC_3	δC_1		
BnO(CH ₂) ₃ (3cb, 4cb)	3.83	59.44	4.10	69.43			3.62	59.44	4.10	69.43			D ₂ O
Ph(CH ₂) ₂ (3ch, 4ch)	3.67	59.44	3.92	68.56			3.49	59.44	3.92	68.96			D ₂ O
PhOCH ₂ (3ci, 4ci)	4.06	57.34	4.53	67.43			3.96	56.79	4.53	67.35			D ₂ O
Ph (3cj, 4cj)	4.11	60.35	5.38	71.04			3.93	60.81	5.31	71.21			D ₂ O
4-CIC ₆ H ₄ (3ck, 4ck)	3.93	60.19	5.21	70.43			3.75	60.61	5.12	70.70			D ₂ O
2-FC ₆ H ₄ (3cl, 4cl)	3.95	59.00	5.37	66.28			3.86	59.19	5.37	66.28			D ₂ O
C ₆ F ₅ (3cm, 4cm)	4.15	58.58	5.67	63.98			4.14		5.33				D ₂ O
4-O ₂ NC ₆ H ₄ (3cn, 4cn)	3.99	60.08	5.32	70.38			3.83	60.40	5.27	70.63			D ₂ O

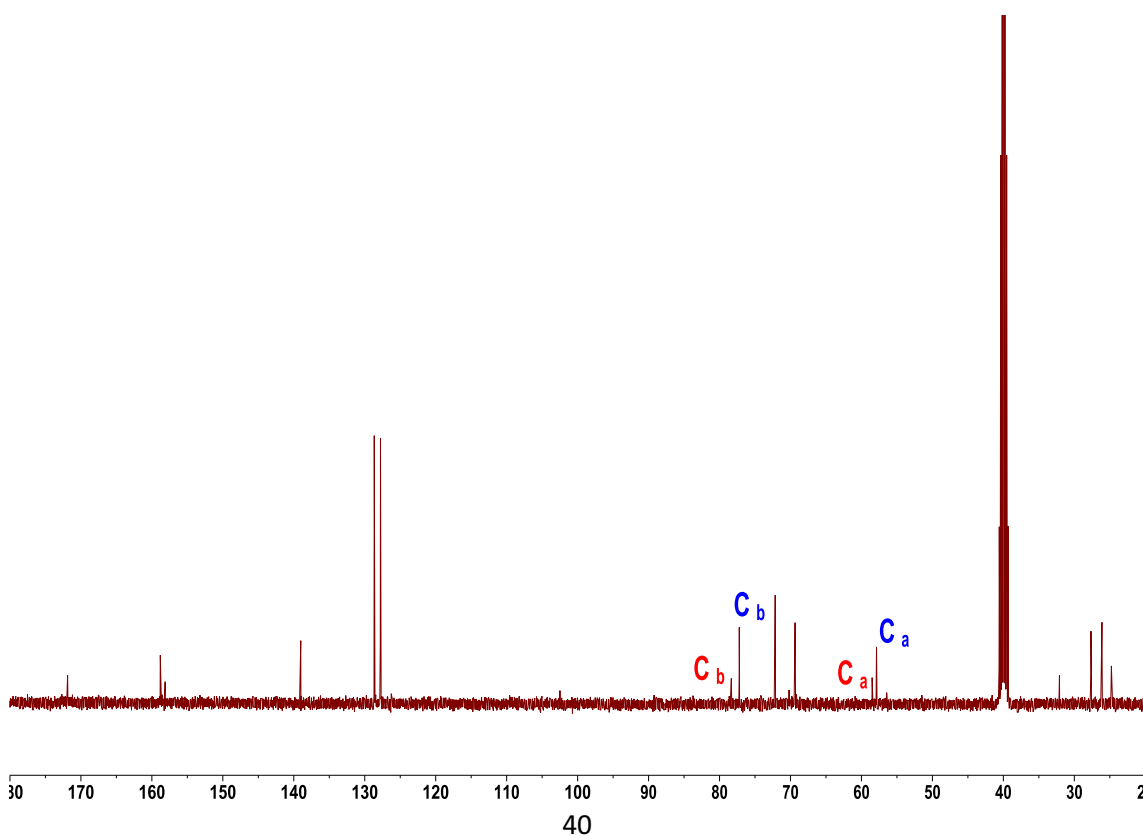
	3						4						
	δH_2	δC_2	δH_3	δC_3	δC_1	δH_2	δC_2	δH_3	δC_3	δC_1			
$\delta(\text{media})$	3.96	59.30	4.94	68.44			3.82	59.53	4.87	69.22			
SD(δ)	0.16	1	0.66	2.42			0.2	1.37	0.60	1.84			

Figura 15S(3.1). Espectros RMN (DMSO-*d*₆) de las oxazolidin-2-onas obtenidas por derivatización de los productos **3cb** y **4cb** de la reacción aldólica catalizada por SHMT_{Sth} nativa: a) ¹H; b) ¹³C; c) 2D ¹H-¹H COSY y d) HSQC.

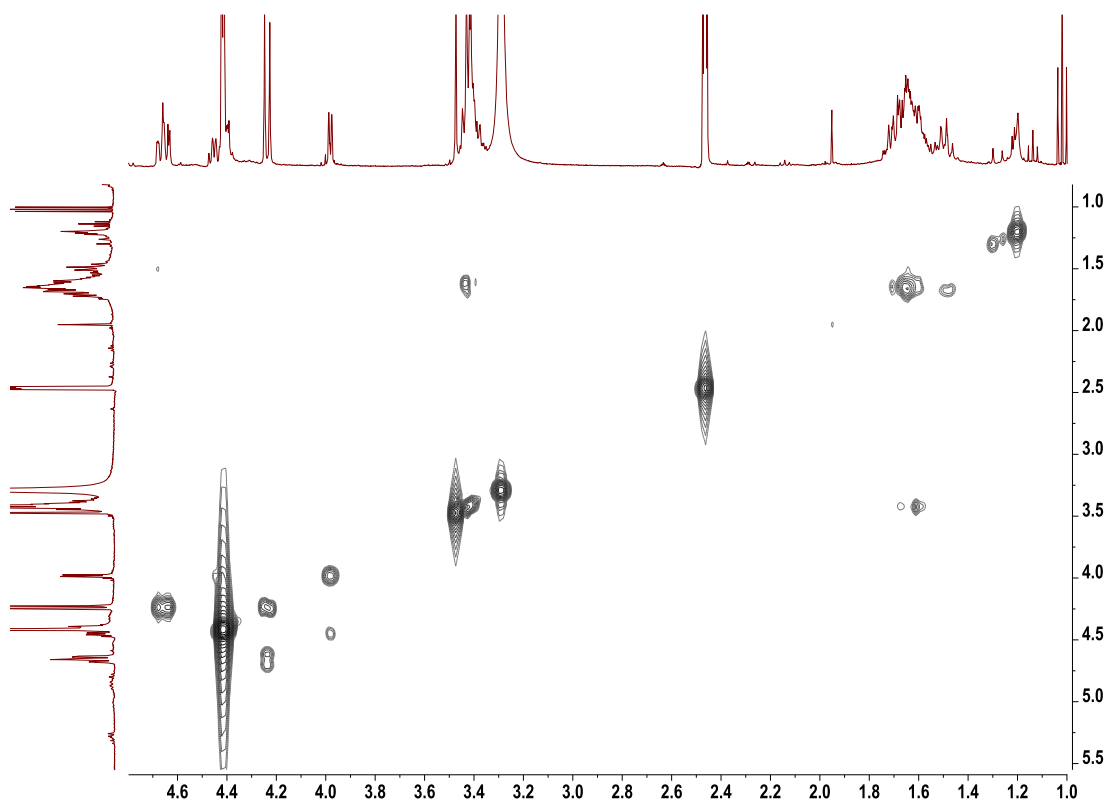
a)



b)



c)



d)

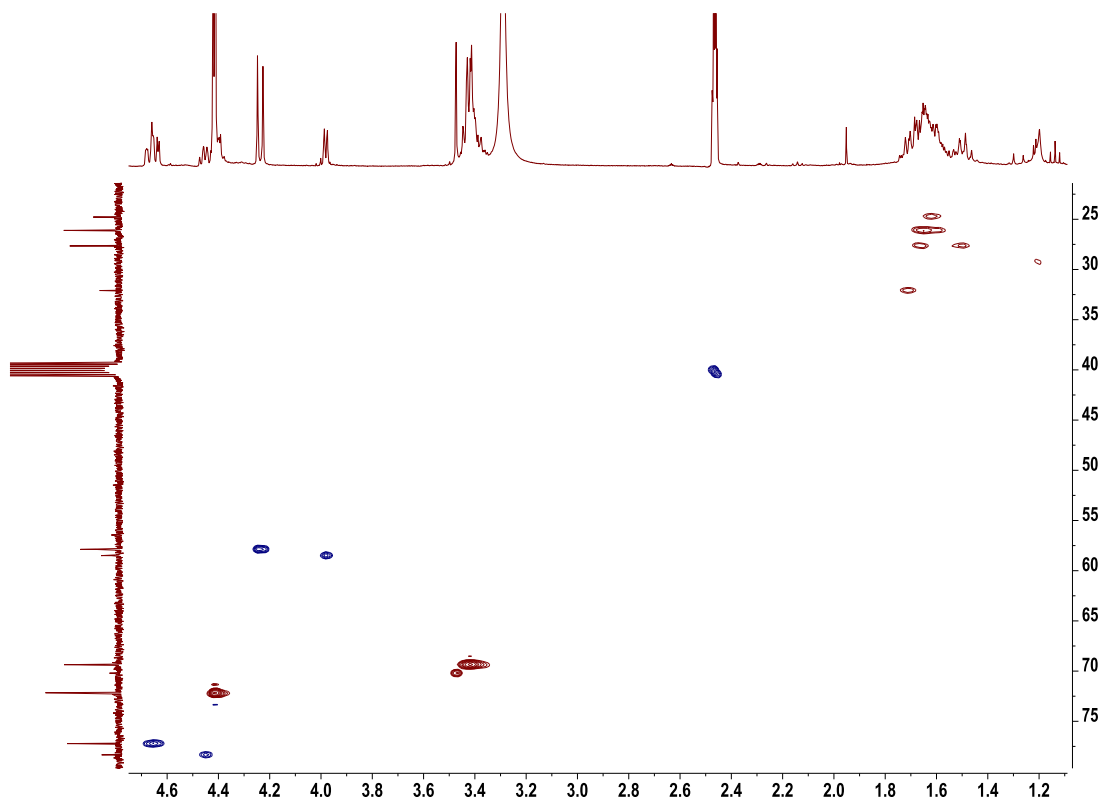
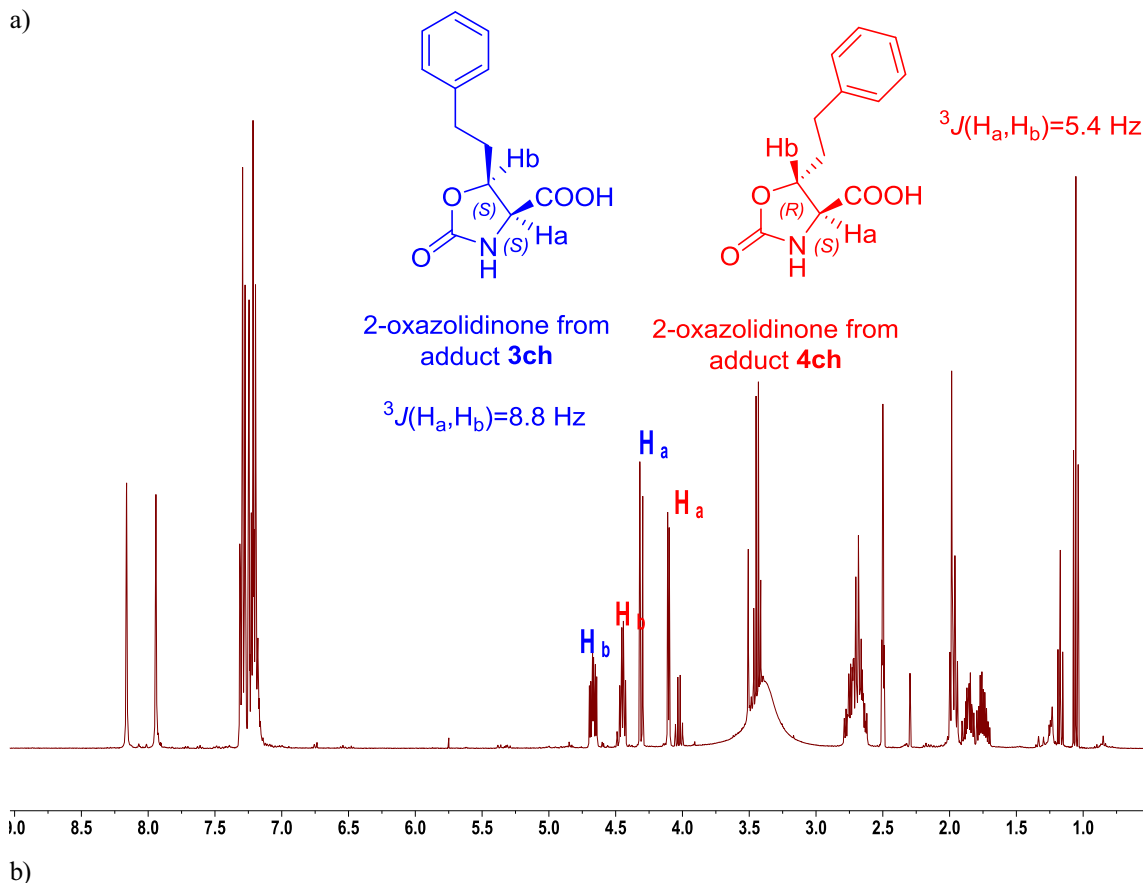
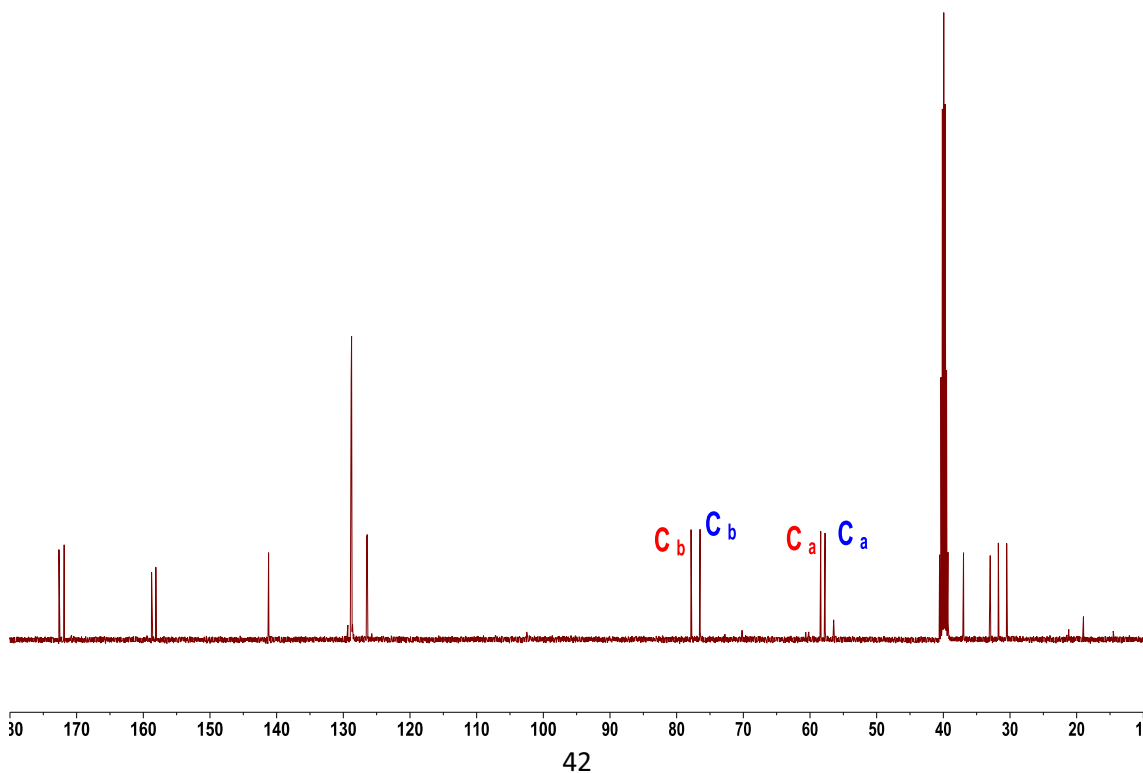


Figura 16S(3.1). Espectros RMN (DMSO- d_6) de las oxazolidin-2-onas obtenidas por derivatización de los productos **3ch** y **4ch** de la reacción aldólica catalizada por SHMT_{Sth} nativa: a) ^1H ; b) ^{13}C ; c) 2D ^1H - ^1H COSY y d) HSQC.

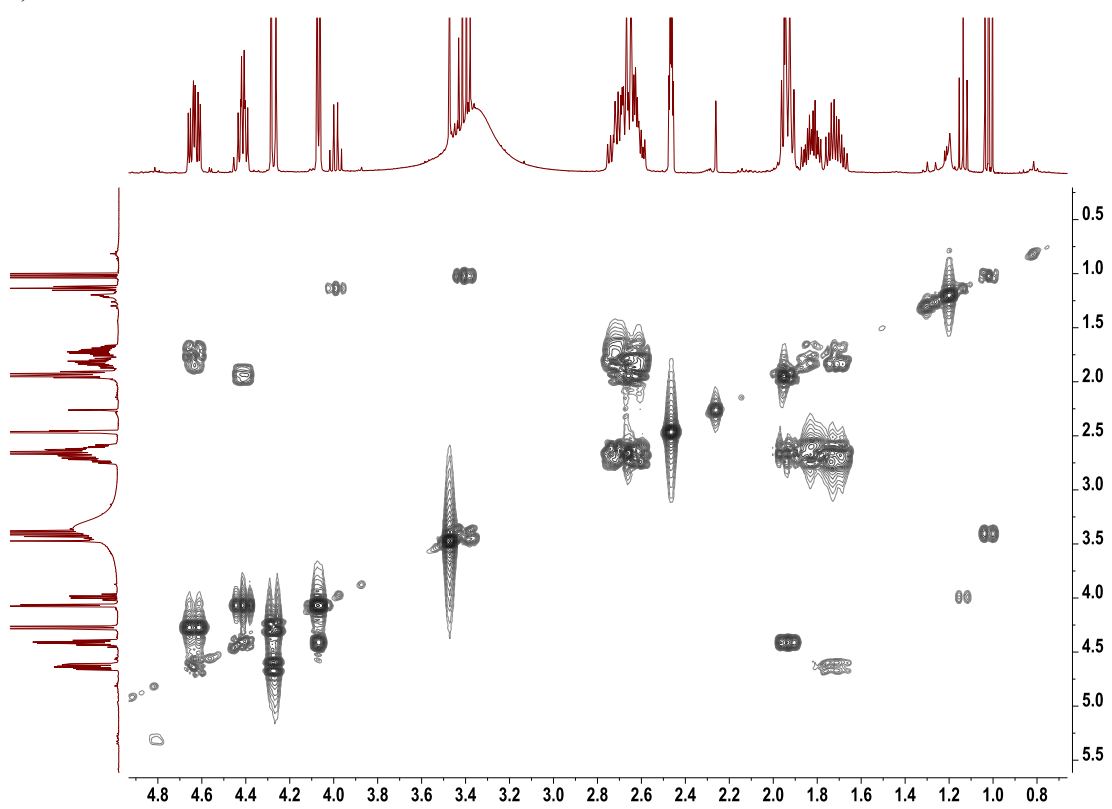
a)



b)



c)



d)

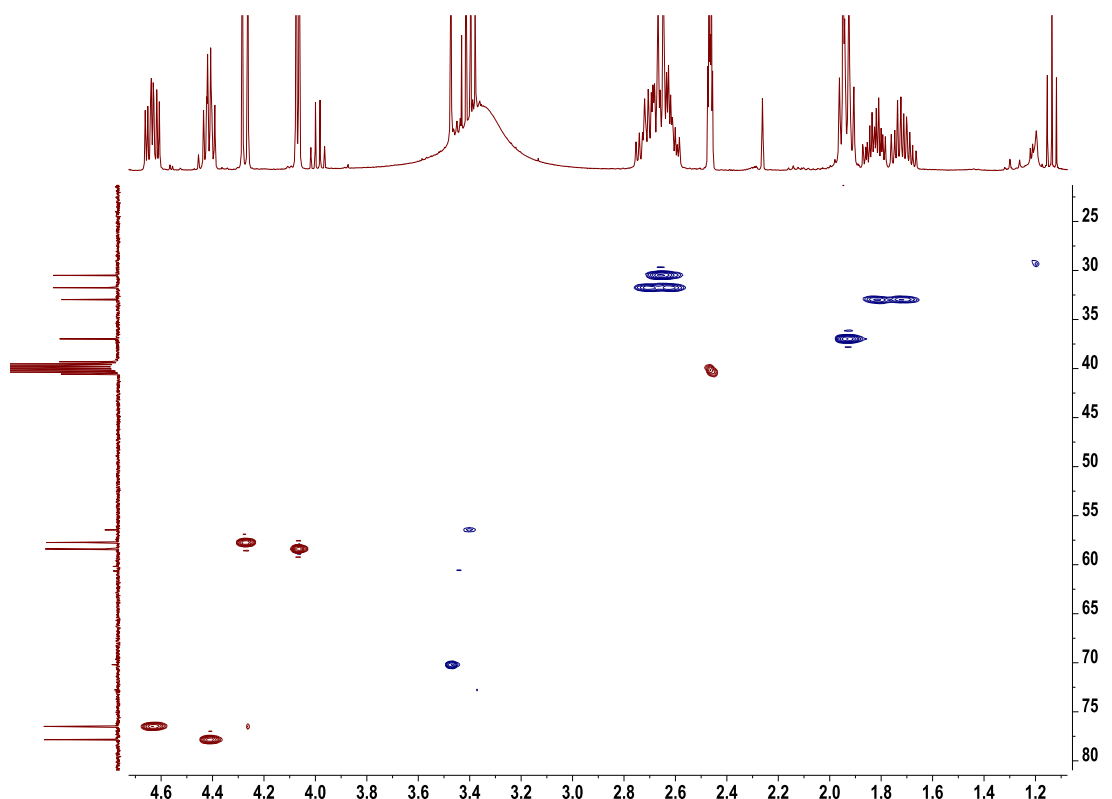
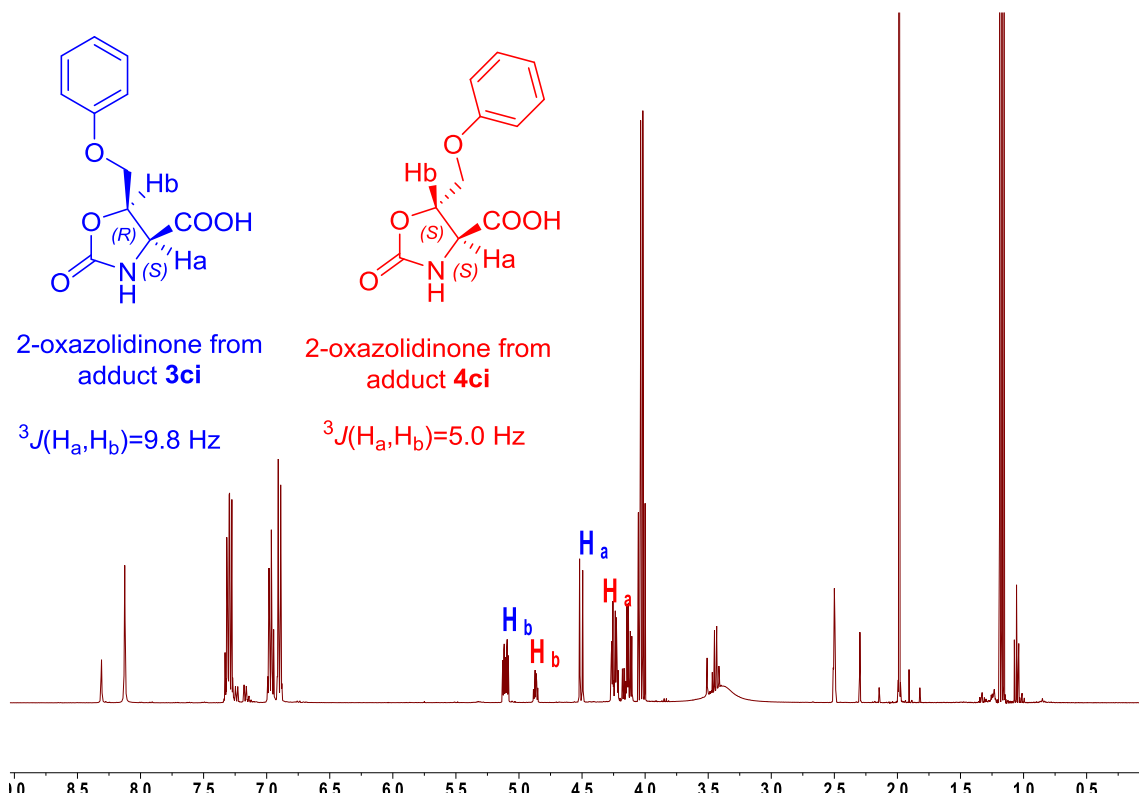
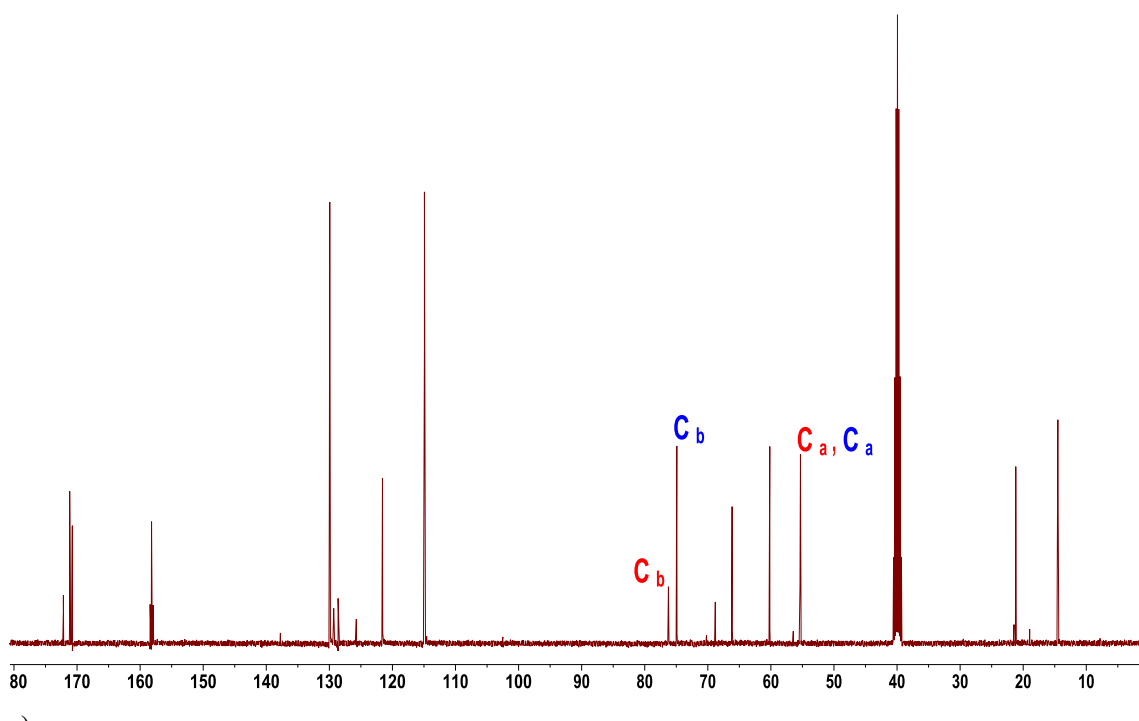


Figura 17S(3.1). Espectros RMN (DMSO-*d*₆) de las oxazolidin-2-onas obtenidas por derivatización de los productos **3ci** y **4ci** de la reacción aldólica catalizada por SHMT_{Sth} nativa: a) ¹H; b) ¹³C; c) 2D ¹H-¹H COSY y d) HSQC.

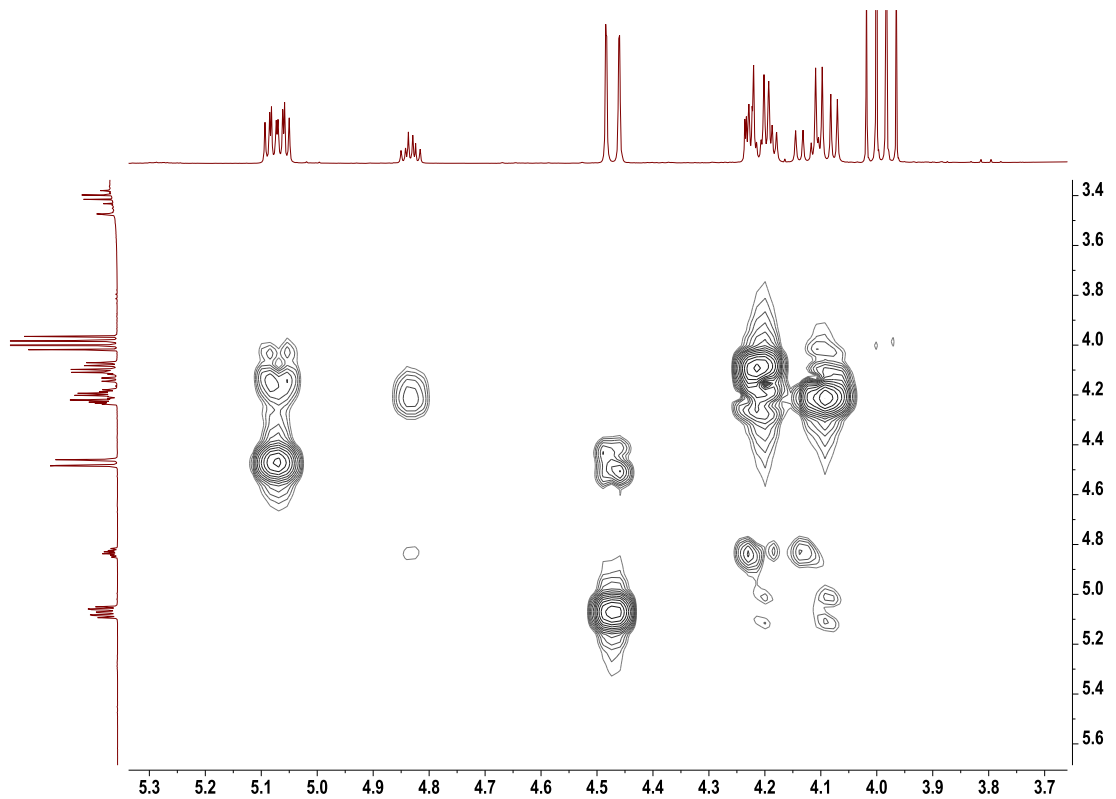
a)



b)



c)



d)

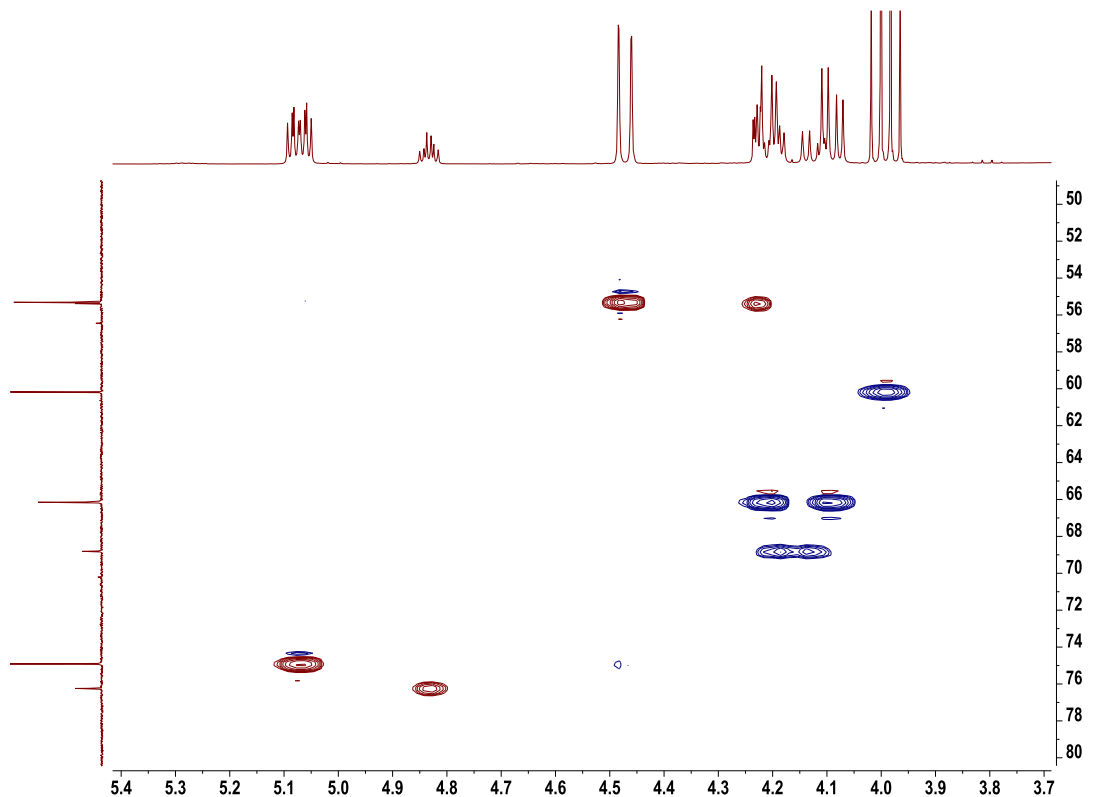
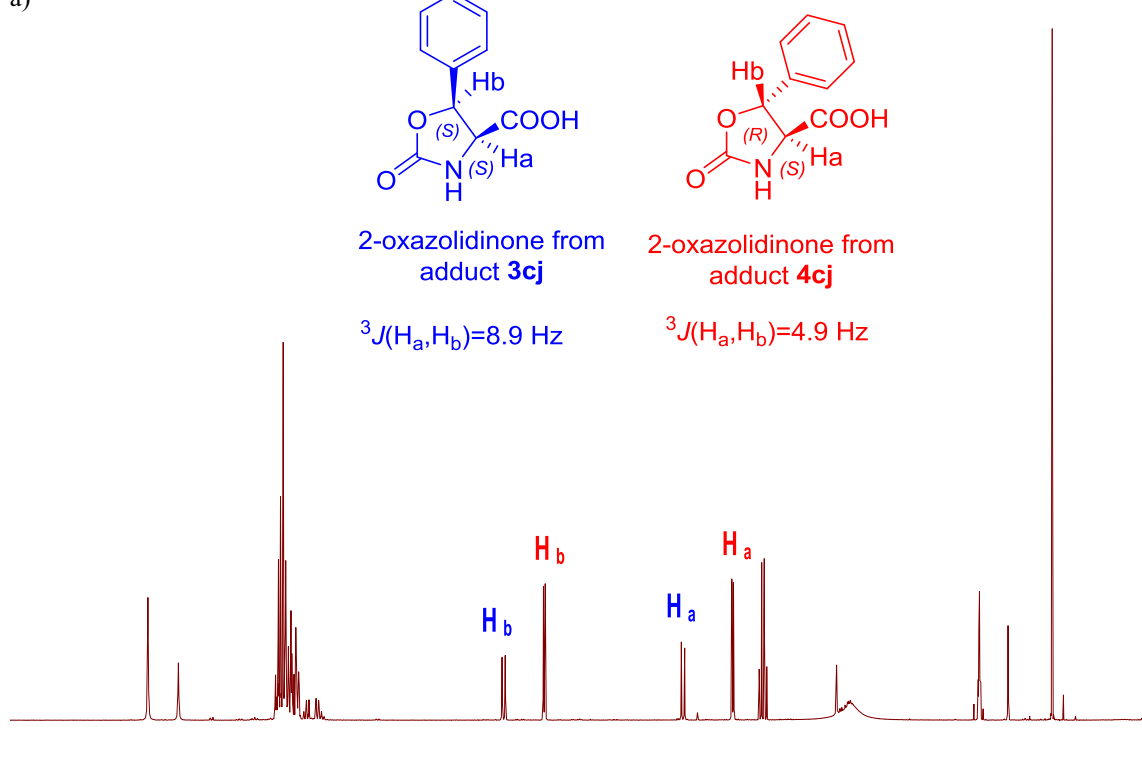
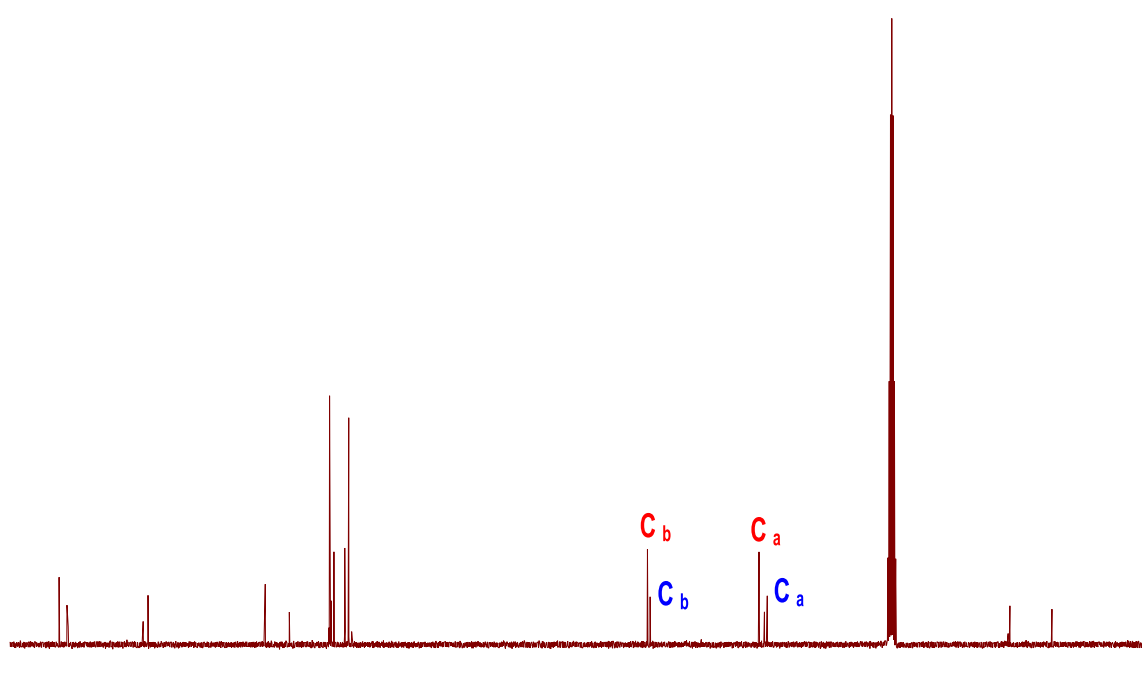


Figura 18S(3.1). Espectros RMN (DMSO- d_6) de las oxazolidin-2-onas obtenidas por derivatización de los productos **3cj** y **4cj** de la reacción aldólica catalizada por SHMT_{Sth} nativa: a) ^1H ; b) ^{13}C ; c) 2D ^1H - ^1H COSY y d) HSQC.

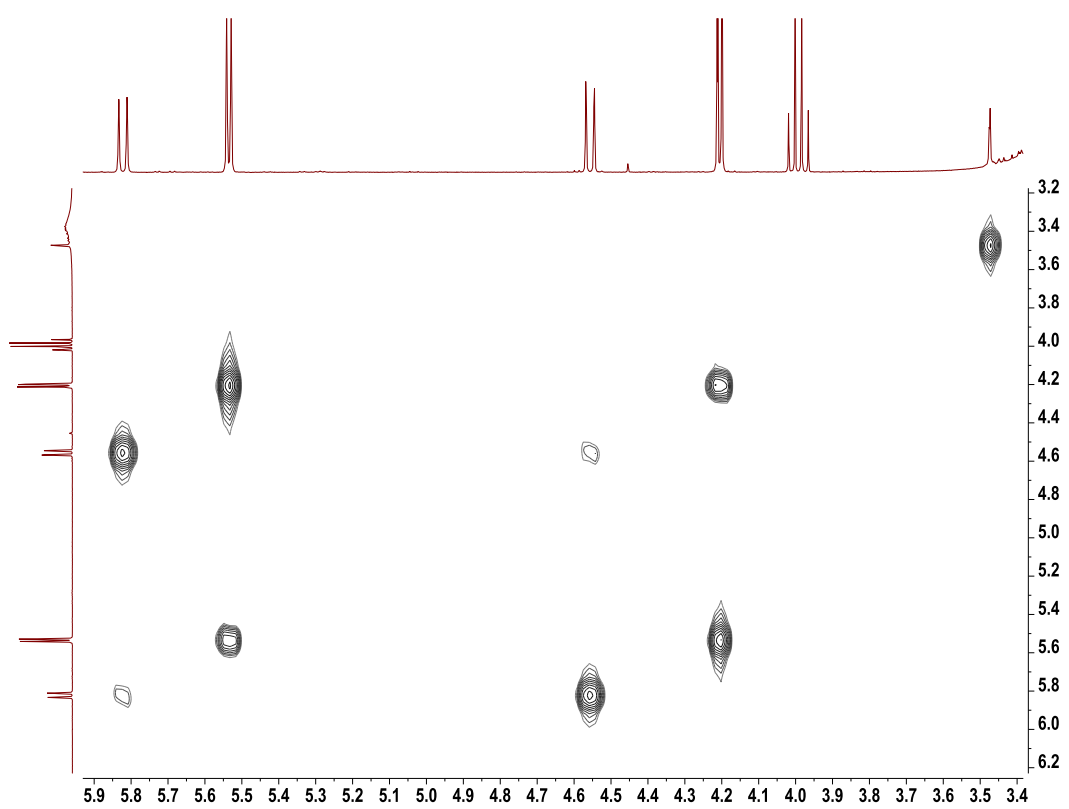
a)



b)



c)



d)

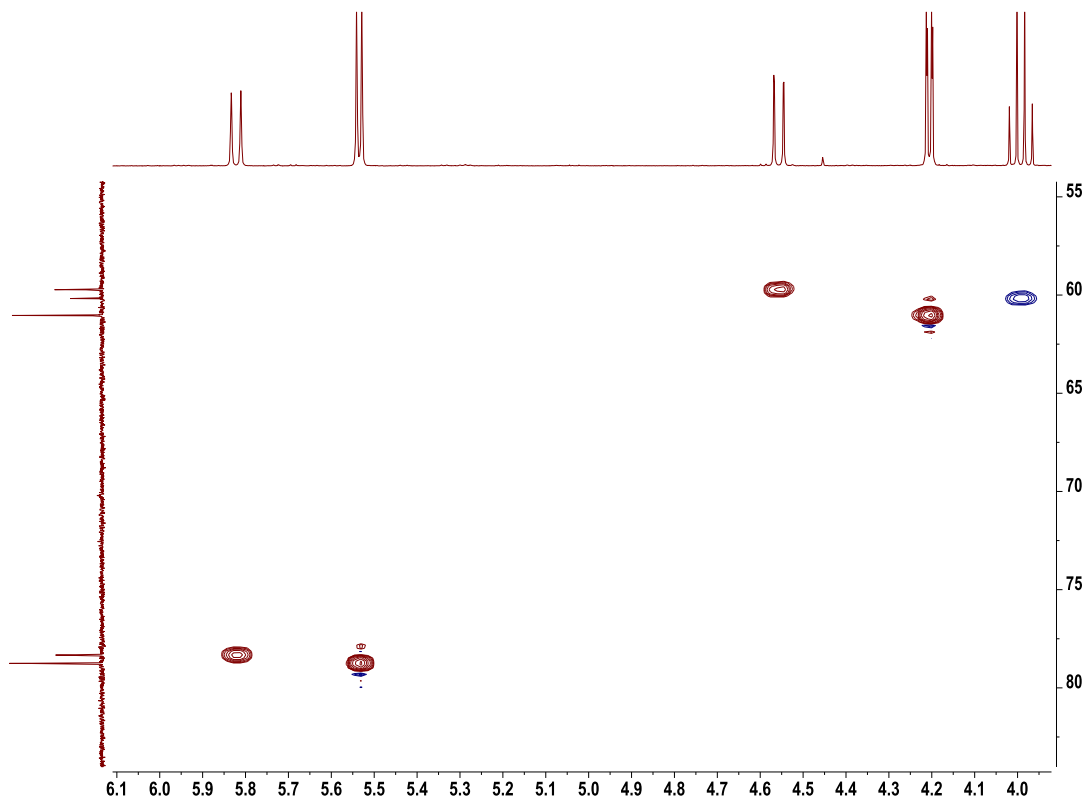
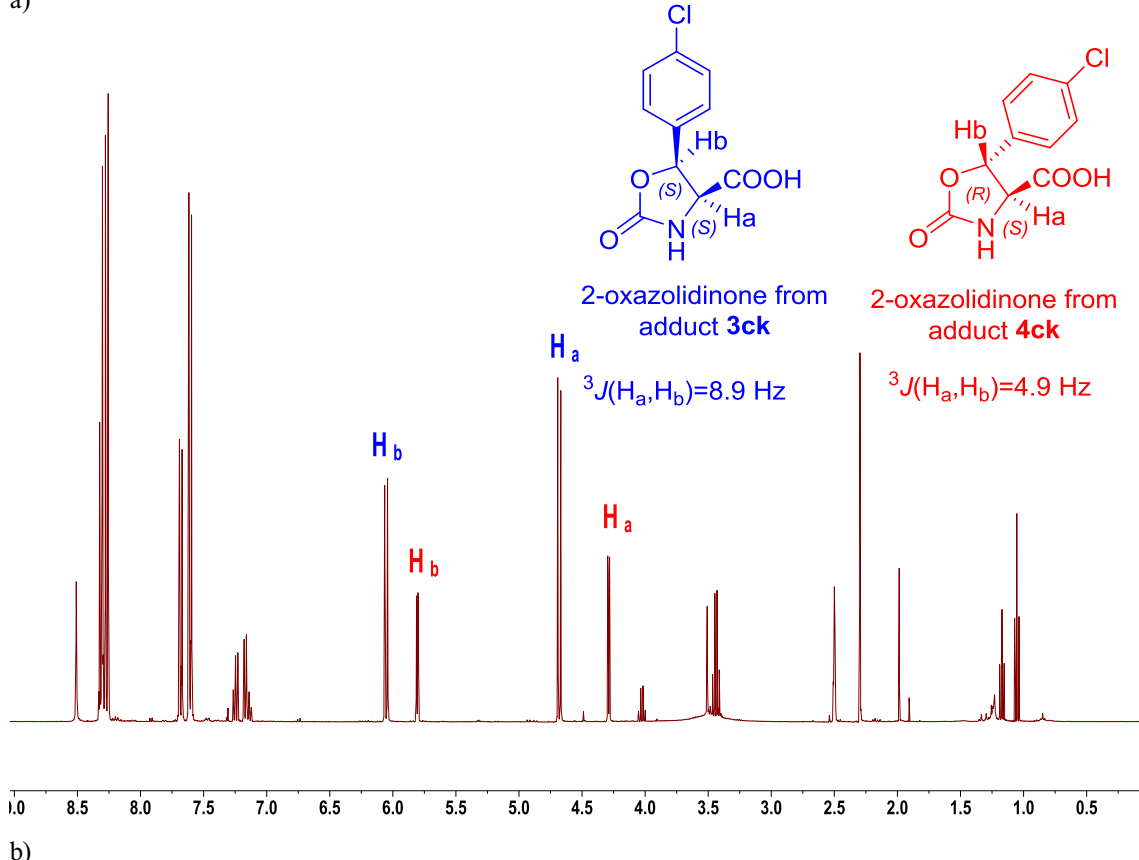
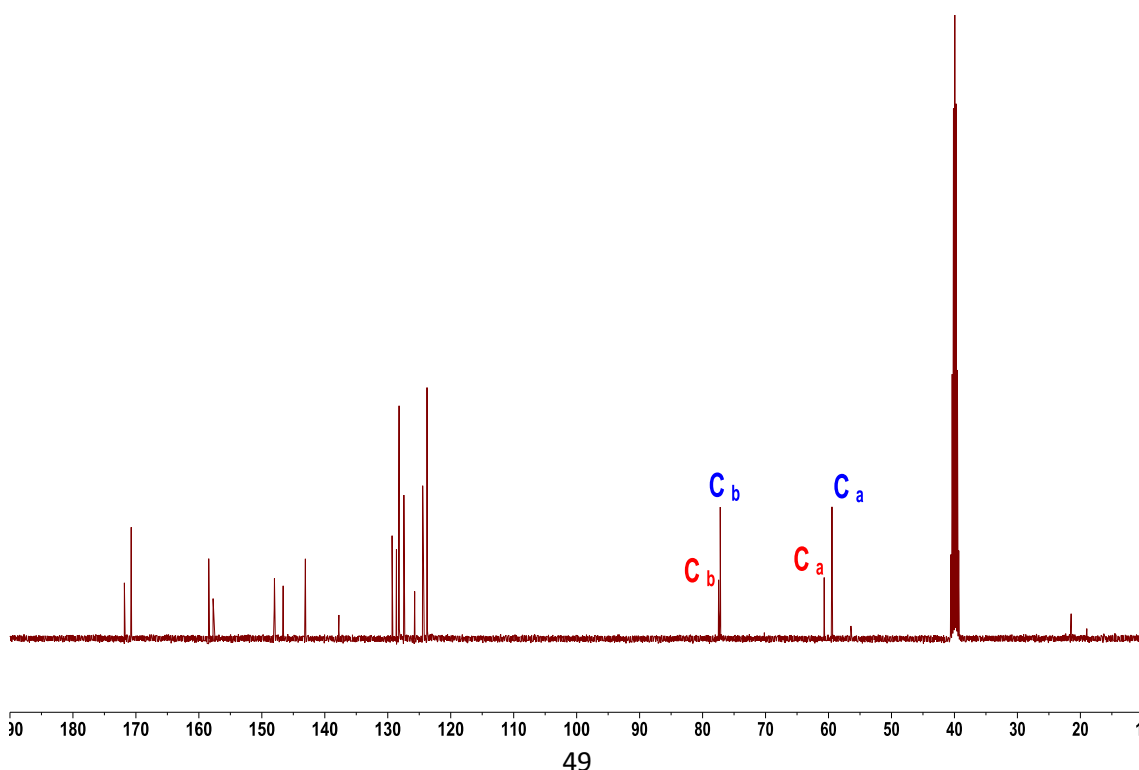


Figura 19S(3.1). Espectros RMN (DMSO- d_6) de las oxazolidin-2-onas obtenidas por derivatización de los productos **3ck** y **4ck** de la reacción aldólica catalizada por SHMT_{Sth} nativa: a) ^1H ; b) ^{13}C ; c) 2D ^1H - ^1H COSY y d) HSQC.

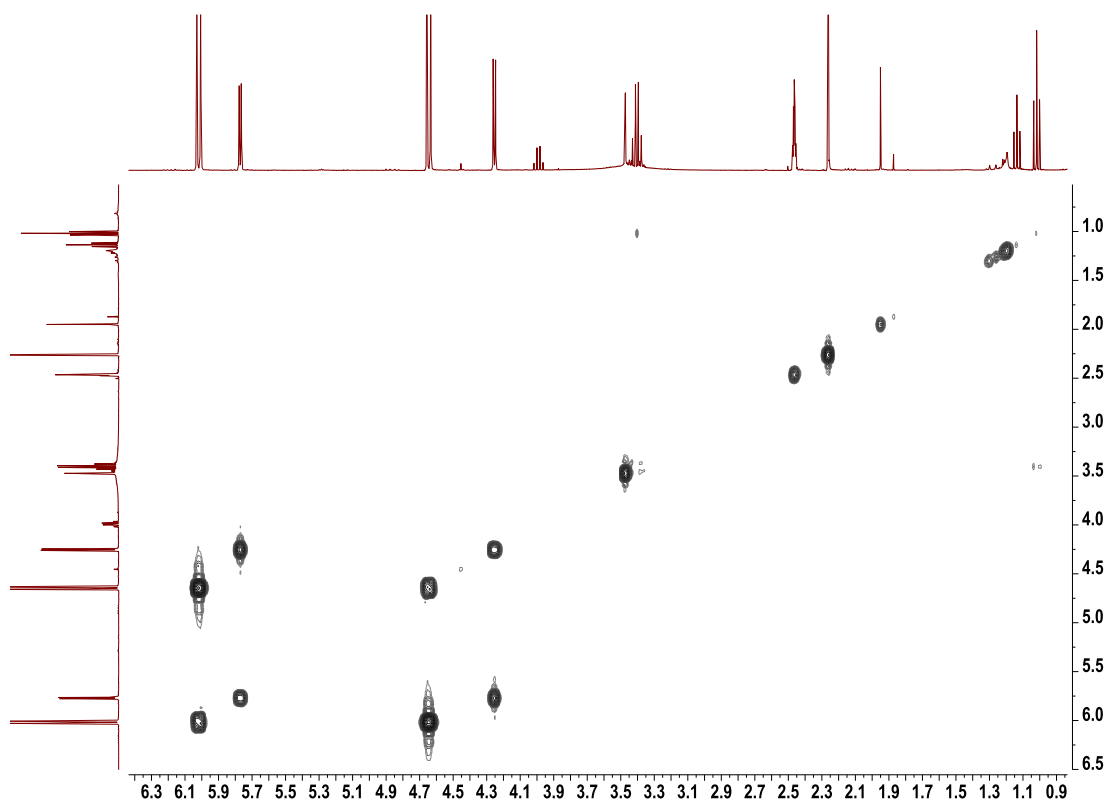
a)



b)



c)



d)

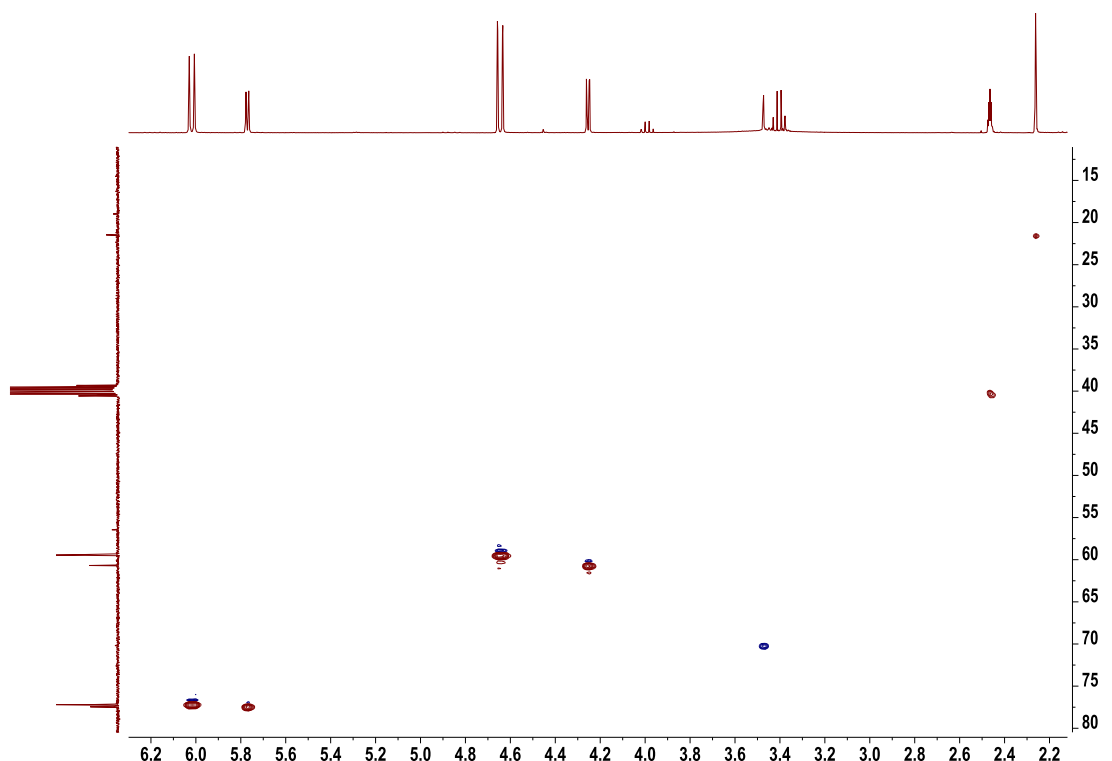
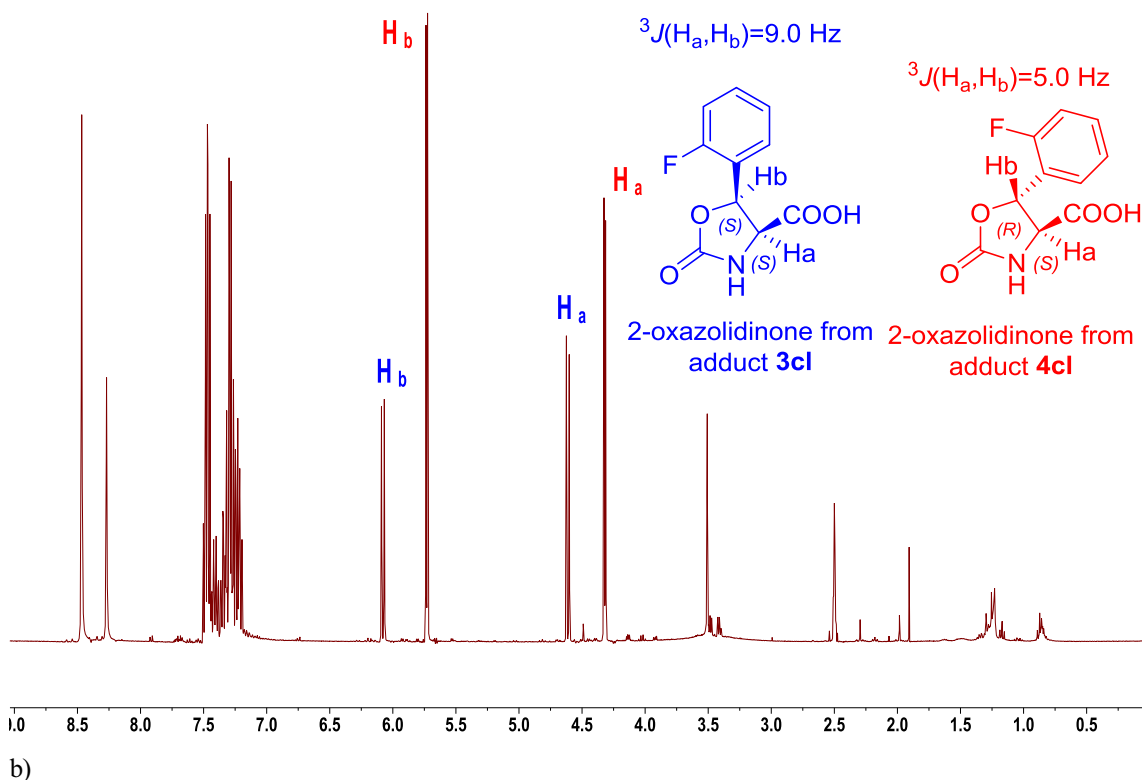
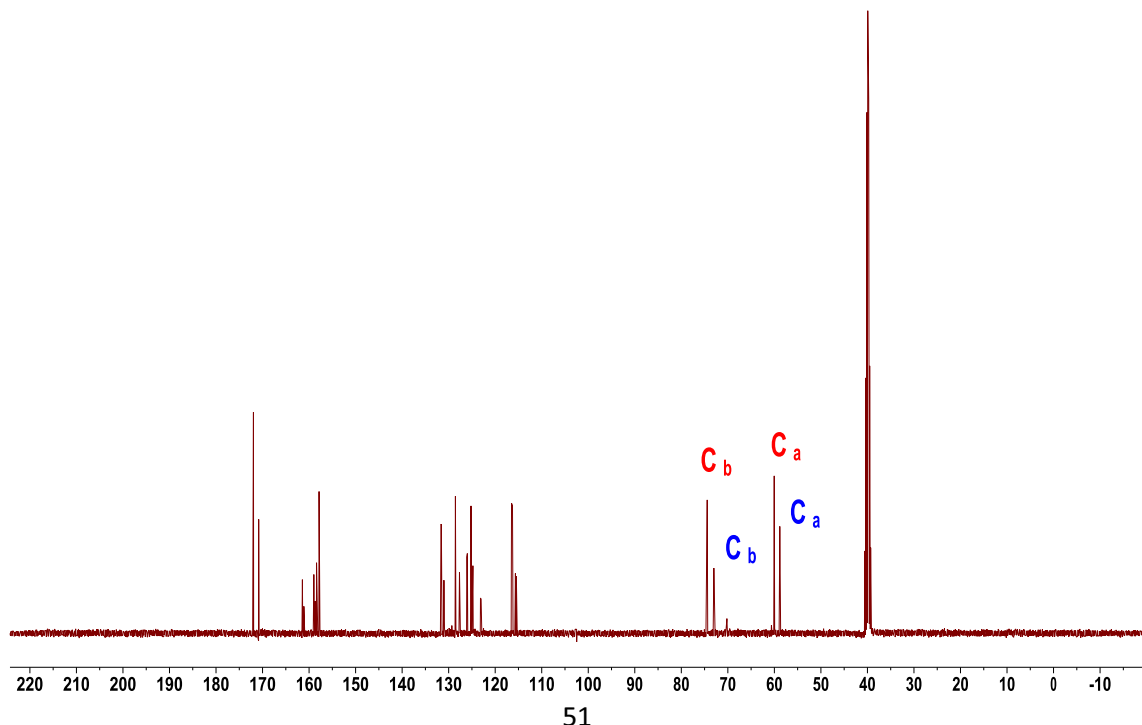


Figura 20S(3.1). Espectros RMN (DMSO- d_6) de las oxazolidin-2-onas obtenidas por derivatización de los productos **3cl** y **4cl** de la reacción aldólica catalizada por SHMT_{Sth} nativa: a) ^1H ; b) ^{13}C ; c) 2D ^1H - ^1H COSY y d) HSQC.

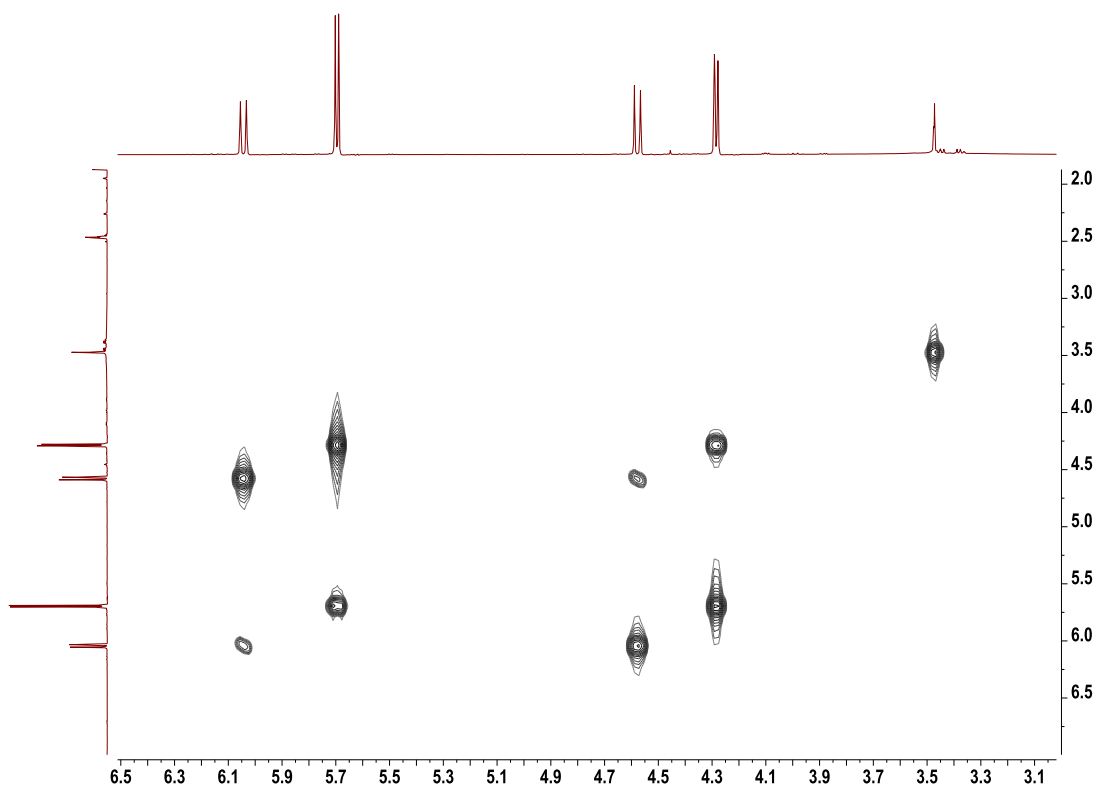
a)



b)



c)



d)

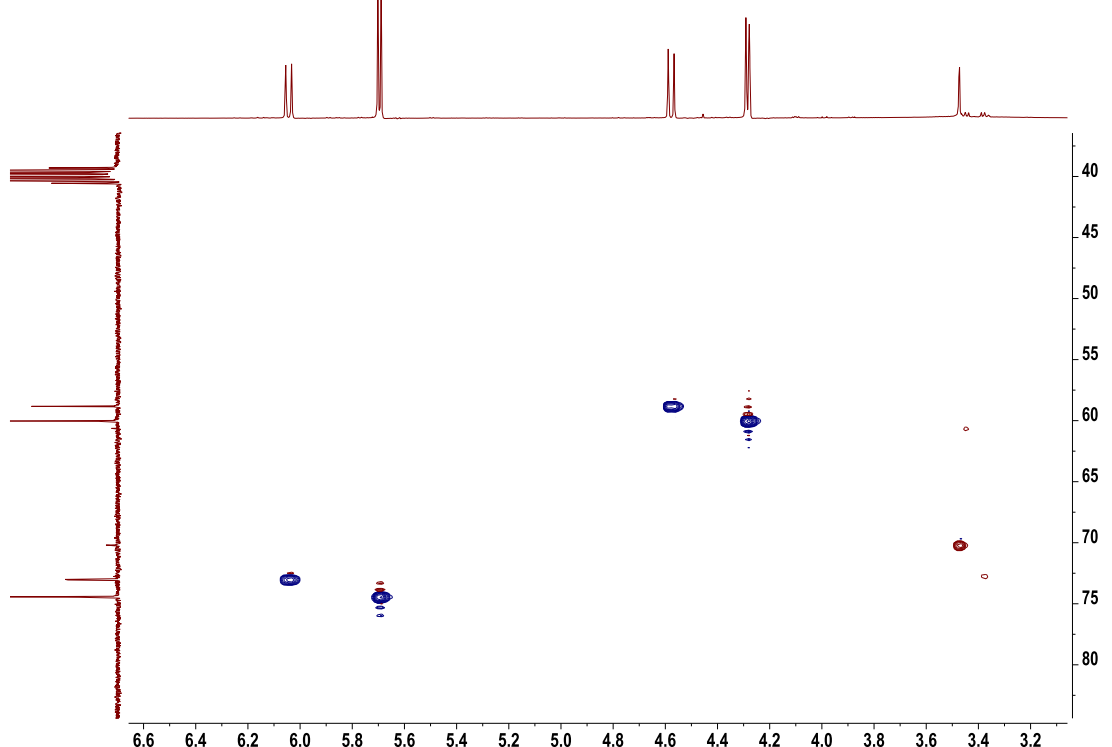
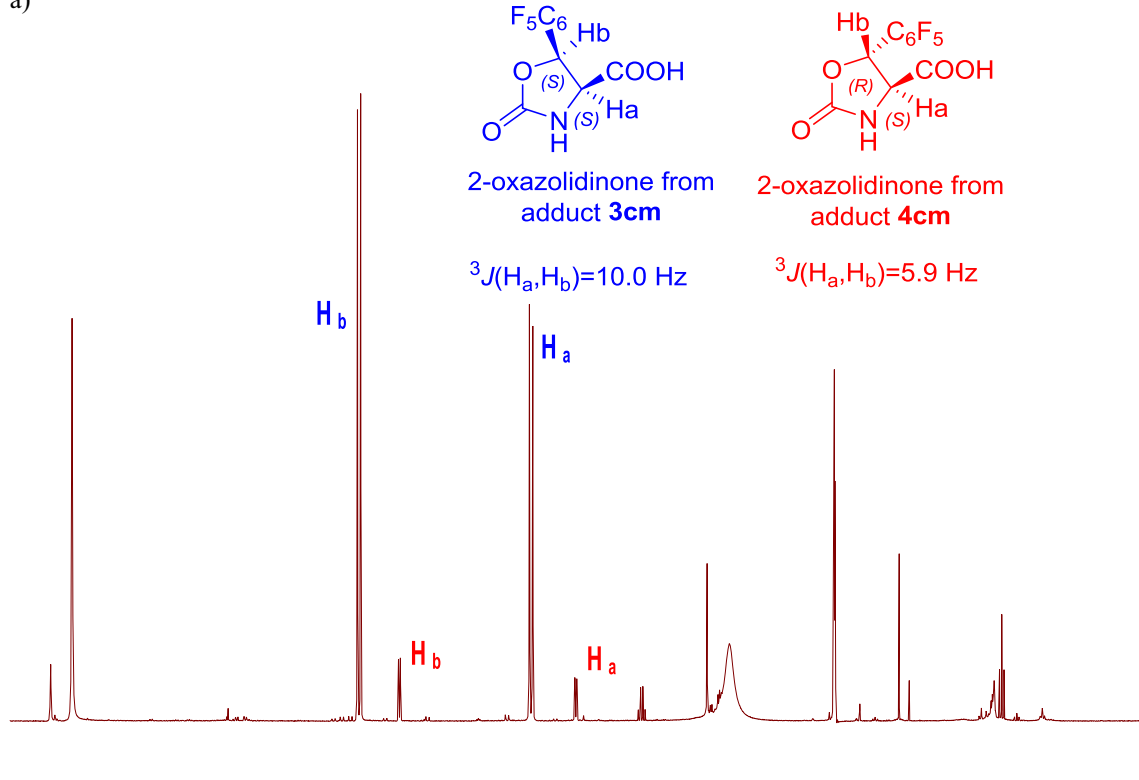
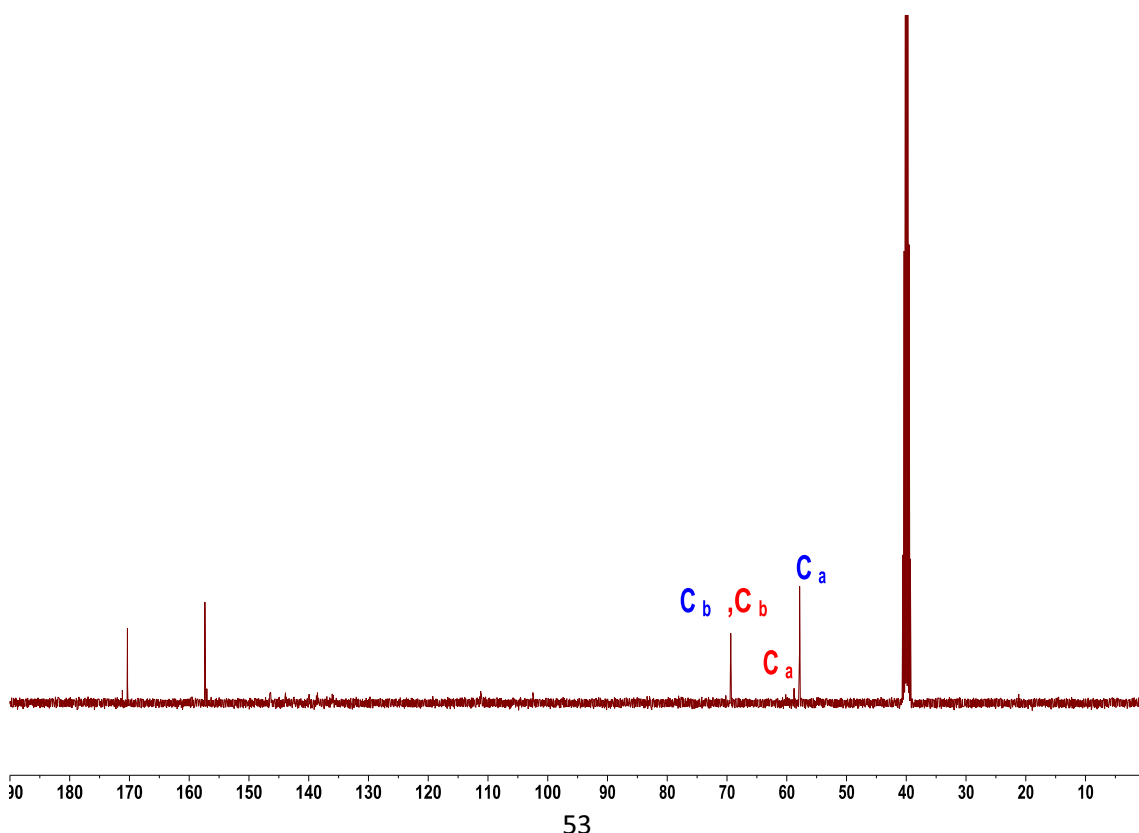


Figura 21S(3.1). Espectros RMN (DMSO- d_6) de las oxazolidin-2-onas obtenidas por derivatización de los productos **3cm** y **4cm** de la reacción aldólica catalizada por SHMT_{Sth} nativa: a) ^1H ; b) ^{13}C ; c) 2D ^1H - ^1H COSY y d) HSQC.

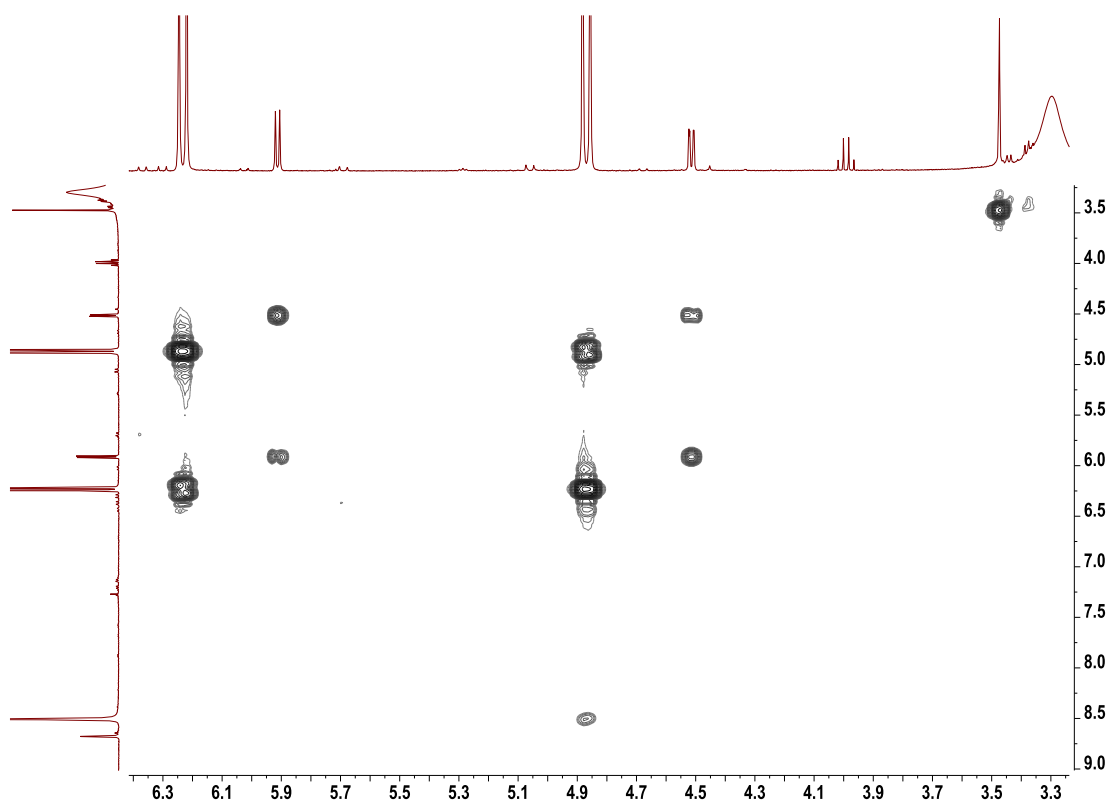
a)



b)



c)



d)

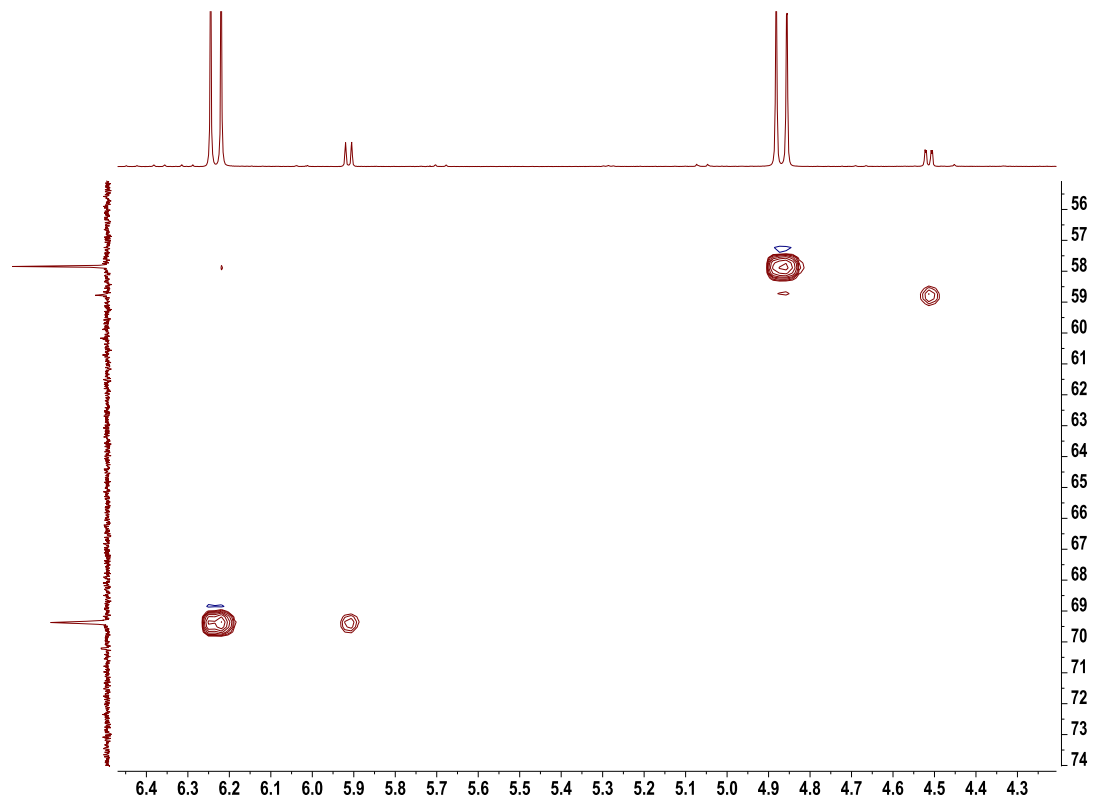
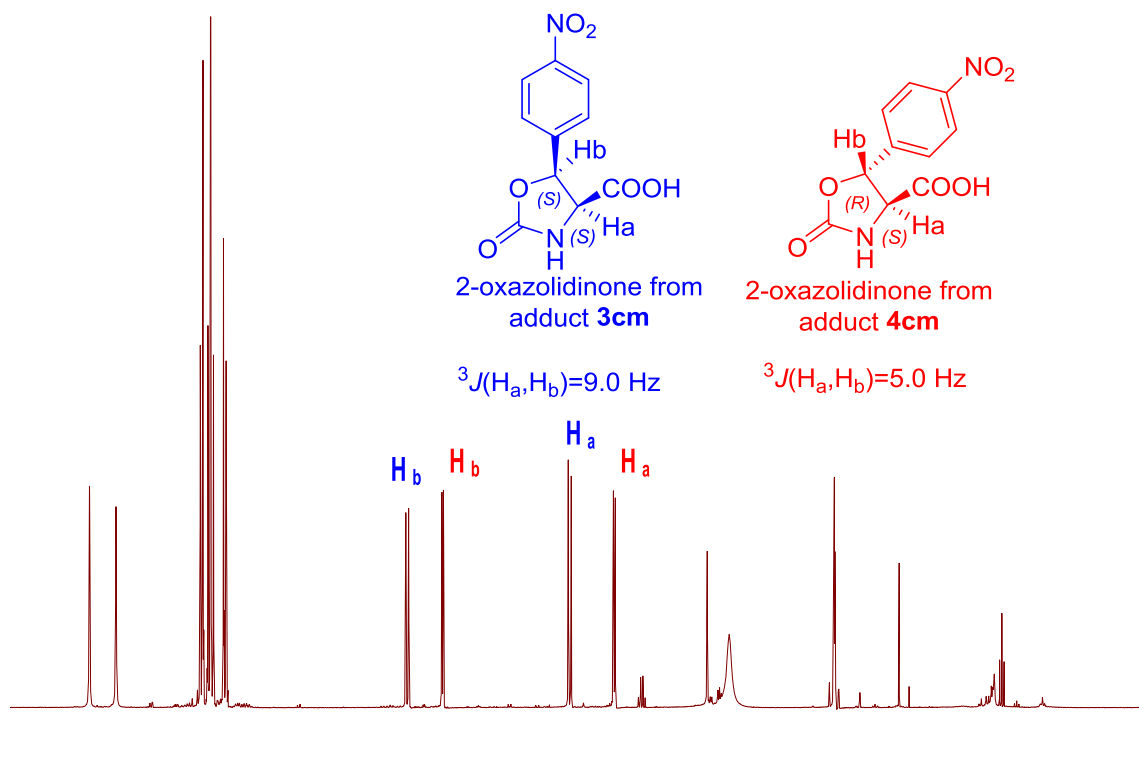
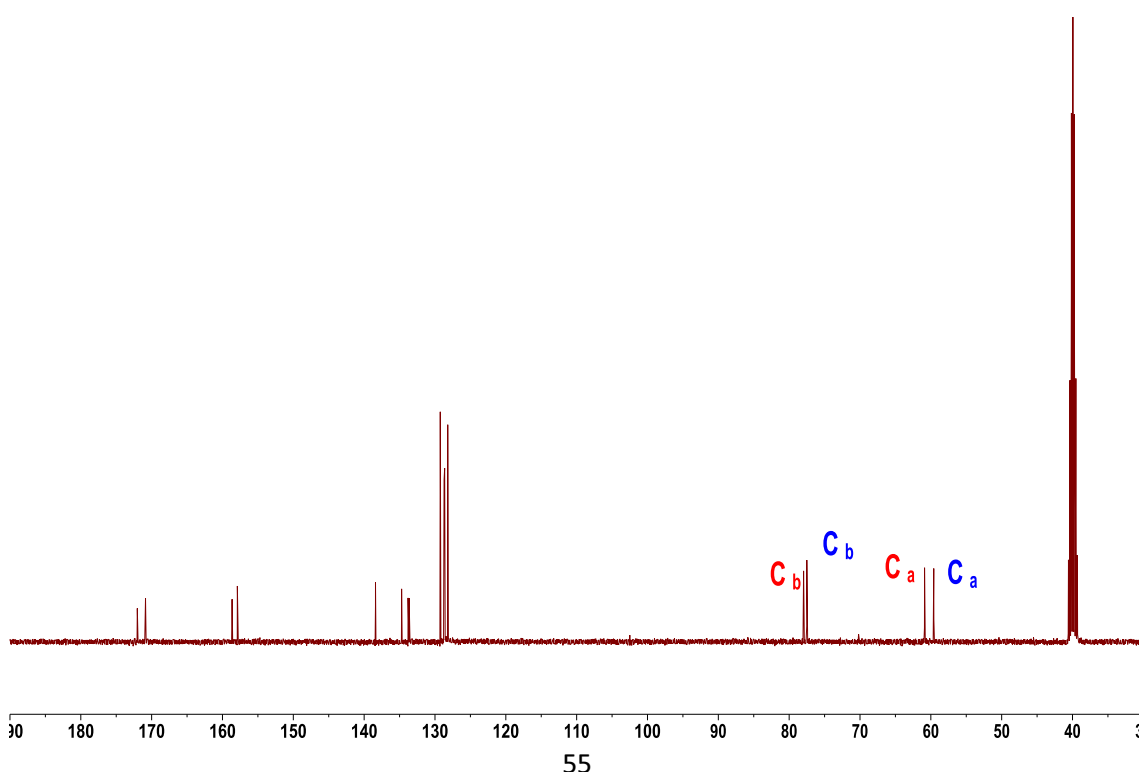


Figura22S(3.1). Espectros RMN (DMSO- d_6) de las oxazolidin-2-onas obtenidas por derivatización de los productos **3cn** y **4cn** de la reacción aldólica catalizada por SHMT_{Sth} nativa: a) ^1H ; b) ^{13}C ; c) 2D ^1H - ^1H COSY, d) HSQC y e) 1D-NOESY selectivo.

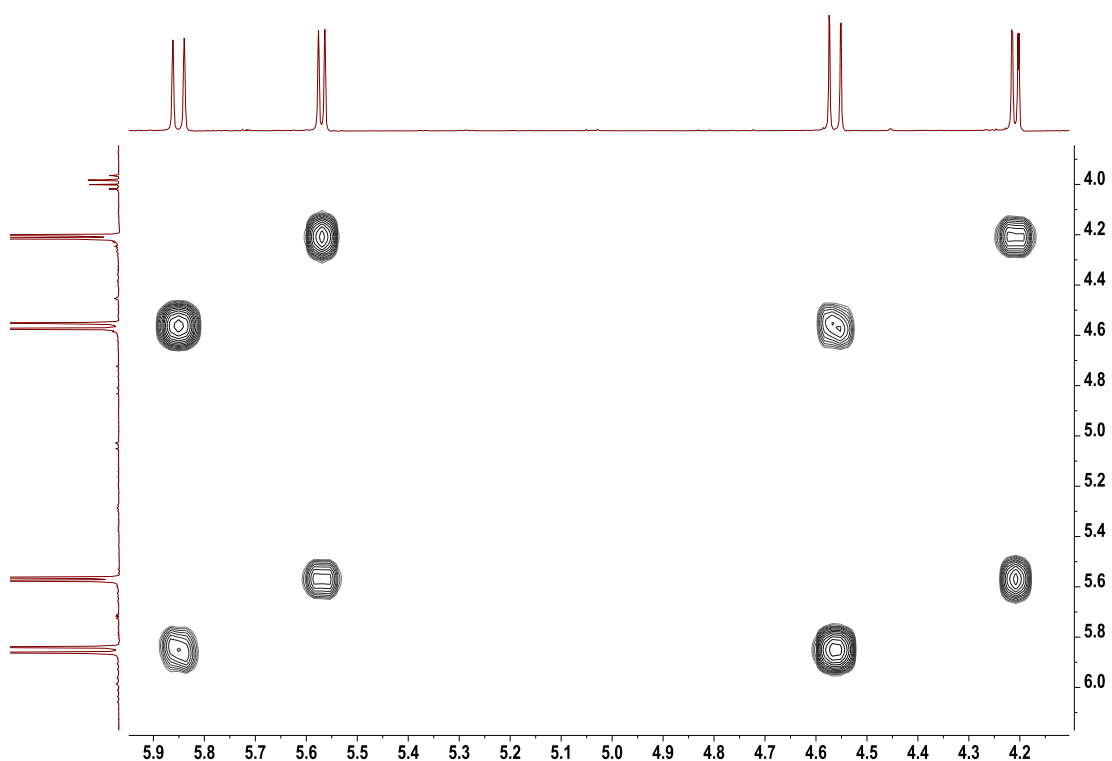
a)



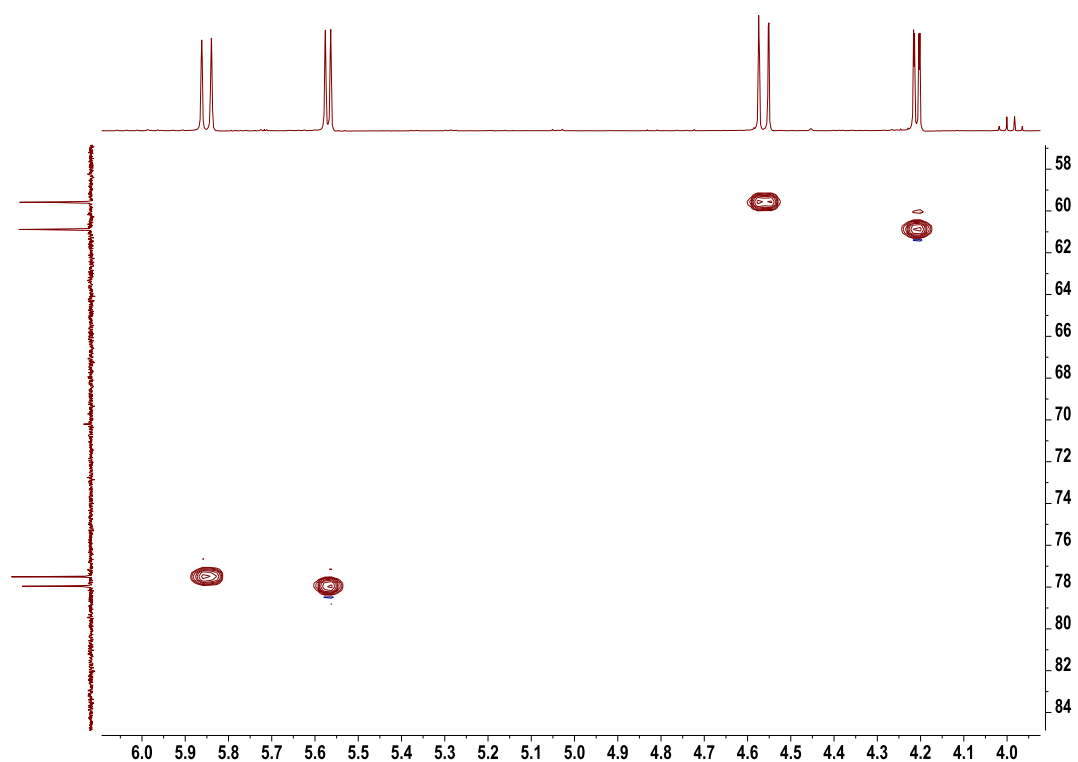
b)



c)



d)



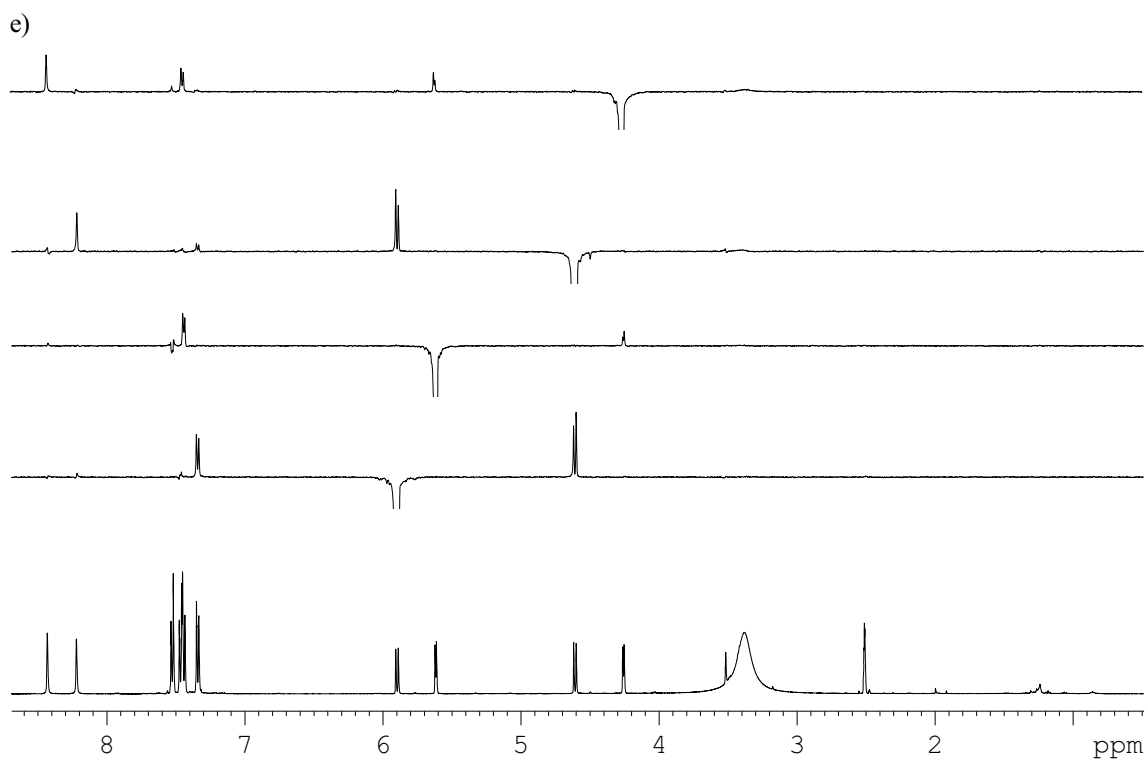
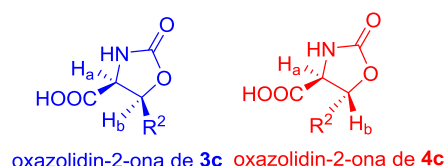


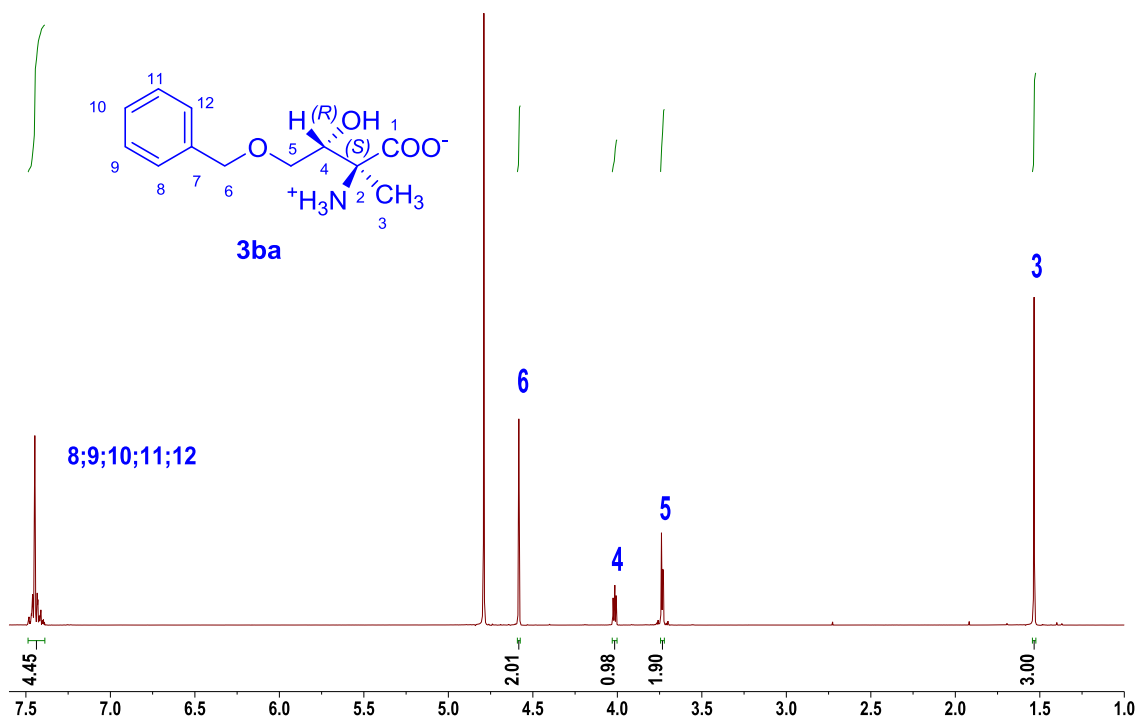
Tabla 7S(3.1). Desplazamiento químico de ^1H y ^{13}C (ppm) y constantes de acoplamiento ($^3J(\text{H}_a, \text{H}_b)$, Hz) de las oxazolidin-2-onas derivadas de **3c** y **4c**.



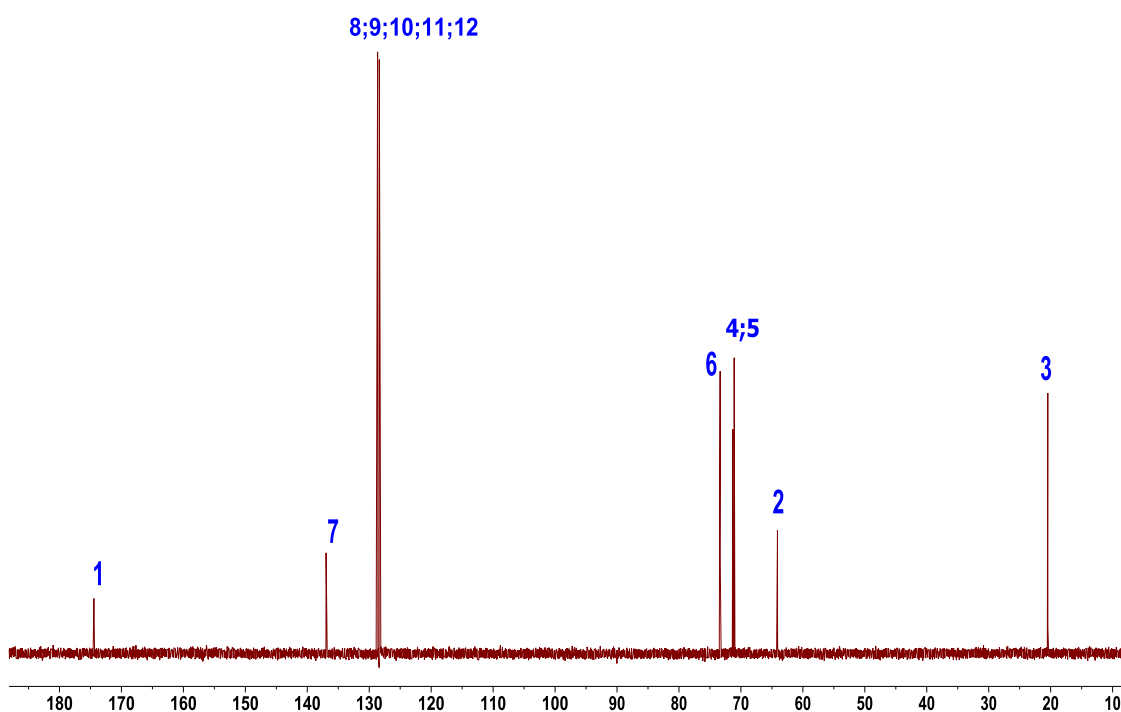
R^2	3						4					RMN solvente
	$\delta(\text{H}_a)$	$\delta(\text{H}_b)$	$^3J(\text{H}_a, \text{H}_b)$	$\delta(\text{C}_a)$	$\delta(\text{C}_b)$	$\delta(\text{H}_a)$	$\delta(\text{H}_b)$	$^3J(\text{H}_a, \text{H}_b)$	$\delta(\text{C}_a)$	$\delta(\text{C}_b)$		
BnO(CH ₂) ₃ (3cb, 4cb)	4.27	4.69	8.5	57.87	77.30	4.02	4.49	4.8	58.67	78.48	DMSO-d ₆	
Ph(CH ₂) ₂ (3ch, 4ch)	4.31	4.67	8.8	57.54	76.48	4.11	4.44	5.4	58.39	77.73	DMSO-d ₆	
PhOCH ₂ (3ci, 4ci)	4.50	5.11	9.8	55.32	75.00	4.26	4.87	5.0	55.40	76.11	DMSO-d ₆	
Ph (3cj, 4cj)	4.59	5.86	8.9	59.59	78.12	4.24	5.57	4.9	60.92	78.81	DMSO-d ₆	
4-ClC ₆ H ₄ (3ck, 4ck)	4.69	6.09	8.9	59.22	77.11	4.28	5.8	4.9	60.59	77.51	DMSO-d ₆	
2-FC ₆ H ₄ (3cl, 4cl)	4.61	6.08	9.0	58.70	73.02	4.32	5.74	5.0	59.84	74.52	DMSO-d ₆	
C ₆ F ₅ (3cm, 4cm)	4.90	6.27	10.0	57.82	69.22	4.55	5.95	5.9	58.72	69.22	DMSO-d ₆	
4-O ₂ NC ₆ H ₄ (3cn, 4cn)	4.59	5.89	9.0	59.45	77.52	4.24	5.61	5.0	60.81	77.89	DMSO-d ₆	

Figura23S(3.1). Espectros de RMN (D_2O) de **3ba** de la reacción aldólica catalizada por SHMT_{Sth} Y55T:
a) 1H ; b) ^{13}C ; c) 2D 1H - 1H COSY y d) HSQC.

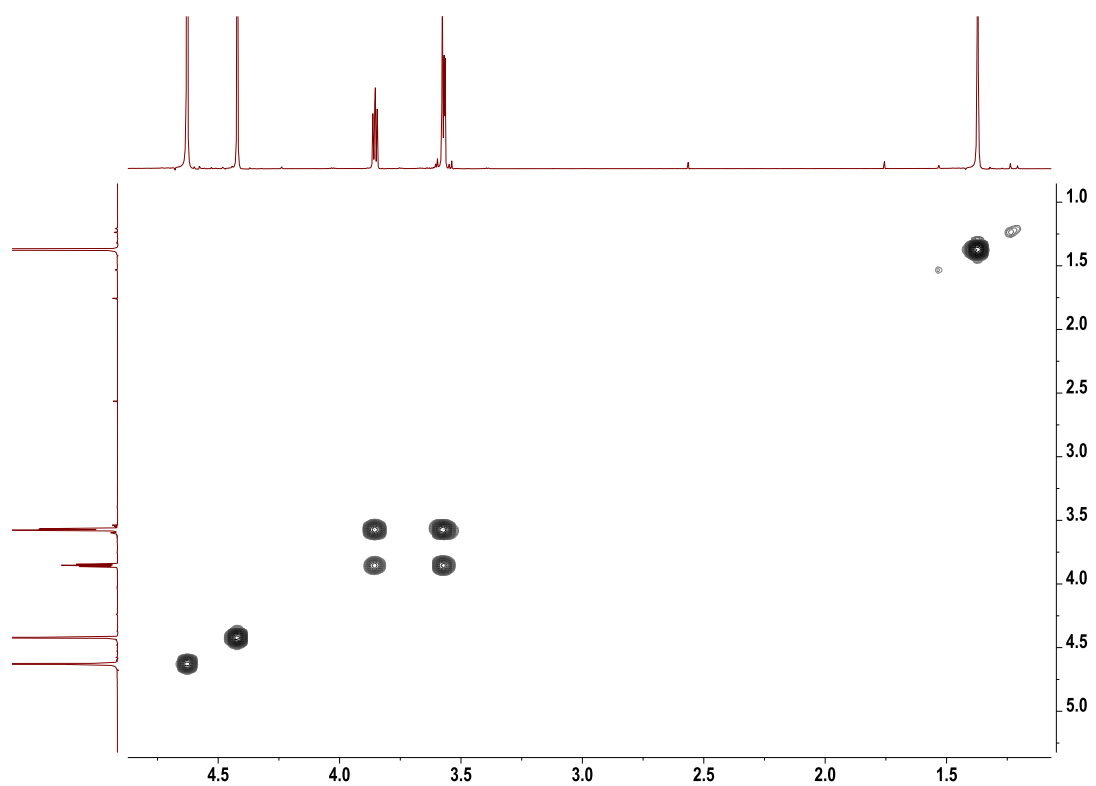
a)



b)



c)



d)

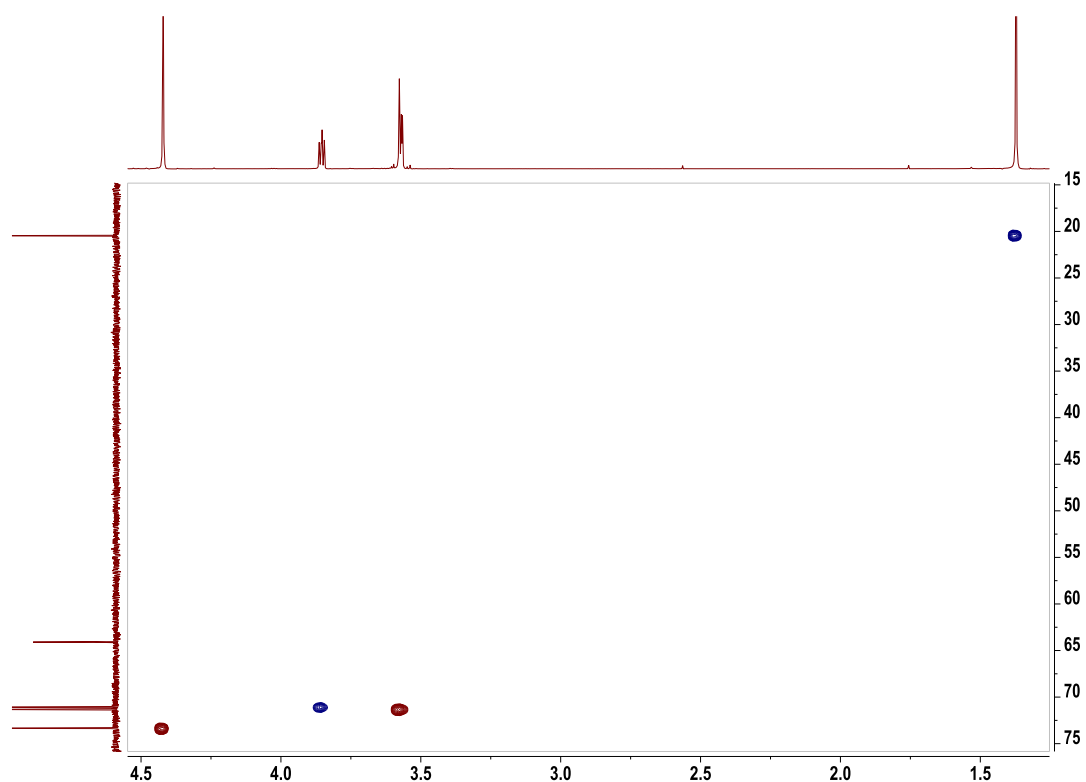
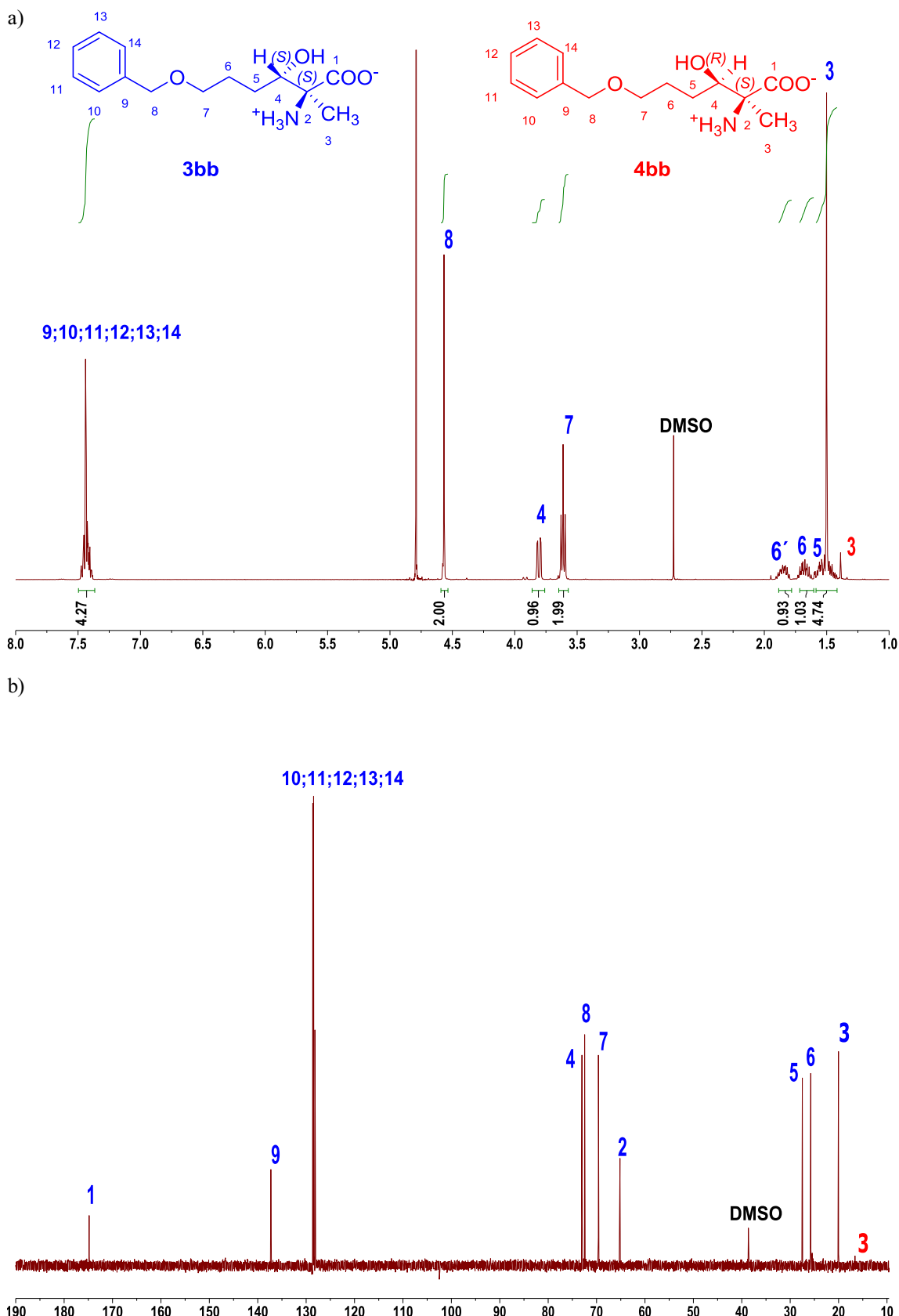
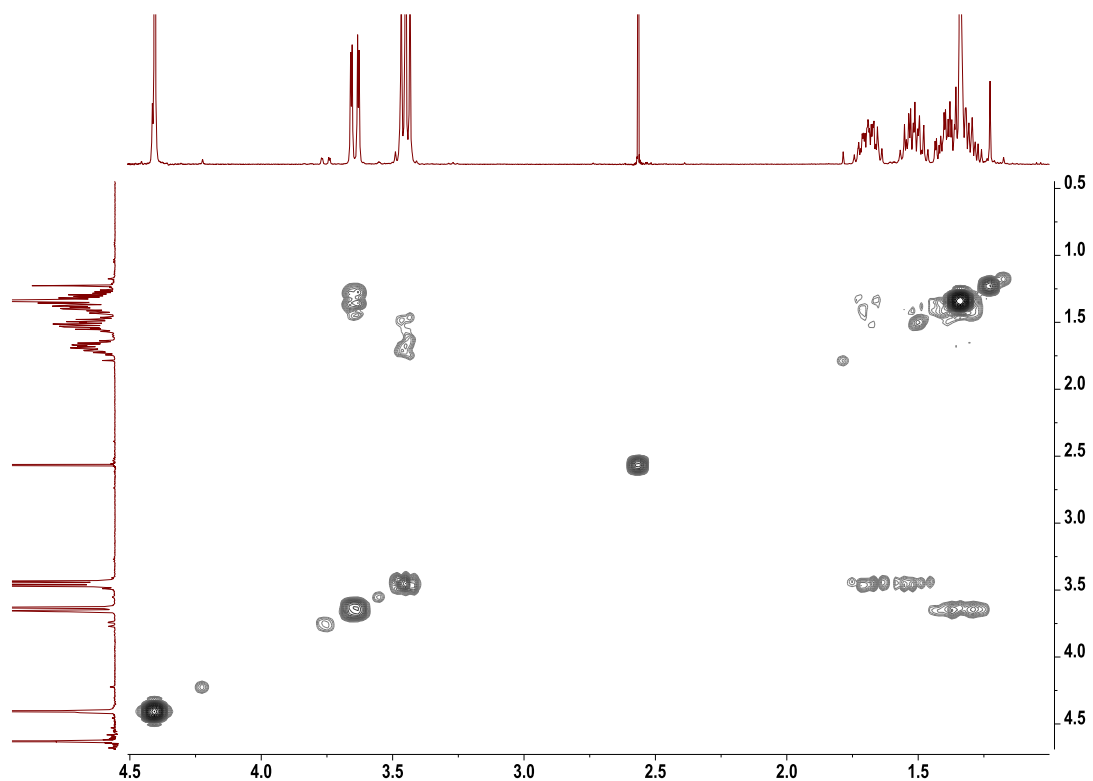


Figura24S(3.1). Espectros de RMN (D_2O) de **3bb** y **4bb** de la reacción aldólica catalizada por SHMT_{Sth} Y55T; a) 1H ; b) ^{13}C ; c) 2D 1H - 1H COSY y d) HSQC.



c)



d)

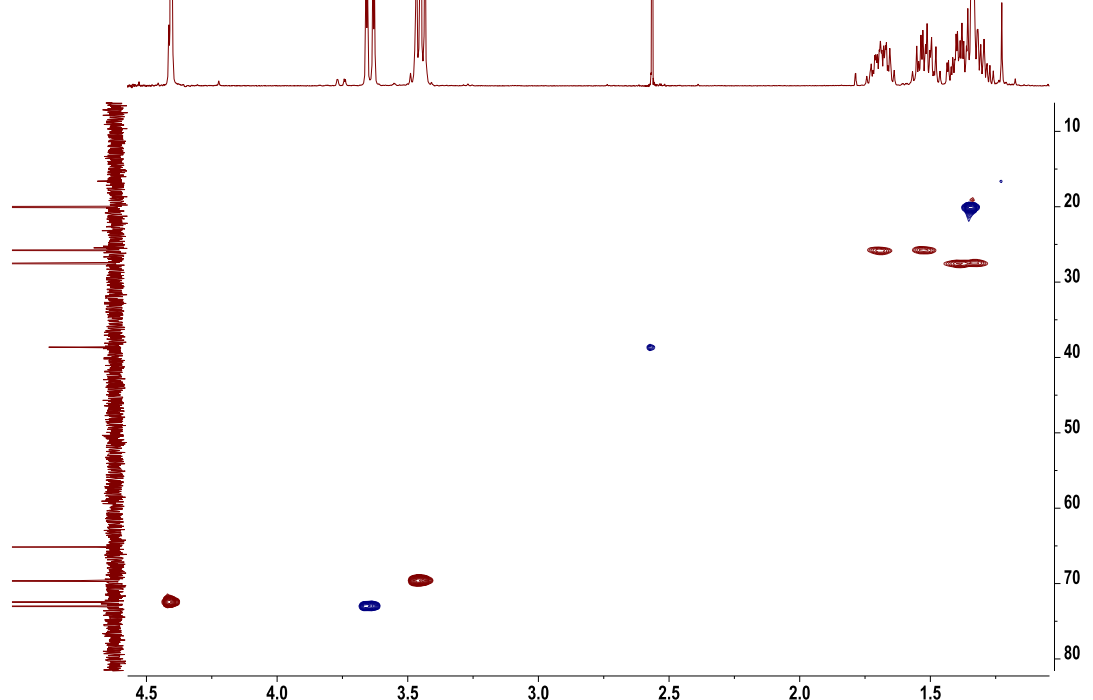
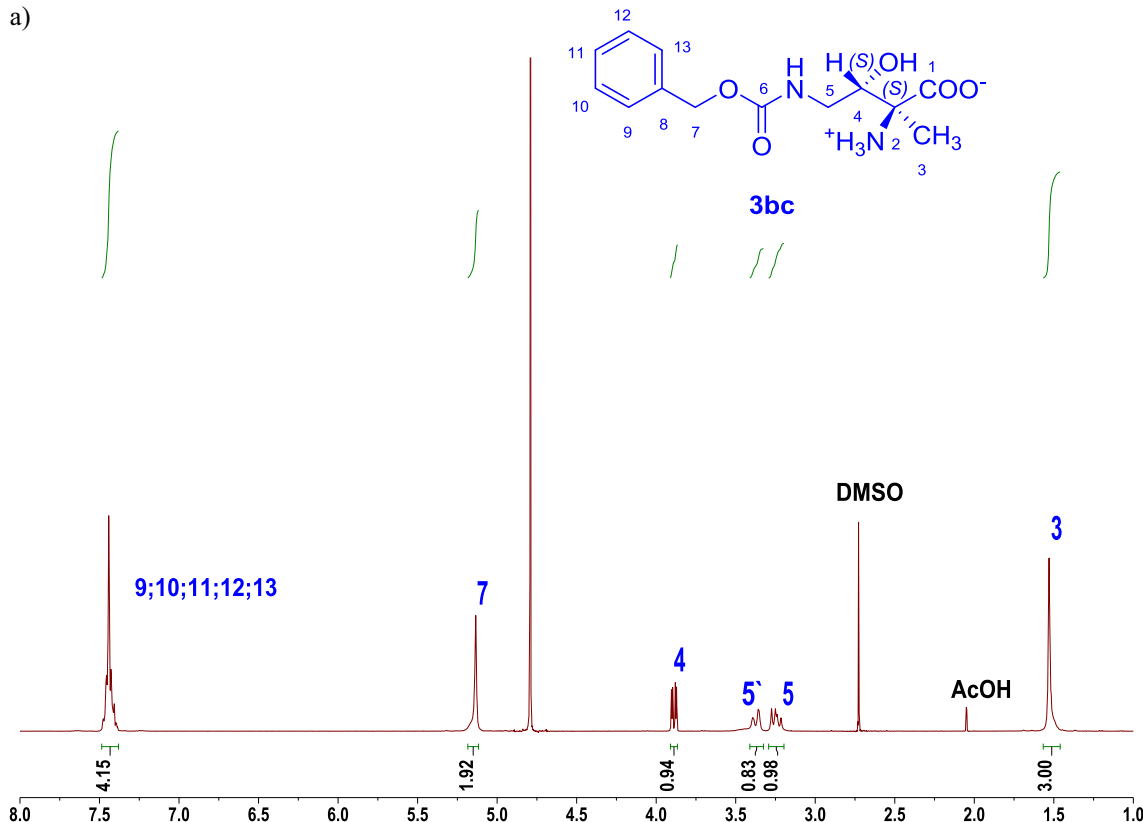
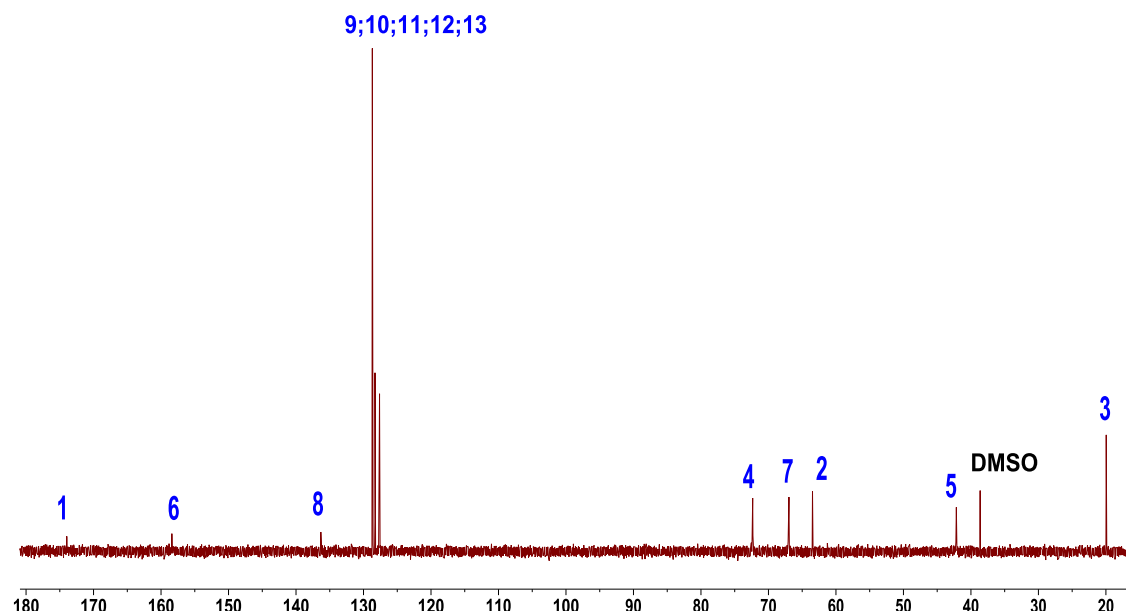


Figura25S(3.1). Espectro de RMN (D_2O) de **3bc** de la reacción aldólica catalizada por SHMT_{Sth} Y55T: a) 1H ; b) ^{13}C ; c) 2D 1H - 1H COSY y d) HSQC.

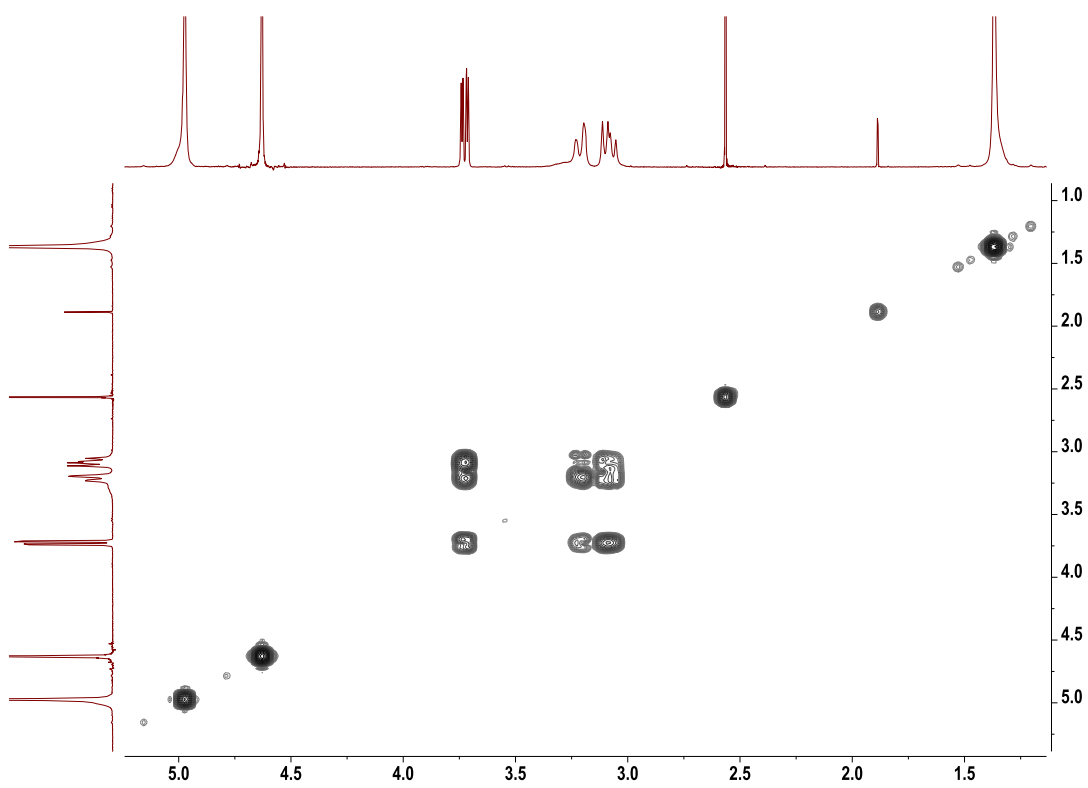
a)



b)



c)



d)

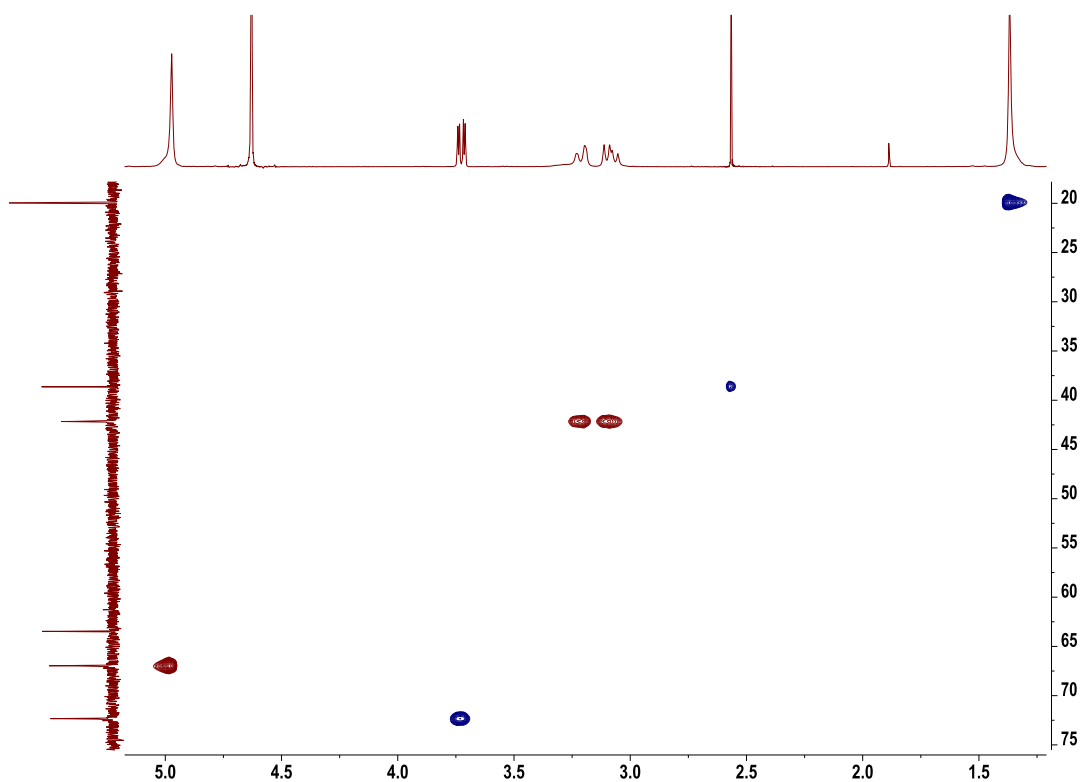
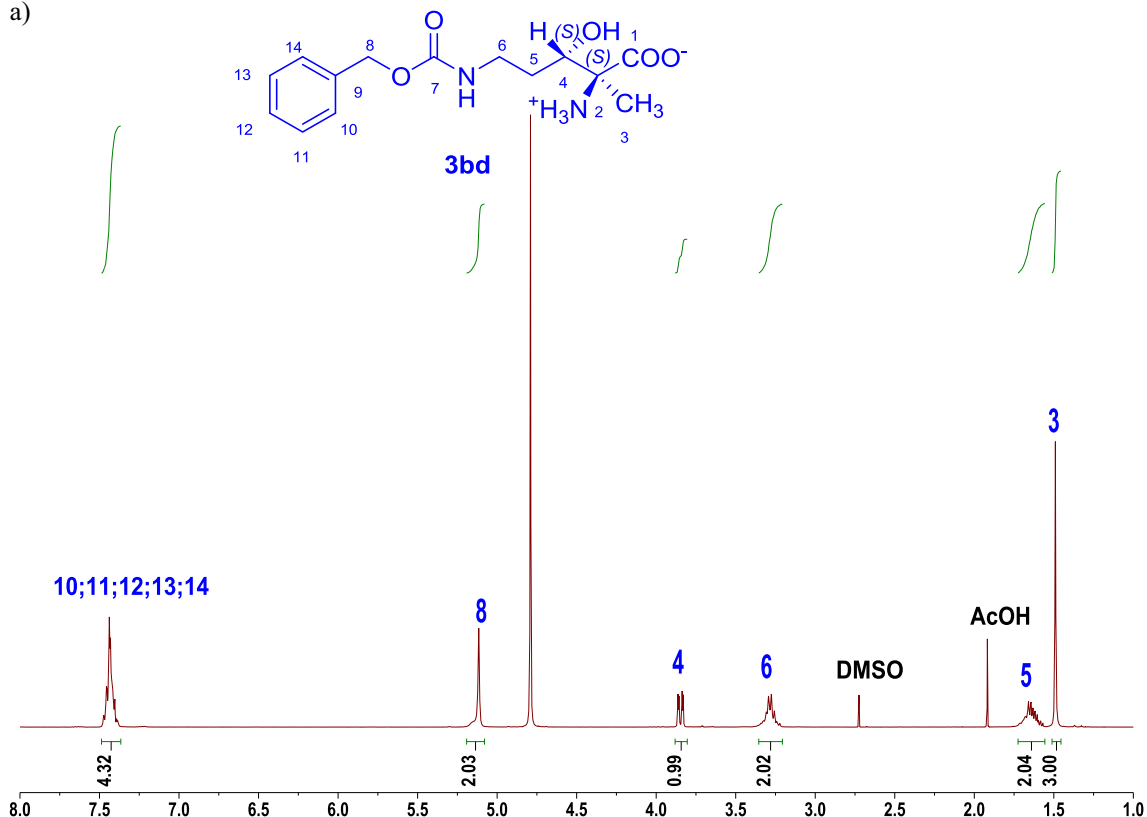
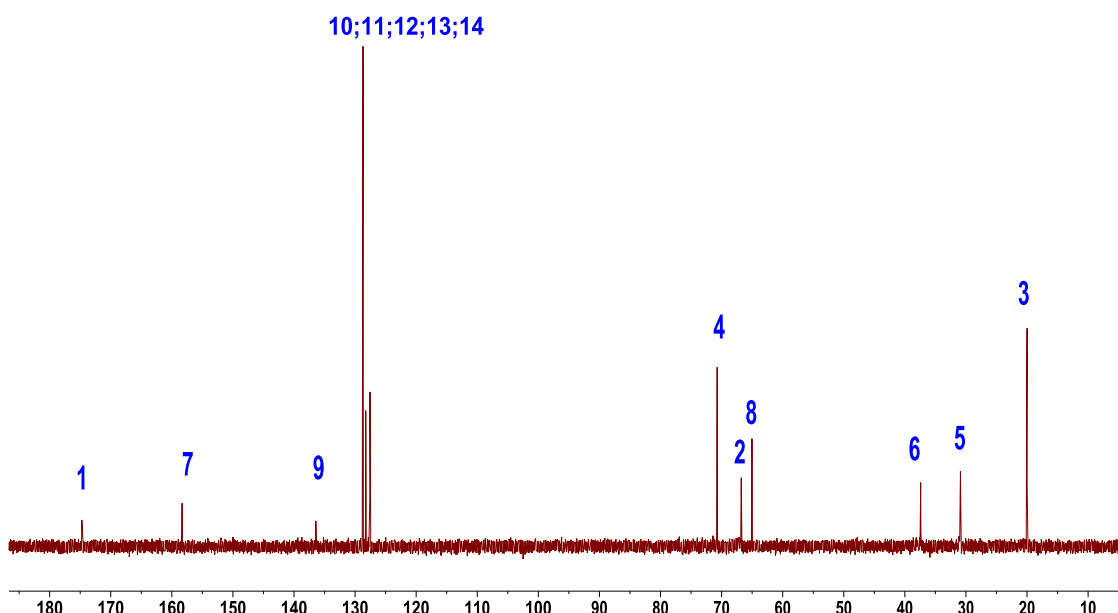


Figura26S(3.1). Espectro de RMN (D_2O) de **3bd** de la reacción aldólica catalizada por SHMT_{Sth} Y55T:
a) 1H ; b) ^{13}C ; c) 2D 1H - 1H COSY y d) HSQC.

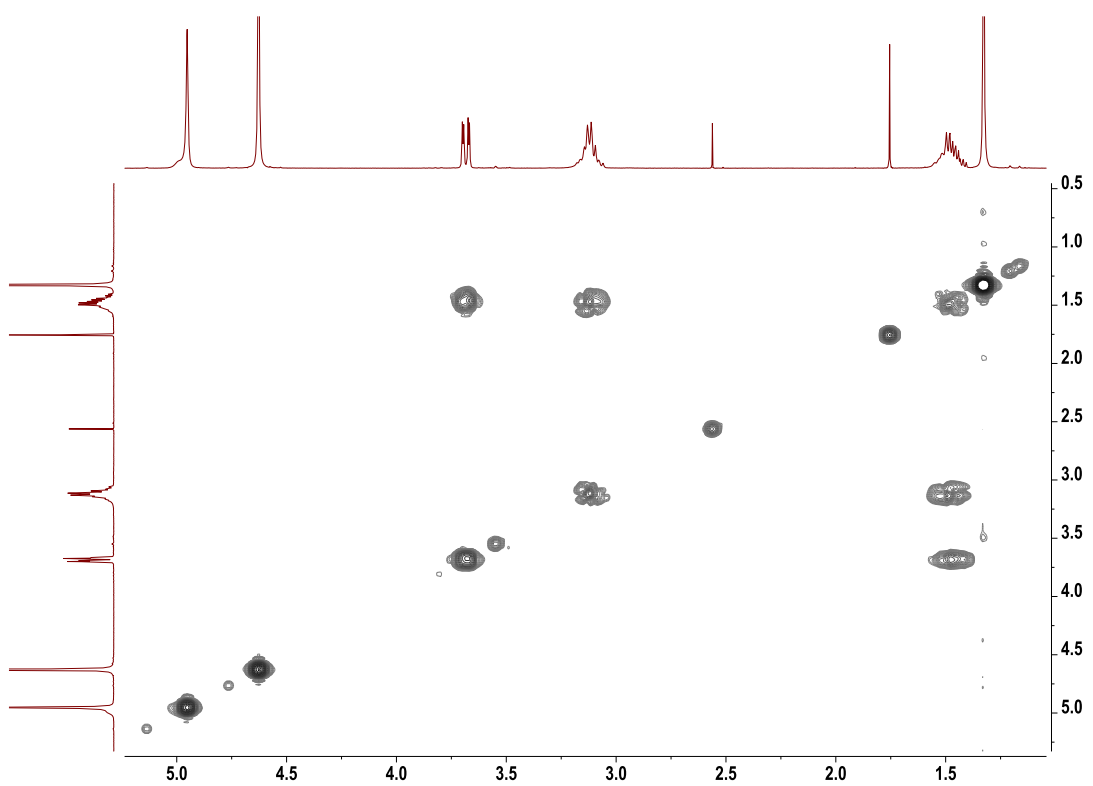
a)



b)



c)



d)

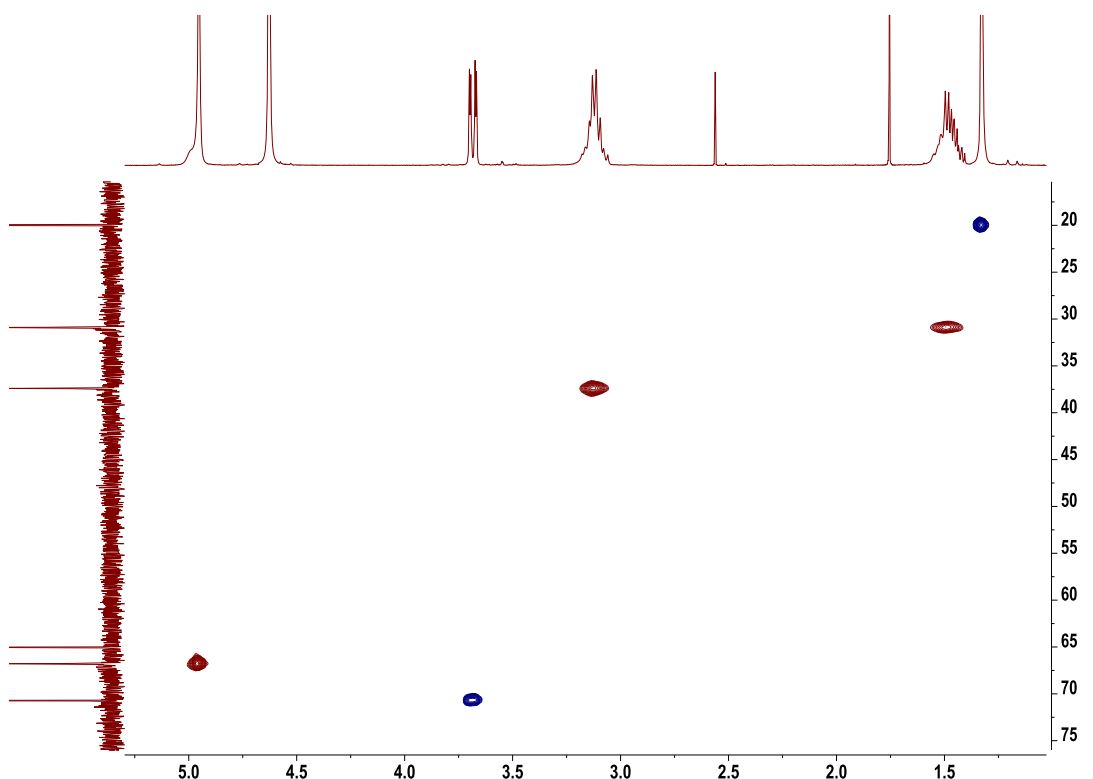
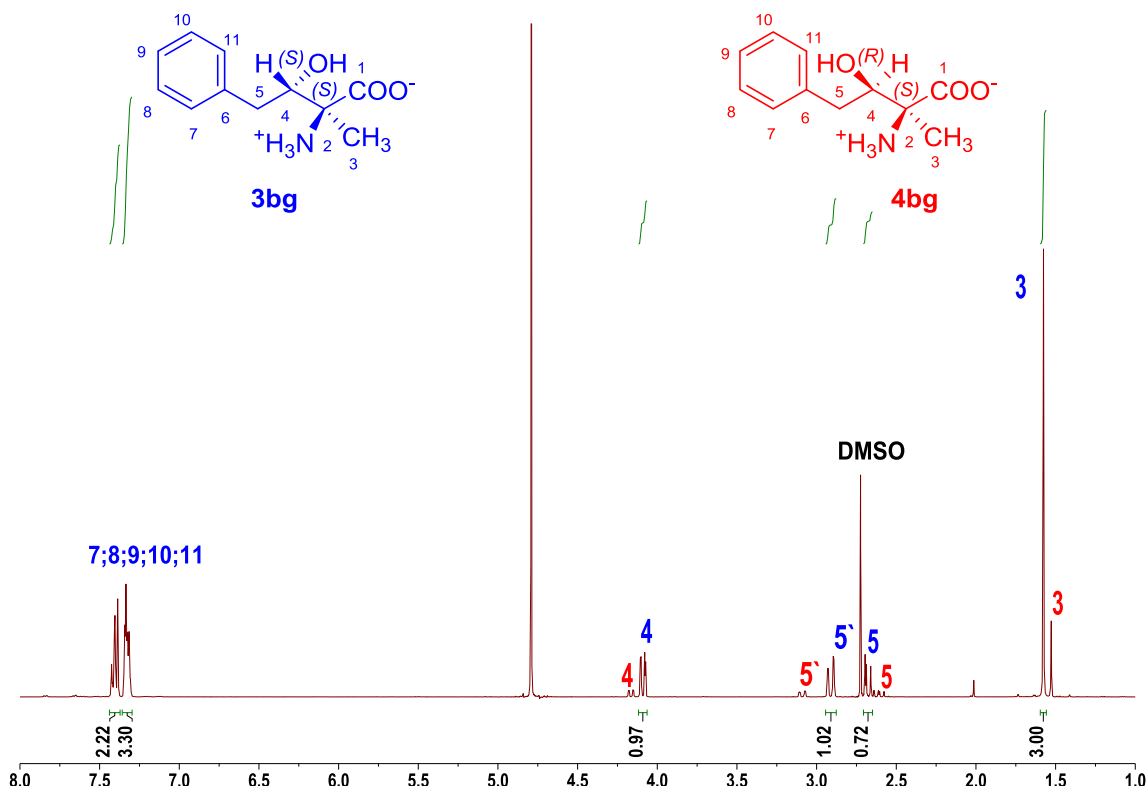
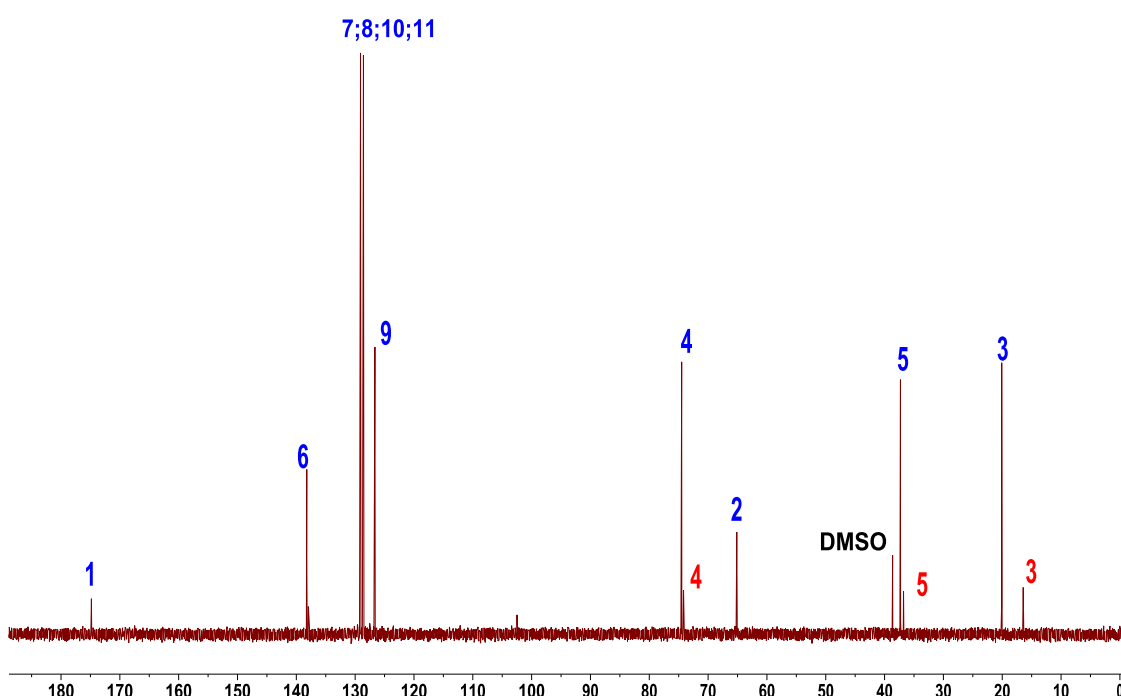


Figura 27S(3.1). Espectro de RMN (D_2O) de **3bg** y **4bg** de la reacción aldólica catalizada por SHMT_{Sth} Y55T; a) 1H ; b) ^{13}C ; c) 2D 1H - 1H COSY y d) HSQC.

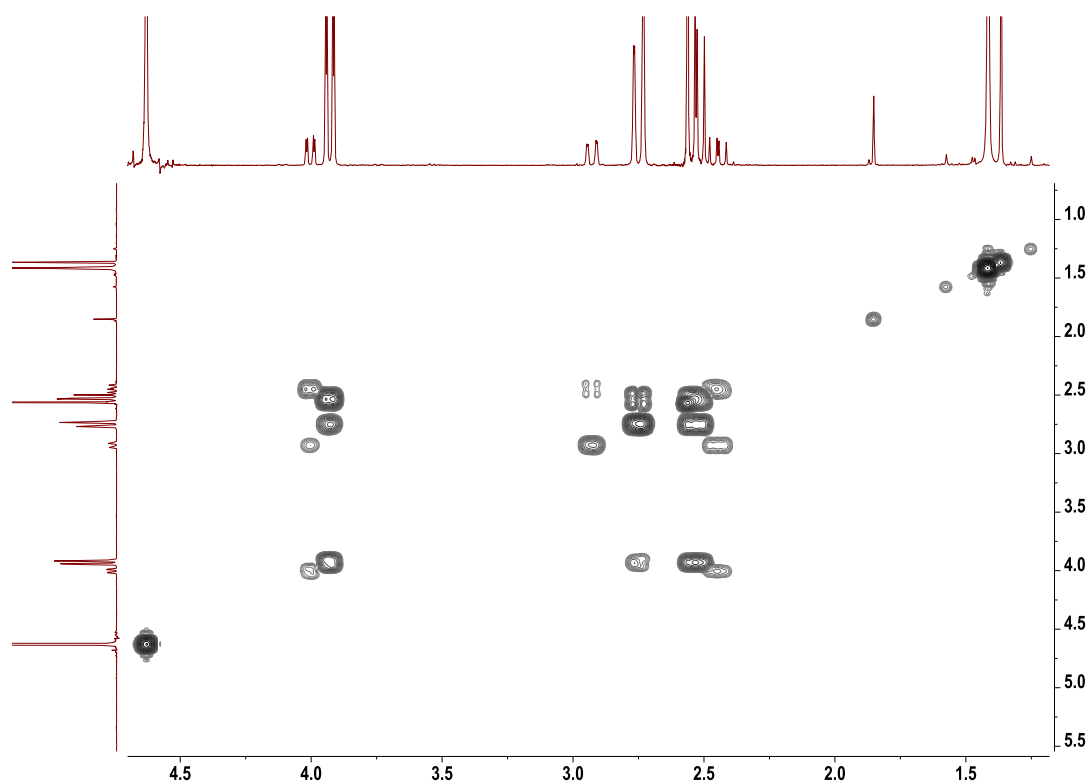
a)



b)



c)



d)

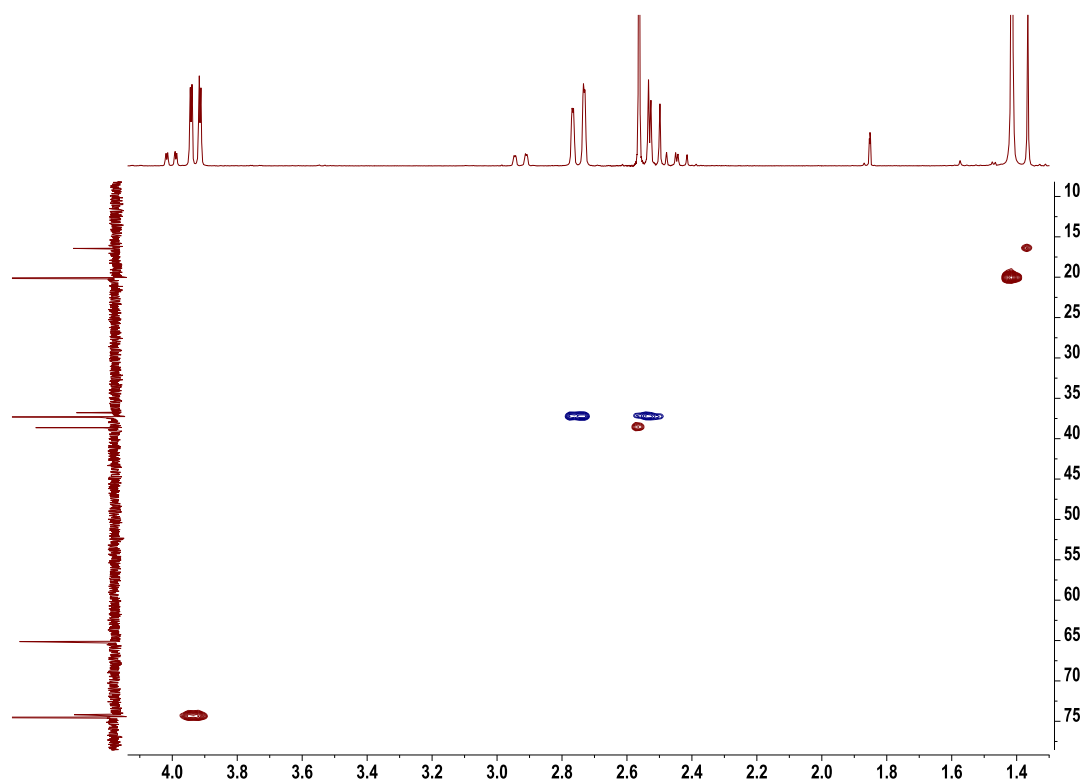
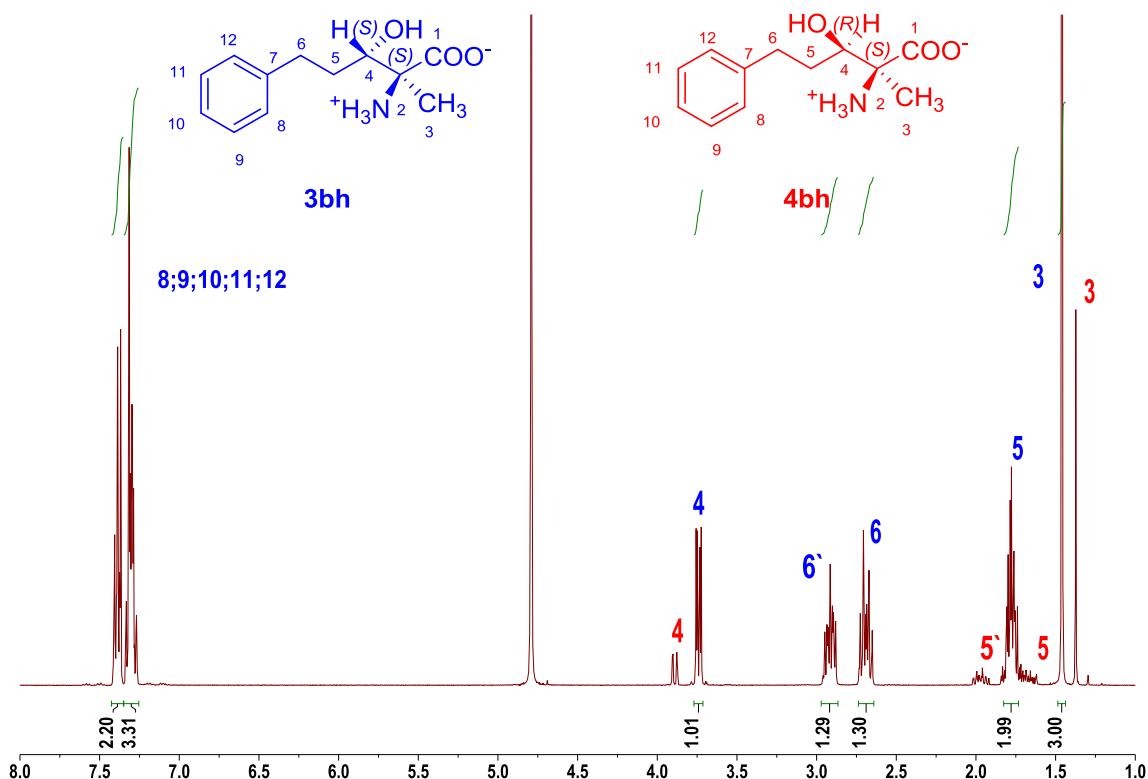
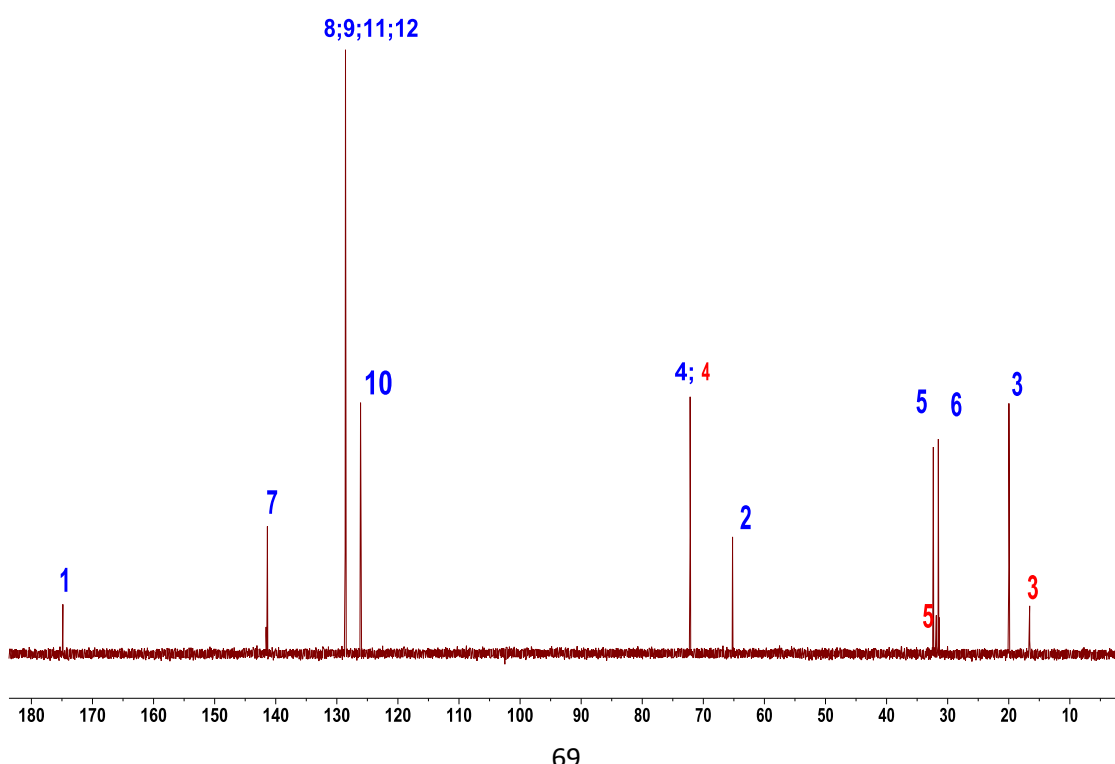


Figura28S(3.1). Espectro de RMN (D_2O) de **3bh** y **4bh** de la reacción aldólica catalizada por SHMT_{Sth} Y55T; a) 1H ; b) ^{13}C ; c) 2D 1H - 1H COSY y d) HSQC.

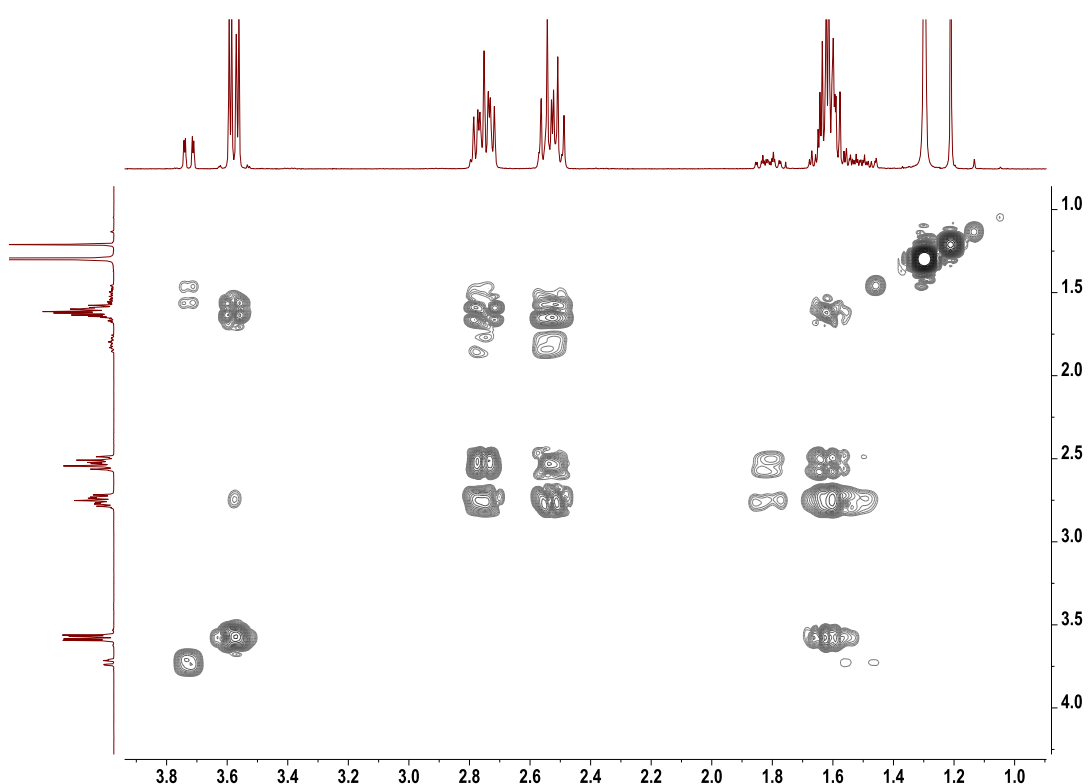
a)



b)



c)



d)

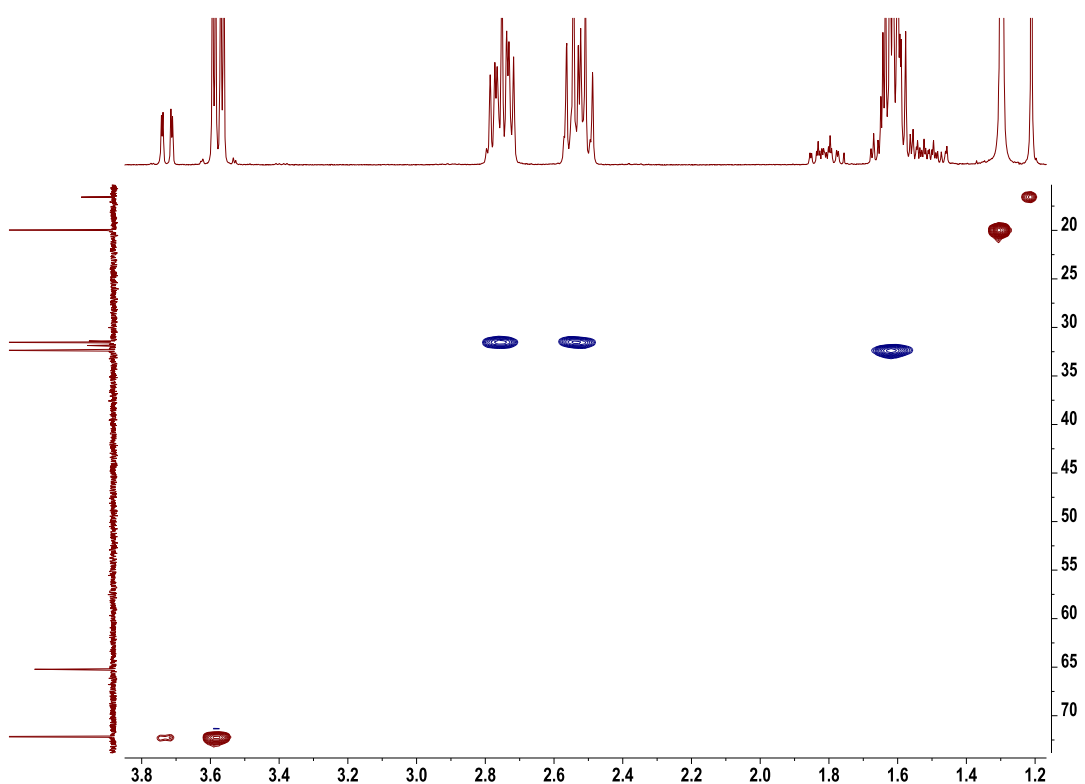
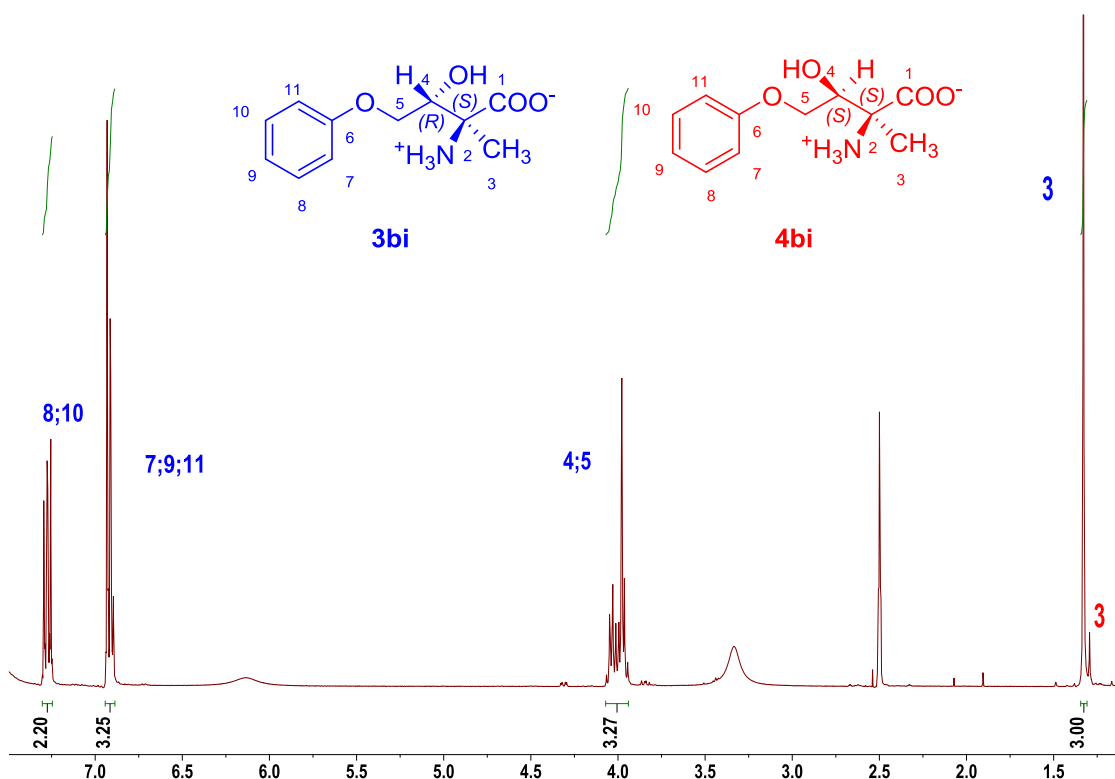
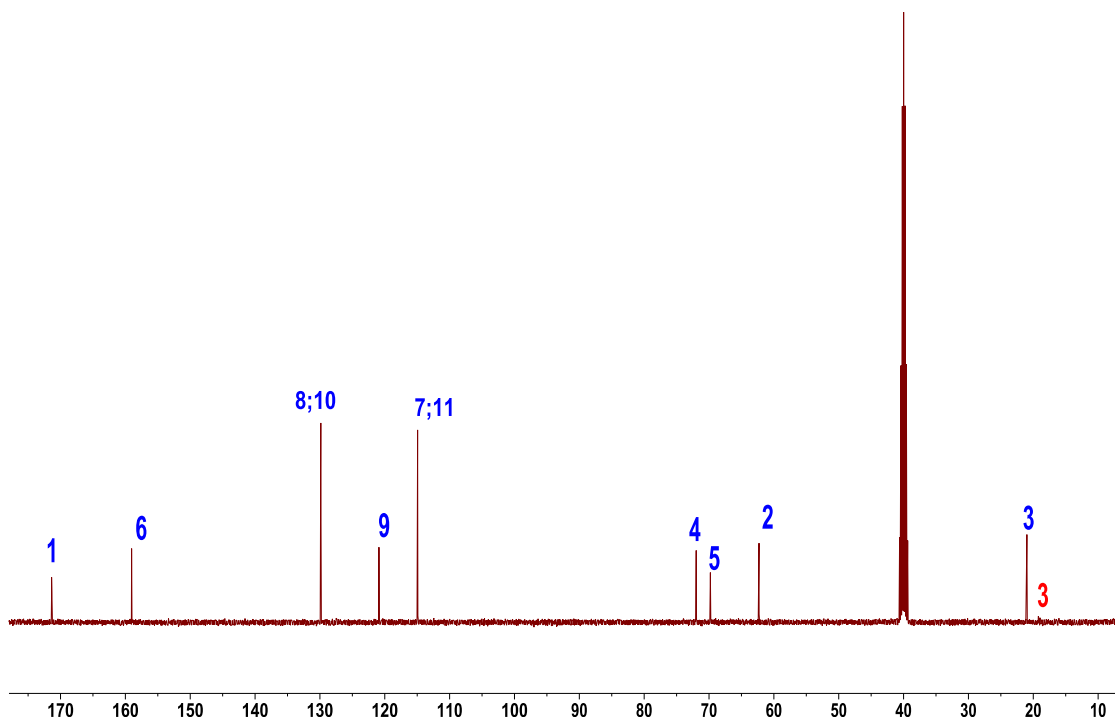


Figura29S(3.1). Espectro de RMN (DMSO-*d*₆) de **3bi** y **4bi** de la reacción aldólica catalizada por SHMT_{Sth} Y55T: a) ¹H; b) ¹³C; c) 2D ¹H-¹H COSY y d) HSQC.

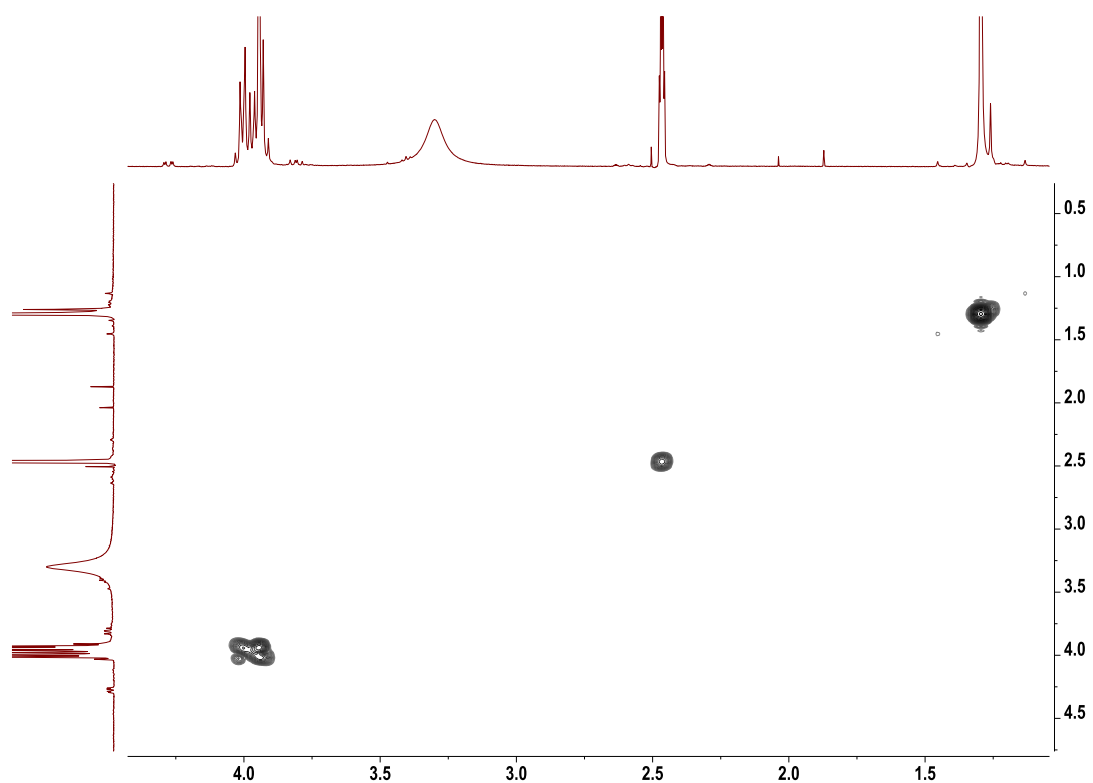
a)



b)



c)



d)

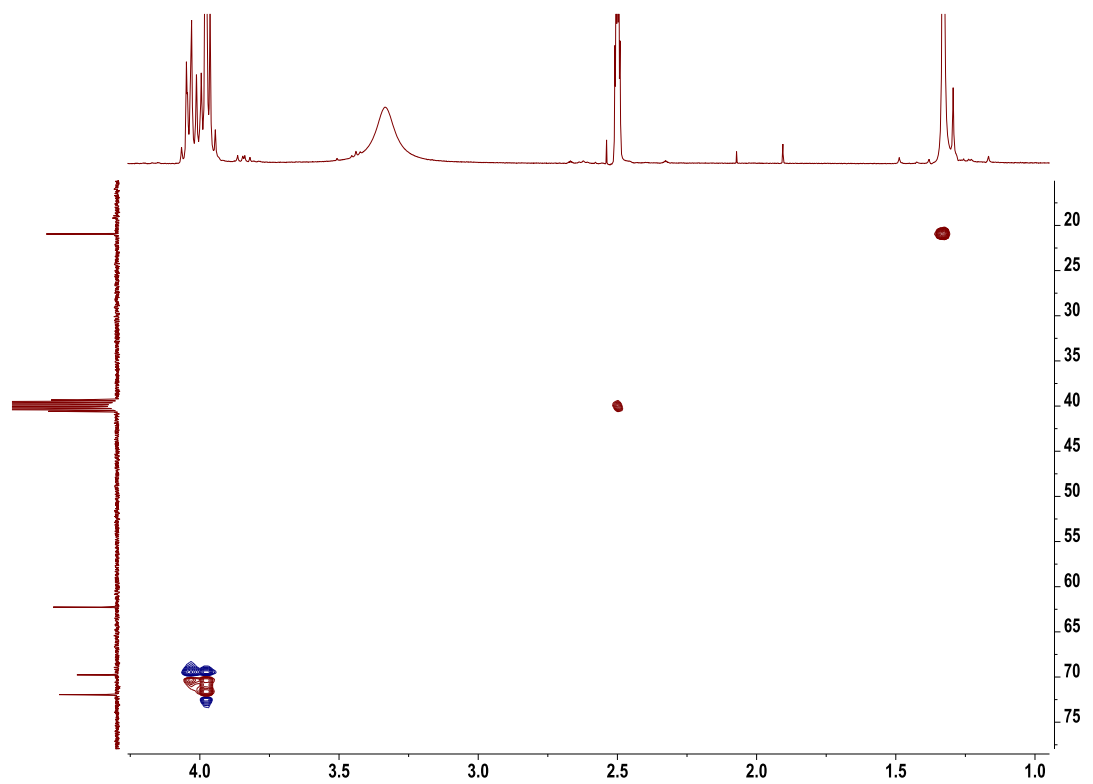
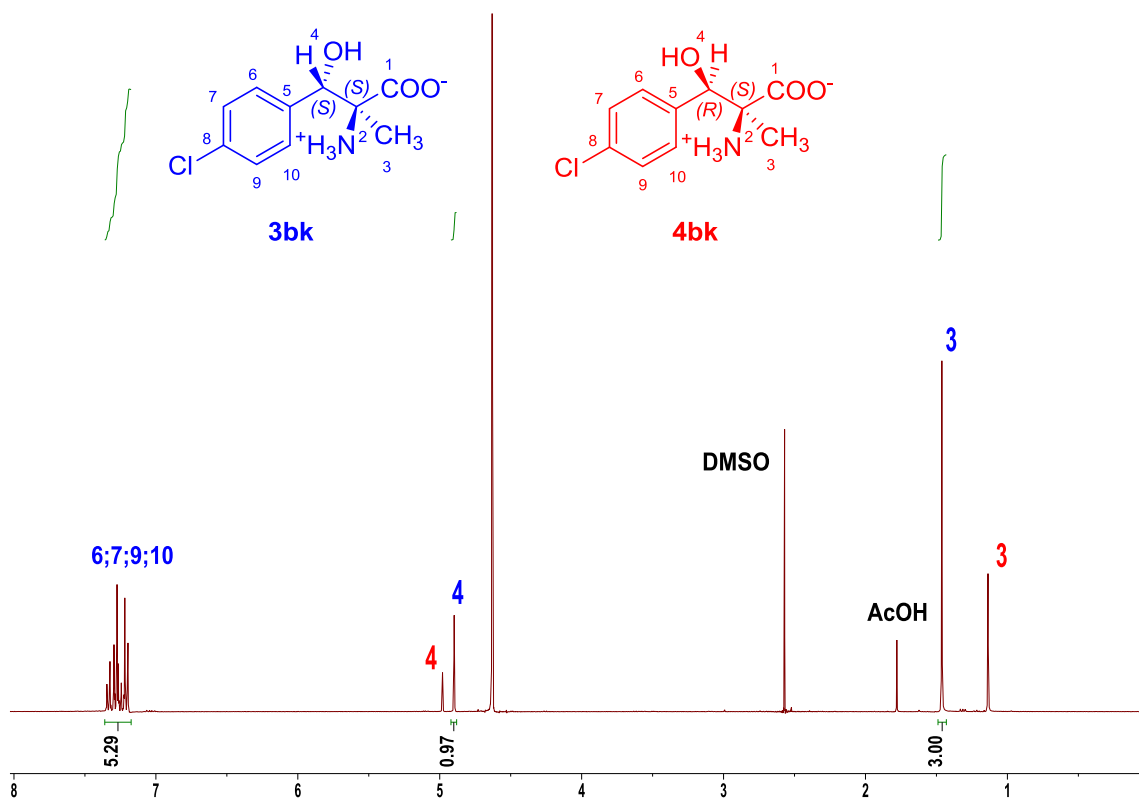
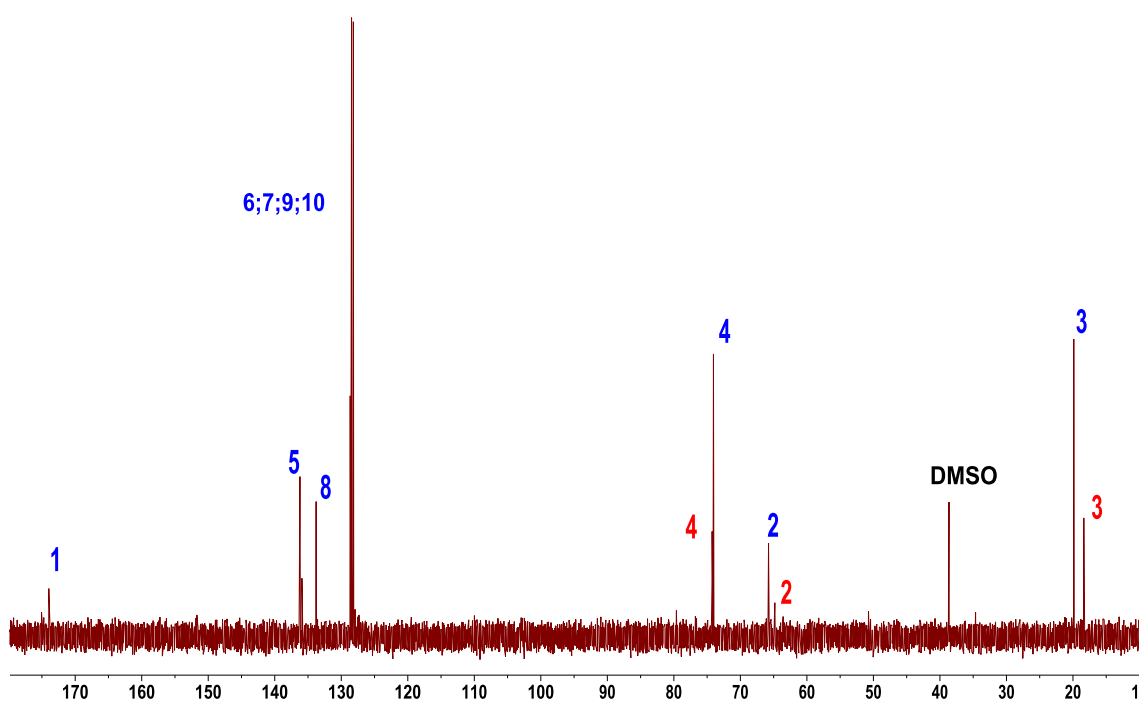


Figura30S(3.1). Espectro de RMN (D_2O) de **3bk** y **4bk** de la reacción aldólica catalizada por SHMT_{Sth} Y55T; a) 1H ; b) ^{13}C ; c) 2D 1H - 1H COSY y d) HSQC.

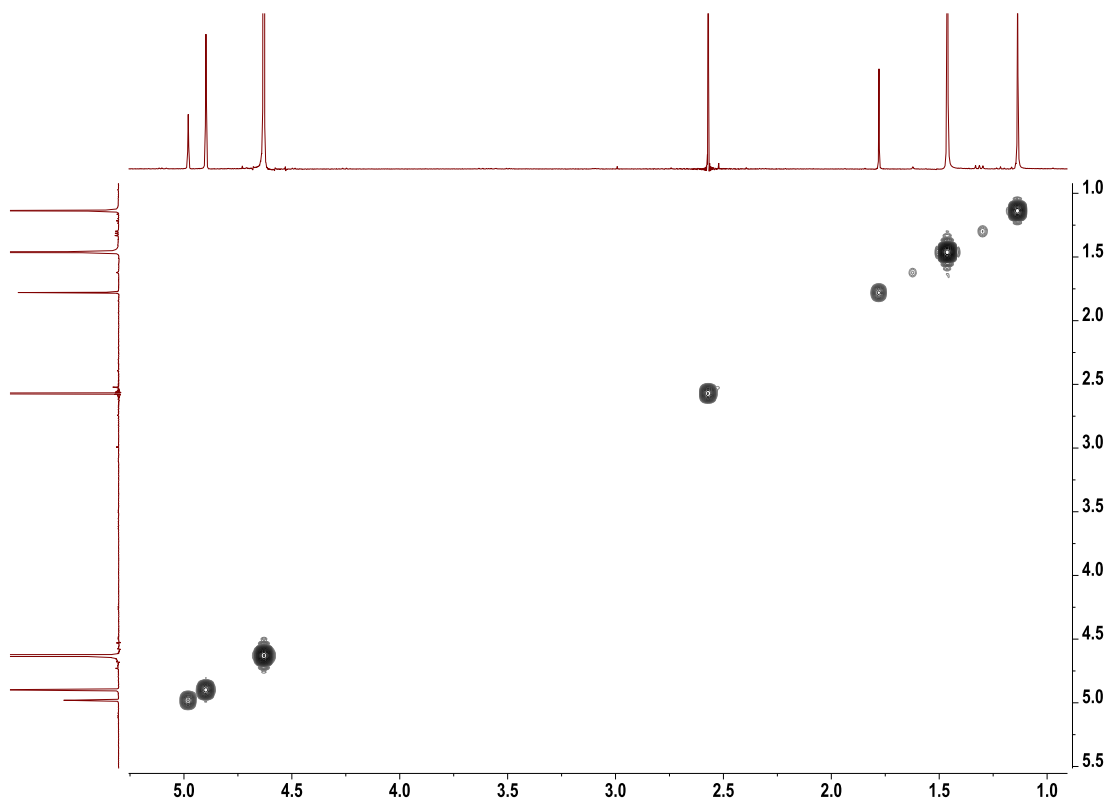
a)



b)



c)



d)

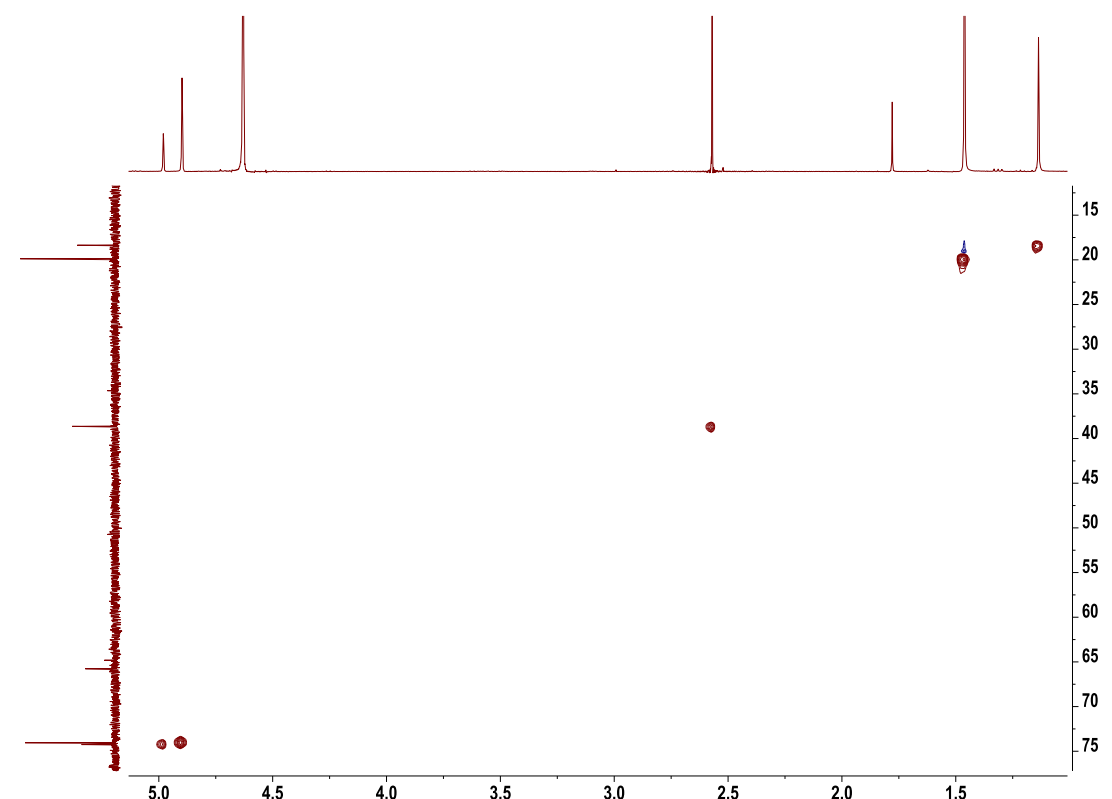
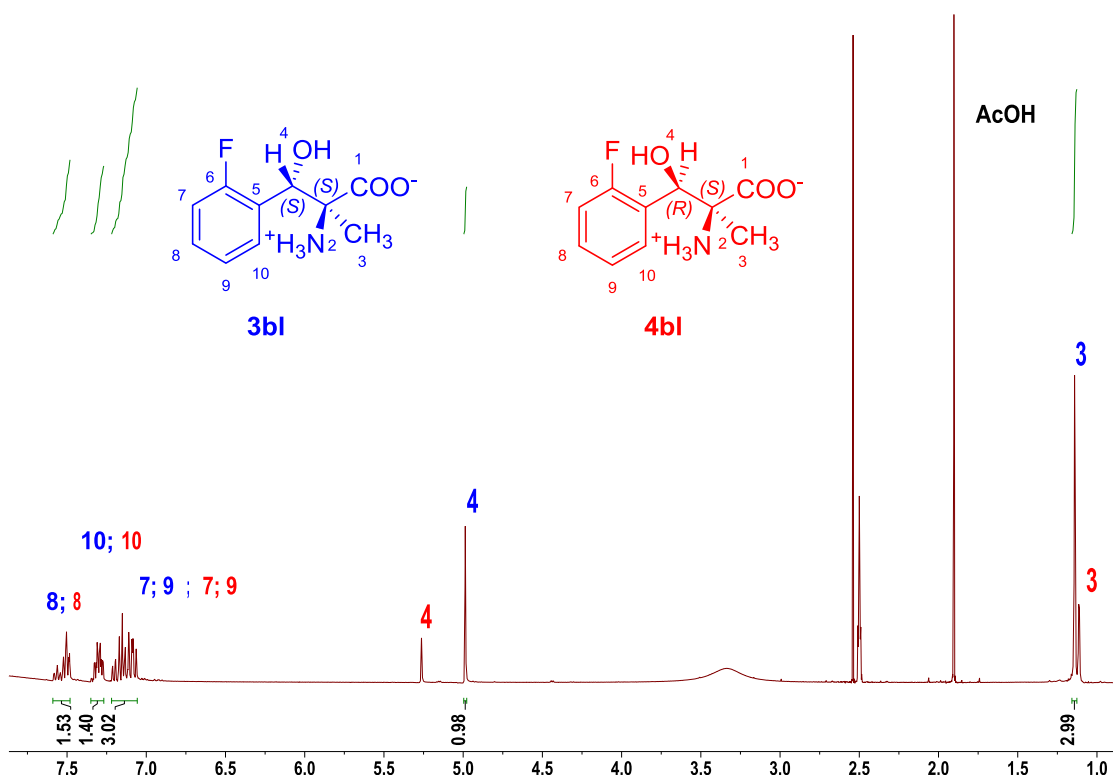
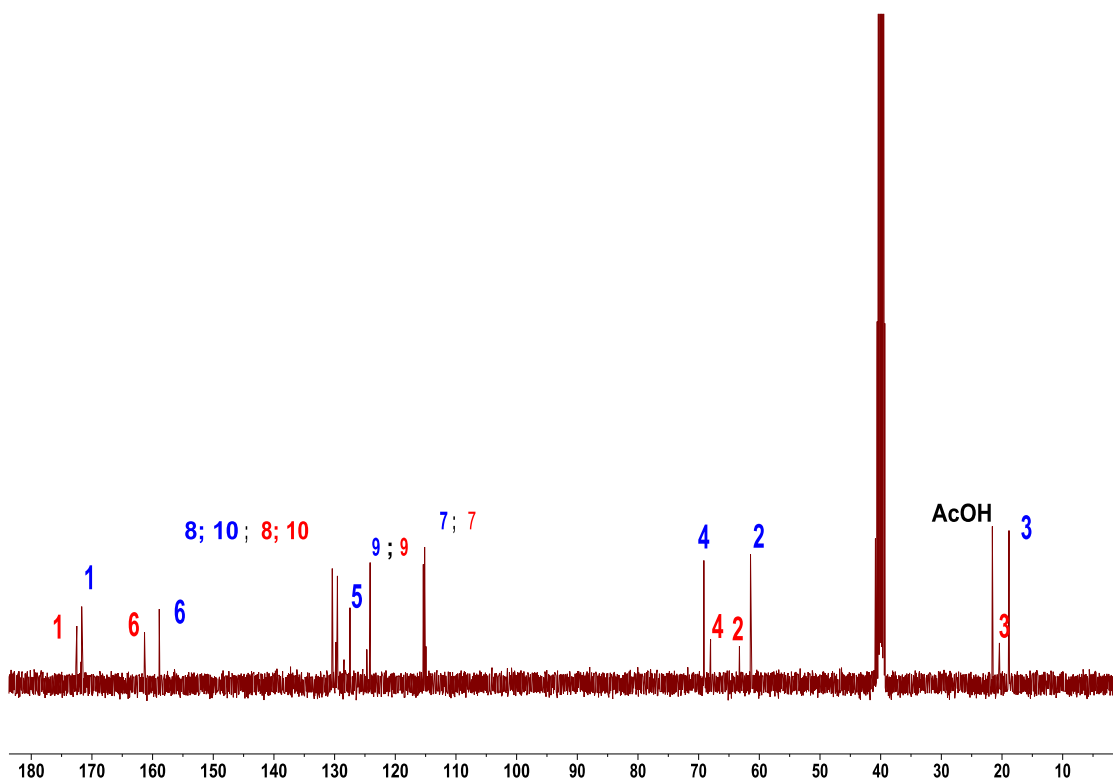


Figura31S(3.1). Espectros de RMN (DMSO- d_6) de **3bl** y **4bl** de la reacción aldólica catalizada por SHMT_{Sth} Y55T: a) ^1H ; b) ^{13}C ; c) 2D ^1H - ^1H COSY y d) HSQC.

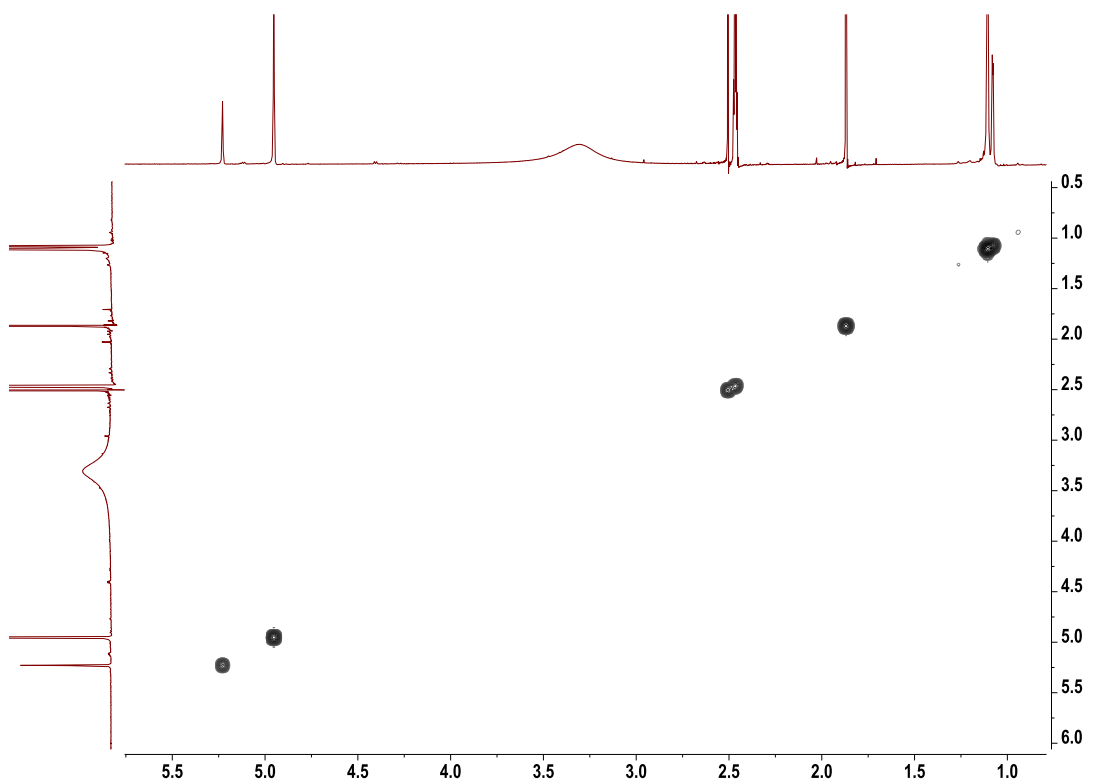
a)



b)



c)



d)

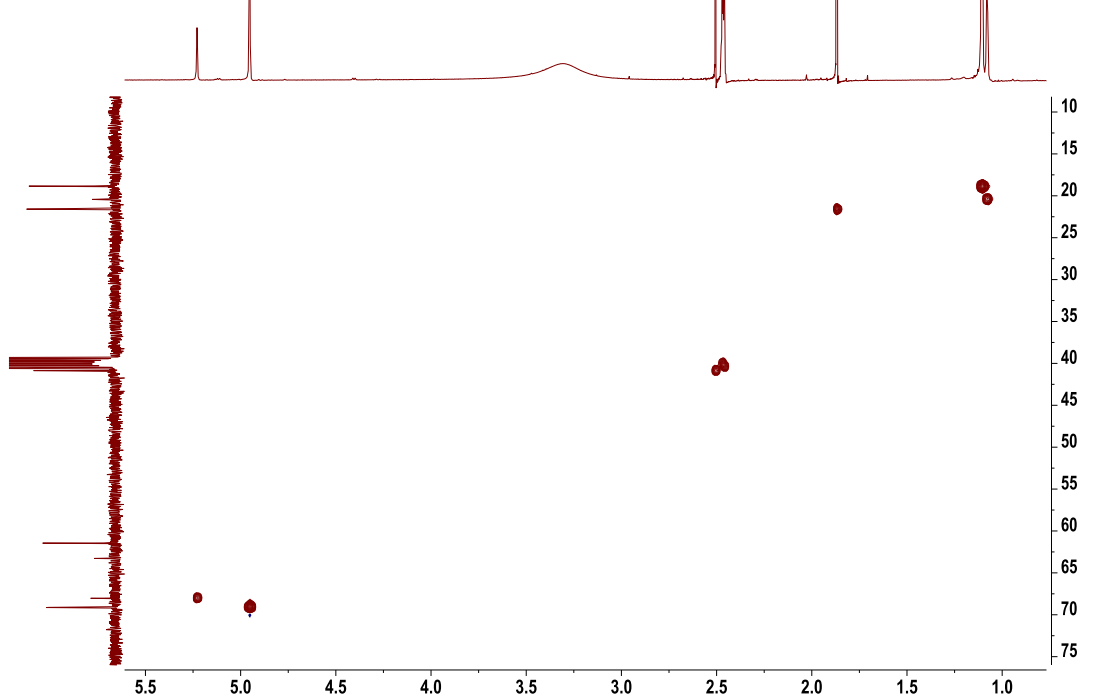
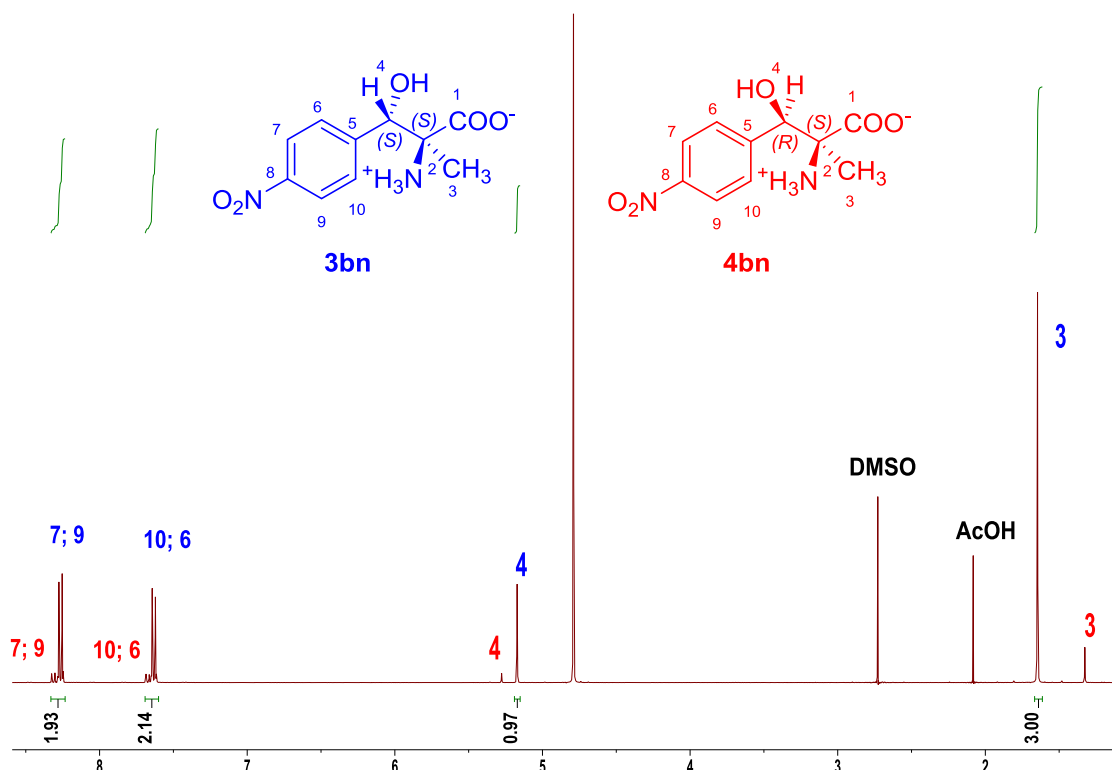
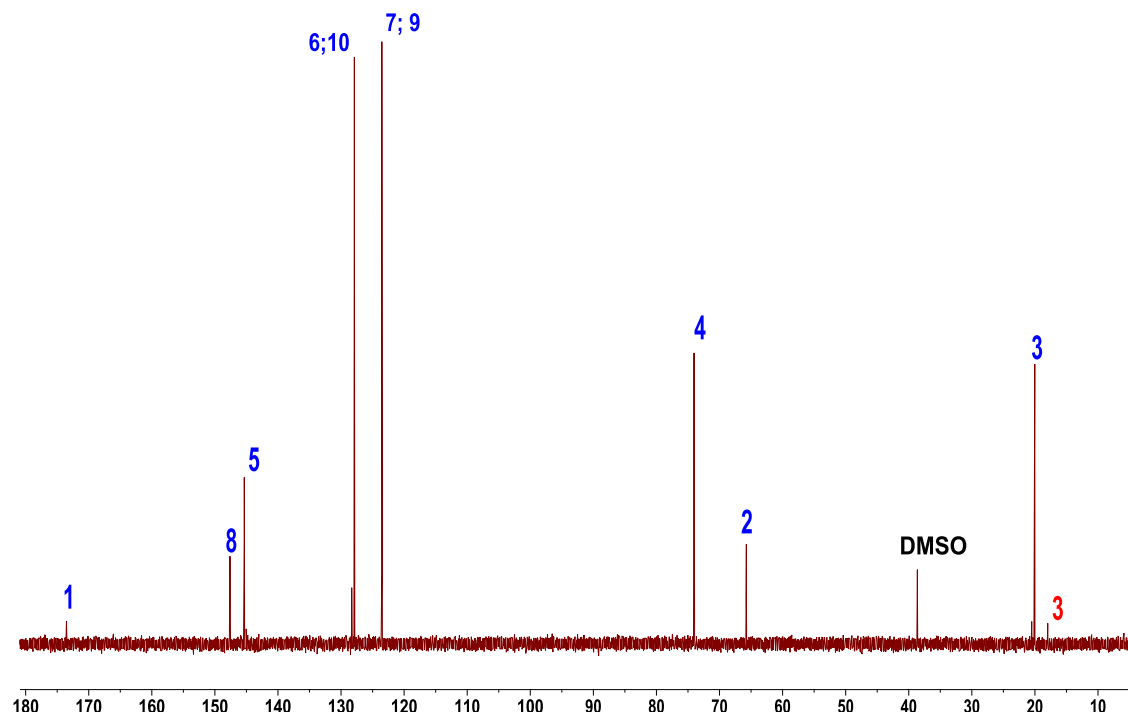


Figura32S(3.1). Espectro de RMN (D_2O) de **3bn** y **4bn** de la reacción aldólica catalizada por SHMT_{Sth} Y55T; a) 1H ; b) ^{13}C ; c) 2D 1H - 1H COSY y d) HSQC.

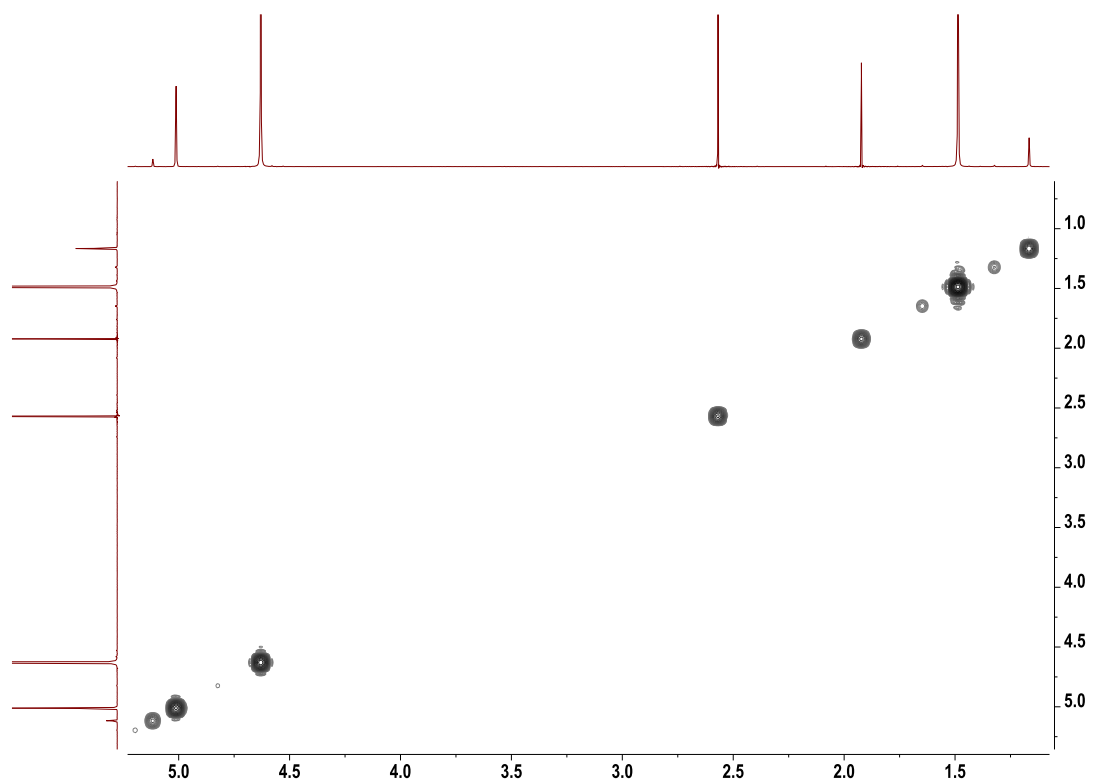
a)



b)



c)



d)

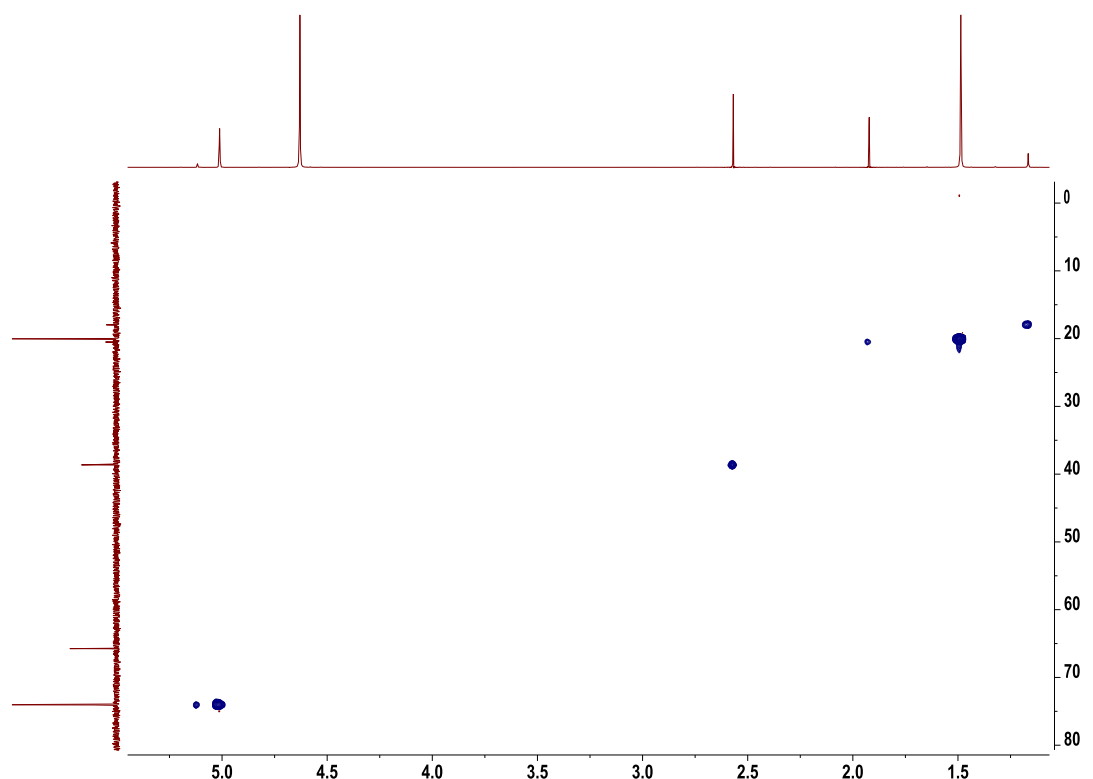
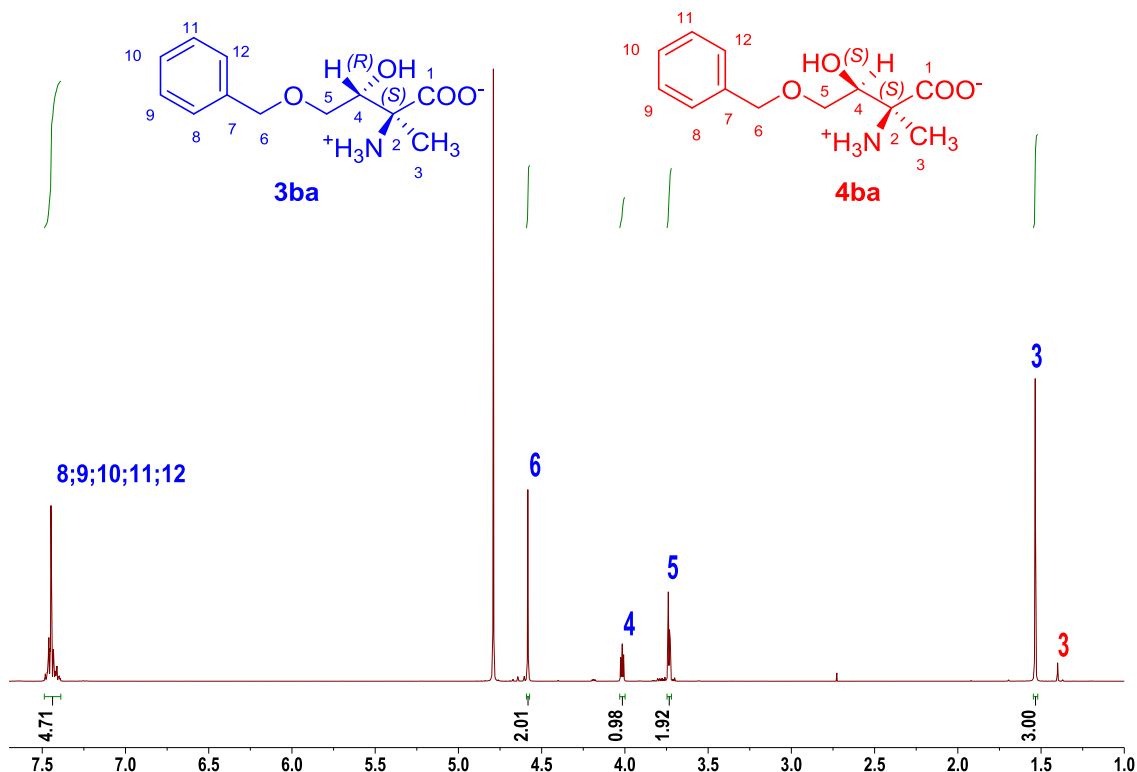
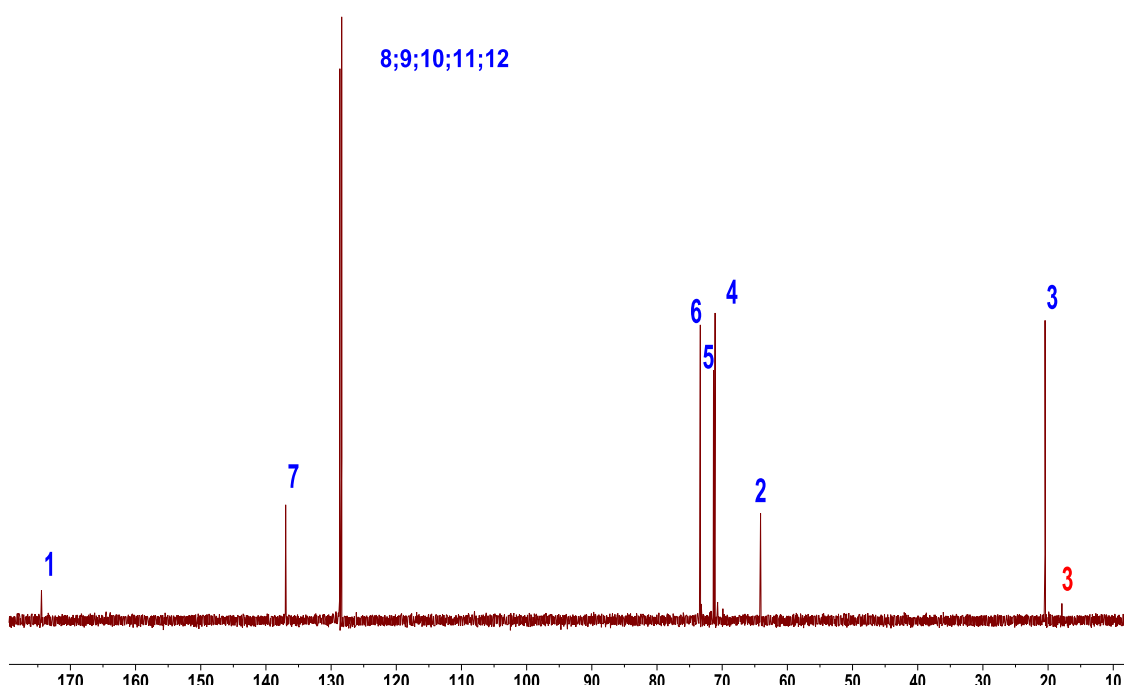


Figura33S(3.1). Espectro de RMN (D_2O) de **3ba** y **4ba** de la reacción aldólica catalizada por SHMT_{Sth} nativa: a) 1H ; b) ^{13}C ; c) 2D 1H - 1H COSY y d) HSQC.

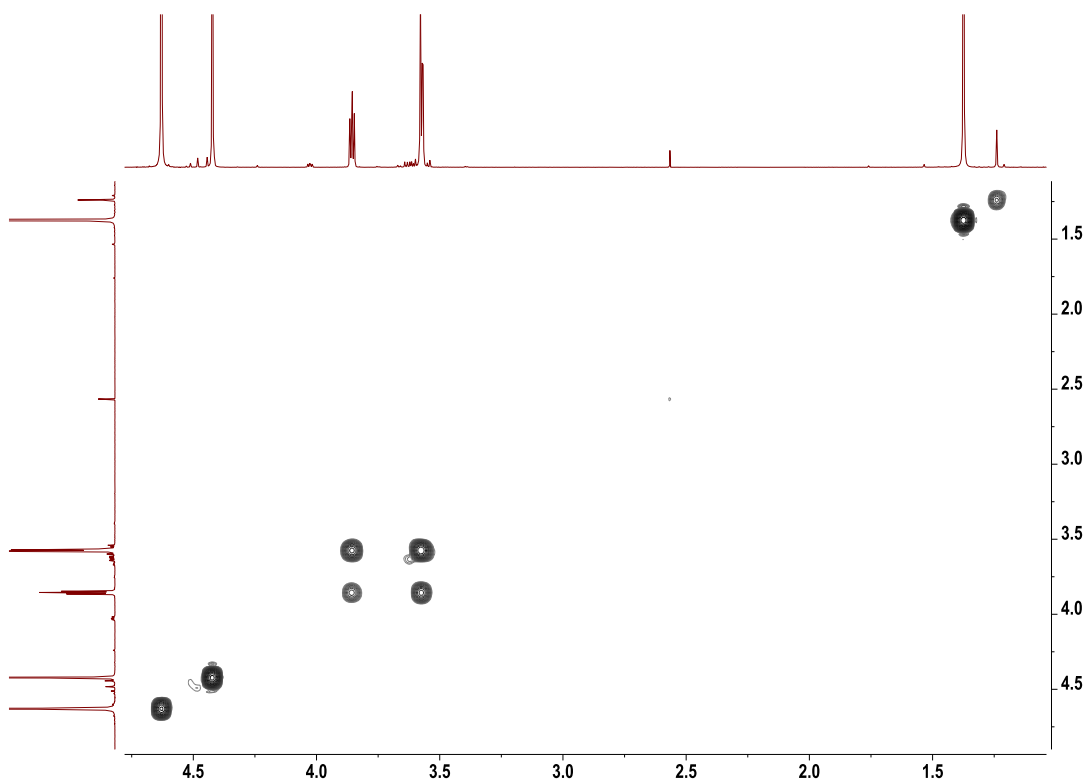
a)



b)



c)



d)

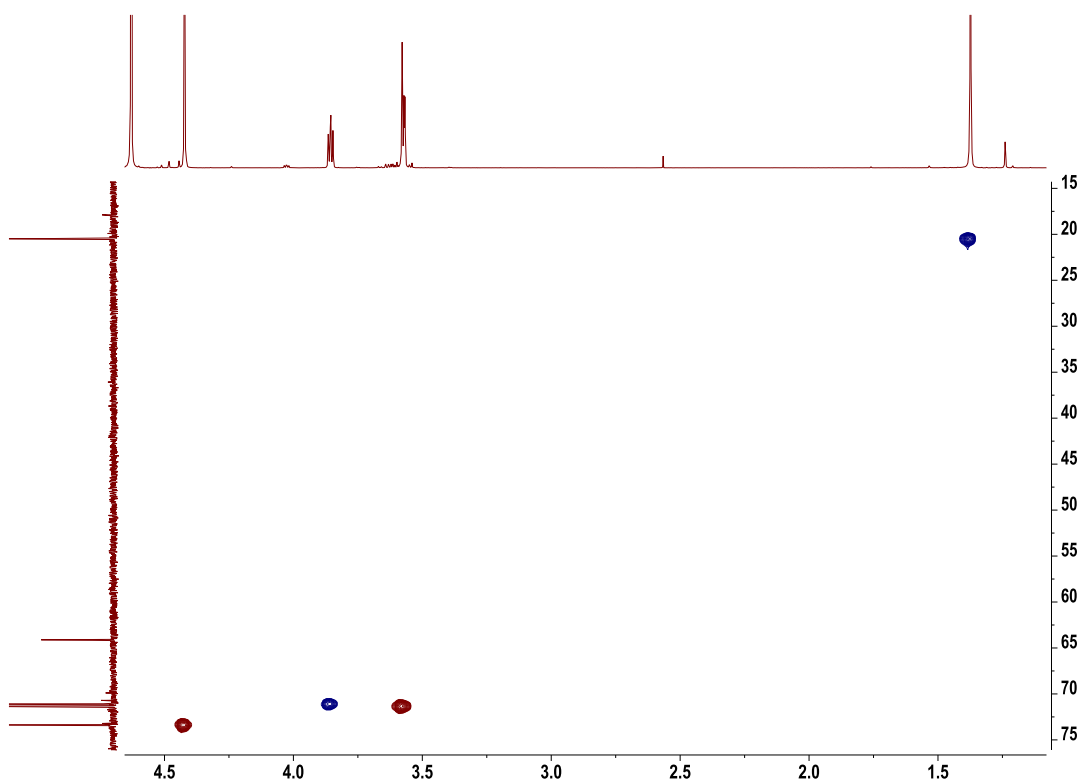
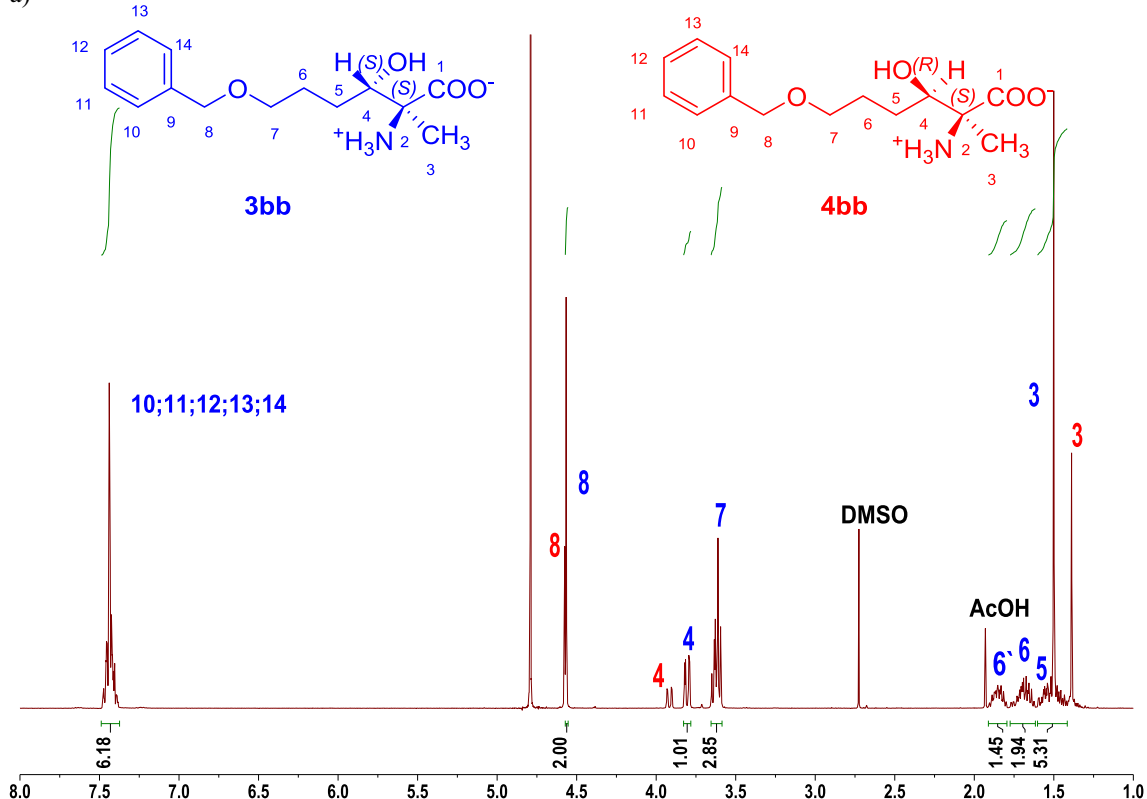
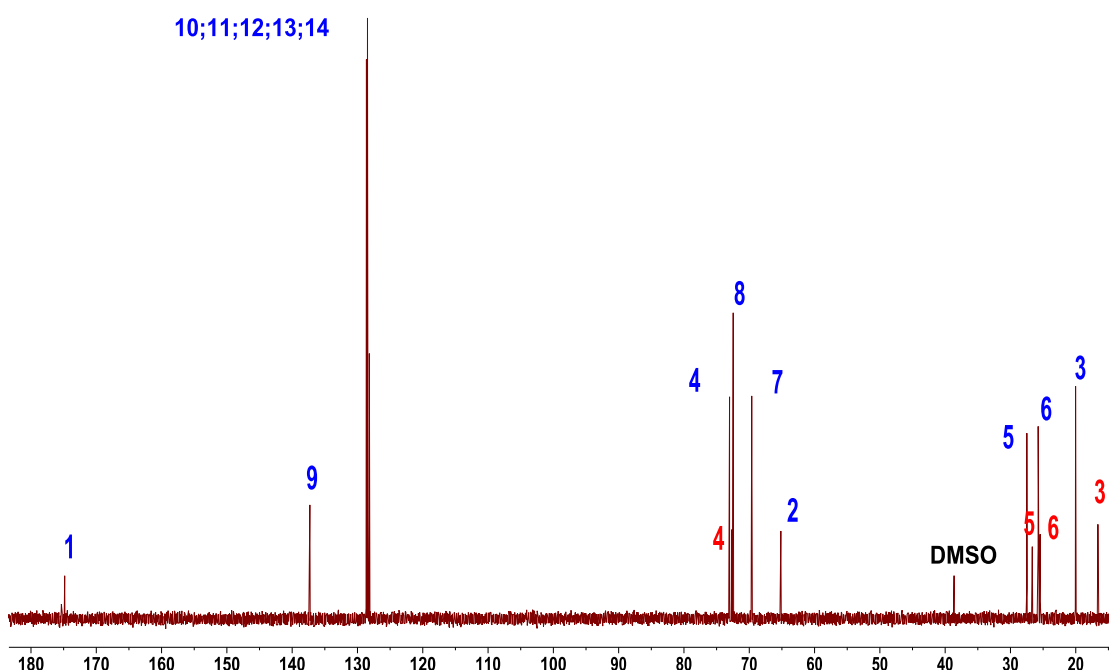


Figura34S(3.1). Espectro de RMN (D_2O) de **3bb** y **4bb** de la reacción aldólica catalizada por SHMT_{Sth} nativa: a) 1H ; b) ^{13}C ; c) 2D 1H - 1H COSY y d) HSQC.

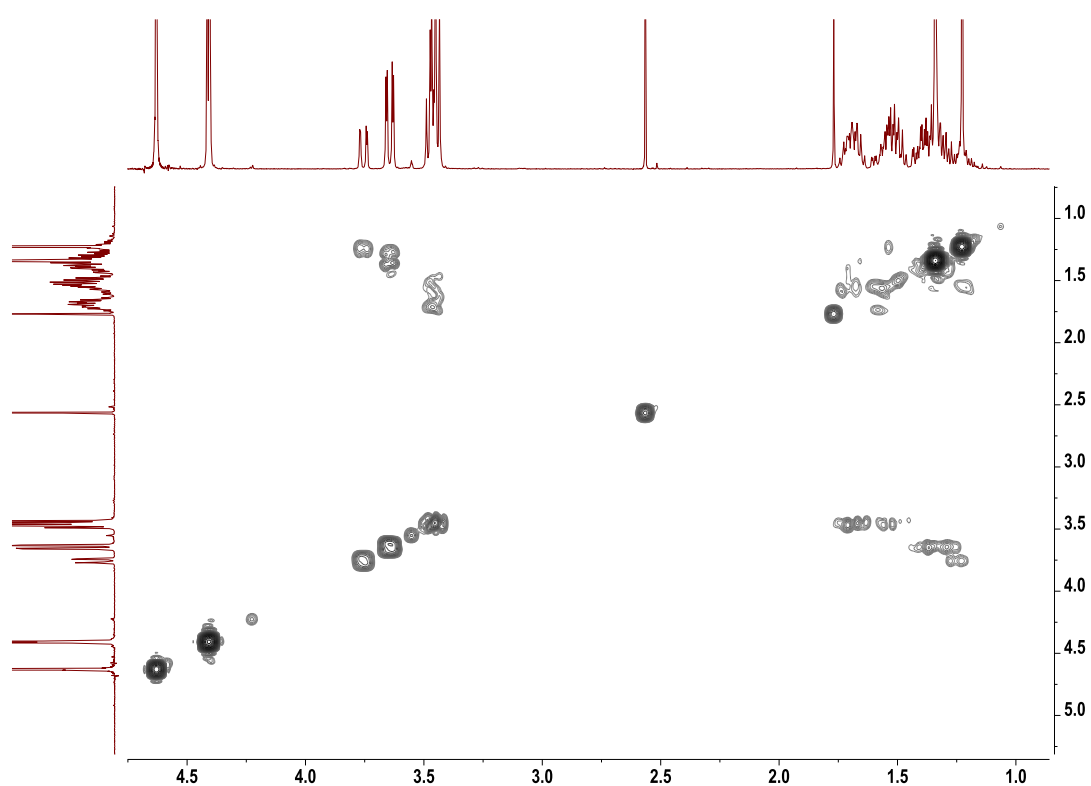
a)



b)



c)



d)

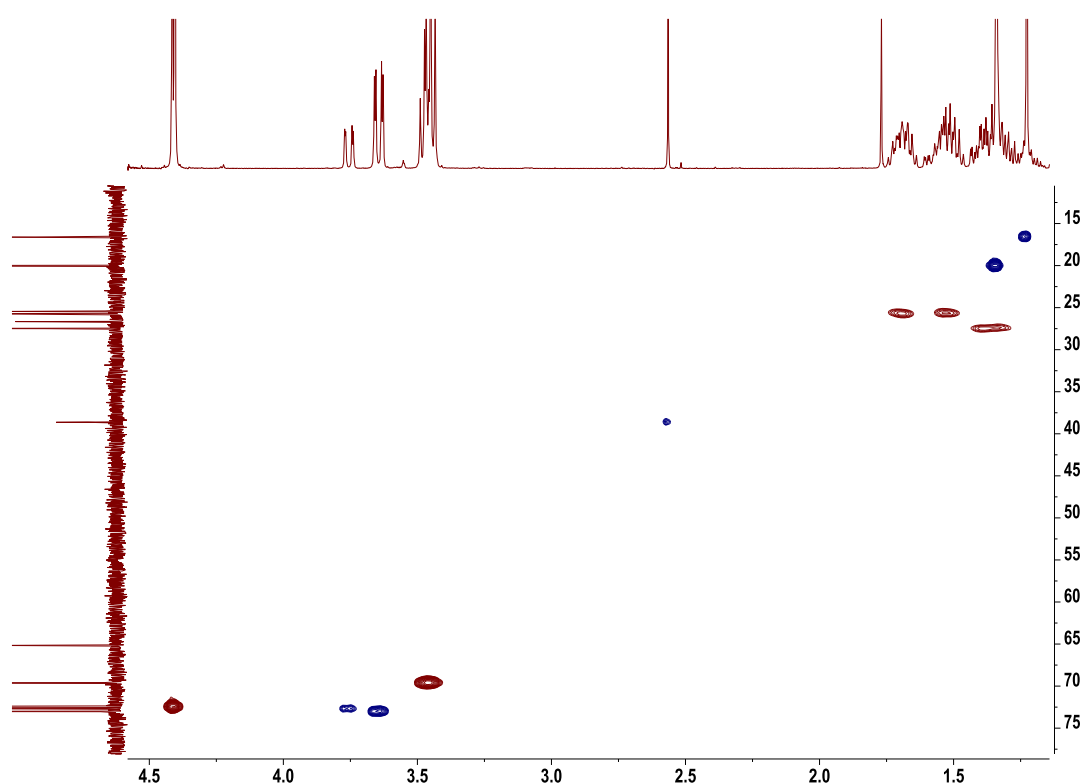
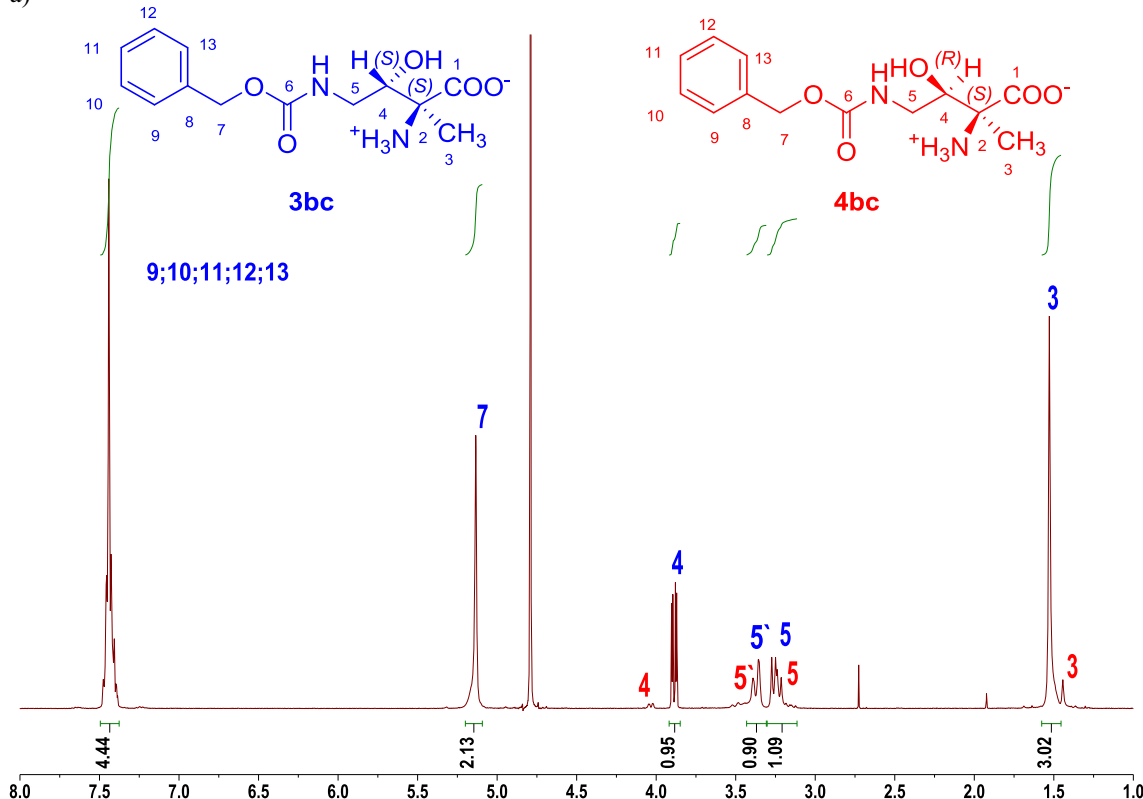
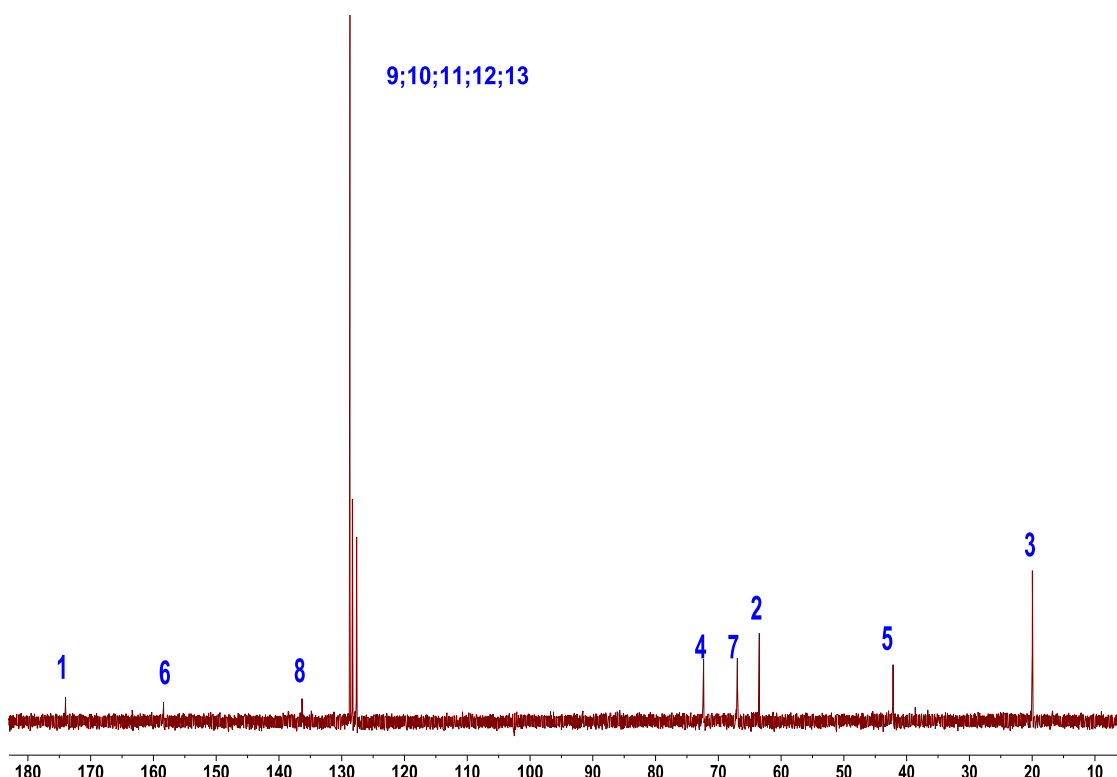


Figura35S(3.1). Espectro de RMN (D_2O) de **3bc** y **4bc** de la reacción aldólica catalizada por SHMT_{Sth} nativa: a) 1H ; b) ^{13}C ; c) 2D 1H - 1H COSY y d) HSQC.

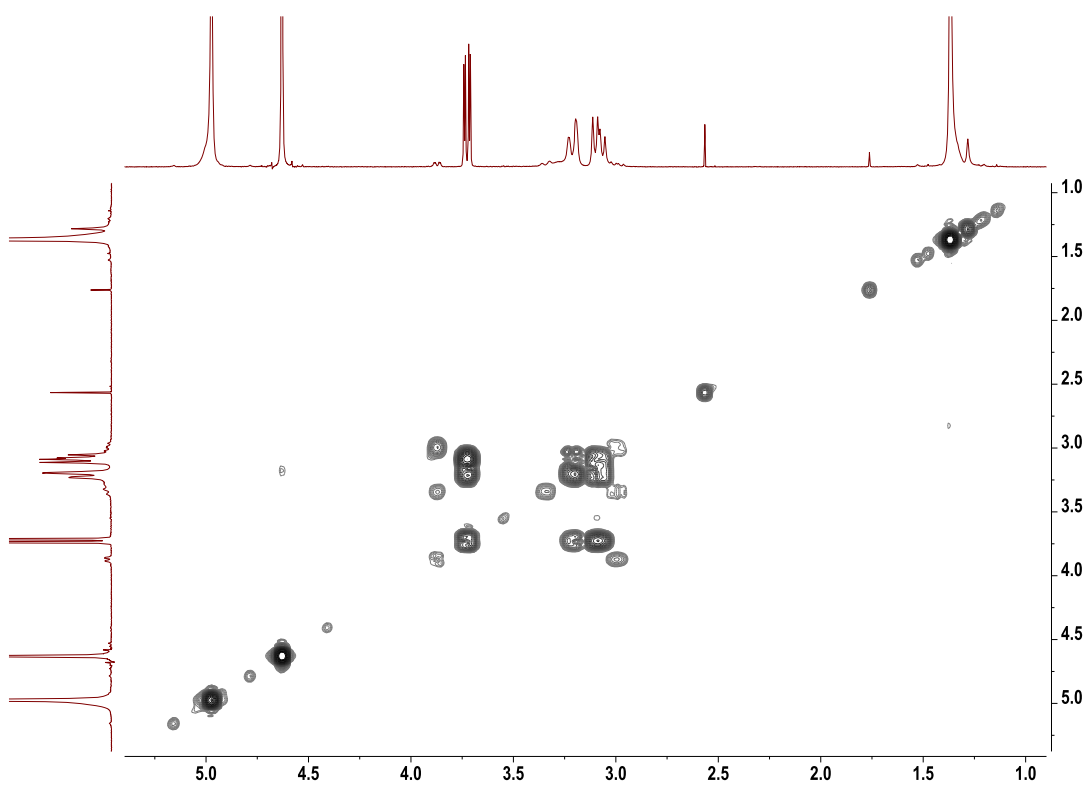
a)



b)



c)



d)

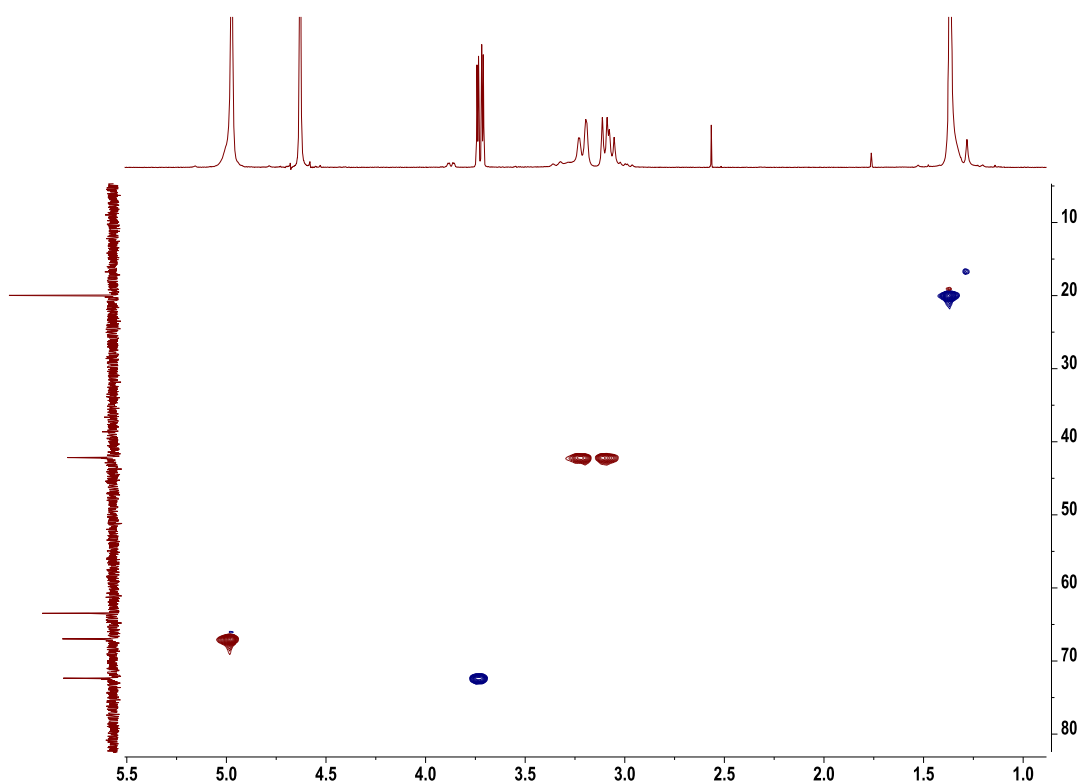
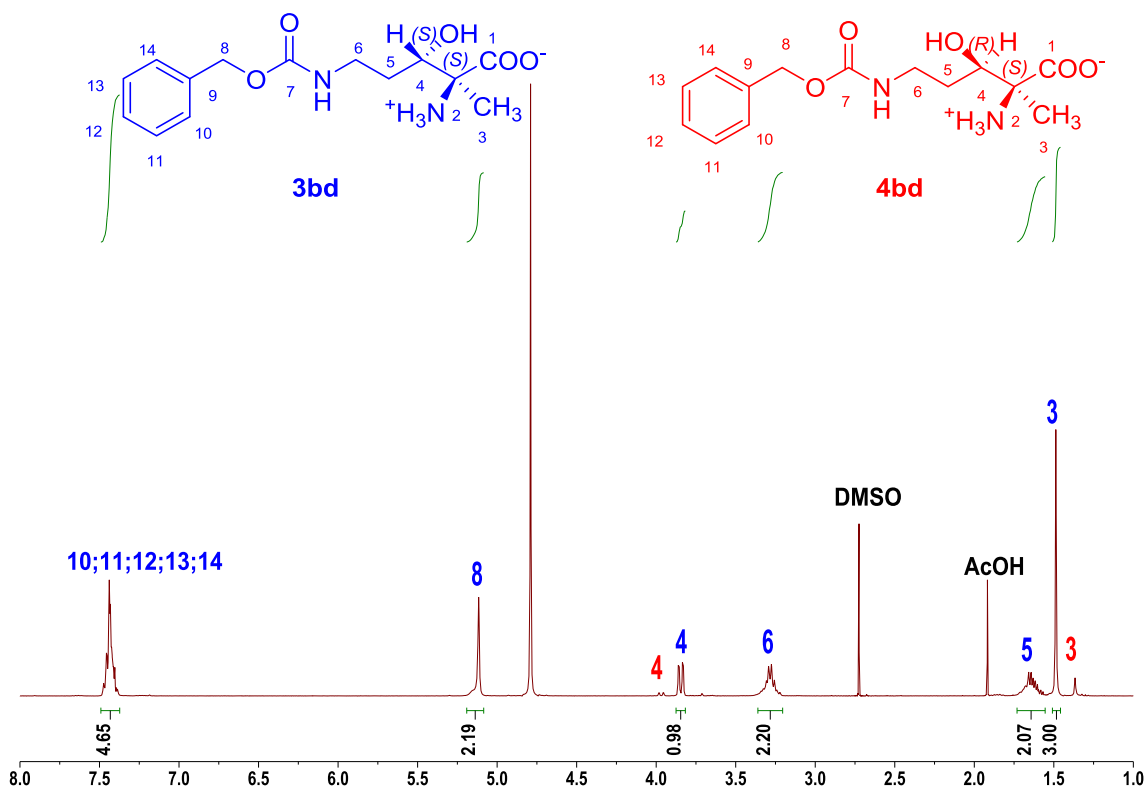
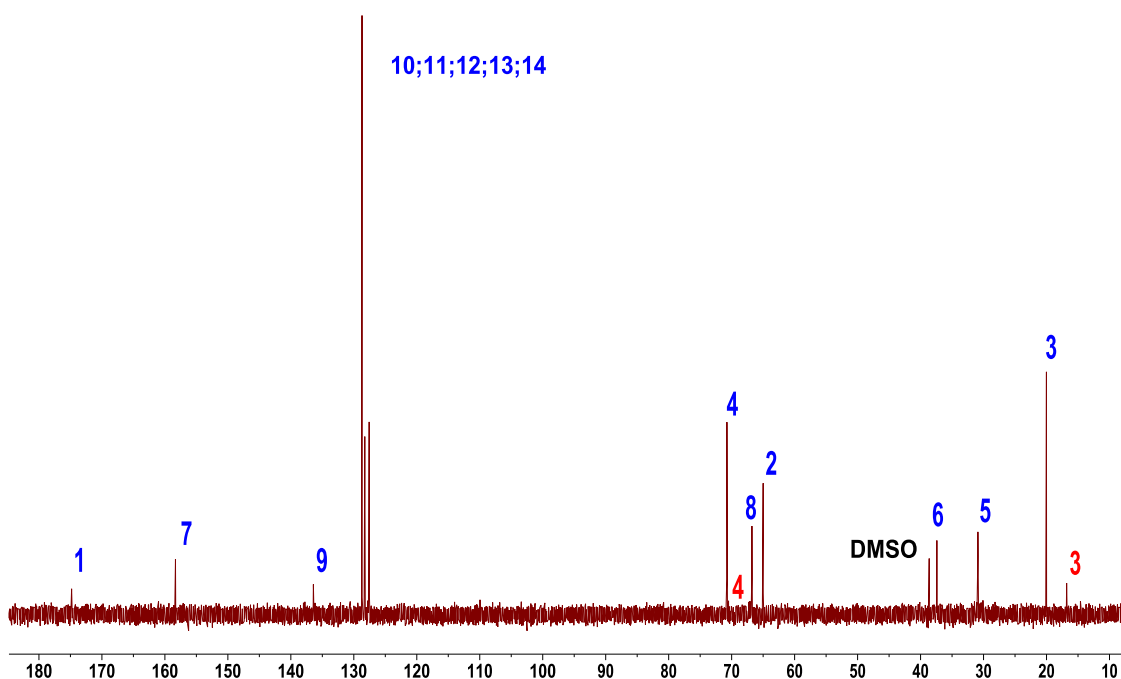


Figura36S(3.1). Espectro de RMN (D_2O) de **3bd** y **4bd** de la reacción aldólica catalizada por SHMT_{Sth} nativa: a) 1H ; b) ^{13}C ; c) 2D 1H - 1H COSY y d) HSQC.

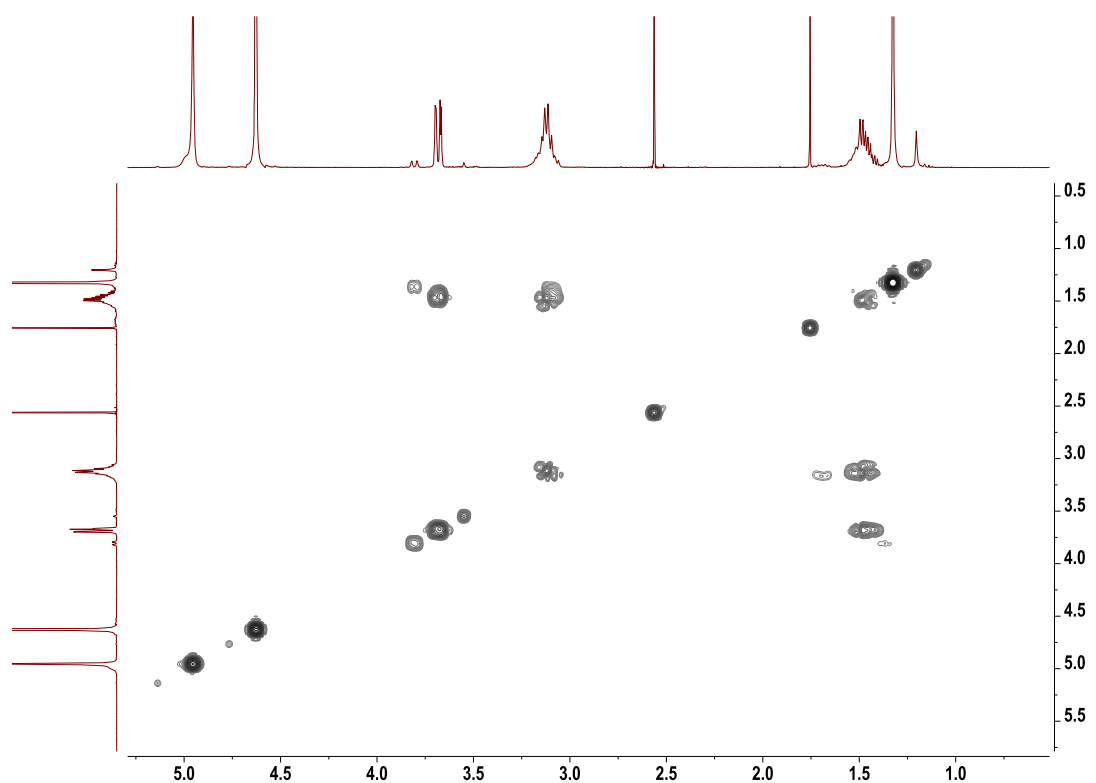
a)



b)



c)



d)

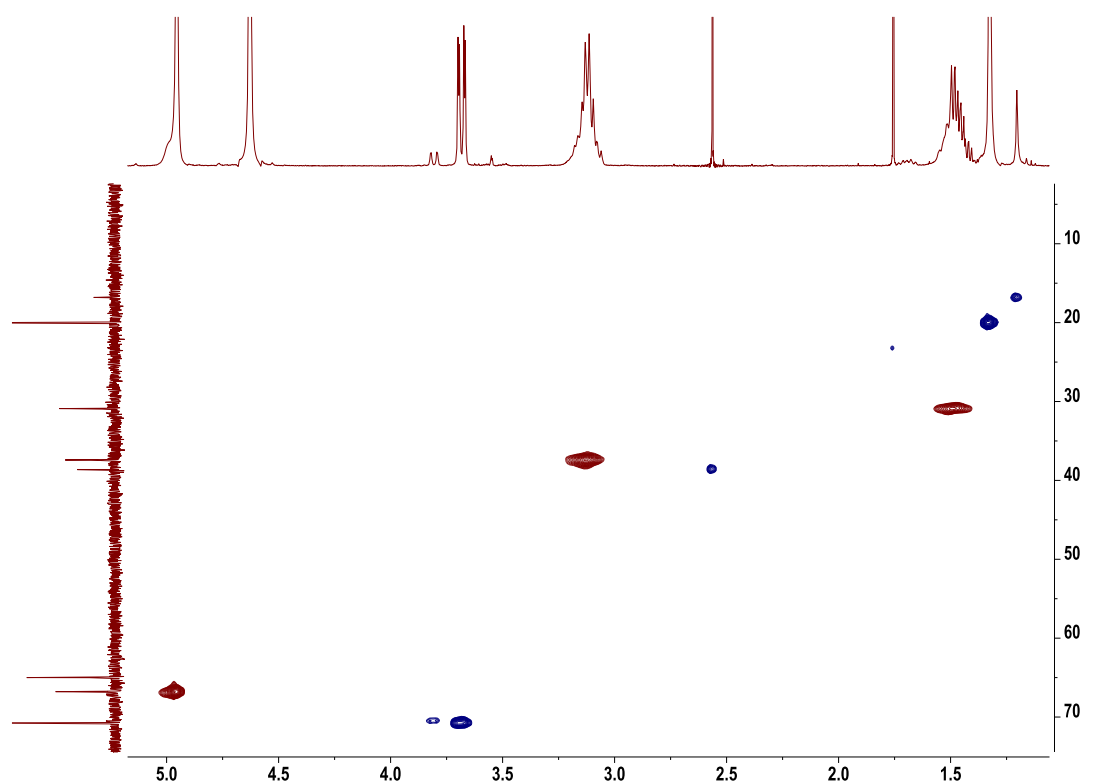
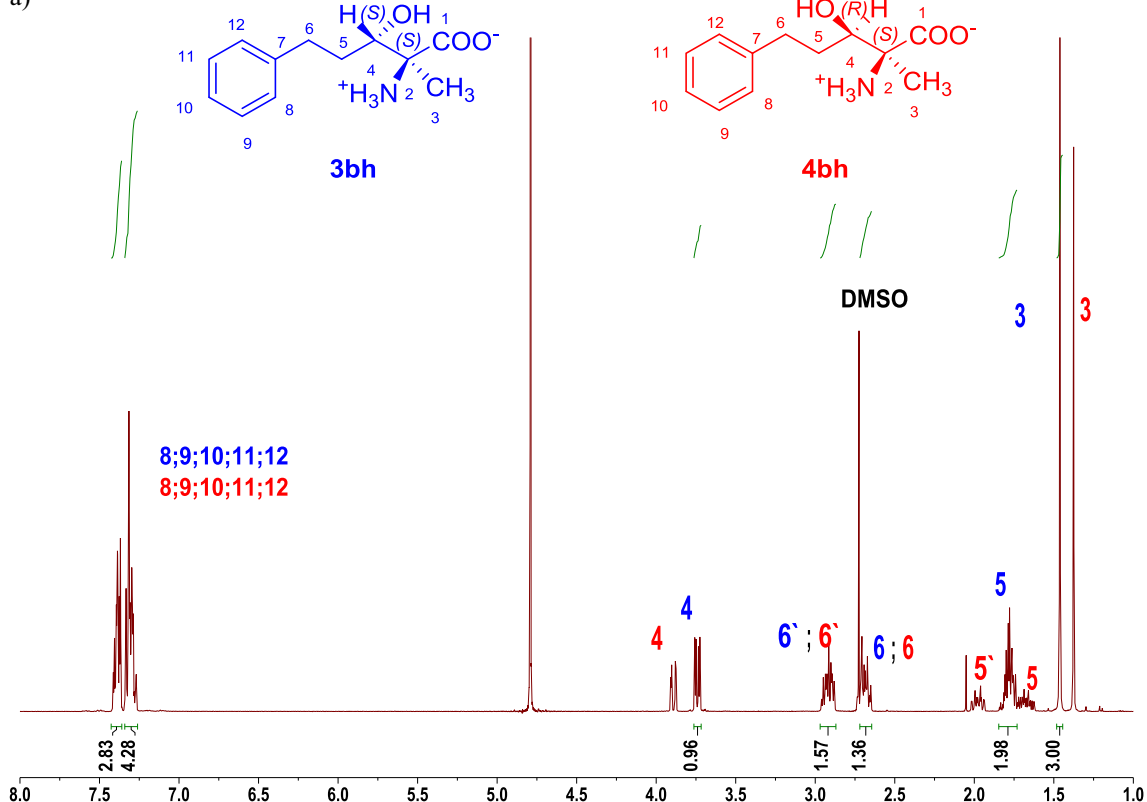
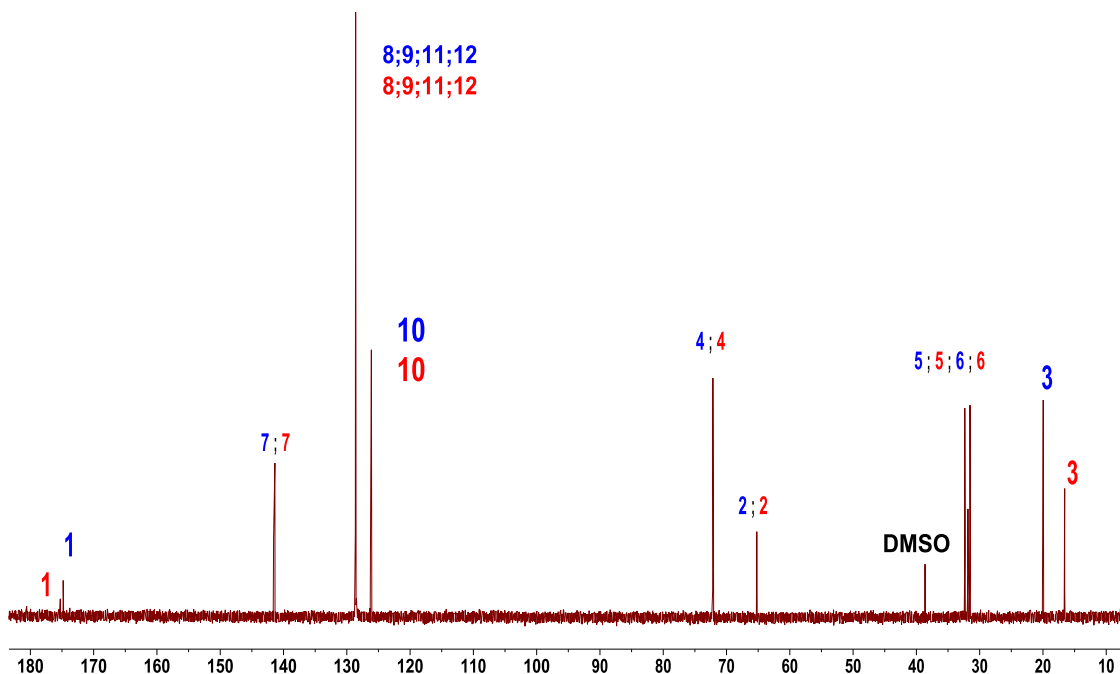


Figura 37S(3.1). Espectro de RMN (D_2O) de **3bh** y **4bh** de la reacción aldólica catalizada por SHMT_{Sth} nativa: a) 1H ; b) ^{13}C ; c) 2D 1H - 1H COSY y d) HSQC.

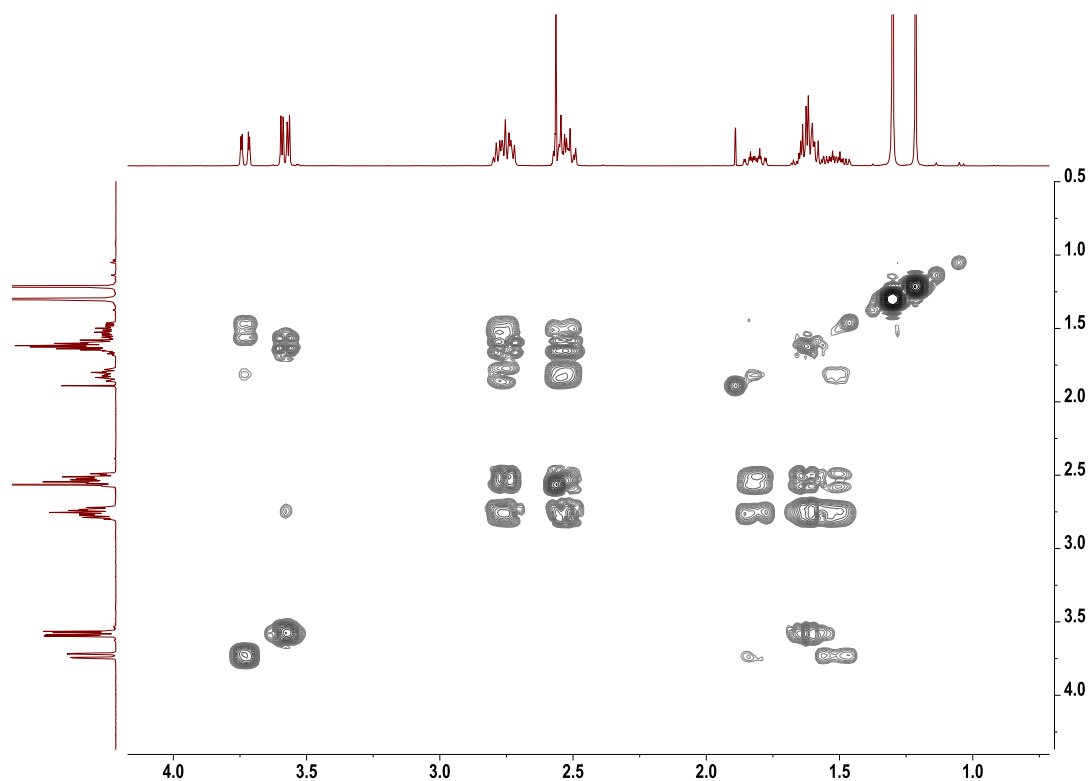
a)



b)



c)



d)

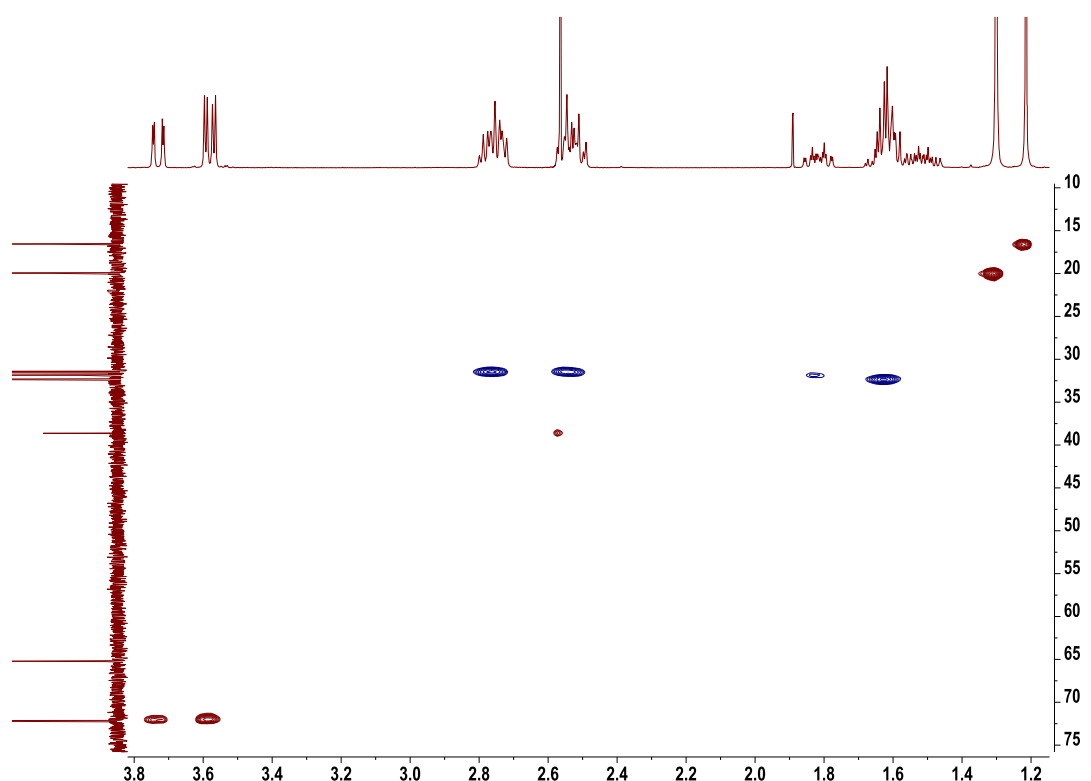
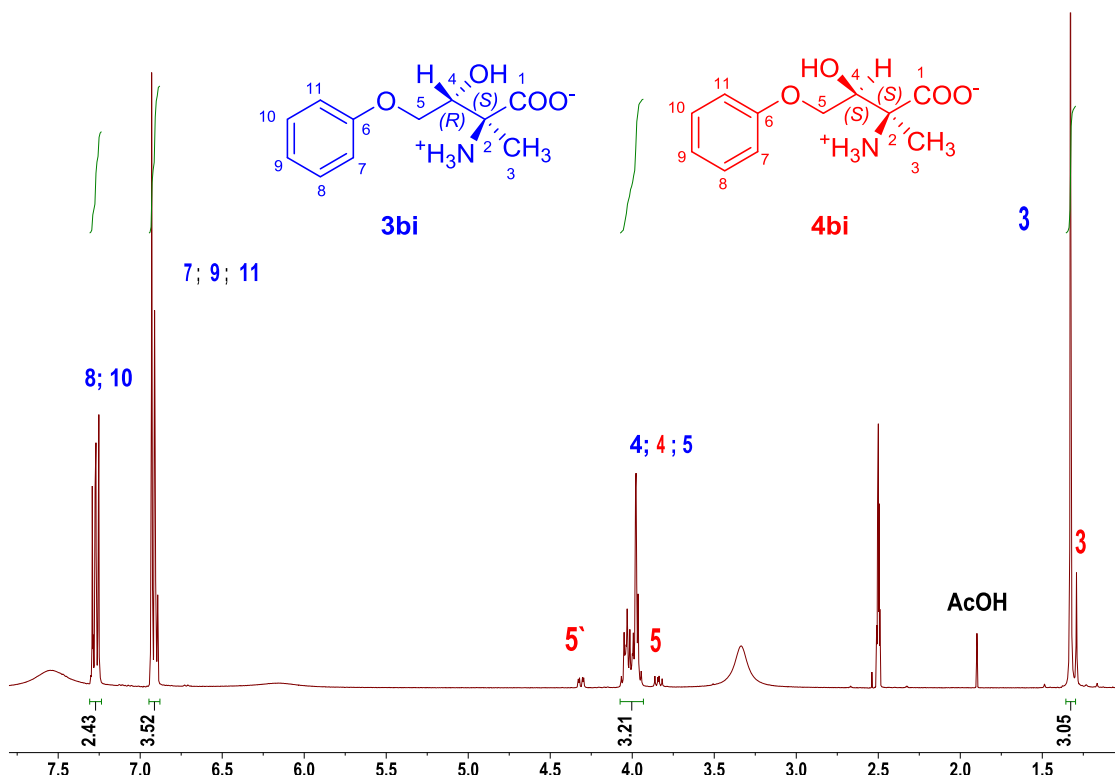
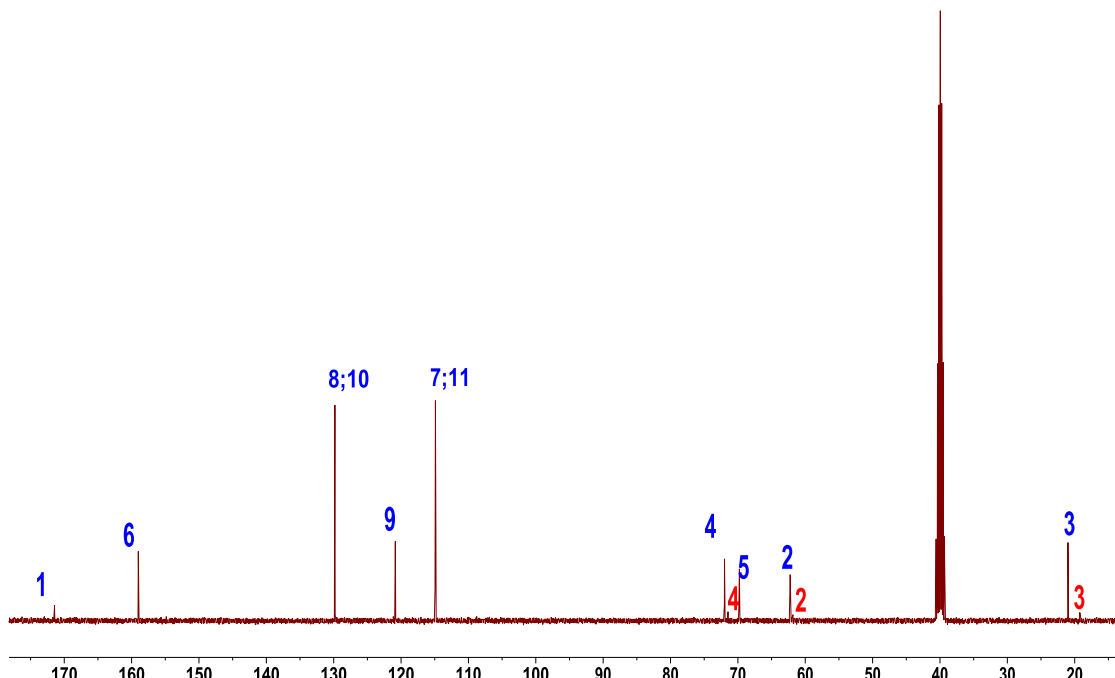


Figura38S(3.1). Espectro de RMN (DMSO-*d*₆) de **3bi** y **4bi** de la reacción aldólica catalizada por SHMT_{Sth} nativa: a) ¹H; b) ¹³C; c) 2D ¹H-¹H COSY y d) HSQC.

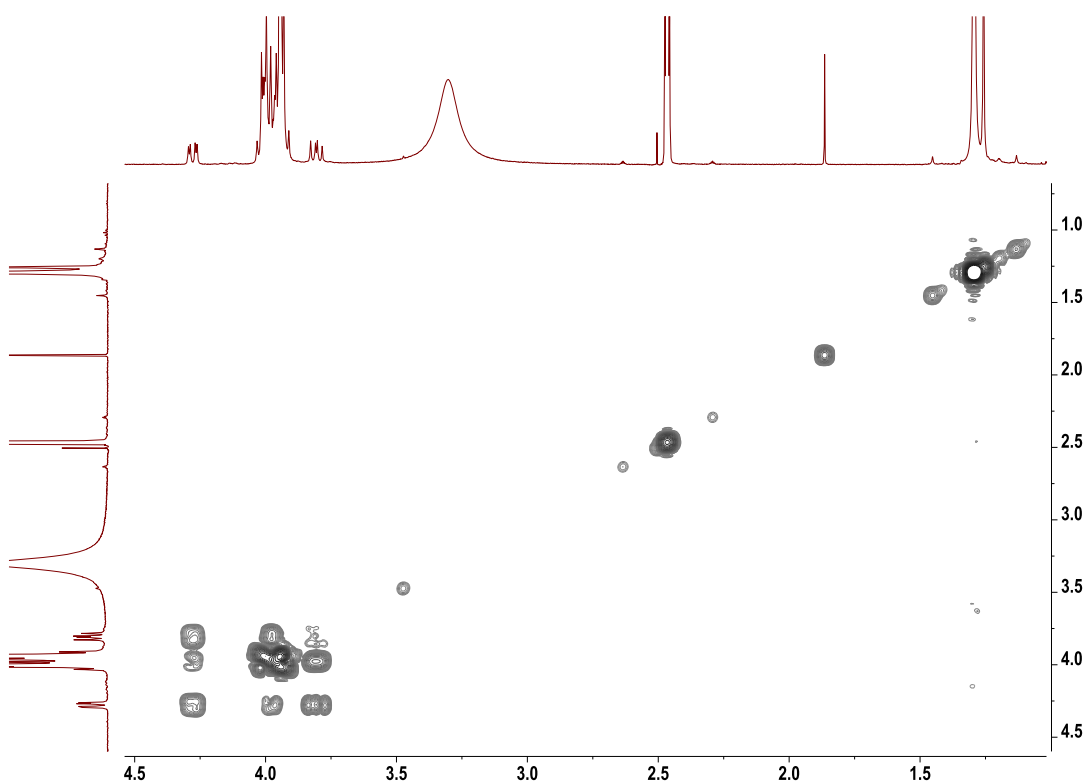
a)



b)



c)



d)

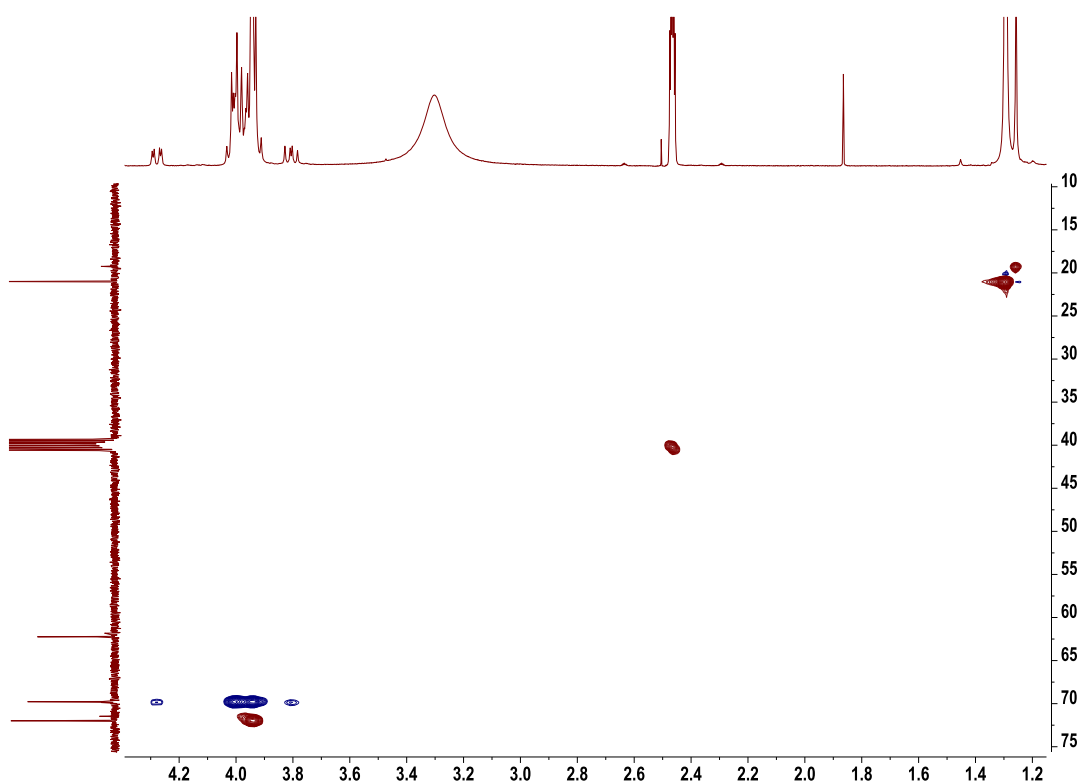
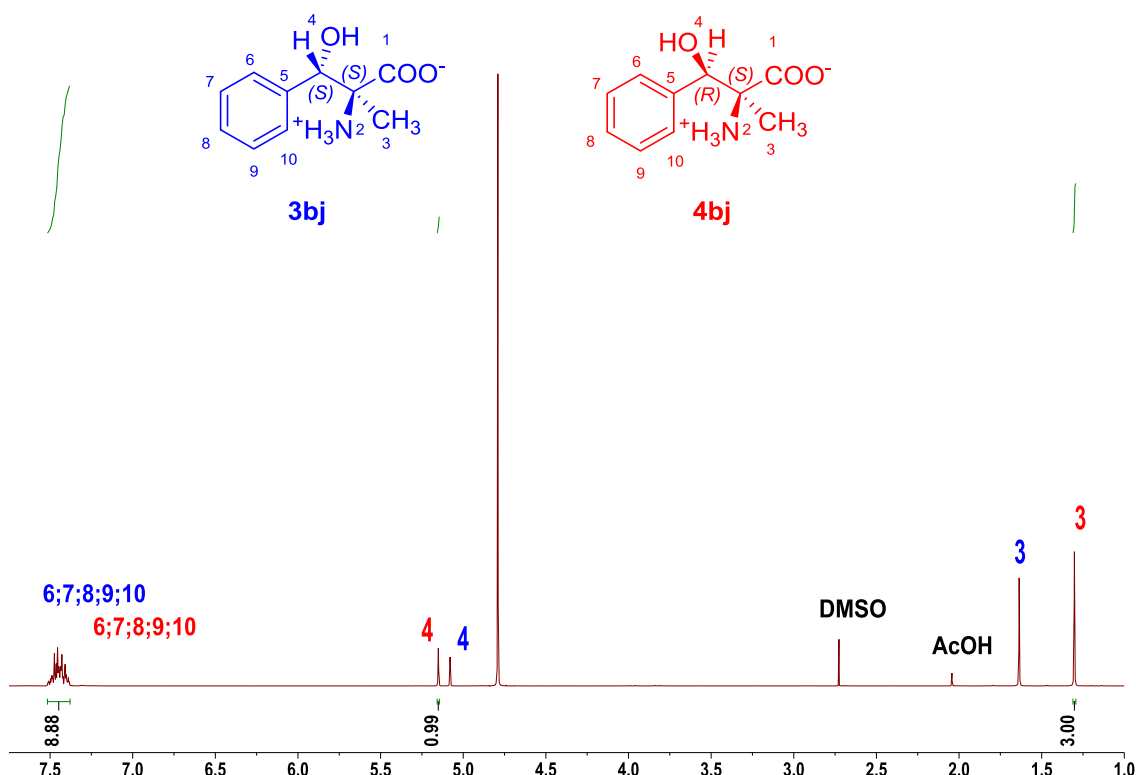
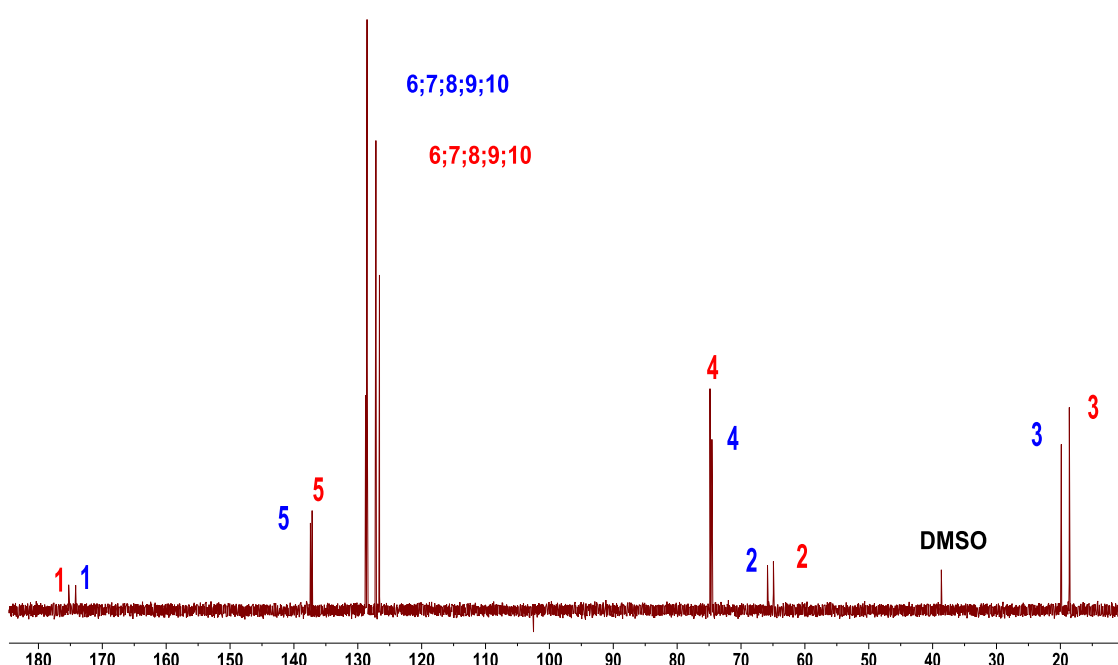


Figura39S(3.1). Espectro de RMN (D_2O) de **3bj** y **4bj** de la reacción aldólica catalizada por SHMT_{Sth} nativa: a) 1H ; b) ^{13}C ; c) 2D 1H - 1H COSY y d) HSQC.

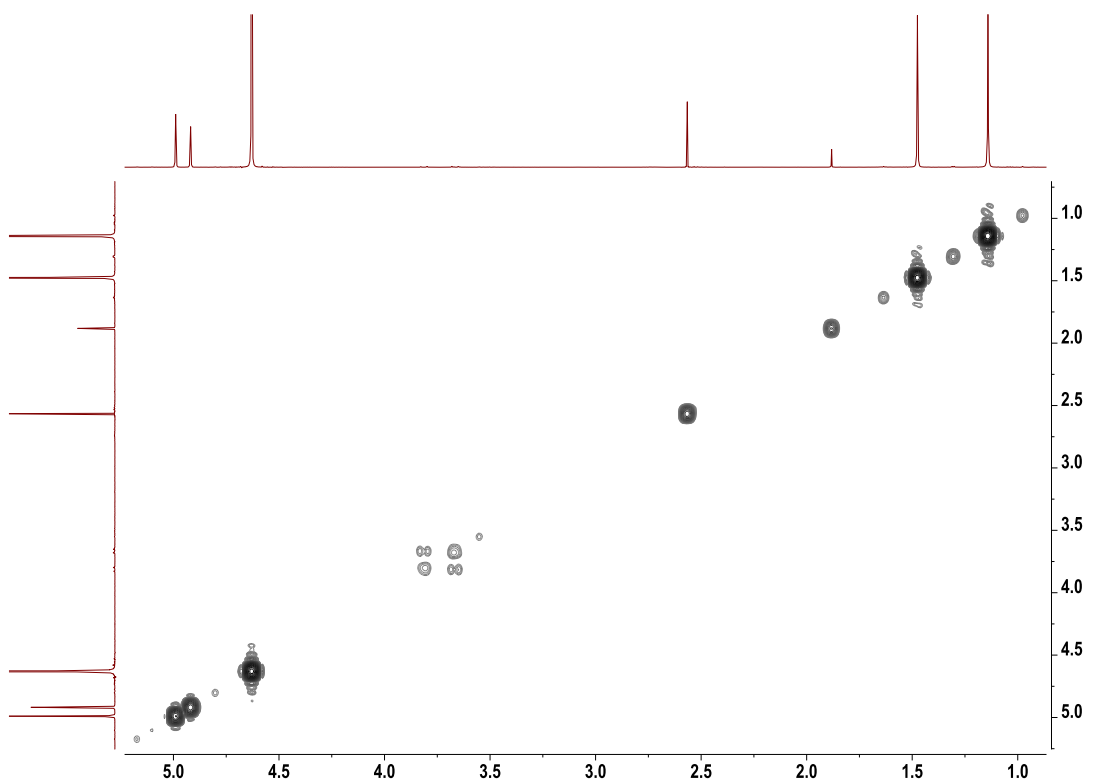
a)



b)



c)



d)

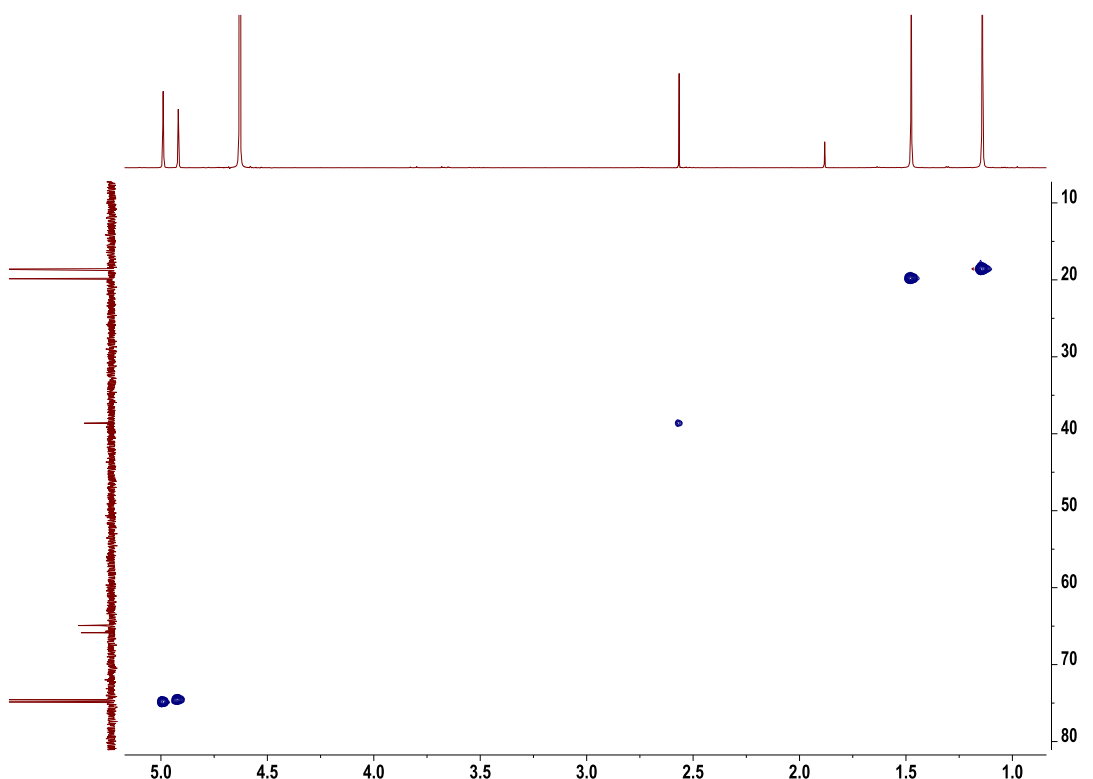
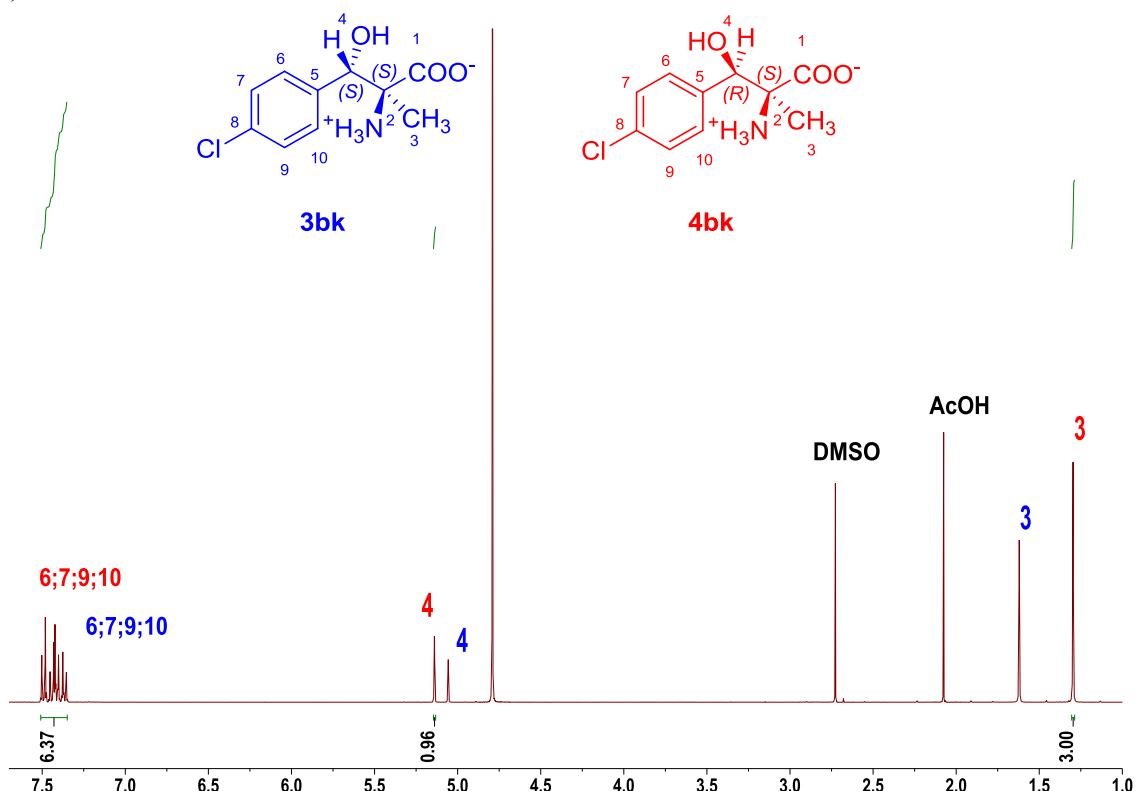
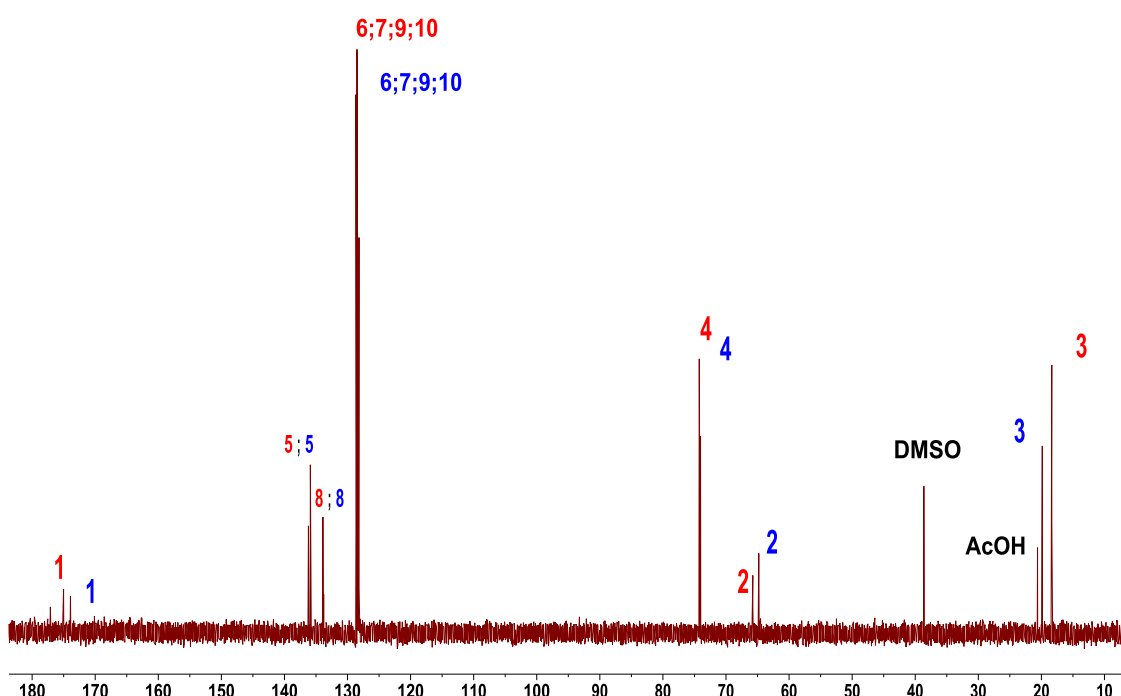


Figura 40S(3.1). Espectro de RMN (D_2O) de **3bk** y **4bk** de la reacción aldólica catalizada por SHMT_{Sth} nativa: a) 1H ; b) ^{13}C ; c) 2D 1H - 1H COSY y d) HSQC.

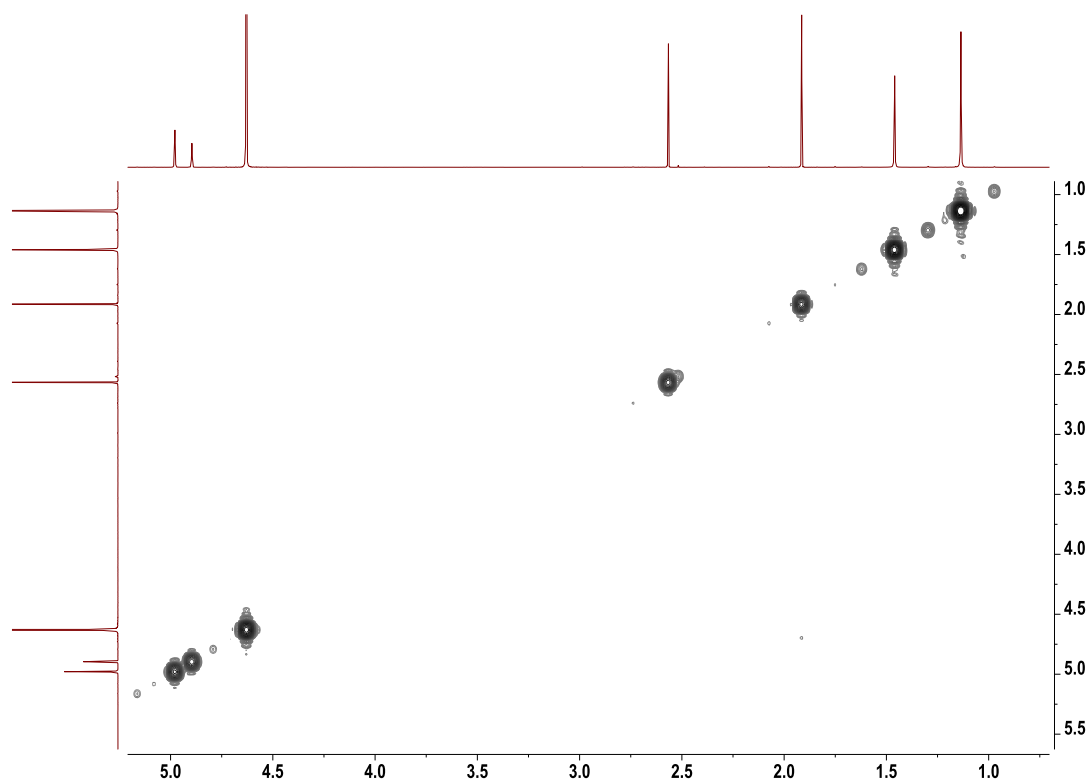
a)



b)



c)



d)

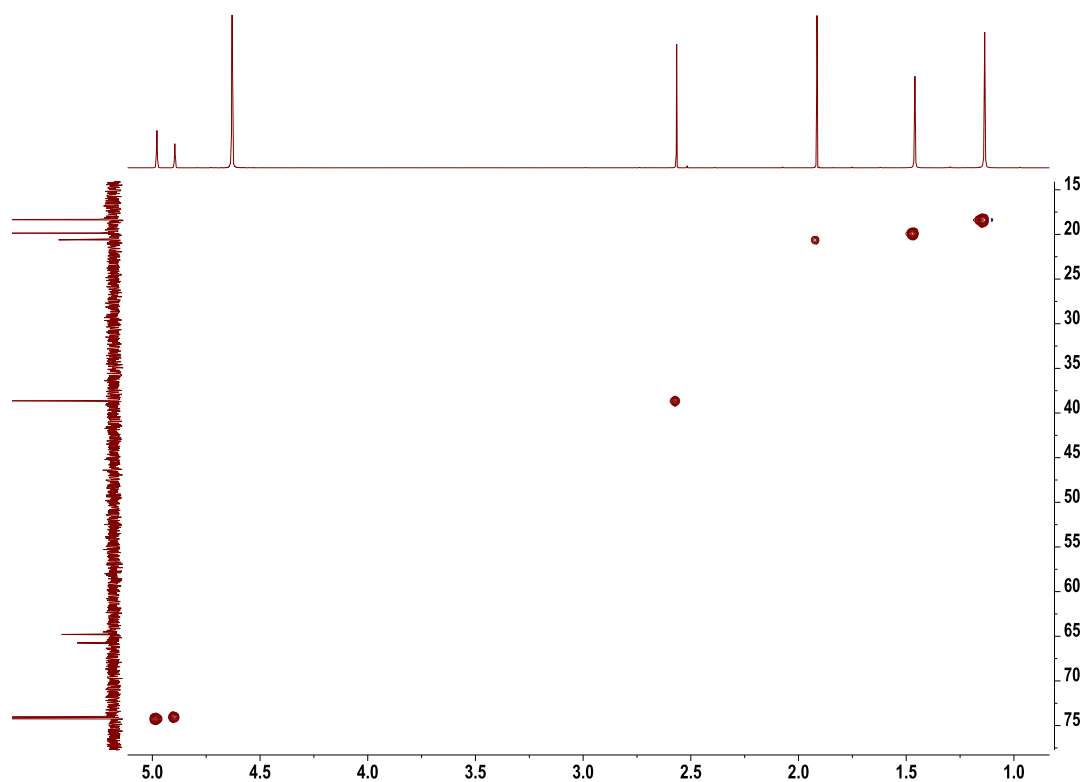
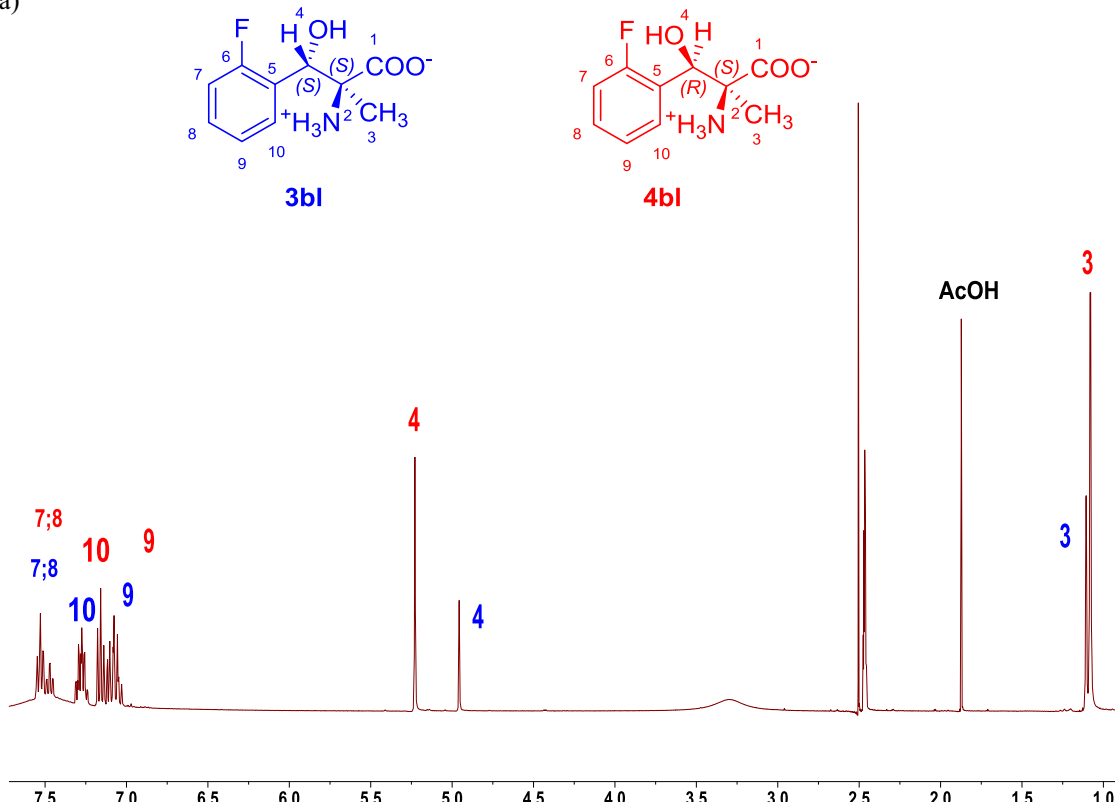
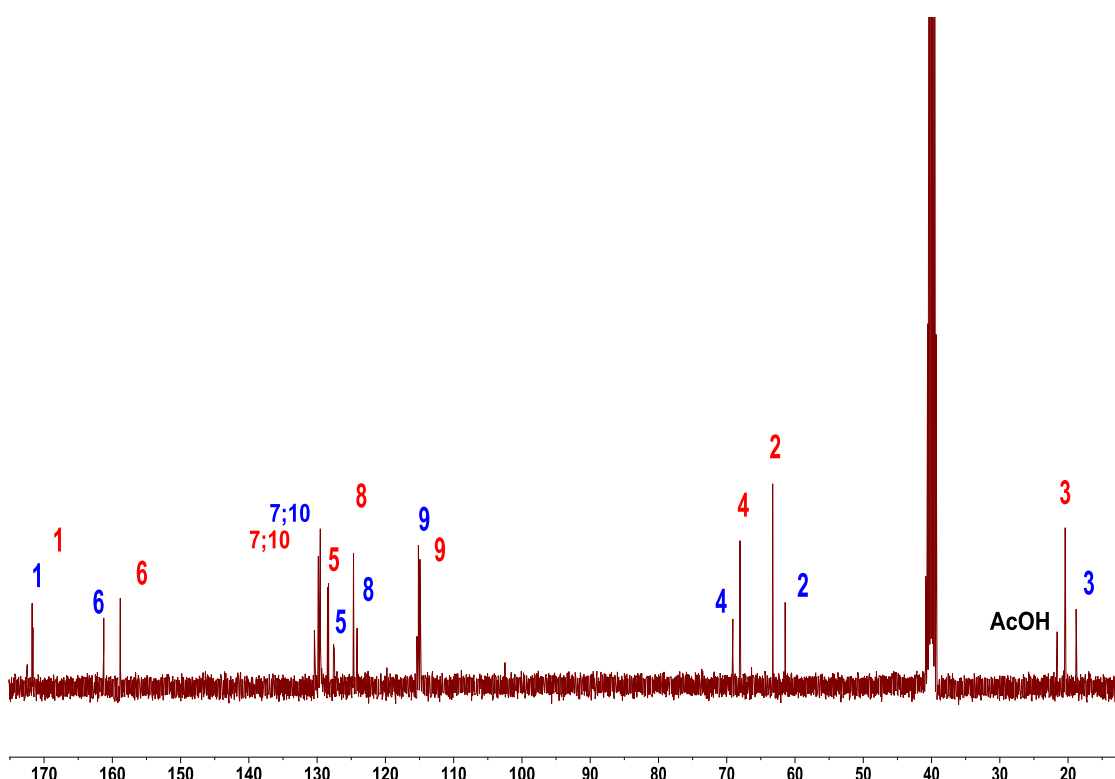


Figura 41S(3.1). Espectro de RMN (DMSO-*d*₆) de **3bl** y **4bl** de la reacción aldólica catalizada por SHMT_{Sth} nativa: a) ¹H; b) ¹³C; c) 2D ¹H-¹H COSY y d) HSQC.

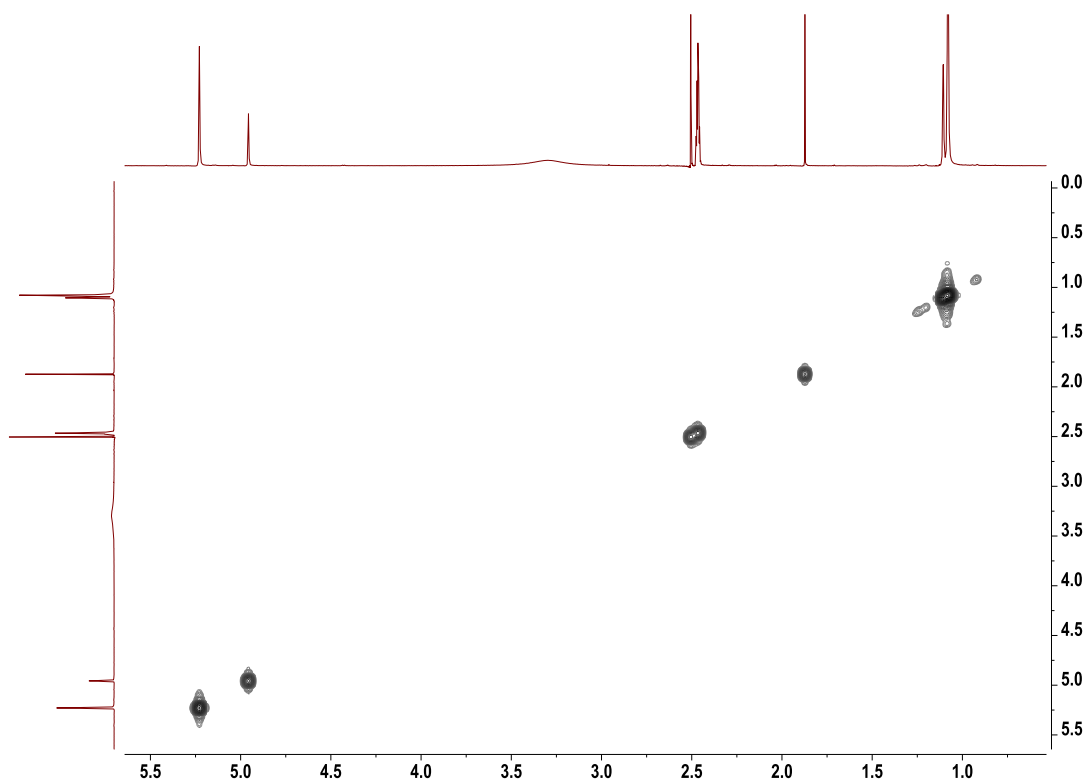
a)



b)



c)



d)

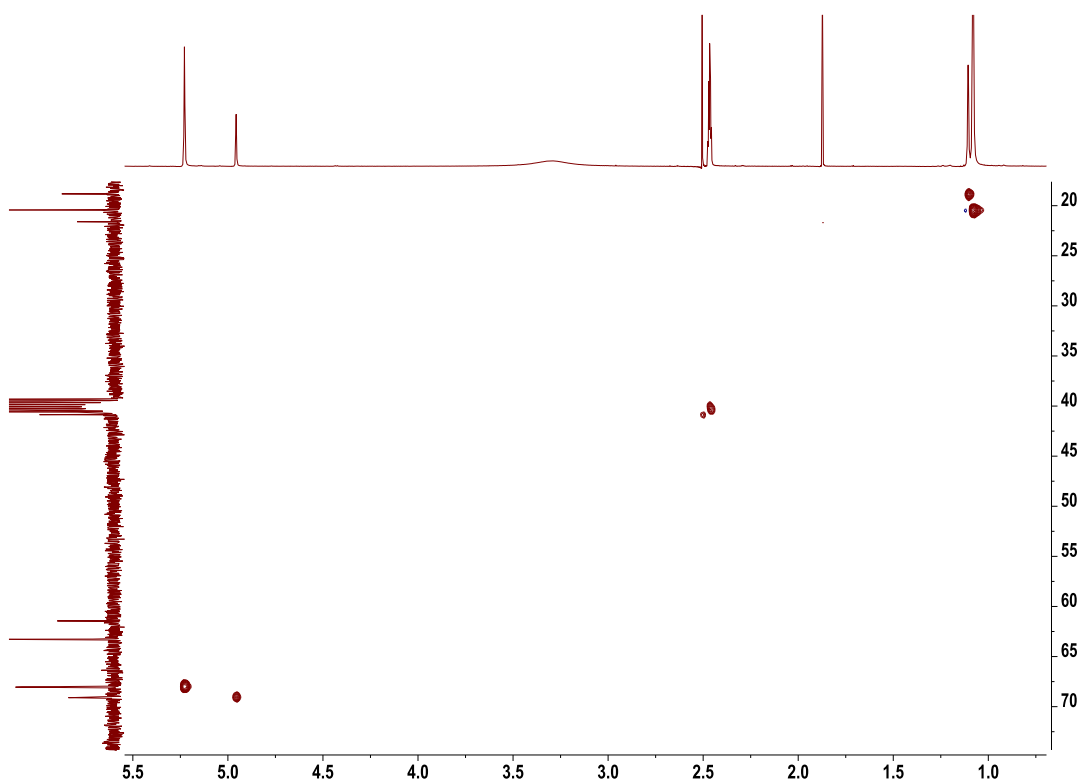
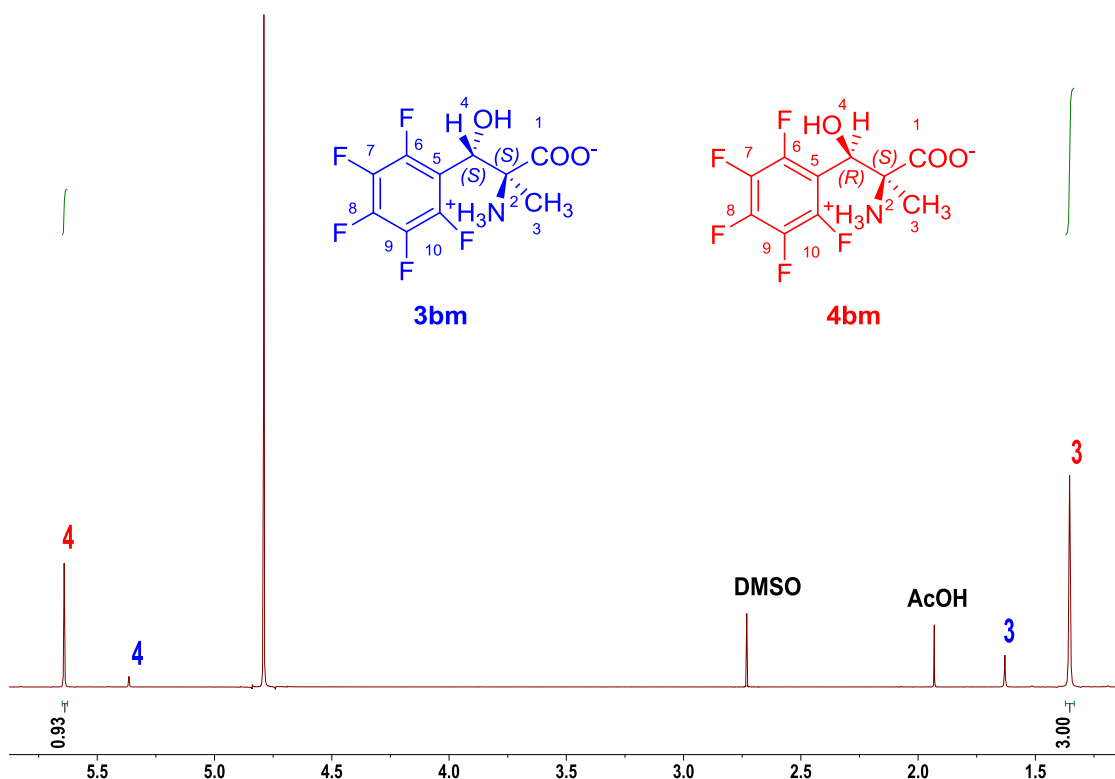
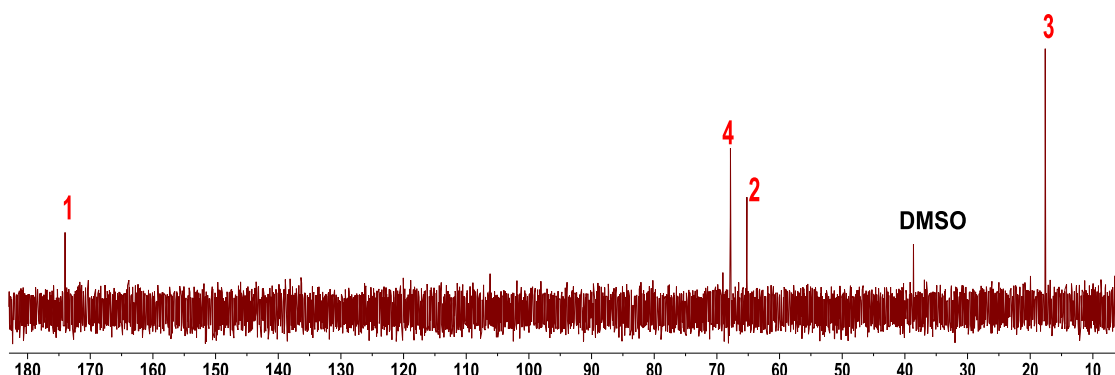


Figura42S(3.1). Espectro de RMN (D_2O) de **3bm** y **4bm** de la reacción aldólica catalizada por SHMT_{Sth} nativa: a) 1H ; b) ^{13}C ; c) 2D 1H - 1H COSY y d) HSQC.

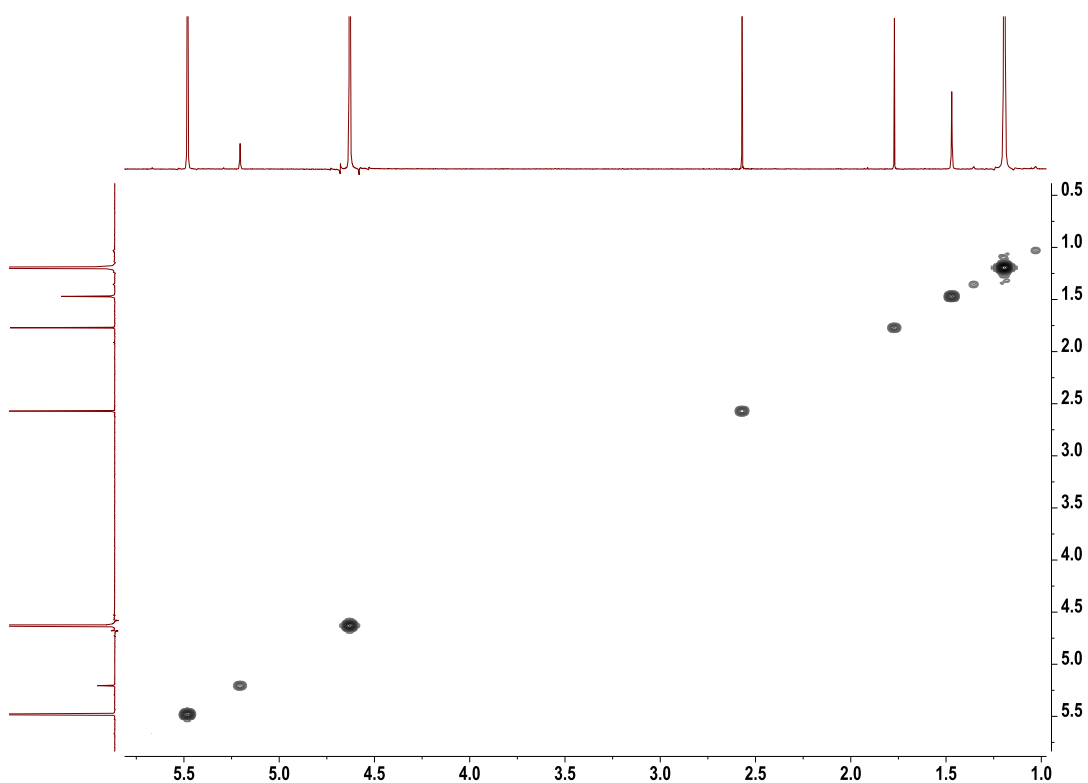
a)



b)



c)



d)

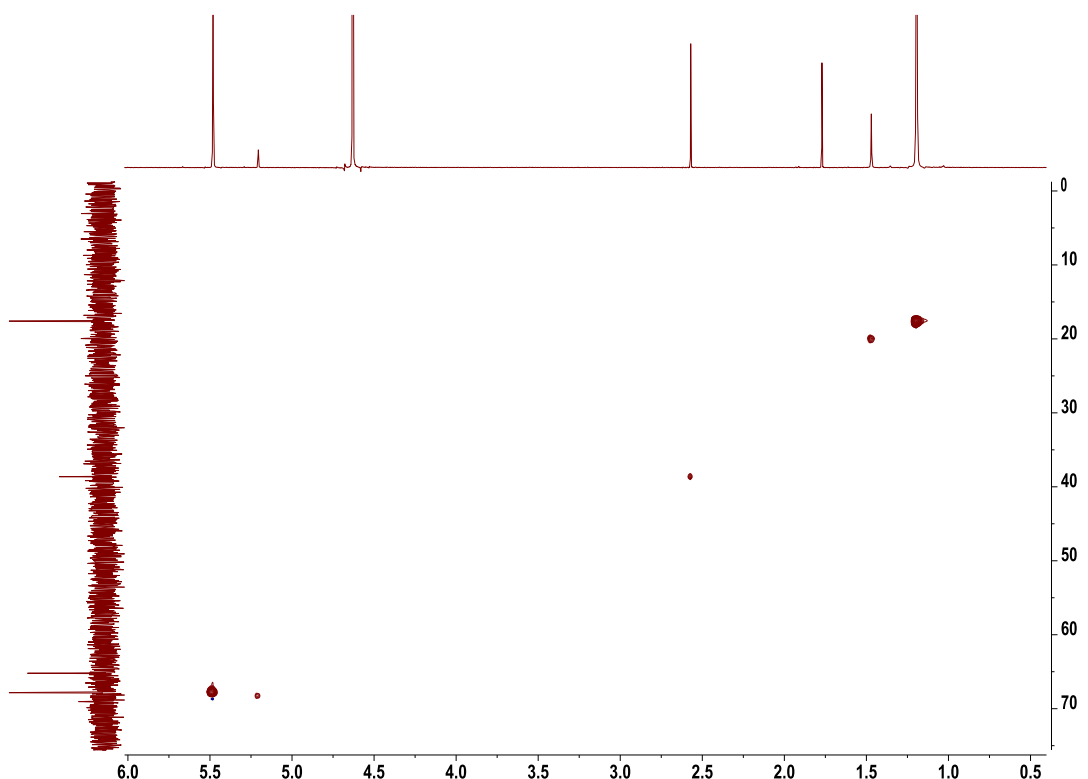
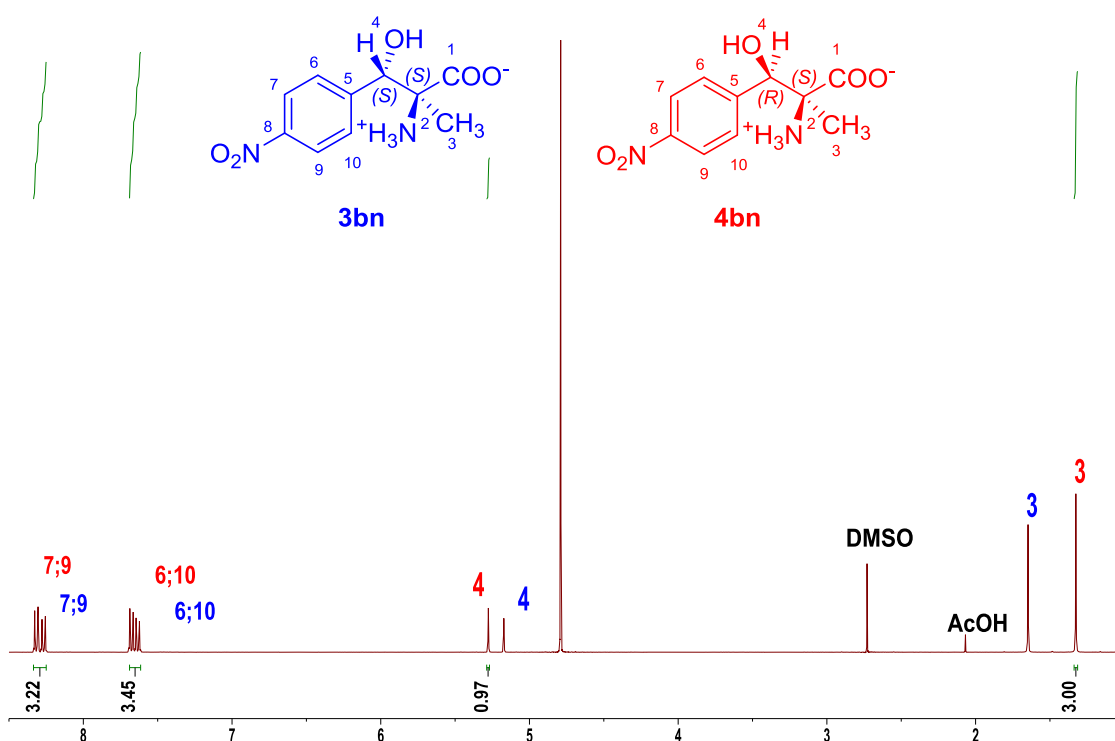
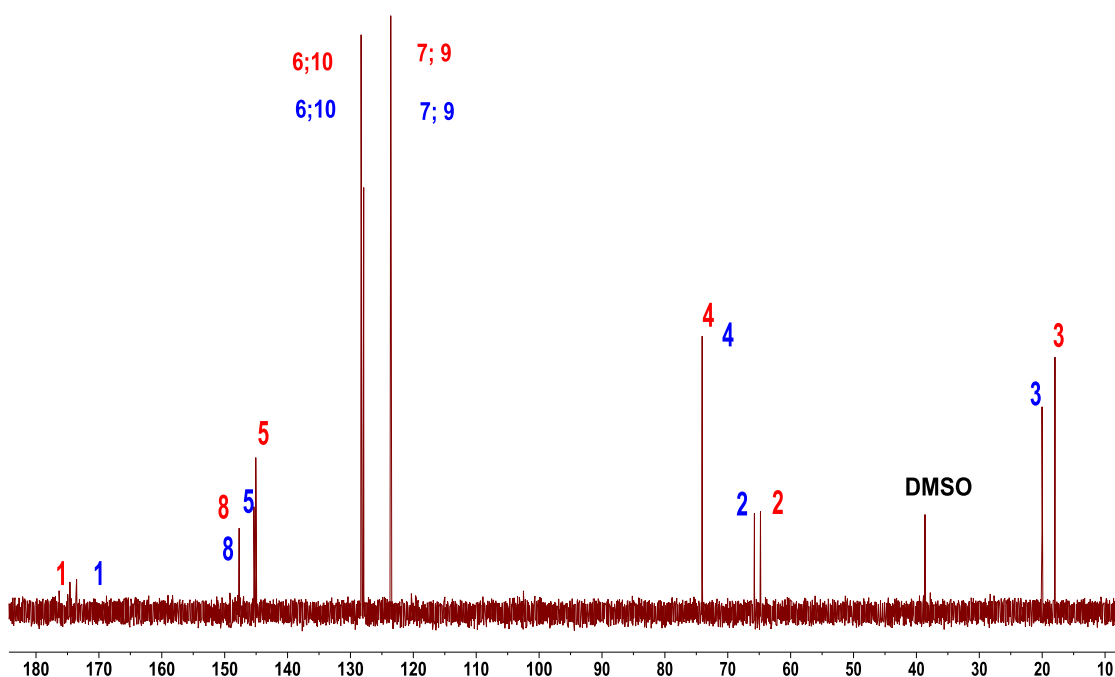


Figura43S(3.1). Espectro de RMN (D_2O) de **3bn** y **4bn** de la reacción aldólica catalizada por SHMT_{Sth} nativa: a) 1H ; b) ^{13}C ; c) 2D 1H - 1H COSY y d) HSQC.

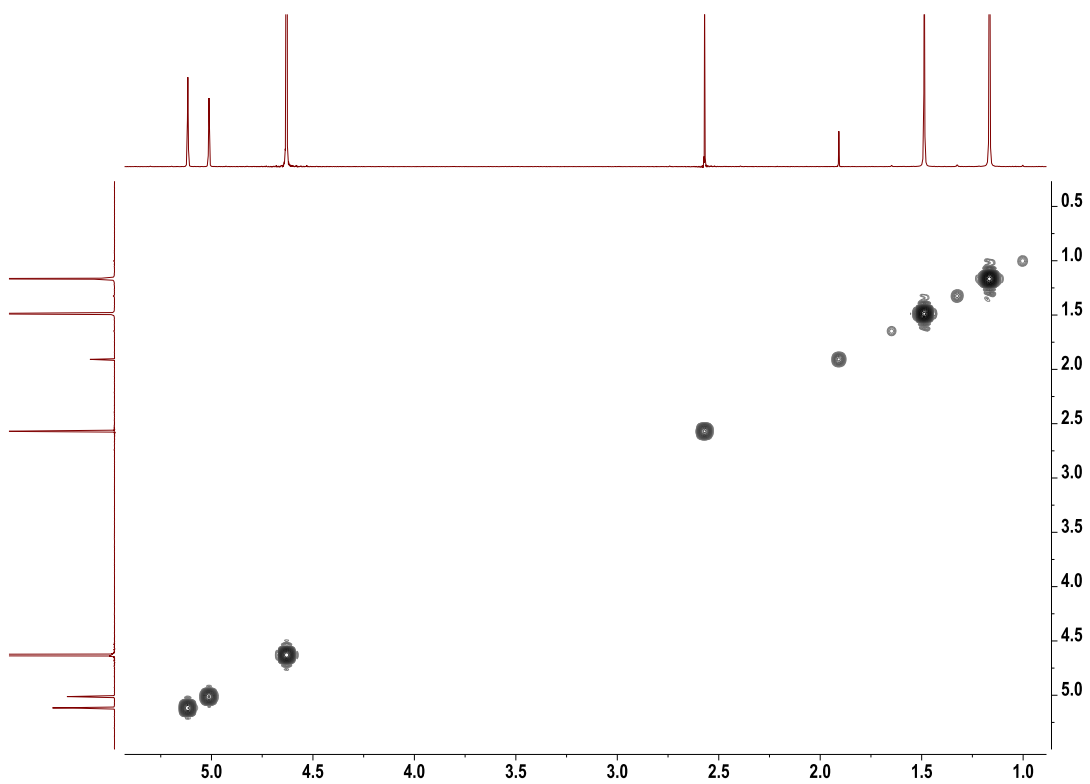
a)



b)



c)



d)

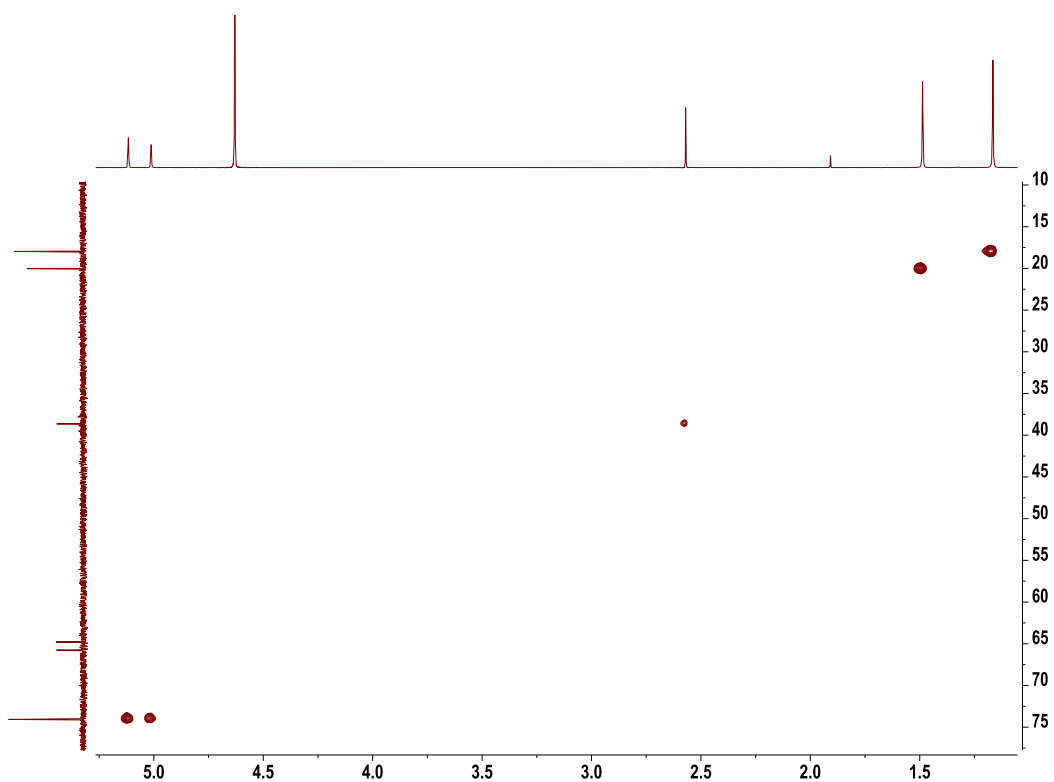


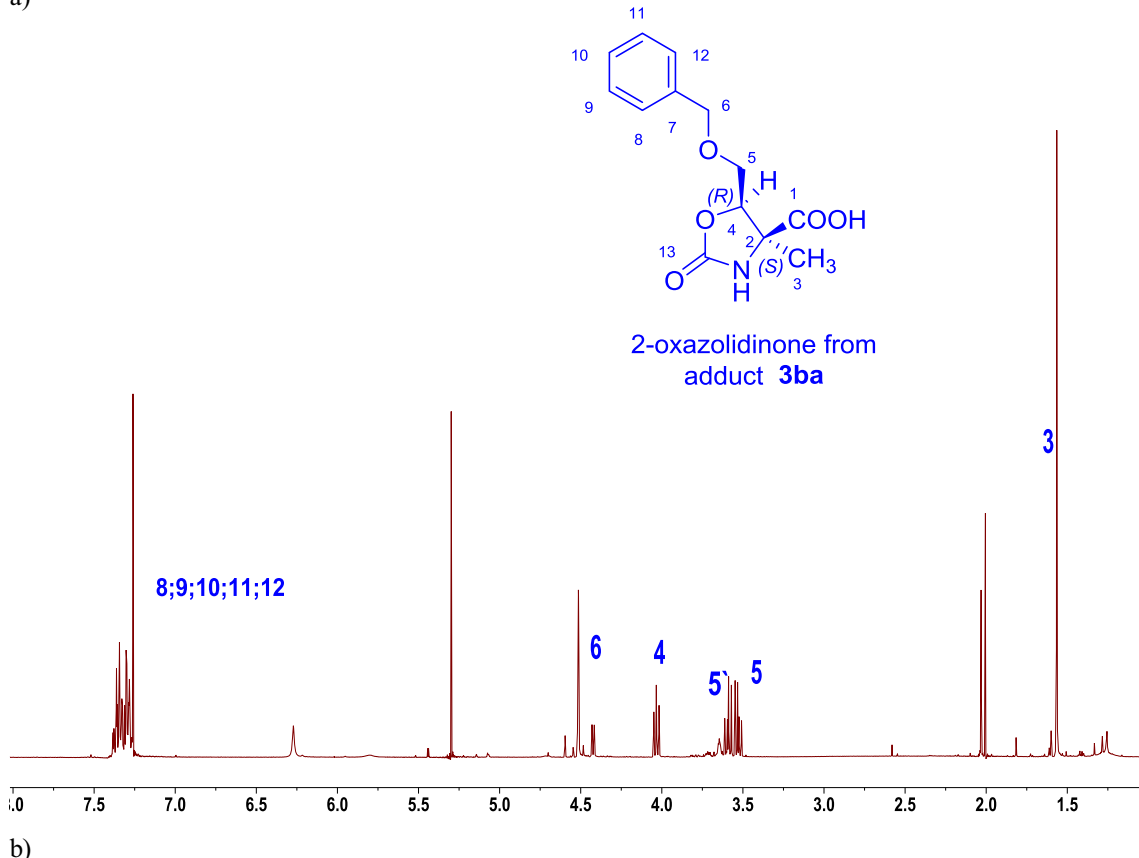
Tabla 8S(3.1). Desplazamientos químicos (ppm) de ^1H y ^{13}C de los productos **3b** y **4b**.

R^2	SHMT	3						4						RMN solvente
		δH_3	δC_3	δH_4	δC_4	δC_1	δC_2	δH_3	δC_3	δH_4	δC_4	δC_1	δC_2	
BnOCH ₂ (3ba)	Y55T	1.54	20.50	4.01	71.06	174.45	64.10							D ₂ O
BnO(CH ₂) ₃ (3bb)	Y55T	1.50	19.94	3.80	73.03	174.83	65.16	1.39	16.59	3.76	72.70			D ₂ O
CbzNHCH ₂ (3bc)	Y55T	1.52	19.94	3.88	72.36	173.97	63.47							D ₂ O
CbzNH(CH ₂) ₂ (3bd)	Y55T	1.49	19.89	3.86	70.79	174.74	66.78							D ₂ O
PhCH ₂ (3bg, 4bg)	Y55T	1.58	19.82	4.09	74.31	174.83	65.13	1.52	16.28	4.16	74.15			D ₂ O
Ph(CH ₂) ₂ (3bh, 4bh)	Y55T	1.45	20.06	3.74	72.11	174.85	65.20	1.37	16.68	3.89	72.11			D ₂ O
PhOCH ₂ (3bi)	Y55T	1.33	20.99	4.00	71.85	171.36	62.17	1.30	19.09	4.31	69.38			DMSO-d ₆
4-CIC ₆ H ₄ (3bk, 4bk)	Y55T	1.61	19.94	5.05	74.04	173.96	65.77	1.30	18.24	5.14	74.25	175.25	64.82	D ₂ O
2-FC ₆ H ₄ (3bl, 4bl)	Y55T	1.15	18.68	4.99	69.14	171.69	61.45	1.11	20.22	5.26	67.90	172.49	63.11	DMSO-d ₆
4-O ₂ NC ₆ H ₄ (3bn, 4bn)	Y55T	1.65	20.03	5.17	73.97	173.53	65.75	1.33	18.08	5.27	73.97			D ₂ O
BnOCH ₂ (3ba, 4ba)	nativa	1.54	20.49	4.02	71.04	174.44	64.11	1.40	17.73	4.02	70.70			D ₂ O
BnO(CH ₂) ₃ (3bb, 4bb)	nativa	1.50	20.01	3.80	73.02	174.84	65.16	1.39	16.66	3.92	72.68	175.34	65.21	D ₂ O
CbzNHCH ₂ (3bc)	nativa	1.52	19.81	3.89	72.27	174.00	63.48	1.45	16.71	4.04	71.51			D ₂ O
CbzNH(CH ₂) ₂ (3bd, 4bd)	nativa	1.48	19.87	3.85	70.77	174.80	65.00	1.37	16.80	3.97	70.55			D ₂ O
Ph(CH ₂) ₂ (3bh, 4bh)	nativa	1.46	19.99	3.73	72.22	174.81	65.22	1.38	16.67	3.89	72.22	175.27	65.20	D ₂ O
PhOCH ₂ (3bi, 4bi)	nativa	1.33	20.91	4.00	72.10	171.45	62.24	1.30	19.27	4.00	71.51		61.79	DMSO-d ₆
Ph (3bj, 4bj)	nativa	1.63	19.90	5.08	74.55	174.17	64.93	1.30	18.59	5.16	74.85	175.27	65.85	D ₂ O
4-CIC ₆ H ₄ (3bk, 4bk)	nativa	1.62	19.74	5.06	74.31	173.93	64.80	1.29	18.21	5.15	74.31	175.02	65.75	D ₂ O
2-FC ₆ H ₄ (3bl, 4bl)	nativa	1.14	18.79	4.99	69.21	171.63	61.45	1.11	20.40	5.27	67.99	171.75	63.27	D ₂ O
C ₆ F ₅ (3bm, 4bm)	nativa	1.63	20.11	5.37	68.30			1.35	17.53	5.64	68.05	174.02	65.21	D ₂ O
4-O ₂ NC ₆ H ₄ (3bn, 4bn)	nativa	1.65	19.87	5.17	73.97	173.55	65.76	1.33	17.85	5.28	73.97	174.61	64.80	D ₂ O

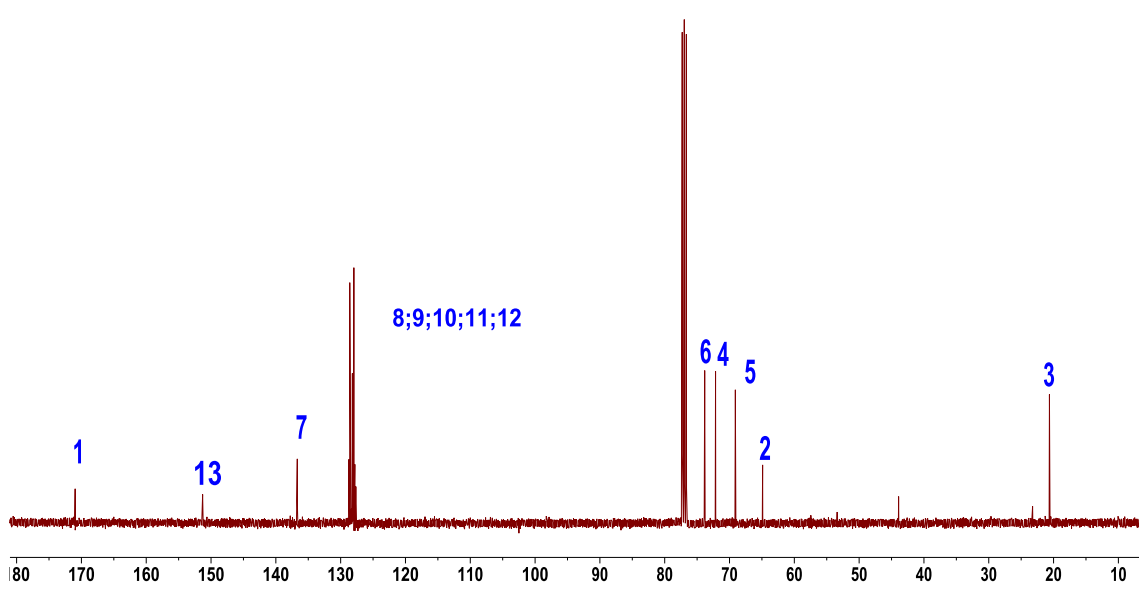
	3						4						
	δH_3	δC_3	δH_4	δC_4	δC_1	δC_2	δH_3	δC_3	δH_4	δC_4	δC_1	δC_2	
	$\delta(\text{media})$	1.49	19.97	4.36	72.12	173.79	64.36	1.33	18.87	4.56	71.82	174.34	64.50
	SD(δ)	0.15	0.53	0.61	1.81	1.24	1.52	0.10	1.27	0.67	2.31	1.34	1.33

Figura 44S(3.1). Espectros de RMN (CDCl_3) de las oxazolidin-2-onas derivadas de **3ba** de la adición aldólica catalizada por SHMT_{Sth} Y55T: a) ^1H ; b) ^{13}C ; c) 2D ^1H - ^1H COSY, d) HSQC y e) NOESY.

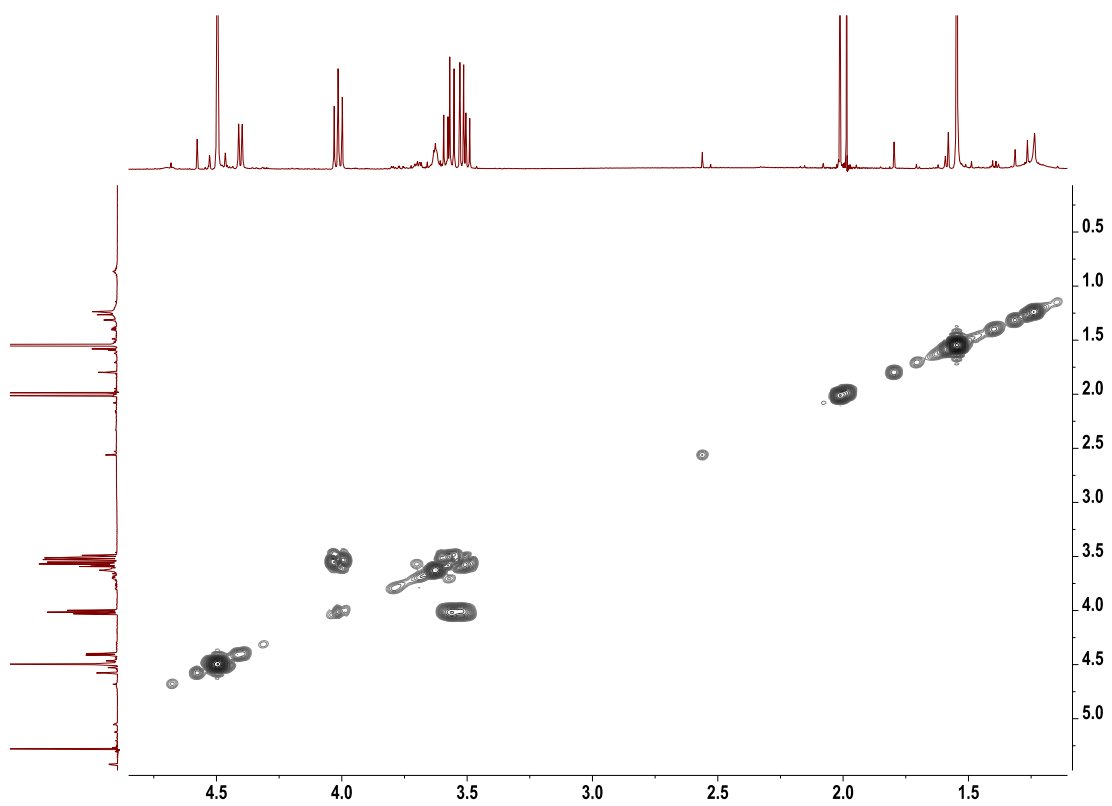
a)



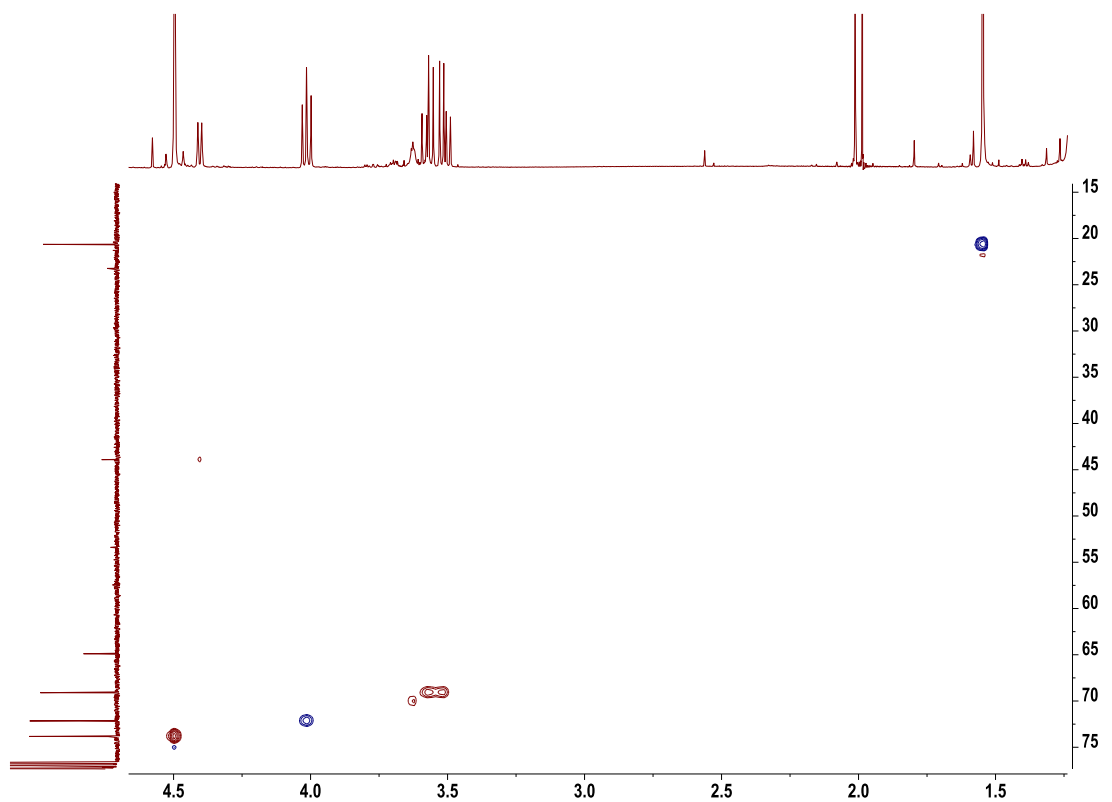
b)



c)



d)



e)

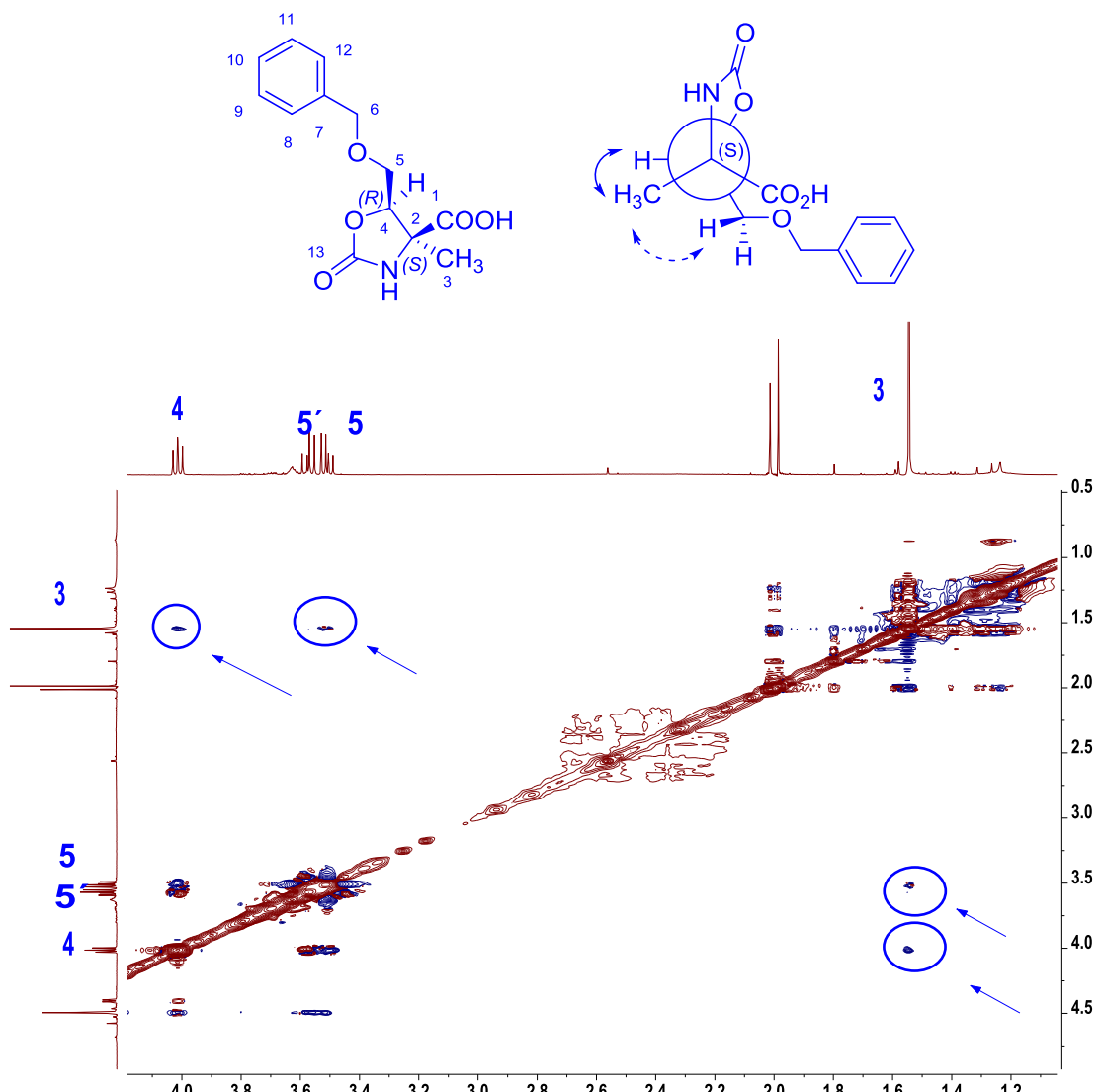
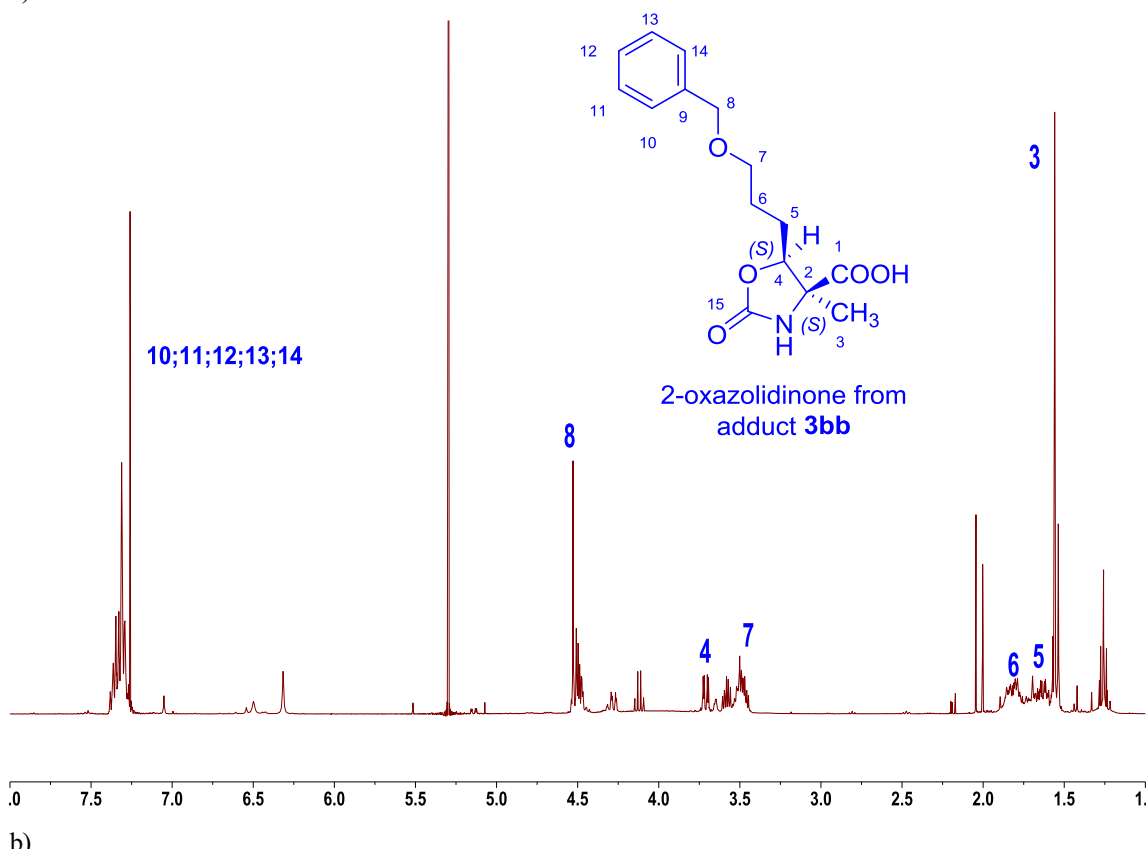
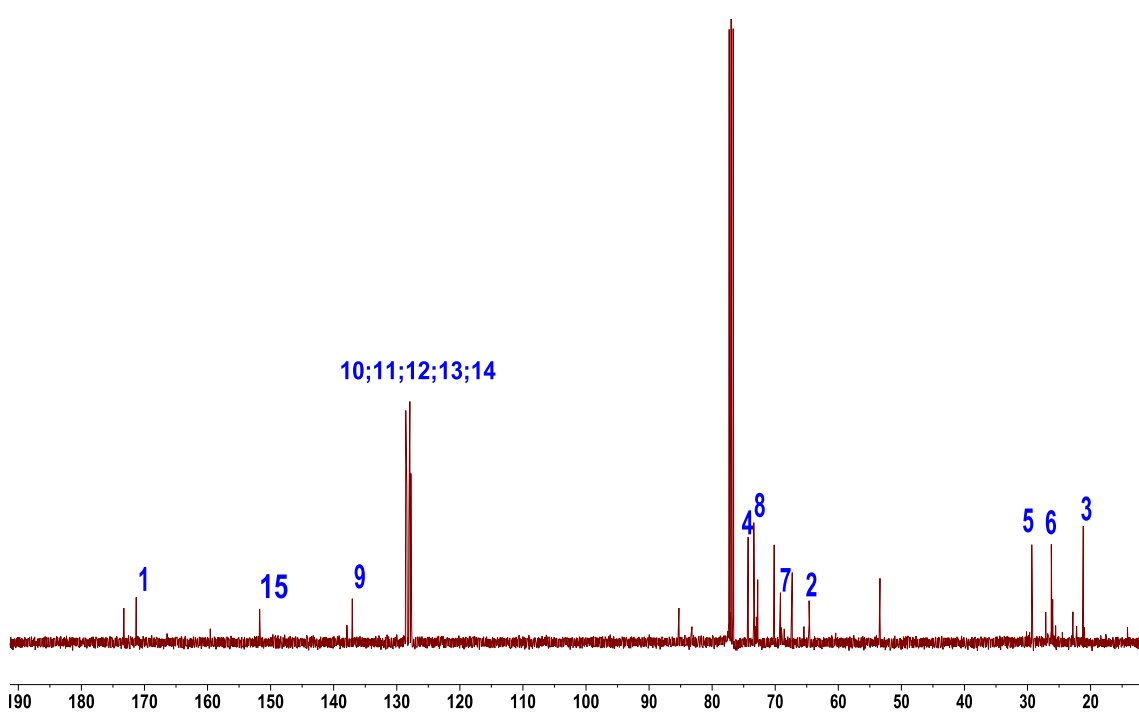


Figura45S(3.1). Espectros de RMN (CDCl_3) de las oxazolidin-2-onas derivadas de **3bb** de la adición aldólica catalizada por SHMT_{Sth} Y55T: a) ^1H ; b) ^{13}C ; c) 2D ^1H - ^1H COSY, d) HSQC y e) NOESY.

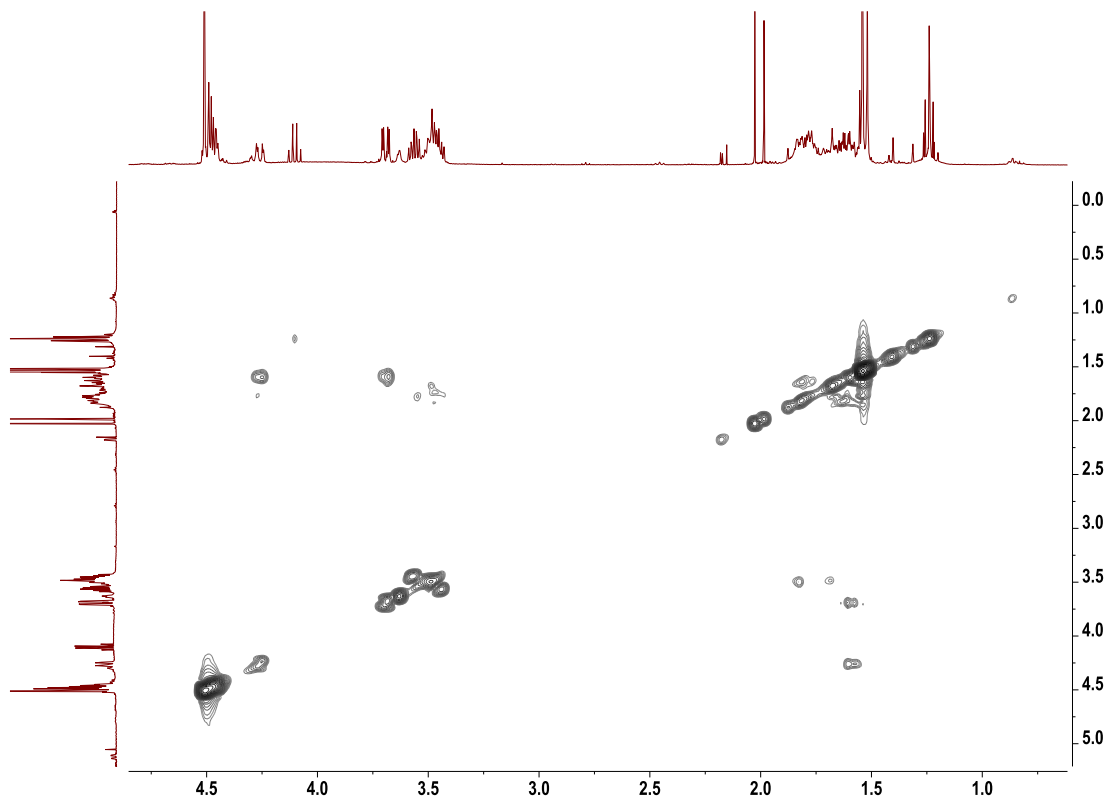
a)



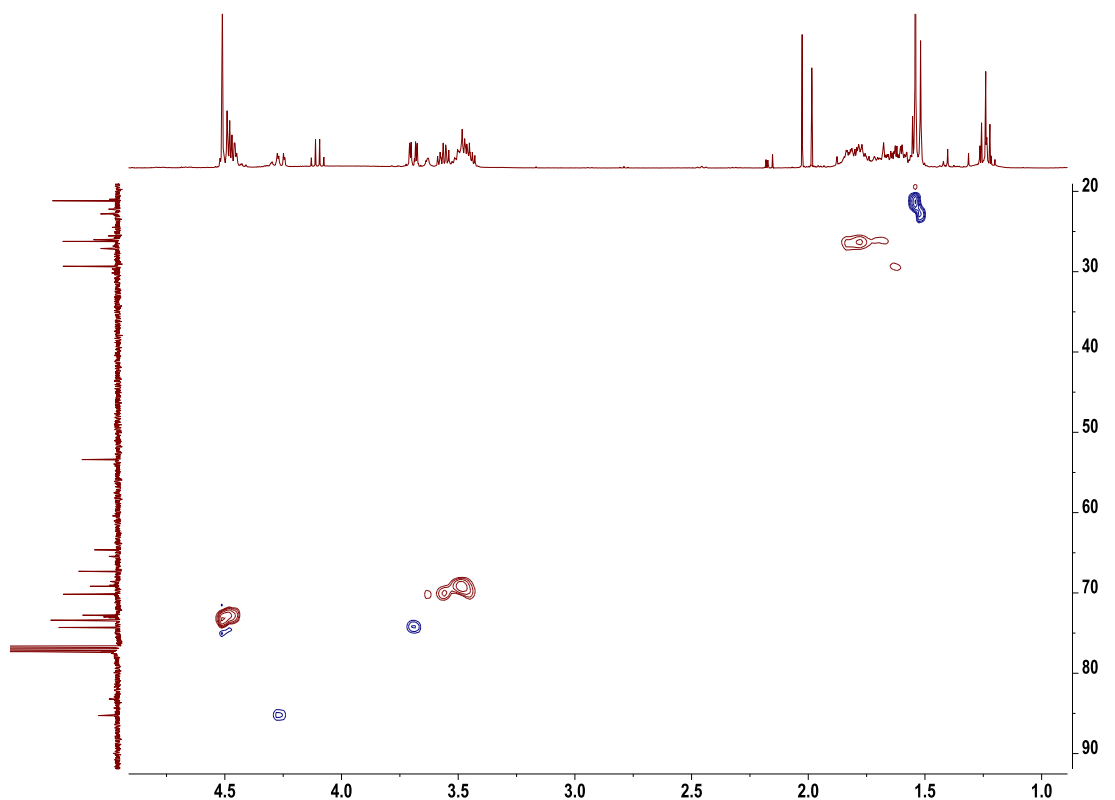
b)



c)



d)



e)

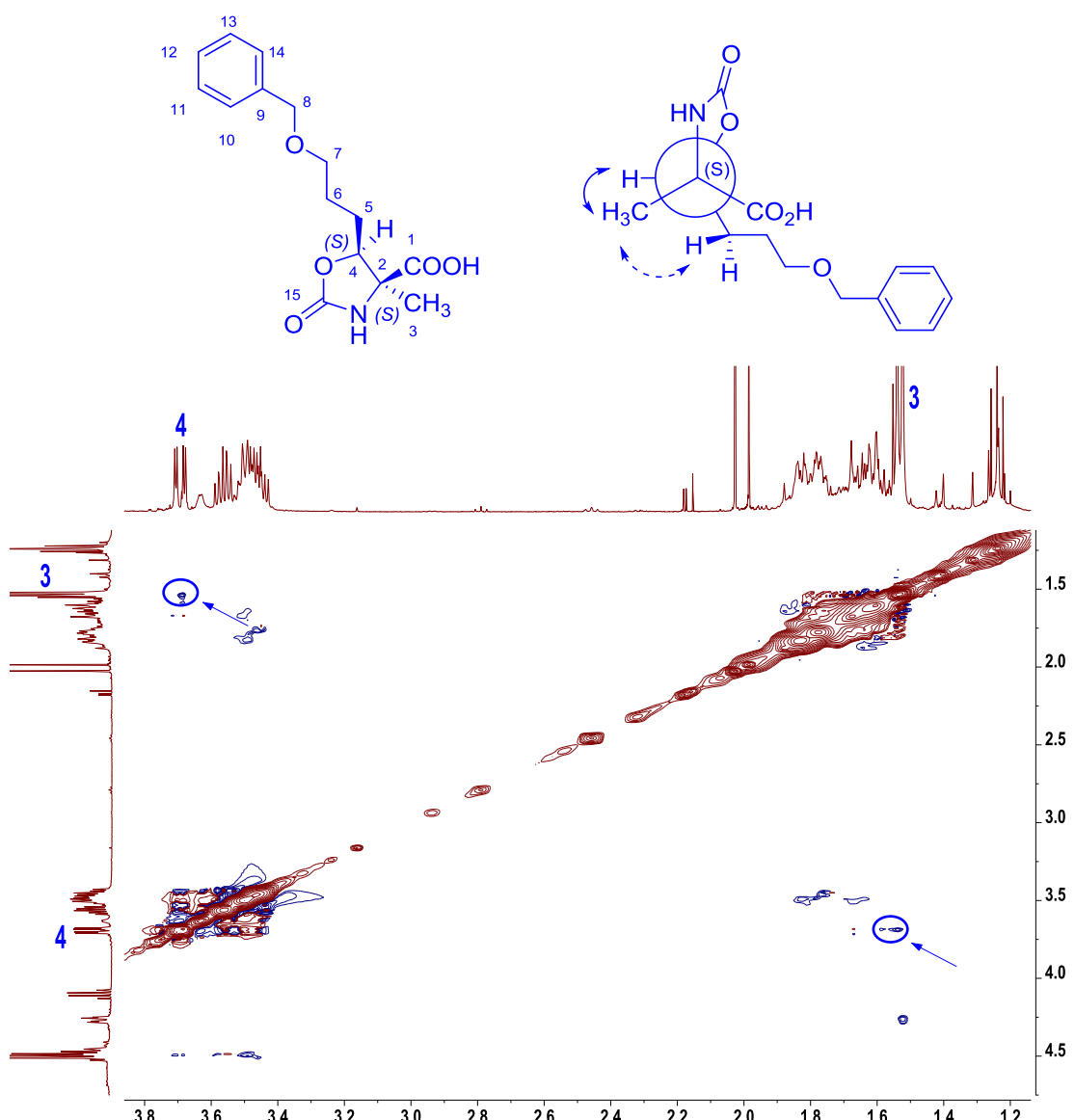
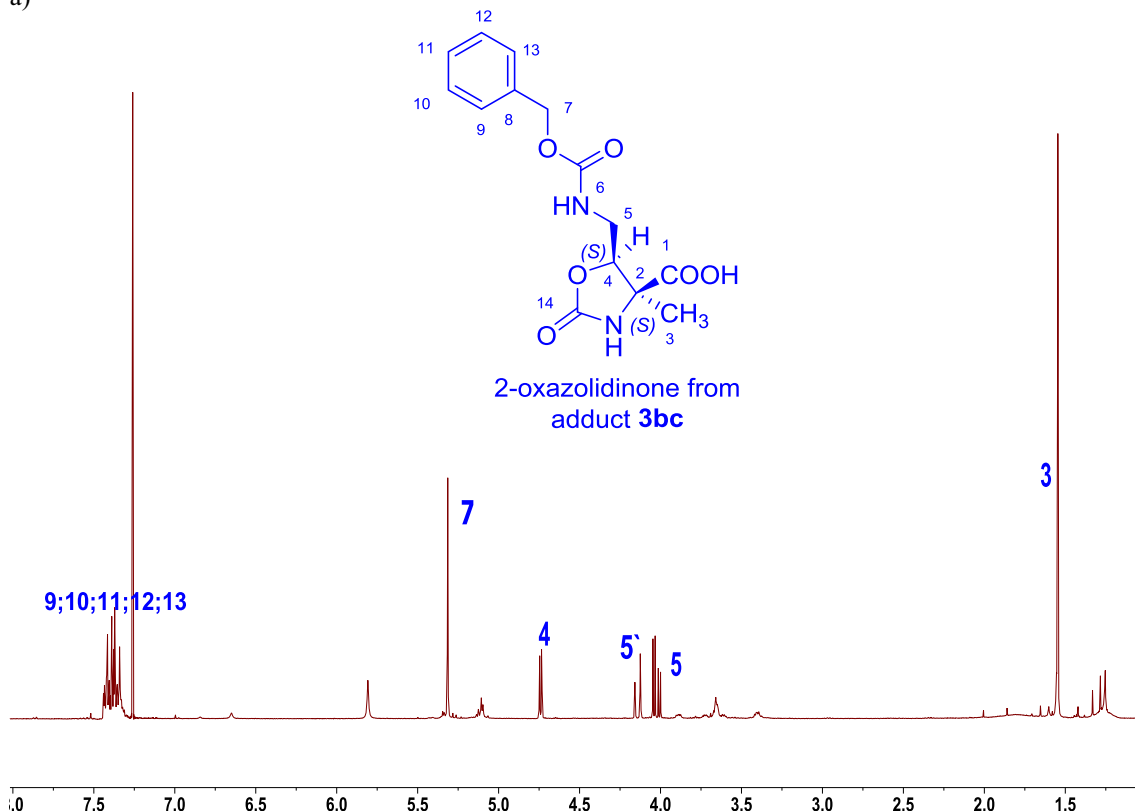
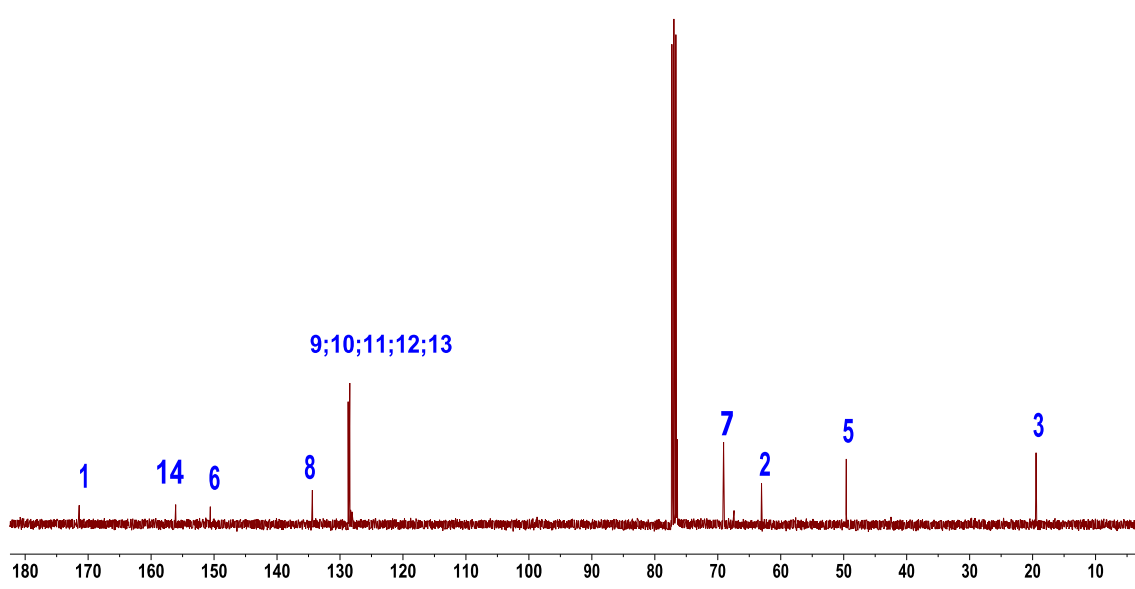


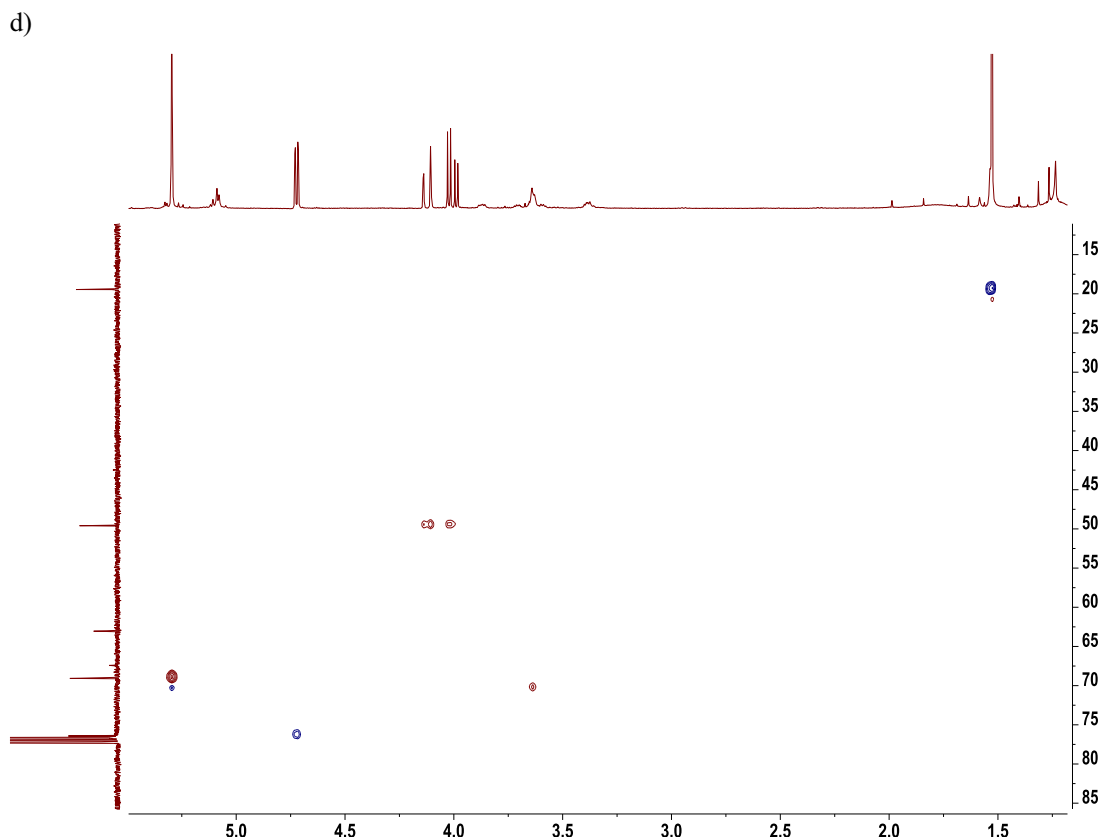
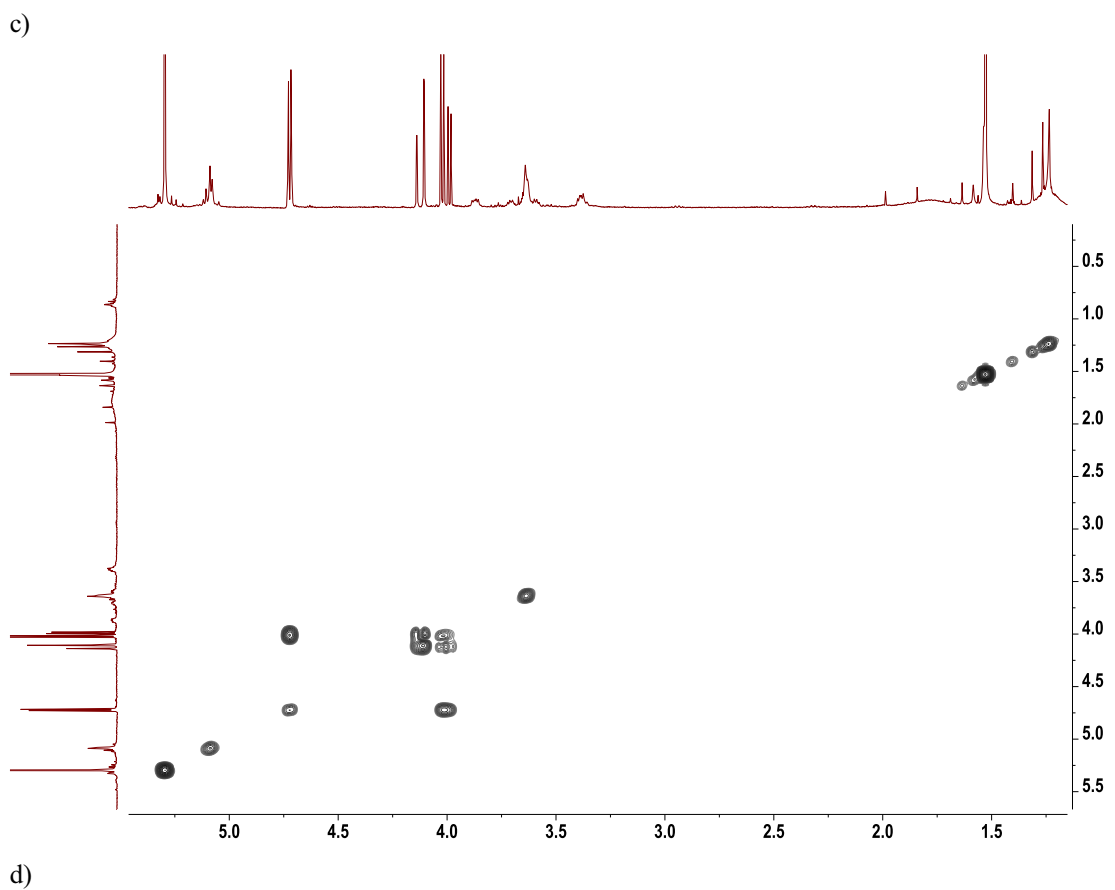
Figura 46S(3.1). Espectros de RMN (CDCl_3) de las oxazolidin-2-onas derivadas de **3bc** de la adición aldólica catalizada por SHMT_{Sth} Y55T: a) ^1H ; b) ^{13}C ; c) 2D ^1H - ^1H COSY, d) HSQC y e) NOESY.

a)



b)





e)

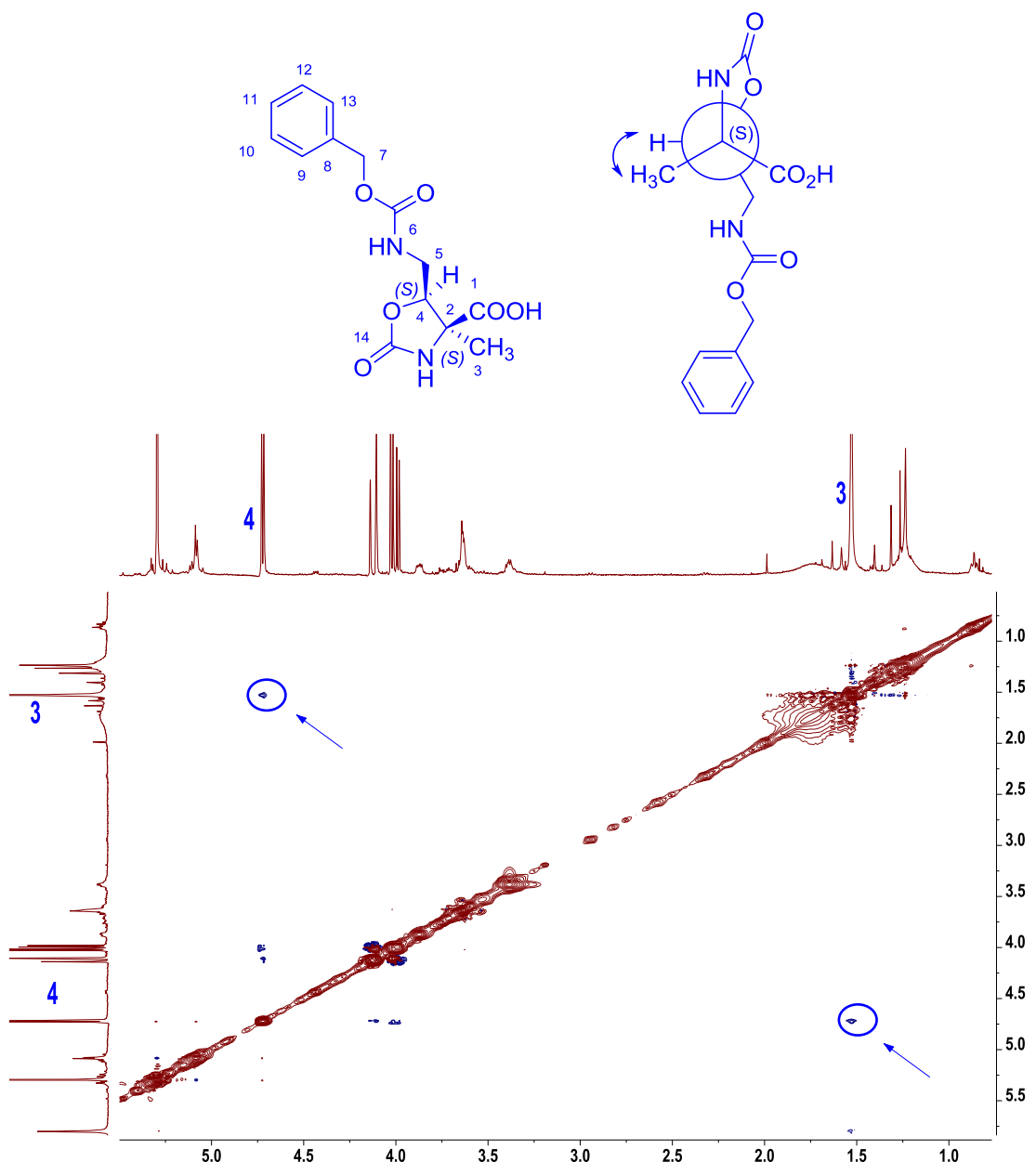
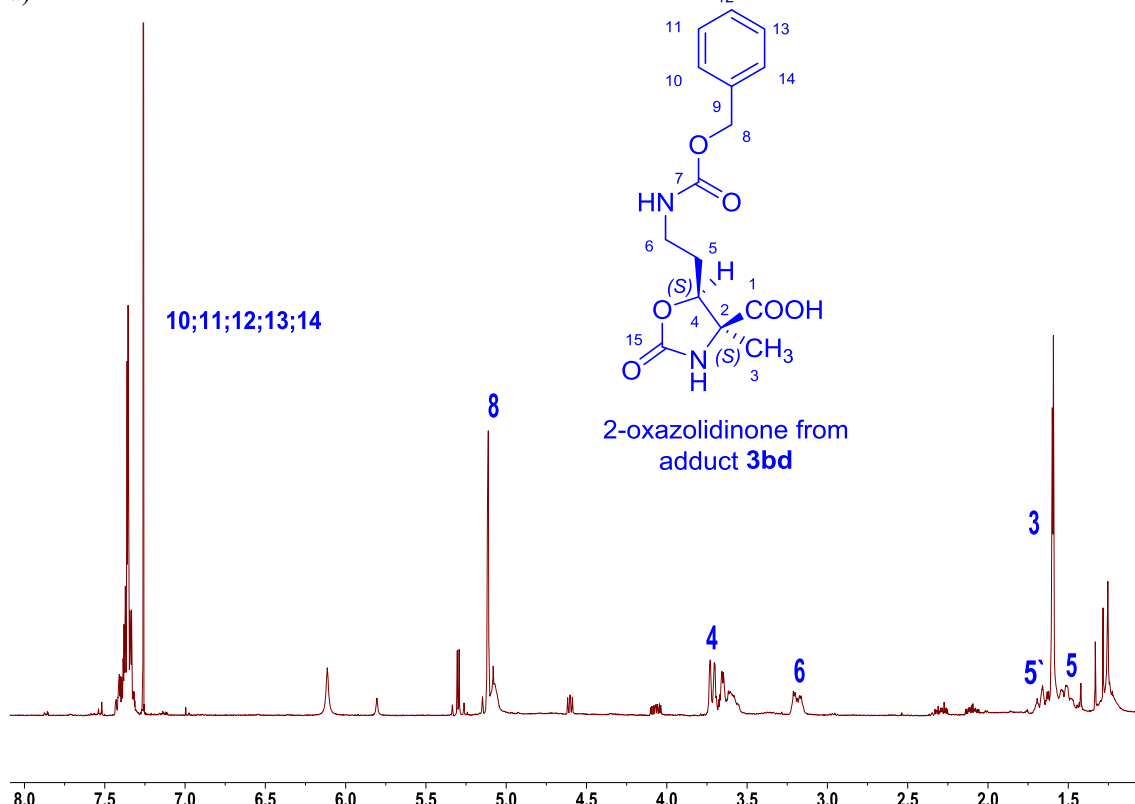
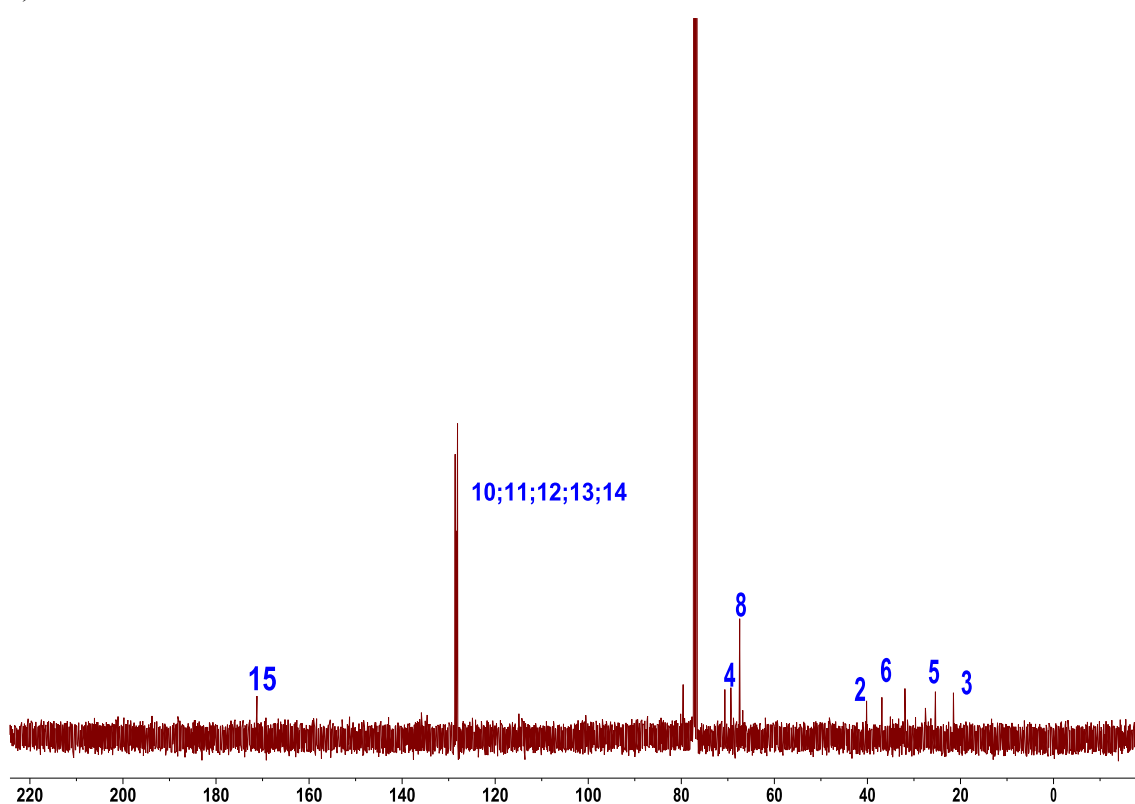


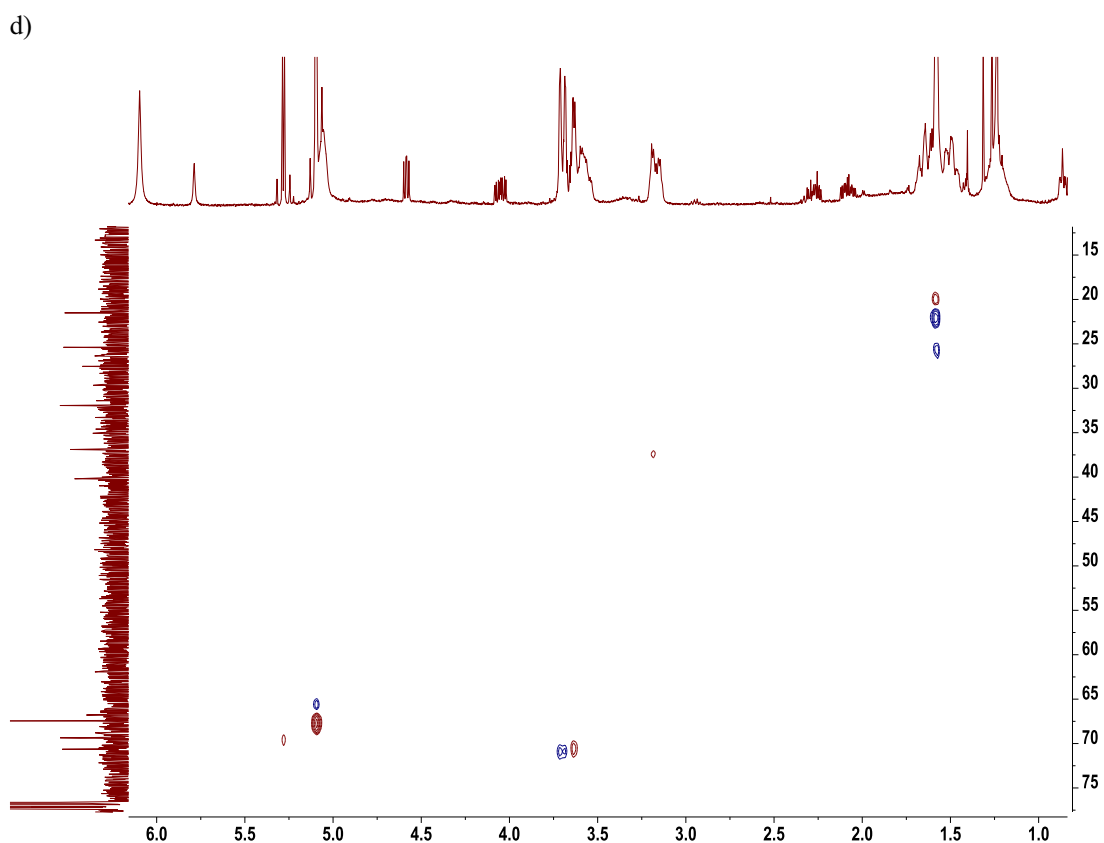
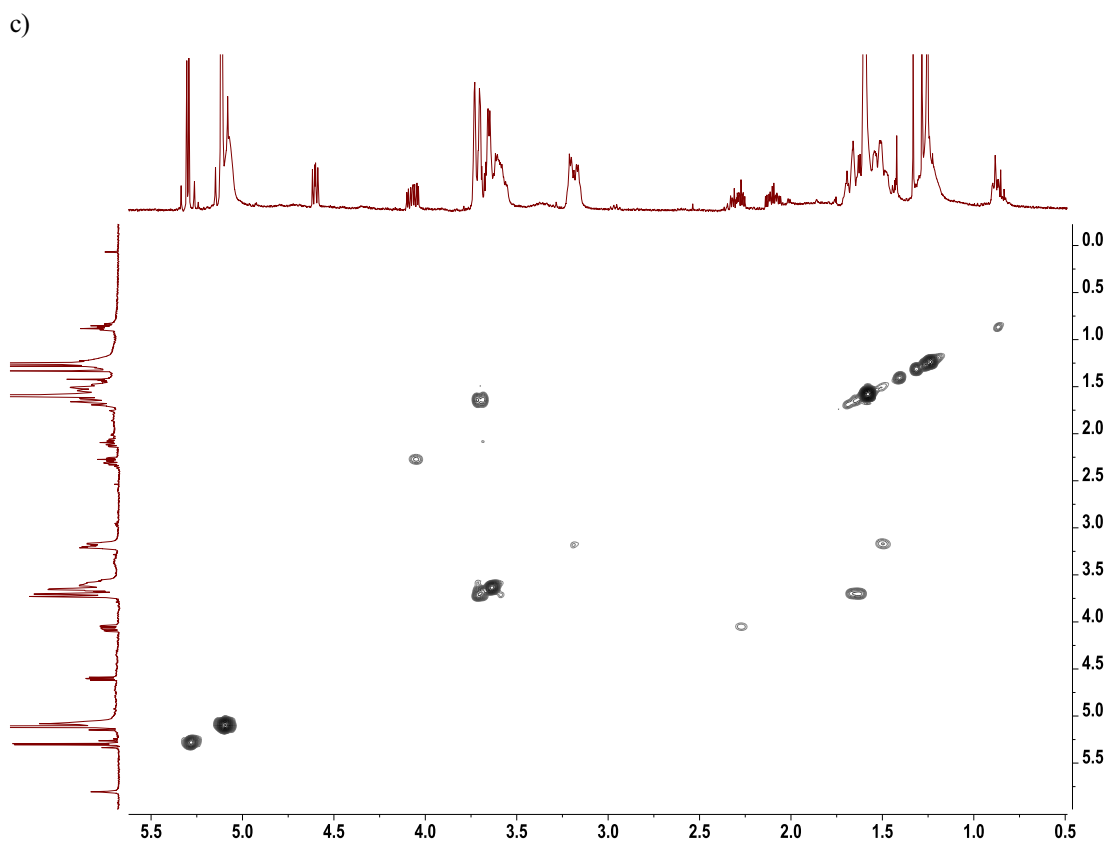
Figura 47S(3.1). Espectros de RMN (CDCl_3) de las oxazolidin-2-onas derivadas de **3bd** de la adición aldólica catalizada por SHMT_{Sth} Y55T: a) ^1H ; b) ^{13}C ; c) 2D ^1H - ^1H COSY, d) HSQC y e) NOESY.

a)



b)





e)

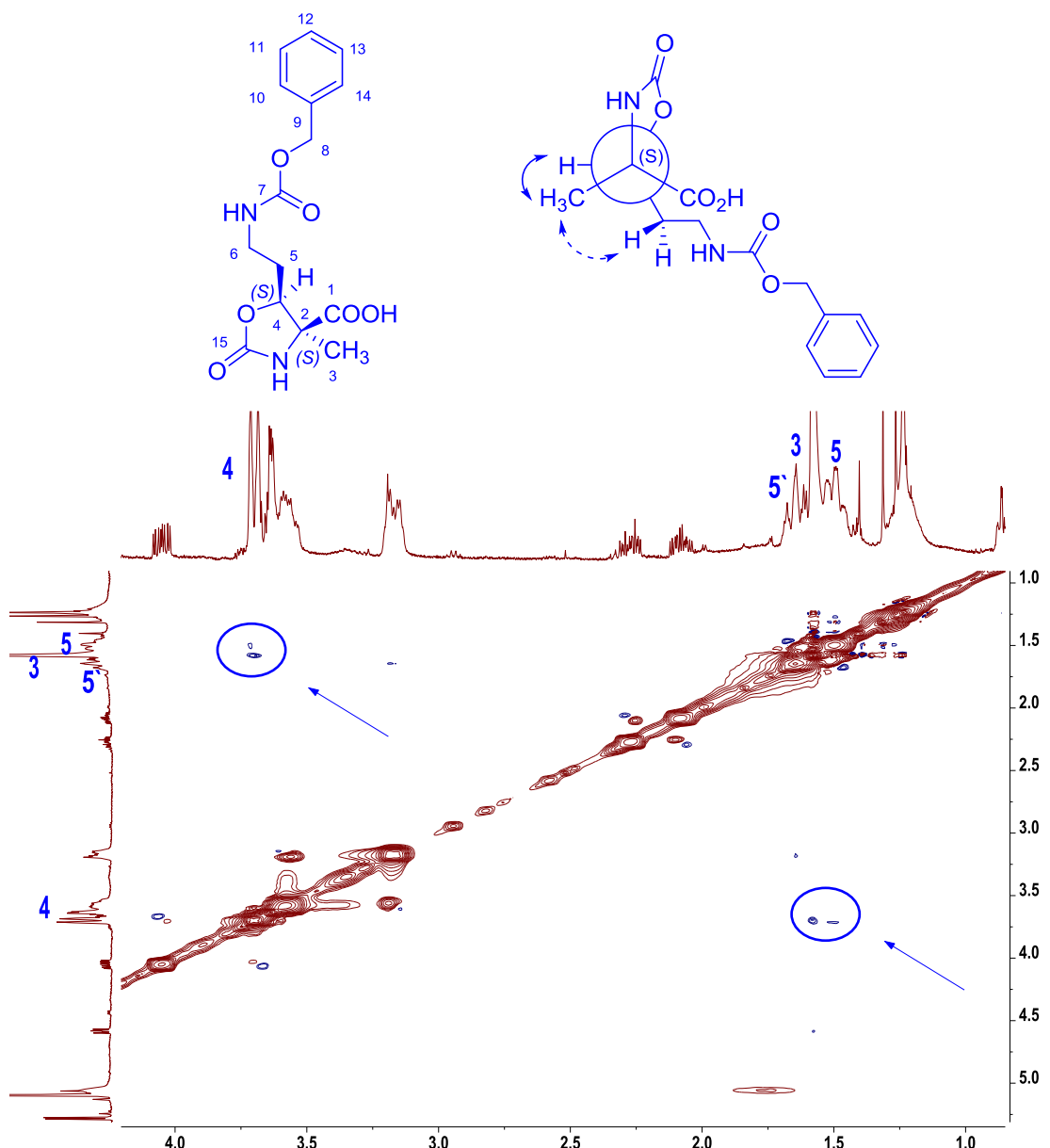
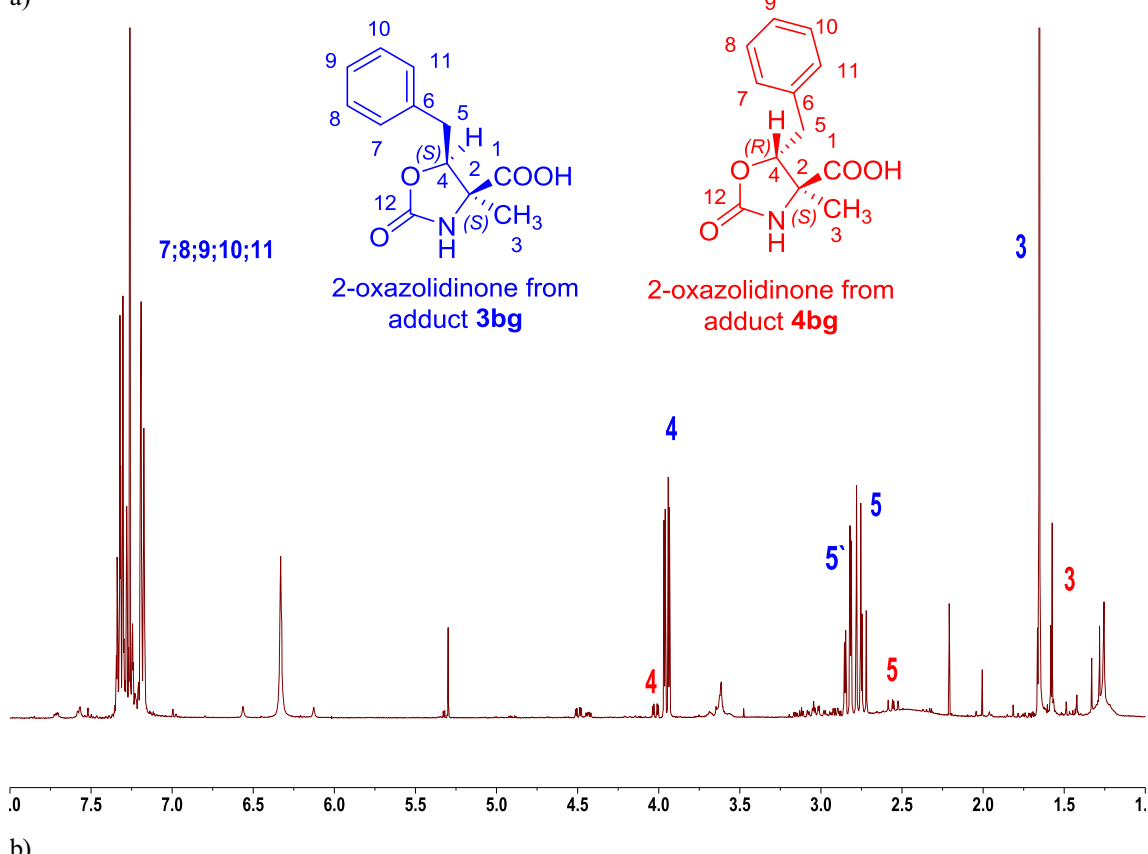
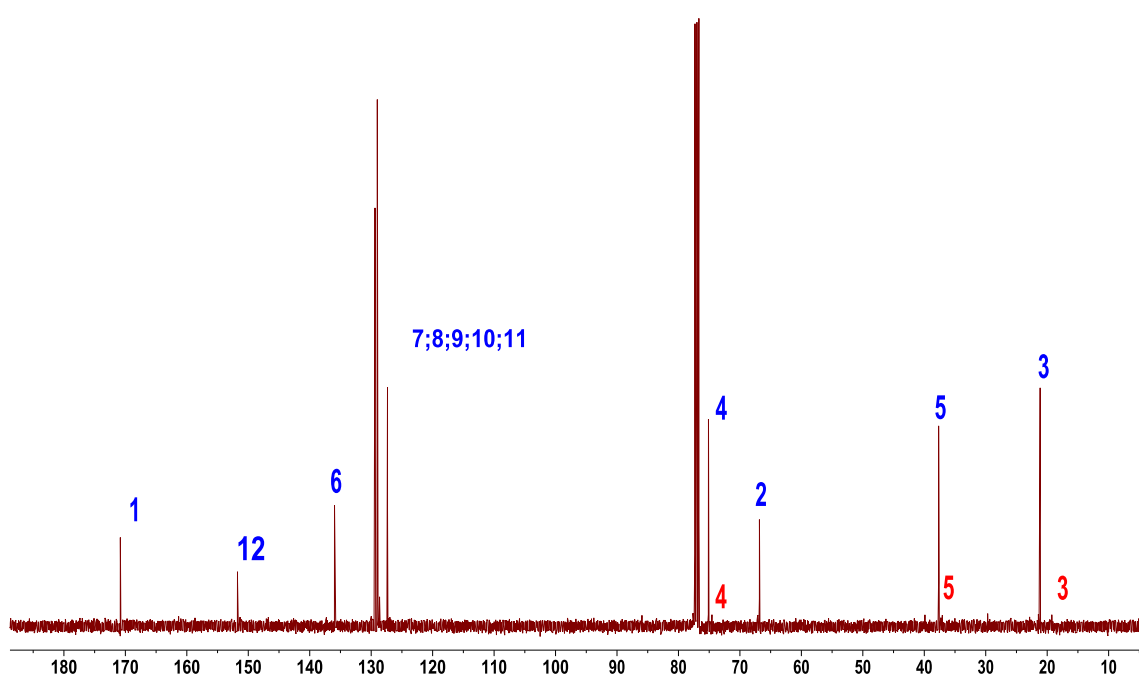


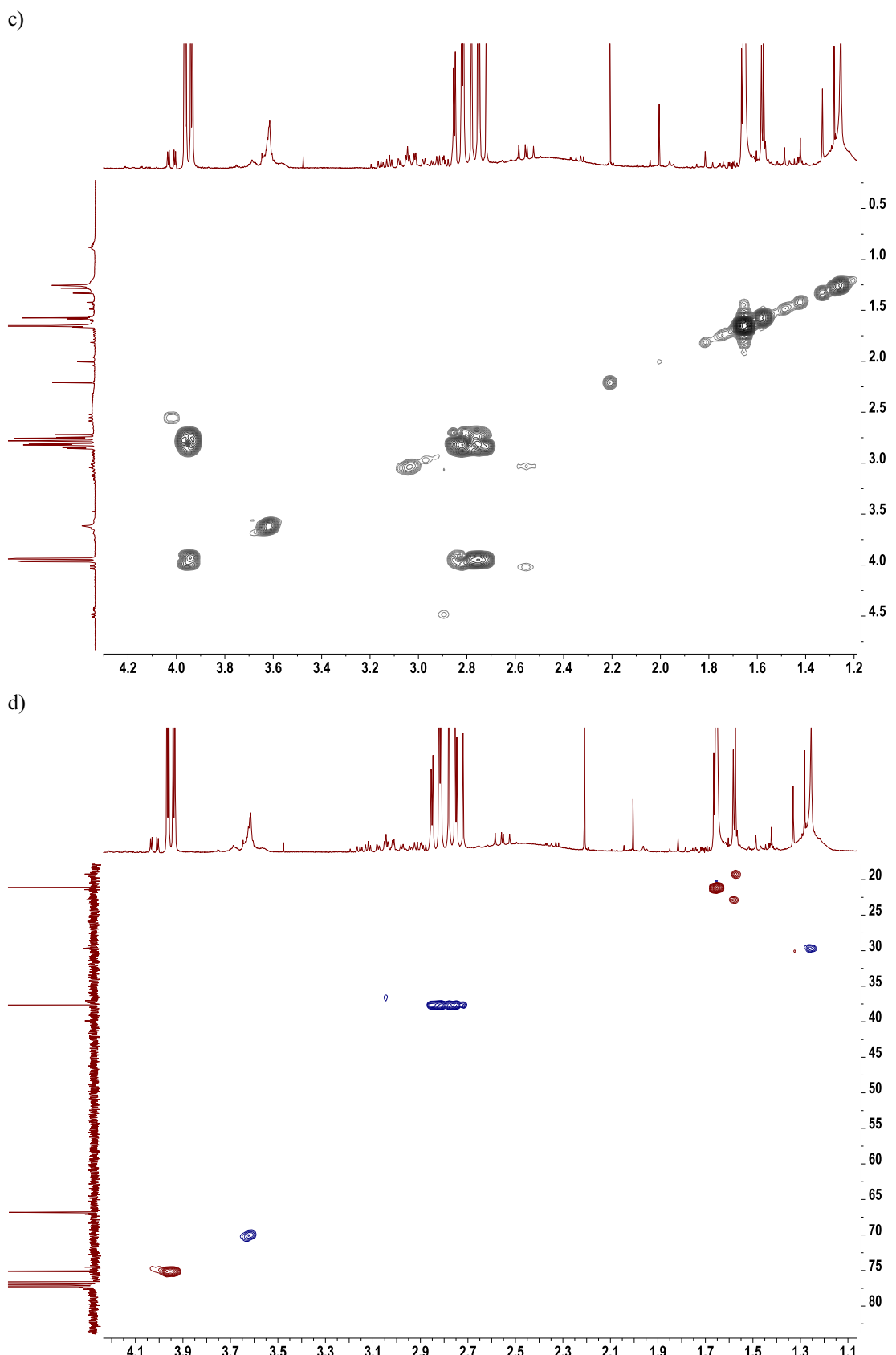
Figura 48S(3.1). Espectros de RMN (CDCl_3) de las oxazolidin-2-onas derivadas de **3bg** y **4bg** de la adición aldólica catalizada por $\text{SHMT}_{\text{St}} \text{Y55T}$: a) ^1H ; b) ^{13}C ; c) 2D ^1H - ^1H COSY, d) HSQC y e) NOESY.

a)



b)





e)

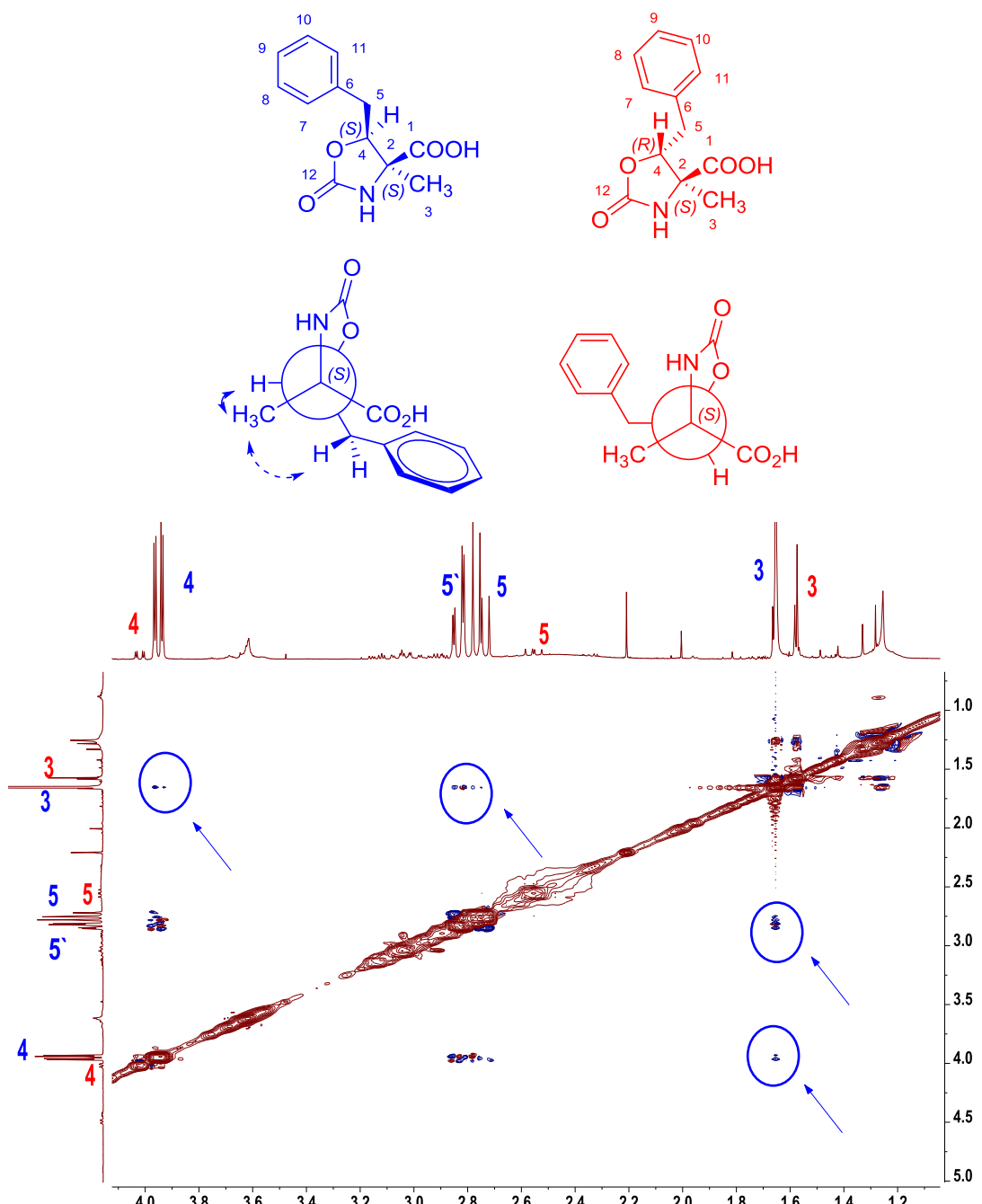
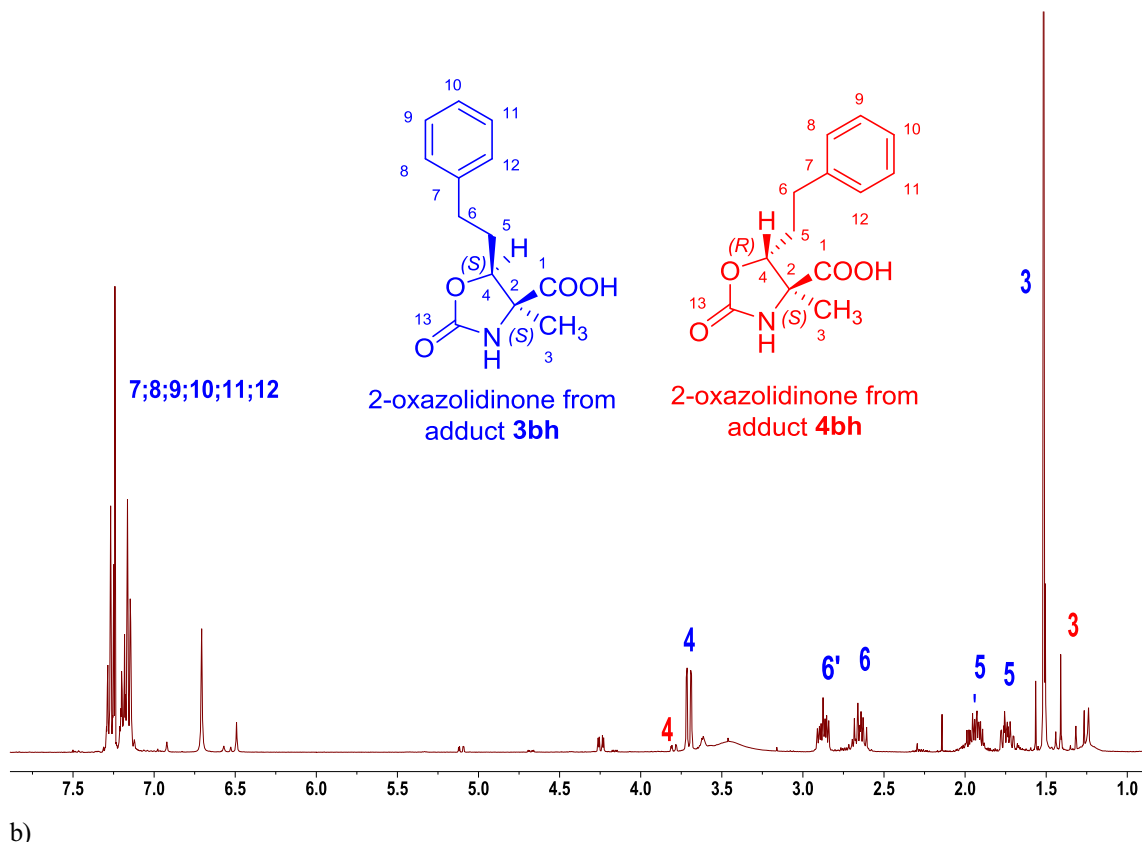
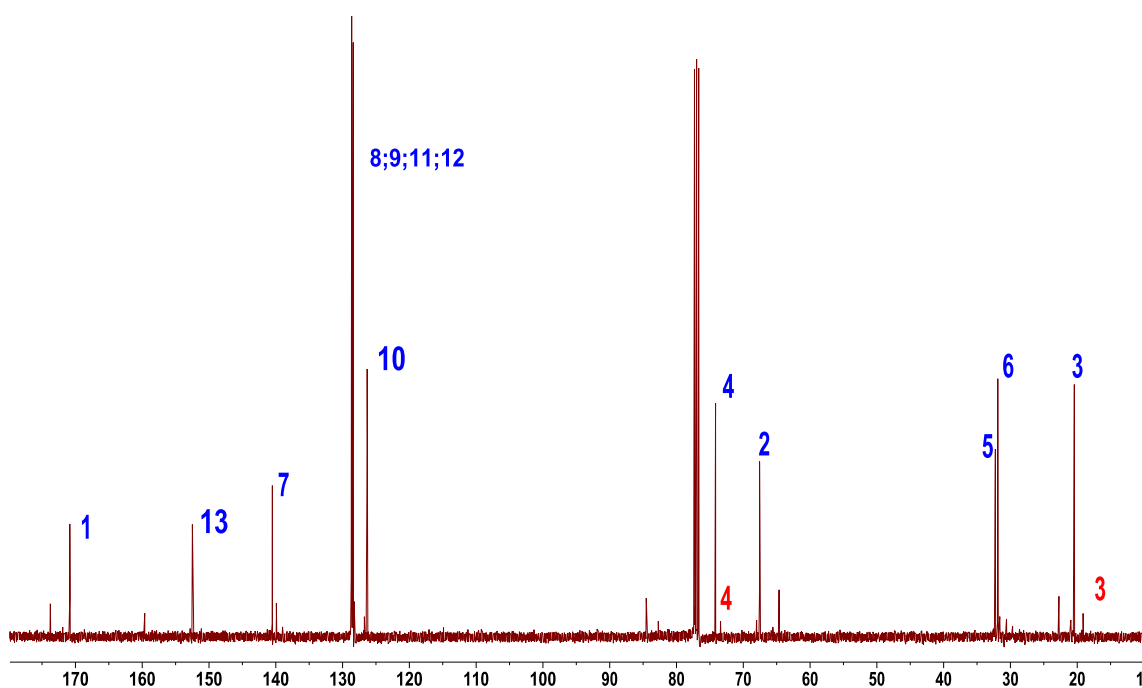


Figura49S(3.1). Espectros de RMN (CDCl_3) de las oxazolidin-2-onas derivadas de **3bh** y **4bh** de la adición aldólica catalizada por SHMT_{Sth} Y55T: a) ^1H ; b) ^{13}C ; c) 2D ^1H - ^1H COSY, d) HSQC y e) NOESY.

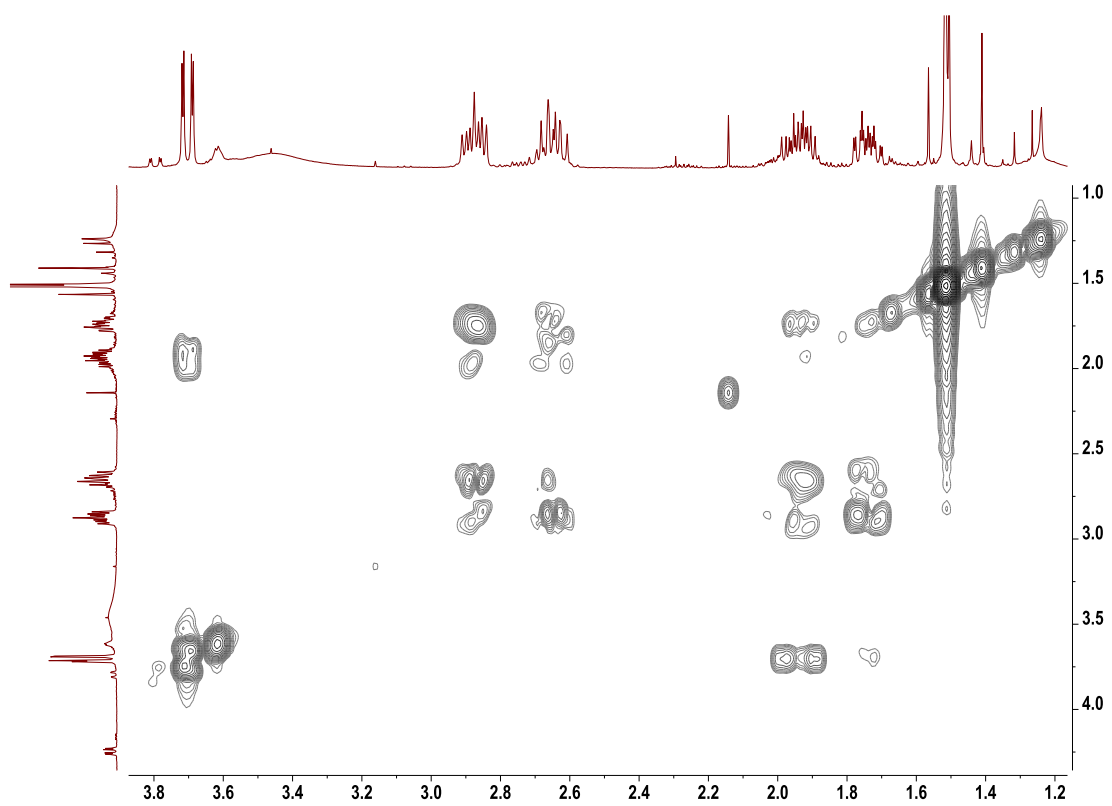
a)



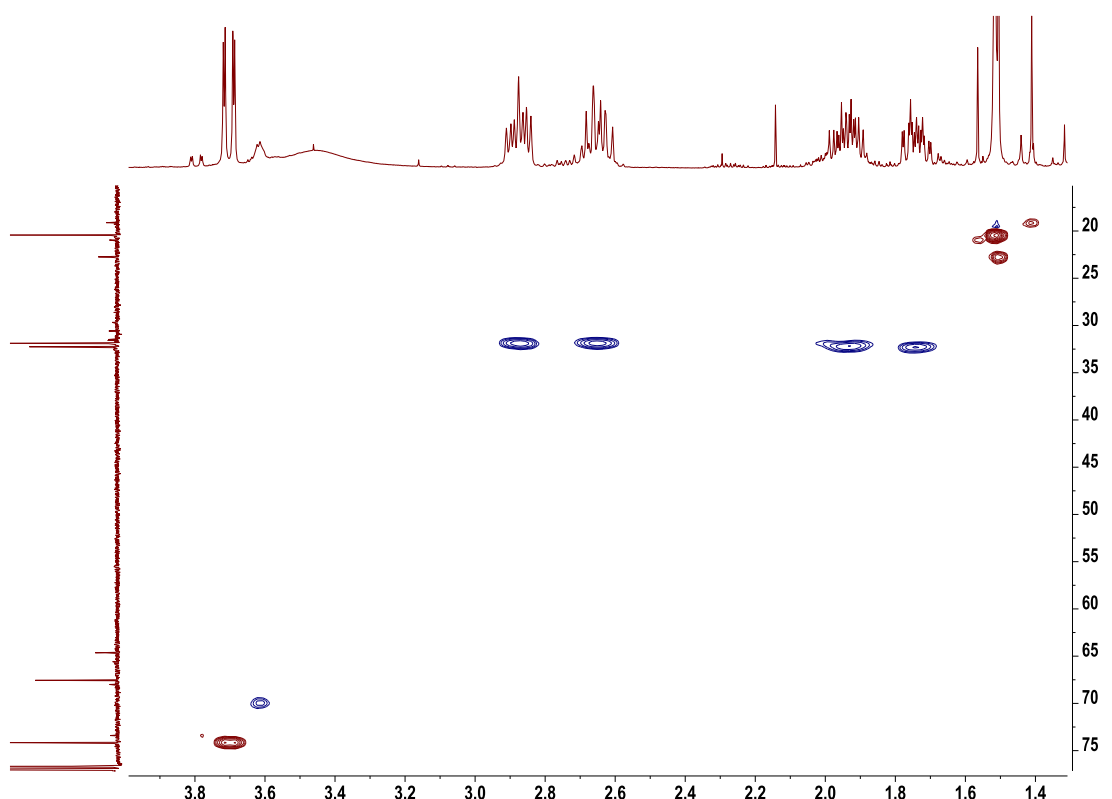
b)



c)



d)



e)

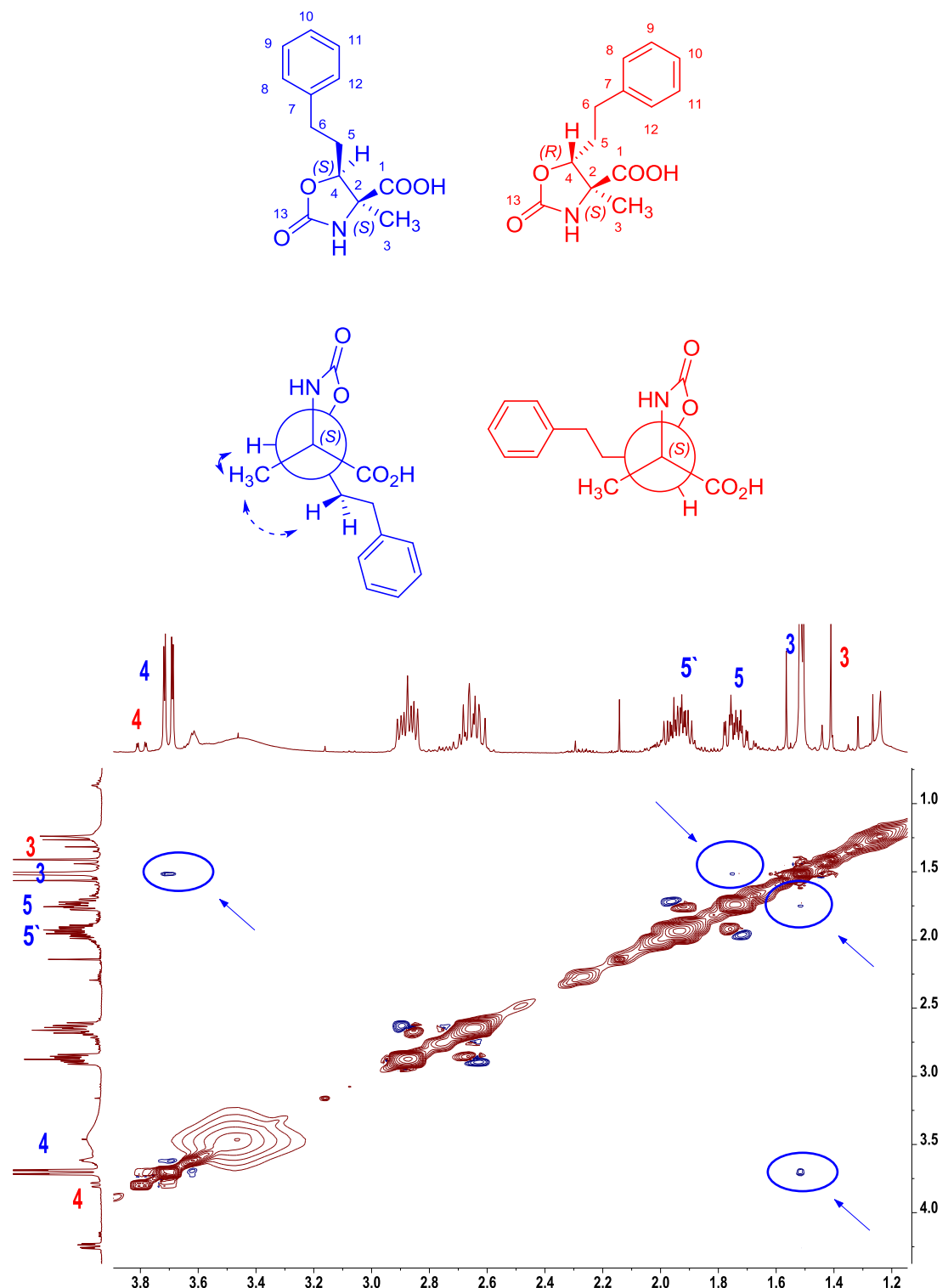
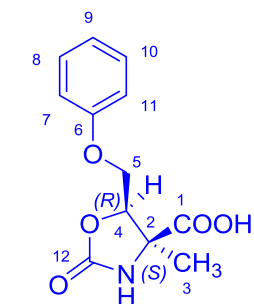
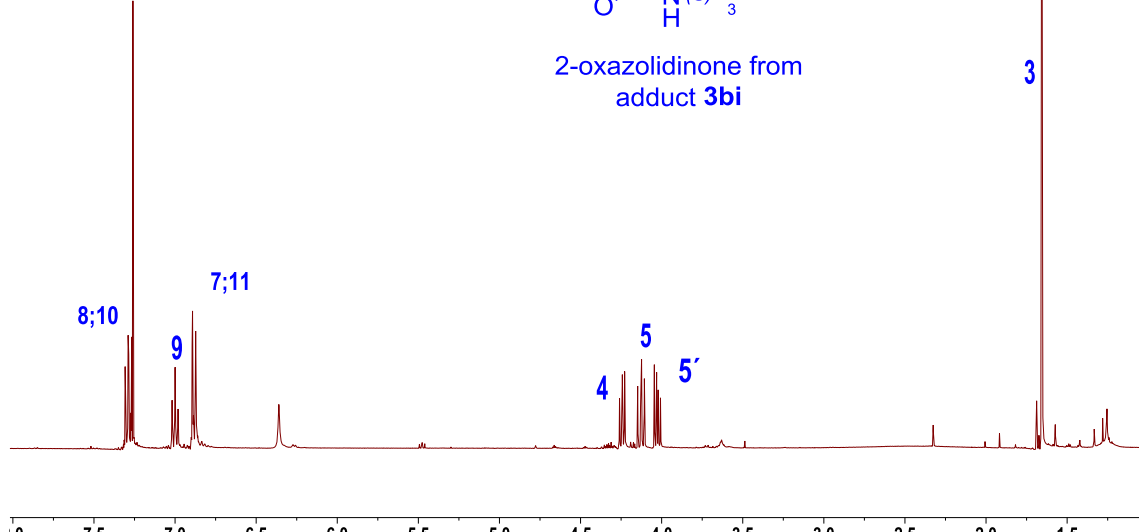


Figura 50S(3.1). Espectros de RMN(CDCl_3) de las oxazolidin-2-onas derivadas de **3bi** de la adición aldólica catalizada por SHMT_{Srb} Y55T; a) ^1H ; b) ^{13}C ; c) 2D ^1H - ^1H COSY; d) HSQC y e) NOESY.

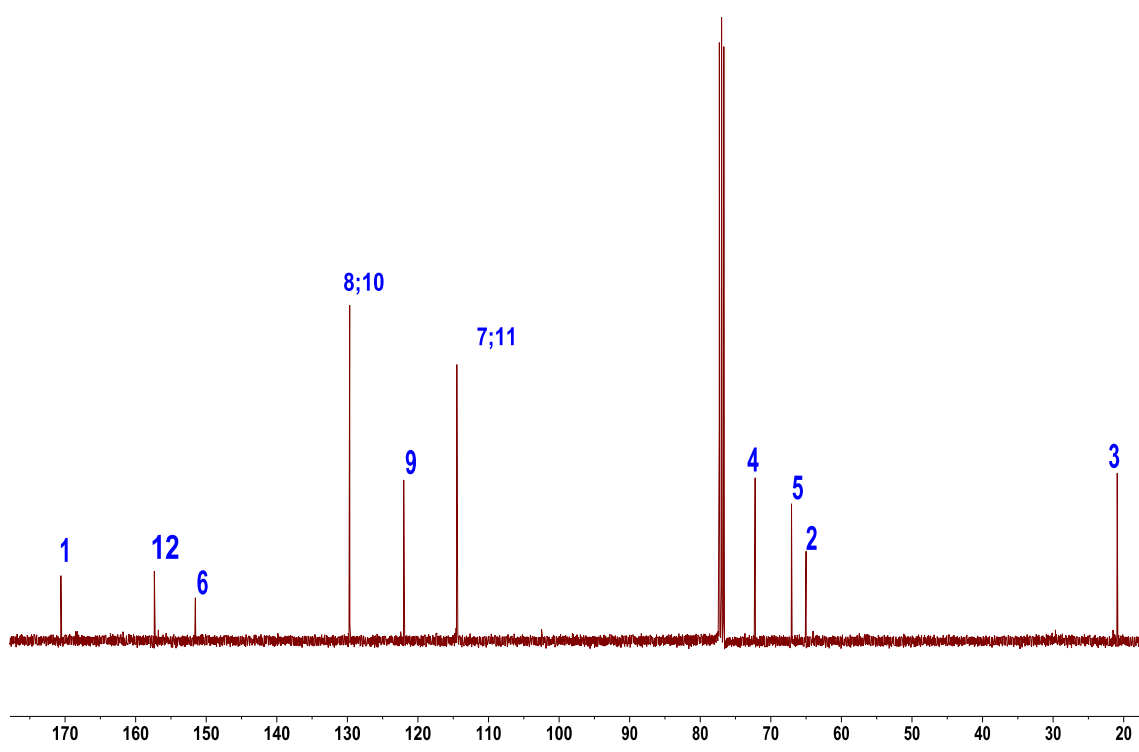
a)



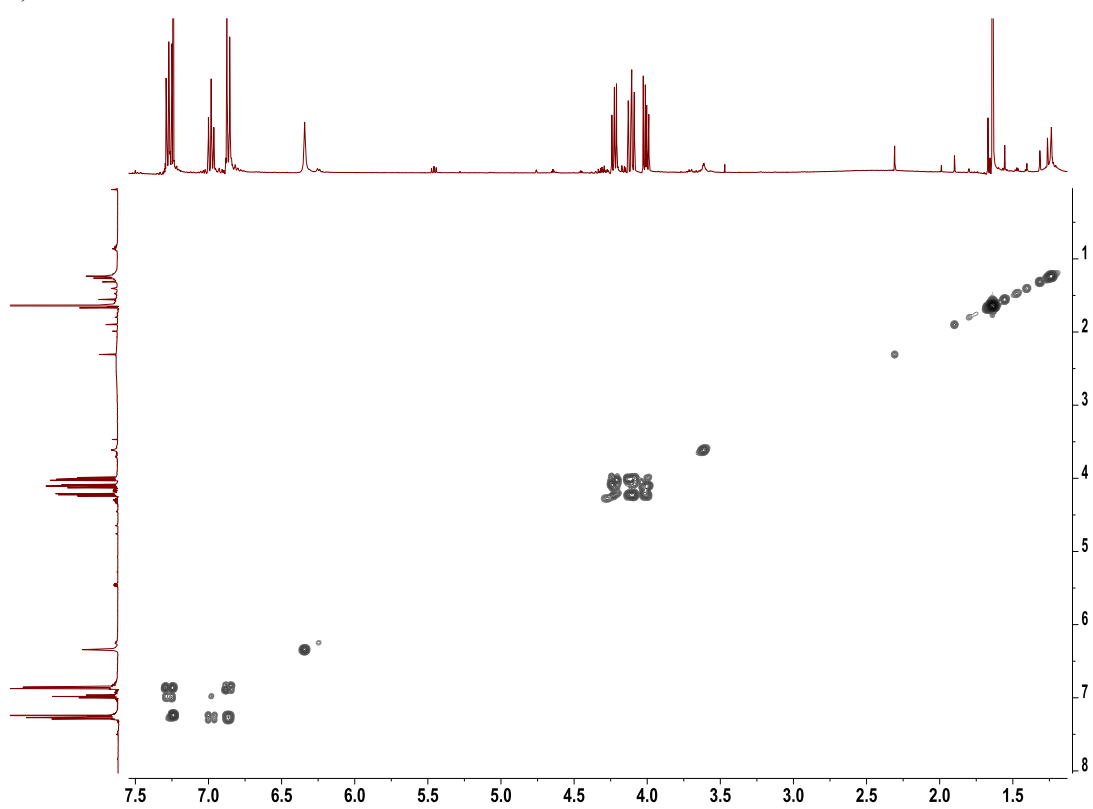
2-oxazolidinone from adduct **3bi**



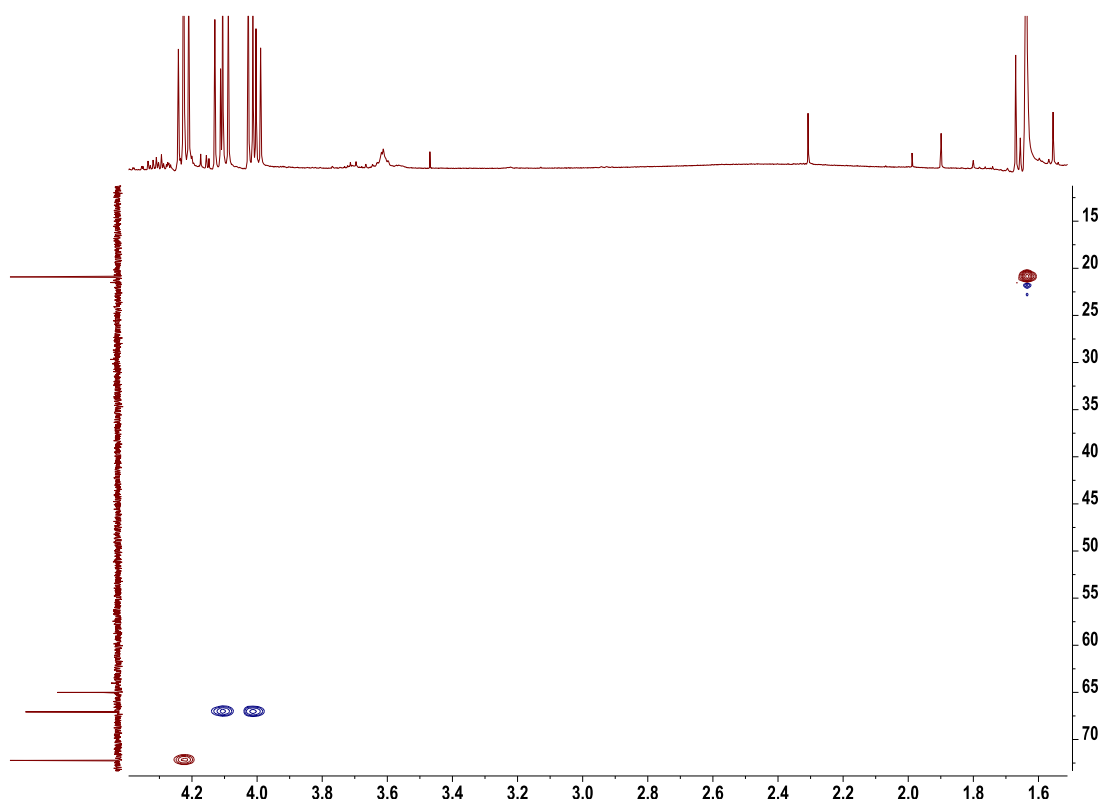
b)



c)



d)



e)

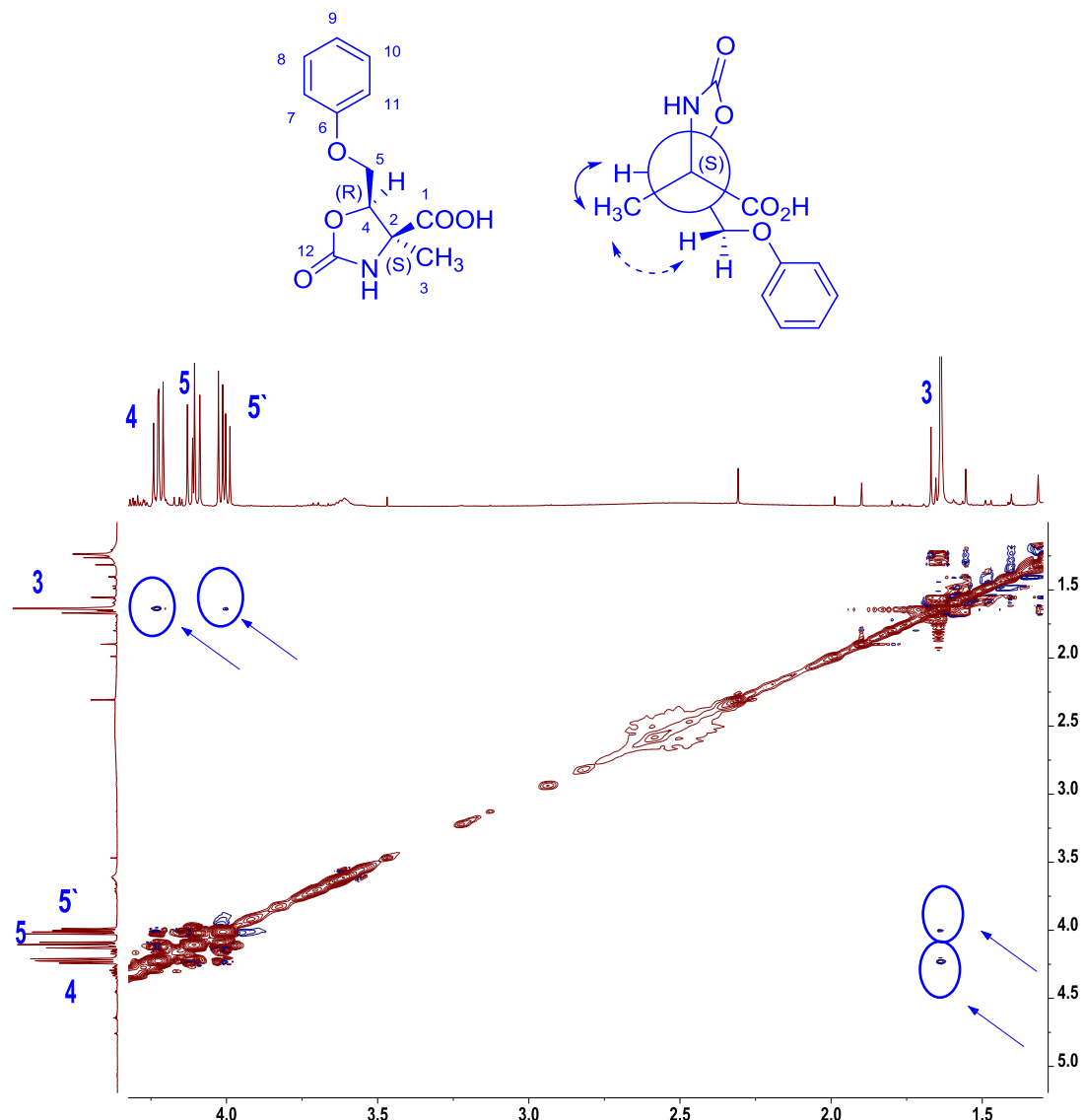
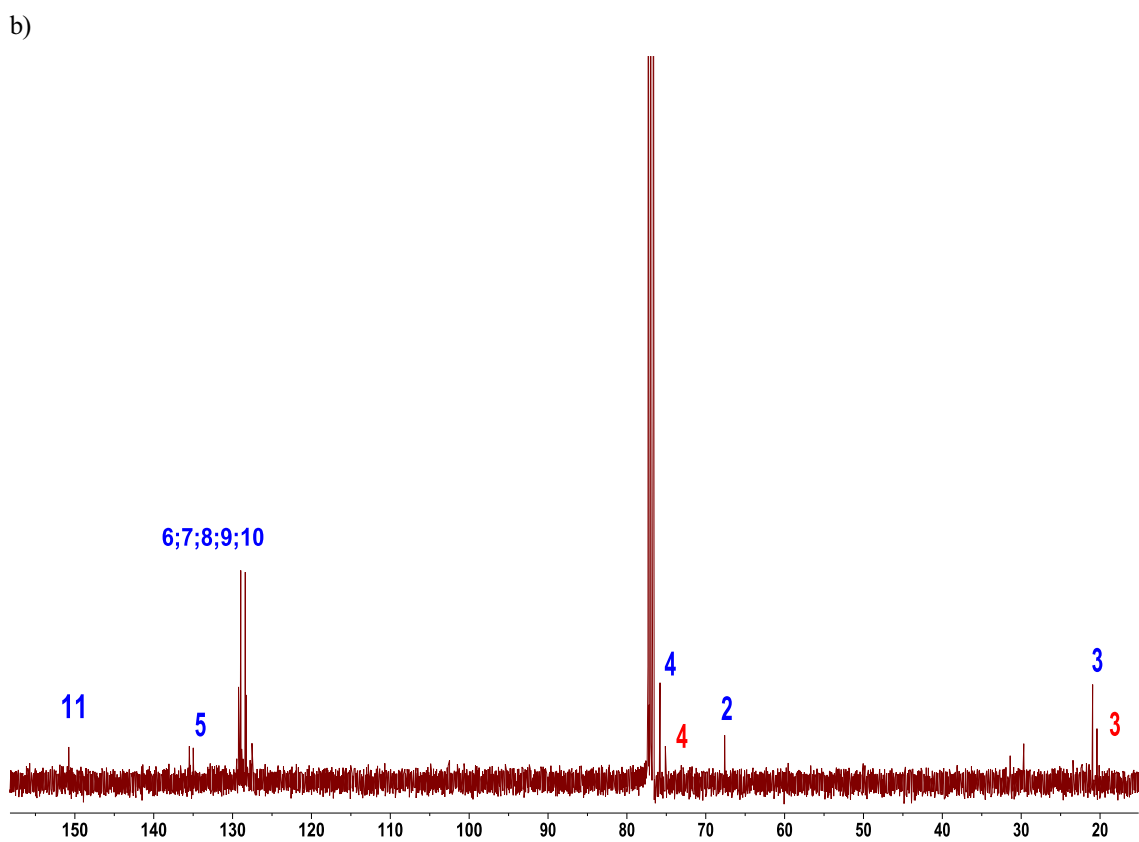
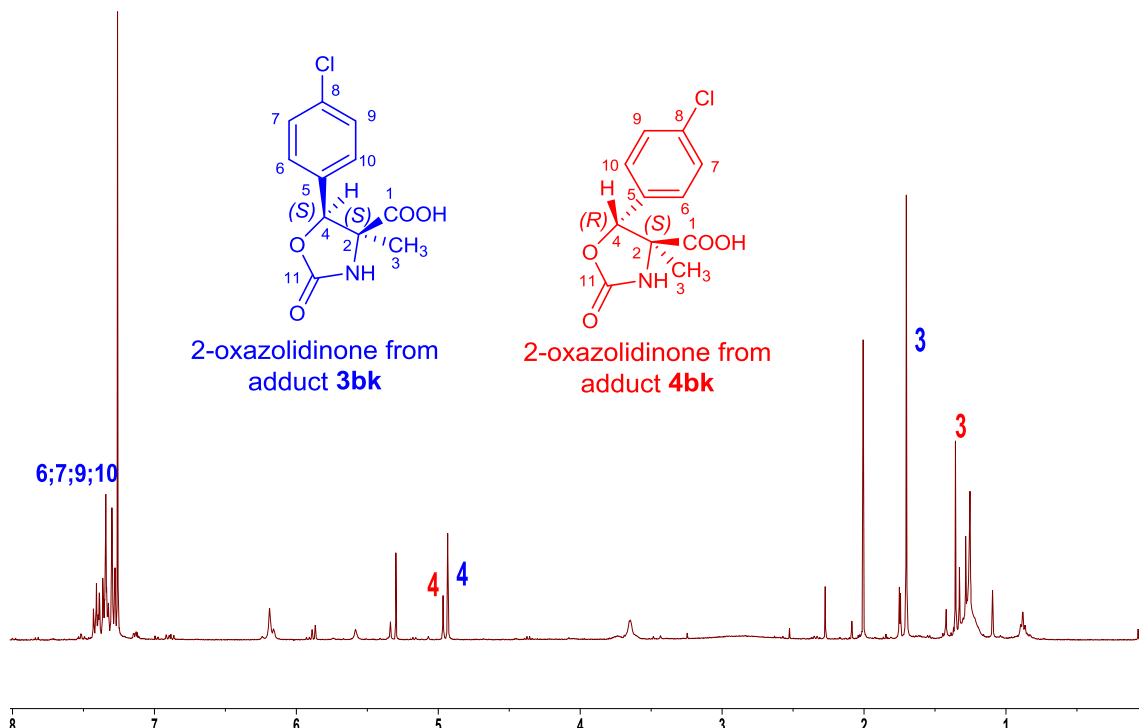
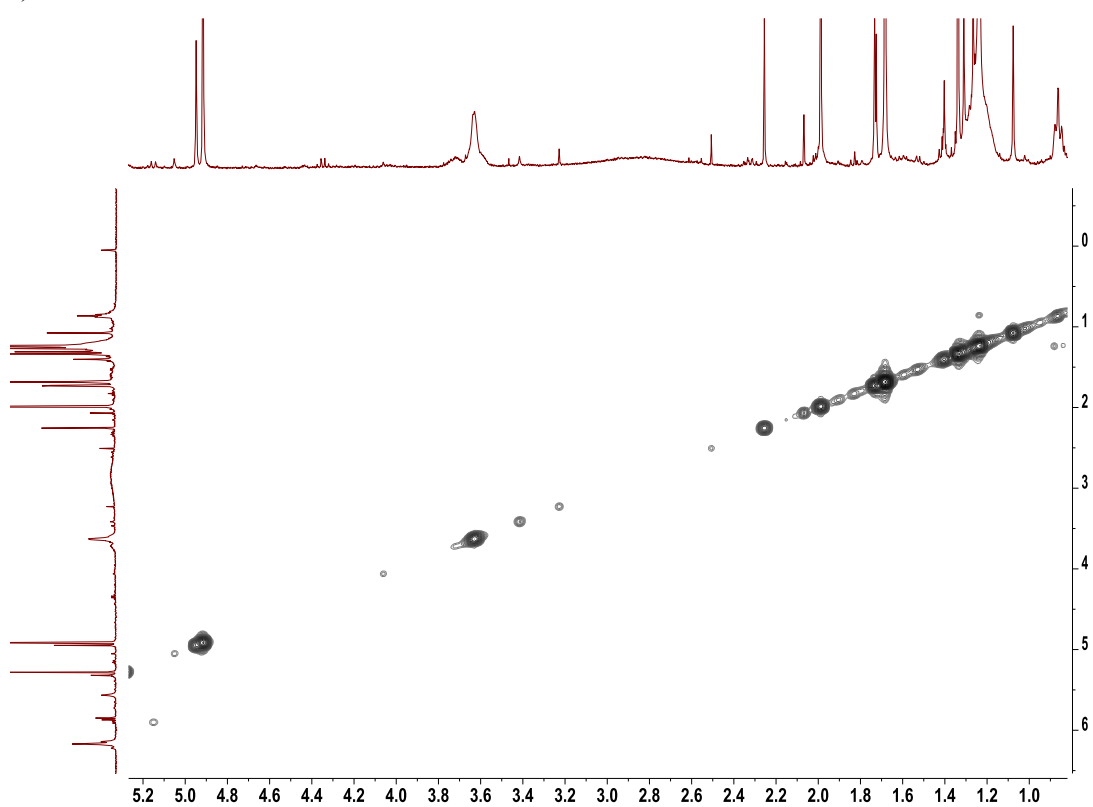


Figura 51S(3.1). Espectros de RMN (CDCl_3) de las oxazolidin-2-onas derivadas de **3bk** y **4bk** de la adición aldólica catalizada por SHMT_{Sth} Y55T: a) ^1H ; b) ^{13}C ; c) 2D ^1H - ^1H COSY, d) HSQC y e) NOESY.

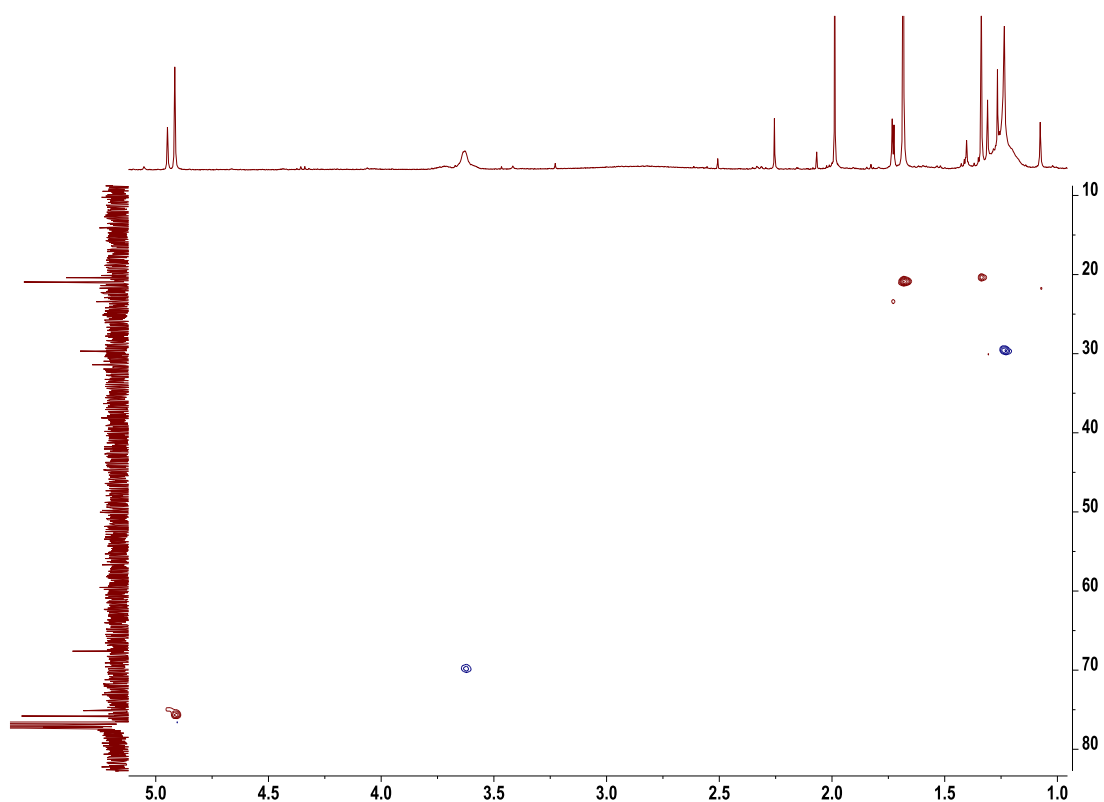
a)



c)



d)



e)

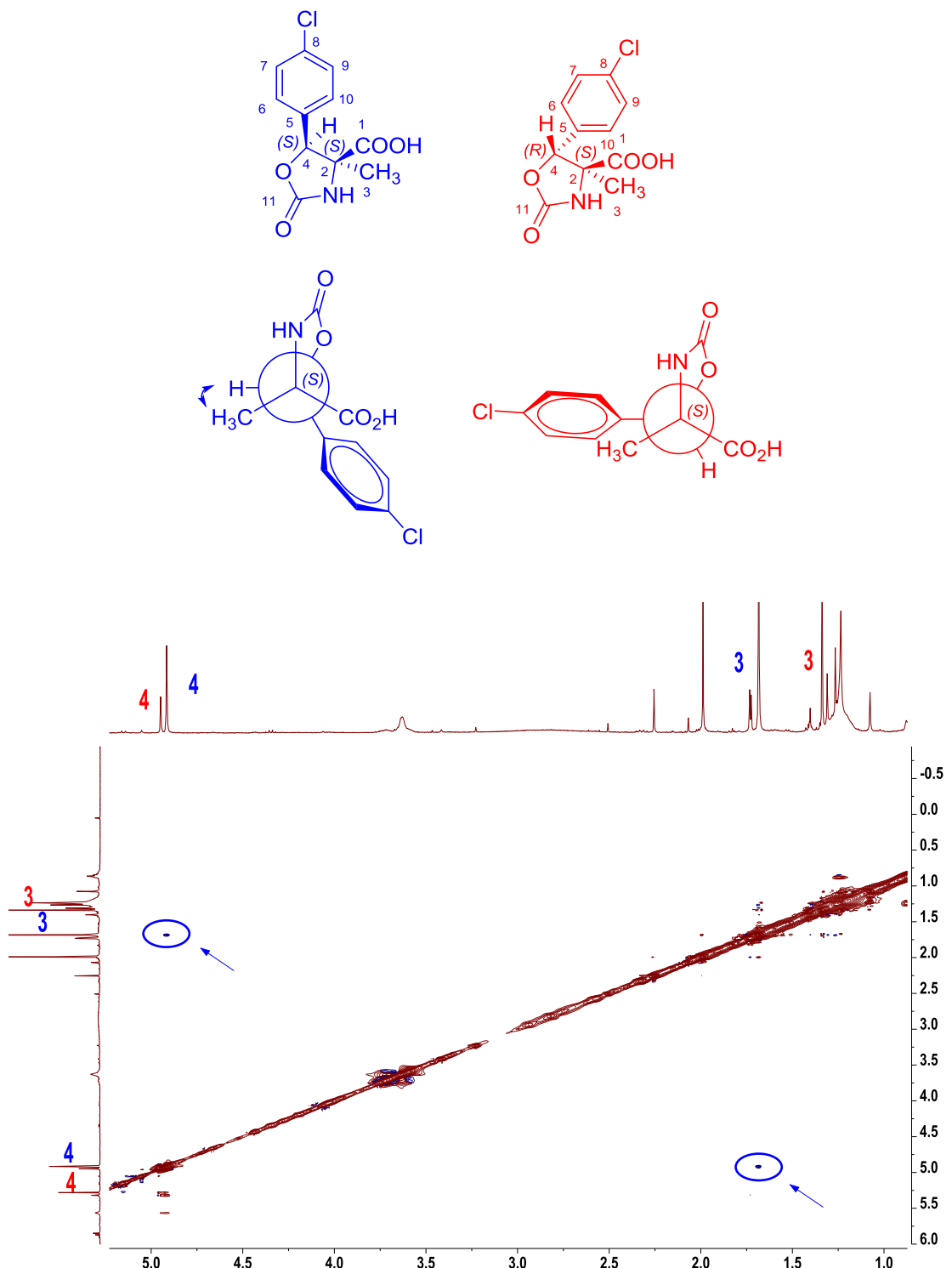
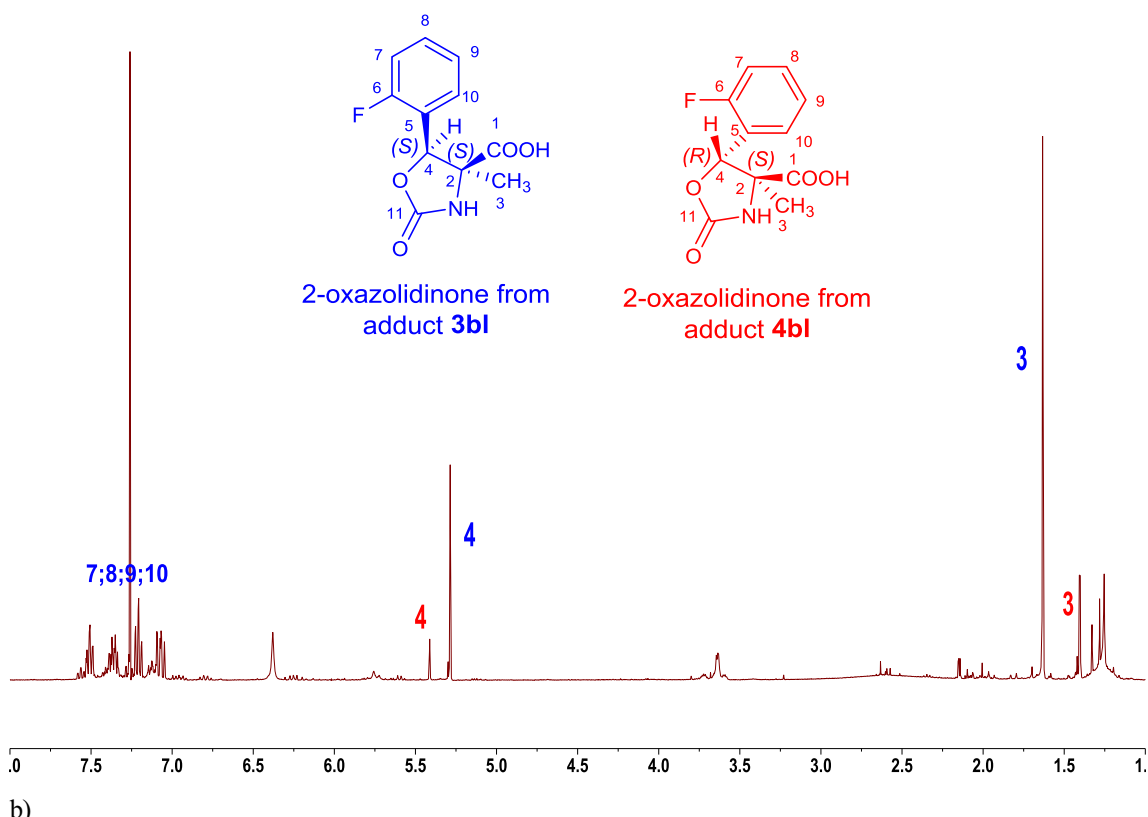
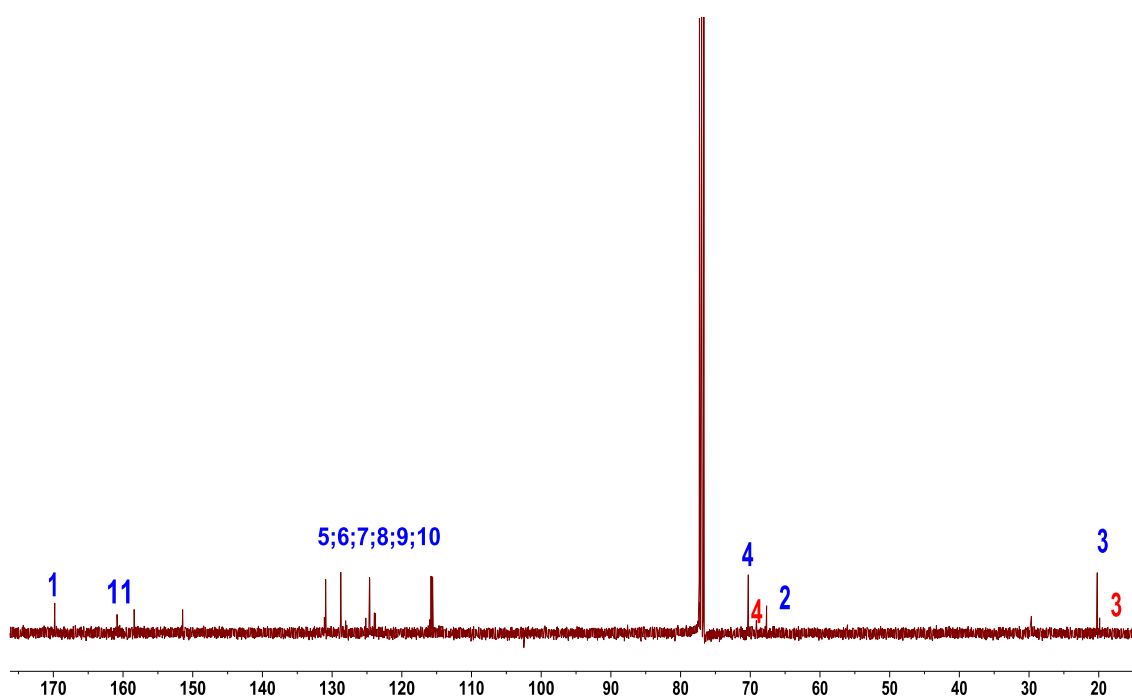


Figura 52S(3.1). Espectros de RMN (CDCl_3) de las oxazolidin-2-onas derivadas de **3bl** y **4bl** de la adición aldólica catalizada por SHMT_{Sth} Y55T: a) ^1H ; b) ^{13}C ; c) 2D ^1H - ^1H COSY, d) HSQC y e) NOESY.

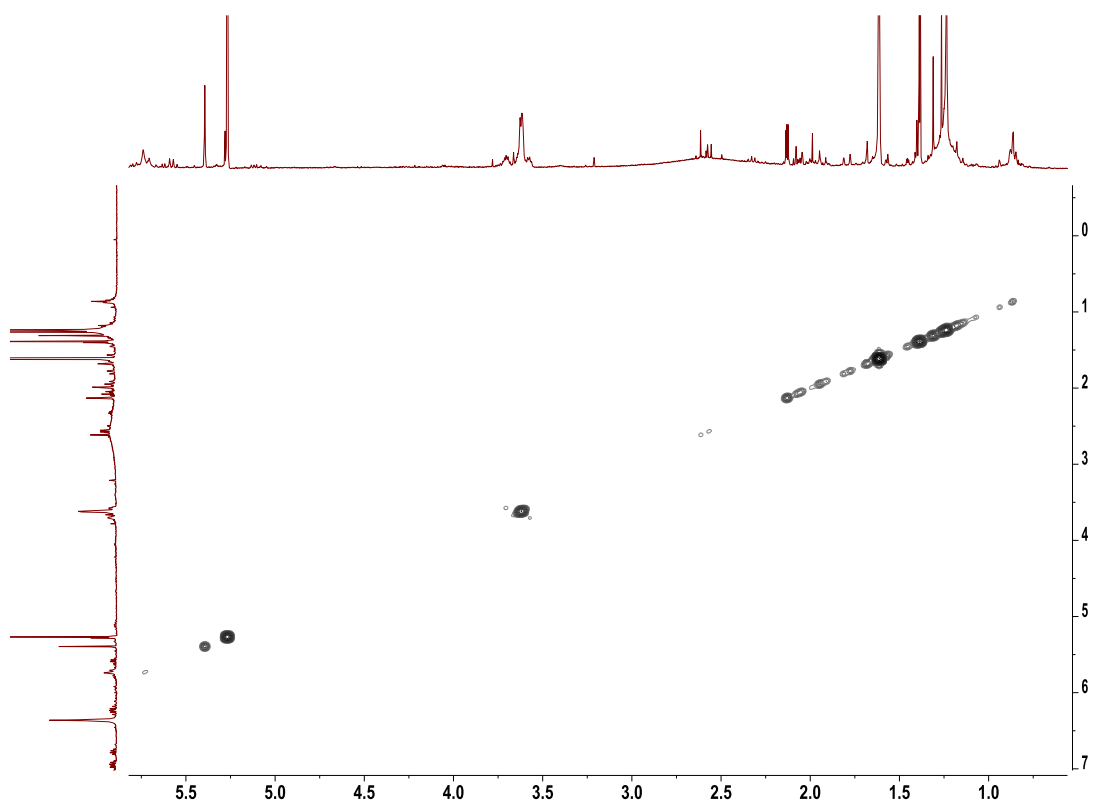
a)



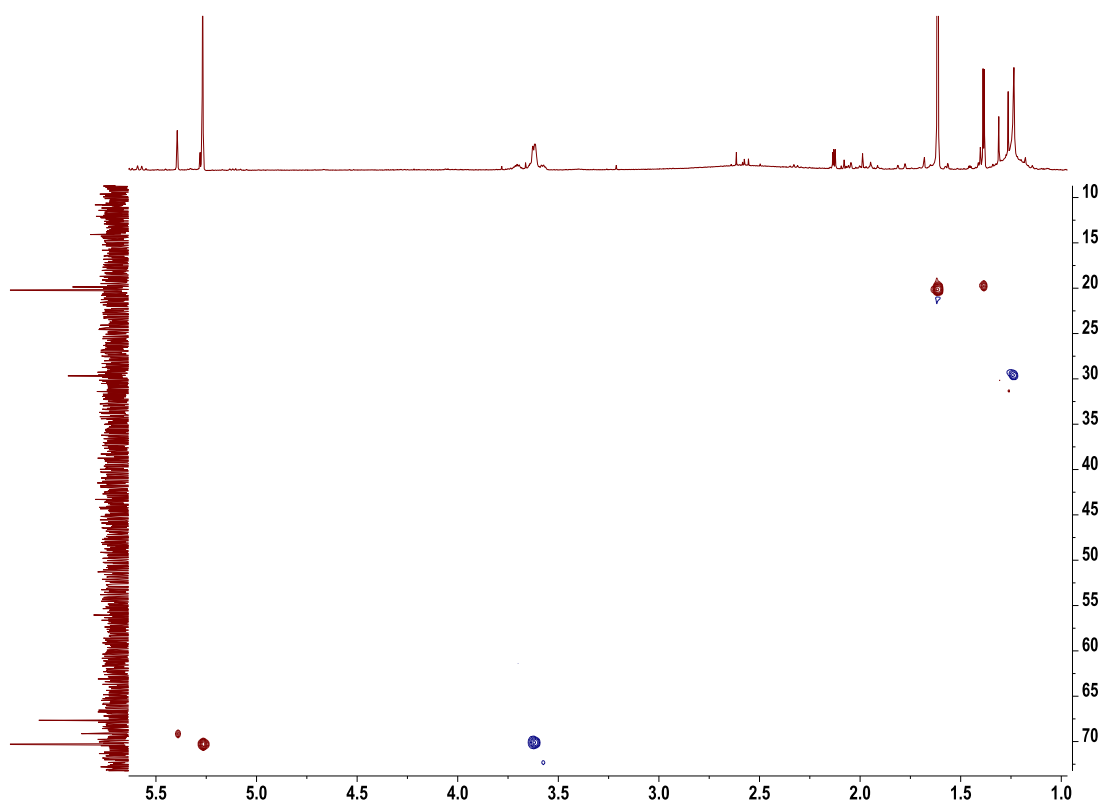
b)



c)



d)



e)

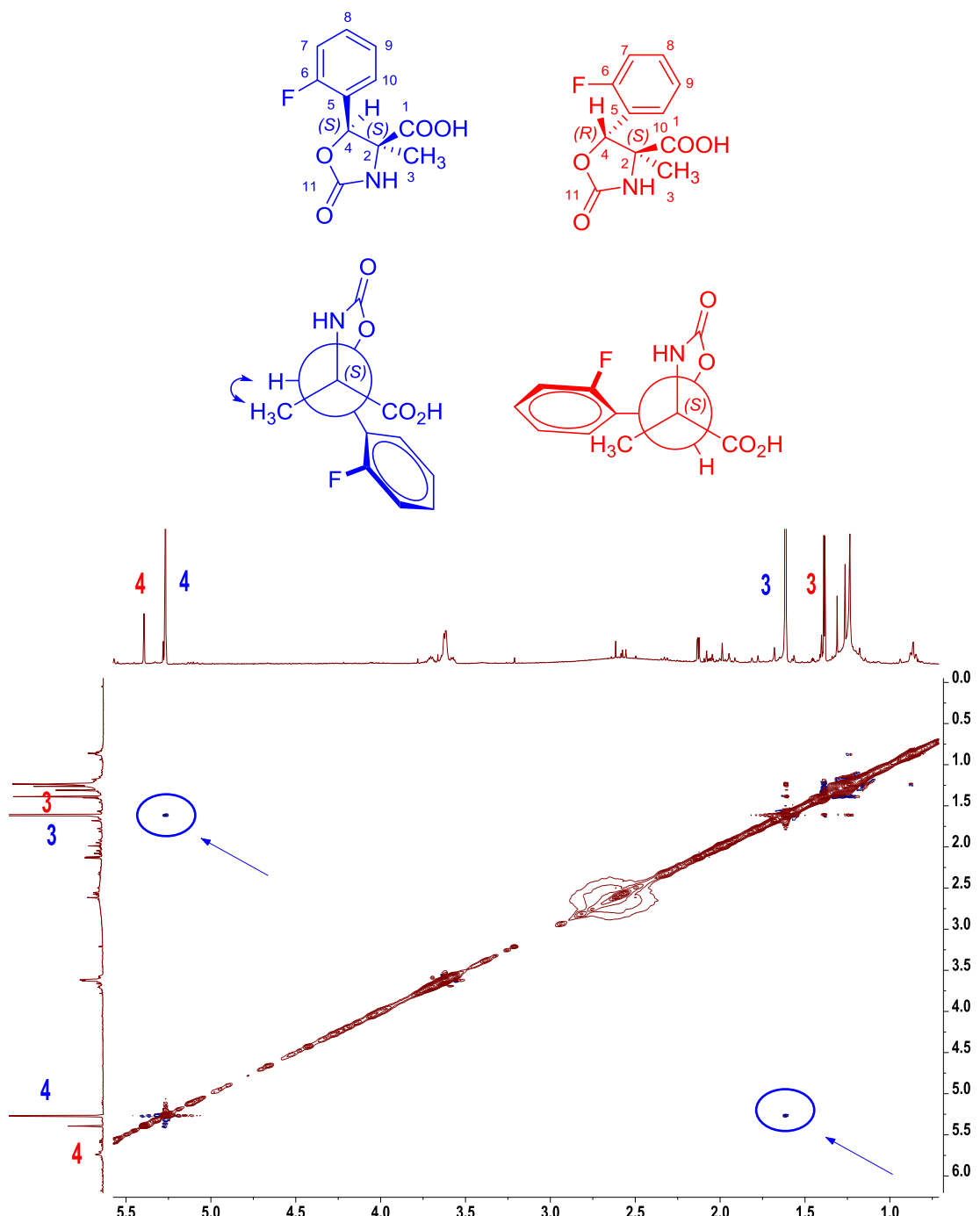
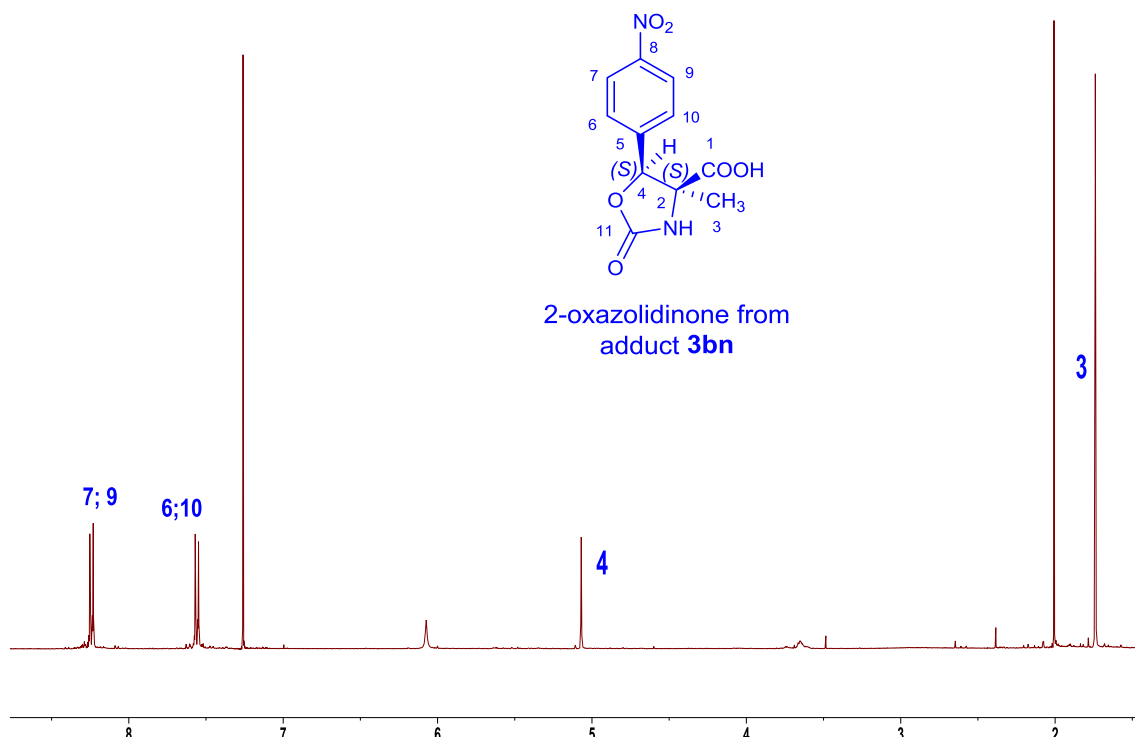
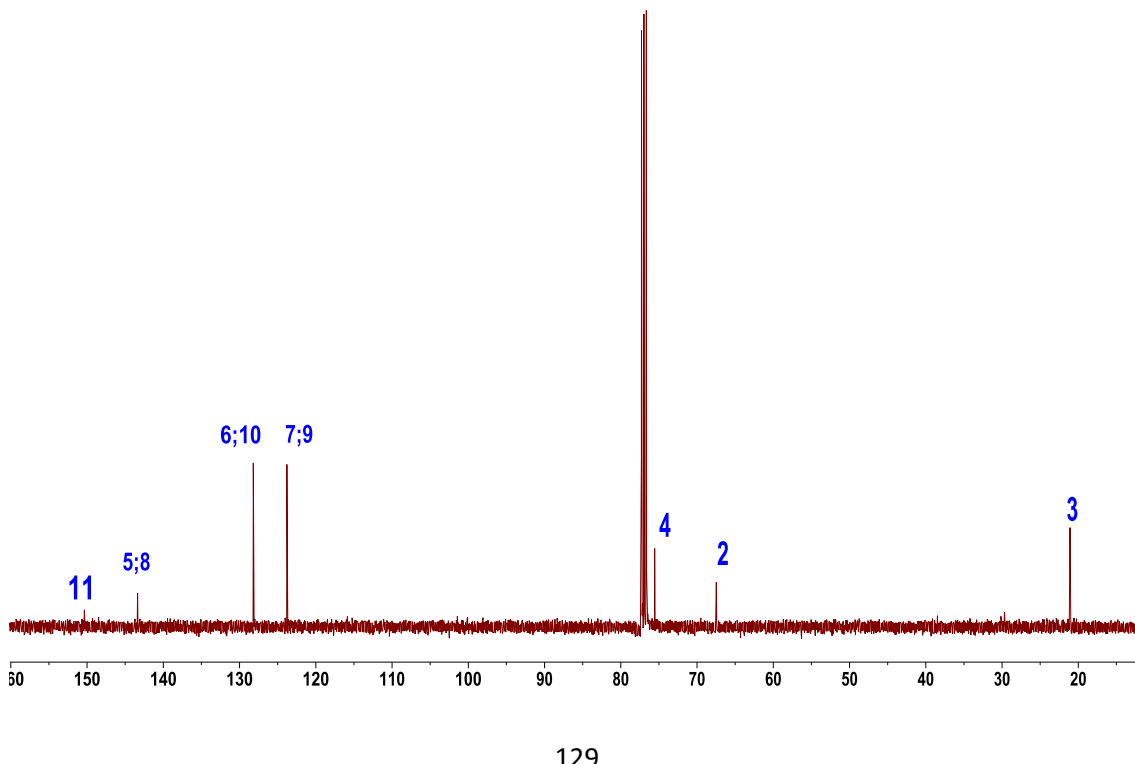


Figura 53S(3.1). Espectros de RMN (CDCl_3) de las oxazolidin-2-onas derivadas de **3bn** de la adición aldólica catalizada por SHMT_{Sth} Y55T: a) ^1H ; b) ^{13}C ; c) 2D ^1H - ^1H COSY, d) HSQC y e) NOESY.

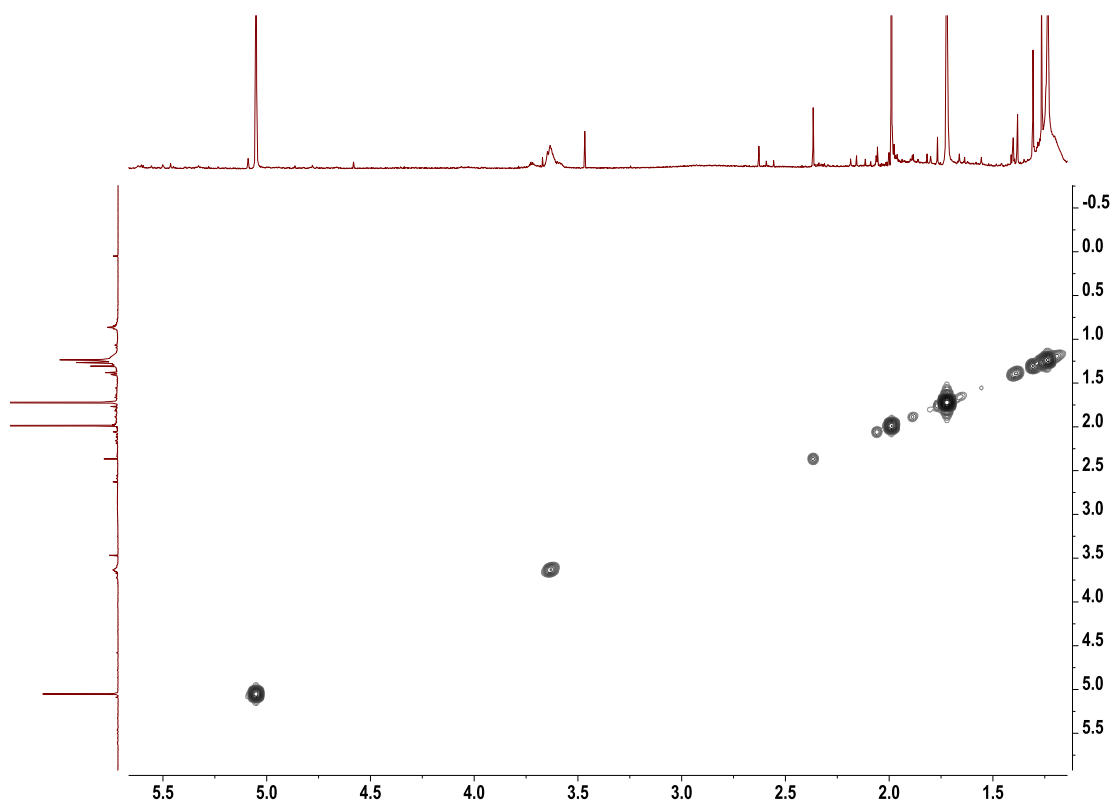
a)



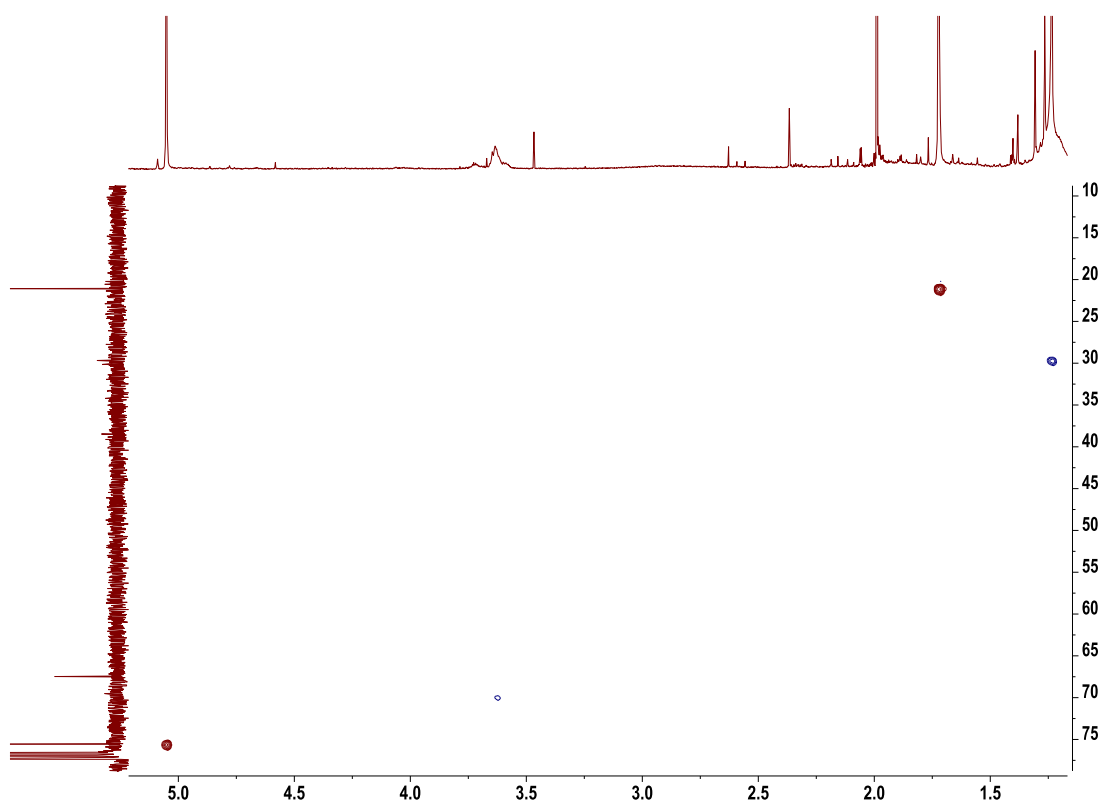
b)



c)



d)



e)

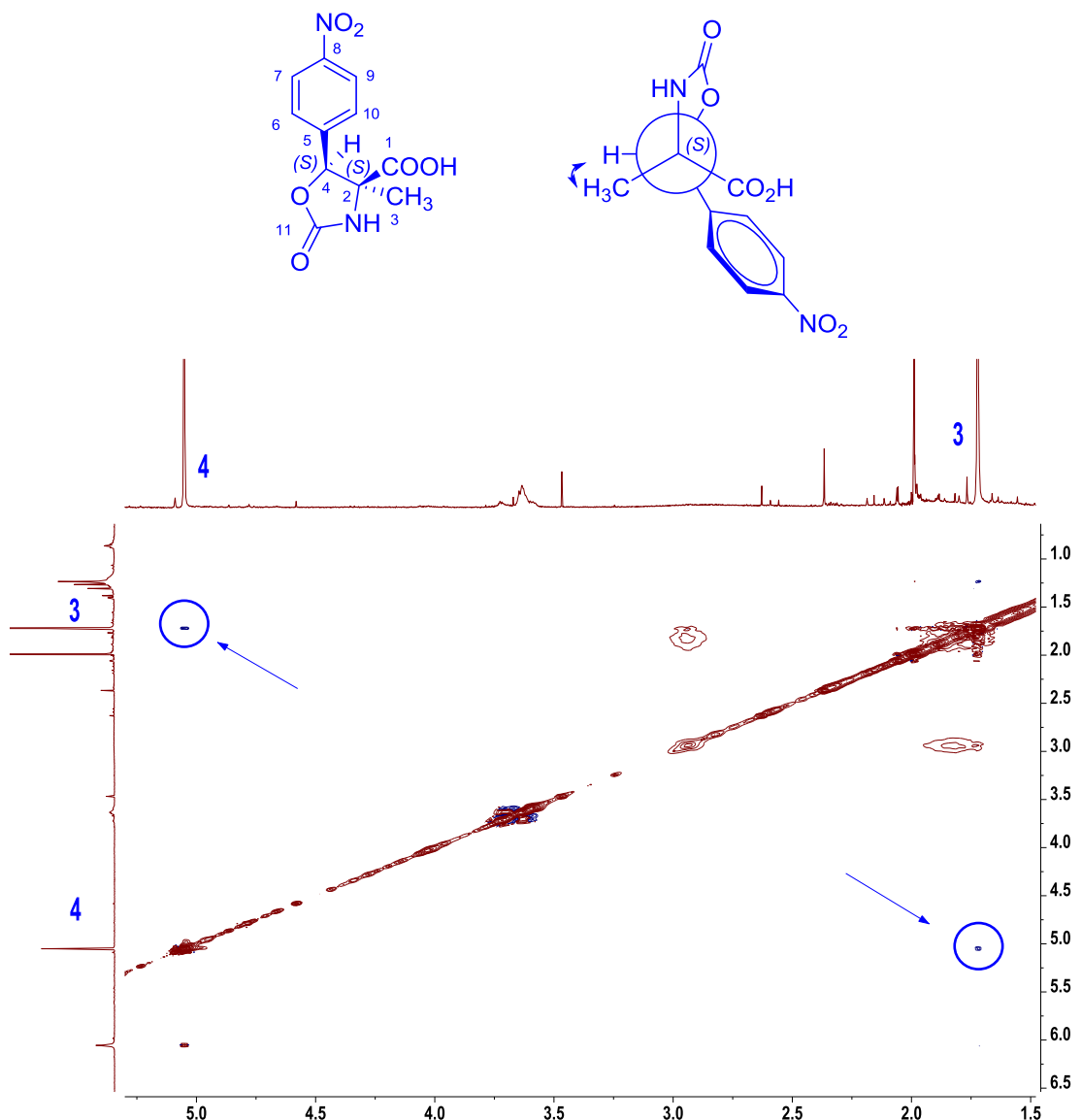
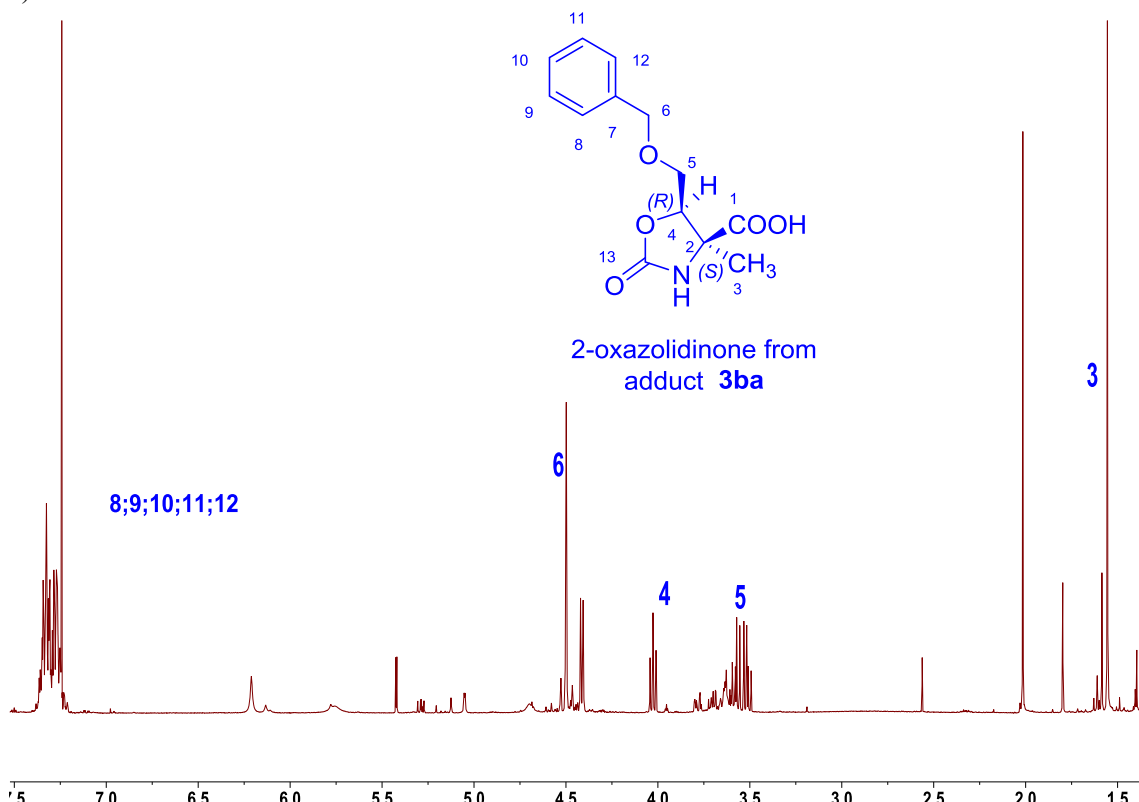
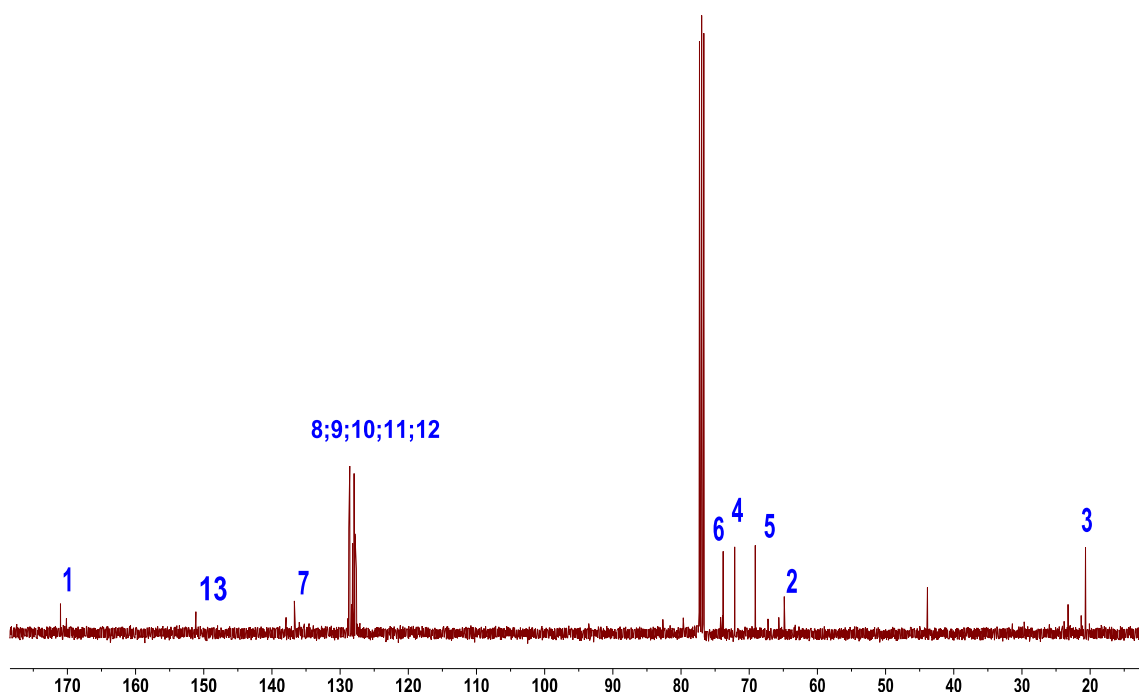


Figura 54S(3.1). Espectros de RMN (CDCl_3) de las oxazolidin-2-onas derivadas de **3ba** de la adición aldólica catalizada por SHMT_{Sth} nativa: a) ^1H ; b) ^{13}C ; c) 2D ^1H - ^1H COSY, d) HSQC y e) NOESY.

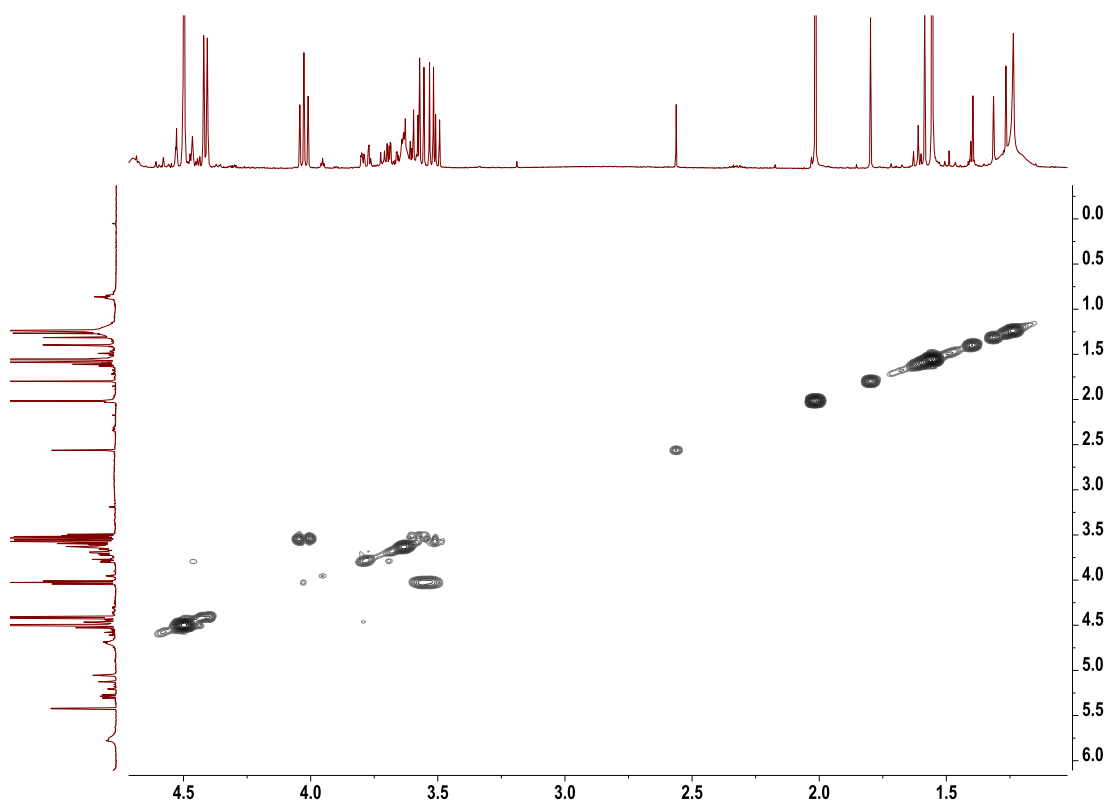
a)



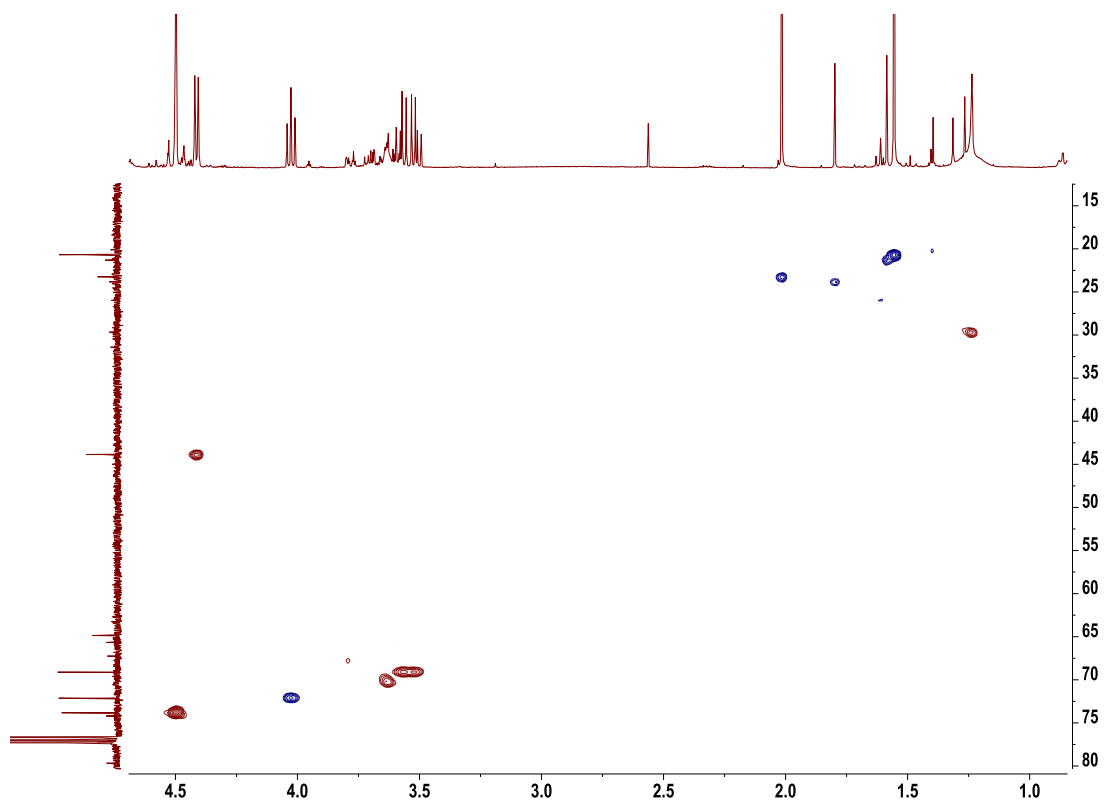
b)



c)



d)



e)

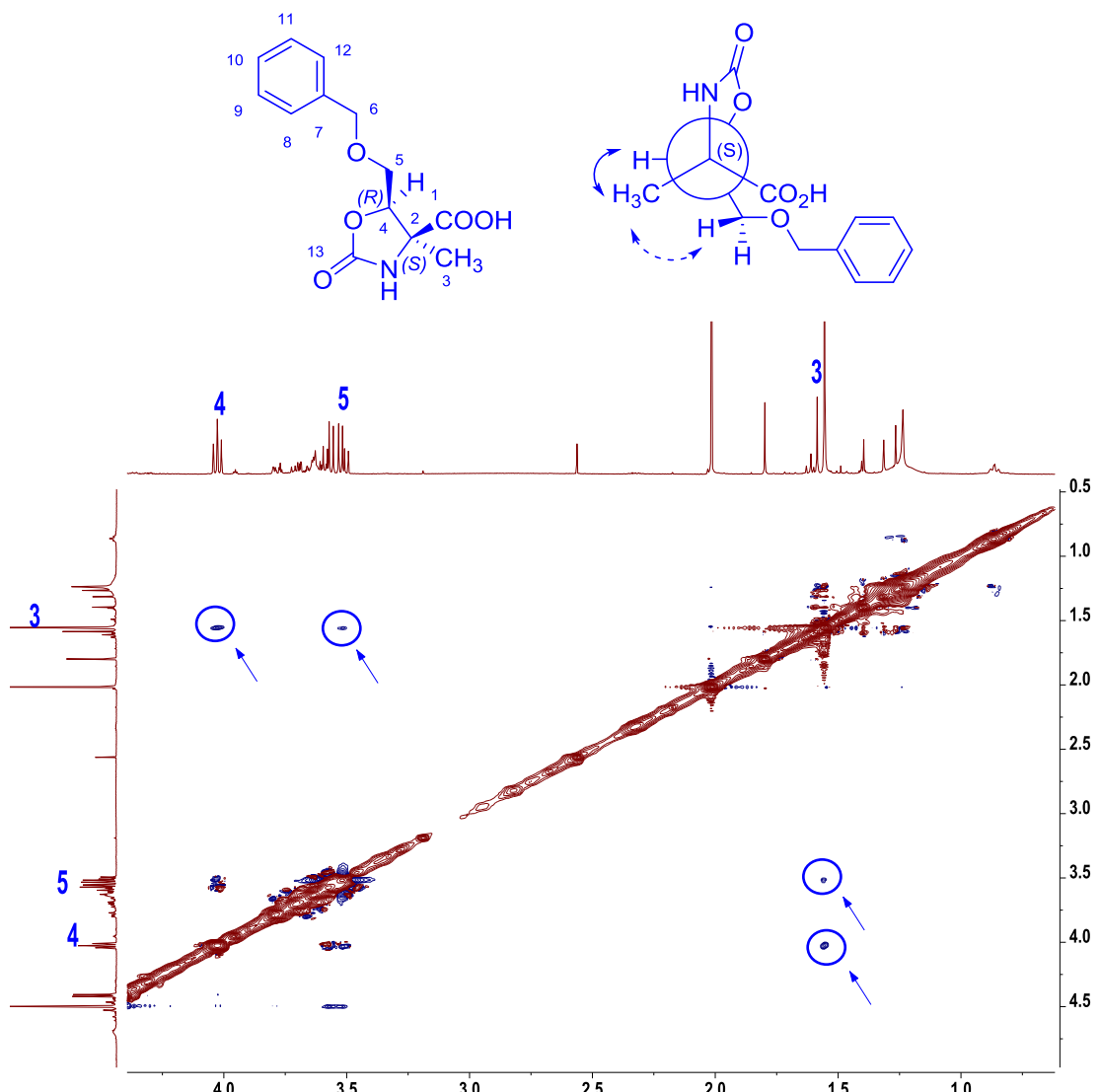
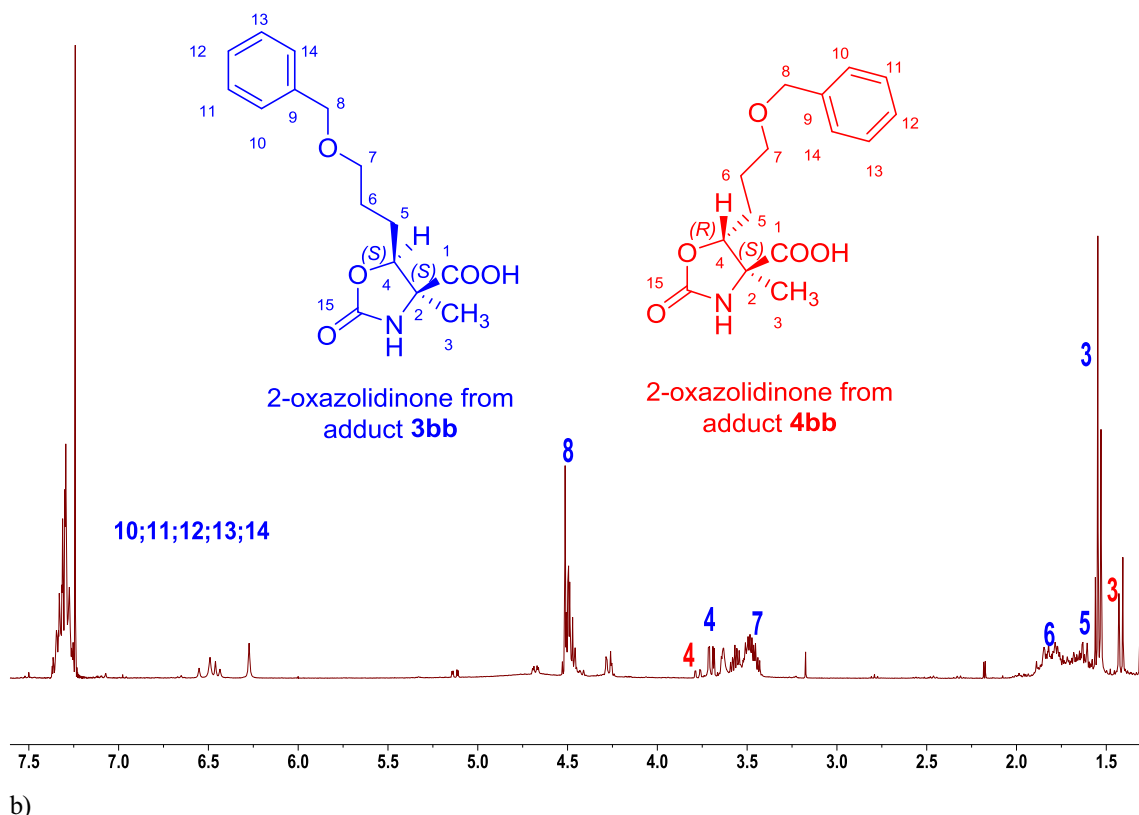
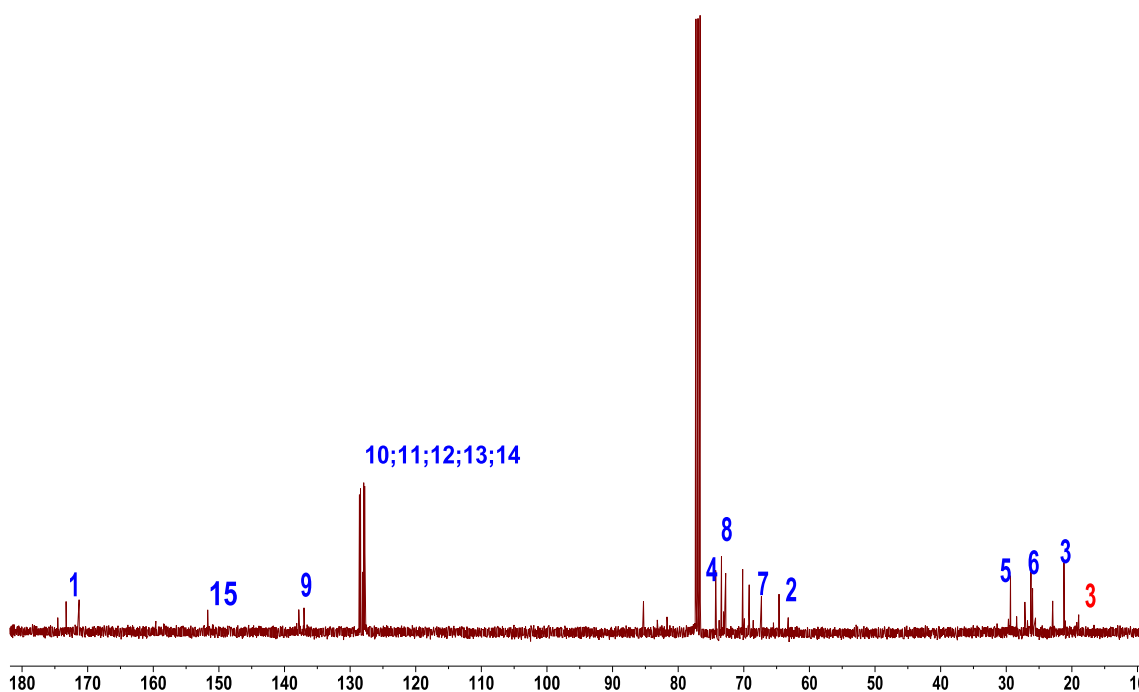


Figura 55S(3.1). Espectros de RMN (CDCl_3) de las oxazolidin-2-onas derivadas de **3bb** y **4bb** de la adición aldólica catalizada por SHMT_{Sth} nativa: a) ^1H ; b) ^{13}C ; c) 2D ^1H - ^1H COSY, d) HSQC y e) NOESY.

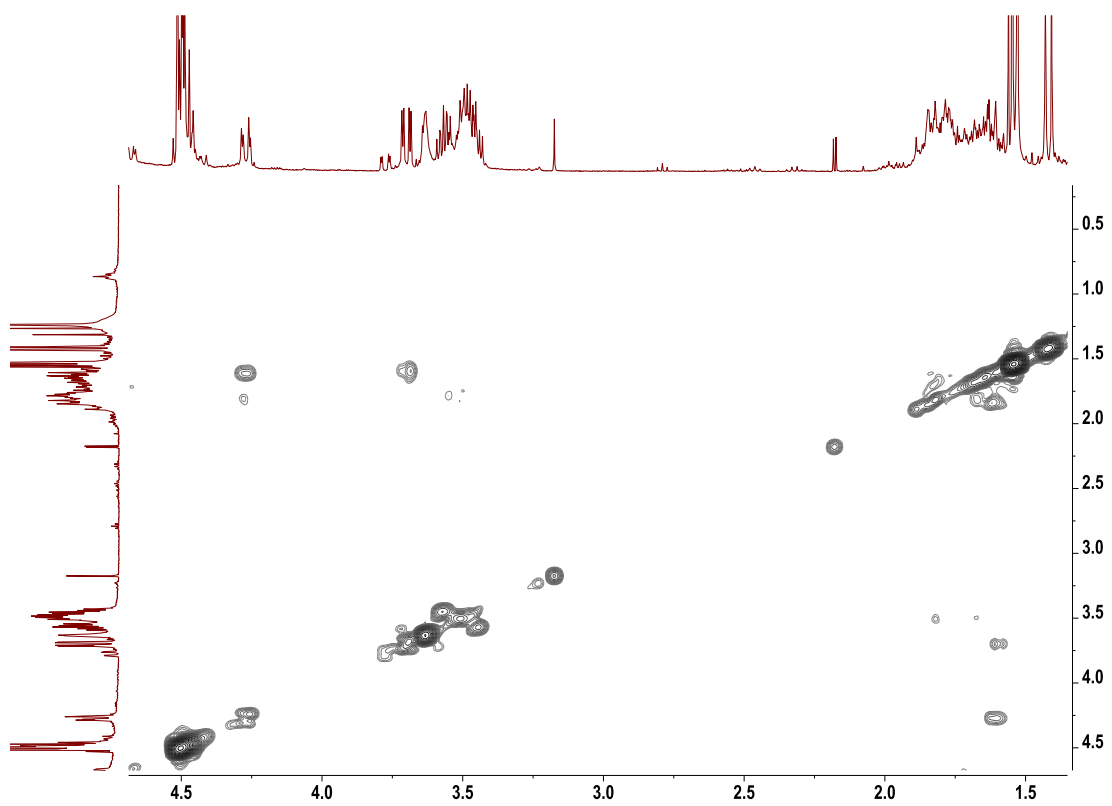
a)



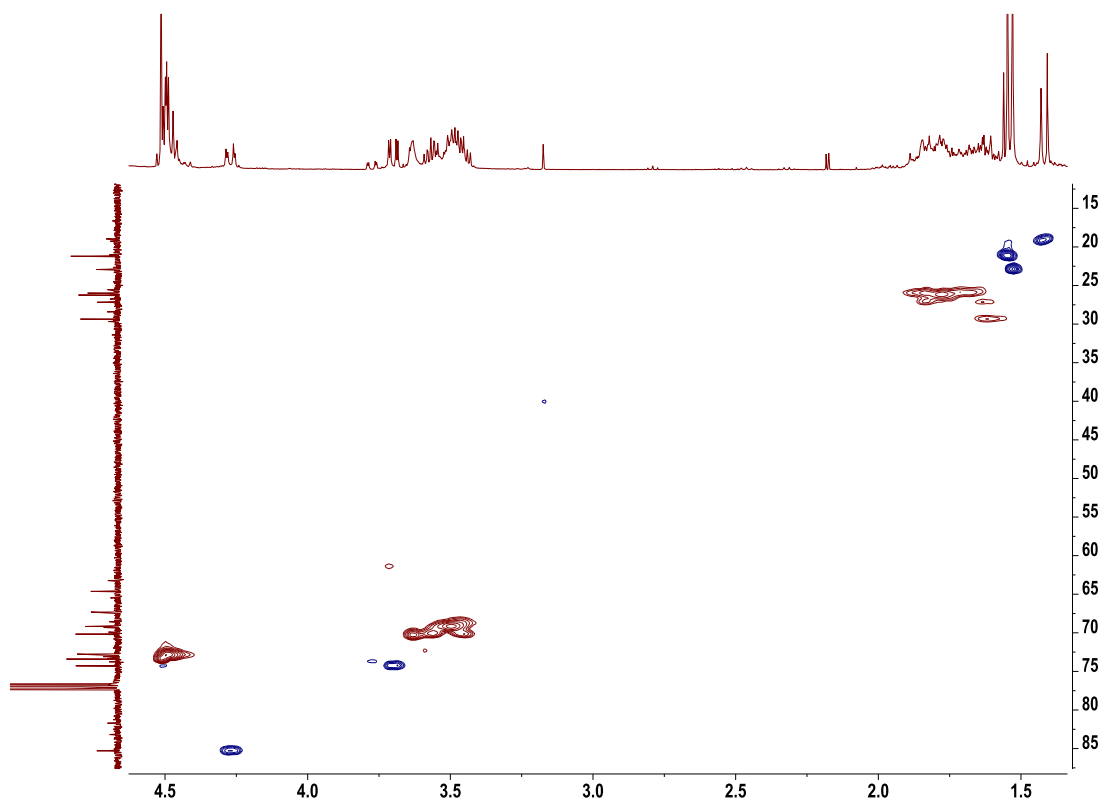
b)



c)



d)



e)

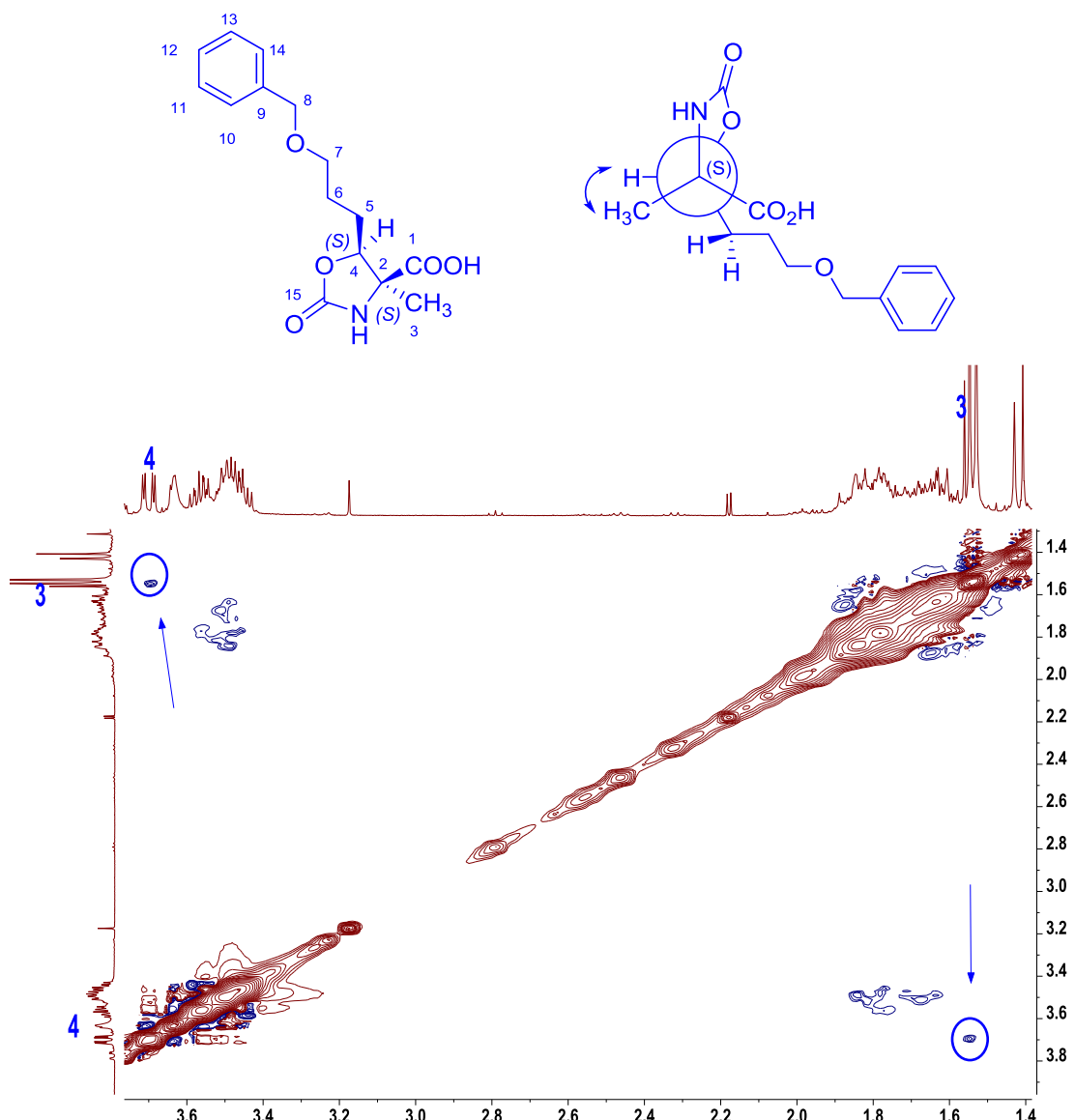
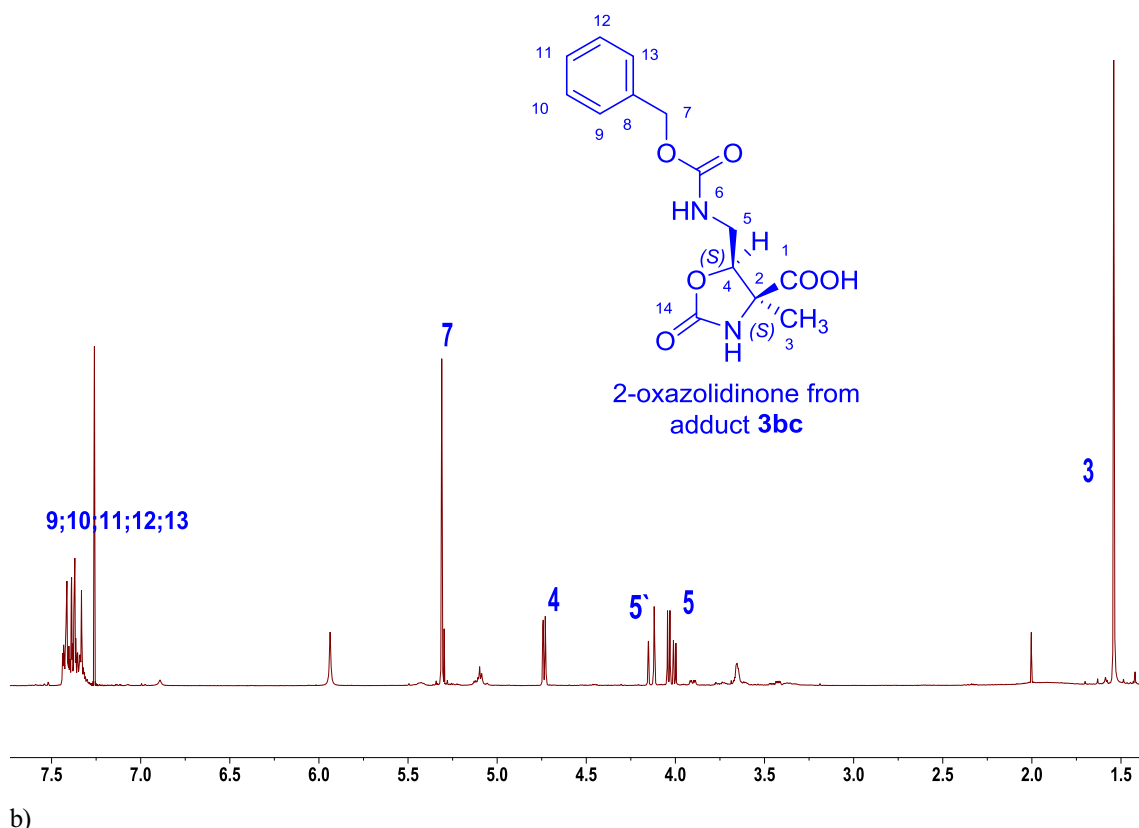
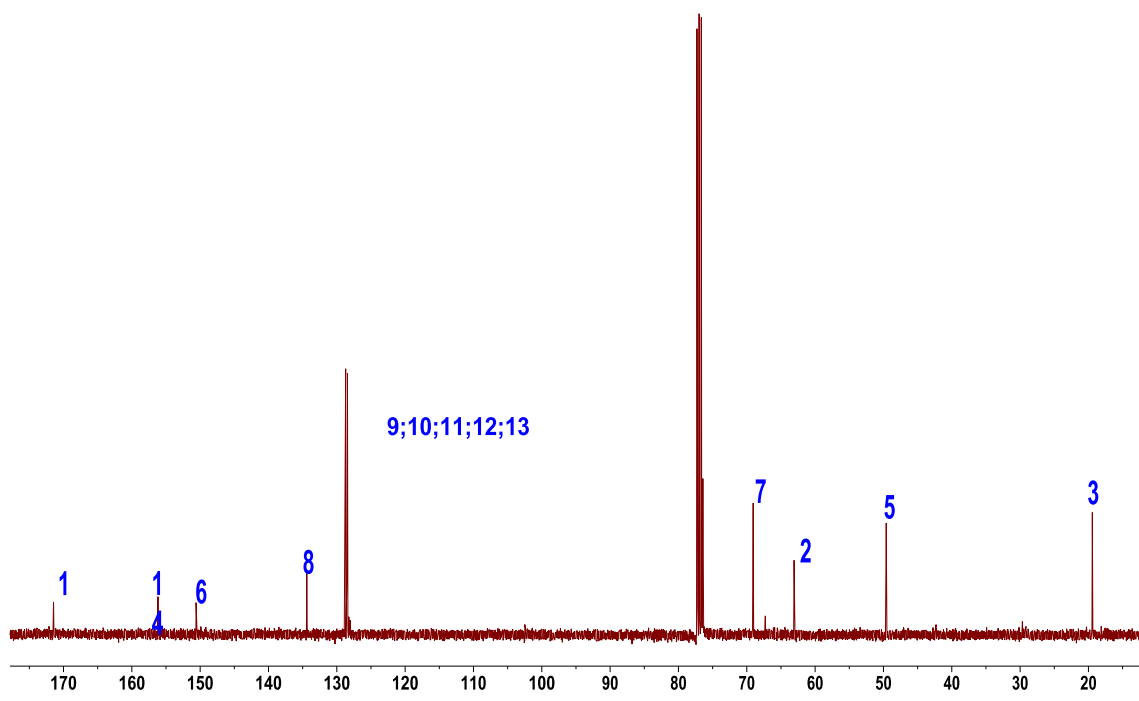


Figura 56S(3.1). Espectros de RMN (CDCl_3) de las oxazolidin-2-onas derivadas de **3bc** de la adición aldólica catalizada por SHMT_{Sth} nativa: a) ^1H ; b) ^{13}C ; c) 2D ^1H - ^1H COSY, d) HSQC y e) NOESY.

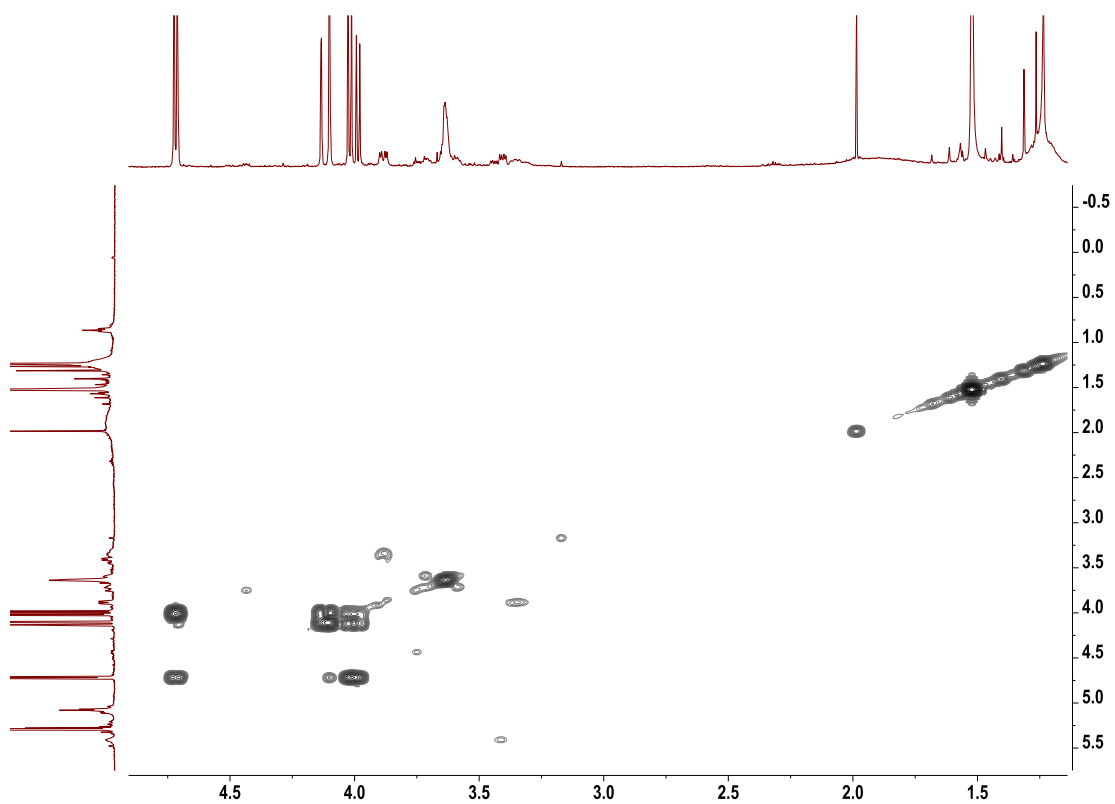
a)



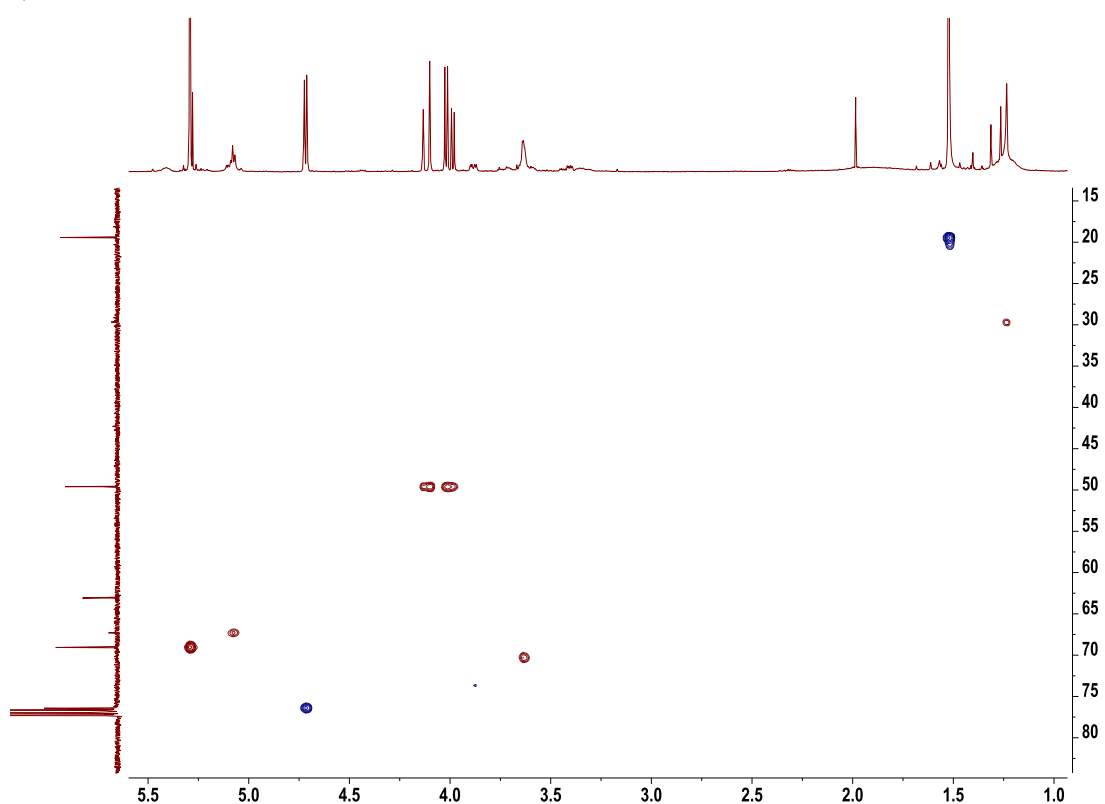
b)



c)



d)



e)

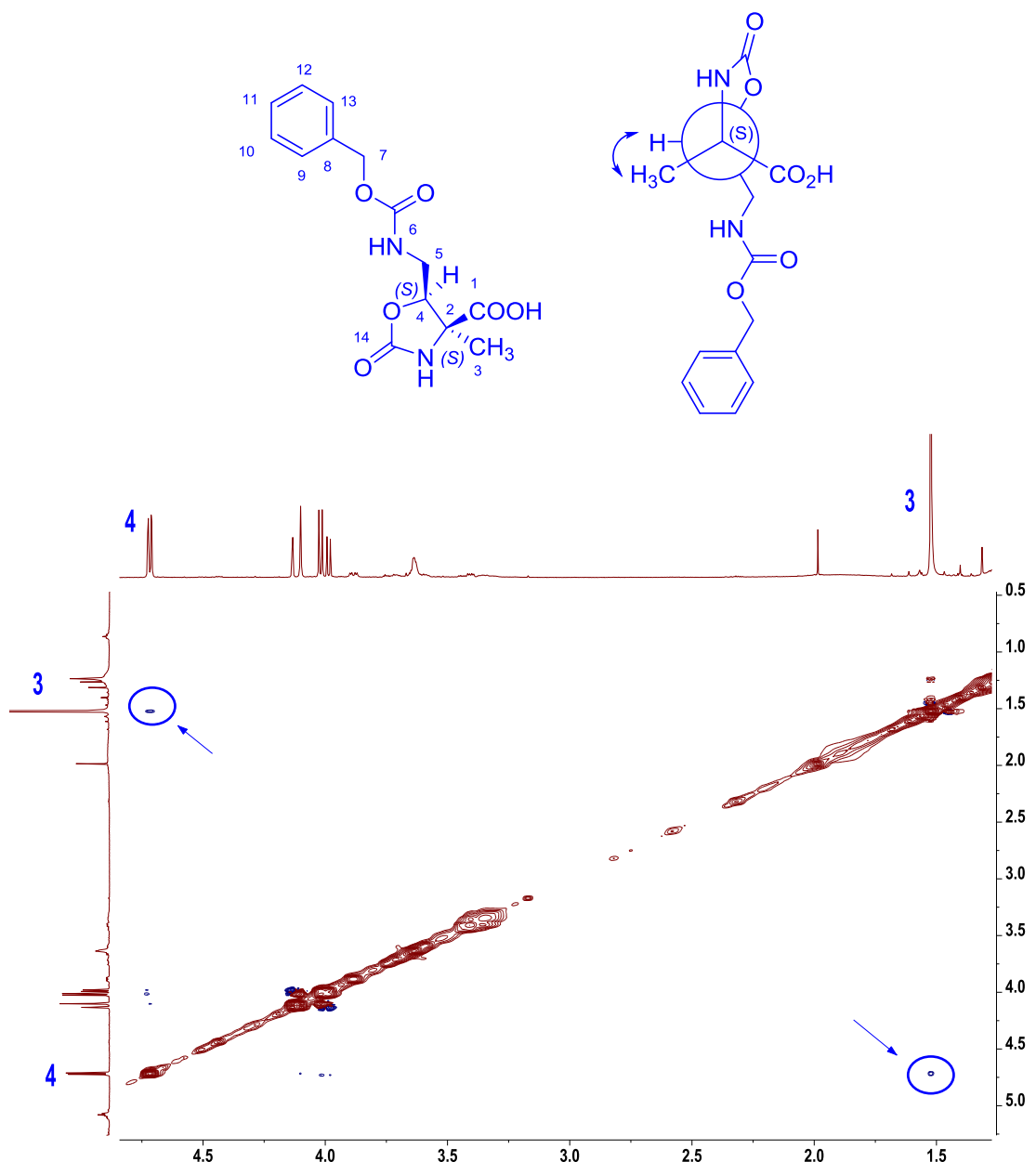
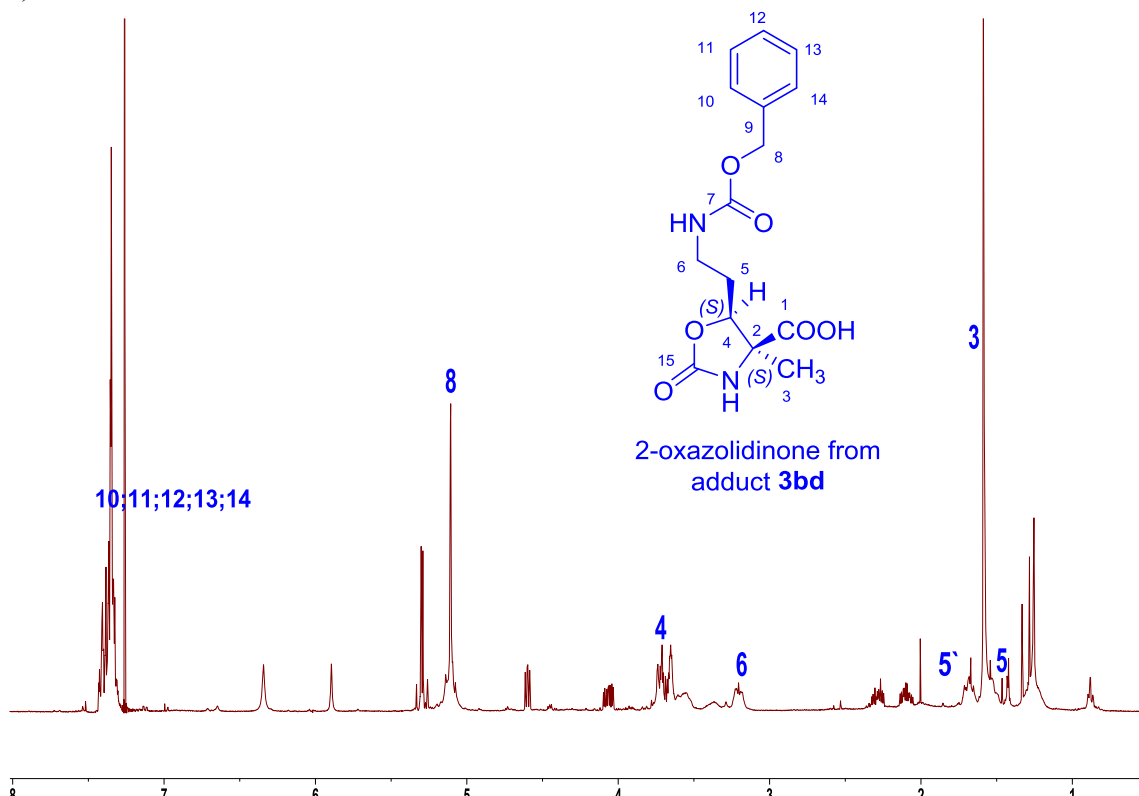
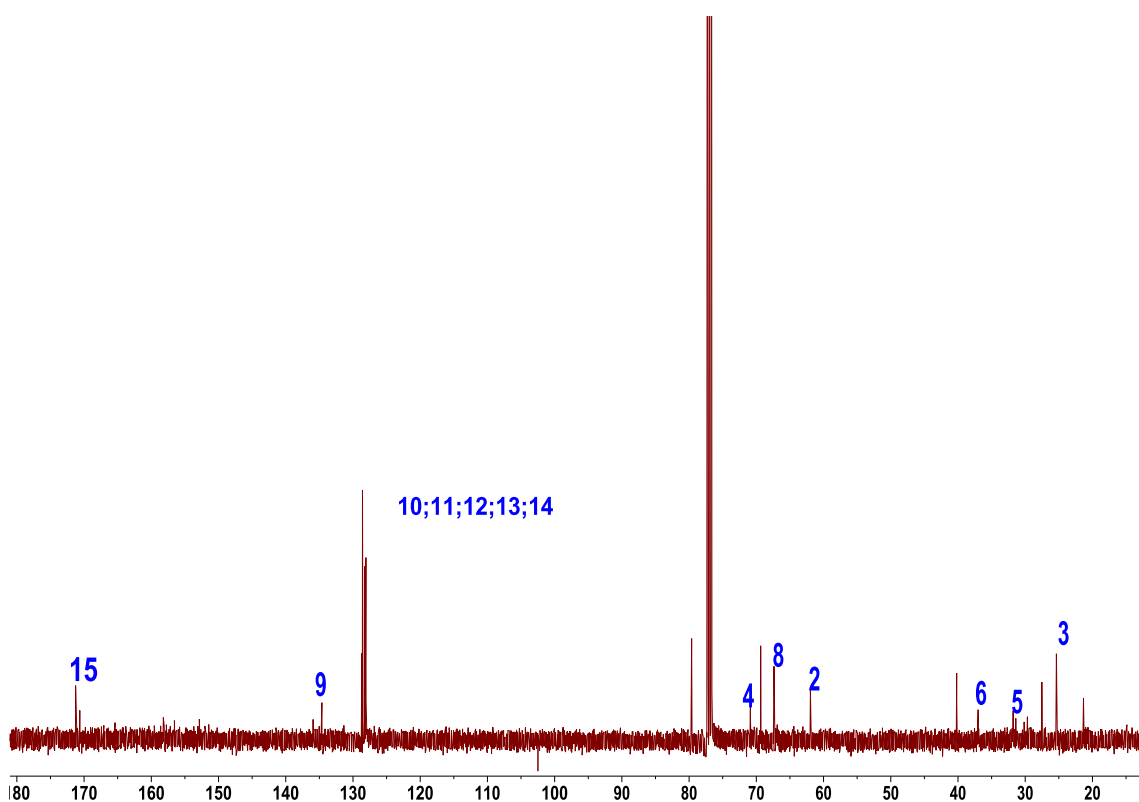


Figura 57S(3.1). Espectros de RMN (CDCl_3) de las oxazolidin-2-onas derivadas de **3bd** de la adición aldólica catalizada por SHMT_{Sth} nativa: a) ^1H ; b) ^{13}C ; c) 2D ^1H - ^1H COSY, d) HSQC y e) NOESY.

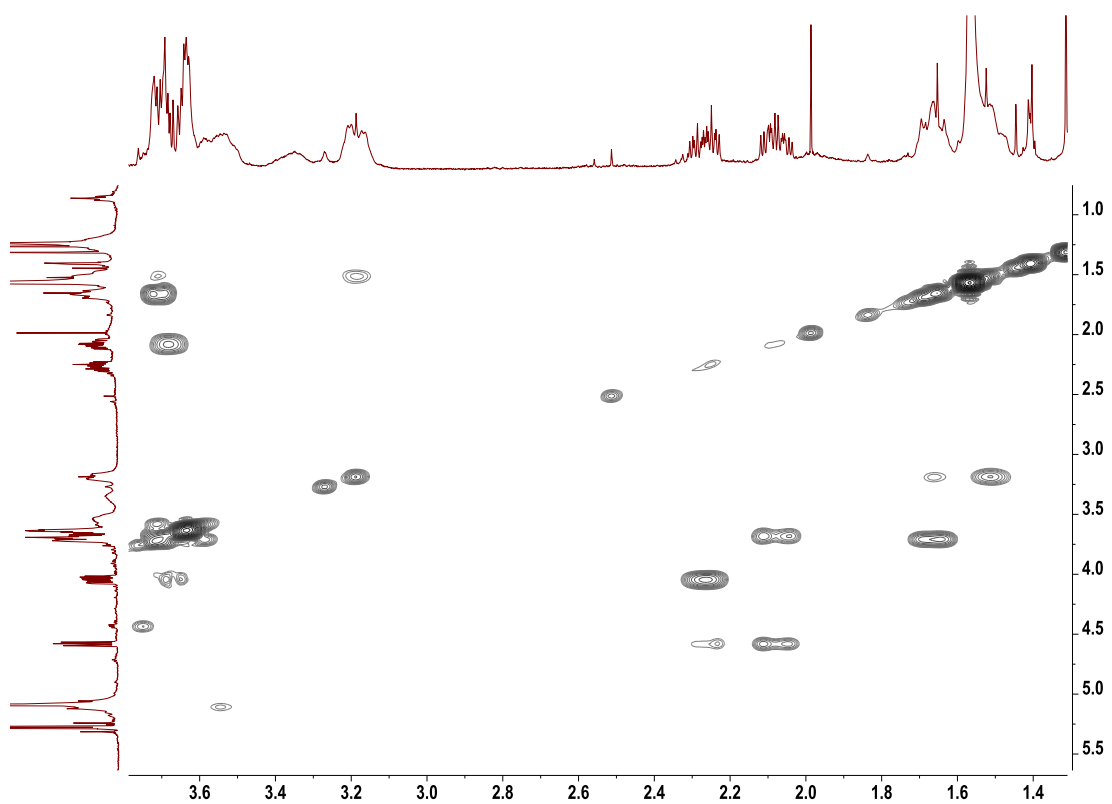
a)



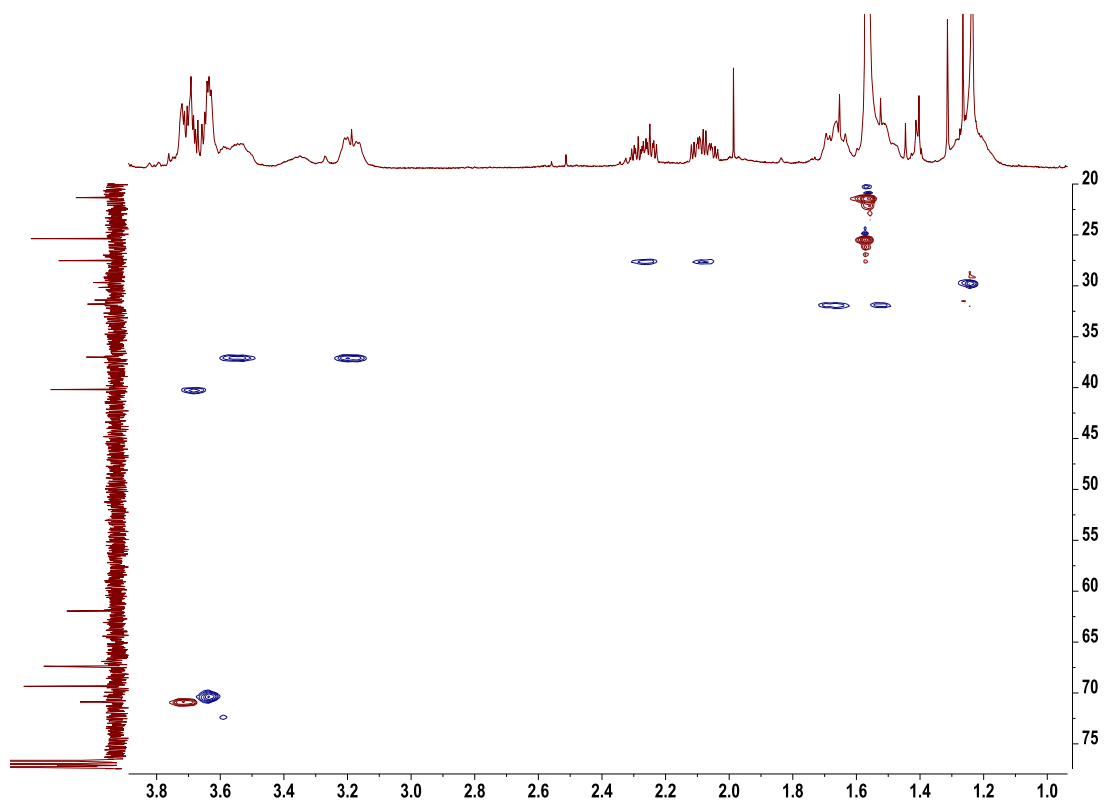
b)



c)



d)



e)

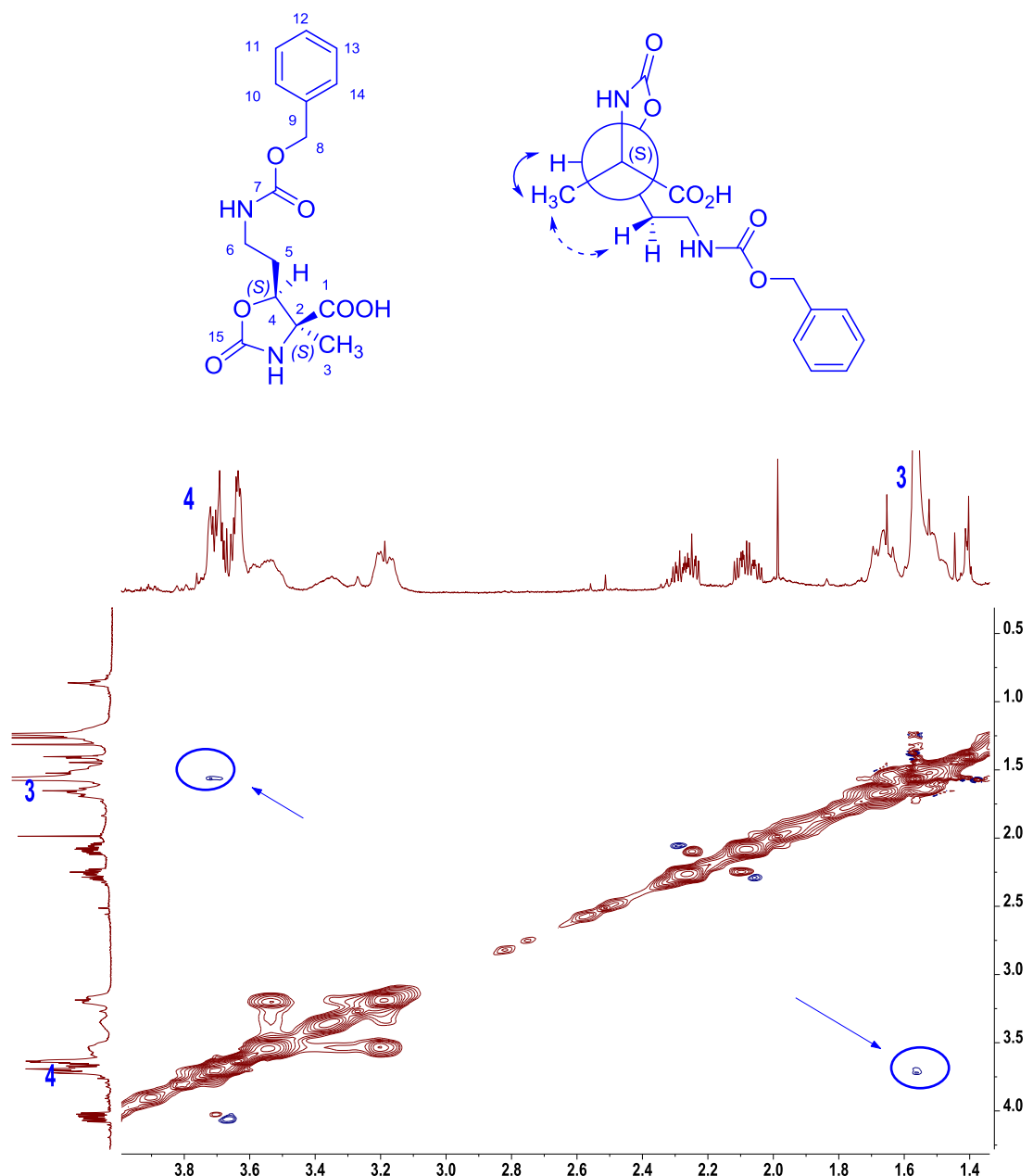
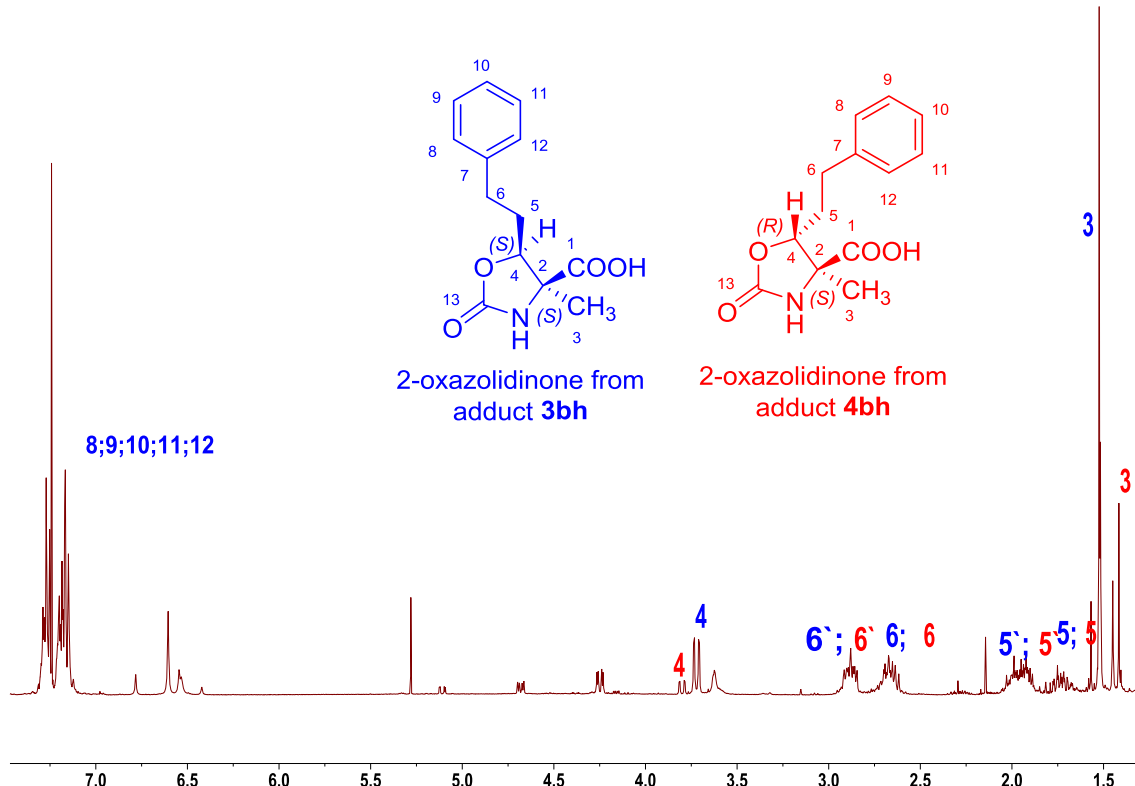
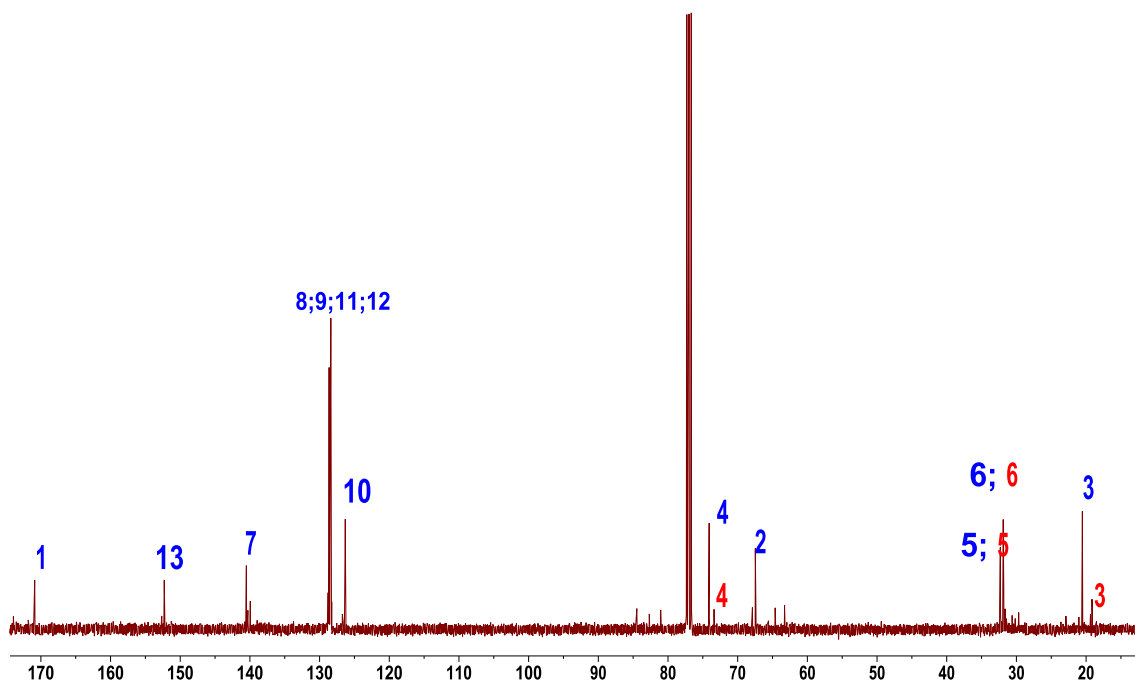


Figura 58S(3.1). Espectros de RMN (CDCl_3) de las oxazolidin-2-onas derivadas de **3bh** y **4bh** de la adición aldólica catalizada por SHMT_{Sth} nativa: a) ^1H ; b) ^{13}C ; c) 2D ^1H - ^1H COSY, d) HSQC y e) NOESY.

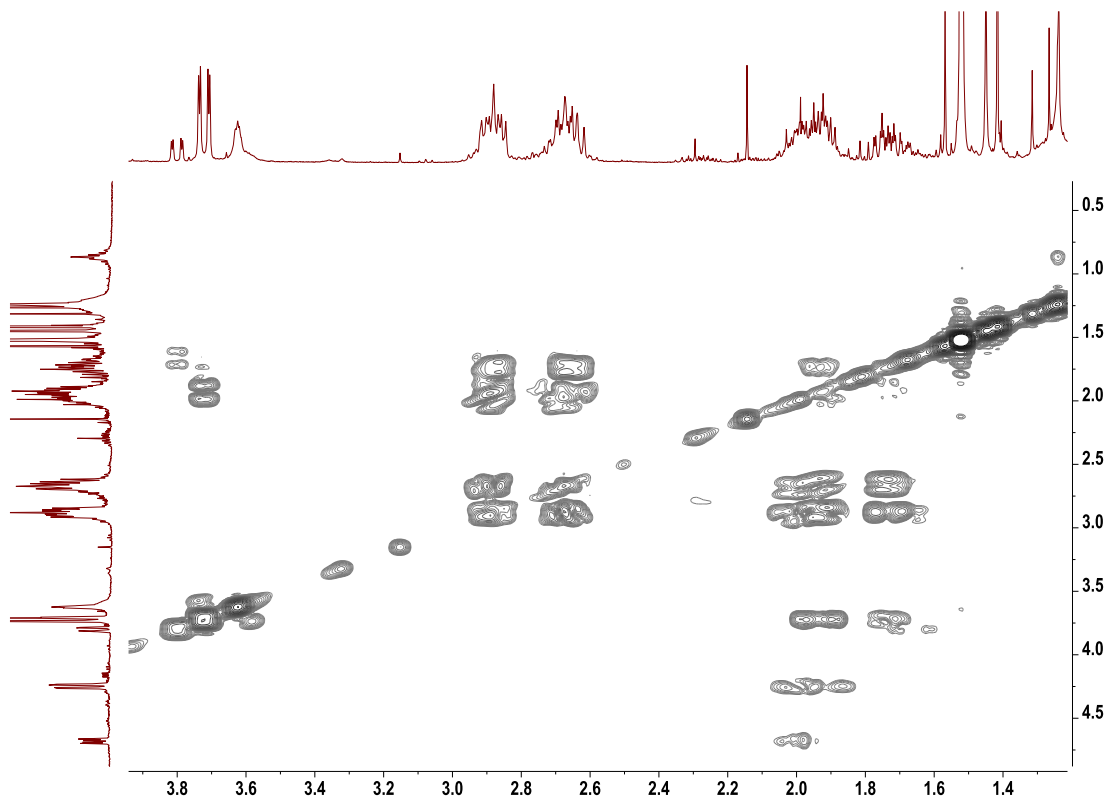
a)



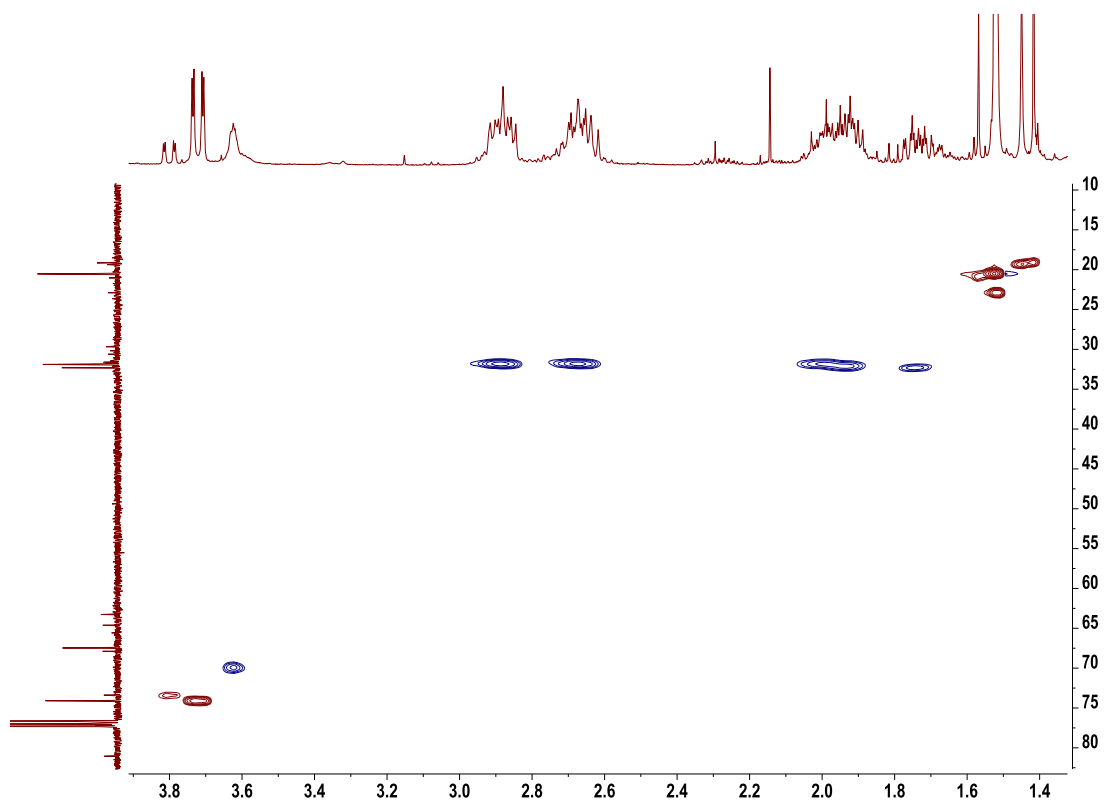
b)



c)



d)



e)

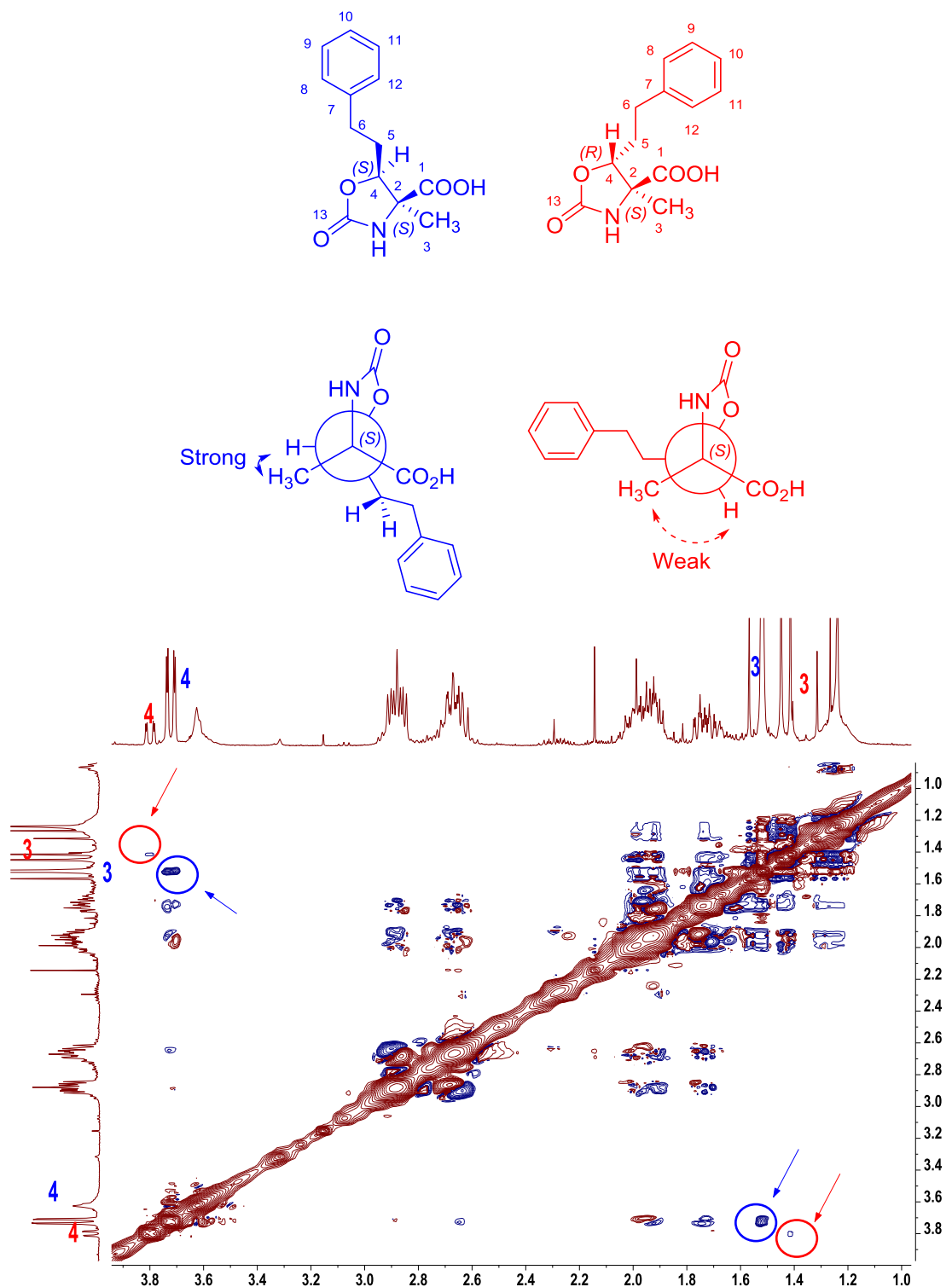
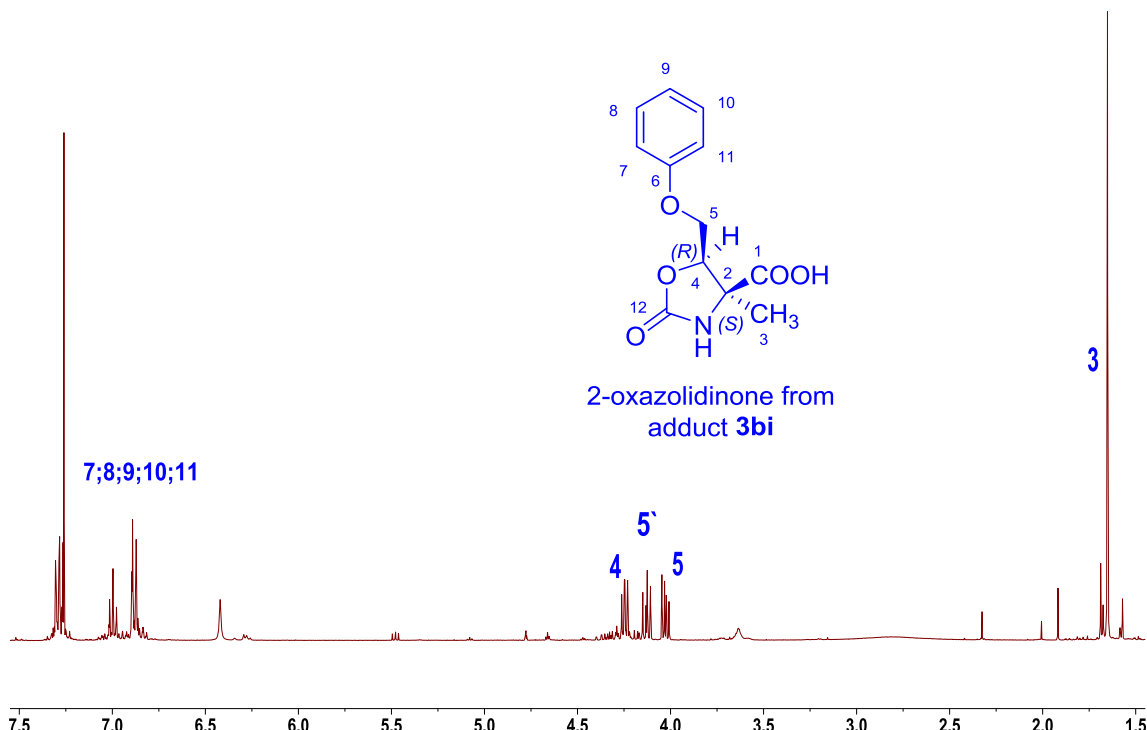
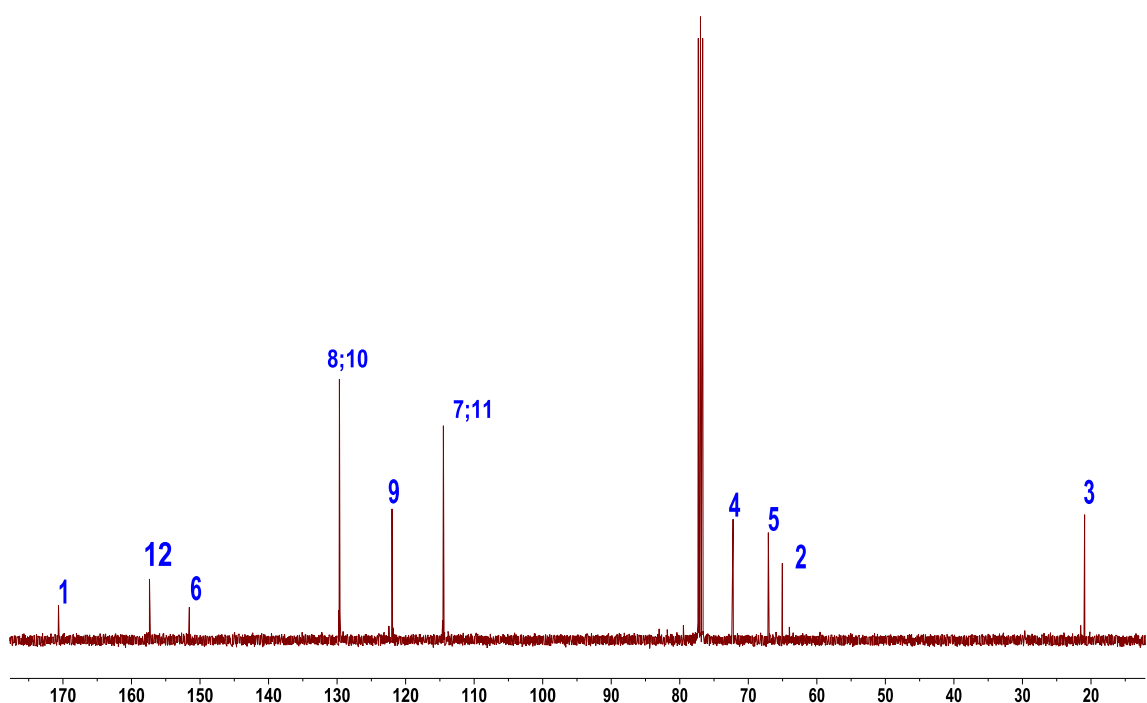


Figura 59S(3.1). Espectros de RMN (CDCl_3) de las oxazolidin-2-onas derivadas de **3bi** de la adición aldólica catalizada por SHMT_{Sth} nativa: a) ^1H ; b) ^{13}C ; c) 2D ^1H - ^1H COSY, d) HSQC y e) NOESY.

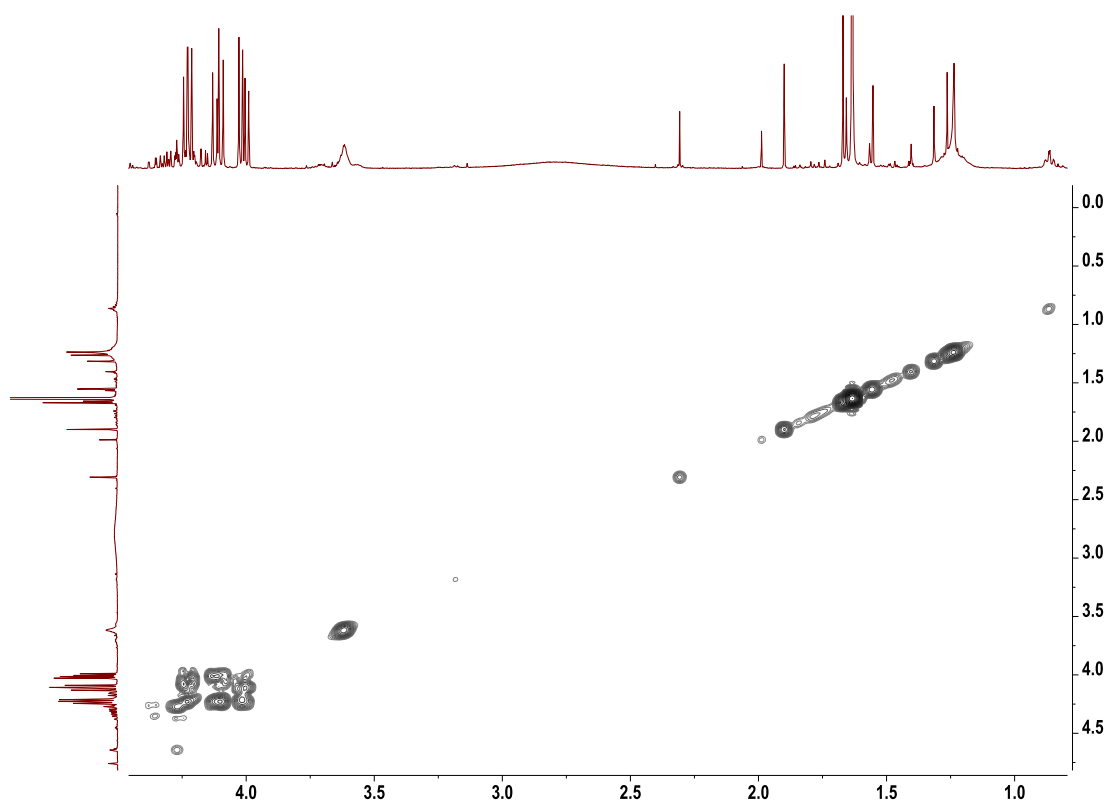
a)



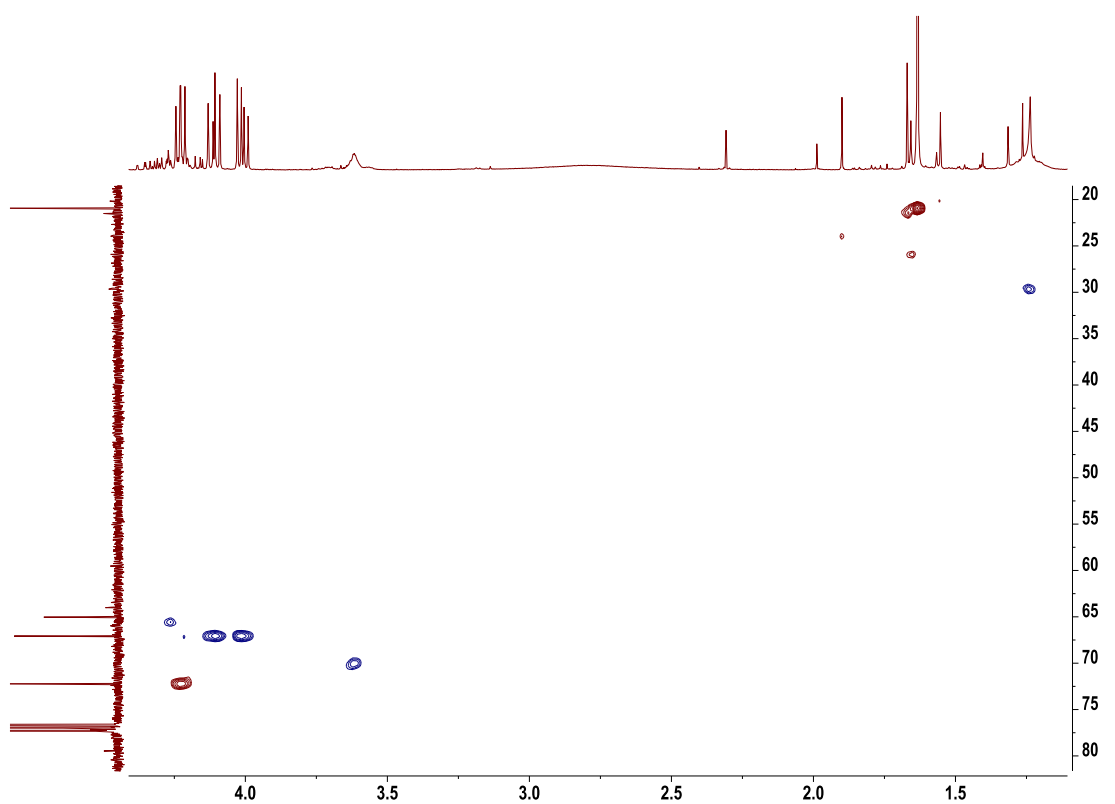
b)



c)



d)



e)

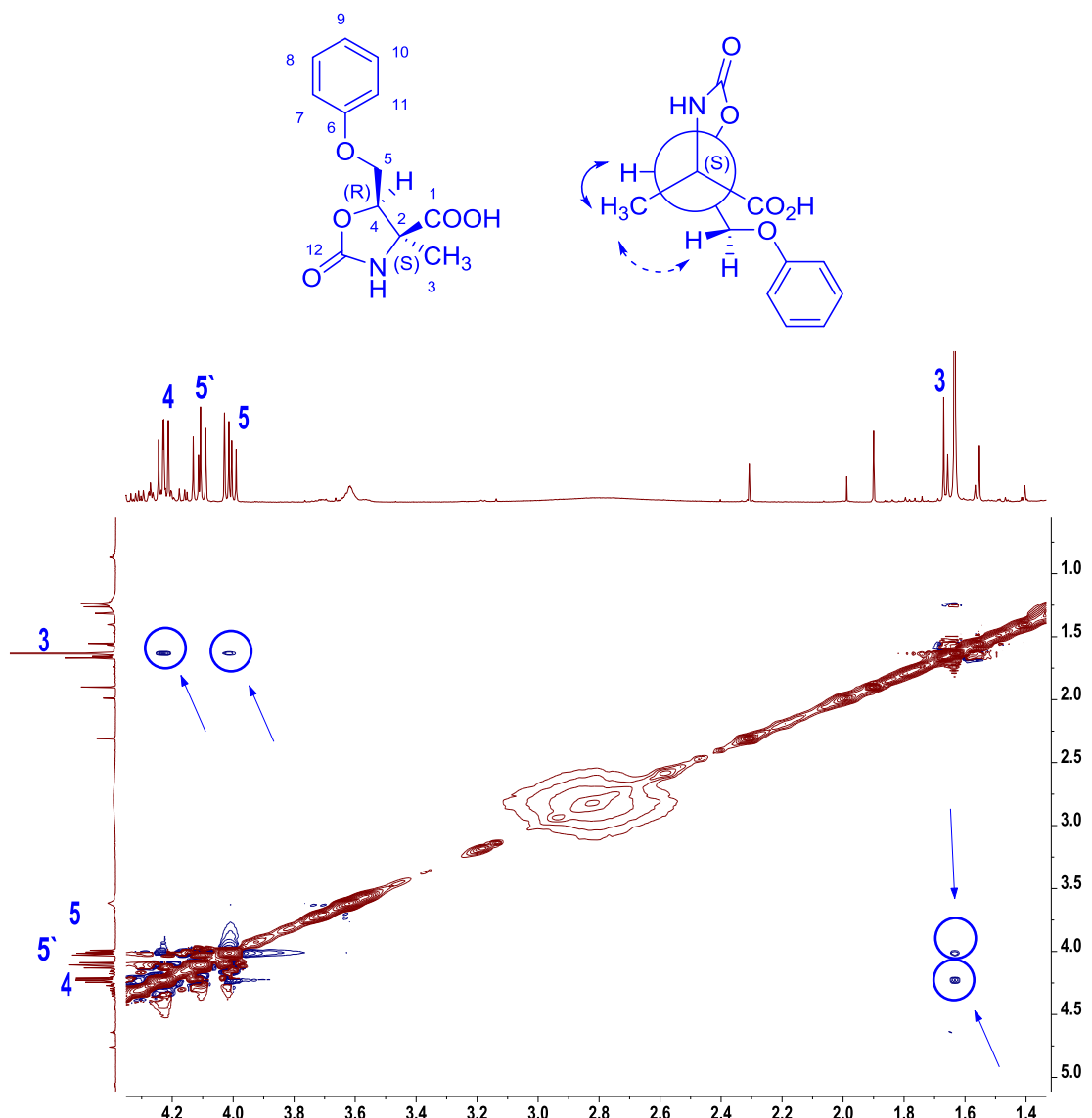
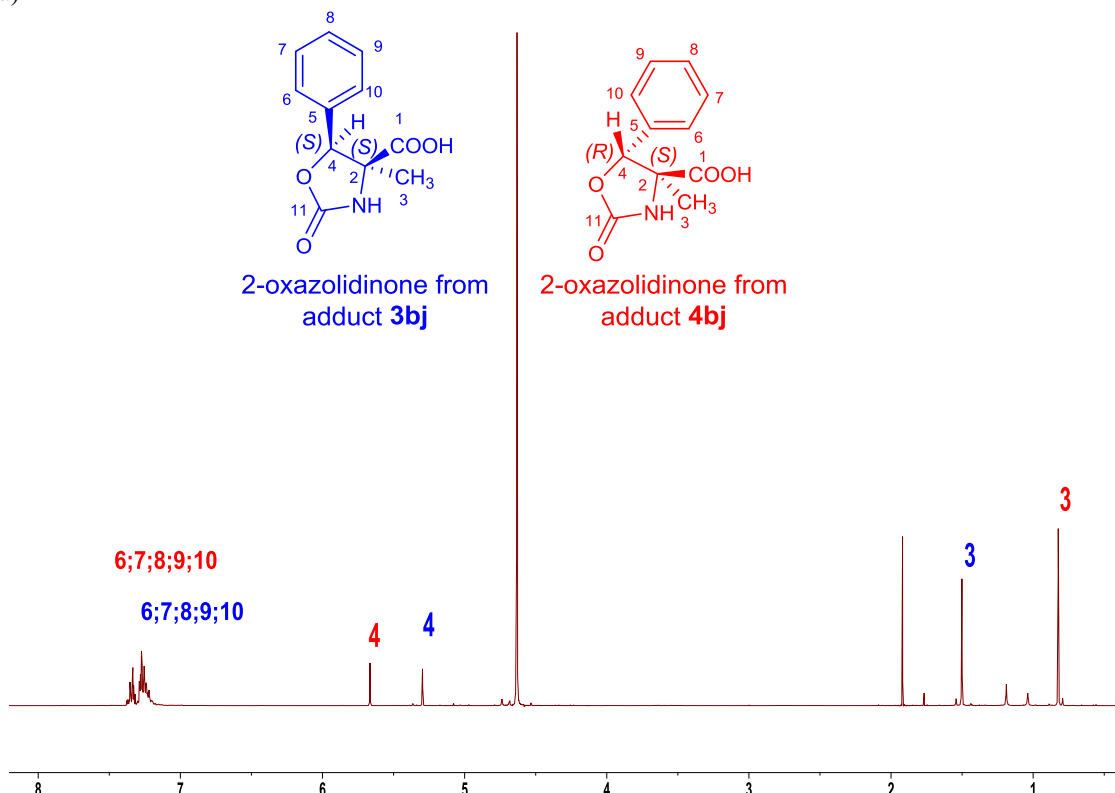
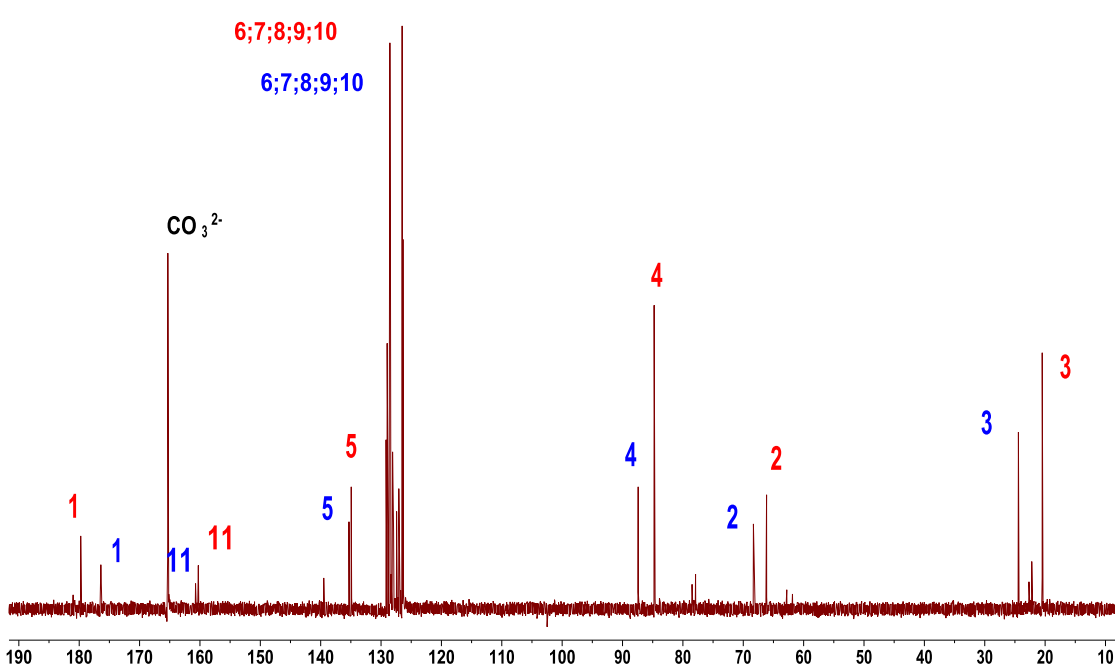


Figura 60S(3.1). Espectros de RMN (D_2O) de las oxazolidin-2-onas derivadas de **3bj** y **4bj** de la adición aldólica catalizada por SHMT_{Sth} nativa: a) 1H ; b) ^{13}C ; c) 2D 1H - 1H COSY, d) HSQC y e) NOESY.

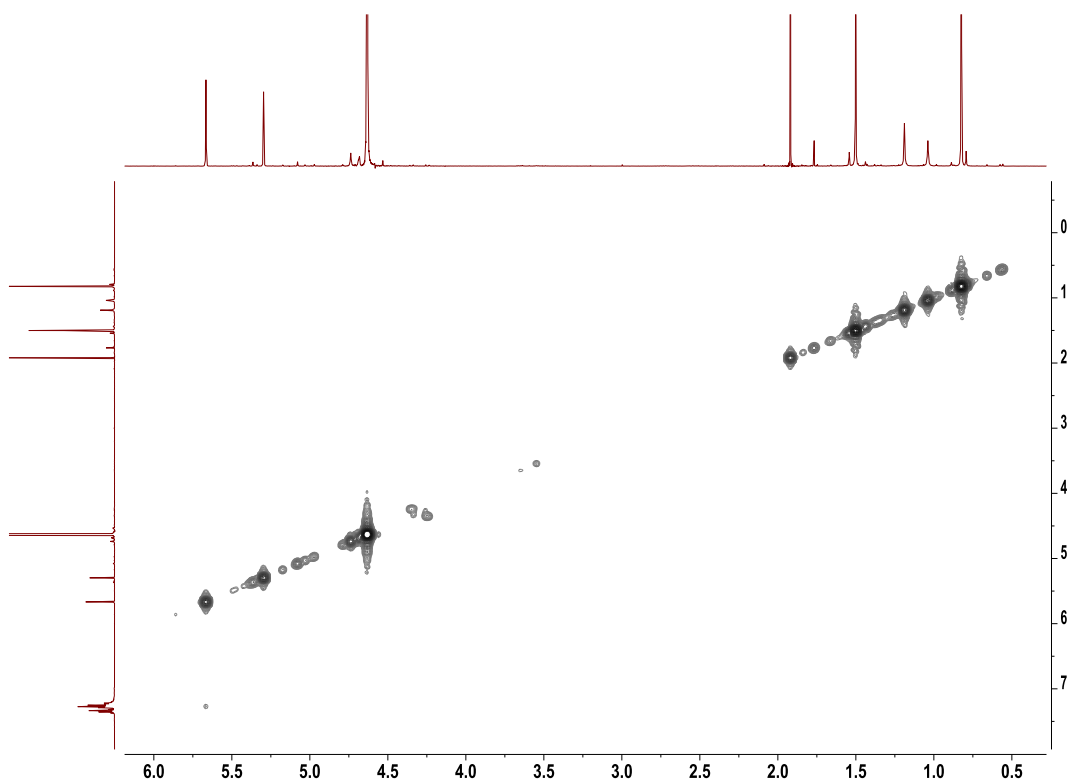
a)



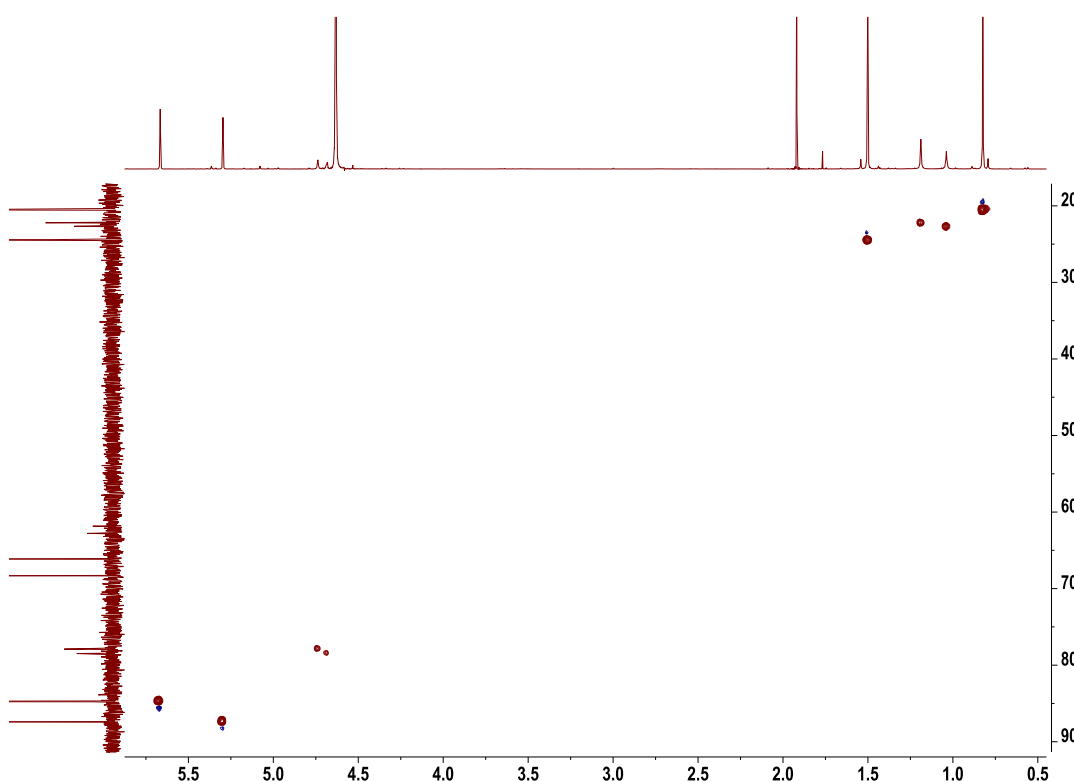
b)



c)



d)



e)

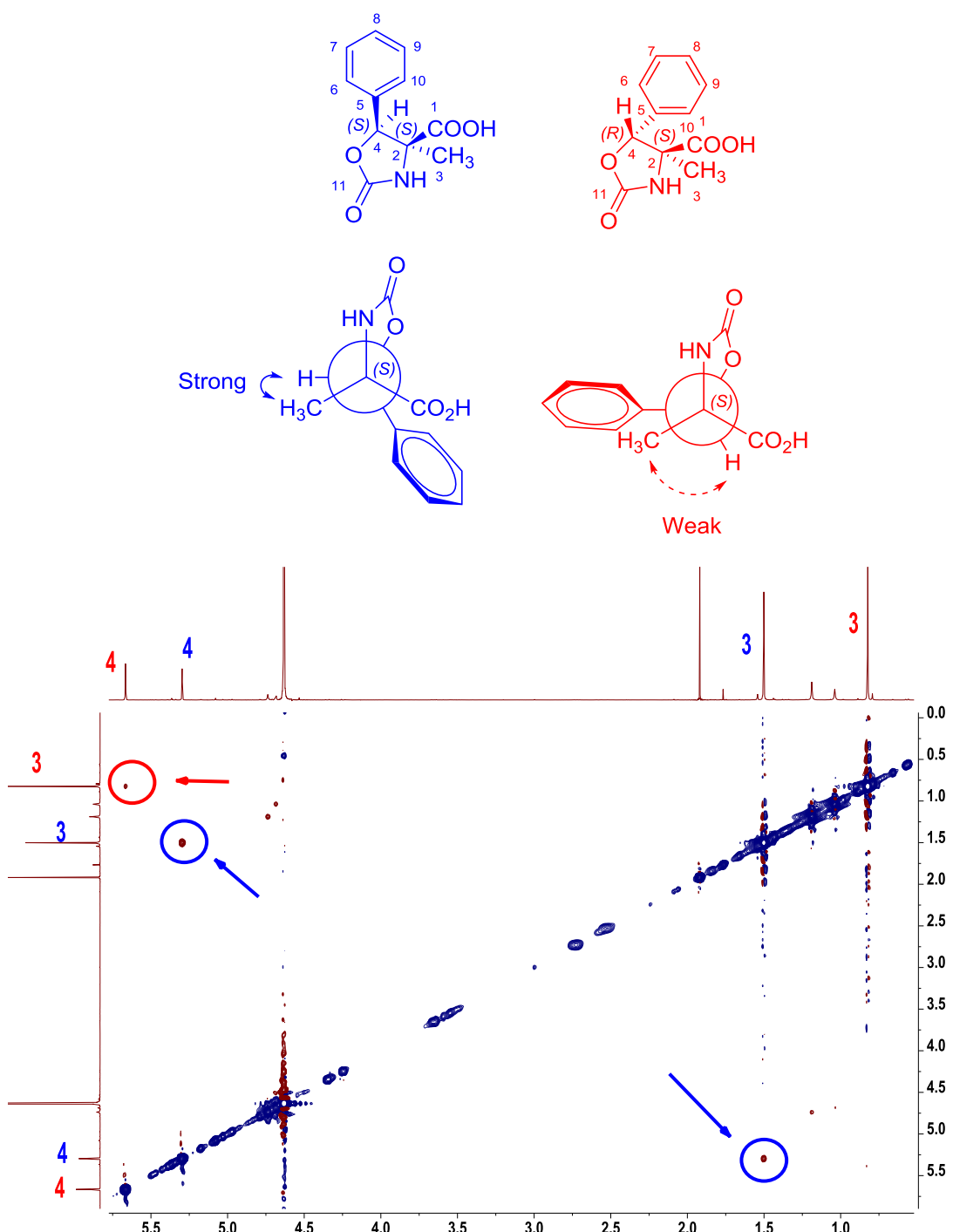
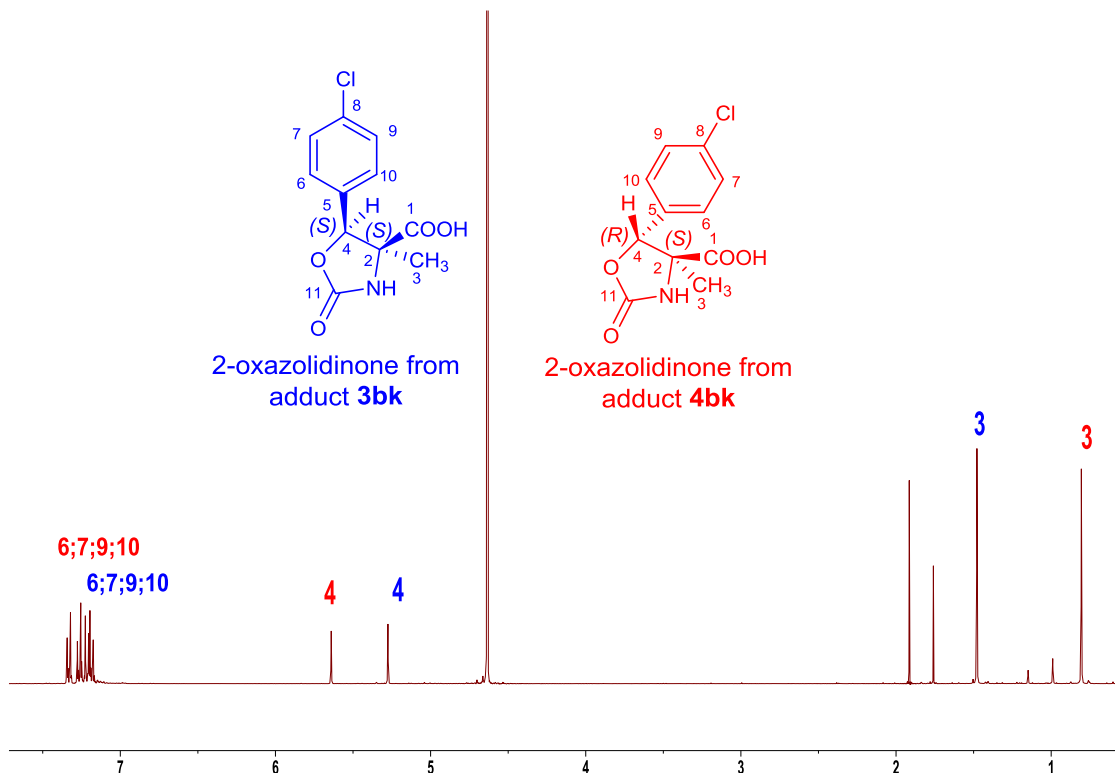
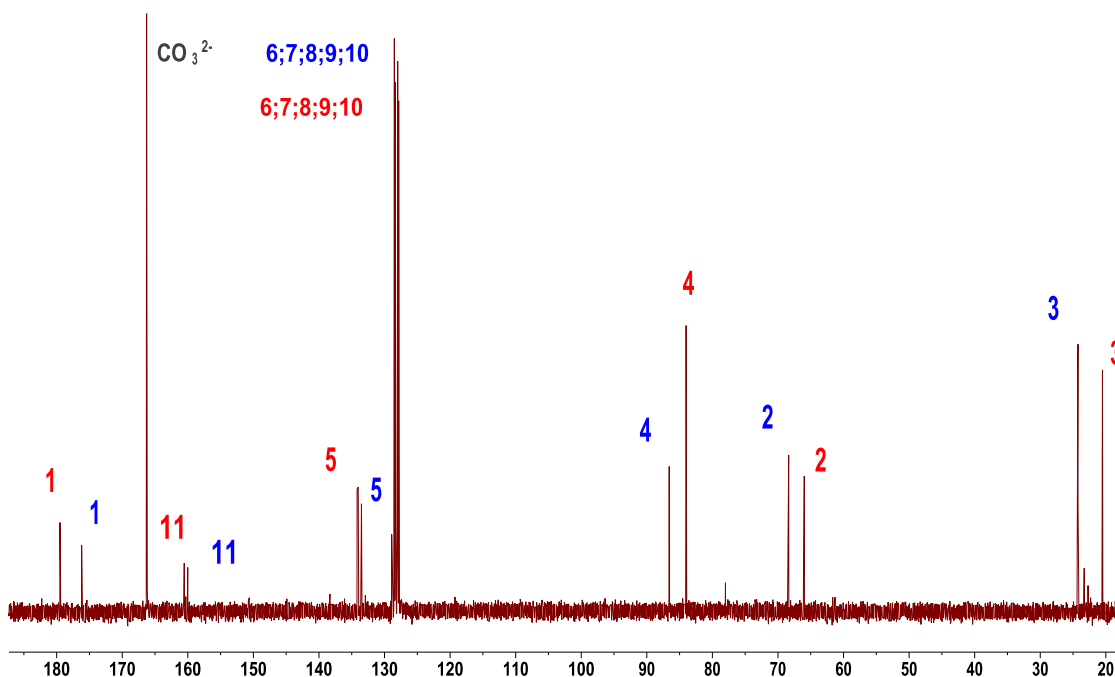


Figura61S(3.1). Espectros de RMN (D_2O) de las oxazolidin-2-onas derivadas de **3bk** y **4bk** de la adición aldólica catalizada por SHMT_{Sth} nativa: a) 1H ; b) ^{13}C ; c) 2D 1H - 1H COSY, d) HSQC y e) NOESY.

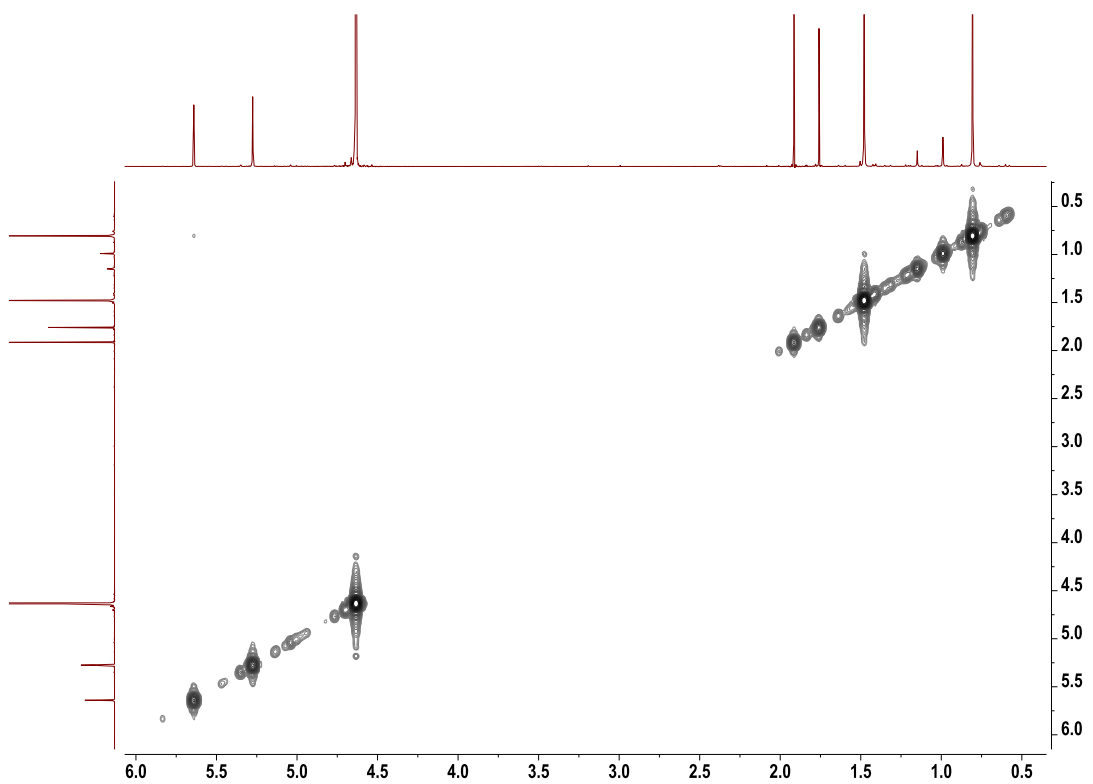
a)



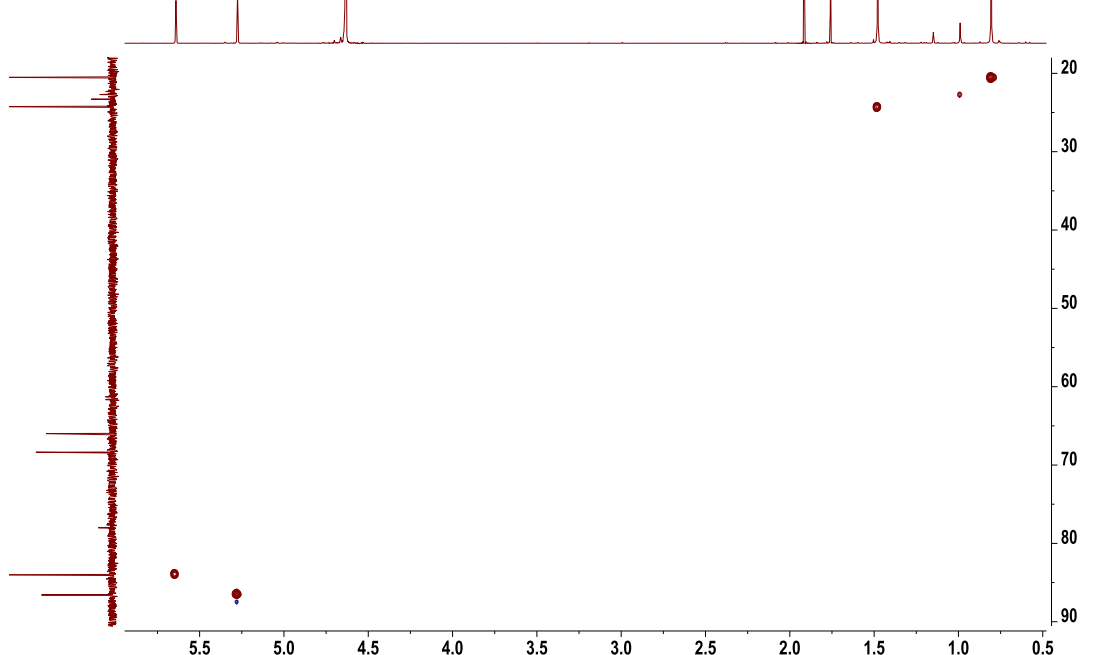
b)



c)



d)



e)

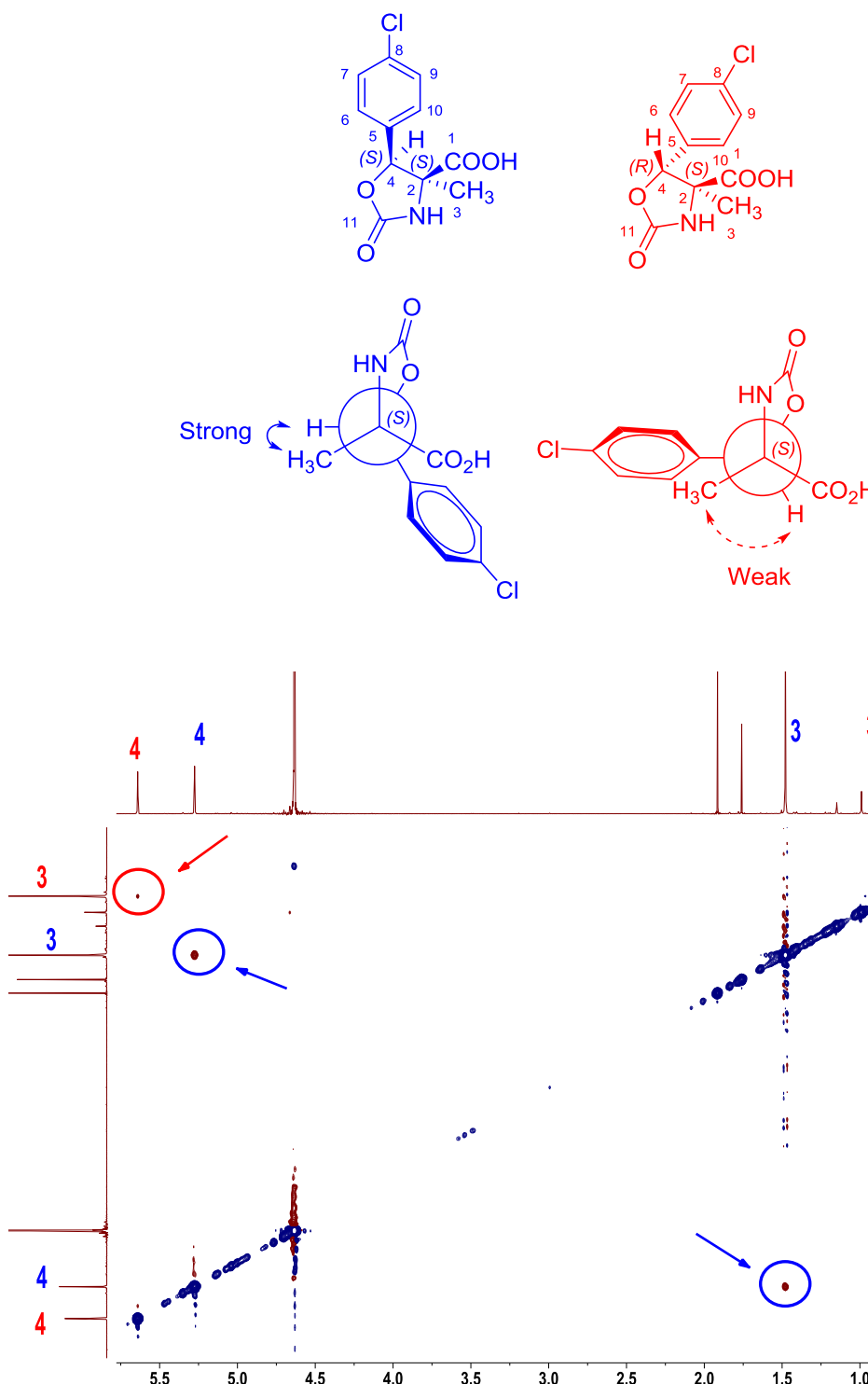
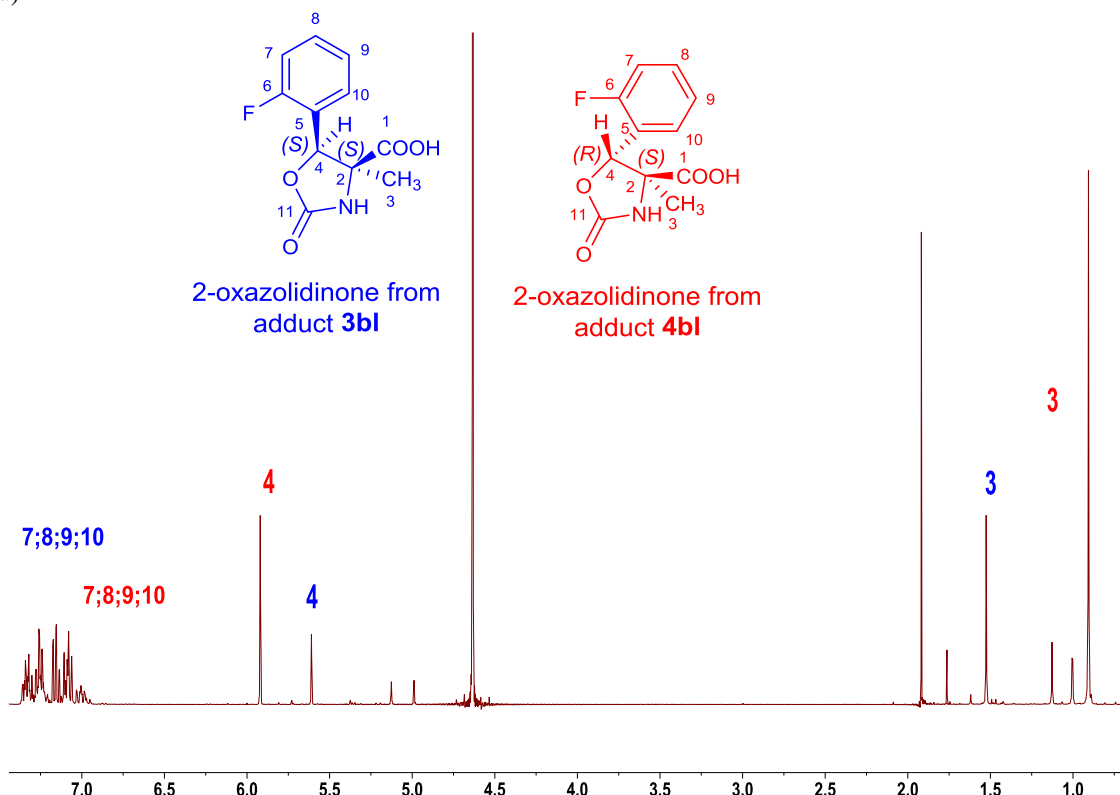
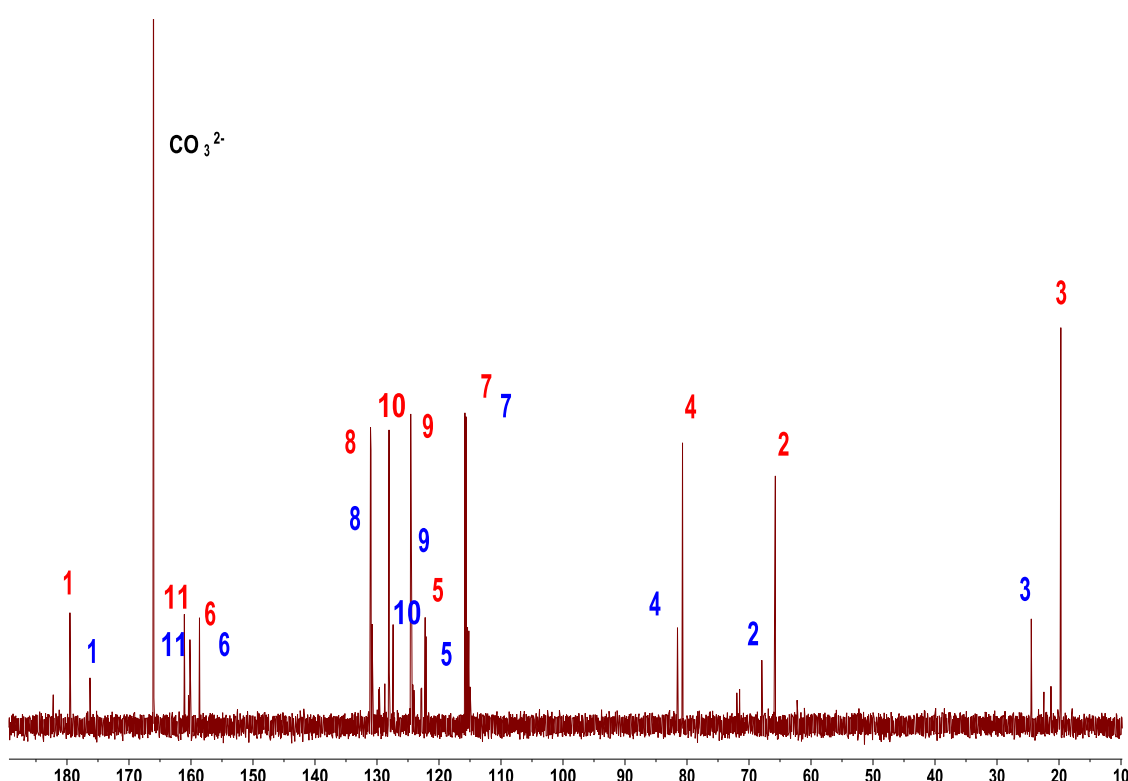


Figura62S(3.1). Espectros de RMN (D_2O) de las oxazolidin-2-onas derivadas de **3bl** y **4bl** de la adición aldólica catalizada por SHMT_{Sth} nativa: a) 1H ; b) ^{13}C ; c) 2D 1H - 1H COSY, d) HSQC y e) NOESY.

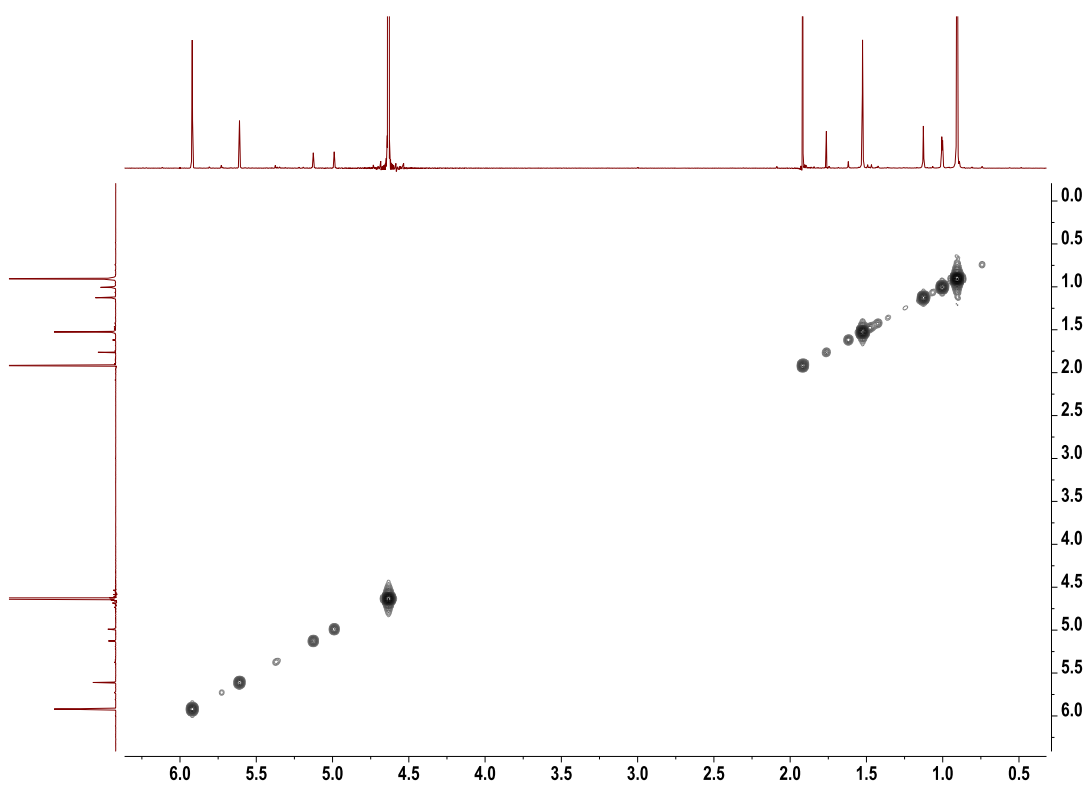
a)



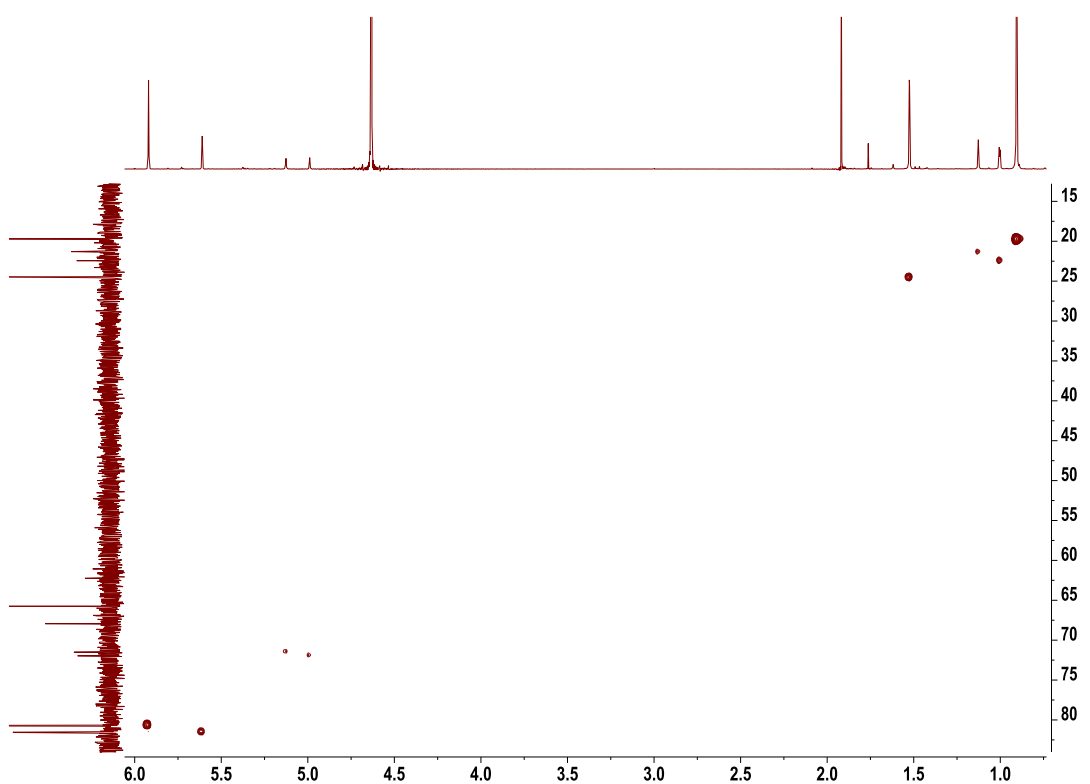
b)



c)



d)



e)

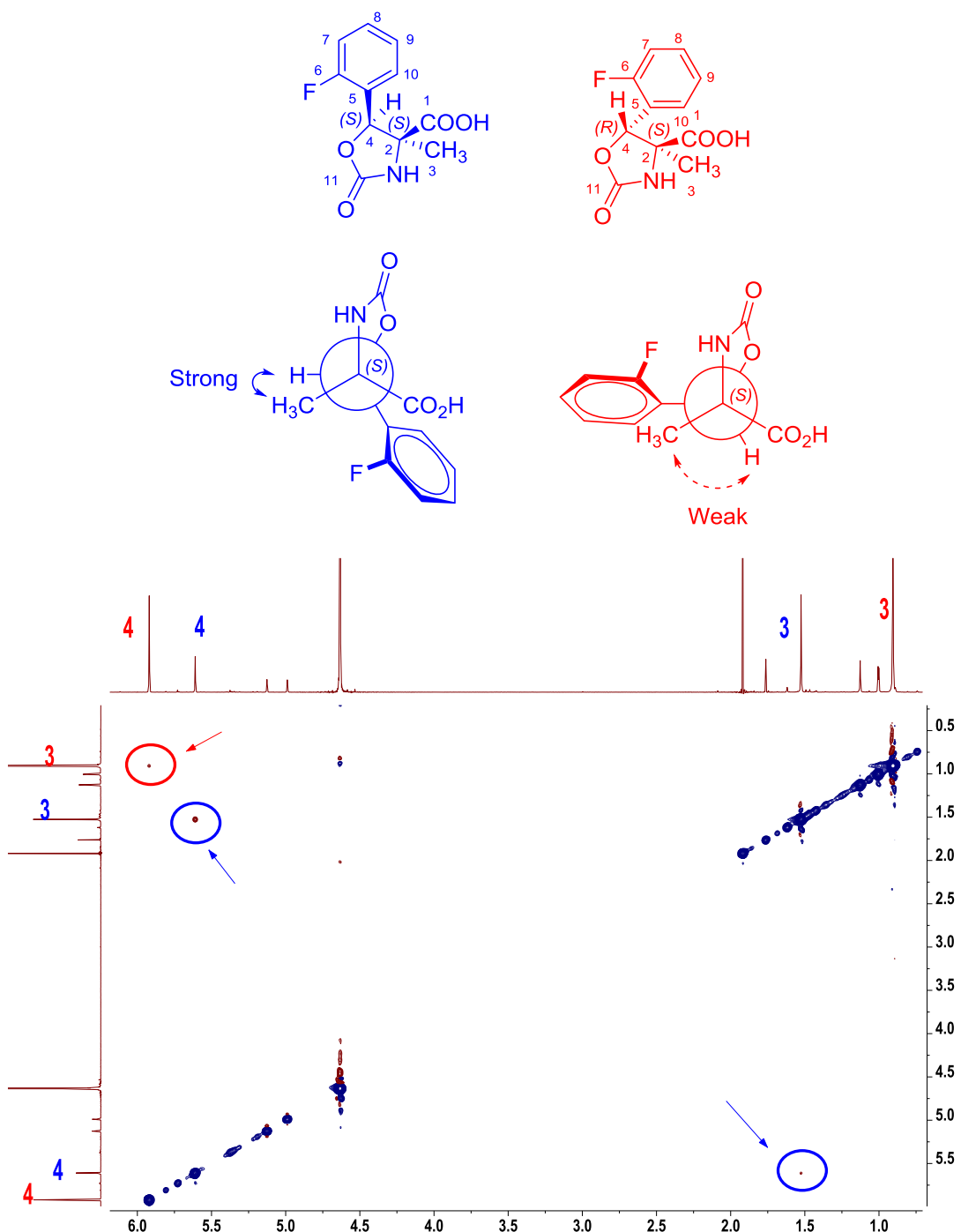
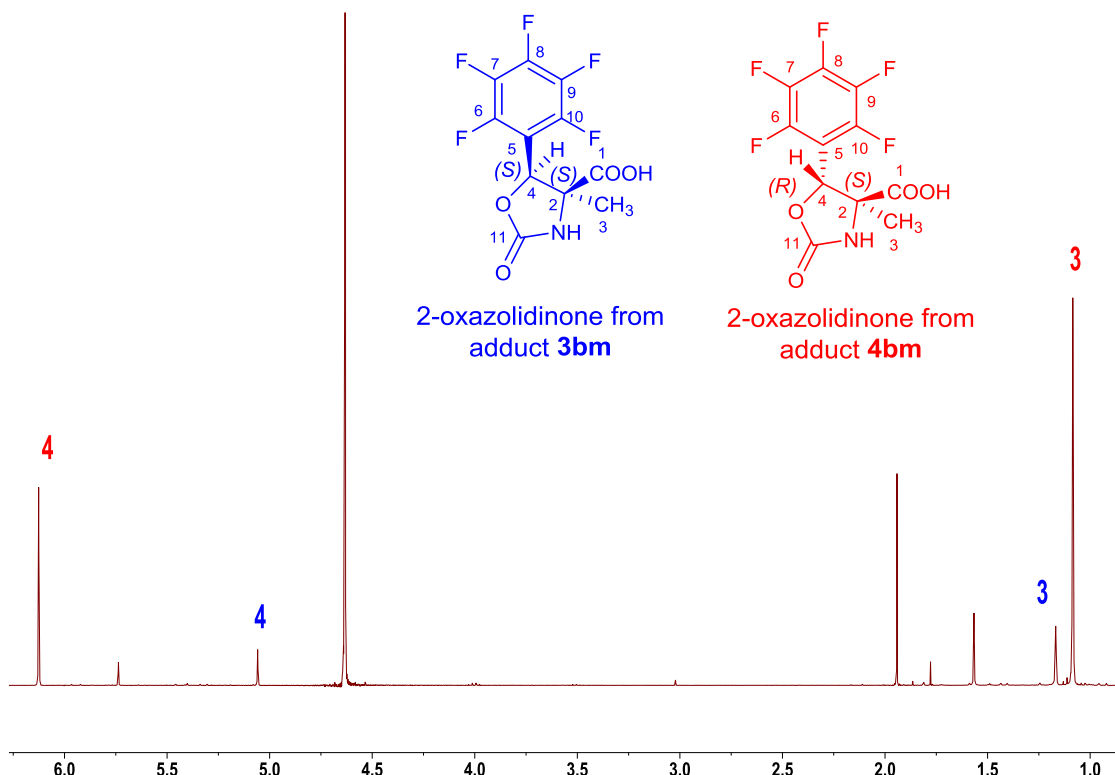
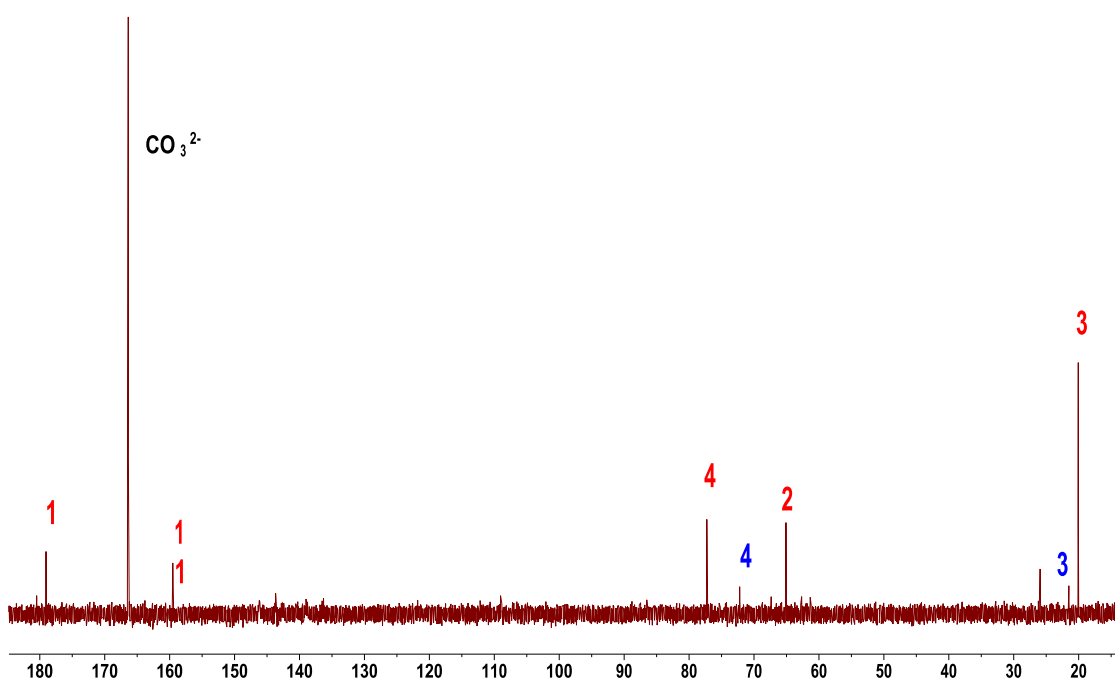


Figura63S(3.1). Espectros de RMN (D_2O) de las oxazolidin-2-onas derivadas de **3bm** y **4bm** de la adición aldólica catalizada por SHMT_{Sth} nativa: a) 1H ; b) ^{13}C ; c) 2D 1H - 1H COSY, d) HSQC y e) NOESY.

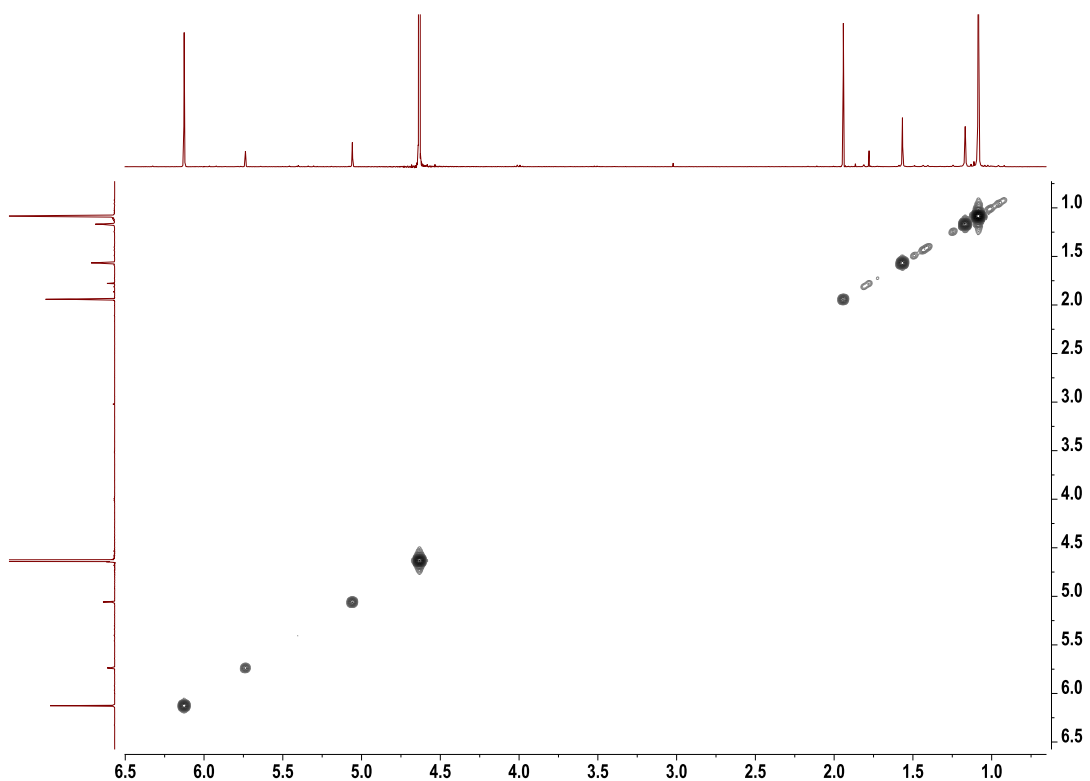
a)



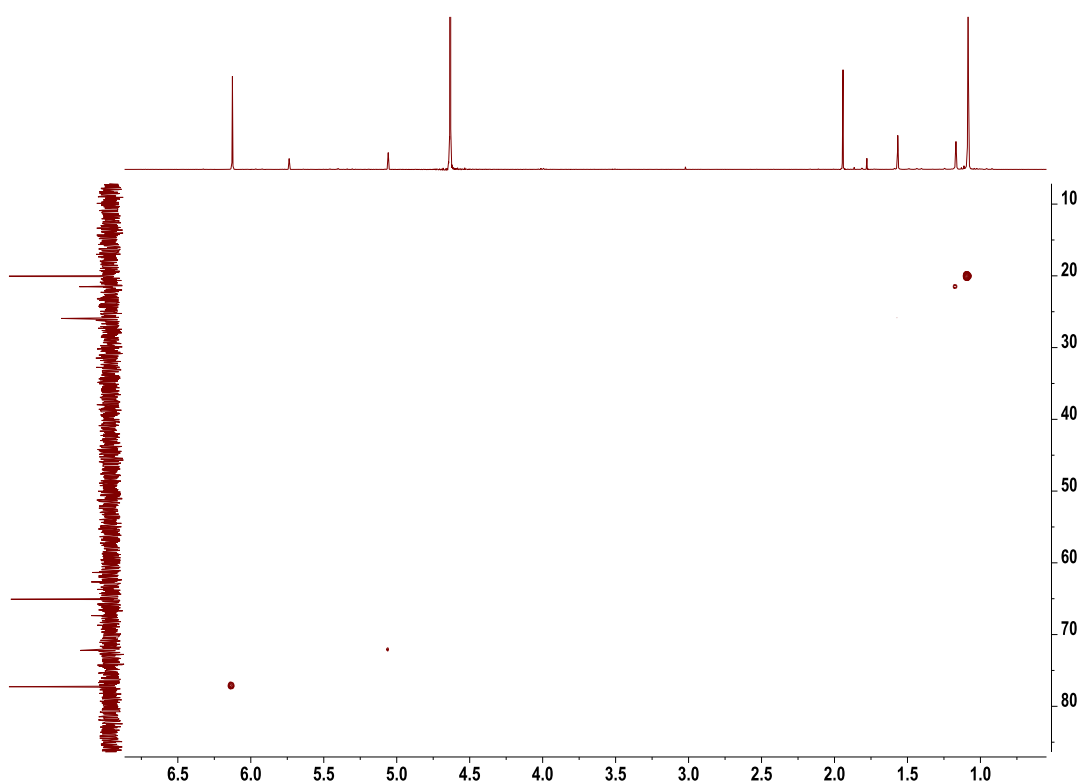
b)



c)



d)



e)

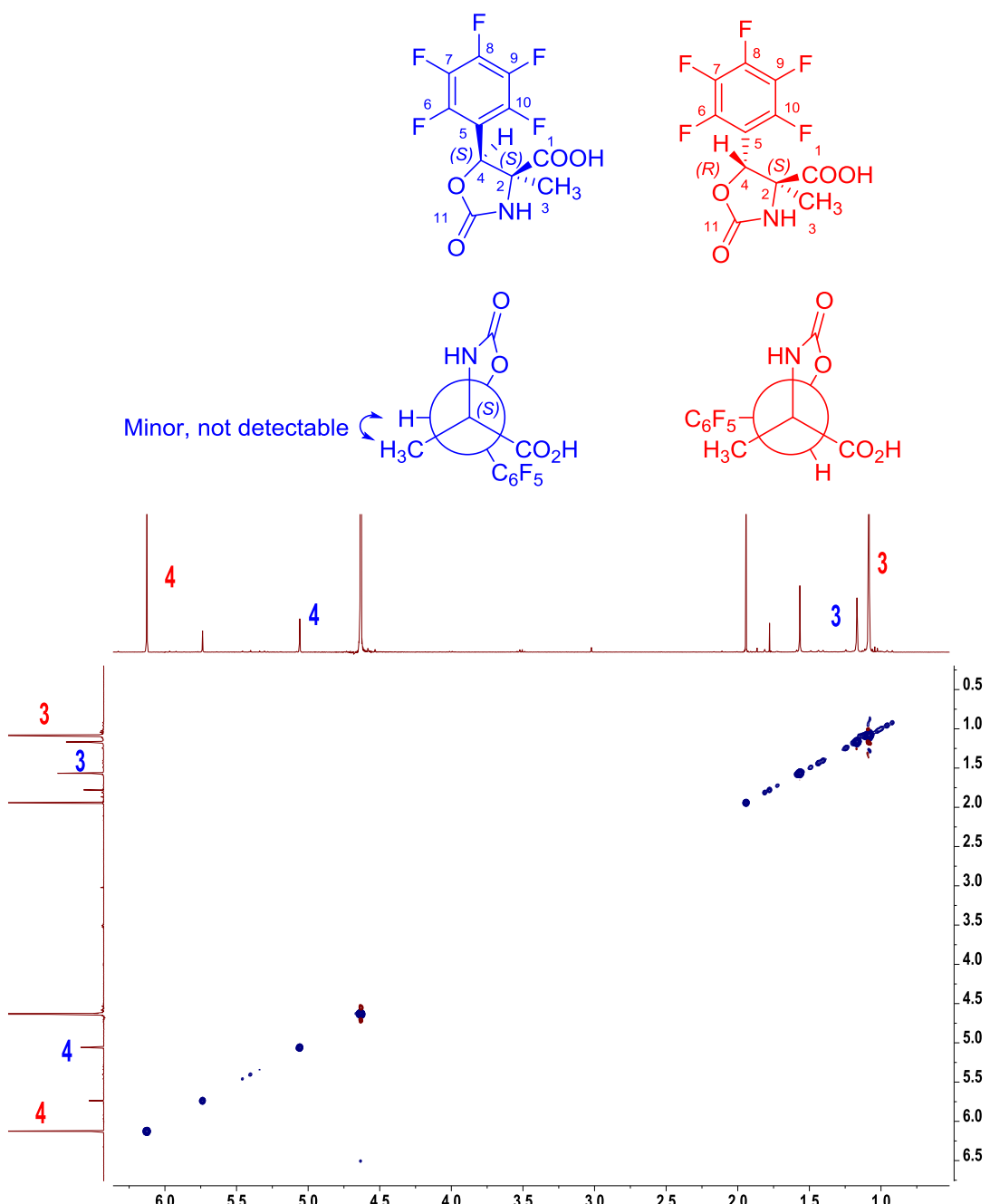
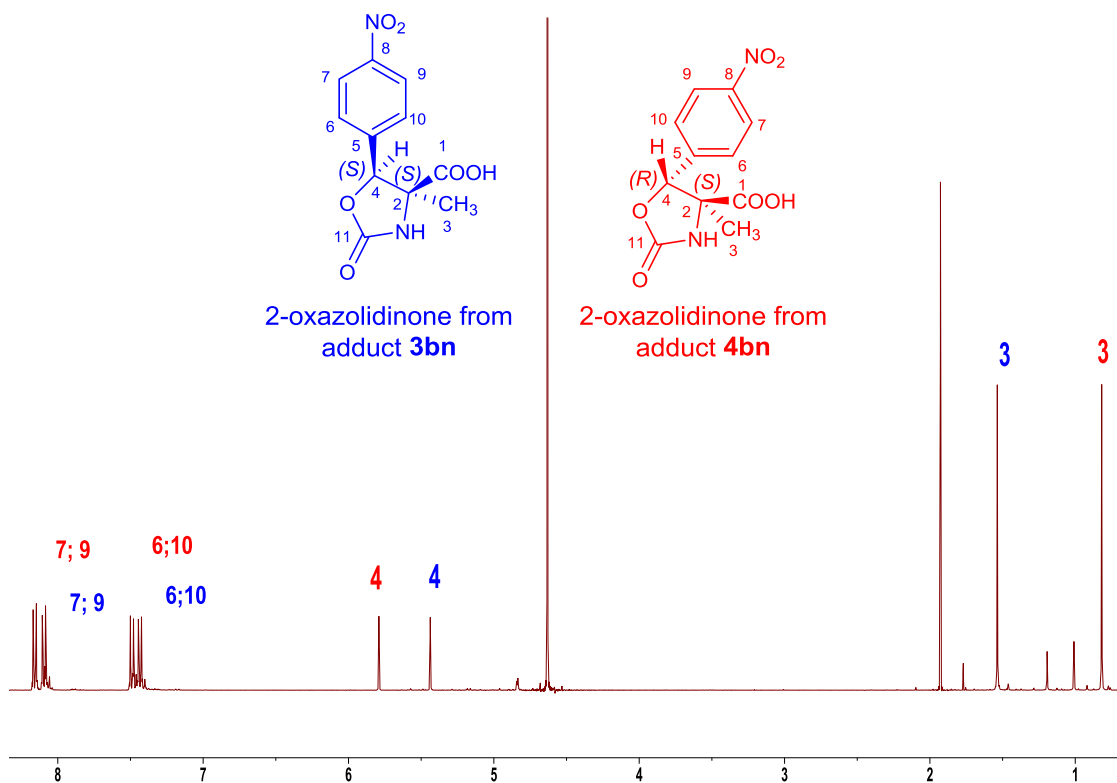
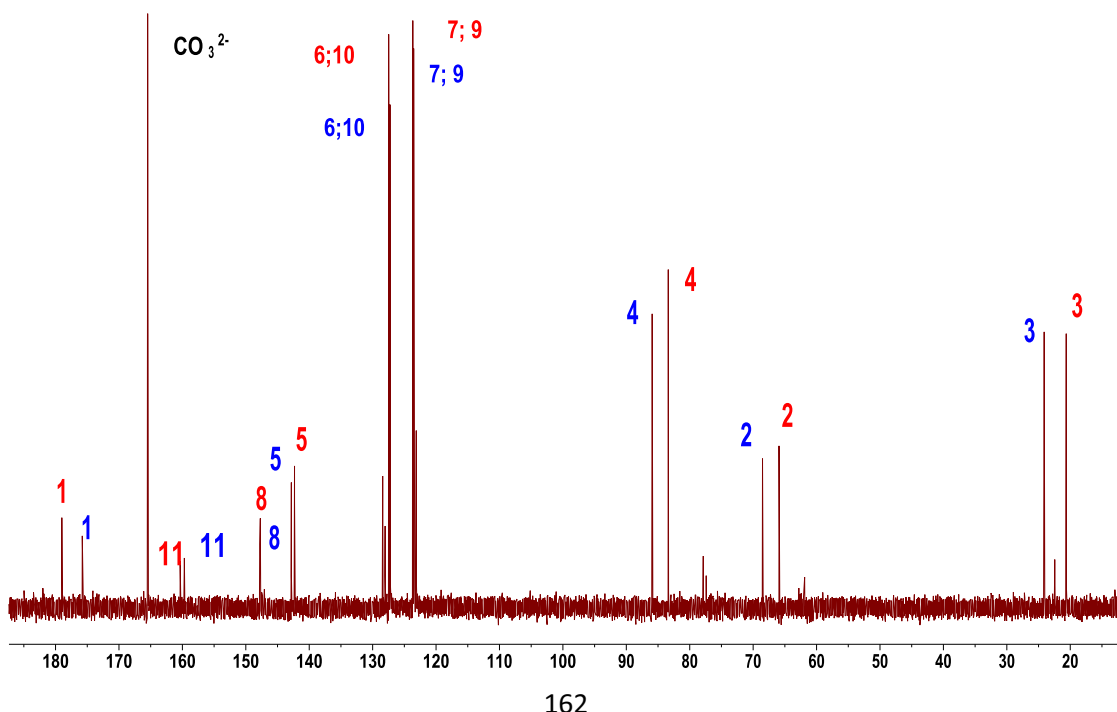


Figura64S(3.1). Espectros de RMN(D_2O) de las oxazolidin-2-onas derivadas de **3bn** y **4bn** de la adición aldólica catalizada por SHMT_{Sth} nativa: a) 1H ; b) ^{13}C ; c) 2D 1H - 1H COSY, d) HSQC, e) NOESY y f) 1D-NOESY selectivo.

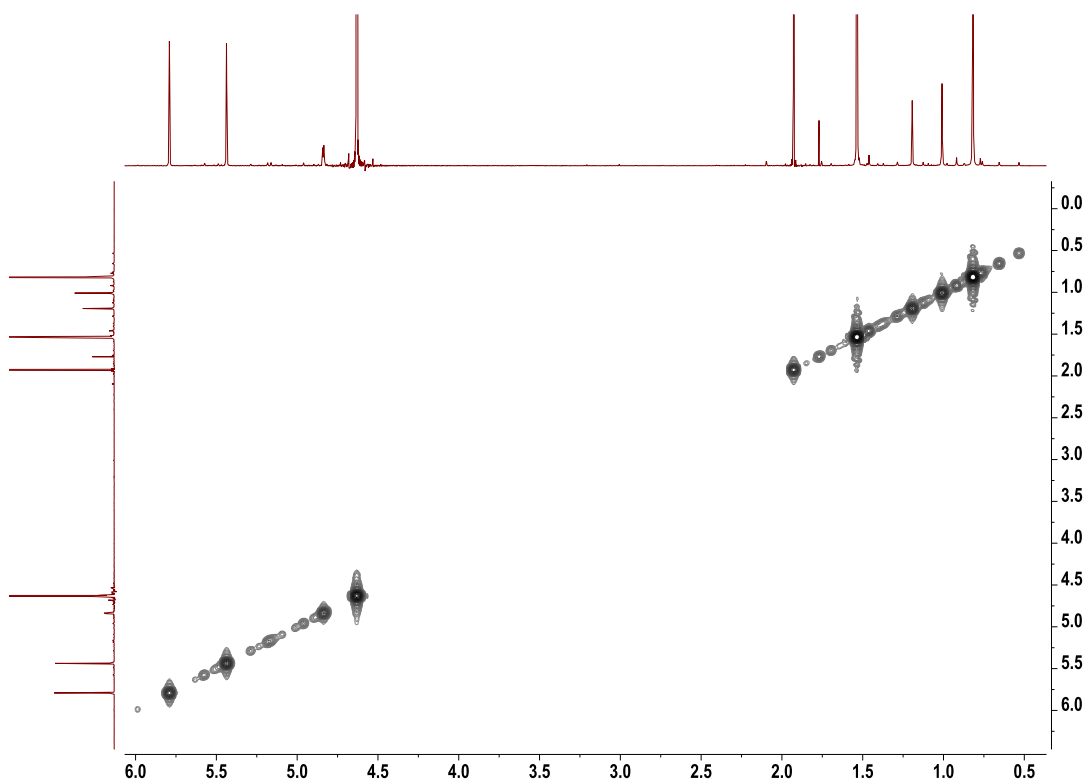
a)



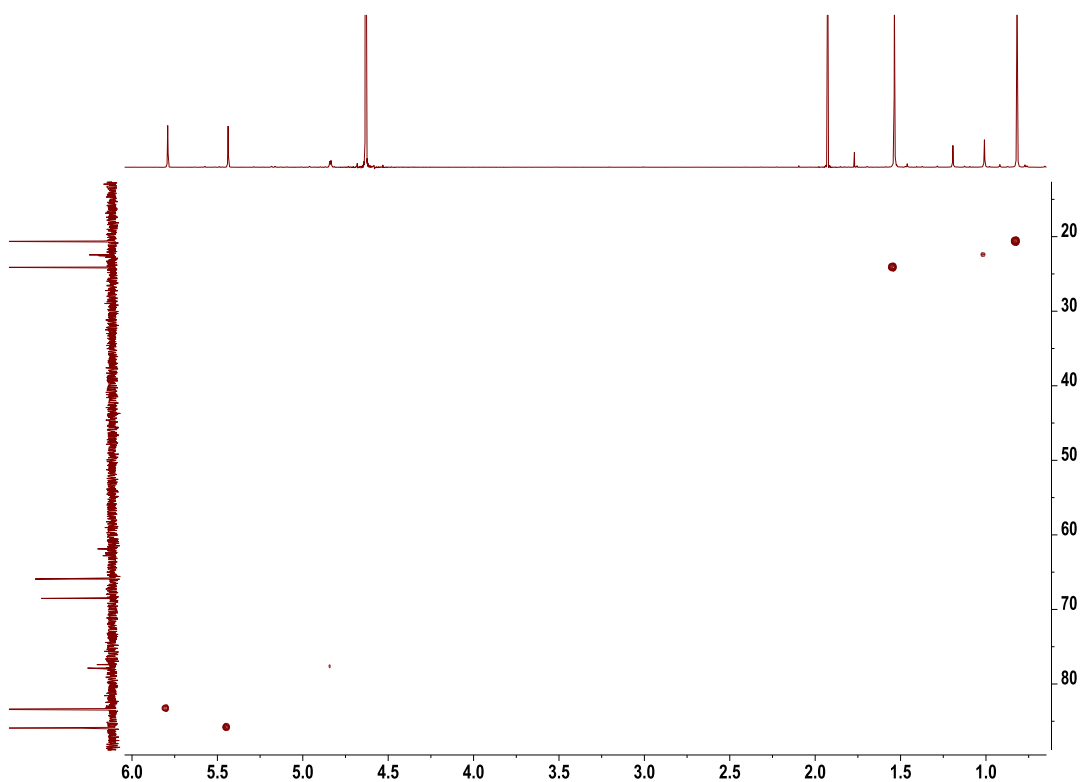
b)



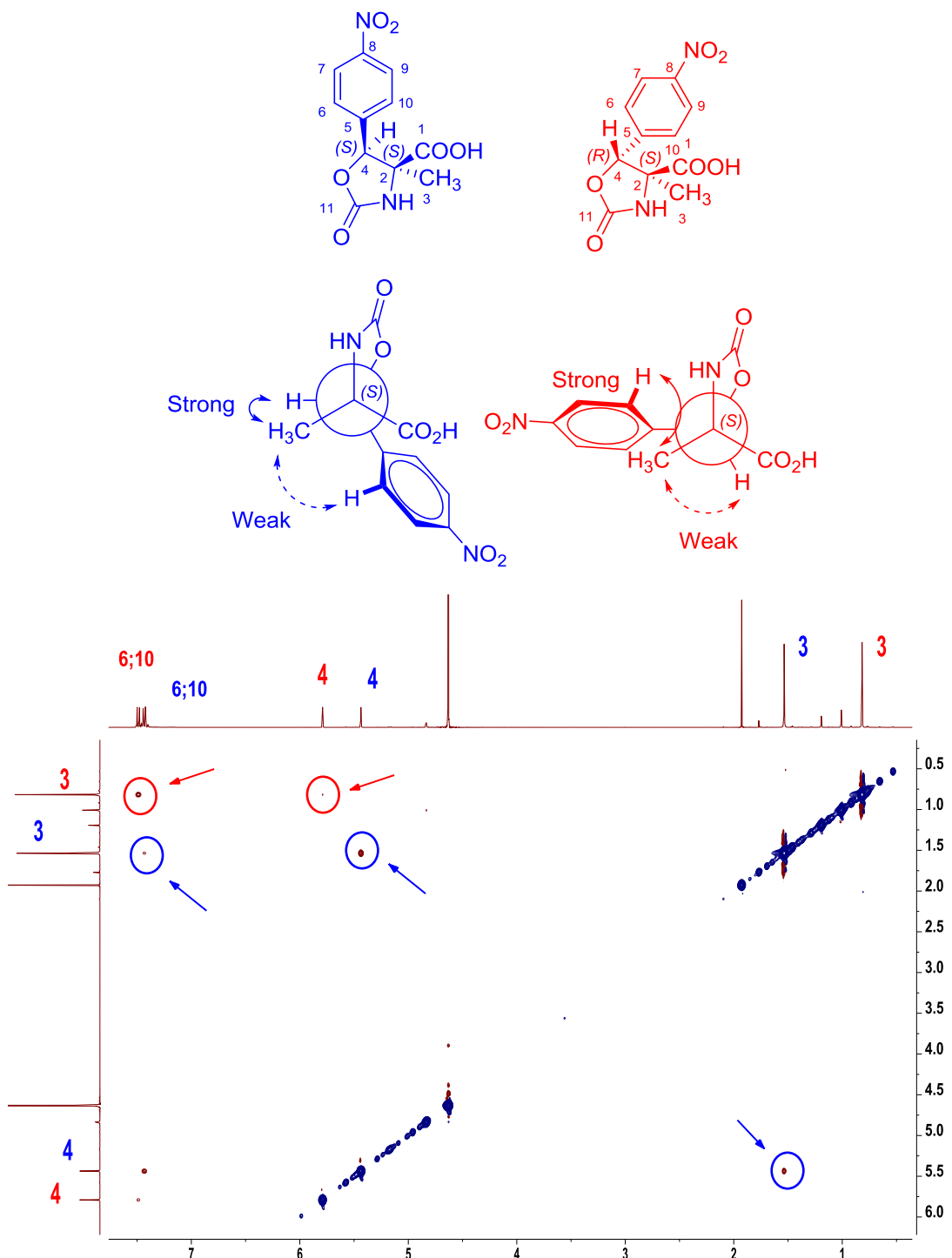
c)



d)



e)



f)

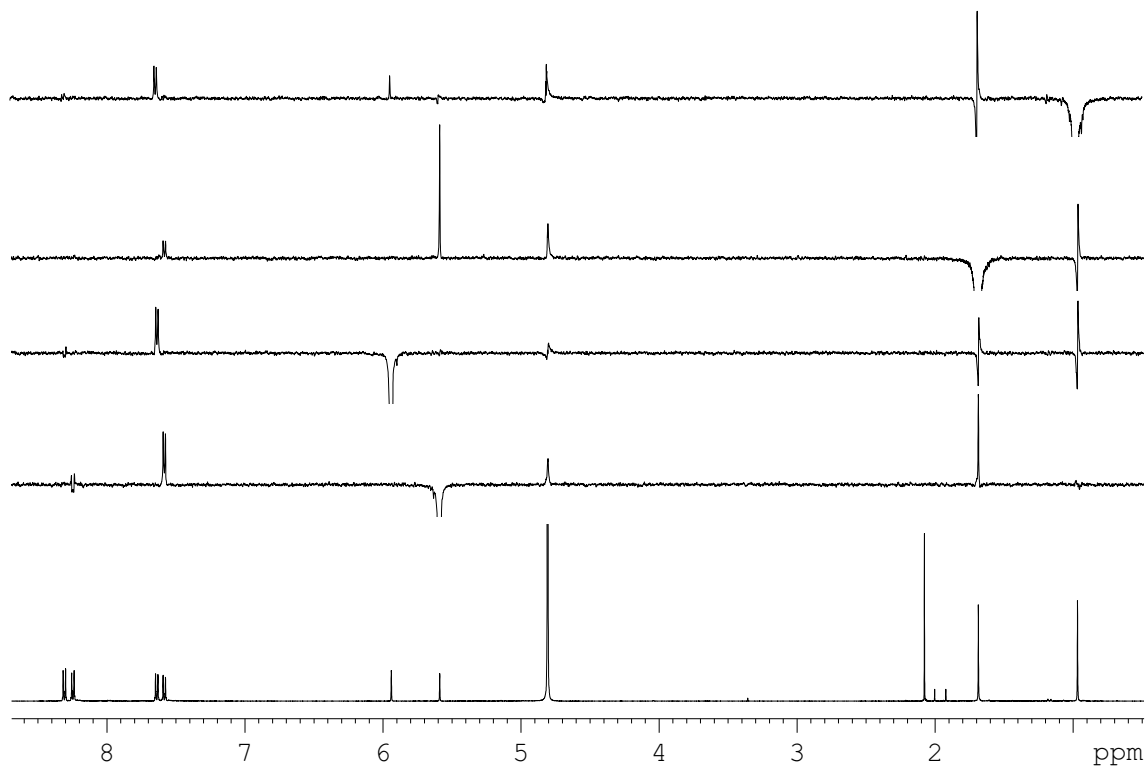


Tabla 9S(3.1). Desplazamiento químico (ppm) de ^1H y ^{13}C de las oxazolidin-2-ones derivadas de **3b** y **4b**.

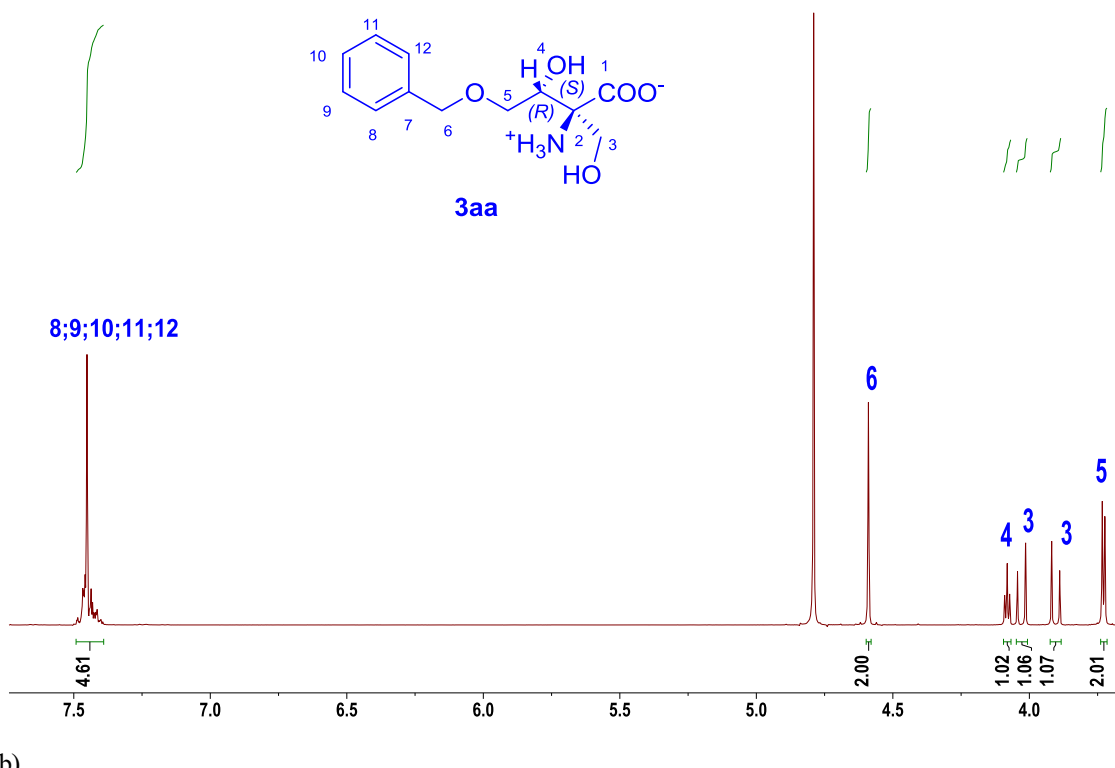
R¹	SHMT	δH_3	δC_3	δH_4	δC_4	NOE (H₃-H₄)	δH_3	δC_3	δH_4	δC_4	NOE (H₃-H₄)	RMN solvent
BnOCH ₂ (3ba)	Y55T	1.56	20.52	4.03	72.03	STRONG						CDCl ₃
BnO(CH ₂) ₃ (3bb)	Y55T	1.56	21.11	3.71	74.25	STRONG						CDCl ₃
CbzNHCH ₂ (3bc)	Y55T	1.54	19.46	4.74	76.22	STRONG						CDCl ₃
CbzNH(CH ₂) ₂ (3bd)	Y55T	1.60	21.67	3.72	70.73	STRONG						CDCl ₃
PhCH ₂ (3bg, 4bg)	Y55T	1.65	21.16	3.95	75.12	STRONG	1.57	19.32	4.01	74.47	WEAK	CDCl ₃
Ph(CH ₂) ₂ (3bh, 4bh)	Y55T	1.52	20.30	3.70	74.23	STRONG	1.41	19.05	3.79	73.38	WEAK	CDCl ₃
PhOCH ₂ (3bi)	Y55T	1.65	20.95	4.24	72.18	STRONG						DMSO-d ₆
4-ClC ₆ H ₄ (3bk, 4bk)	Y55T	1.70	20.95	4.93	75.83	STRONG	1.36	20.40	4.96	75.11	WEAK	CDCl ₃
2-FC ₆ H ₄ (3bl, 4bl)	Y55T	1.64	20.14	5.28	70.24	STRONG	1.41	19.75	5.42	69.05	WEAK	CDCl ₃
4-O ₂ NC ₆ H ₄ (3bn)	Y55T	1.74	21.11	5.07	75.48	STRONG						CDCl ₃
BnOCH ₂ (3ba)	wild-type	1.55	20.52	4.02	72.13	STRONG						CDCl ₃
BnO(CH ₂) ₃ (3bb, 4bb)	wild-type	1.55	21.04	3.70	74.27	STRONG	1.40	18.91	3.77	73.74	WEAK	CDCl ₃
CbzNHCH ₂ (3bc)	wild-type	1.55	19.49	4.74	76.40	STRONG						CDCl ₃
CbzNH(CH ₂) ₂ (3bd)	wild-type	1.58	25.32	3.72	70.92	STRONG						CDCl ₃
Ph(CH ₂) ₂ (3bh, 4bh)	wild-type	1.52	20.55	3.72	74.02	STRONG	1.41	18.92	3.80	73.25	WEAK	CDCl ₃
PhOCH ₂ (3bi)	wild-type	1.65	20.84	4.24	72.23	STRONG						CDCl ₃
Ph (3bj, 4bj)	wild-type	1.66	24.41	5.45	87.56	STRONG	0.99	20.48	5.83	84.79	WEAK	D ₂ O ^[a]
4-ClC ₆ H ₄ (3bk, 4bk)	wild-type	1.64	24.21	5.43	86.57	STRONG	0.96	20.59	5.80	84.03	WEAK	D ₂ O ^[a]
2-FC ₆ H ₄ (3bl, 4bl)	wild-type	1.68	24.35	5.76	81.70	STRONG	1.06	19.68	6.07	80.57	WEAK	D ₂ O ^[a]
C ₆ F ₅ (3bm, 4bm)	wild-type	1.32	21.64	5.22	72.09		1.24	19.94	6.29	77.22	WEAK	D ₂ O ^[a]
4-O ₂ NC ₆ H ₄ (3bn, 4bn)	wild-type	1.69	24.29	5.60	85.82	STRONG	0.98	20.56	5.95	83.41	WEAK	D ₂ O ^[a]

^[a]La oxazolidin-2-ona derivada de 4, para estos productos, es parcialmente soluble en CDCl₃, por ello se realizó los experimentos de RMN en D₂O.

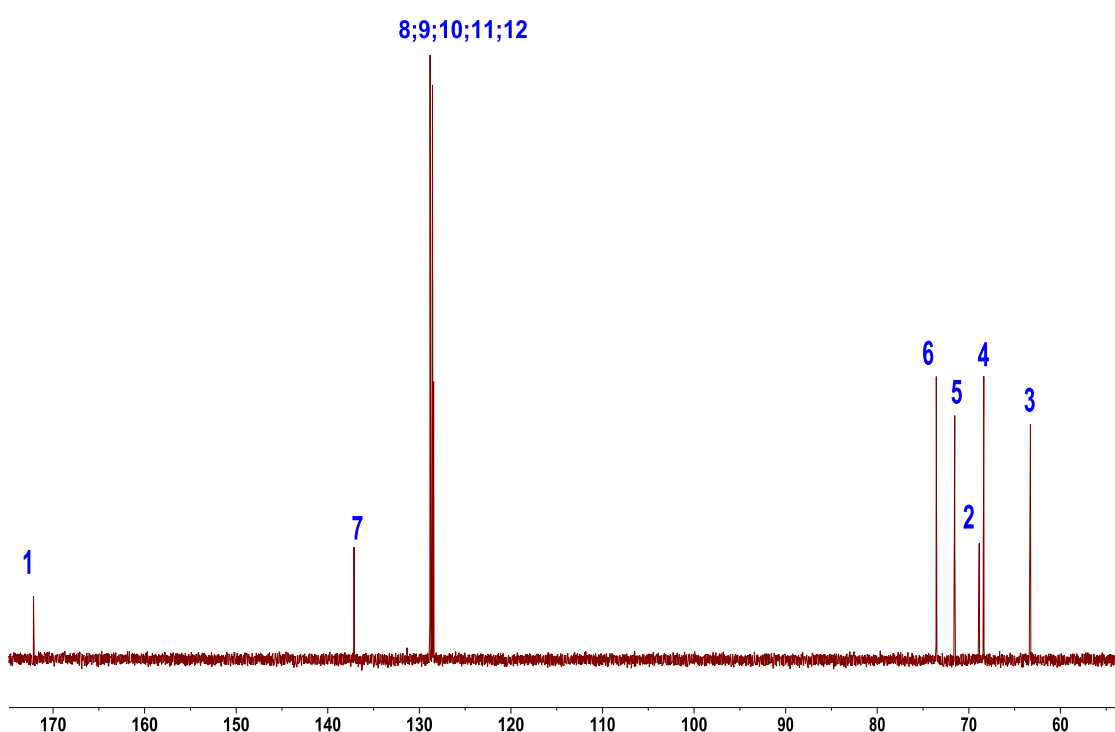
Figura65S(3.1). Espectros de RMN (D_2O) de **3aa** de la adición aldólica catalizada por SHMT_{Sth} Y55T:

a) 1H ; b) ^{13}C ; c) 2D 1H - 1H COSY, d) HSQC y e) 1D-NOESY selectivo.

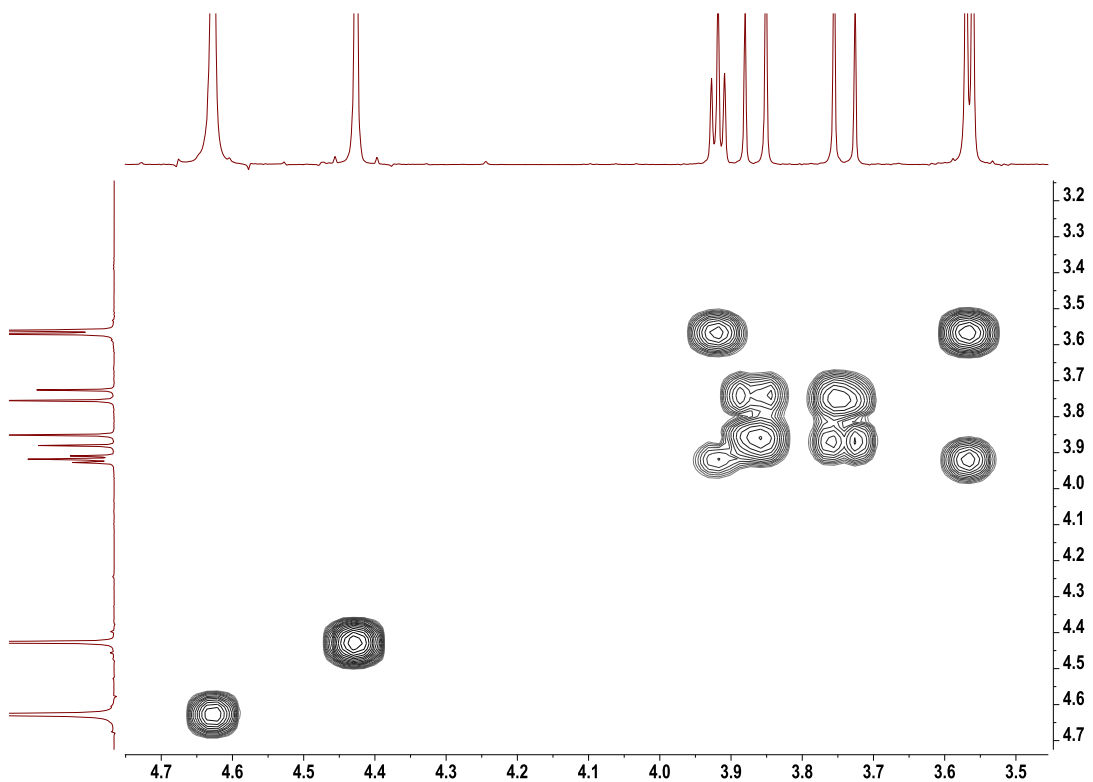
a)



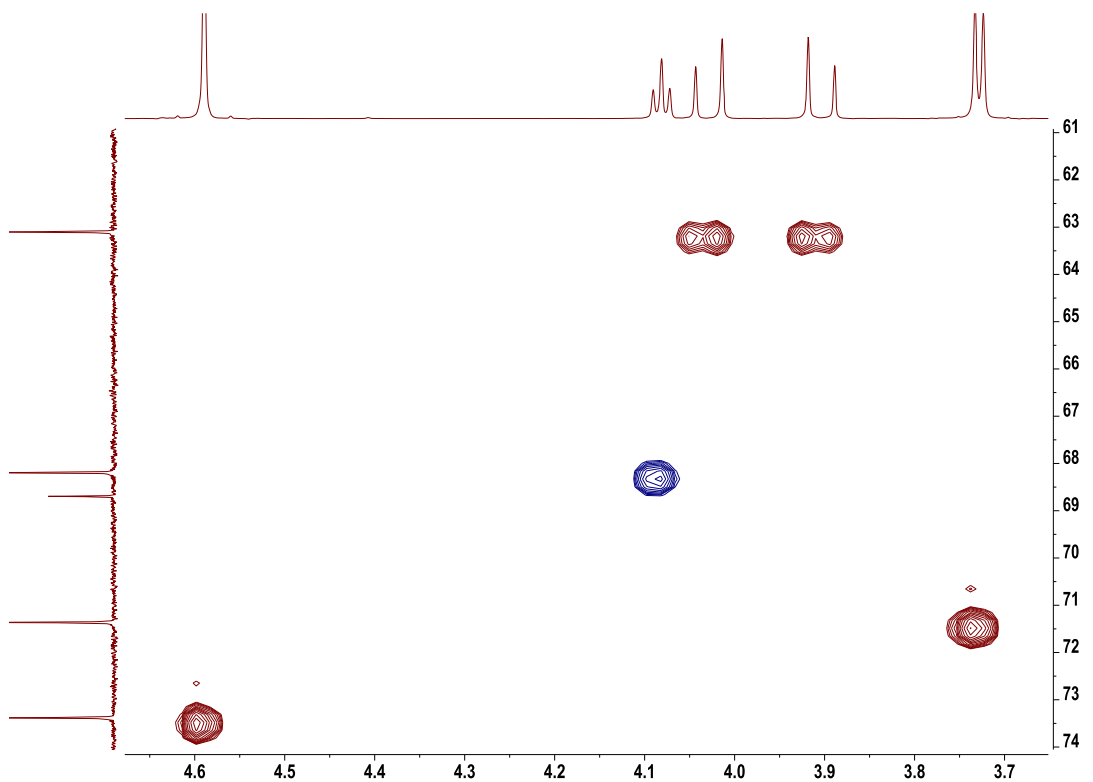
b)



c)



d)



e)

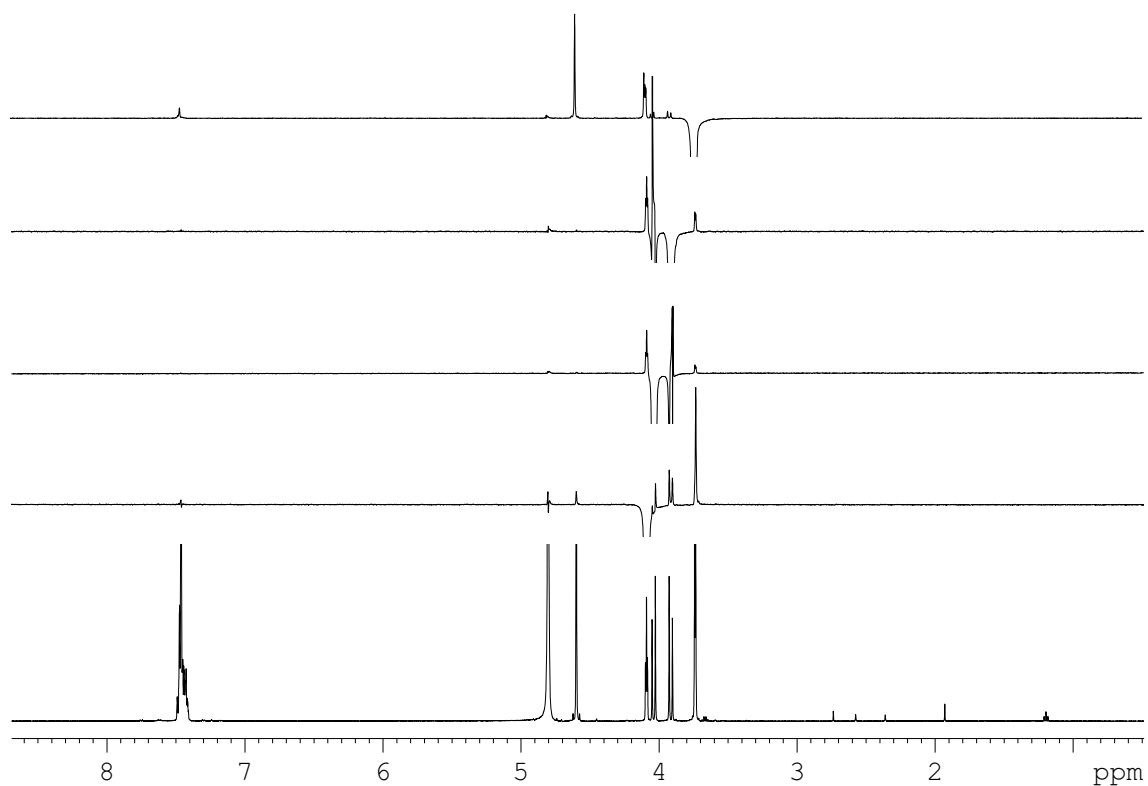
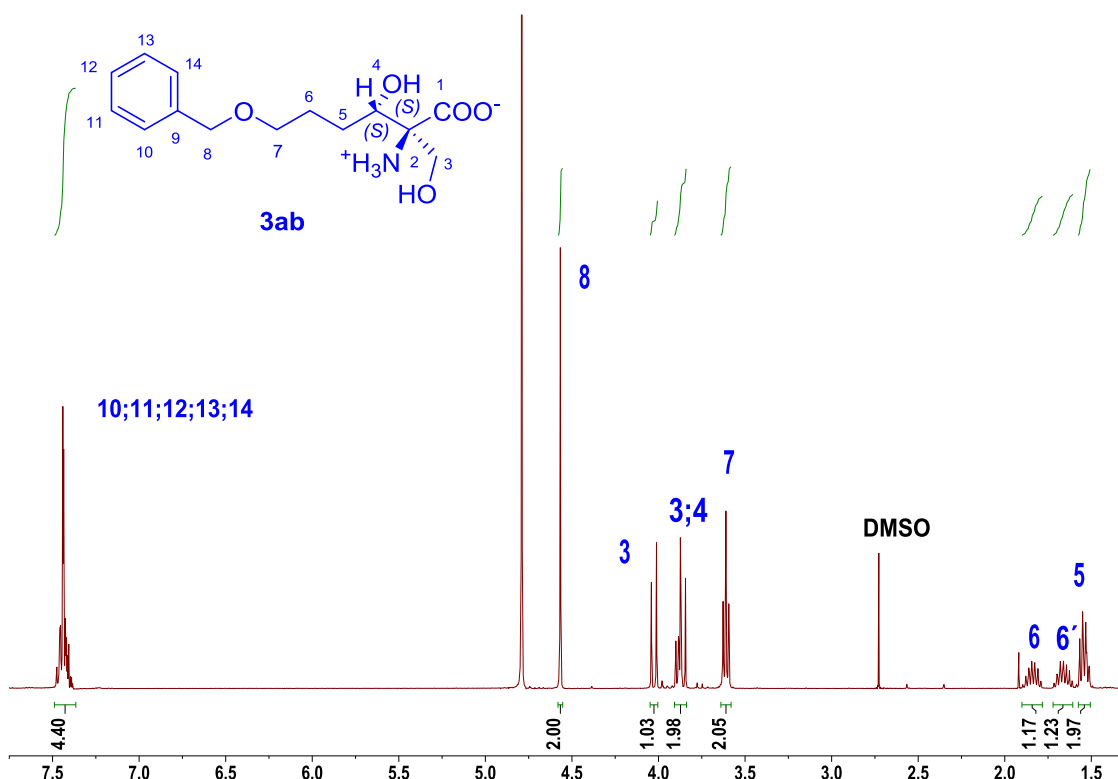
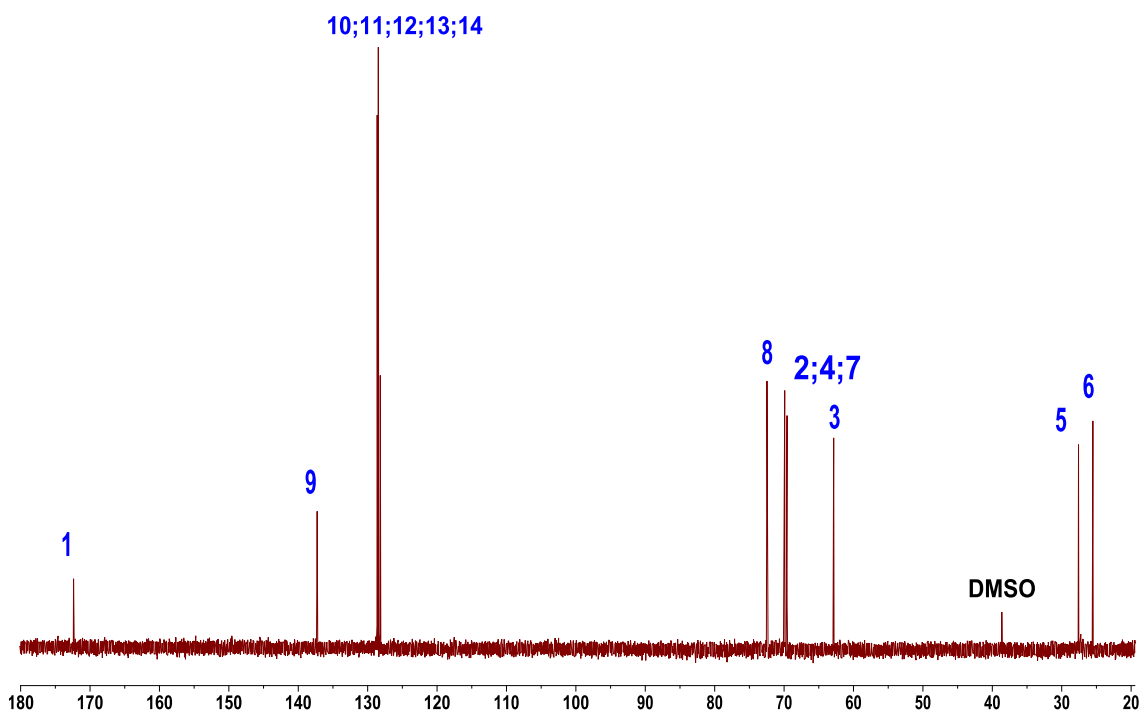


Figura66S(3.1). Espectros de RMN (D_2O) de **3ab** de la adición aldólica catalizada por SHMT_{Sth} Y55T: a) 1H ; b) ^{13}C ; c) 2D 1H - 1H COSY y d) HSQC.

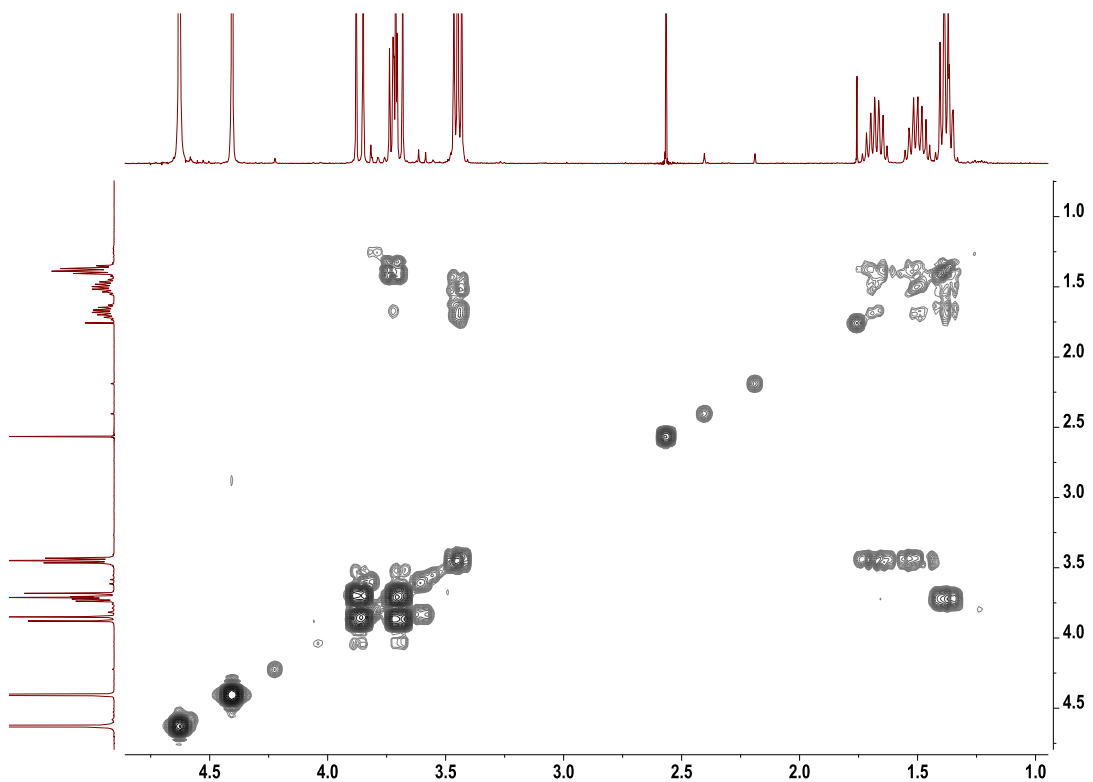
a)



b)



c)



d)

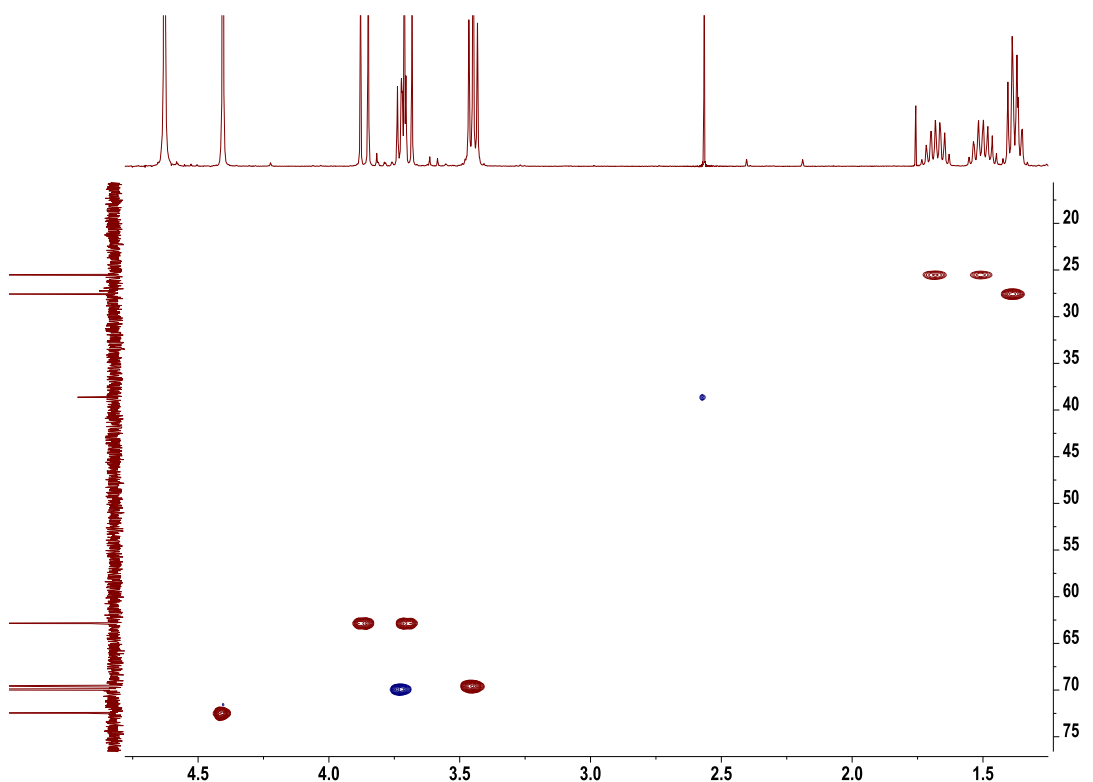
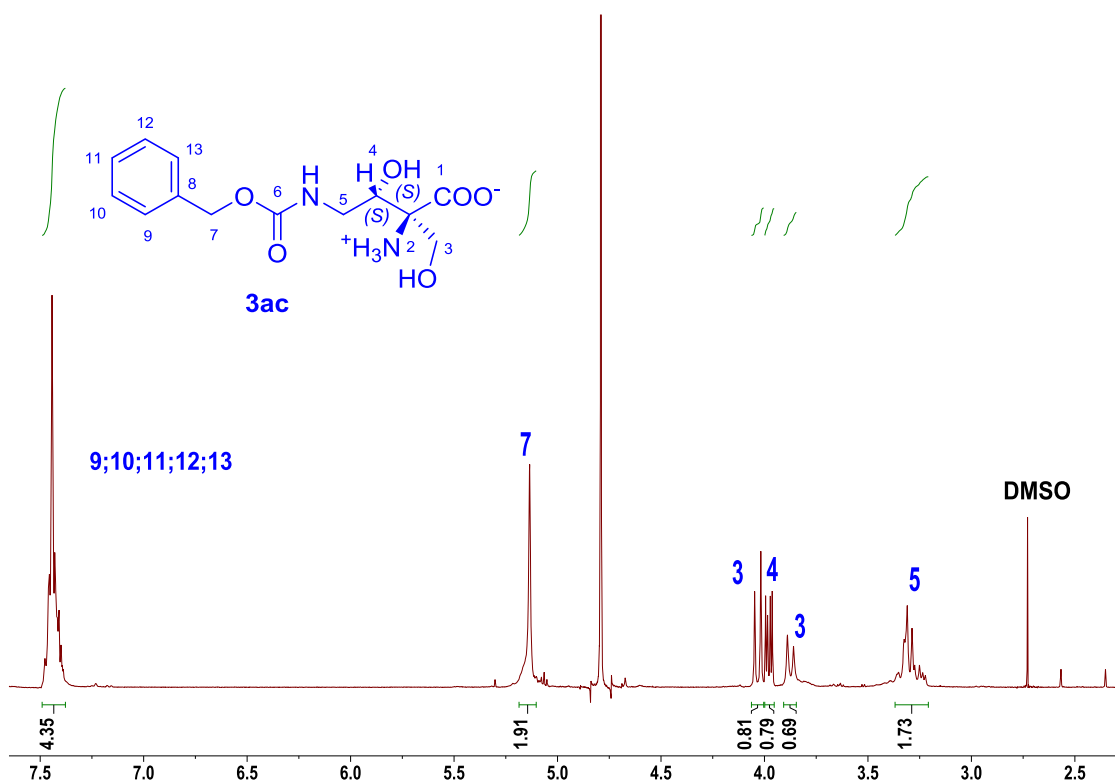
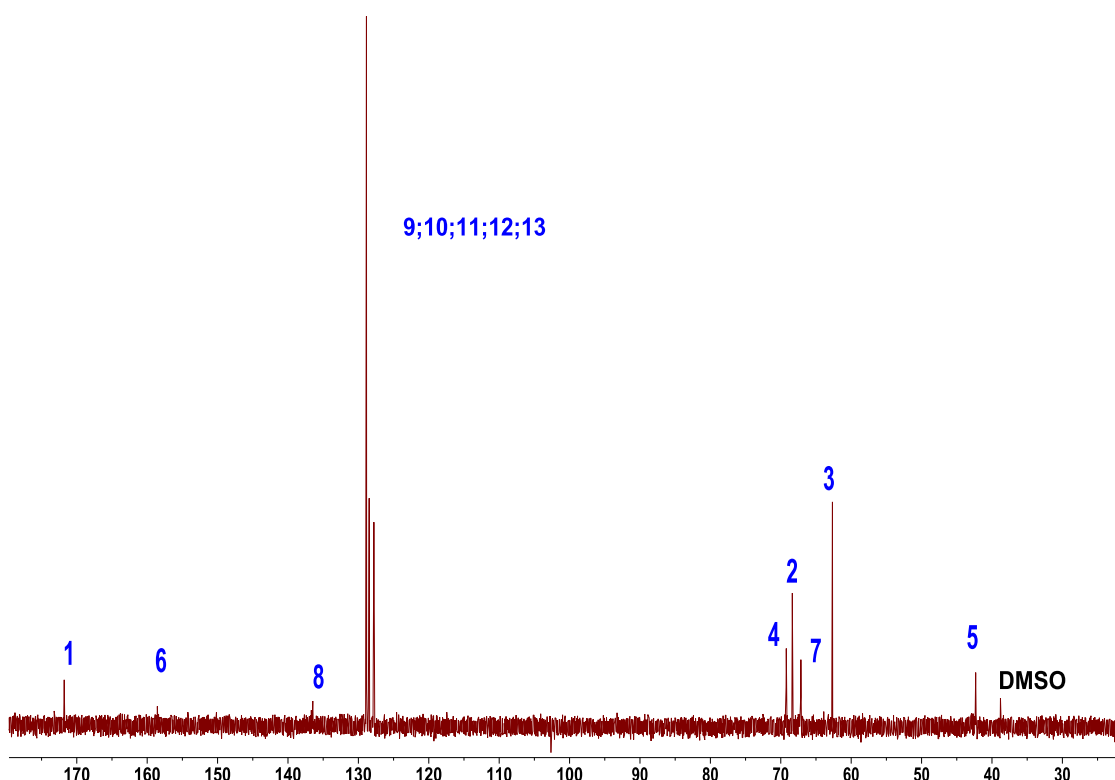


Figura 67S(3.1). Espectros de RMN (D_2O) de **3ac** de la adición aldólica catalizada por SHMT_{Sth} Y55T:
a) 1H ; b) ^{13}C ; c) 2D 1H - 1H COSY y d) HSQC.

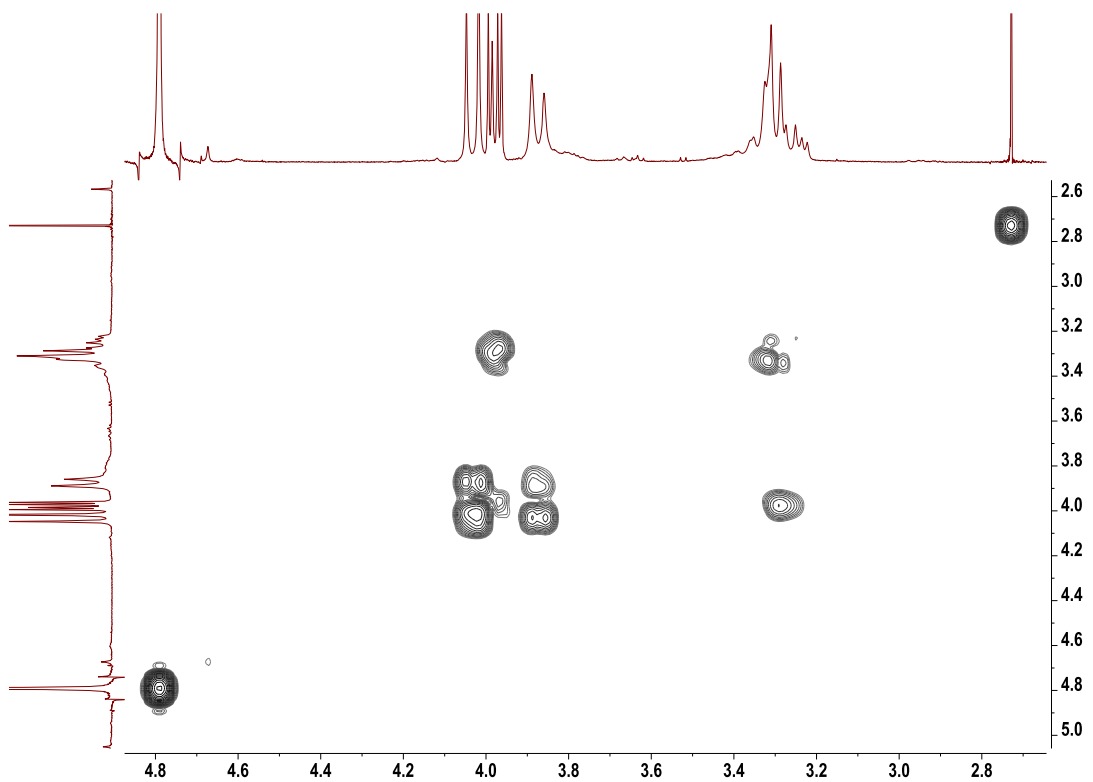
a)



b)



c)



d)

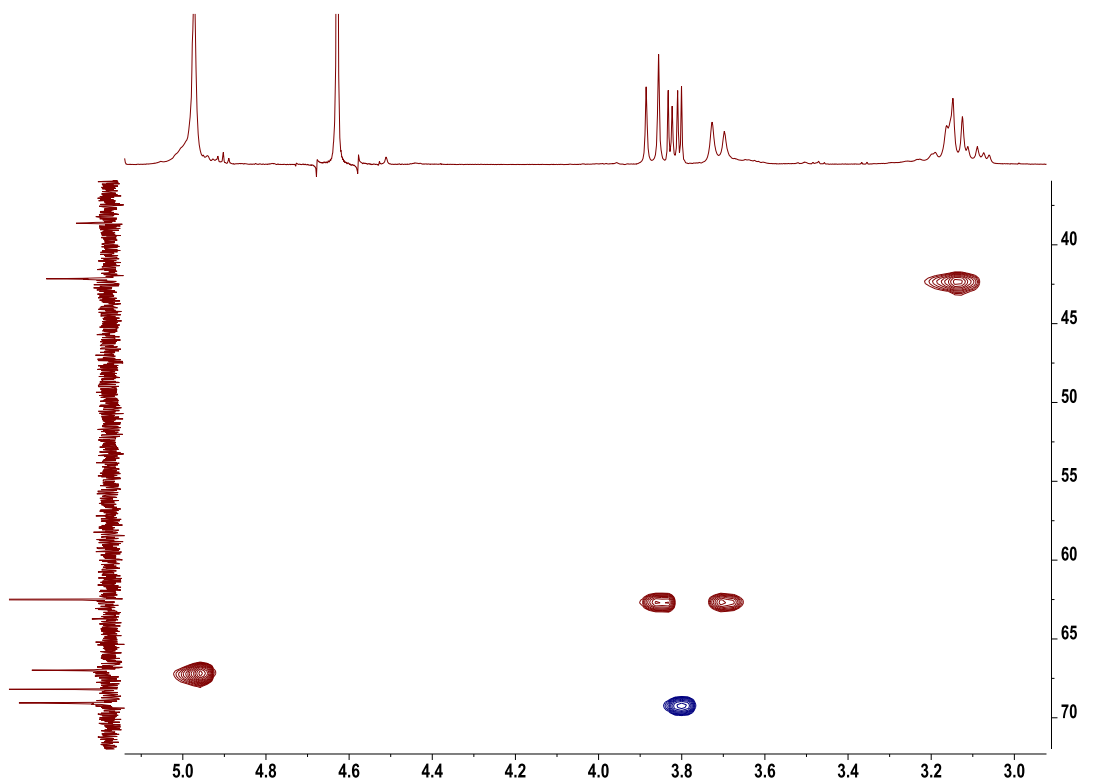
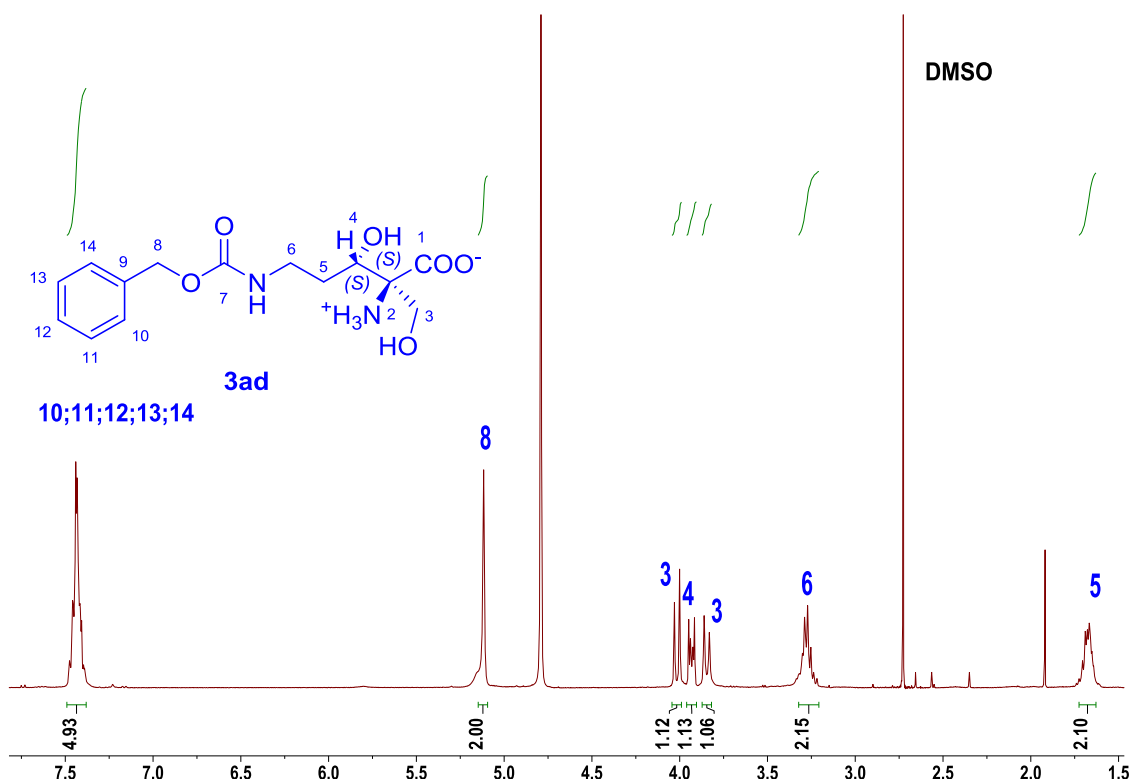


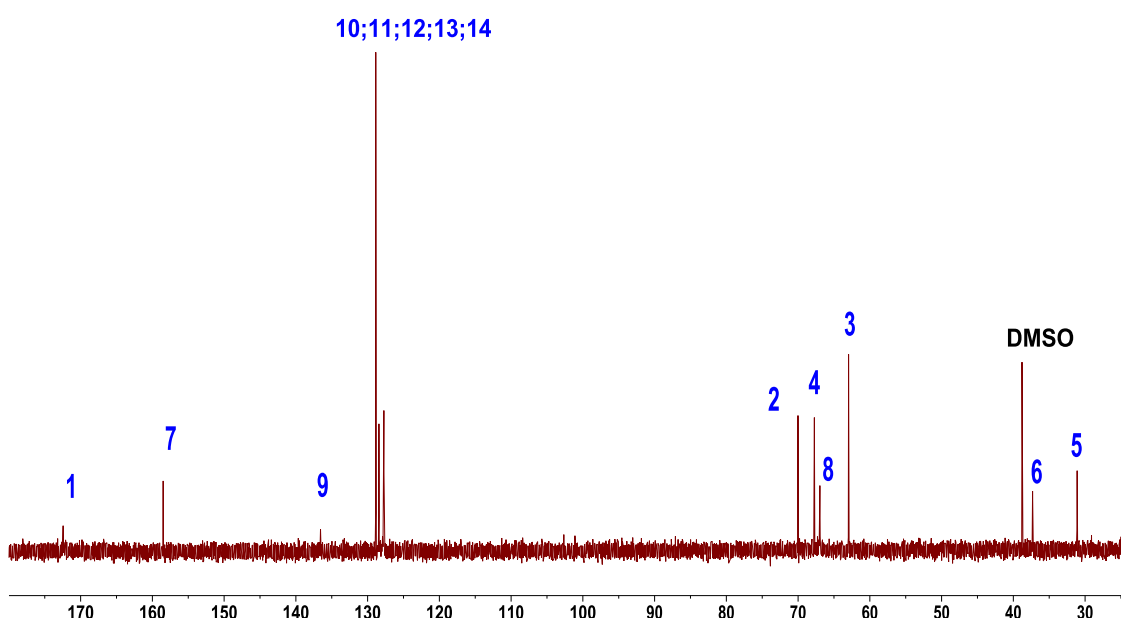
Figura68S(3.1). Espectros de RMN (D_2O) de 3ad de la adición aldólica catalizada por SHMT_{Sth} Y55T:

a) 1H ; b) ^{13}C ; c) 2D 1H - 1H COSY y d) HSQC.

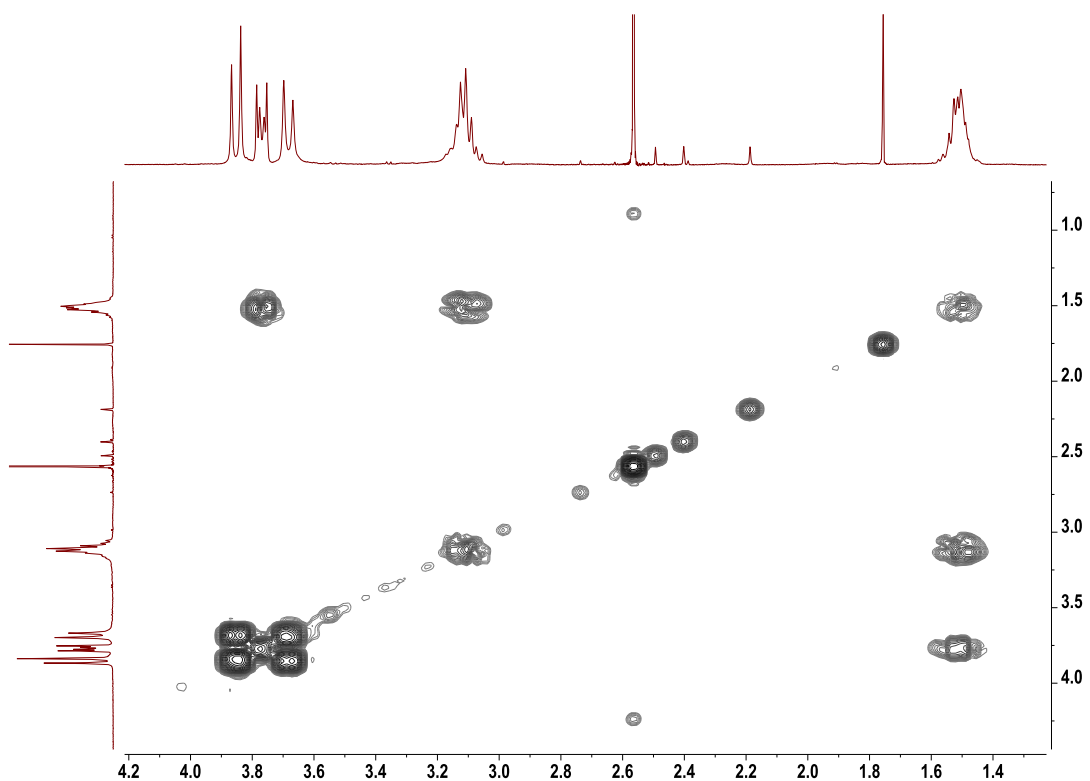
a)



b)



c)



d)

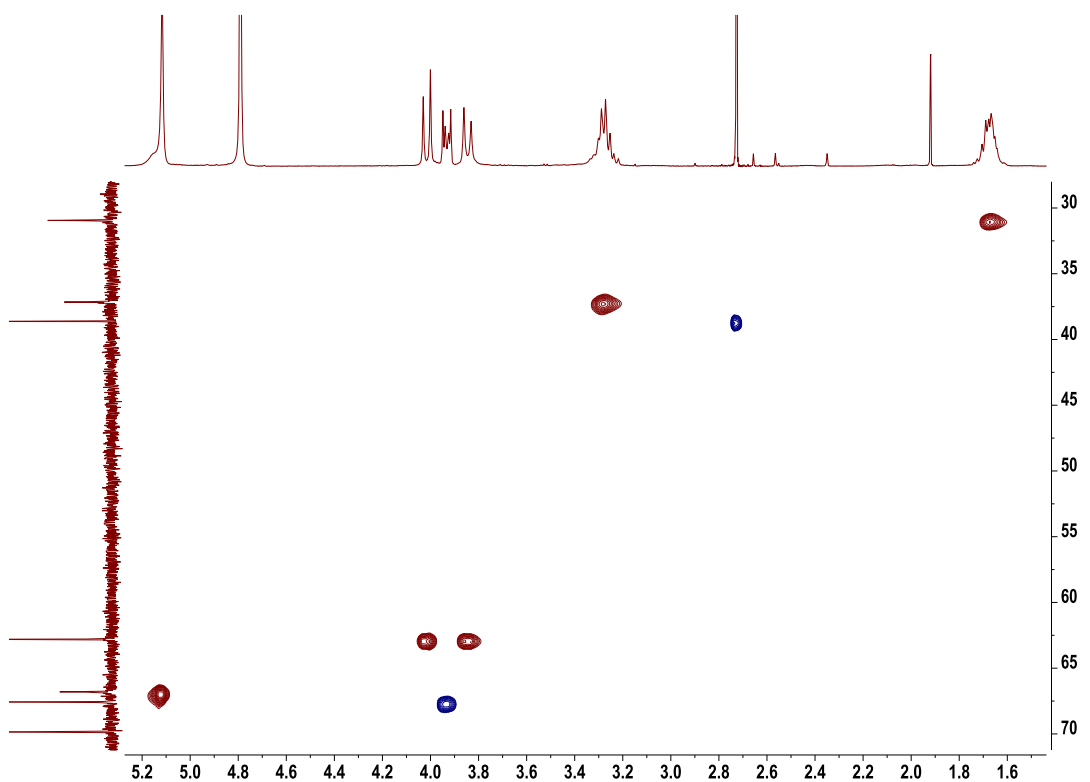
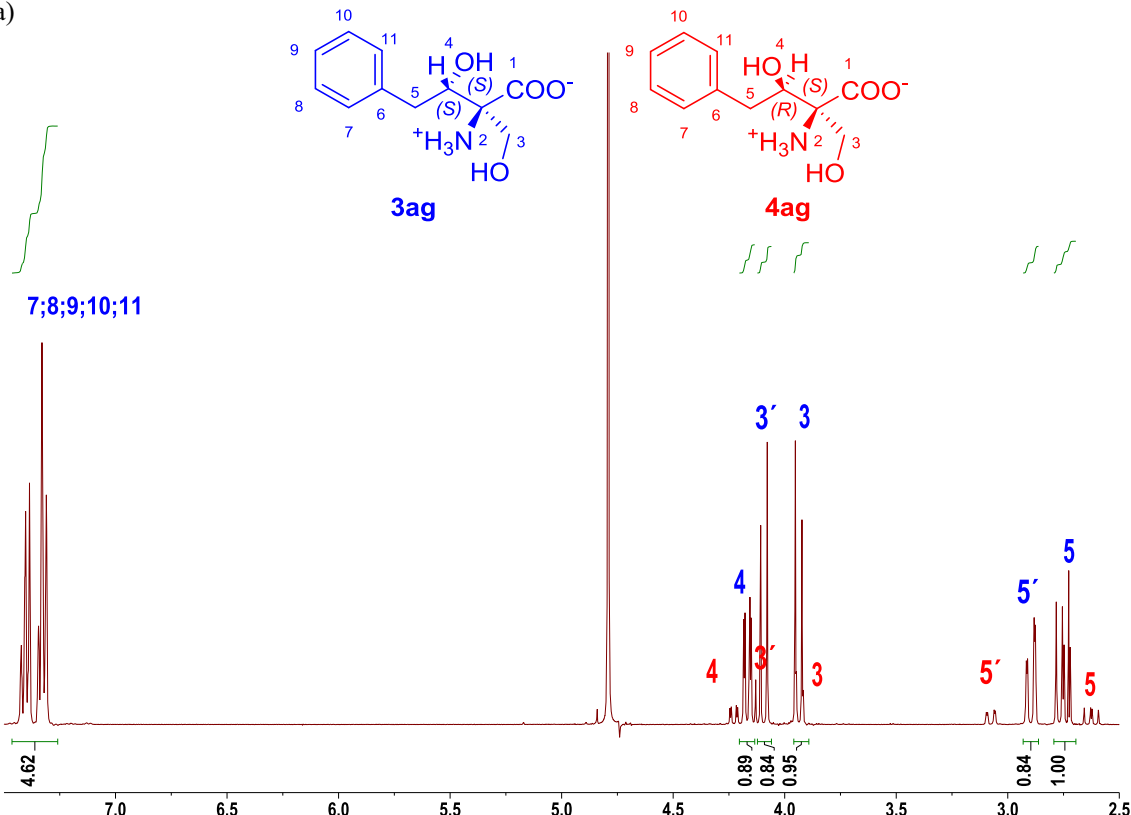
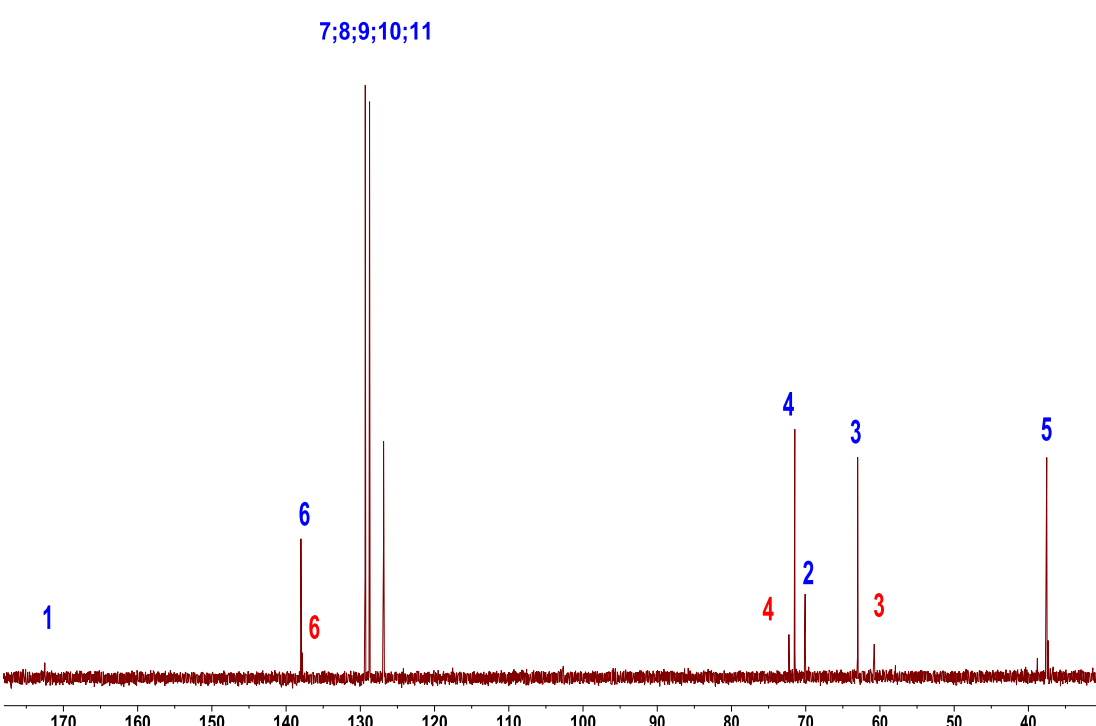


Figura69S(3.1). Espectros de RMN (D_2O) de **3ag** y **4ag** de la adición aldólica catalizada por SHMT_{Sth} Y55T; a) 1H ; b) ^{13}C ; c) 2D 1H - 1H COSY, d) HSQC y e) 1D-NOESY selectivo.

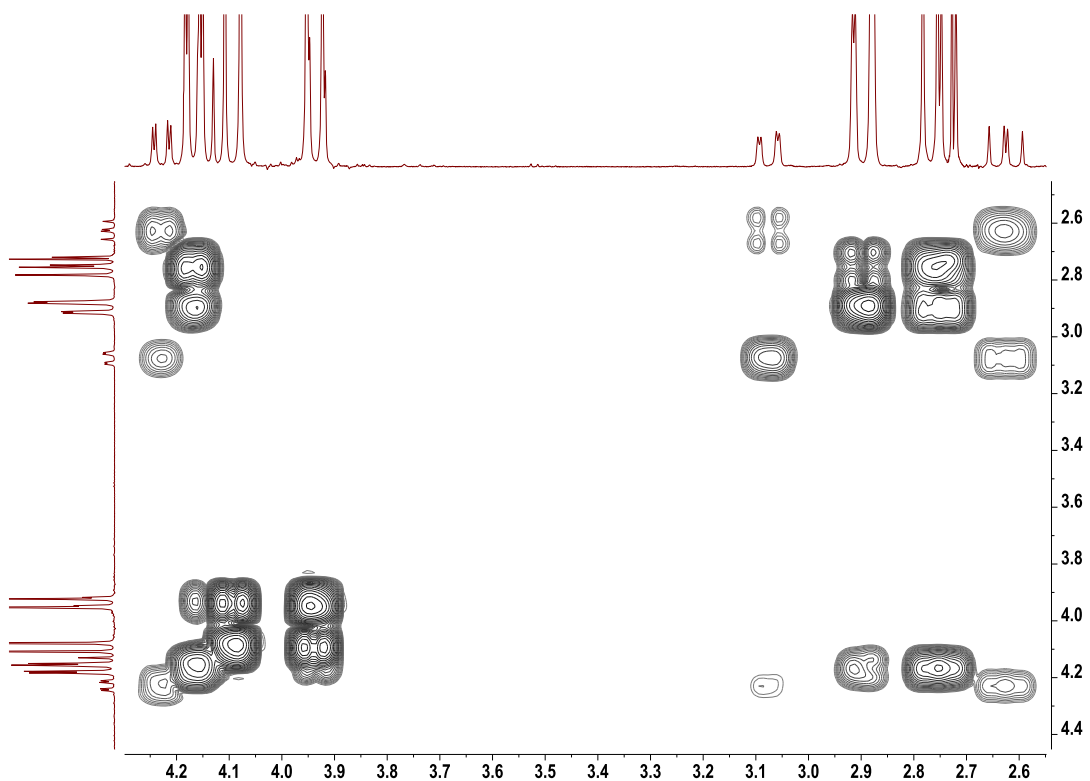
a)



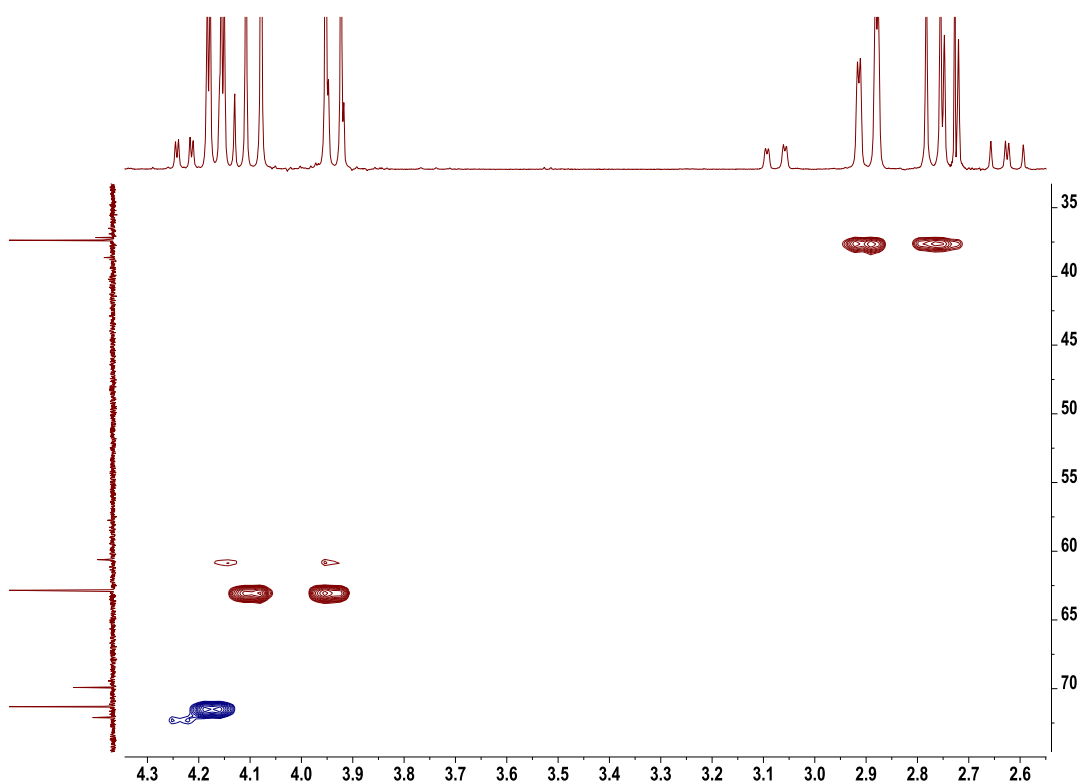
b)



c)



d)



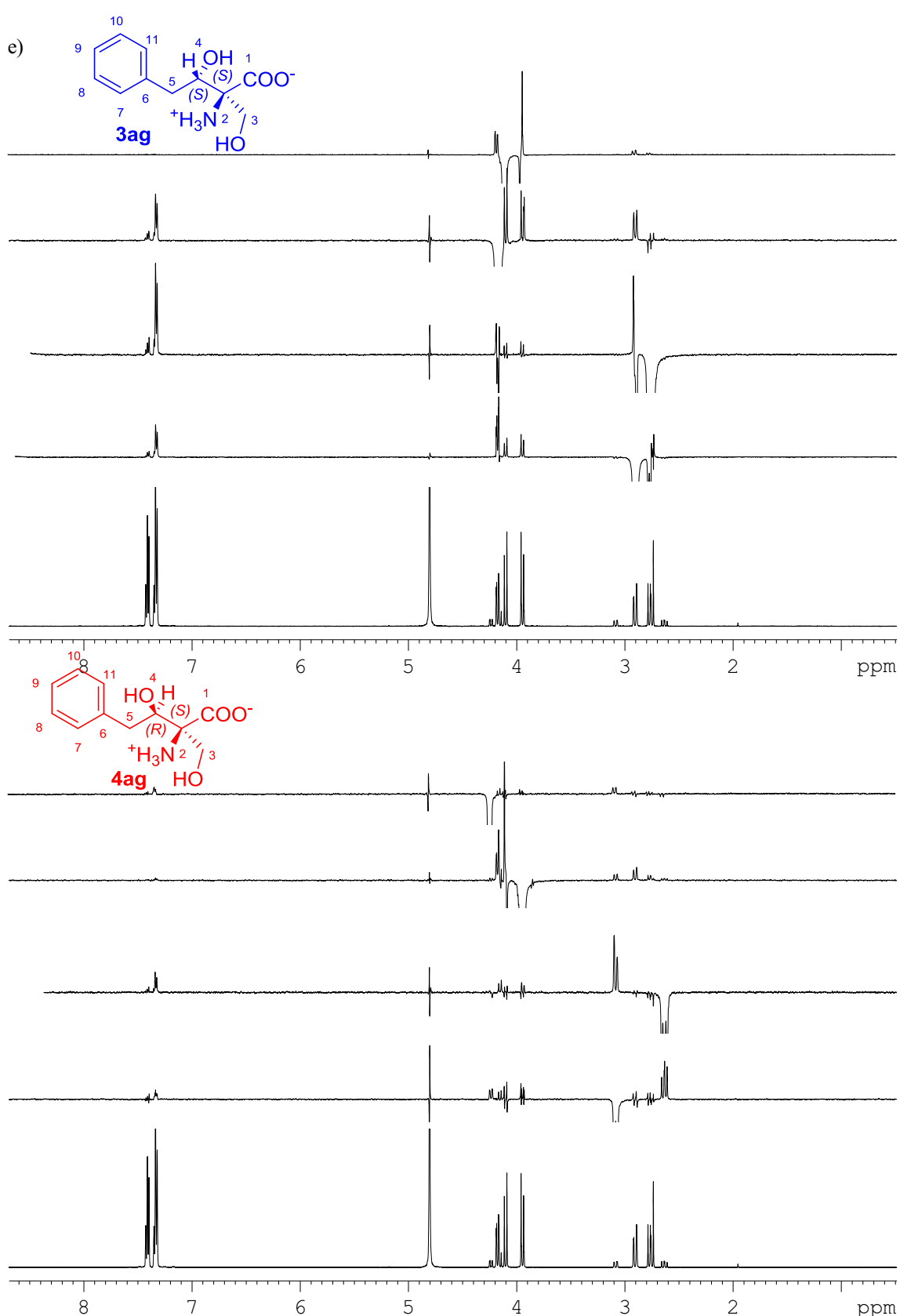
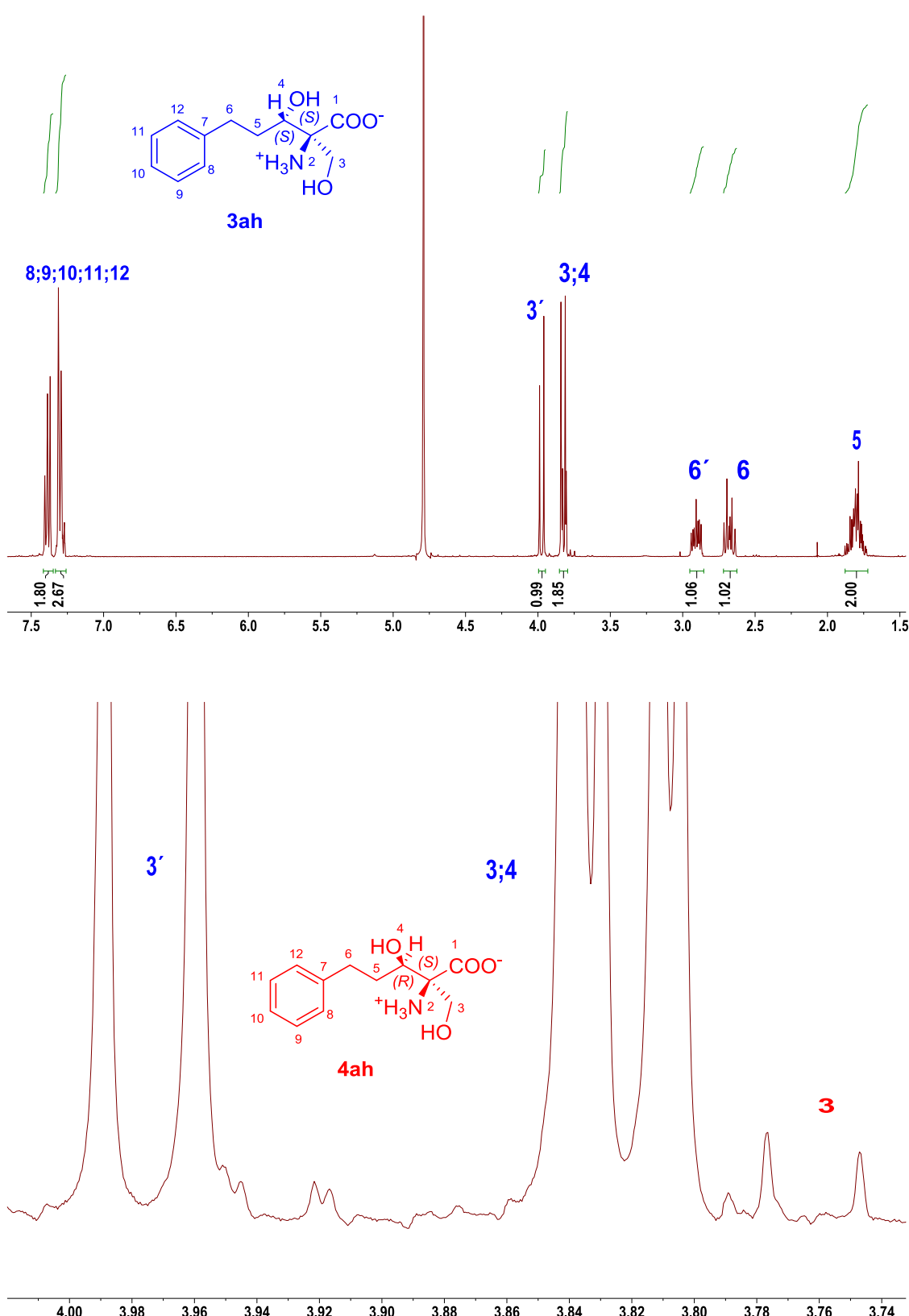
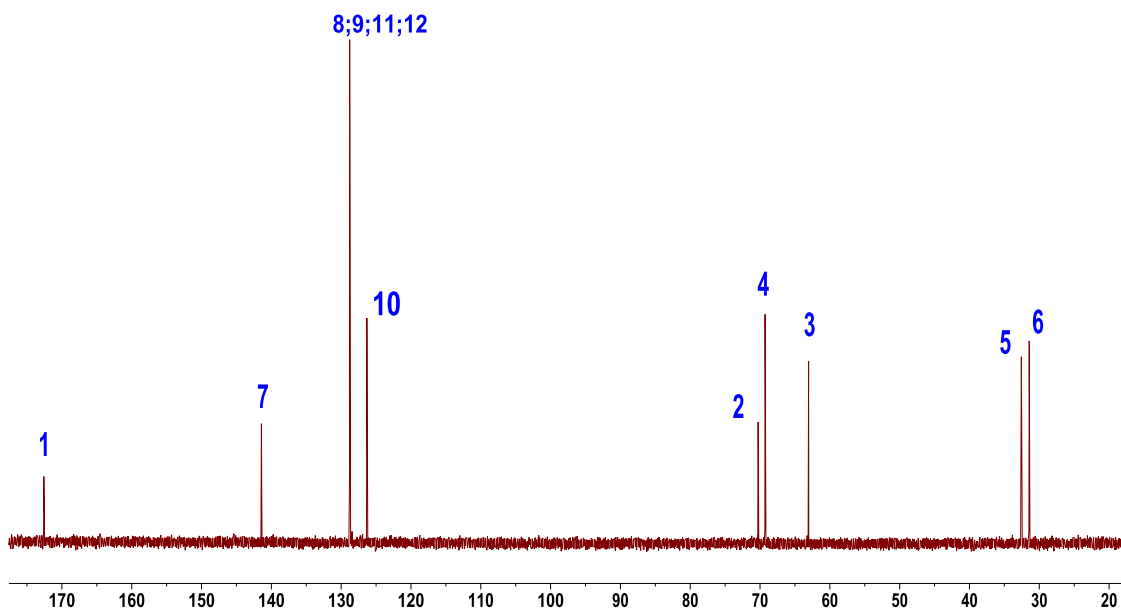


Figura 70S(3.1). Espectros de RMN (D_2O) de **3ah** y **4ai** de la adición aldólica catalizada por SHMT_{Sth} Y55T; a) 1H ; b) ^{13}C ; c) 2D 1H - 1H COSY, d) HSQC y e) 1D-NOESY selectivo.

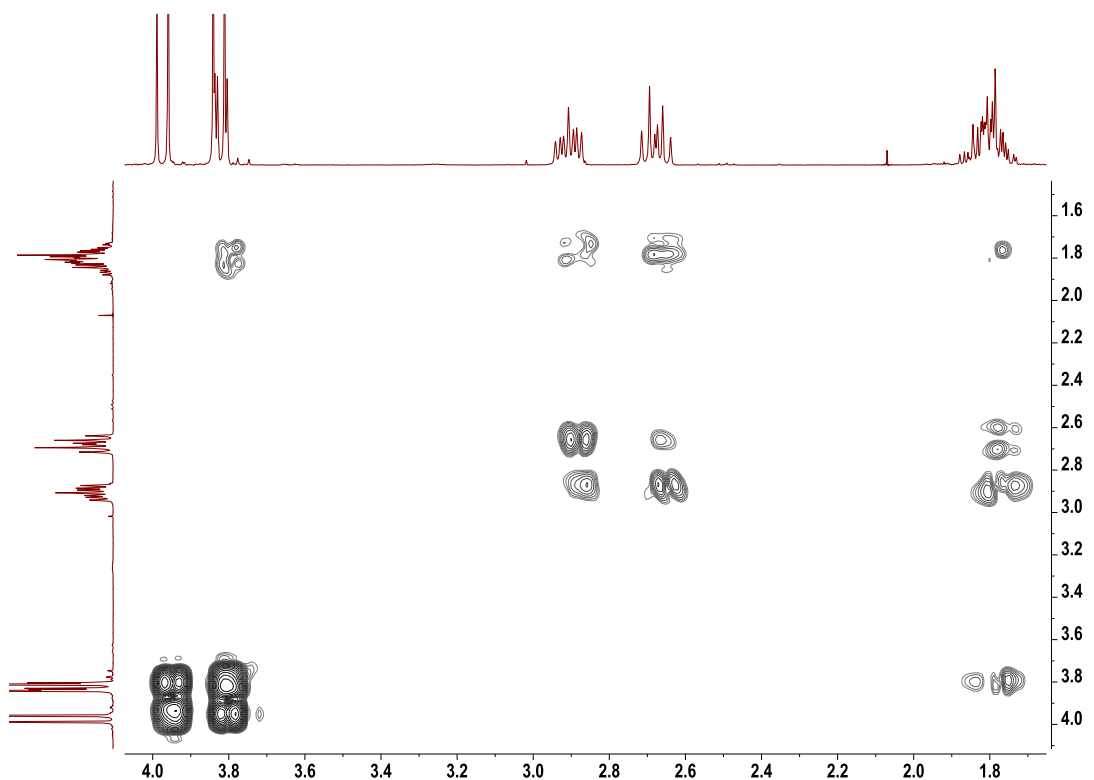
a)



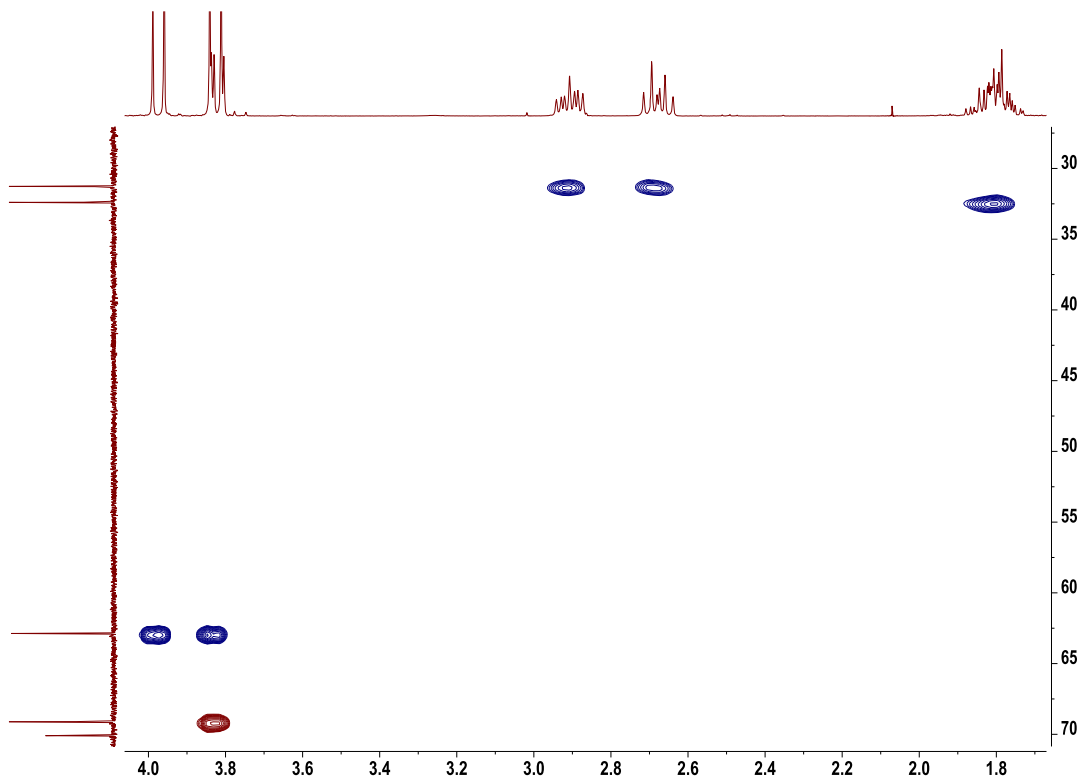
b)



c)



d)



e)

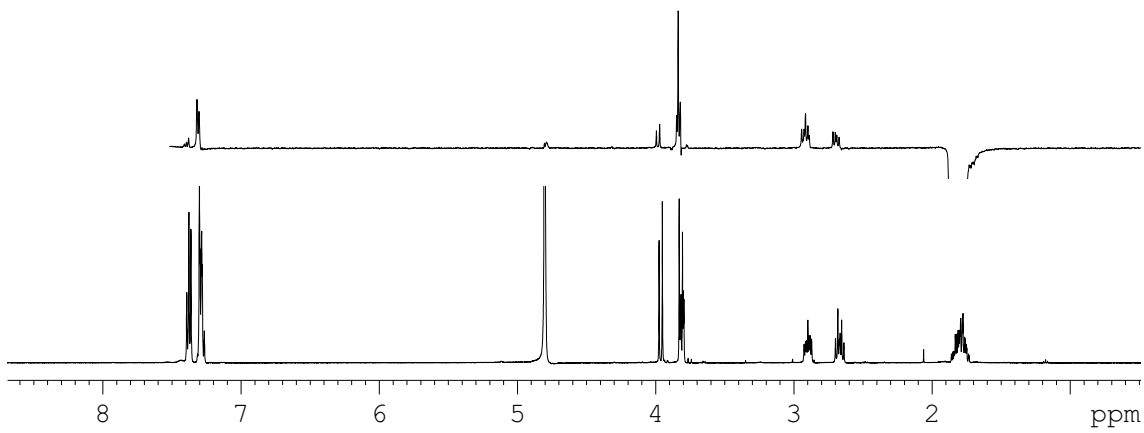
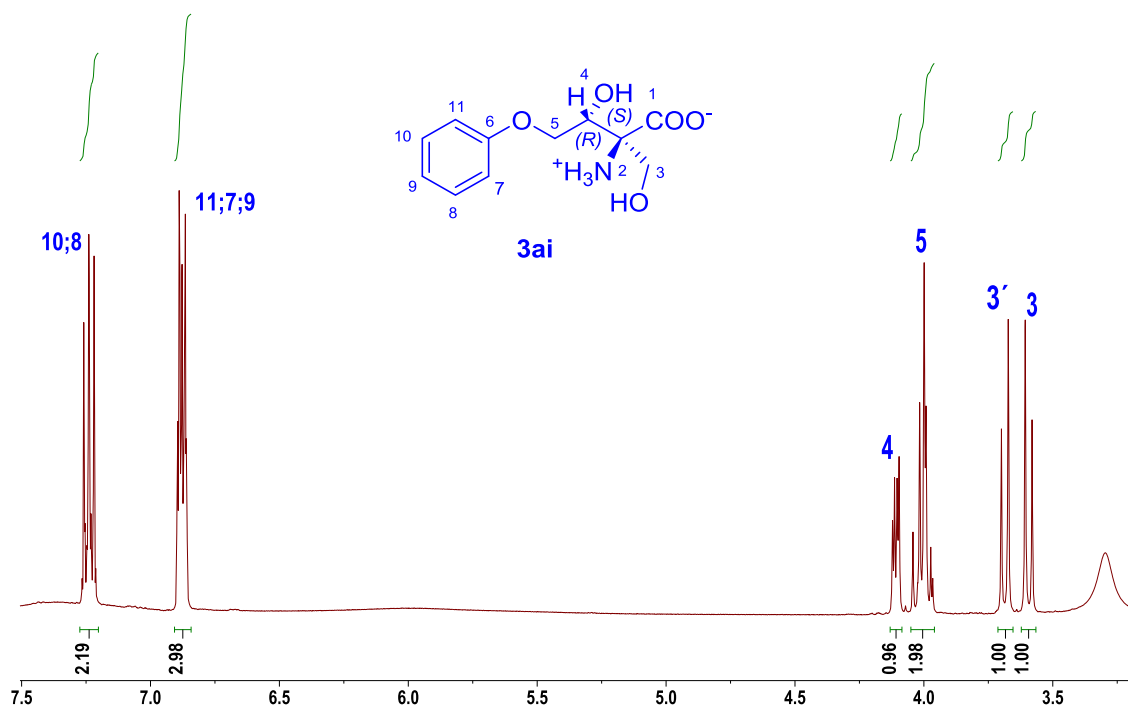
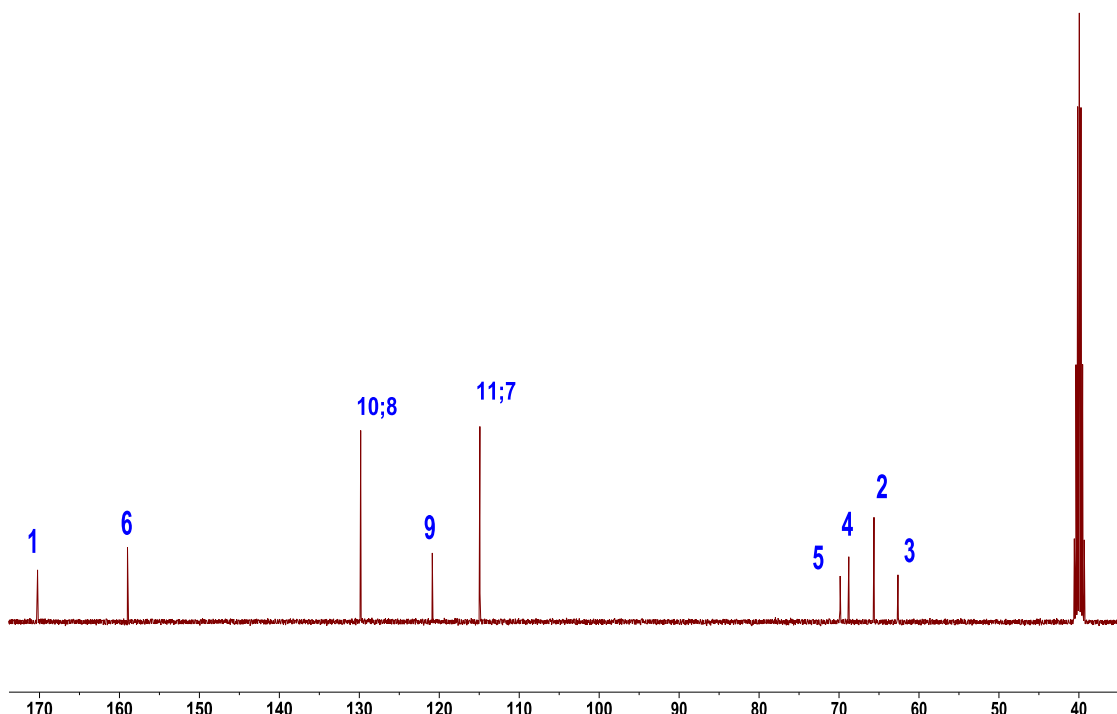


Figura 71S(3.1). Espectros de RMN (DMSO-*d*₆) de **3ai** de la adición aldólica catalizada por SHMT_{Sth} Y55T; a) ¹H; b) ¹³C; c) 2D ¹H-¹H COSY, d) HSQC y e) 1D-NOESY selectivo.

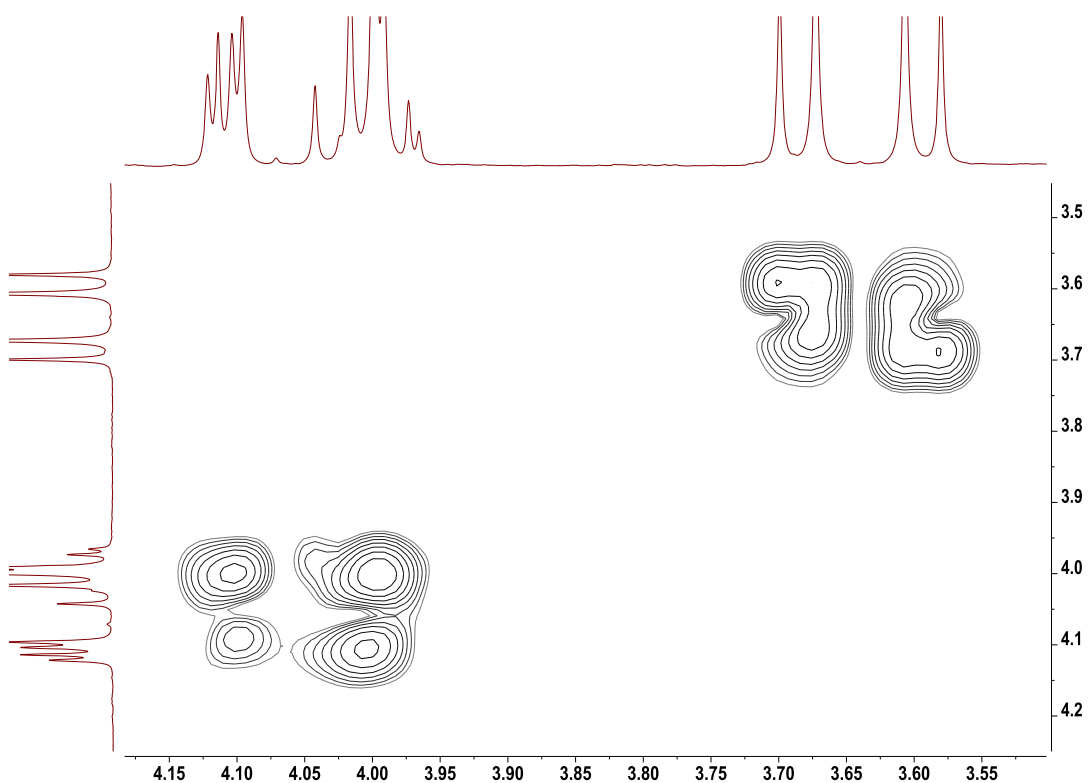
a)



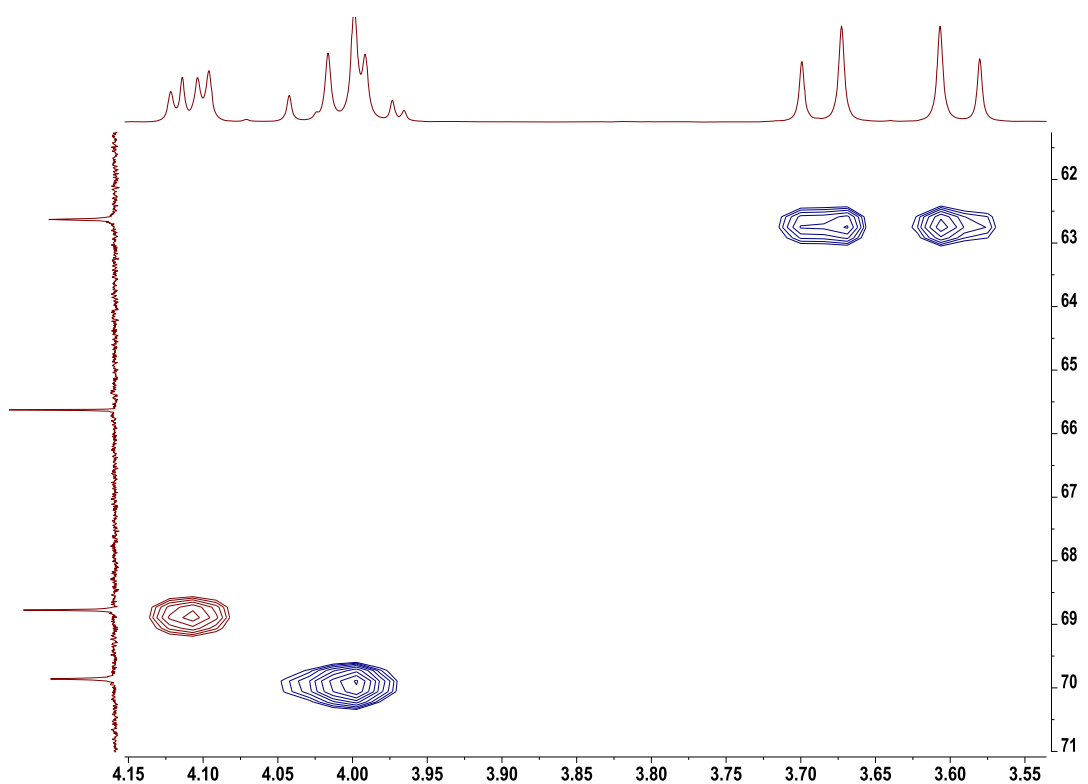
b)



c)



d)



e)

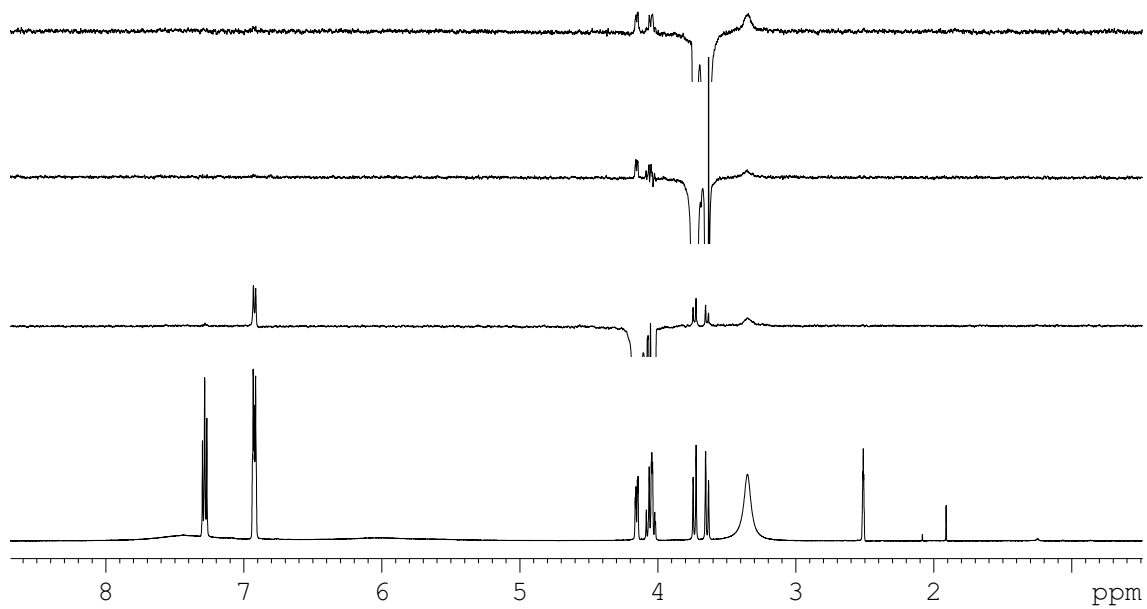
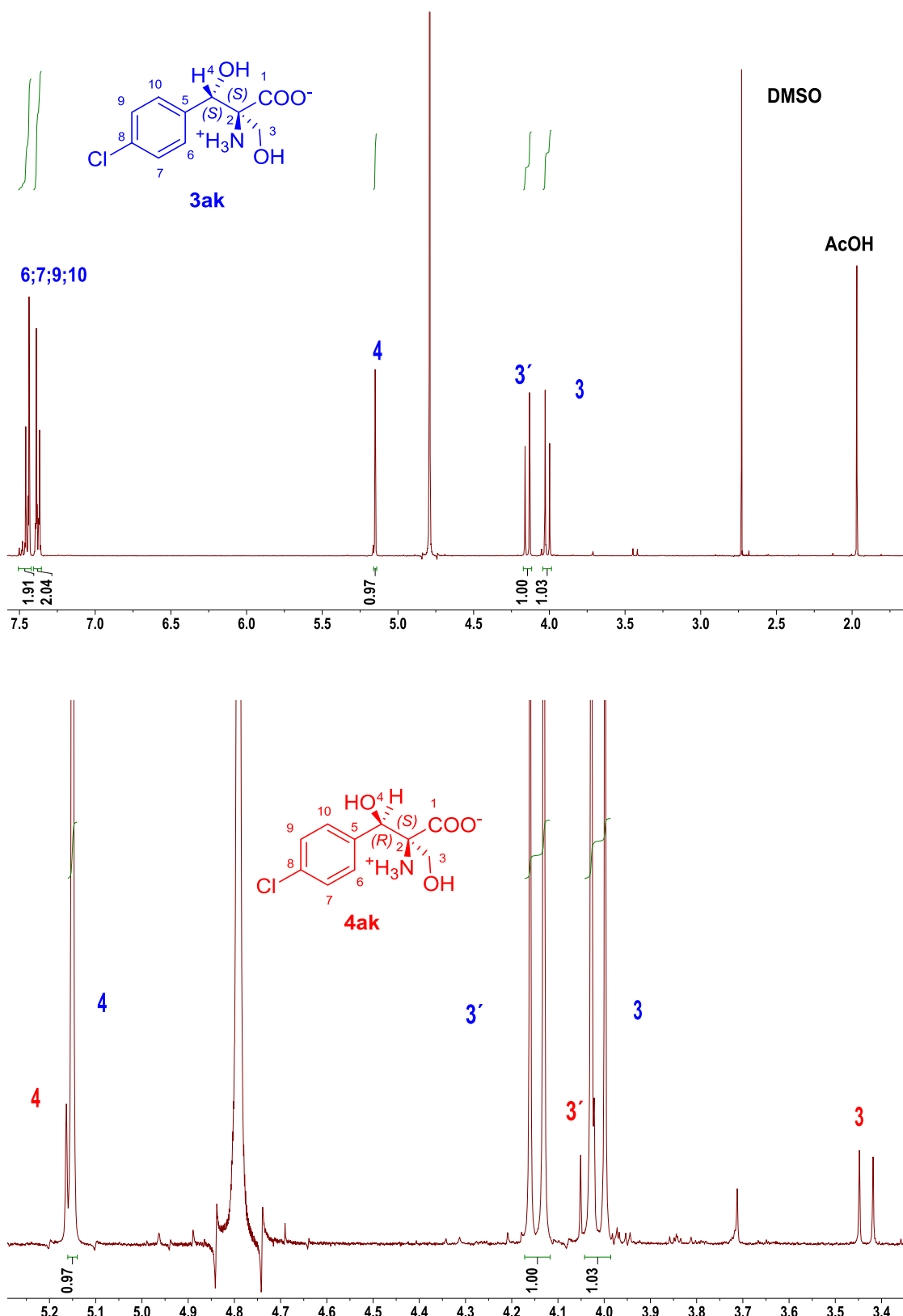
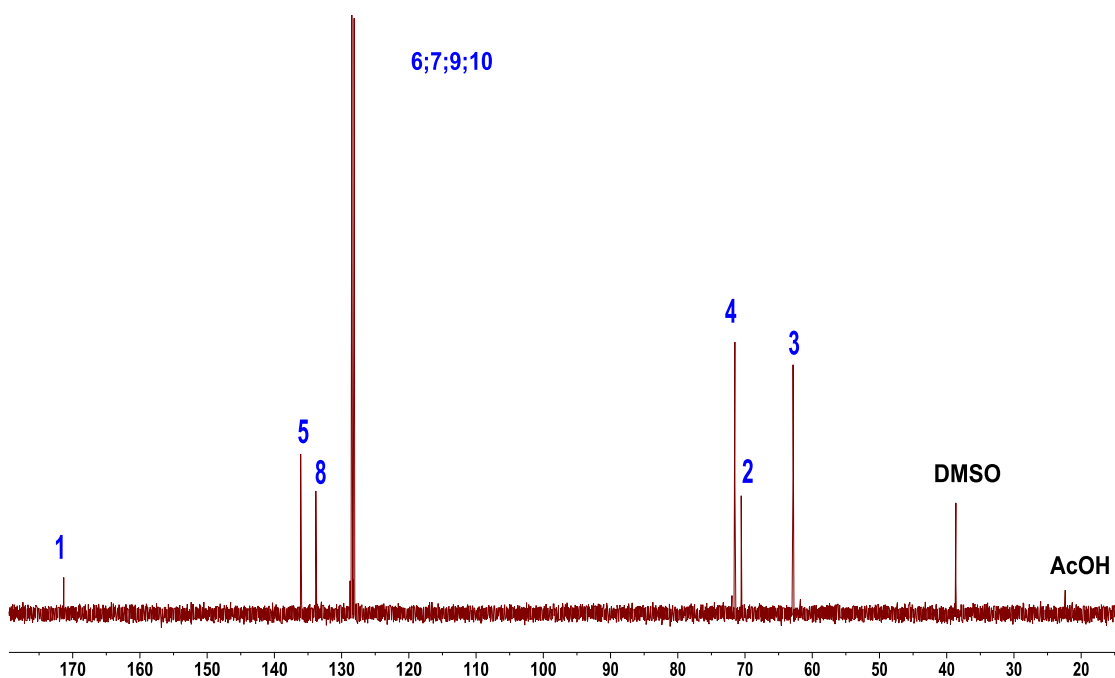


Figura 72S(3.1). Espectros de RMN (D_2O) de **3ak** y **4ak** de la adición aldólica catalizada por SHMT_{Sth} Y55T; a) 1H ; b) ^{13}C ; c) 2D 1H - 1H COSY y d) HSQC.

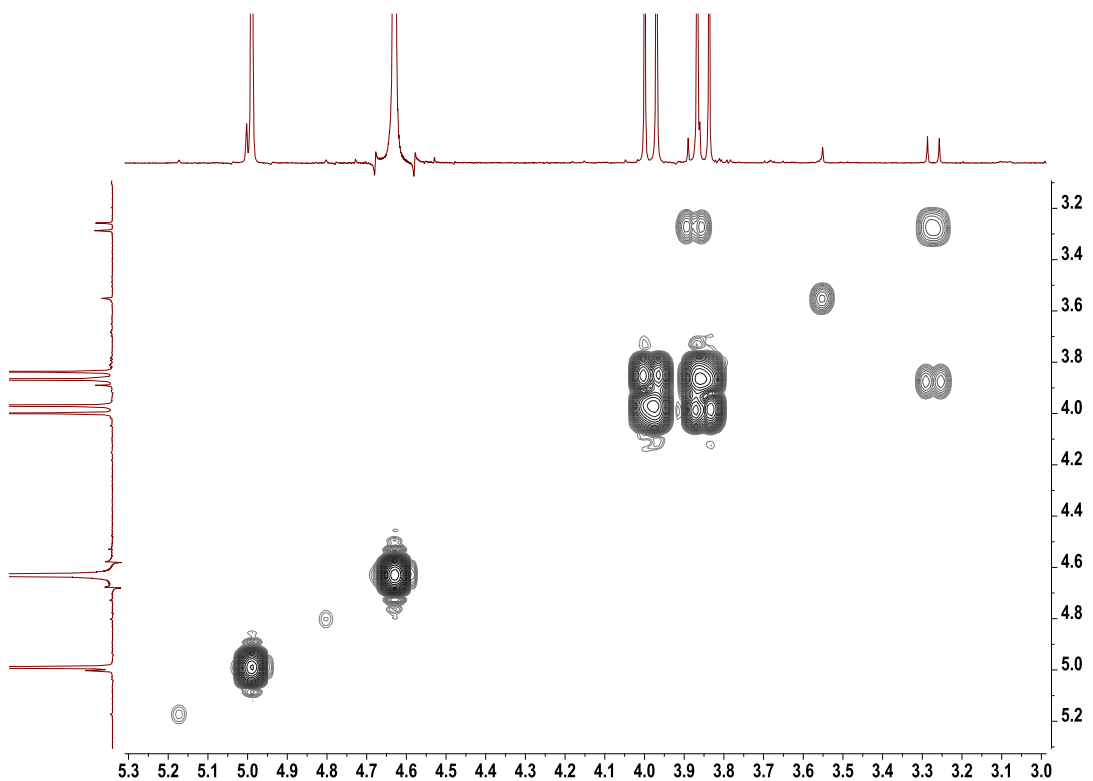
a)



b)



c)



d)

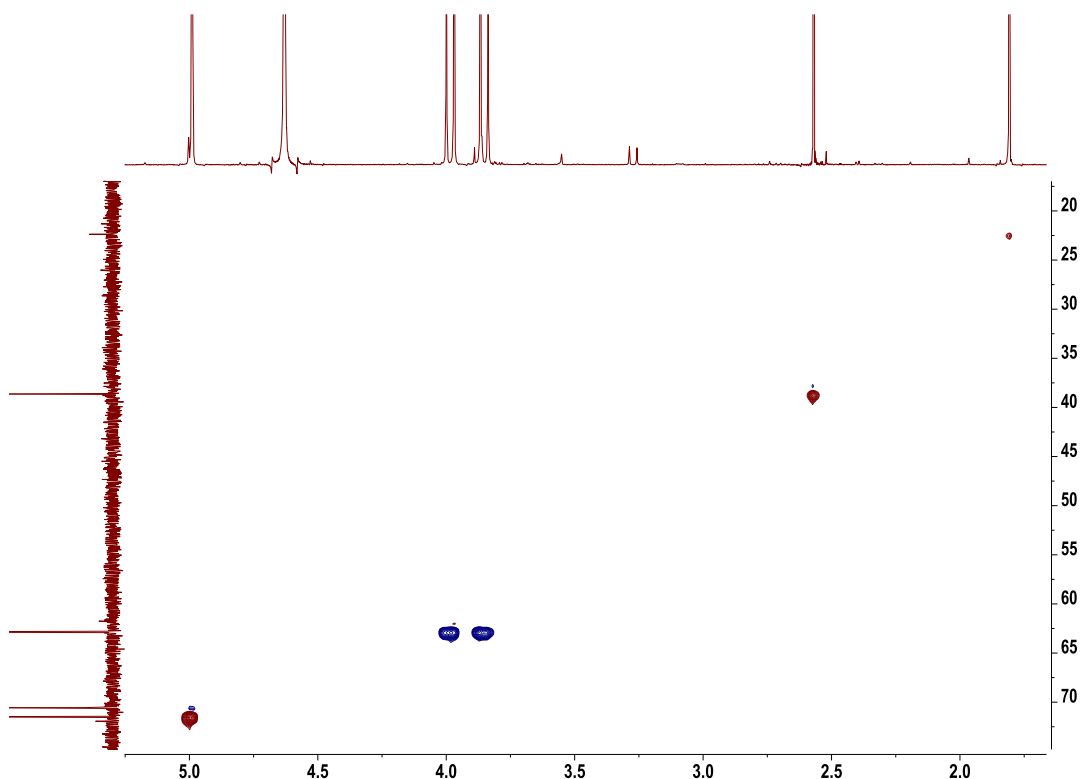
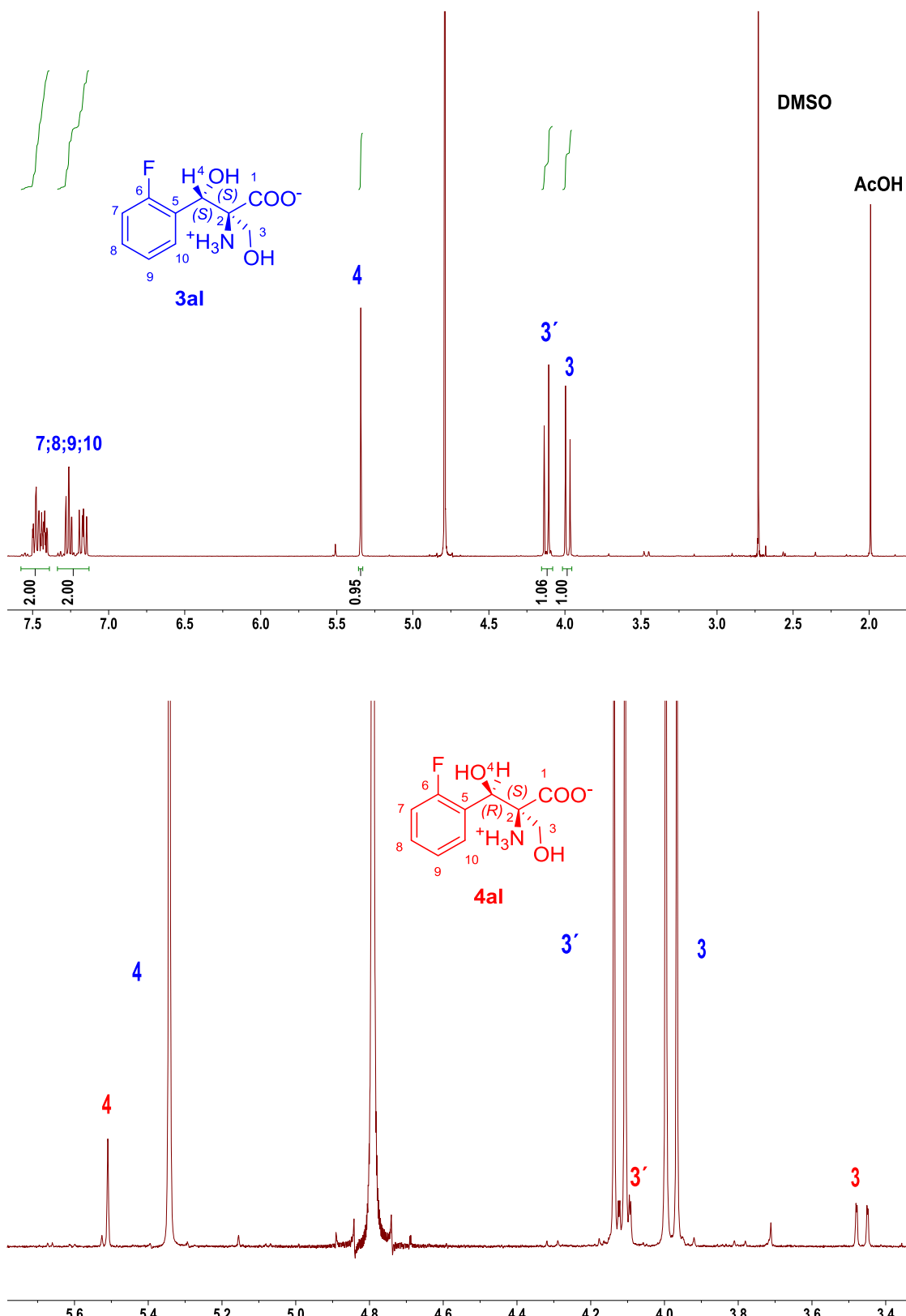
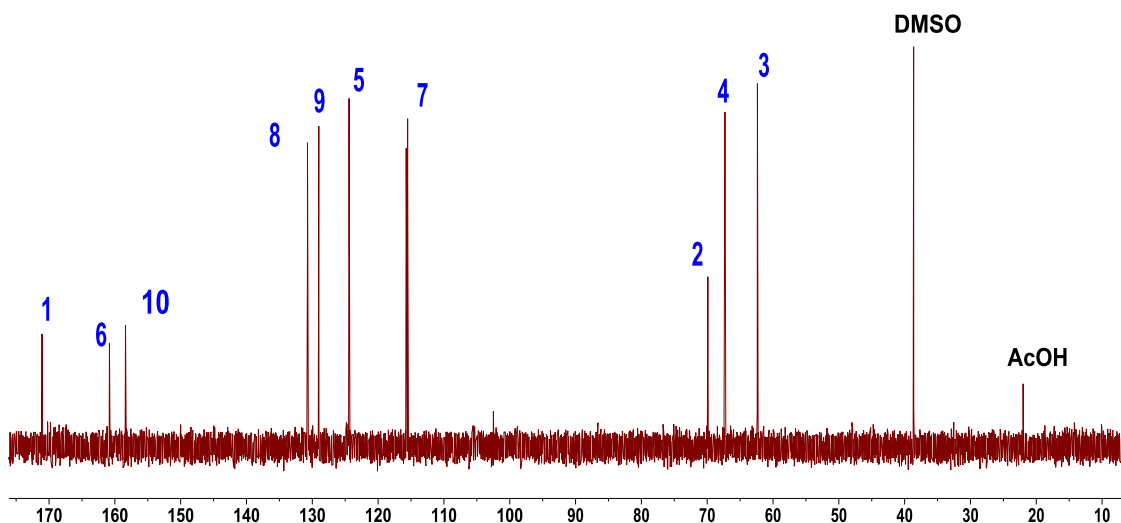


Figura 73S(3.1). Espectros de RMN (D_2O) de **3al** y **4al** de la adición aldólica catalizada por SHMT_{Sth} Y55T; a) 1H ; b) ^{13}C ; c) 2D 1H - 1H COSY y d) HSQC.

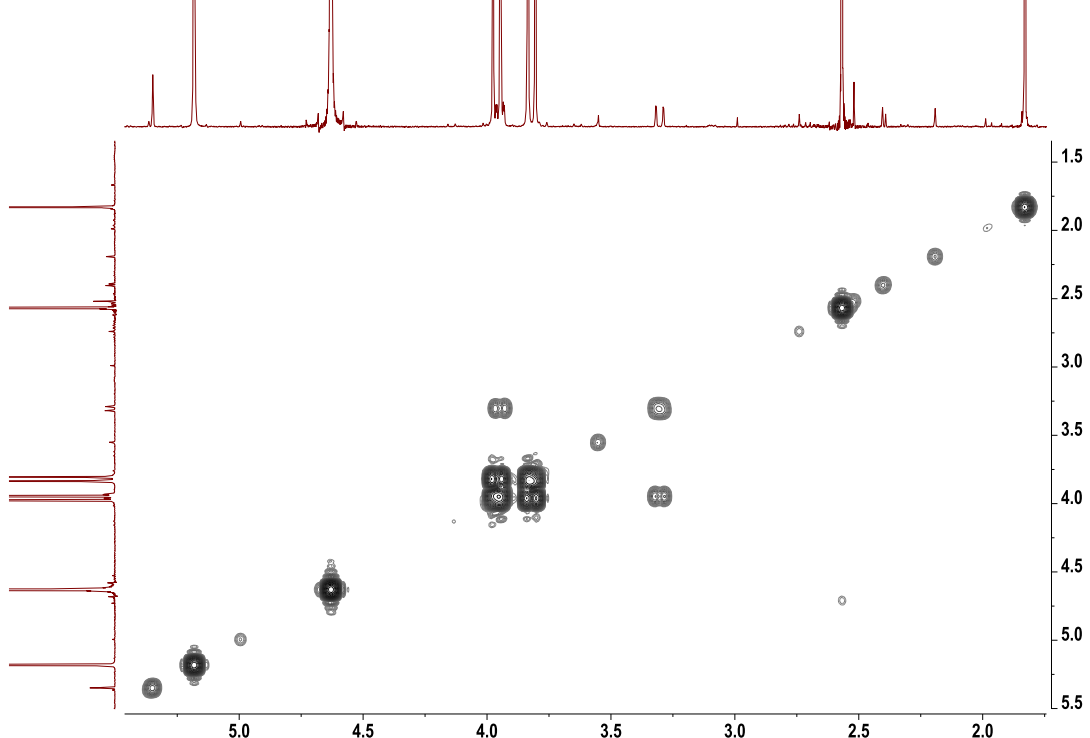
a)



b)



c)



d)

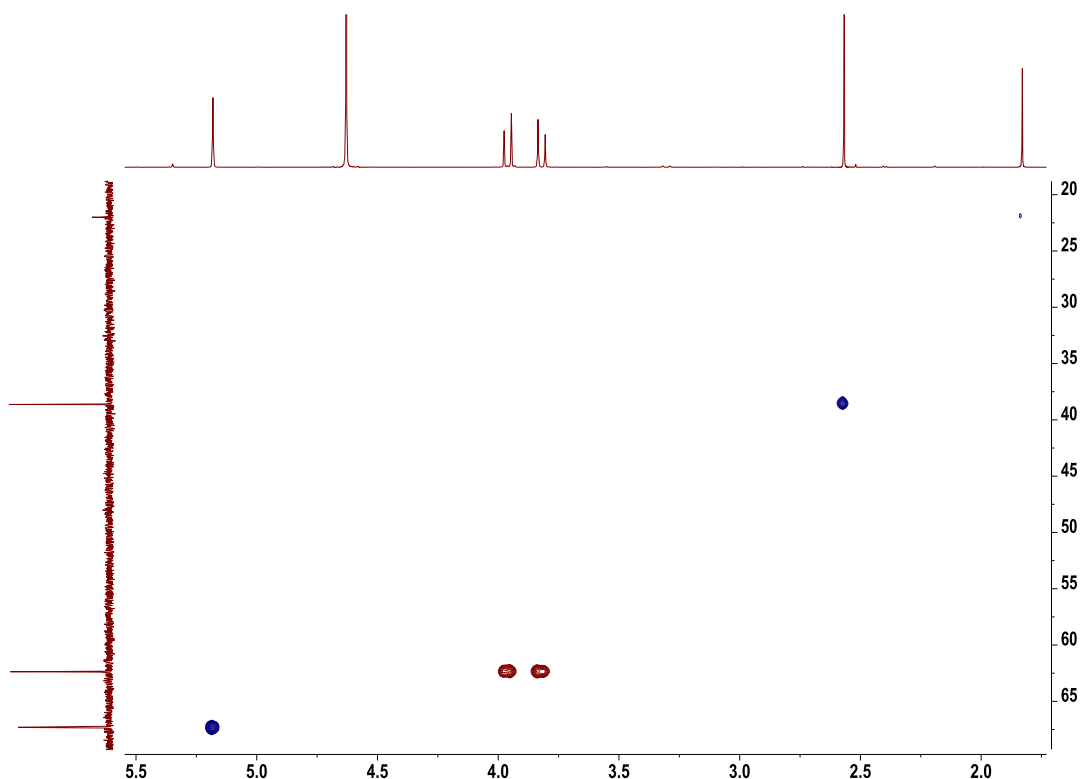
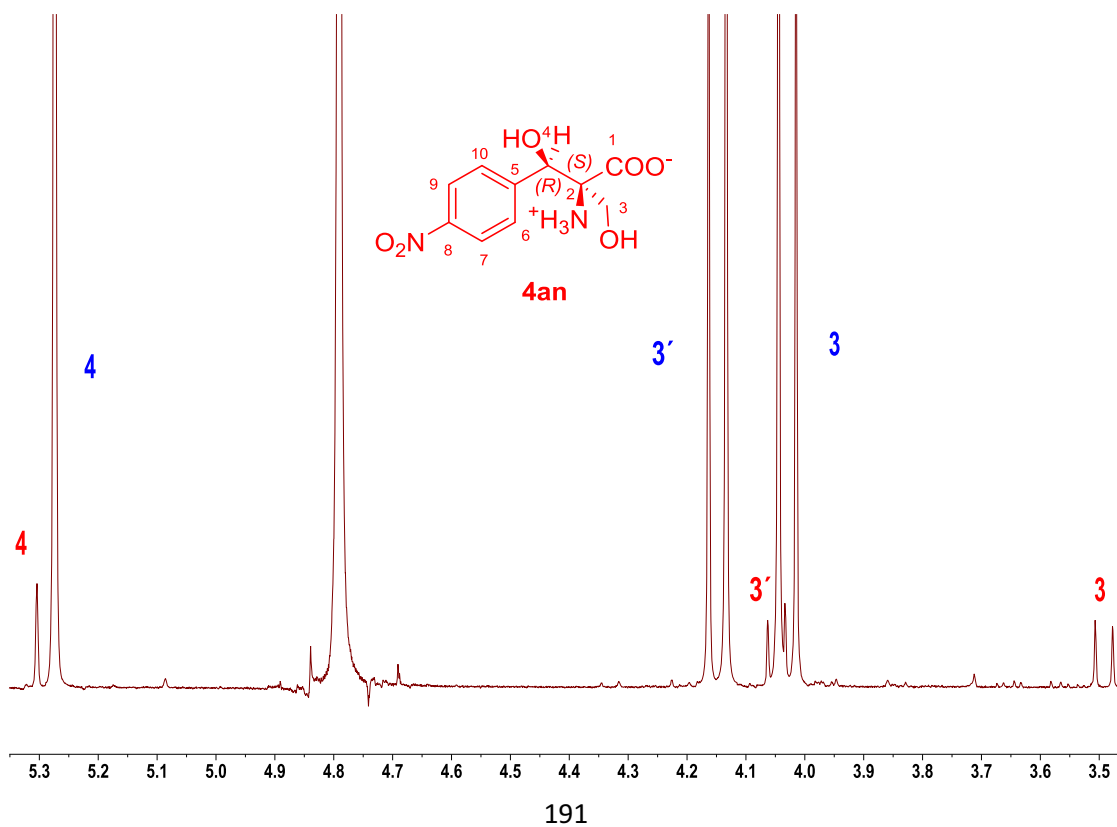
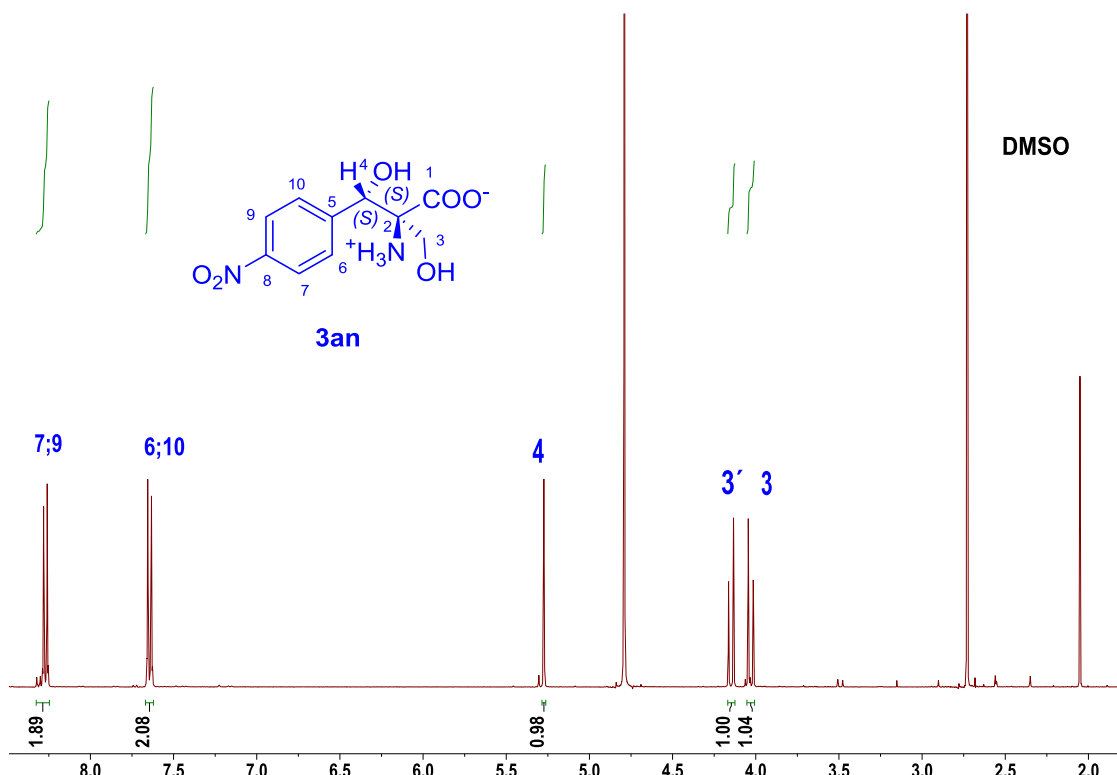
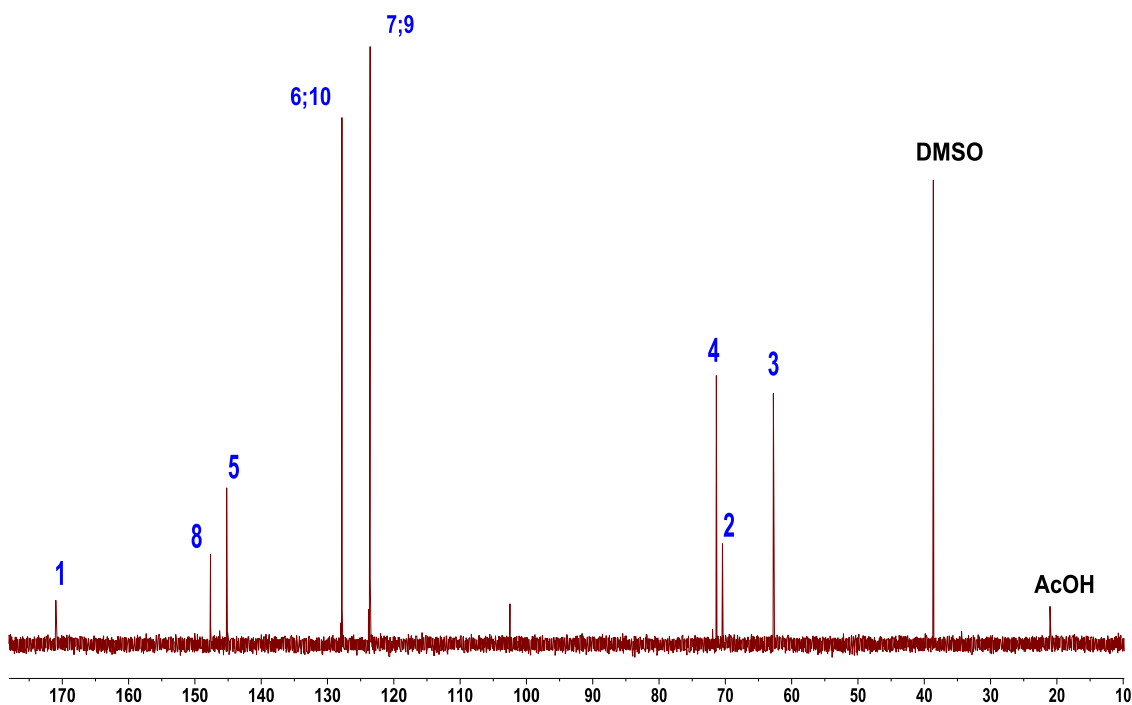


Figura 74S(3.1). Espectros de RMN (D_2O) de **3an** y **4an** de la adición aldólica catalizada por SHMT_{Sth} Y55T; a) 1H ; b) ^{13}C ; c) 2D 1H - 1H COSY y d) HSQC.

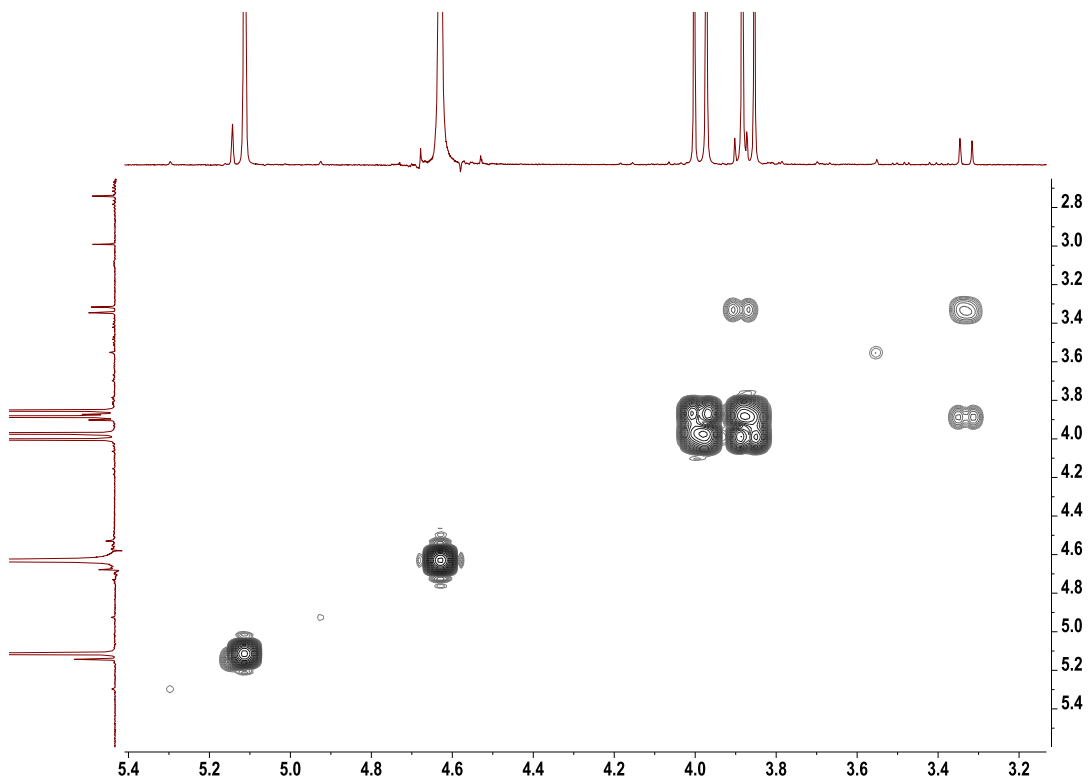
a)



b)



c)



d)

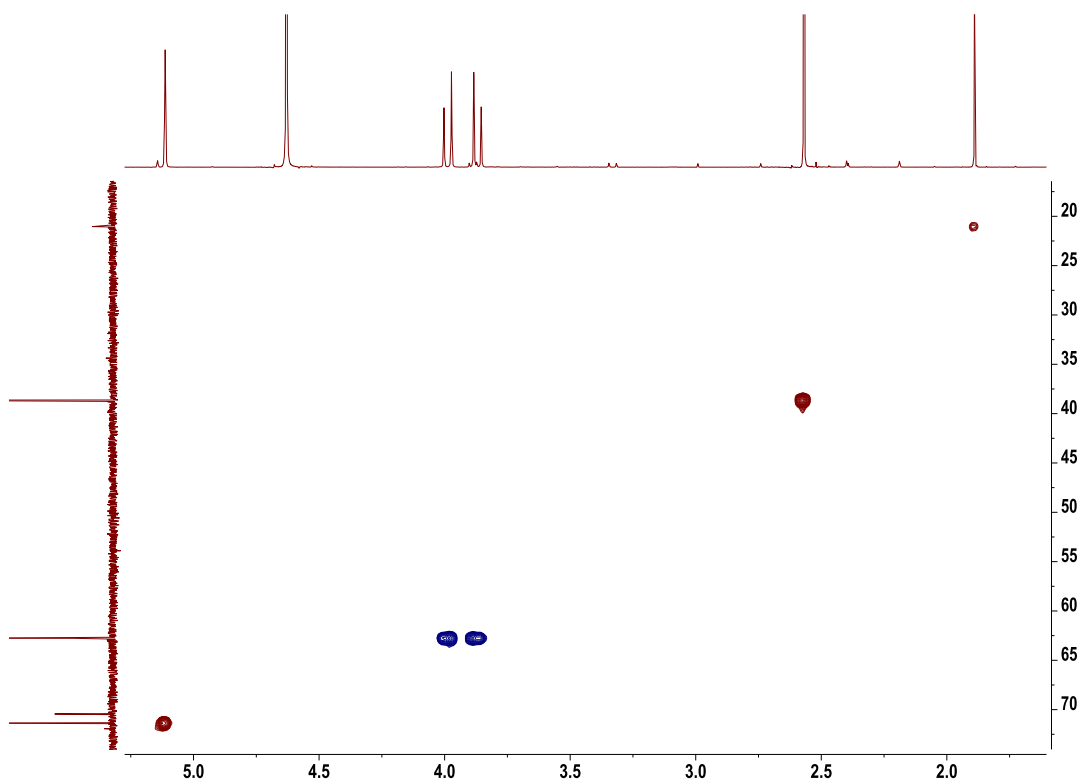
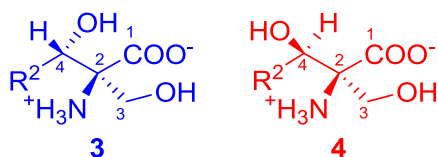


Tabla 10S(3.1) Desplazamiento químico (ppm) de ^1H , ^{13}C de los productos **4a**.


R^2	3						4						RMN solvente
	δH_3	δC_3	δH_4	δC_4	δC_1	δC_2	δH_3	δC_3	δH_4	δC_4	δC_1	δC_2	
BnOCH ₂ (3aa) 4.03	3.90 4.03	63.23	4.08	68.37	172.11	65.63							D ₂ O
BnO(CH ₂) ₃ (3ab) 4.02	3.86 4.02	63.08	3.88	69.91	172.35	69.99							D ₂ O
CbzNHCH ₂ (3ac) 4.03	3.87 4.03	62.69	3.98	69.24	171.76	68.24							D ₂ O
CbzNH(CH ₂) ₂ (3ad) 4.02	3.85 4.02	62.92	3.93	67.80	172.50	69.90							D ₂ O
PhCH ₂ (3ag, 4ag) 4.09	3.94 4.09	63.12	4.17	71.43	172.72	70.10	3.94 4.12	60.73	4.23	72.32			D ₂ O
Ph(CH ₂) ₂ (3ah, 4ah) 3.97	3.82 3.97	63.06	3.82	69.22	172.46	70.23	3.76	60.90					D ₂ O
PhOCH ₂ (3ai) 3.59	3.55 3.59	62.50	4.11	68.76	170.39	65.63							DMSO-d ₆
4-ClC ₆ H ₄ (3ak, 4ak) 4.15	4.01 4.15	62.94	5.15	71.58	171.29	70.74	3.27 3.87	61.60	5.00	71.63			D ₂ O
2-FC ₆ H ₄ (3al, 4al) 4.12	3.98 4.12	62.22	5.34	67.29	171.07	70.03	3.29 3.94	61.36	5.35	66.48			D ₂ O
4-O ₂ NC ₆ H ₄ (3an, 4an) 4.15	4.03 4.15	62.70	5.27	71.31	170.95	70.50	3.31 3.90	61.38	5.14	71.92			D ₂ O

	3						4						
	δH_3	δC_3	δH_4	δC_4	δC_1	δC_2	δH_3	δC_3	δH_4	δC_4	δC_1	δC_2	
$\delta(\text{media})$	3.88 4.02	62.85	4.37	69.49	171.76	69.10	3.51 3.96	61.19	4.93	70.59			
SD(δ)	0.14 0.16	0.32	0.62	1.54	0.79	1.94	0.31 0.11	0.36	0.49	2.75			

